winLIFE 4.0 2017

EXAMPLES

STZ-Verkehrstechnik / Germany



Inhalt

1.	Hinweise zu den Beispielen		
	1.1. 1.2.	Alle Beispiele laden und die Installation testenÜbersicht der Beispiele	
2.	Beis	piel 1 / Nennspannungskonzept gekerbte Welle	23
3.	Beis	piel 2 / Nennspannungskonzept gekerbte Platte	25
	3.1. 3.2. 3.3.	Berechnung der Nennspannung Generierung einer Bauteilwöhlerlinie Zusammenstellung der Ergebnisse	26
4.	Beis	piel 3 / örtliche Spannungen und Datenübernahme aus F	EM29
	4.1.	Ergebnisse	31
5.	Beis	piel 4 / Rainflow-Verfahren versus Werkstoff Memory	35
	5.1.	Zusammenfassung und Diskussion der Ergebnisse	36
6.	Beis	piel 5 / Vergleich mit FKM-Richtlinie	37
7.	Beis	piel 6 / Zylinder unter Zug und Torsion (multiaxial)	41
8.	Beis	piel 7 / Lenker unter Längs- und Querkraft (multiaxial)	45
9.	Beis	piel 8 / Verwendung von Dehnungsmessungen	49
	9.1. 9.2.	Umrechnung Rosettenmesswerte in ebenen Dehnungszustand	
10.	Beis	piel 9 / Aufruf aus einer Batch-Prozedur	53
11.	Beis	piel 10: Zahnräder und Lager	55
	11.1.	Zahnradauslegung mit HEXAGON	
		11.1.1. Ergebnisdaten Geometrie	
	11.2.	Lebensdauerberechnung von Zahnfuß- und Zahnflanke mit winLIFE	67
		11.2.1. Daten des Beispiels für winLIFE	
		11.2.2. Wahl der Methode	
		- (

	11.3.	11.2.4. Belastungskollektiv (Rad 1)	
12.	Beis	piel 11 / Mehrkörpersimulation eines Roboterarms (SAI	MCEF)111
13.	Beis	piel 12 / Gekerbte Welle mit FEMAP	113
14.	Beis	piel 13 / Schweißnaht einer Nutzfahrzeugachse (FEMP	AP) 115
15.	Beis	piel 15 / Gekerbte Welle (SAMCEF)	119
16.	Beis	piel 16 / Last über eine Brücke (FEMAP)	121
17.	Beis	piel 17 / Datenschnittstelle zu ANSYS	131
18.	Beis	piel 18a / Dauerfestigkeitsnachweis (winLIFE QUICK Cl	HECK)133
	101	Al-landhanalanilana an ainem Dainaial	
	18.1. 18.2. 18.3. 18.4. 18.5. mit Fer 18.6. 18.7.	Ablaufbeschreibung an einem Beispiel 18.1.1. Grundregeln bei der Bedienung von winLIFE QUICK CHECK 18.1.2. Start von winLIFE 18.1.3. Erstellen eines Projektes Aufgabenstellung 18.2.1. Bauteilgeometrie 18.2.2. Bauteilbelastung (Einheitslasten) 18.2.3. Werkstoffdaten Generierung der Wöhlerlinie Modellbildung Ergebnisse für Spannungen und Auslastungsgrad der einzelnen FE - Berechmap / Nastran 18.5.1. Lastfall Zug 18.5.2. Lastfall Biegung 18.5.3. LastfallTorsion Dauerfestigkeitsnachweis (uniaxiale Vereinfachung) Dauerfestigkeitsnachweis (Schnittebenenverfahren) 18.7.1. Datei / Kopieren (nur Einstellungen) 18.7.2. Berechnung (FE-Schnittstelle)	
19.	18.2. 18.3. 18.4. 18.5. mit Fer 18.6. 18.7.	18.1.1. Grundregeln bei der Bedienung von winLIFE QUICK CHECK 18.1.2. Start von winLIFE	

	19.7.	Ergebnis / Protokoll auswerten	
20.	Beis	piel 19 / bezogener Spannungsgradient	163
	20.1.	Aufgabenstellung	163
		20.1.1. Bauteilgeometrie	
		20.1.2. Werkstoffdaten	
		20.1.3. Modellbildung	164
		20.1.4. Bauteilbelastung (Einheitslasten)	
	20.2.	Bestimmung des Spannungsgradienten direkt aus dem FE-Modell in Femap	166
	20.3.	Bestimmung des Spannungsgradienten aus einer Regressionsanalyse	
		20.3.1. Eingabeoptionen	
		20.3.2. Ergebnis	
	20.4.	Bestimmung des Spannungsgradienten nach der Peilstab-Methode	
		20.4.1. Eingabeoptionen	
	20.5.	Bestimmung des Spannungsgradienten aus FEM Originaldateien	
	• • •	20.5.1. Beschreibung	
	20.6.	Ergebnis	17/6
21.	Beisi	piel 20 / Containerprojekte	177
	21.1.	Aufgabenstellung	
	21.2.	Laden eines existierenden Projektes	
	21.3.	Vorbereitung der Mehrfach Lastdatei	
	21.4.	Umwandeln in ein Containerprojekt	
	21.5.	Berechnung / Lebensdauer für Teillasten	
	21.6.	Berechnung / Betriebsfaktor erzeugen	
	21.7.	Einzelprojekte laden	
	21.8.	Schadensanteil von Einzelprojekten	184
22 .	Beis	piel 21 / Schweissnaht einer Anhängevorrichtung	187
	22.1.	Aufgabenstellung	187
		22.1.1. Bauteilgeometrie	
		22.1.2. Werkstoffdaten	188
		22.1.3. Modellbildung	188
		22.1.4. Bauteilbelastung	189
	22.2.	Durchführung einer Lebensdauerberechnung nach dem Strukturspannungskon	zept191
	22.3.	Ergebnis	197
		22.3.1. Schadenssumme	
		22.3.2. Äquivalente Amplitude	
		22.3.3. Auslastungsgrad	
		22.3.4. Gesamtstruktur	200
23.	Beis	piel 22 / Hot Spot Suche an einer geschweißten Rahmene	ecke203
	23.1.	Aufgabenstellung	203
	23.1.	23.1.1. Bauteilgeometrie	
		23.1.2. Werkstoffdaten	
		23.1.3. Modellbildung	
		23.1.4. Bauteilbelastung	
		23.1.5. Schweißnahtidentifikation.	
	23.2.	Durchführung einer Lebensdauerberechnung nach dem Hot Spot Suchverfahre	
	23.3.	Ergebnis Hot Spot	
		23.3.1. Schadenssumme	
	23.4.	Durchführung einer Lebensdauerberechnung nach dem Strukturspannungskon	

		23.4.1. Modellbildung	214
	23.5.	Ergebnis Strukturspannungskonzept	215
		23.5.1. Schadenssumme	215
	23.6.	Ergebnis Vergleich	216
		23.6.1. Schadenssummen	216
24.	Doio	nial 22 / ratioranda Malla	245
24 .		piel 23 / rotierende Welle	217
	24.1.	Aufgabenstellung	
		Bauteilgeometrie	
	24.2.	Werkstoffdaten	
	24.2.	Finite Elemente Berechnung	
		Modellbildung	
	24.2	Bauteilbelastung (Einheitslasten)	
	24.3.	Lebensdauerberechnung in winLIFE mit konstanter Last	
		ProjektdefinitionGenerierung der Wöhlerlinie	
		Definition des Belastungsverlaufs	
		FE-Daten Zuordnung	
		Berechnungsparameter	
	24.4.	Ergebnis Laboradovanhoro shavro in win LUE mit varindeslicher Last	
	24.4.	Lebensdauerberechnung in winLIFE mit veränderlicher Last	
		Projektdefinition, Projektangaben	
		Definition des Belastungsverlaufs	
		FE-Daten Zuordnung und Berechnungsparameter Ergebnis	
		Ergeonis	,231
25.	Beis	piel 24 / Rissfortschrittsberechnung	233
	1.1	Aufgabenstellung	
	1.1	25.1.1. Bauteilgeometrie	
		25.1.2. Belastung	
		25.1.3. Werkstoffdaten	
	1.2	Lebensdauerberechnung nach Paris	
	1.2	25.1.4. Projektdefinition	
		25.1.5. Generierung der Rissfortschrittskurve	
		25.1.6. Definition des Belastungsverlaufs	
		25.1.7. Berechnungsparameter	
		25.1.8. Ergebnis nach der Paris-Gleichung	
	1.3	Lebensdauerberechnung nach Erdogan-Ratwani	
	1.0	25.1.9. Berechnung nach Erdogan-Ratwani	
		25.1.10. Umrechnung von Werkstoffdaten	
		25.1.11. Ergebnis nach Erdogan-Ratwani	
	1.4	Zusammenfassung der Lebensdauerberechnung	
26.	Rois	piel 25 / Einführung in den winLIFE Viewer	247
20.		-	
	26.1.	Berechnung aller Knoten der Oberfläche	
	26.2.	Berechnung einer Knotenauswahl	25
27.	Beis	piel 26 / Nichtlinearität eines Federblechs	257
	27.1.	Aufgabenstellung	257
		27.1.1. Bauteilgeometrie	
		27.1.2. Werkstoffdaten	
		27.1.3. Modellbildung	258
		27.1.4. Bauteilbelastung	258

	27.2.	Durchführung einer Lebensdauerberechnung	259
28.	Beis	piel 27 / Berechnung einer Schweißkonstruktion	273
	28.1.	Aufgabenstellung	273
	28.2.	Geometrie und Last	
	28.3.	Hot-Spot Suchverfahren	274
	28.4.	Projektaufbau in winLIFE	
	28.5.	Strukturspannungskonzept	
	28.6.	Schweißnaht-Export	
	28.7.	Projektaufbau in winLIFE	
	28.8.	Ergebnis	284
29.	Beis	piel 28 / FKM Beispiel Wellenabsatz	287
	29.1.	Aufgabenstellung	
	29.2.	Materialangabe und örtliche Spannungen	
	29.3.	Projektaufbau in winLIFE, Modul QUICK CHECK / FKM	
	29.4.	Ergebnis	
	29.5.	Berücksichtigung von Finite-Elemente-Ergebnisse	297
30.	Beis	piel 29 / FKM Beispiel Gussbauteil	299
	30.1.	Aufgabenstellung	299
	30.2.	Materialangabe und örtliche Spannungen	
	30.3.	Projektaufbau in winLIFE, Modul QUICK CHECK / FKM	
	30.4.	Ergebnis	306
31.	Beis	piel 30 / FKM Beispiel Verdichterflansch	309
	31.1.	Aufgabenstellung	309
	31.2.	Materialangabe und örtliche Spannungen	
	31.3.	Umgebungsbedingungen	310
	31.4.	Projektaufbau in winLIFE, Modul QUICK CHECK / FKM	310
	31.5.	Ergebnis	315
32.	Beis	piel 31 / Kupplung mit nichtlinearem Verhalten	317
	32.1.	Aufgabenstellung	317
	02.11	32.1.1. Geometrie und Last	
		32.1.2. Export der Spannungen	
		32.1.3. Projektaufbau in winLIFE	
33.	Beis	piel 32 / Mehrkörperdynamik und Lebensdauer	335
	33.1.	Aufgabenstellung	335
	33.11	33.1.1. Radaufhängung	
		33.1.2. Werkstoffdaten	
		33.1.3. Modellbildung	
		33.1.4. Bauteilbelastung	
	33.2.	Durchführung einer Lebensdauerberechnung	
	33.3.	Ergebnis	
		33.3.1. Schadenssumme	
34.	Beis	piel 33 / Rissfortschrittsrechnung an einem Druckbel	nälter 351
	2/1	Aufgahanstallung	351

		34.1.1. Bauteilgeometrie	
		34.1.2. Belastung	
	1.5	Lebensdauerberechnung nach dem Paris-Gesetz	
	1.5	34.2.1. Projektdefinition	
		34.2.2. Generierung der Rissfortschrittskurve	
		34.2.3. Definition des Belastungsverlaufs	
		34.2.4. Berechnungsparameter	
		34.2.5. Ergebnis nach der Paris-Gleichung	
35.	Beis	piel 34 / Signalmodifikation mit Hilfe des Formelgenerator	rs3 5 9
	35.1.	Aufgabenstellung	359
		35.1.1. einfache Umrechnung und Kanalerzeugung	
		35.1.2. Generierung hochfrequenter Signalanteile für gemessene Mittelwert-	
		Signale 359	
	35.2.	Dateitypen	360
	35.3.	Erzeugung einer neuen Datei mit Hilfe des Formeleditors / Beispiel	360
		35.3.1. Berechnung der Motordrehzahl aus Geschwindigkeit und Gang	363
		35.3.2. Erzeugung einer Spalte mit dem Drehmoment	366
		35.3.3. Erzeugung einer Spalte mit einem berechneten Drehmoment	367
		35.3.4. Wandler-Zustands-Variable erzeugen	368
		35.3.5. Status-Variable zur Zylinderabschaltung	369
		35.3.6. Zeit Spalte erzeugen	370
		35.3.7. Weg Spalte erzeugen	371
		35.3.8. Laststufe erzeugen	373
		35.3.9. Geschwindigkeit	
		35.3.10. Ergebnis	
	35.4.	Erzeugung neuer Kanäle unter Integration hochdynamischer Phänomene	377
36. Alum	Beis _l	piel 35 / FKM Beispiel 6.5 geschweißtes T-Profil aus	381
Aidii			
	36.1.	Aufgabenstellung	
	36.2.	Materialangabe	
	36.3.	Belastungen	
	36.4.	Projektaufbau in winLIFE	
	36.5.	Statischer Nachweis mit örtlichen Spannungen für GW + WEZ	
	36.6.	Statischer Nachweis mit örtlichen Spannungen für SN	385
37.		piel 36 / FKM Beispiel 6.6 geschweißte	
Alun	niniuml	konstruktion	389
	37.1.	Aufgabenstellung	389
	37.2.	Materialangabe und örtliche Spannungen	
	37.3.	Umgebungsbedingungen	390
	37.4.	Nachweis statisch WEZ Punkt D	390
			200
		37.4.1. Projekt erstellen	390
		37.4.1. Projekt erstellen	
		37.4.2. Wöhlerlinie	391 394
	37.5.	37.4.2. Wöhlerlinie	391 394
	37.5.	37.4.2. Wöhlerlinie	391 394 397 397
	37.6.	37.4.2. Wöhlerlinie 37.4.3. Berechnung Nachweis statisch SN Punkt A 37.5.1. Wöhlerlinie Berechnung	391 394 397 399
	37.6. 37.7.	37.4.2. Wöhlerlinie	391 394 397 397 399
	37.6.	37.4.2. Wöhlerlinie 37.4.3. Berechnung Nachweis statisch SN Punkt A 37.5.1. Wöhlerlinie Berechnung	391 394 397 399 401

	37.9.	Nachweis Ermüdungsfestigkeit durchgehendes Blech Punkt D	403
		37.9.1. Wöhlerlinie	403
		37.9.2. Berechnung	405
	37.10.	Berechnung mit Zeitsignalen	407
	37.11.	Auswertung der Normalspannung σ \perp	407
	37.12.	Auswertung der Spannung $\sigma $	415
	37.13.	Auswertung der Schubspannung	417
	37.14.	Ergebnis	420
38.	Beisp	oiel 40 / Superposition	423
	38.1.	Aufgabenstellung	423
	38.2.	Projekt	
	38.3.	Methode wählen	423
	38.4.	Wöhlerkurve	424
	38.5.	Generierung der Lastdateien	425
	38.6.	Kopie des Projektes	428
	38.7.	Superposition	430
	38.8.	Ergebnisanalyse	433
	38.9.	Parameter variation	434
	38.10.	Alternativmethode Schadenssummen addieren	436
39.	Litera	aturverzeichnis	439
	39.1.	Allgemeine Lebensdauerberechnung	439
	39.2.	Zahnräder und Lager	
	39.3.	Statistik	445
40	Index		447

1. Hinweise zu den Beispielen

winLIFE 4.0 wird mit einigen Beispielen einschließlich aller Daten zur Berechnung ausgeliefert, damit sich der Benutzer mit dem Programm vertraut machen kann. Die Daten befinden sich in entsprechend benannten Unterverzeichnissen, die bei der Installation festgelegt wurden.

Für Berechnungen mit der Demoversion sind nur die Beispiele in den folgenden Verzeichnissen zu verwenden.

Examples_demo_01

Examples demo 02

Examples_demo_03

Examples demo 07

Die Beispiele sind entsprechend den Limitierungen der Demoversion vorbereitet.

Verschieben Sie diese Beispieldateien nicht in andere Verzeichnisse, da sie die Beispiele dann nicht mehr automatisch laden können.

1.1. Alle Beispiele laden und die Installation testen

Um die Beispiel möglichst einfach und schnell nachzuvollziehen empfiehlt es sich, sofort nach der Installation im Menü *Extras / Beispiele laden*

anzuklicken. Es werden alle verfügbaren Beispiele geladen, so dass der Bildschirm wie folgt aussieht.



Die Mehrzahl der Beispiele liegen in berechneter Form einschließlich der Ergebnisse vor. Man beachte jedoch, dass die Beispiele, deren Verzeichnis mit

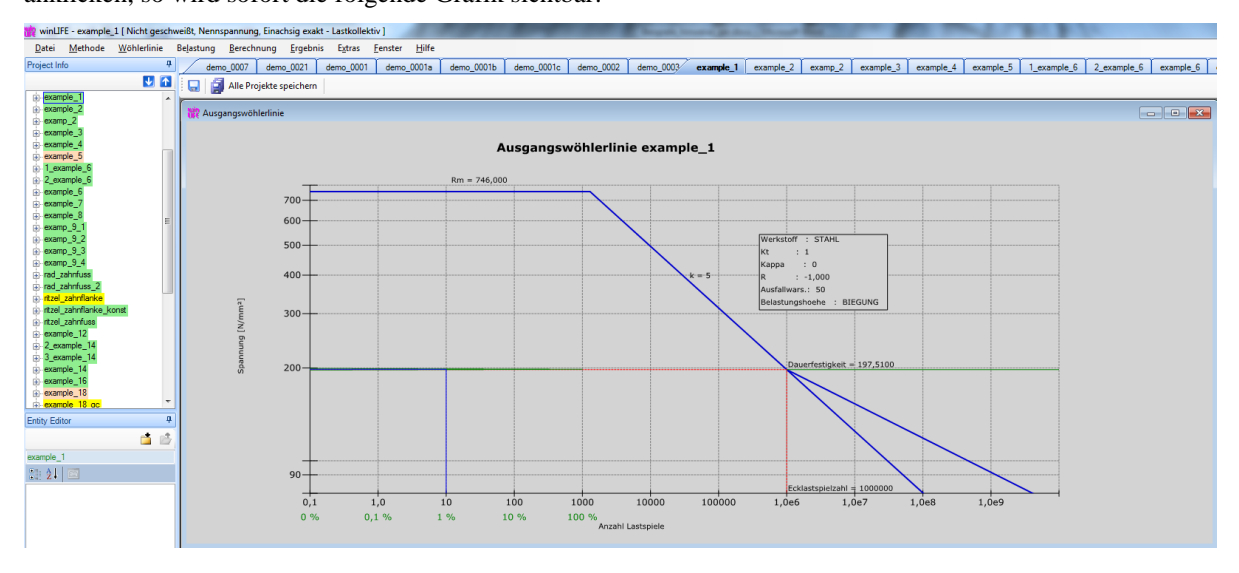
пp

endet, nicht bis zu einer Schadensberechnung geführt sind, da z.B. nur der Wöhlerliniengenerator beschrieben wurde. Man kann daher kein Ergebnis für die Schadenssumme erwarten.

Will man sich die Ergebnisse anschauen, muß man z.B. Example_1 wählen und dort

Ergebnis/Wöhlerlinie mit Belastung

anklicken, so wird sofort die folgende Grafik sichtbar:

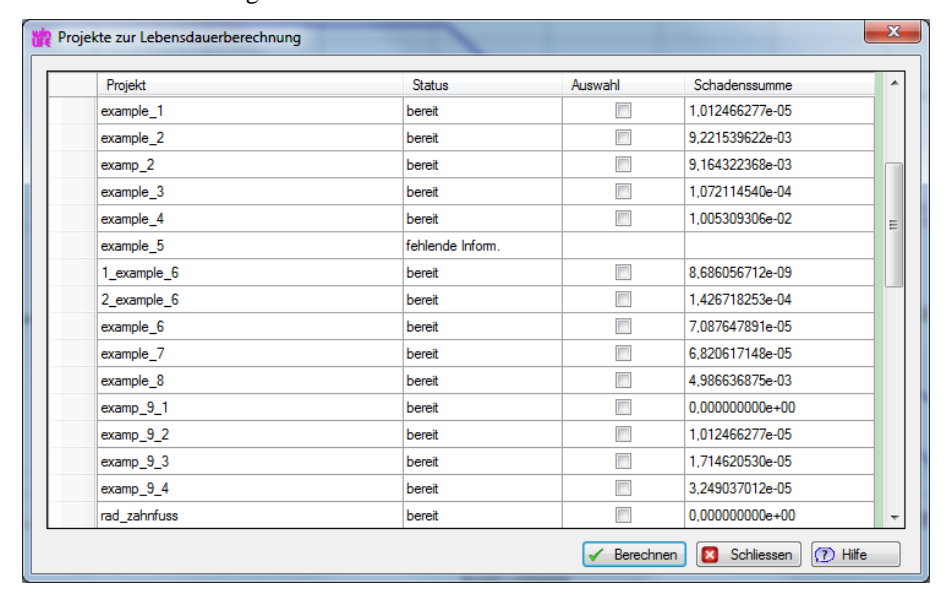


Um nun die Installation auf ganz einfache Weise zu testen, empfiehlt sich Folgendes:

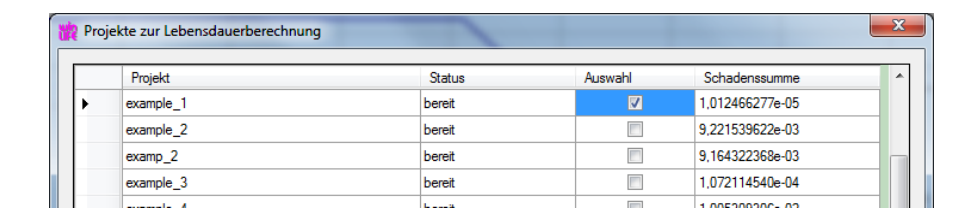
Wählen Sie im Menü:

Berechnung / Mehrere Projekte Berechnen

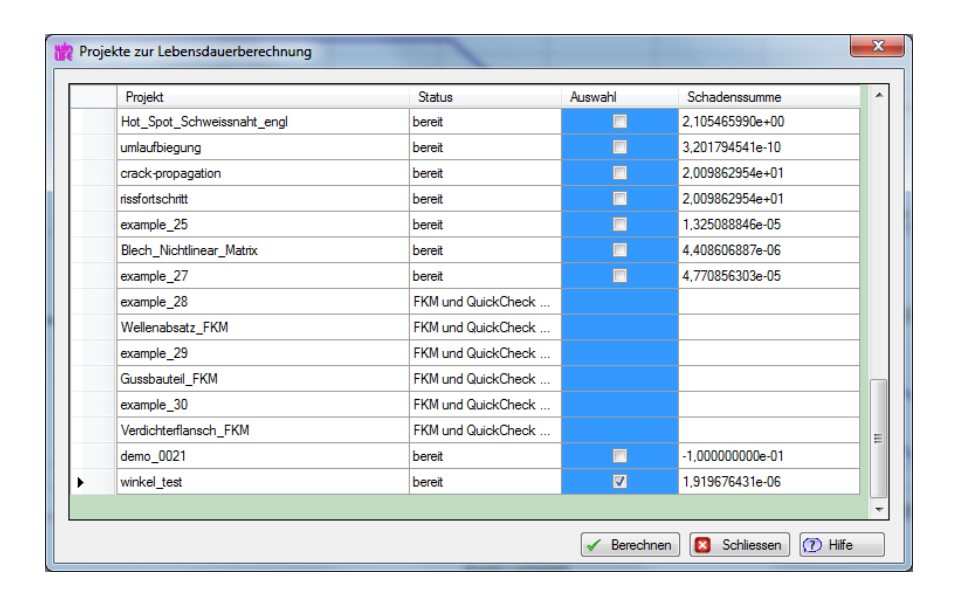
Es erscheint dann folgende Maske:



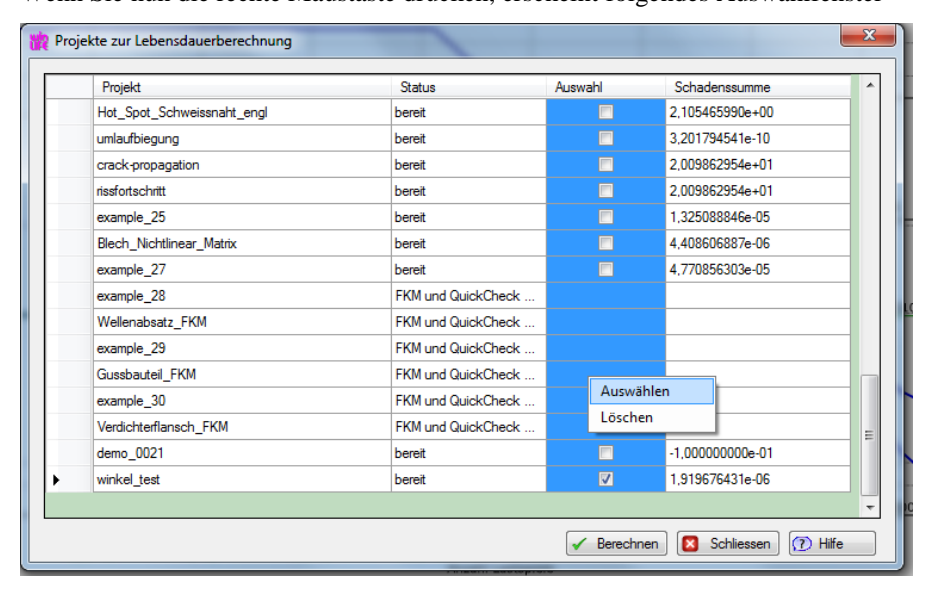
Markieren Sie nun das das erste Projekt, indem Sie mit dem linken Mauszeiger das Kästchen in der ersten Zeile markieren.



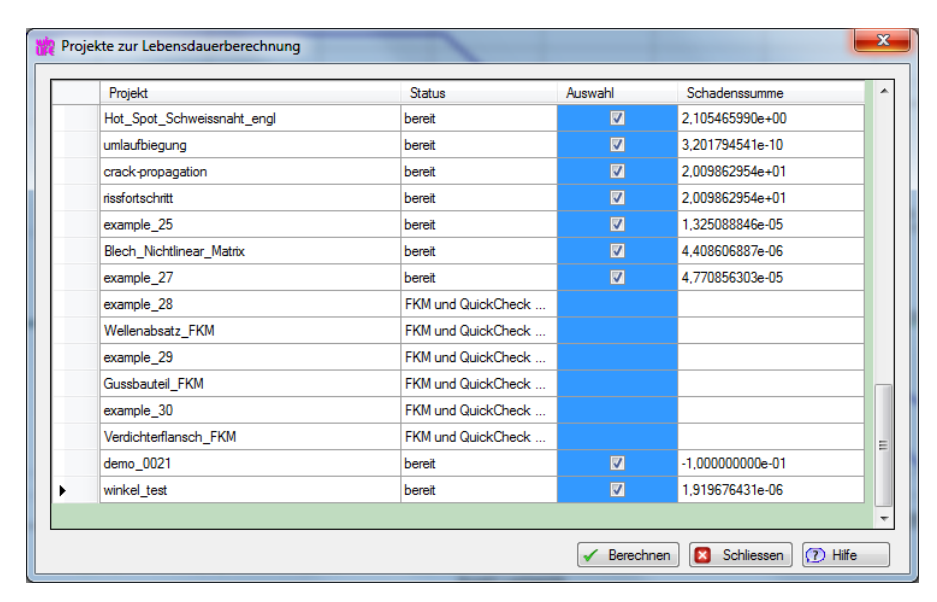
Scrollen Sie anschließend in der Tabelle nach unten in die letzte Zeile und markieren Sie das untere Kästchen durch Drücken der linken Maustaste bei gleichzeitigem Drücken der Shift-Taste. Es werden alle Felder der Spalte blau dargestellt.



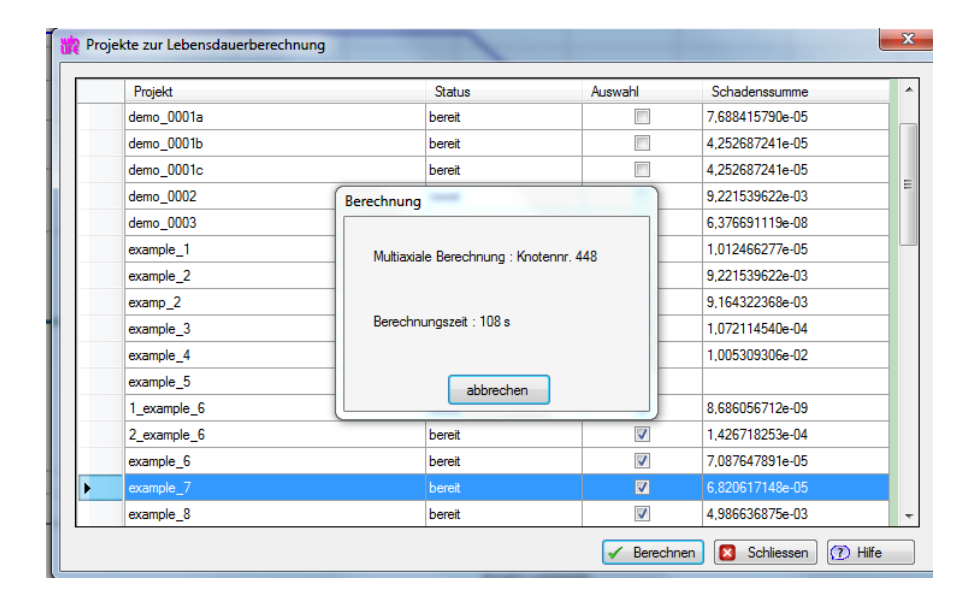
Wenn Sie nun die rechte Maustaste drücken, erscheint folgendes Auswahlfenster



Klicken Sie nun mit der linken Maustaste auf auswählen und es werden alle Kästchen in den blau markierten Feldern markiert.



Wird nun auf *Berechnen* geklickt, so werden alle markierten Projekte erneut vollständig durchgerechnet. Meldungen der einzelnen Projekte auf dem Bildschirm zeigen an, dass die Berechnung läuft.



Treten während der Berechnung Fehler auf, so wird in der entsprechenden Zeile die Meldung Error ausgegeben.

Auch Projekte, für die ein Modul benötigt wird, das nicht lizensiert ist, führen zu einer Fehlermeldung. Ein multiaxiales Projekt, das mit einer winLIFE 4.0 -Lizenz für das winLIFE BASIC-Modul berechnet wird, führt zu einer Fehlermeldung.

1.2. Übersicht der Beispiele

Die Beispiele mit den Nummern 11 und 15 wurden gelöscht, da sie sich auf das Zusammenwirken mit SAMCEF bezogen, was nicht mehr unterstützt wird.

Die Beispiele 1 bis 25 sind auch als Video-Dateien vorhanden, diese sind auch im Internet auf unserer Homepage zu finden. Zukünftige Ergänzungen der Video-Beispiele kann der Benutzer im Internet finden und direkt von winLIFE 4.0 aus starten. Klicken Sie *Hilfe/Tutorial/Internet*.

Die Durcharbeitung der Beispiele hängt von dem Schwerpunkt des Benutzerinteresses ab und es wurden folgende Gruppen geschaffen:

Beispiele Benutzerführung

Beispiele multiaxiale Berechnung

Beispiele DauerfestigkeitsnachweisBeispiele SchweißenBeispiele große ProjekteBeispiele FEMAPBeispiele ANSYSBeispiele Sonderprobleme

Beispiele Zahnräder

Die Durcharbeitung der Beispiele macht den Benutzer in kurzer Zeit mit der Bedienung des Programms vertraut und die dafür aufgewendete Zeit wird zukünftig eingespart. Es sind in der Hilfe kurz die vom Benutzer einzugebenden Daten in einer Tabelle als Übersicht dargestellt.

Die Video-Beispiele wurden in den letzten Jahren erstellt. Auf Grund der Weiterentwicklung von winLIFE 4.0 hat sich die Benutzeroberfläche geringfügig verändert. Die Änderungen sind aber so gering, dass der Benutzer in der Lage ist, die Beispiele nachzuvollziehen.

Nr ·	Ziel	Inhalt	Bild
1	Übersicht und Handhabung von winLIFE mit einfacher Übung	Beispiel eins führt in die grundlegende Bedienung des Programms mit Hilfe des Nennspannungskonzeptes ein.	Name
2	Übersicht und Handhabung von winLIFE mit einfacher Übung mit Nennspannungskonzept	Es wird eine quadratische, gekerbte Platte mit einer Dicke von 5 mm nach der Nennspannungsmethode berechnet.	F F and
3	Übersicht und Handhabung von winLIFE mit einfacher Übung mit Örtlichem Konzept	Es wird eine quadratische, gekerbte Platte mit einer Dicke von 5 mm nach dem Örtlichen Konzept berechnet (u.a. Vergleich mit Beispiel 2).	The state of the s
4	Zusammenhang zwischen Rainflow- Verfahren und Spannungs-Dehnungs- Pfad	Die Konstruktion des Spannungs-Dehnungs- Pfades allein auf der Basis des Werkstoff- Memory wird in diesem Beispiel mit dem der Konstruktion des Spannungs-Dehnungspfades auf der Basis des Rainflow-Verfahrens verglichen. Dazu wird ein Beispiel aus der Literatur nachgerechnet.	The gallware shares for the state of the sta
5	Generierung von Bauteilwöhlerlinien	Für eine abgesetzte Welle aus Walzstahl, die durch Biegung und Torsion belastet sei, soll die Bauteilwöhlerlinie ermittelt werden. Dies soll mit der FKM-Richtlinie verglichen werden.	The control of the
6	Der grundsätzliche Ablauf der Multiaxialen Berechnung mit FEM wird dargestellt.	Auf einen Zylinder wirken ein zeitveränderliches Torsionsmoment und Zug-Druckkräfte. Der Verlauf ist manuell einzugeben, der Datentransfer wird erläutert und die Ergebnisse werden analysiert.	
7	Verwendung realer Last-Zeit- Funktionen bei multiaxialen Problemen	Das Beispiel könnte eine realistische Anwendung aus dem Maschinen- oder Fahrzeugbau sein. Ein Lenker wird durch zwei voneinander unabhängige Kraftgruppen belastet, für die Messwerte vorliegen. Aufgabe ist die Berechnung der Lebensdauer für das durch Messung gefundene Belastungskollektiv.	

8	Verwendung von gemessenen Dehnungen (Rosette) für eine Multiaxiale Berechnung	Eine Felge eines Nutzfahrzeuges wurde mit DMS beklebt und im Europazyklus geprüft. Die statische Vorlast durch den Luftdruck und die dynamische Dehnung durch die Einfederung werden einzeln analysiert und geeignet superponiert. Es werden verschiedene Vergleichsspannungshypothesen bzw. Schadensparameter untersucht und den Prüfergebnissen gegenübergestellt.	Constitution Cons
9	Integration in Batch-Prozeduren zur Automatisierung von Abläufen	Man kann winLIFE mit Parametern über Betriebssystembefehle - also ohne GUI - starten. Auf diese Weise lassen sich automatisch ablaufende Batch-Prozeduren definieren. Dies ist dann sinnvoll, wenn man immer wiederkehrend ähnliche Probleme mit nur wenig geänderten Parametern zu bearbeiten hat. In diesem Beispiel wird der Einfluss der Dauerfestigkeit auf die Lebensdauer untersucht. Ausgehend von einer Projektdatei werden Kopien erstellt, in denen lediglich der zu variierende Parameter, die Dauerfestigkeit, geändert wird. Es wird eine Batch-Datei erstellt, die den automatischen Ablauf mehrere winLIFE-Berechnungen bewirkt.	Company Service Serv
10	Grundfunktionen zur Berechnung der Lebensdauer von Zahnrädern	Gegeben ist ein einfaches Getriebe mit der Übersetzung 1:10, das lediglich aus 2 Zahnrädern aus dem gleichen Werkstoff besteht. Das Verweildauerkollektiv besteht lediglich aus wenigen Stufen. Dafür wird eine einfache Lebensdauerberechnung durchgeführt	getrieben St. 13 St. 33 St. 35
12	Verwendung von FEMAP und winLIFE am Beispiel einer gekerbten Welle / Datentransfer zwischen FEMAP und winLIFE	Es wird in diesem Beispiel das Zusammenwirken zwischen FEMAP (Version 9.3) und winLIFE gezeigt. An einer gekerbten Welle, die durch ein Biegemoment belastet ist, wird eine Lebensdauerberechnung vorgenommen. Dazu werden Einheitslastfälle in FEMAP definiert und an winLIFE übertragen. Die Ergebnisse der Lebensdauerberechnung werden zurück an FEMAP übergeben und dort dargestellt.	274-5 274-5 274-5 273-5 215-5 176-5 176-5 177-5 117-5 117-5 5 180-6 744-6 588-6 55hadenssumme
13	Verwendung von FEMAP und winLIFE am Beispiel einer komplexen Hinterachse eines Nutzfahrzeugs Kundenbespiel NUR Video ohne Datenfreigabe / kann aktenmäßig nicht nachvollzogen werden !!!	Es wird in diesem Beispiel wird das Zusammenwirken zwischen FEMAP (Version 9.3) und winLIFE gezeigt. An einem komplexen Bauteil, einer Hinterachse, werden die Schweißnähte nach dem r1- Konzept berechnet. Es wird die gesamte Modellierung und die Verwendung von Sub-Strukturen gezeigt. Die Belastung erfolgt durch drei gemessene Last- Zeit-Funktionen. Es werden drei Einheitslastfälle in Richtung der Radkräfte in FEMAP berechnet und an winLIFE übertragen. Die Ergebnisse der Lebensdauerberechnung werden zurück an	

		FEMAP übergeben und dort dargestellt.	
14	Schweißnaht einer Rohrverbindung nach Strukturspanungskonzept	Es wird in diesem Beispiel mit Hilfe von FEMAP eine Rohrverbindung aus Plattenelementen aufgebaut. Die Vernetzung erfolgt so, dass in definierten Abständen von der Schweißnaht Knotenpunkte existieren, mit deren Hilfe dann eine Berechnung des Spannungstensors am Schweißnaht Rand durch Extrapolation möglich wird.	Sammer
16	Brücke nichtlinear / Zusammenwirken FEMAP und winLIFE	Das Überfahren einer Brücke wird in FEMAP durch eine wandernde Last simuliert. Es wird eine Folge von Lastpositionen berechnet, die dem zeitlichen Ablauf entsprechen. Jeder Zeitschritt wird in einem Lastfall gespeichert. winLIFE liest die zeitliche Abfolge ein und berechnet für jeden Knoten und Zeitschritt die Schädigung.	Market mark to
		Die Ergebnisse werden wieder nach FEMAP exportiert und dort als Iso-Linien gleicher Schadenssumme und Sicherheit gegen Dauerfestigkeit dargestellt.	
17	Abgesetzte Welle / Zusammenwirken von ANSYS und winLIFE	Eine abgesetzte Welle wird in ANSYS modelliert und die Spannungen berechnet. Die Ergebnisse werden nach winLIFE exportiert, dort die Schädigung berechnet. Die winLIFE Ergebnisse werden dann in ANSYS dargestellt.	
18	winLIFE QUICK CHECK	Mit Hilfe einer durch drei Kräfte belasteten Welle (FEMAP-Modell) wird der Dauerfestigkeitsnachweis geführt. Die Ergebnisse, der Auslastungsgrad, werden als Iso-Linien dargestellt.	The second state of the se
19	Bezogener Spannungsgradient	Es wird aus einem Modell einer Welle für verschiedene Belastungsarten der bezogene Spannungsgradient berechnet. Die Ergebnisse werden mit den theoretischen Werten verglichen und diskutiert.	The state of the s
20	Container Projekte	Die Verwendung von Containerprojekten bei einer großen Zahl von Projekten, die sich nur durch die Belastung unterscheiden	
21	Schweißnaht einer Anhängekupplung: Zusammenwirken von FEMAP und winLIFE	Es wird eine Anhängekupplung mit Hilfe des Strukturspannungskonzeptes berechnet	The state of the s

22	Schweißnaht – Hot Spot-Suche - eines komplexen Bauteils	Für sehr große Bauteile mit vielen Schweißnähten eignet sich das Verfahren der Hot-Spot-Suche, das bei der Verwendung von Schalenelementen anwendbar ist	
23	Rotierende Welle mit Querbohrung	Es wird gezeigt, wie die Winkelfenster, die Einheitslastfälle definiert und die Lastaufteilung auf die Winkelfenster erfolgt. Dieses Beispiel sollte jeder durcharbeiten, der sich mit der Rotation von Bauteilen beschäftigt.	100 100 100 100 100 100 100 100 100 100
24	Rissfortschrittsrechnung einer Platte	Es wird für eine Platte mit einem Anriss eine Rissfortschrittsrechnung unter einem Ein-Stufenkollektiv durchgeführt und die Ergebnisse dargestellt.	Riss
25	Verwendung des Viewer4winLIFE	Der Handhabung des Viewers wird gezeigt. Sie vereinfacht die Ergebnisanalyse, da nicht mehr von winLIFE zum Post-Prozessor gewechselt werden muß. Statt dessen können die Ergebnisse der Schädigung, Auslastungsgrad, äquivalente Amplituden sofort in winLIFE dargestellt werden.	The control of the co
26	Feder nichtlinear	Die Berechnung einer Feder, die nichtlinear beansprucht wird, erfolgt. Die Berücksichtigung der Nichtlinearität soll in diesem Beispiel demonstriert werden.	Gelenke Druckfeder Kallt F
27	Schweißkonstruktion aus Blech	Prüfstandsversuche aus dynamischen Tests werden mit Berechnungsergebnissen aus winLIFE verglichen. Modellaufbau, Vernetzung und Ergebnisanalyse werden aufgezeigt.	Line of the second seco
28	FKM-Nachweis	Das Beispiel 6.1 der FKM-Richtlinie, Wellenabsatz, wird mit örtlichen Spannungen nachgerechnet. Der statische Nachweis und der Ermüdungsfestigkeitsnachweis werden berechnet.	(**-4mm) Biegung Torsion

	•	T	
29	FKM-Nachweis Gussbauteil	Das Beispiel 6.2 der FKM-Richtlinie, Gussbauteil, wird mit örtlichen Spannungen nachgerechnet. Der statische Nachweis und der Ermüdungsfestigkeitsnachweis werden berechnet.	Nachweispunkt
30	FKM-Nachweis Verdichterflansch	Das Beispiel 6.3 der FKM-Richtlinie, Verdichterflansch, wird mit örtlichen Spannungen nachgerechnet. Der statische Nachweis und der Ermüdungsfestigkeitsnachweis werden berechnet.	Flansch 112 113 110 110 110 110 110 110
31	Kupplung nichtlineare Charakteristik	Einfaches Beispiel zur Anwendung der Zuordnungsmatrix	Bandbedingoup fourt an Island
32	Mehrkörperdynamik	Für eine Fahrzeugachse, die mit Recurdyn untersucht wurde, wird eine Lebensdauerberechnung durchgeführt.	
33	Rissfortschrittsrechnung eines Druckbehälters	Ein periodisch beanspruchter Druckbehälter wird mit Hilfe der Rissfortschrittsrechnung mit Hilfe von Nennspannungen untersucht.	7 <u>2c</u>
34	Formelgenerator und dynamische Modulation	Es wird die Anwendung des Formelgenerators und die Generierung dynamischer Schwingungsanteile aus einer Messung gezeigt	100-
35	FKM / geschweißtes Profil	Ein Aluminium-Profil unter Biegebelastung wird nach der FKM- Richtline berechnet. Es erfolgt der statische und der Ermüdungsfestigkeitsnachweis für den Grundwerkstoff und die Schweißnaht.	Z _S , 15

36	FKM Aluminium Strukturbauteil wird nach FKM-Richtlinie berechnet	Ein geschweißtes Aluminium Bauteil wird nach FKM gerchnet. Es erfolgt der statische und der Ermüdungsfestigkeitsnachweis für den Grundwerkstoff und die Schweißnaht.	
40	Superposition	Überlagerung mehrerer Last-Zeit- Funktionen und Hinweise dazu	

2. Beispiel 1 / Nennspannungskonzept gekerbte Welle

Hinweis: Dieses Beispiel ist hier verkürzt beschrieben, da es auch als Video Datei auf der CD existiert.

Hinweis: Auf eine wichtige Grundregel bei der Programmbenutzung sei hingewiesen, die der Benutzer im Kopf behalten möge. Der Durchlauf der Menüpunkte bei einer Lebensdauerberechnung erfolgt von links nach rechts. Normalerweise dürfen keine Menüpunkte auf dem Weg von links nach rechts übersprungen werden. Wenn man dies beachtet, ist die Bedienung von winLIFE 4.0 vergleichsweise einfach.

Beispiel eins führt in die grundlegende Bedienung des Programms mit Hilfe eines Beispiels zum Nennspannungskonzept ein.

Die Eingaben und Ergebnisse sind in der folgenden Tabelle angegeben:

	Variante 1	Variante 2	Variante 3	Variante 4	Variante 5
Methode	Nicht geschweißt / Nennspannung / Einachsig uniaxial - Lastkollektiv	Nicht geschweißt / Nennspannung / Einachsig uniaxial - Lastkollektiv			
Werkstoff	S_N_example_1	S_N_example_1	S_N_example_1	S_N_example_1	S_N_example_1
Belastung	Load_example_1.ME S	Load_example_1.ME S	Load_example_1.ME S	Load_example_1.ME S	Load_example_1.ME S
Anzahl Klassen	100	100	100	100	100
Hysterese	0	0	0	0	0
Mittelspannung seinfl	Wöhlerlinientr.	Wöhlerlinientr.	Wöhlerlinientr.	Wöhlerlinientr.	Wöhlerlinientr.
Obere Grenze	1000	1000	550	200	200
Untere Grenze	-1000	-1000	-550	-200	-200
Multiplikator Anz.	1	1	1	1	1
Multiplikator Last	1	5	5	1.8	1.98
Art der Wöhlerlinie	ORIGINAL	ORIGINAL	ORIGINAL	ORIGINAL	ORIGINAL
Schadenssum me	0	0.00116	0.001103	0	1.064 E-5
exakte Lösung	0	0.001039	0.001039	0	1.01247 E-5

3. Beispiel 2 / Nennspannungskonzept gekerbte Platte

Hinweis: Dieses Beispiel ist hier verkürzt beschrieben, da es auch als Video Datei auf der CD existiert.

In diesem Beispiel wird eine quadratische, gekerbte Platte mit einer Dicke von 5 mm nach der Nennspannungsmethode berechnet.

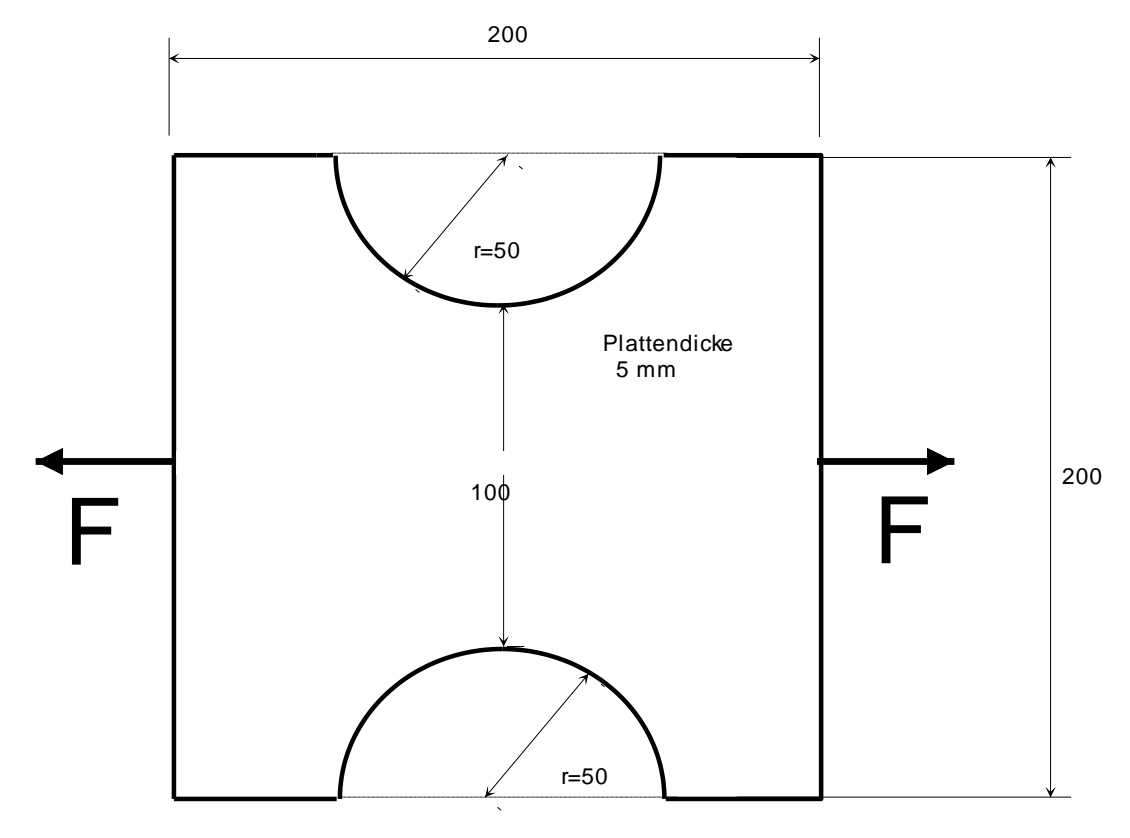


Bild 3-1: Ansicht der Platte des Beispiels im unverformten Zustand

Die Kantenlänge der Platte beträgt 200 mm, der Kerbradius beider Kerben je 50 mm. Als Belastung wird eine zeitveränderliche Last F, die zwischen 0 und 150 kN schwankt, angenommen. Diese Last soll als Streckenlast wirken. Die Anzahl der Lastspiele betrage 1000 und es soll die Frage beantwortet werden, welche Schadenssumme auftritt. Es wird ein Stahl St 37 verwendet, dessen Kennwerte aus dem Zugversuch bekannt sind.

3.1. Berechnung der Nennspannung

Zuerst soll die Berechnung nach der Nennspannungsmethode erfolgen. Die Nennspannung wird auf den Nettoquerschnitt bezogen und berechnet sich nach der Gleichung:

$$S = F / A$$

F ist die wirkende Kraft und A die Fläche des Querschnitts. Berechnet man die Nennspannung für 150 kN, so erhält man:

$$S = 150\ 000\ N / (100\ mm * 5\ mm) = 300\ N/mm^2$$

Da die Last zwischen 0 und 150 kN schwankt, ergeben sich als Minimal- und Maximalwerte der Nennspannung 0 bzw. 300 N/mm².

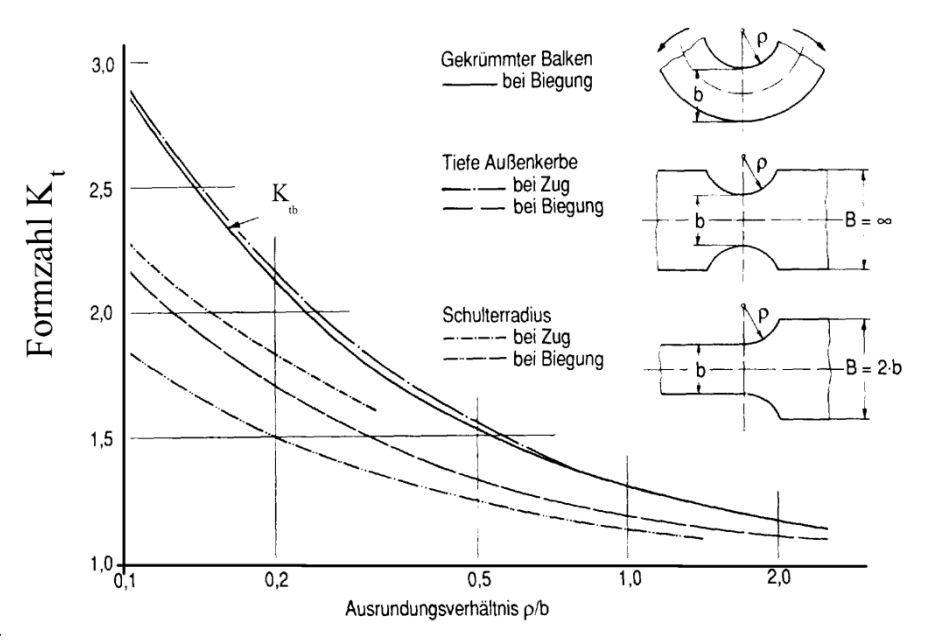
3.2. Generierung einer Bauteilwöhlerlinie

Um eine Lebensdauerberechnung durchzuführen wird eine Bauteilwöhlerlinie benötigt, in der die Eigenschaften des Materials und die des Bauteils berücksichtigt sind. Diese Bauteilwöhlerlinie wird an Hand der statischen Werkstoffkennwerte und der Bauteildaten generiert. Siehe dazu den Video-File.

Der einzugebende Formfaktor K_t kann in winLIFE 4.0 berechnet werden (s. Video). Man kann ihn jedoch auch aus Tabellenwerken entnehmen (s. Bild unten)

Im unserem Fall einer einfachen Platte mit Kerbe wird der Formfaktor aus folgendem Diagramm [2] entnommen. Mit den dort angegebenen Bezeichnungen Ausrundungsradius (entspricht unserem Kerbradius r=50mm) und b (entspricht

unserer Nettobreite von 100 mm) und dem daraus abgeleiteten Verhältnis 0,5 für den Fall Zug/Druck wird ein Wert von



 K_t =1,6 abgelesen.

Bild 3-2: Formfaktor als Funktion des Ausrundungsverhältnisses einer gekerbten Platte nach [2]

.

3.3. Zusammenstellung der Ergebnisse

Tabelle: Eingabedaten und Ergebnisse für Beispiel 2 (Nennspannungsmethode)

	Variante 1	Variante 2	Variante 3
Methode	Nicht geschweißt /	Nicht geschweißt /	Nicht geschweißt /
	Nennspannung /	Nennspannung /	Nennspannung /
	Einachsig uniaxial - Lastkollektiv	Einachsig uniaxial - Kräftebelastung	Einachsig uniaxial - Kräftebelastung
Werkstoff	Wird generiert	Wird generiert	Wird generiert
Belastung	Load_exampl_2.MES	Load_exampl_2.FME	Load_exampl_2.FME
Anzahl Klassen	100	100	100
Hysterese	0	0	0
Residuum berücks.	Keine Eingabe möglich	ja	ja
Mittelspannungseinfluß	Wöhlerlinientr.	Wöhlerlinientr.	Wöhlerlinientr.
Obere Grenze	310	310	310
Untere Grenze	-10	-10	-10
Multiplikator Anz.	1	1	100
Multiplikator Last	1	1	1
Art der Wöhlerlinie	ORIGINAL	ORIGINAL	ORIGINAL
Schadenssumme	0,00916	0,0000916	0,00916

4. Beispiel 3 / örtliche Spannungen und Datenübernahme aus FEM

Hinweis: Dieses Beispiel ist hier verkürzt beschrieben, da es auch als Video Datei auf der CD existiert.

Dieses Beispiel ist wieder die Platte aus Beispiel 2, wobei nun jedoch das *Örtliche Konzept* verwendet und eine Gegenüberstellung mit dem Nennspannungskonzept erfolgen soll.

Das FE-Modell wird mit einer gleichmäßigen "Einheitslast" von 100 000 N belastet, die in Form von 21 Kräften mit je 47 619 N (21*47619= 100 000) aufgebracht werden.

Man erhält dann als Ergebnis einer FE-Rechnung die berechneten Spannungen im folgenden Bild.

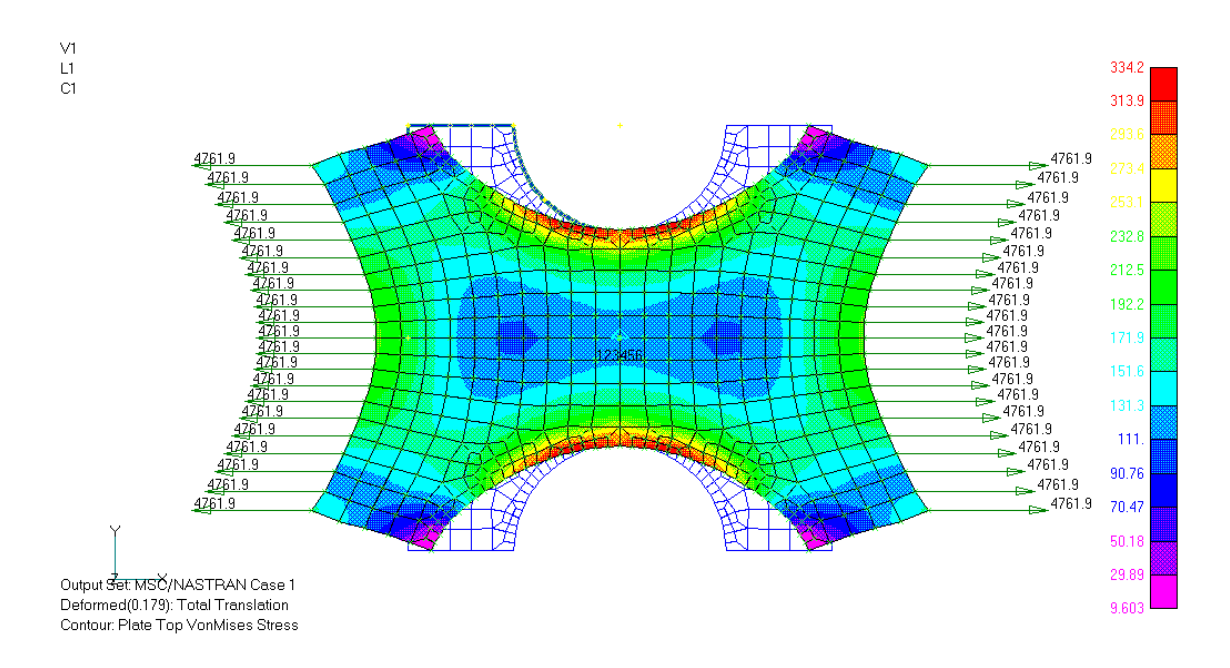
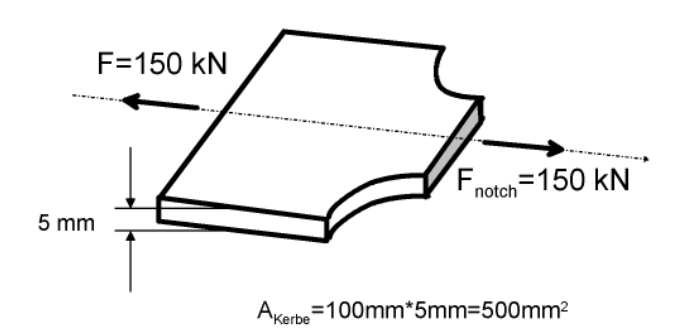


Bild 4-1: Platte mit Kerben und Belastung

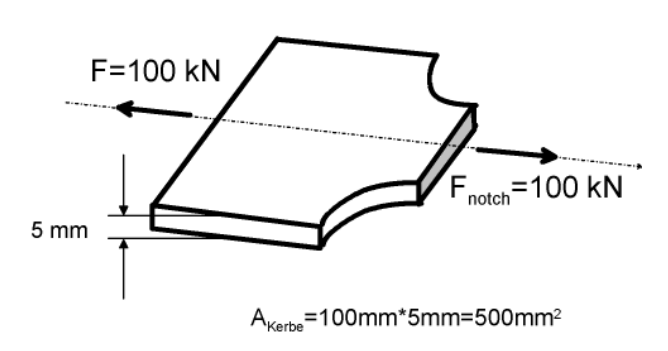
Berechnung der Nennspannung in Beispiel 2 und 3

Beispiel 2

Beispiel 3



S=150 000N / 500mm²=300N/mm²



S=100 000N / 500mm²=200 N/mm²

Bild 4-2: Vergleich zwischen Beispiel 2 und 3

Der Zusammenhang zwischen diesem Beispiel (Berechnung mit finiten Elementen) und dem Nennspannungskonzept (Beispiel 2) wird deutlich, wenn man die Formzahl K_t bestimmt.

Die Formzahl K_t ist das Verhältnis der maximalen elastischen Spannung zu der Nennspannung:

$$K_t = S_{max} / S_{nenn}$$

Die maximale Spannung läßt sich aus der FE-Berechnung ablesen. Sie beträgt 334.2 N/mm². Mit der Nennspannung

$$S_{nenn} = F / A = 100 000 N / 500 mm^2 = 200 N/mm^2$$

ergibt sich $K_t = 334,2 / 200 = 1,67$

Dieses Ergebnis stimmt brauchbar mit dem aus der Tabelle ermittelten aus Beispiel 2 überein.

Das Örtliche Konzept betrachtet meist die Spannungen und Dehnungen an dem Ort (evtl. den Orten), wo der Schaden erwartet wird, wobei auch das nichtlineare Werkstoffverhalten berücksichtigt wird.

Damit eine Vergleichbarkeit gegeben ist, wird das gleiche Material (St 37) und die entsprechende Lastfolge (LHIST_3.FME) bezüglich Beispiel 2 verwendet.

4.1. Ergebnisse

Das hier verwendete FE-Modell ist wegen der groben Elementierung nicht optimal, so dass die berechneten Spannungen von der Wirklichkeit abweichen werden. Die maximal berechnete Spannung führt zu einem K_t -Faktor von 1,64 (328/200). Vergleicht man nun die Ergebnisse der Berechnung nach dem Nennspannungskonzept (Beispiel 2), wo K_t =1,6 aus einer Grafik entnommen wurde, und dem örtlichen Konzept in Verbindung mit Finiten Elementen (Beispiel 3), so stellt man eine gute Übereinstimmung der Ergebnisse fest.

In vielen Fällen ist eine deutliche Abweichung der Ergebnisse zwischen den beiden Konzepten möglich, wobei das örtliche Konzept zumeist eine zu geringe Lastwechselzahl entsprechend einer zu großen Schädigung berechnet (somit auf der sicheren Seite liegt) während nach dem Nennspannungskonzept mit der originalen Wöhlerlinie insbesondere bei geringen Beanspruchungen eine zu geringe Schädigung (die Ergebnisse liegen auf der unsicheren Seite) berechnet wird [28].

Tabelle: Eingabedaten und Ergebnisse aus Beispiel 3

	Variante 1	Variante 2	Variante 3
Methode	Nicht geschweißt /	Nicht geschweißt /	Nicht geschweißt /
	örtl. Konzept/	örtl. Konzept/	örtl. Konzept/
	einachsig uniaxial- Kräftebelastung /	einachsig uniaxial- Kräftebelastung /	einachsig uniaxial- Lastkollektiv/
	FE-Schnittstelle benutzen /	FE-Schnittstelle benutzen /	FE-Schnittstelle benutzen /
	1 Lastfall	1 Lastfall	1 Lastfall
Werkstoff	E_N_example_3	E_N_example_3	E_N_example_3
Dauerfestigkeit	Default	Default	Default
Belastung	Load_example_3.FME	Load_example_3.FME	Load_example_3.MES
Anzahl Klassen	100	100	100
Hysterese	0	0	0
Residuum berücks.	ja	Ja	
Vorgabe f. Hystereseschleifen	stehend u. hängend	stehend u. hängend	stehend u. hängend
Werkstoffmodell	1xNeuber	1xNeuber	1xNeuber
Obere Grenze	160	160	160
Untere Grenze	-10	-10	-10
Multiplikator Anz.	1	100	1
Multiplikator Last	1	1	1
FE-Ergebnisdatei	FE_Lc1_example_3.LST	FE_Lc1_example_3.LST	FE_Lc1_example_3.LST
Kraft aus FE	100	100	100
VerglSpHyp.	Gestaltänder	rungsenergiehypothese	
Schadenssumme	0,000107	0,0107	0,0107
Knoten	284	284	284

Vergleicht man die Ergebnisse der Berechnung nach dem Nennspannungskonzept (Beispiel 2) und dem Örtlichen Konzept in diesem Beispiel, so findet man vergleichsweise geringe Differenzen der Schadenssummen. Dies liegt daran, dass die Daten der Beispiele sehr sorgfältig überprüft und angepaßt wurden.

Bei realen Beispielen in der Praxis können die Differenzen zwischen verschiedenen Berechnungskonzepten sehr viel größer sein und Abweichungen bis zu einem Faktor 10 sind nicht ungewöhnlich. Diese Abweichungen resultieren aus unterschiedlichen theoretischen Ansäten und auch unterschiedlich ermittelten Werkstoffdaten.

Es wird – insbesondere bei einem Einstieg in die Lebensdaueranalyse - empfohlen, nach verschiedenen Berechnungskonzepten (Örtliches Konzept und Nennspannungskonzept) zu rechnen und die Ergebnisse zu vergleichen.

Sollten größere Abweichungen als der Faktor 10 auftreten, so kann das ein Hinweis auf prinzipielle Fehler sein. Durch schrittweise Überprüfung der gesamten Berechnungskette sollte dann versucht werden, die Ursachen für den Unterschied festzustellen und mögliche Eingabe oder Datenfehler zu erkennen.

5. Beispiel 4 / Rainflow-Verfahren versus Werkstoff Memory

Die Konstruktion des Spannungs-Dehnungs-Pfades allein auf der Basis des Werkstoff-Memory soll in diesem Beispiel mit dem der Konstruktion des Spannungs-Dehnungspfades auf der Basis des Rainflow-Verfahrens verglichen werden. Dazu wird ein Beispiel aus [12] nachgerechnet. Dieses Beispiel wird mit folgenden (standardmäßig eingestellten) Optionen berechnet:

Parameter	gewählte Einstellung
Residuum	Nein
Dauerfestigkeit	Defaultdauerfestigkeit verwenden
Werkstoffmodell	2 x Neuber

Die Berechnung erfolgt

- ohne Verwendung von Klassen und nur unter Verwendung des Werkstoffgdächtnisses,
- unter Verwendung von Klassen und nur unter Verwendung des Werkstoffgdächtnisses,
- mit Hilfe der Rainflow-Zählung. Basierend darauf wird mit Hilfe der zyklischen Werkstoffdaten der Spannungs-Dehnungspfad unter der Annahme hängender und stehender Schleifen rekonstruiert.

Das Beispiel soll ein Verständnis für die Vorgänge beim Örtlichen Konzept wecken.

5.1. Zusammenfassung und Diskussion der Ergebnisse

	Variante 1	Variante 2	Variante 3
Methode	Nicht geschweißt/	Nicht geschweißt/	Nicht geschweißt/
	örtl. Konzept/	örtl. Konzept/	örtl. Konzept/
	Einachsig uniaxial - Kraft	Einachsig uniaxial - Kraft	Einachsig uniaxial - Kraft
Werkstoff	E_N_example_4	E_N_example_4	E_N_example_4
Werkstoffmodell	2xNeuber	2xNeuber	2xNeuber
Dauerfestigkeit	Default	Default	Default
Belastung	Load_example_4.fme	Load_example_4.fm e	Load_example_4.fme
Anzahl Klassen	200	200	200
Hysterese	0	0	0
Residuum berücks.	Nein	Nein	Nein
Obere Grenze	1001	1001	1001
Untere Grenze	-501	-501	-501
Multiplikator Anz.	1	1	1
Multiplikator Last	10	10	10
FE-Daten	keine	Keine	Keine
Schadensberechnung	fortlaufende Schleifen klassiert	Fortlaufende Schleifen	stehende und hängende Schleifen klassiert
Schadenssumme	0,01005	0,009908	0,01003
Knoten			

Das Ergebnis der Rechnungen zeigt, dass in dem Beispiel die Schadenssumme nicht gravierend durch das Verfahren der Schadensberechnung beeinflußt wird.

Die Berechnungsverfahren auf der Basis des Spannungs-Dehnungs-Pfades können bei kurzen Last-Zeit-Funktionen interessant sein, doch wird kann man bei Standardproblemen aus Gründen der Rechenzeit die Schadensberechnung aus der Rainflow-Matrix ableiten.

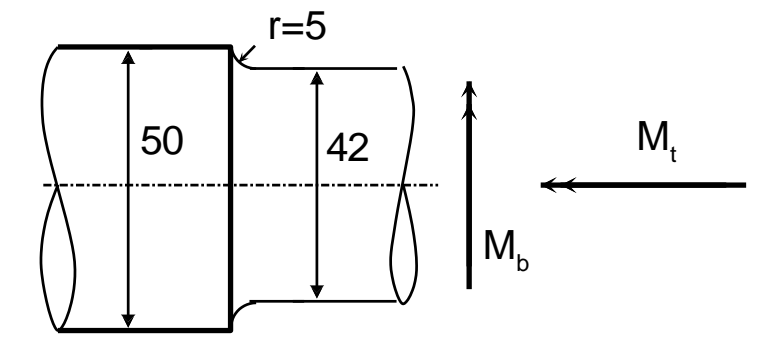
6. Beispiel 5 / Vergleich mit FKM-Richtlinie

Das folgende Beispiel stammt aus der FKM-Richtlinie (Seite 213), in der verschiedene Nachweise – z.B. der statische Nachweis - erbracht werden. Hier sollen nur die Betriebsfestigkeitsaspekte nachgerechnet werden.

Der Ablauf ist in dem Video detailliert dargestellt.

Gegeben ist eine abgesetzte Welle aus Walzstahl, die durch Biegung und Torsion belastet sei.

Aufgabe soll es sein, die Bauteilwöhlerlinie zu ermitteln und mit der FKM-Richtlinie zu vergleichen.



Nennspannungen infolge von Biegung +- 150 MPa

Nennspannungen infolge von Torsion 50 +- 150 MPa

Bild 6-1: Abmessungen und Belastung des Bauteils

Gegeben:

Spannungen:

Einstufenbelastung aus Biegemoment, was zu einer Nennspannung von +- 150 MPa führt,

Tors	ionsmoment M	, was zu einer	Nenr	ischu	bspannun	g von	50 -	⊦- 10	0 MPa 1	führe.
------	--------------	----------------	------	-------	----------	-------	------	-------	---------	--------

Werkstoff:

Walzstahl 41 Cr4 nach DIN EN 10 083

Zugfestigkeit und Streckgrenze für die Normabmessung:

 $R_{M,N}$ = 1000 MPa $R_{e,N}$ = 800 MPa

Größen zur Bestimmung des technologischen Größeneinflusses:

Durchmesser des Normprüfkörpers $D_{eff} = 16 \text{ mm}$

Kennwert zur Berechnung des Größeneinflusses adm=0,3

Abmessungen aus Zeichnung., mittlere Oberflächenrauheit R_Z=10 μm

Zur Eingabe der Werte ist der Button Generator anzuklicken und dann öffnet sich die rechte Seite der Maske zur Eingabe in folgender Weise:

Berechnungsmethode FKM

Werkstoff Walzstahl

Belastung Biegung

Rm 1000

Re 800

Rauhtiefe

Die Rautiefe ist mit 10 gegeben und wird in die Hauptmaske eingetragen.

Kv

Es liegt keine Randschichtverfestigung vor, so dass Kv = 1,0 unverändert gelassen wird.

Temperatur

Es wird vorgegebene Umgebungstemperatur von 20 Grad Celsius verwendet.

 D_eff

Der effektive Durchmesser des Bauteils beträgt in der Kerbe 42 mm. Diese Information wird verwendet, um den Größeneinfluss zu berücksichtigen.

D_effN

Der Durchmesser der Proben zur Werkstoffdatenermittlung ist mit 16 mm gegeben.

adm

Der Kennwert zur Berücksichtigung des Größeneinflusses ist mit 0,3 gegeben.

Anisotropiefaktor

Es liegt keine Anisotropie vor, so dass der Wert auf 1 belassen wird.

K_NL

Es sind keine Besonderheiten bezüglich Oberflächenrauhigkeit gegeben, so dass K_NL unverändert mit 1 belassen wird.

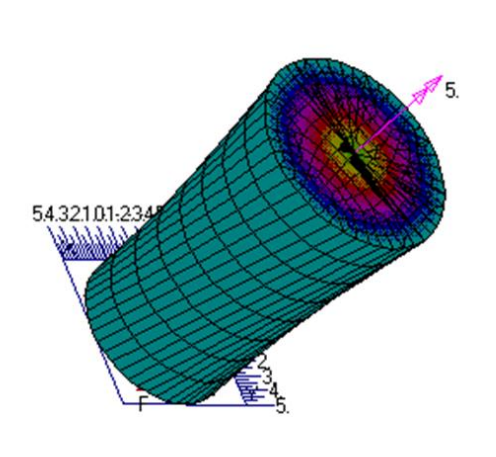
Den Vergleich der Ergebnisse der FKM-Beispielrechnung und winLIFE 4.0 zeigt die Tabelle:

	FKM-Beispielrechnung	winLIFE
Zug-Druck-Wechselfestigkeit MPa	403	402,94
Biegewechselfestigkeit MPa	261	261,3
Mittelspannungsempfindlichkeit (Biegung)	0,213	0,213
Torsionswechselfestigkeit MPa	190	189,93
Mittelspannungsempfindlichkeit (Torsion)	0,123	0,123
Formzahl Kt (Biegung)	1,557	1,557
Formzahl Kt (Torsion)	1,28	1,28
χ* (Biegung)		=0,5425
χ* (Torsion)		=0,23

Es zeigt sich, dass sich eine sehr ähnliche Bauteilwöhlerlinie ergibt.

7. Beispiel 6 / Zylinder unter Zug und Torsion (multiaxial)

Auf einen Zylinder wirken ein zeitveränderliches Torsionsmoment und Zug-Druckkräfte. Gesucht ist die Lebensdauer unter dynamischer Belastung.



54.321.01:23.45

Bild 7-1: Ansicht des Einheitslastfalls des FE-Modells (Torsion)

Bild 7-2: Ansicht des Einheitslastfalls des FE-Modells (Zug-Druck)

Dieses Beispiel ist sehr einfach gewählt, so dass die gesamte Berechnung überschaubar ist und auch mit den Methoden der elementaren Mechanik nachvollzogen werden kann. Die äußere Belastung resultiert aus einem Torsionsmoment mit dem Betrag 5 Nmm.

_				
10	rsioı	nem	α m	nt•
10	וטוטו	10111	OHI	νiiι.

$$M_t = 5Nm \\$$

Die aus den Einzelkräften resultierende

Zugkraft:
$$F = -1N$$

ist hier negativ, da sie als Druckkraft vorgegeben ist.

Die sich ergebenden Spannungen betragen:

Zugspannung

$$\sigma = F/A = -78.5 \text{ N/mm}^2 = 0.012 \text{ N/mm}^2 = 120 \text{ N/cm}^2$$

Torsionsspannung

$$\tau = M_t/W_p = 5Nm/196.34cm^3 = 2,54 \text{ N/cm}^2$$

In diesem Beispiel wird eine Last-Zeit-Funktion verwendet, die dazu führt, dass sich diese einzelnen Spannungszustände einschließlich verschiedener Überlagerungen ergeben. Die zugehörigen Mohrschen Kreise können dargestellt und analysiert werden. Da dieses hier gezeigte Vorgehen auch bei komplexen Strukturen praktiziert wird, sollte es der Benutzer nachvollziehen. Es werden sich die in Bild 0-3: Spannungszustände bei reiner Torsion (links) und reinem Zug (rechts)

dargestellten Mohrschen Kreise für reine Torsion und reine Zugbelastung und die überlagerten Zustände ergeben und können mit detailliert dargestellt und untersucht werden.

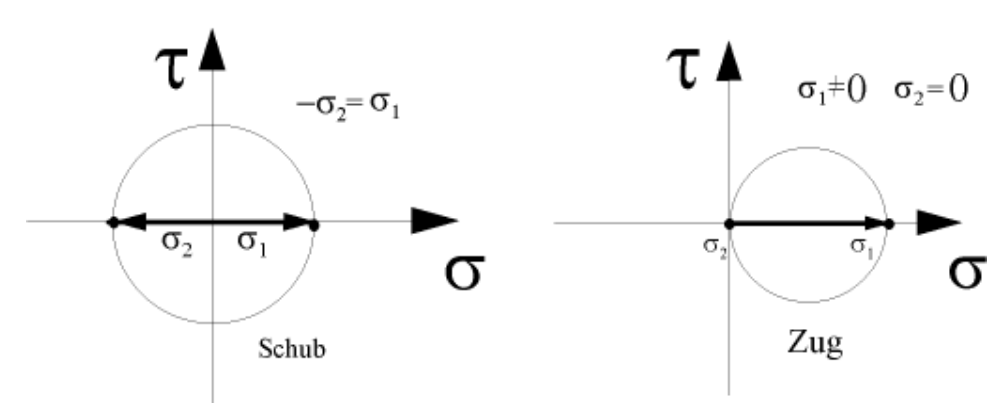


Bild 7-3: Spannungszustände bei reiner Torsion (links) und reinem Zug (rechts)

Tabelle: Zusammenfassung aller wichtigen Daten des Beispiels

	Lastfall 1	Lastfall 2	
Methode	Nicht geschweißt/	Nicht geschweißt/	
	Kerbspannung/	Kerbspannung/	
	Mehrachsig multiaxial - Kräftebelastung	Mehrachsig multiaxial - Kräftebelastung	
Werkstoff	S_N_example_6	S_N_example_6	
Belastung	Load_example_6_1.FME	Load_example_6_2.FME	
Zeitraffung/Hysterese	nein	Nein	
Anzahl Klassen	100	100	
Hysterese/Rainflow	0	0	
Obere Grenze	Automatische Berechnung	Automatische Berechnung	
Untere Grenze	der Grenzen	der Grenzen	
Multiplikator Anz.	1	1	
Multiplikator Last	1	0,5	
Datei des FE- Einheitslastfalls	FE_lc_1_example_6.LST	FE_lc_2_example_6.LST	
VerglSp. Hypothese	modif. GE-Hypothese/ Vorzeichen aus Normalspg.	modif. GE-Hypothese/ Vorzeichen aus Normalspg.	
Kraft aus FE	1	1	
Knotenauswahl	941_984.KNO	941_984.KNO	
Residuum berücksichtigen	ja	ja	
Anzahl der Schnittebenen	20	20	
Schadensberechnung	originale Form Wöhlerlinientransformation	originale Form Wöhlerlinientransformation	
Schadenssumme	3,105*10 ⁻⁶		
Knoten	941		

8. Beispiel 7 / Lenker unter Längs- und Querkraft (multiaxial)

Das nun folgende Beispiel könnte eine realistische Anwendung aus dem Maschinen- oder Fahrzeugbau sein. Der im Bild abgebildete Lenker wird durch zwei voneinander unabhängige Kraftgruppen belastet, für die Meßwerte vorliegen. Aufgabe ist die Berechnung der Lebensdauer für das durch Messung gefundene Belastungskollektiv.

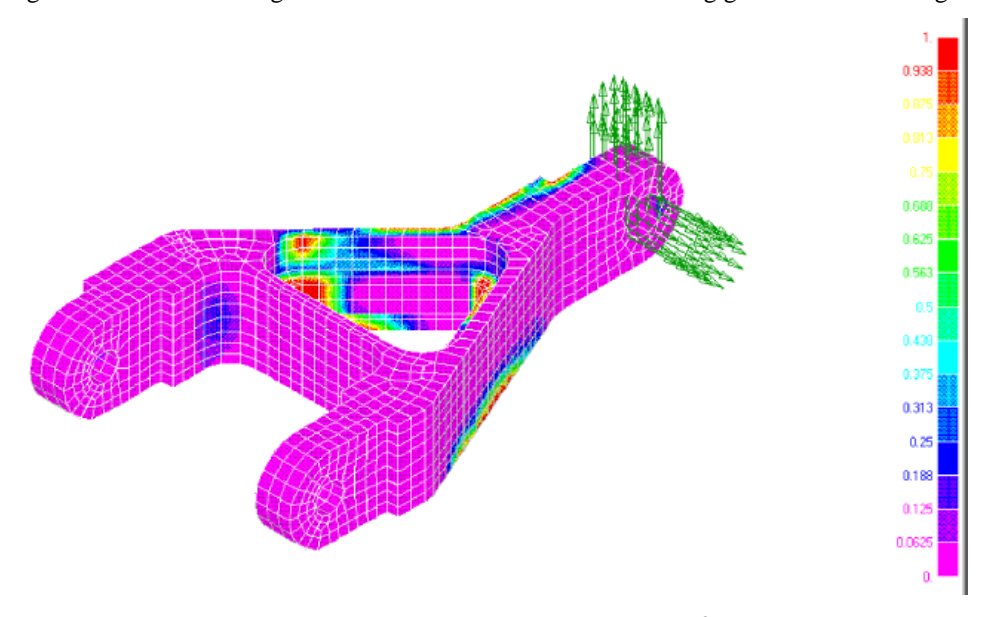


Bild 8-1: Lenker, der durch 2 zeitveränderliche Kraftgruppen belastet wird.

Dieses Beispiel zeigt ein in der Realität häufig anzutreffendes Problem großer Datenmengen und daraus resultierend langer Rechenzeiten. Diese Problematik wird hier durch Zeitraffung der Last-Zeit-Funktion gelöst, so dass eine Rechenzeit von nur wenigen Minuten auftritt obwohl alle Knoten der Oberfläche untersucht werden.

Die Ergebnisse zweier Rechenläufe sind in der Tabelle angegebene. Die Daten des zweiten Durchlaufs ohne Zeitraffung sind in Klammern angegeben. Einstellungen, die nur einmal erscheinen sind in beiden Durchläufen gleich.

Tabelle: Zusammenfassung der Daten des Beispiels für den Durchlauf mit und ohne (Klammerwerte) Zeitraffung.

	Lastfall 1	Lastfall 2		
Methode	Nicht geschweißt/	Nicht geschweißt/		
	Kerbspannung/	Kerbspannung/		
	mehrachsig multiaxial – Kräftebelastung	mehrachsig multiaxial – Kräftebelastung		
	FE-Schnittstelle/	FE-Schnittstelle/		
	2 Lastfälle	2 Lastfälle		
Werkstoff	S_N_example_7			
Belastung	Load_example_7_1.FME	Load_example_7_2.FME		
Zeitraffung/Hysterese	10 % (0)	10 % (0)		
Anzahl Klassen	50 (100)	50 (100)		
Hysterese/Rainflow	0	0		
Obere Grenze	Automatis	che Berechnung der		
Untere Grenze		Grenzen		
Multiplikator Anz.	1	1		
Multiplikator Last	1	1		
Datei des FE-Einheitslastfalls	FE_lc1_example_7.lst	FE_lc2_example_7.lst		
VerglSp. Hypothese	modif. GE-Hypothese Vorz aus Normalspg.	modif. GE-Hypothese Vorz aus Normalspg.		
Kraft aus FE	100	100		
Knotenauswahl	Alle (max_schad.kno)	Alle (max_schad.kno)		
Residuum berücksichtigen		Ja		
Anzahl der Schnittebenen		8 (20)		
Schadensberechnung		elementare Form Wöhlerlinientransformation		
Schadenssumme	0,000070457 (0.0000682)			
Knoten	1018			

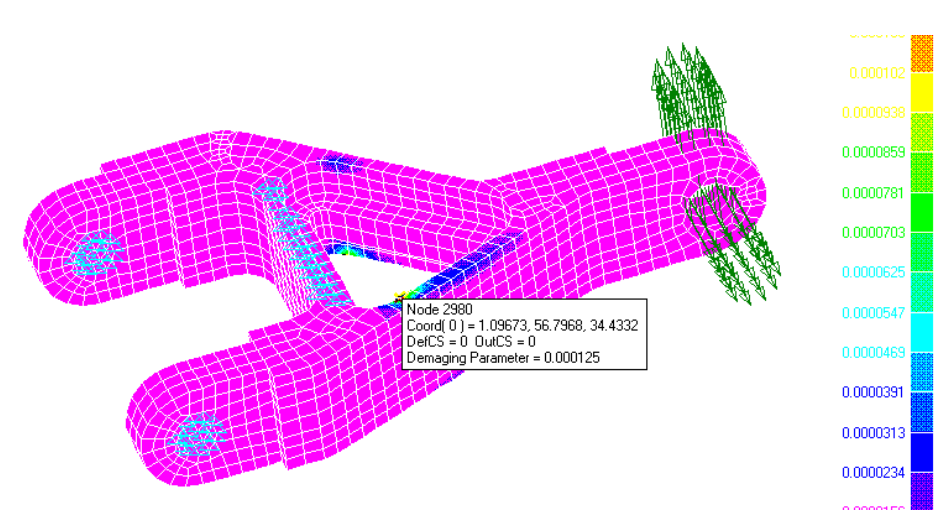


Bild 8-2: Linien gleicher Schädigung (FEMAP -Grafik)

Eine kritische Analyse der Ergebnisse ist nun notwendig, was hier am Beispiel von Knoten 1288 geschehen soll. Zunächst kann für jeden Knoten ein Protokollfile dargestellt werden, der die wichtigsten Eingabedaten und auch alle zur Überprüfung notwendigen Zwischenergebnisse enthält. Dieser Protokollfile kann sehr groß sein.

9. Beispiel 8 / Verwendung von Dehnungsmessungen

Hinweis: Dieses Beispiels ist als Video-Datei mit umfangreicher Erläuterung auf der winLIFE 4.0 -CD vorhanden.

Die Daten dieser Untersuchung stammen aus dem FKM-Forschungsvorhaben Nr. 235 [46], an dem Forschungsstellen wie LBF, Uni Clausthal und Automobilfirmen beteiligt waren.

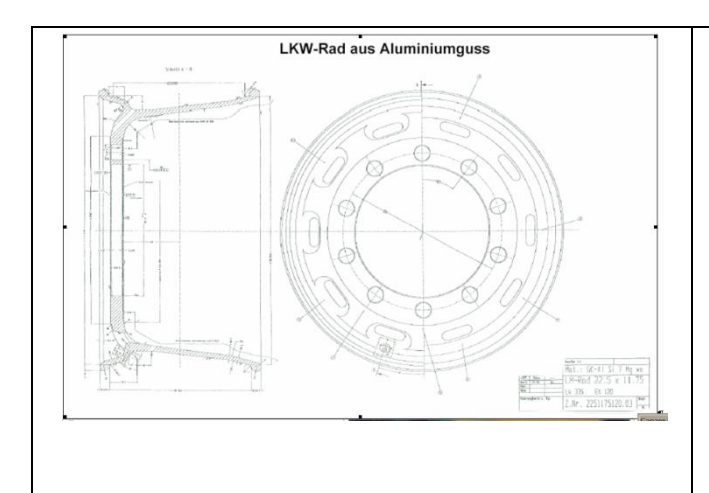
Gegeben ist ein Nutzfahrzeugrad der Größe 22,5" x 11,75" aus GK-AlSI 7 Mg im warmausgehärteten Zustand. Die Räder wurden im Kokillenguss-Verfahren hergestellt und im Bereich des Felgenbettes sowie im Bereich der Verschraubung mit der Nabe spanend bearbeitet.

Die Versuche wurden unter einem standardisierten Belastungsprogramm "Europazyklus-N" für Vorderachsräder ohne Gelände im Zweiaxialen Rad/Nabenversuchstand für Radlasten vorgenommen. Das Ergebnis aus mehreren Versuchen war eine mittlere Laufstrecke von

14 200 km bis zum Anriss und 18 500 km bis zum Bruch

Beim Aufbringen der Belastung wurde in folgender Weise vorgegangen:

- -Vorspannung durch Befüllung mit dem vorgeschriebenen Luftdruck
- -Vorspannung beim Anziehen der Radmutter
- -Beanspruchung für eine Runde "Europazyklus-N"



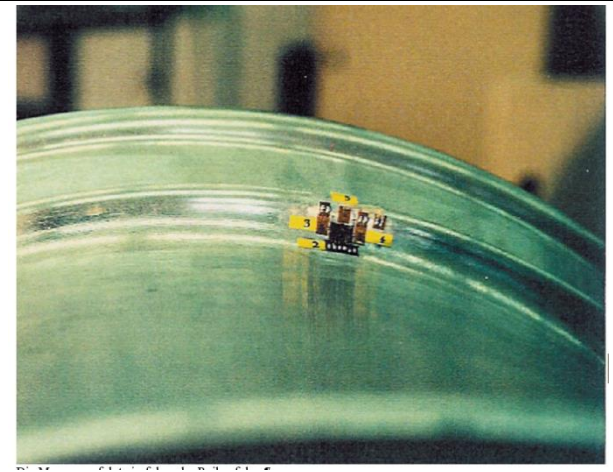


Bild 9-1: Ansicht der Lkw-Felge aus Aluminium-Guss

Bild 9-2: Ansicht der Anordnung der DMS auf der Felge

Die Messung erfolgte in folgender Reihenfolge:

Anziehen der Radmuttern; Messung; Nullabgleich

Aufpumpen ; Messung; Nullabgleich Messung auf dem Rundzyklus (65 km)

Dies bedeutet, dass die Messung auf dem Rundzyklus nicht die Vorspannungen enthält, sondern dass diese noch hinzuaddiert werden müssen. Die Werte der einzelnen Kanäle wurden für das Anziehen und Aufpumpen in folgender Weise erhalten. 1 V entspricht 99,502 MPA bei 0,1363 % Dehnung (Emod = 73000 N/mm2)

	Rosette Richtg.	Kalibrierwerte	Dehnung/Spannung Anziehen	Dehnung/Spannung Aufpumpen
Kanal 1: sad 1	X	1 V = 0,1363 %	0.00012329 9 MPA	+ 0.0016712 122 MPA
Kanal 2: sad 2	Y	1 V = 0,1363 %	+ 0.0000411 6 MPA	+0.0000959 68 MPA
Kanal 3: sad 3	Z	1 V = 0,1363 %	+ 0.0000822 3 MPA	+ 0.0009315 7 MPA

Die Ergebnisse der Messung für 65 km Fahrstrecke befinden sich in der Datei rad04.asc im winLIFE 4.0 -Verzeichnis mit den Beispieldaten

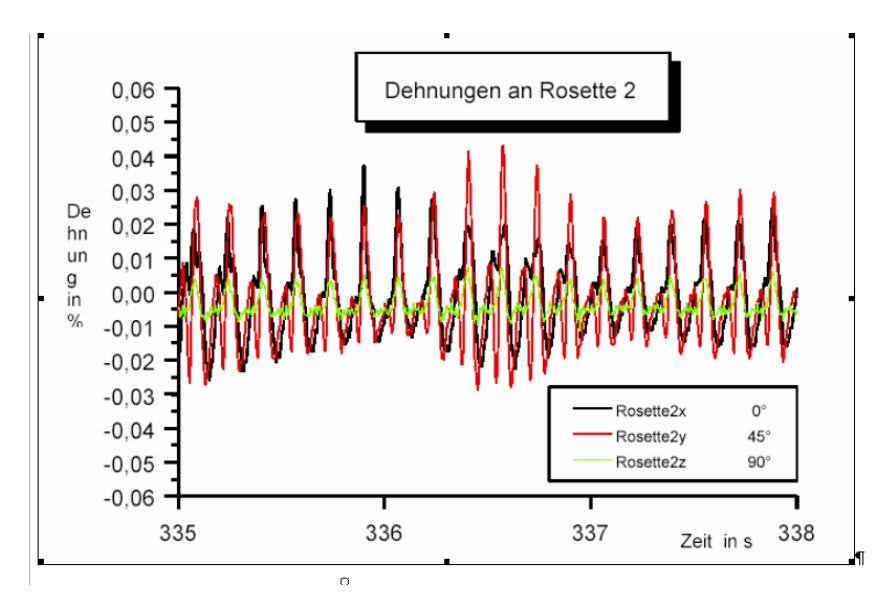


Bild 9-3: Ausschnitt aus der Dehnungsmessung

Um aus den Dehnungsmessungen die tatsächliche Dehnung zu berechnen, müssen die Offsets aus dem Anziehen der Radmuttern und der Luftdruckbelastung hinzuaddiert werden.

Die Gleichungen sehen dazu folgendermaßen aus:

9.1. Umrechnung Rosettenmesswerte in ebenen Dehnungszustand

X, Y, Z sind die gemessenen Spannungen in Volt, die mit dem Kalibrierwert multipliziert die gemessene Dehnung im Fahrversuch ergeben. Die Anteile aus Anziehen der Muttern (2. Summand) und Aufpumpen (3. Summand) kommen noch hinzu und die Umrechnung in die wirkliche Gesamtdehnungen ergibt sich durch die Gleichungen:

$$\begin{split} \epsilon_x &= \ X * 0.001363 & + 0.00012329 & + 0.0016712 \\ \epsilon_y &= \ Z * 0.001363 & + 0.0000411 & + 0.0000959 \\ \epsilon_{xx} &= \ Y * 0.001363 & + 0.0000822 & + 0.0009315 \\ \epsilon_{xy} &= \ ex + \ ey - 2.0 * \ exx \end{split}$$

9.2. Umrechnung der Rosettenwerte in ebenen Spannungszustand

Die Umrechnung der Dehnungen in Spannungen erfolgt durch die Gleichungen für den ebenen Spannungszustand (E-Modul =73000 und Querkontraktionszahl=0,3):

$$\begin{split} &\sigma_x = 73000 \ / \left(1\text{-}(0.3\!*\!0.3)\right) * \left(\epsilon_x + 0.3 * \epsilon_y\right) \\ &\sigma_y = 73000 \ / \left(1\text{-}(0.3\!*\!0.3)\right) * \left(\epsilon_y + 0.3 * \epsilon_y\right) \\ &t_{xy} = 73000/(2\!*\!(1\!+\!0.3)) * \epsilon_{xy} \end{split}$$

Diese Informationen müssen nun in win LIFE $4.0\,$ eingegeben werden.

Hinweis: Das weitere Vorgehen sehen Sie in der Videodarstellung

10. Beispiel 9 / Aufruf aus einer Batch-Prozedur

Hinweis: Das Beispiel ist durch ein Video dokumentiert, das sich auf der CD befindet.

Man kann winLIFE 4.0 mit Parametern über Betriebssystembefehle - also ohne GUI - starten. Auf diese Weise lassen sich automatisch ablaufende Batch-Prozeduren definieren. Dies ist dann sinnvoll, wenn man immer wiederkehrend ähnliche Probleme mit nur wenig geänderten Parametern zu bearbeiten hat.

In diesem Beispiel wird der Einfluss der Dauerfestigkeit auf die Lebensdauer untersucht. Ausgehend von einer Projektdatei werden Kopien erstellt, in denen lediglich der zu variierende Parameter, die Dauerfestigkeit, geändert wird.

Es wird eine Batch-Datei erstellt, die den automatischen Ablauf mehrere winLIFE 4.0 -Berechnungen bewirkt.

11. Beispiel 10: Zahnräder und Lager

In diesem Beispiel wurde:

im ersten Schritt

eine komplette Zahnradauslegung beispielhaft durchgeführt, bei der auch viele Daten ermittelt wurden, die für eine Lebensdauerberechnung nicht erforderlich sind.

Im zweiten Schritt

wurde für das so ausgelegte Zahnrad eine Lebensdauerberechnung durchgeführt. Dabei wird auf die Ergebnisse des ersten Schrittes zurückgegriffen, wobei nur einige Daten aus dem ersten Schritt benötigt werden.

Die Zahnradauslegung erfolgte mit dem Programm ZAR der Firma HEXAGON-Software, die von uns empfohlen wird, da die Terminologie der Beschreibung und die Rechenverfahren aufeinander abgestimmt sind.

Das Programm ZAR kann direkt vom Hersteller

HEXAGON Software Stiegelstr. 8 73230 Kirchheim

ober aber über uns bezogen werden.

11.1. Zahnradauslegung mit HEXAGON

Bei der Nachstellung dieses Beispiels empfiehlt es sich auch, das Kapitel Benutzeroberfläche HEXAGON zu lesen, da Teile der Eingabe dort beschrieben werden.

11.1.1. Ergebnisdaten Geometrie

Für die Eingabefelder des Beispielzahnrades mit den Zähnezahlen 16/58 erhält man die folgenden Geometrieergebnisse:

+				+
ZAR1+ V22.4 Zahnradgeom Körner (eingeschränkte Sei D:\A-HIM\STZ-Willmerding-	minarversior Mercedes\Bei	n) .spiel-16	02.11.201	
Stirnrad Stirnrad Anwendungsbeispiel zur Demoversion		Nr.: 0	00000	 : : :
		Einheit	Rad 1	Rad2 ¦
Eingriffswinkel	alpha	Grad	20.000	000
Schrägungswinkel	beta	Grad	9.000	000
Normalmodul	mn	mm	6.500	0
Stirnmodul	mt		6.581	L O
Zähnezahl	Z		16	58
Profilverschiebungsfaktor	х		0.5200	0.5700
Achsabstand	a	mm	249.99	96
Achsabstand Abmaß	Aa			± 0.023
Null-Achsabstand	a0	mm	243	. 498
Zahnbreite	b	mm	88.00	88.00
tragende Zahnbreite	b eff.		88.	

Teilkreisdurchmesser	d		105.296	
Wälzkreisdurchmesser	dw	mm	108.106	391.885
Fußkreisdurchmesser	df	mm	95.696	372.653
Fußkreistoleranz	A df	mm	-0.110	-0.165
Grundkreisdurchmesser	db	mm	98.801	358.155
Kopfkürzung	kmn	mm	0.000	0.000
Kopfspiel mit Kopfhöhenänd.	ck	mm	1.196	1.196
theor.Kopfkreisdurchmesser	da th	mm	125.056	402.109
Kopfkreisdurchmesser	da	mm	124.946	401.903
Kopfkreistoleranz	A da			-0.165
Zahnhöhe	h		14.625	
Übersetzungsverhältnis	u		3.	63

BERECHNETE WINKEL

Stirneingriffswinkel Teilzyl.	alpha t Grad	20.229
Schrägungswink.am Grundkreis	beta b Grad	8.453
Stirneingriffswinkel Wälzzyl.	alpha wt Grad	23.946

ÜBERDECKUNGSFAKTOREN

Akt.Fußnutzkreisd.Kopf	dNa	mm	124.946	401.903
Fußnutzkreisdurchm.			100.923	
Formkreisdurchmesser	dFf	mm	98.801	374.792
Eingriffsstrecke	g alpha	mm	27.9	50
Profilüberdeckung	eps.alph	na	1.4	41
Sprungüberdeckung	eps.beta		0.6	
Gesamtüberdeckung	eps.gamm		2.1	15
SPEZIFISCHES GLEITEN				
Spezif.Gleiten Zahnkopf	zeta a		0.544	0.591
Spezif.Gleiten Zahnfuß	zeta f		-1.444	-1.193
ABMESSUNGEN DES VERZAHNUNGSWERKZI	EUGS			
Fußhöhenfaktor Werkzeug	hfP0/mn		1.000	1.000
Fußhöhe des Werkzeugs			6.500	
	haP0/mn		1.250	1.250
	haP0	mm	8.125	8.125
Kopfrundungsradius Werkzeug	rhoaP0/m	nn	0.250	0.250
Kopfrundungsradius Werkzeug	rhoaP0	mm	1.625	1.625
Fußausrundungsrad. Werkzeug				

Fußausrundungsrad. Werkzeug	rhofP0	mm	0.000	0.000
PROFILVERSCHIEBUNGSFAKTOREN				
Profilverschiebungsfaktor				
Erzeug.prof.versch.f. fertig			0.50732	
Erzeug.prof.versch.f. fertig	xemax		0.51155	0.55415
Erzeug.prof.versch.f. fertig	xemin		0.50309	0.54147
ZAHNTEILUNGEN, ZAHNABMESSUNGEN				
Normalteilung	pn	mm	20.420	
Teilkreisteilung (Stirn-)	pt	mm	20.675	
Grundkreisteilung	pbt	mm	19.400	
Stirneingriffsteilung	pet	mm	19.400	
Normaleingriffsteilung	pen		19.189	
	sn th.	mm	12.671	12.907
Normalzahndicke max.	sn max	mm	12.631	12.832
Normalzahndicke min.	sn min	mm	12.591	12.772
	st	mm	12.829	13.068
Zahnkopfdicke max.	san max	mm	2.657	4.475

Zahnkopfdicke min.				
	sat max	mm	2.690	4.530
Stirn-Zahnkopfdicke min.	sat min	mm	2.642	4.466
Normallückenweite	en	mm	7.750	7.513
Stirnlückenweite	et	mm	7.846	7.607
Ersatz-Zähnezahl	zn		16.557	60.020
BEARBEITUNGSZUGABE				
Bearbeitungszugabe			0.000	
Toleranz Bearbeitungszugabe				
TOLERANZEN, FLANKENSPIEL				
TOLERANZEN, FLANKENSPIEL Toleranzfeld nach DIN 3967			 e 25	 e 25
TOLERANZEN, FLANKENSPIEL	Asne	 mm	e 25 -0.040	e 25
TOLERANZEN, FLANKENSPIEL Toleranzfeld nach DIN 3967 Oberes Zahndickenabmaß Unteres Zahndickenabmaß	Asne Asni	mm mm	e 25 -0.040 -0.080	e 25 -0.075
TOLERANZEN, FLANKENSPIEL Toleranzfeld nach DIN 3967 Oberes Zahndickenabmaß Unteres Zahndickenabmaß Zahndickentoleranz	Asne Asni Tsn	mm mm	e 25 -0.040 -0.080	e 25 -0.075 -0.135
TOLERANZEN, FLANKENSPIEL Toleranzfeld nach DIN 3967 Oberes Zahndickenabmaß Unteres Zahndickenabmaß Zahndickentoleranz Min.theor.Flankenspiel	Asne Asni Tsn	mm mm 	e 25 -0.040 -0.080 40	e 25 -0.075 -0.135 -0.135
TOLERANZEN, FLANKENSPIEL Toleranzfeld nach DIN 3967 Oberes Zahndickenabmaß Unteres Zahndickenabmaß Zahndickentoleranz Min.theor.Flankenspiel Max.theor.Flankenspiel	Asne Asni Tsn jtmin	mm mm µm mm mm	e 25 -0.040 -0.080 40 0.0	e 25 -0.075 -0.135 -0.135 -0.135
TOLERANZEN, FLANKENSPIEL Toleranzfeld nach DIN 3967 Oberes Zahndickenabmaß Unteres Zahndickenabmaß Zahndickentoleranz Min.theor.Flankenspiel Max.theor.Flankenspiel	Asne Asni Tsn jtmin jtmax	mm mm um mm mm	e 25 -0.040 -0.080 40 0.0	e 250.0750.135 60 99 35 0.029

PRUFMASSE

Meßzähnezahl	k		3	8
Zahnweite theor.	W	mm	51.7932	151.9210
Zahnweite fertig max.	Wmax	mm	51.756	151.850
Zahnweite fertig min.	Wmin	mm	51.718	151.794
Zahnweitentoleranz	TW	mm	0.038	0.056
Kugel-und Rollendurchmesser		mm	12.000	12.000
Diametr.Zweikugelmaß theor	MdK	mm	128.008	406.679
Diametr.Zweikugelmaß fert.max	MdKmax	mm	127.935	406.509
Diametr.Zweikugelmaß fert.min	MdKmin	mm	127.862	406.373
Toleranz Zweikugelmaß		mm	0.073	0.136
Diametr.Zweirollenmaß theor.		mm	128.008	406.679
Diametr.Zweirollenmaß fert.max	MdRmax	mm	127.935	406.509
Diametr.Zweirollenmaß fert.min	MdRmin	mm	127.862	406.373
Toleranz Zweirollenmaß			0.073	
ZULÄSSIGE ABWEICHUNGEN NACH DIN	3961			
Verzahnungsqualität nach DIN 396			6	6
Profil-Formabweichung	ff	μm	12	12

Profil-Winkelabweichung	fHalpha	μm	8	8
Profil-Gesamtabweichung	Ff	μm	15	15
Teilungs-Einzelabweichung	fp	μm	10	11
Teilungssprung	fu	μm	12	13
Teilungs-Gesamtabweichung	Fp	μm	32	41
Teilungs-Spannenabweichung	Fpk	μm	41	52
Rundlaufabweichung	Fr	μm	25	30
Zahndickenschwankung	Rs	μm	14	18
Flankenlinien-Gesamtabweich.	Fbeta	μm	14	14
Flankenlinien-Winkelabweich.	fHbeta	μm	10	10
Flankenlinien-Formabweichung	fbeta f	μm	10	10
Zweiflanken-Wälzabweichung	Fi"	μm	28	33
Zweiflanken-Wälzsprung	fi"	μm	12	15
Einflanken-Wälzabweichung Einflanken-Wälzsprung	Fi' fi'	µт µт	38 17	45 18

11.1.2. Ergebnisdaten Festigkeit

Für die Eingabefelder des Beispielzahnrades mit den Zähnezahlen 16/58 erhält man die folgenden Festigkeitsergebnisse:

D:\A-HIM\STZ-Willmerding-Me		=		
Stirnrad Stirnrad Anwendungsbeispiel zur Demoversion		Nr.: 0	00000	; ;
	Zeichen	Einheit	Rad 1	Rad 2
BETRIEBSDATEN				
Nennleistung	Р		500	.000
Nenndrehmoment	Т	Nm	3183.1	
Drehzahl	n	1/min	1500	413.8
ZAHNKRÄFTE				
Nenn-Umfangskraft am Teilzyl.	Ft			460
Nenn-Umfangskraft am Wälzzyl.	Ftw	N	58	888
Nenn-Axialkraft am Wälzzyl.	Fxw	N	9	327
Nenn-Radialkraft am Wälzzyl.	Frw	N	26	152
Nenn-Normalkraft am Wälzzyl.	Fnw	N	64	434
WERKSTOFF UND BEARBEITUNG				
Werkstoff Rad 1: 17CrNiMo6		ad2: 17C		
Dichte	rho	kg/dm3	7.80	7.80

Elastizitätsmodul	E	MPa	206000	206000
Querkontraktionszahl	nü		0.30	0.30
	Sig.Hl	im MPa	1500	
Zahnfußgrundfestigkeit	Sigma	FE MPa	800	800
Zahnfußgrundfestigkeit		im MPa		400
Wärmebehandlung	Rad1: eins	atzgeh.	Rad2: eins	atzgeh.
Brinellhärte			740	
mittl.Rauhtiefe Zahnflanke	RzZ	μm	5.0	5.0
mittl.Rauhtiefe Zahnfuß	RzY	μm	5.0	5.0
Breitenballigkeit		J/N	N	
Einläppen/Einlauf m.ger.Last		J/N	N	
Endrücknahme		J/N	N	
BERECHNUNGSMETHODE:	nach DIN	3990 Teil	1 - 3 / ISO	6336
ZUSATZABMESSUNGEN UND LAGERUNG				
Doppelschrägverzahnung		J/N	N	
Innendurchmesser Radkörper	di	mm	0.00	0.00
Wellendurchmesser Ritzel	dsh	mm	95.0	0
Kontakttragbild (s. Handbuch)		Nr.	a 	

Lagerungsart (s. Handbuch)		Nr.	a	
Lagerabstand (s. Handbuch)	1	mm	300.0	
Versatz (s. Handbuch)	S	mm	0.0	
Stützwirkung		J/N	N	
Flankenwinkelkorrektur		J/N	N	
ALLGEMEINE EINFLUSSFAKTOREN				
Umfangsgeschw. am Teilkreis			8.270	
Eingriffsfedersteifigkeit	c gamma	N/(mm*mym)	19.495	
Reduzierte Masse	m red	kg/mm	0.043193	
Resonanzdrehzahl	nres	1/min	12679	3498
Bezugsdrehzahl	nbez	n/nres	0.12	
	nbez Kv	n/nres	0.12	
Bezugsdrehzahl Dynamikfaktor	nbez Kv	n/nres	0.12	
Bezugsdrehzahl Dynamikfaktor Breitenfaktor Zahnflanke Breitenfaktor Zahnfuß	nbez Kv KH-beta KF-beta	n/nres	1.04	
Bezugsdrehzahl Dynamikfaktor Breitenfaktor Zahnflanke Breitenfaktor Zahnfuß Stirnfaktor Zahnflanke	nbez Kv KH-beta KF-beta KH-alpha	n/nres	1.04 1.07 1.06	
Bezugsdrehzahl Dynamikfaktor Breitenfaktor Zahnflanke Breitenfaktor Zahnfuß	nbez Kv KH-beta KF-beta KH-alpha	n/nres	1.04 1.07 1.06 1.03	
Bezugsdrehzahl Dynamikfaktor Breitenfaktor Zahnflanke Breitenfaktor Zahnfuß Stirnfaktor Zahnflanke Stirnfaktor Zahnflanke	nbez Kv KH-beta KF-beta KH-alpha KF-alpha	n/nres	1.04 1.07 1.06 1.03	

Zonenfaktor	ZH		2.25
Einzeleingriffsfaktor	ZB		1.05
Elastizitätsfaktor	ZE (N	/mm²)^1/2	190
Überdeckungsfaktor Zahnflanke	Z eps.		0.86
Schrägungsfaktor Zahnflanke	Z beta		0.99
Ölviskosität bei 50 C	nue50 mm	²/s	100
Schmierstoffaktor	ZL	1.00	1.00
Geschwindigkeitsfaktor	Zv	0.99	0.99
Rauheitsfaktor	ZR	0.98	0.98
Werkstoffpaarungsfaktor	ZW		1.00
Größenfaktor Zahnflanke	ZX	1.00	1.00
Grübchengrenzfestigk. (dyn.)	Sigma-HG MP	a 1468	1468
Flankenpressung im Wälzpunkt	Sigma-HC MP	a	1010
Flank.pr.i.Einzeleingr.pkt.			1010
Sicherh. Grübchenbildung	SH	1.39	1.45
ZAHNFUSSTRAGFÄHIGKEIT			
Anwendungsfaktor	KA F		0.86
Formfaktor	YF	1.25	1.34
Spannungskorrekturfaktor	YS		2.57

	Schrägungsfaktor Zahnfuß		0.95	
	Relative Stützziffer	YdrelT	0.99	1.00
	Relativer Oberflächenfaktor	YRrelT	1.04	1.04
	Größenfaktor Zahnfuß	YX	0.99	0.99
	Lastwechsel/Periode	Ир	0	0
	Zahneingriffe/Umdrehung	е	1	1
		YA	1.00	1.00
(Diese	Zahnfußgrenzfestigkeit(dyn.) Werte werden für die Weiterverarb	Sigma-FG MPa eitung in winLIFE be	813 nötigt)	817
	Zahnfußspannung	Sigma-F MPa	298	335
	Sicherh. Zahnfußdauerbruch	SF	2.73	2.44

11.2. Lebensdauerberechnung von Zahnfuß- und Zahnflanke mit winLIFE

Daten des Beispiels für winLIFE

Da nur ein kleiner Teil der zuvor bei der Zahnradauslegung mit HEXAGON berechneten Daten für die Lebensdauerberechnung mit winLIFE 4.0 benötigt wird, werden diese wegen der Übersichtlichkeit hier nochmals aufgeführt.

Die Daten werden später in die Eingabemasken von winLIFE 4.0 eingegeben, was man auch mit Hilde Screenshots nachvollziehen kann.

Werkstoff für Ritzel (Rad 1) und Rad (Rad 2)

17CrNiMo6 (wird für Wöhlerliniengenerator benötigt!

Zähnezahl

	Ritzel (Rad 1)	Rad (Rad 2)
Zähnezahl	$Z_1 = 16$	Z ₂ =58
Zähnezahlverhältnis Z ₂ /Z ₁	i= 3	3,625
Drehzahlverhältnis n ₂ /n ₁	n_2/n_1 =	=1/i=0,275
Momentenverhältnis	M_2/M	i = i = 3,635
M_2/M_1		

Die Zähnezahl bzw. das Zähnezahlverhältnis wird benötigt, um die Anzahl der Zahneingriffe und das Drehmoment am Rad zu berechnen.

Eckpunkte der Wöhlerkurve aus HEXAGON

Die ausgelesenen, dynamischen Grenzfestigkeitswerte entsprechenden Dauerfestigkeits- werten für das individuelle Bauteil (Bauteilwöhlerkurve). Die Grenzfestigkeitswerte ergeben sich aus der Umrechnung vom Referenzzahnrad (Modul 2) über die Verzahnungswerkzeuge und der dadurch sich bildenden Zahnfußausrundung sowie dem Werkstofftyp (Nitrierstahl, Einsatzstahl, etc.) samt der Wärmebehandlung und der Feinbearbeitung nach dem Härtevorgang.

Im Beispiel wurden die Grenzfestigkeitswerte für Grübchen und Zahnfuß jeweils für das Ritzel und das Rad in HEXAGON berechnet. Diese in der folgenden Tabelle angegebenen Werte werden von winLIFE 4.0 zur Berechnung der kompletten Wöhlerlinie benötigt.

	Ritzel (Rad 1)	Rad (Rad 2)
Grübchengrenzfestigkeit(dyn.) Sigma-HG MPa	1468 [*]	1468 [*]
Zahnfußgrenzfestigkeit(dyn.) Sigma-FG MPa	813*	817*

^{*} Aus HEXAGON

Umrechnungsfaktor K_F aus HEXAGON-Daten

Das Verhältnis zwischen Zahnfußspannung und Drehmoment am Zahnrad wird als Eingabewert in winIFE benötigt. Mit diesem Faktor wird das Moment aus dem Verweildauerkollektiv in eine Zahnfußspannung umgerechnet. Es kann aus den folgenden mit HEXAGON erhaltenen Ergebnissen (s. Tabelle) berechnet werden:

	Moment [Nm]	Zahnfußspannung [MPa]	K_FP [MPa/Nm]
Ritzel (Rad 1)	3183*	298 [*]	298/3183 = 0,0936
Rad (Rad 2)	11538*	335*	0,0290

^{*} Aus HEXAGON

Umrechnungsfaktor K_HP aus HEXAGON-Daten

Das Verhältnis zwischen Zahnflankenspannung und Drehmoment am Zahnrad wird als Eingabewert in winIFE benötigt. Mit diesem Faktor wird das Moment am Zahnrad in eine Zahnfußspannung umgerechnet. Es kann aus den folgenden mit HEXAGON erhaltenen Ergebnissen (s. Tabelle) berechnet werden:

	Moment [Nm]	Zahnflanken spannung [MPa]	K_FP [MPa/Nm]
Ritzel (Rad 1)	3183*	1060*	1060 MPa / (3183 ^(1/2) (Nm) ^(1/2)) =18,78 MPa /(Nm)(1/2)
Rad (Rad 2)	11538 [*]	1010*	1010 MPa / (11538 ^(1/2) (Nm) ^(1/2)) =9,4 MPa /(Nm)(1/2)

^{*} Aus HEXAGON

11.2.2. Wahl der Methode

Im ersten Schritt muss die Methode gewählt werden.

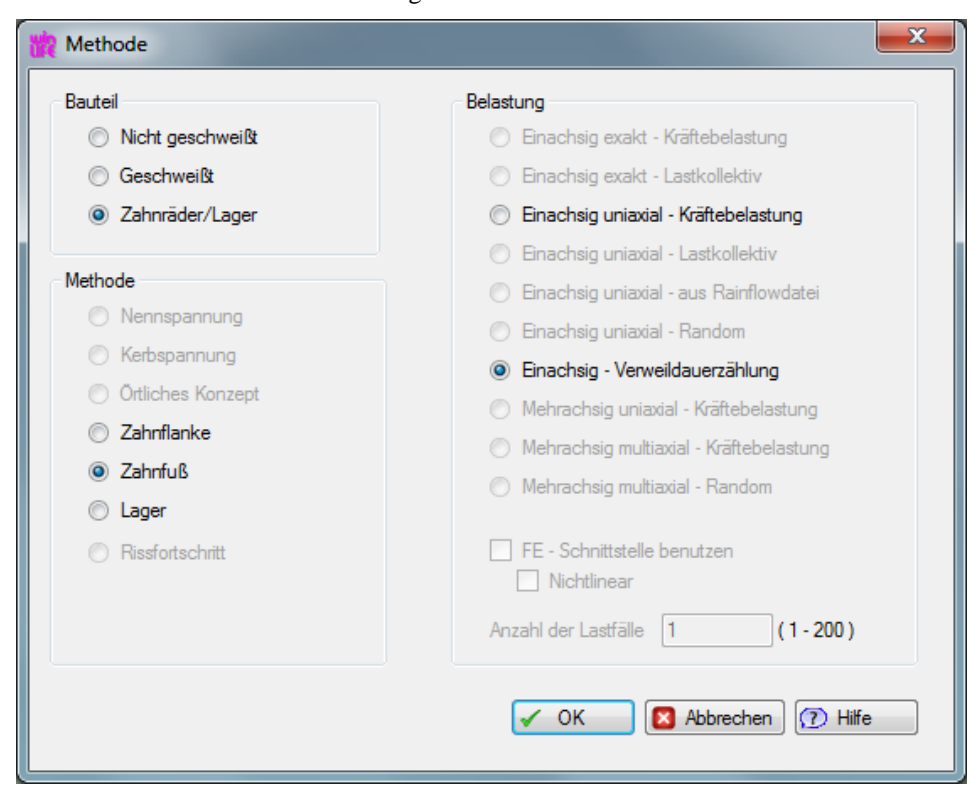


Bild 11-1:Einstellung für Berechnung des Zahnfußes

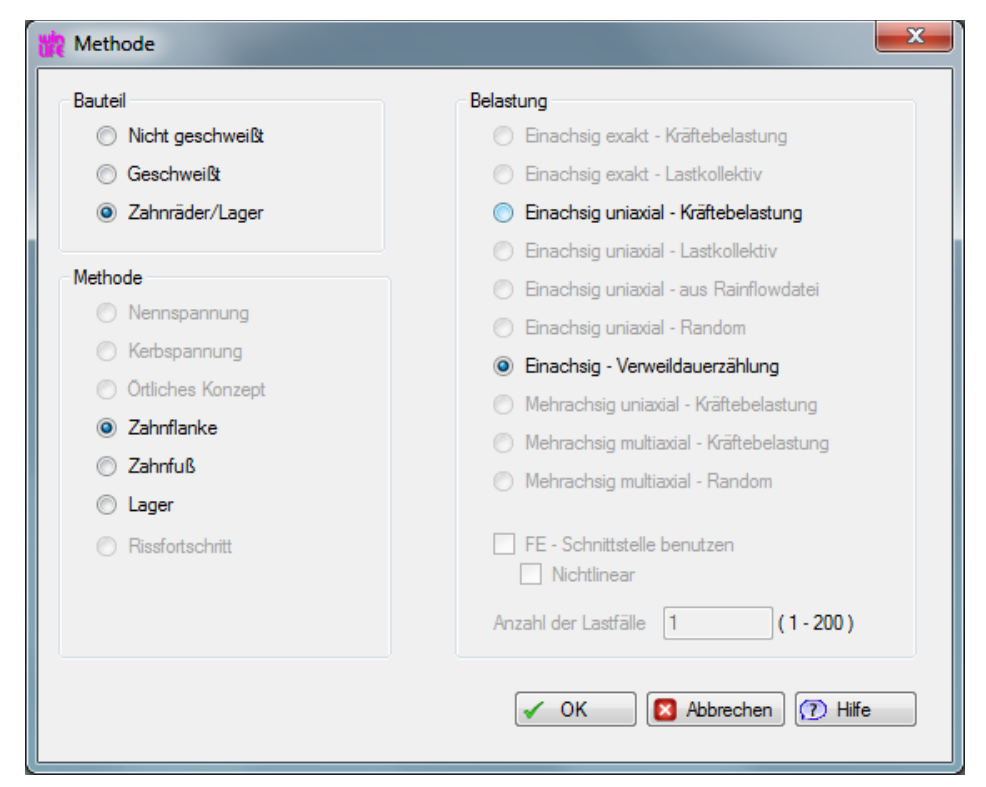


Bild 11-2: Einstellung für die Berechnung der Zahnflanke

11.2.3. Erzeugung einer Wöhlerlinie (Rad 1)

11.2.3.1. Zahnfußbiegung

Der Wert für die Zahnfussfestigkeit im Abknickpunkt S_FPD =813 MPa wurde von Hexagon berechnet und wird in das Feld S_FPD eingetragen.

Bei dem Werkstoff 17CrNiMo6 handelt es sich um Einsatzstahl, so dass der Werkstofftyp 3 zu wählen ist. Wird nun der Button *generate* gedrückt, so werden die Werte im Kasten links erzeugt. Man beachte, dass das Kästchen unten markiert ist, damit die Abspeicherung in der Datenbank erfolgt.

Hinweis: Man könnte im Kasten links auch die Werte manuell eintragen, wenn diese nicht generiert werden sollen. Man beachte jedoch, dass die Steigung nur dann korrekt angegeben ist, wenn der Button generate gedrückt wurde.

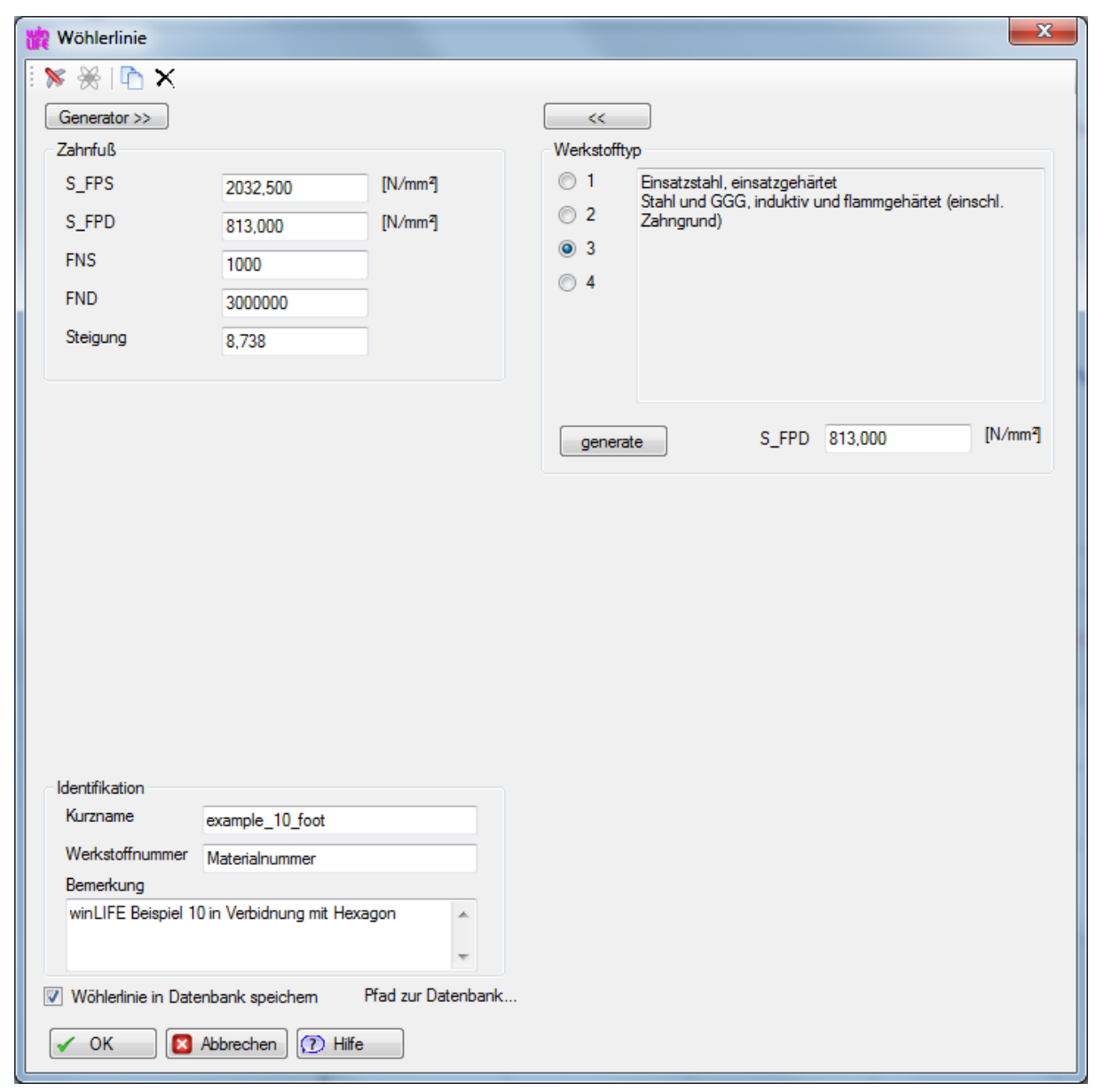


Bild 11-3: Eingabefenster zur Erzeugung der Wöhlerlinie für den Zahnfuss von Rad1 (Ritzel)

Das Ergebnis läßt sich durch Klicken von Wöhlerlinie / Wöhlerlinie grafisch darstellen.

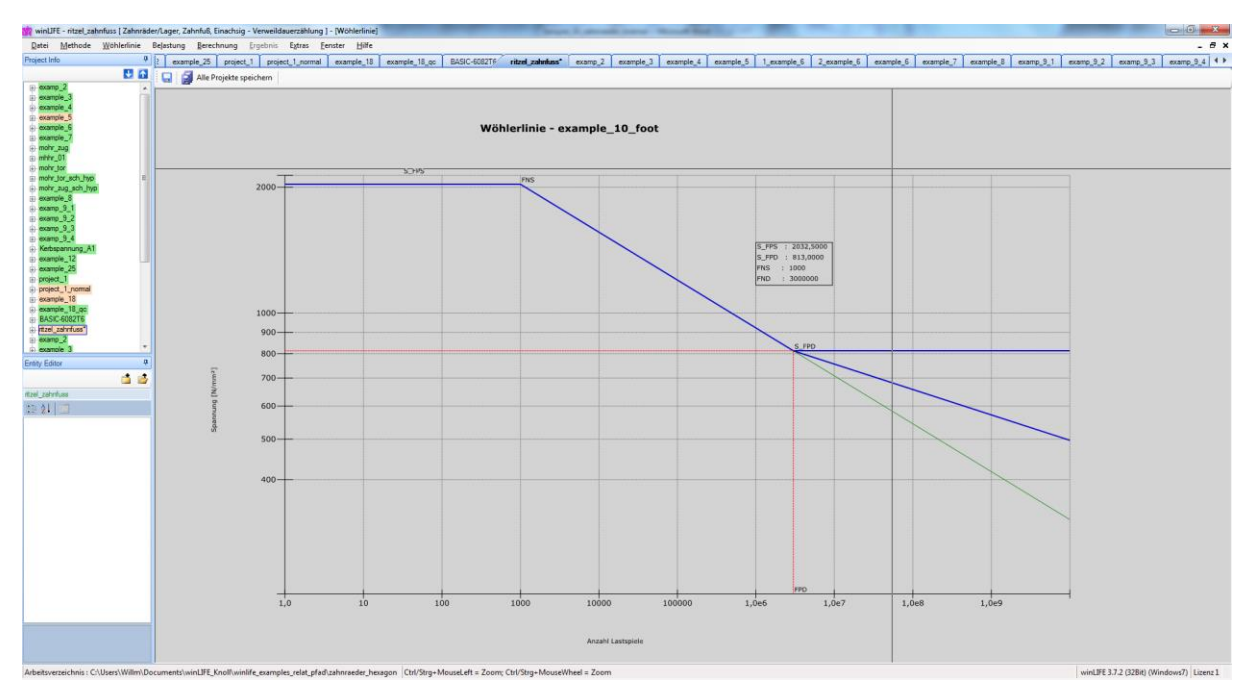


Bild 11-4: Ergebnis der Generierung : die Wöhlerlinie für den Zahnfuss von Rad1 (Ritzel)

11.2.3.2. Zahnflanke

Der Wert für die Zahnflankenfestigkeit im Abknickpunkt S_HPD =1468 MPa wurde von Hexagon berechnet und wird in das Feld S_HPD eingetragen. Bei dem Werkstoff 17CrNiMo6 handelt es sich um Einsatzstahl, so dass der Werkstofftyp 3 zu wählen ist. Wird nun der Button *generate* gedrückt, so werden die Werte im Kasten links erzeugt. Man beachte, dass das Kästchen unten markiert ist, damit die Abspeicherung in der Datenbank erfolgt.

Hinweis: Man könnte im Kasten links auch die Werte manuell eintragen, wenn diese nicht generiert werden sollen. Man beachte jedoch, dass die Steigung nur dann korrekt angegeben ist, wenn der Button generate gedrückt wurde.

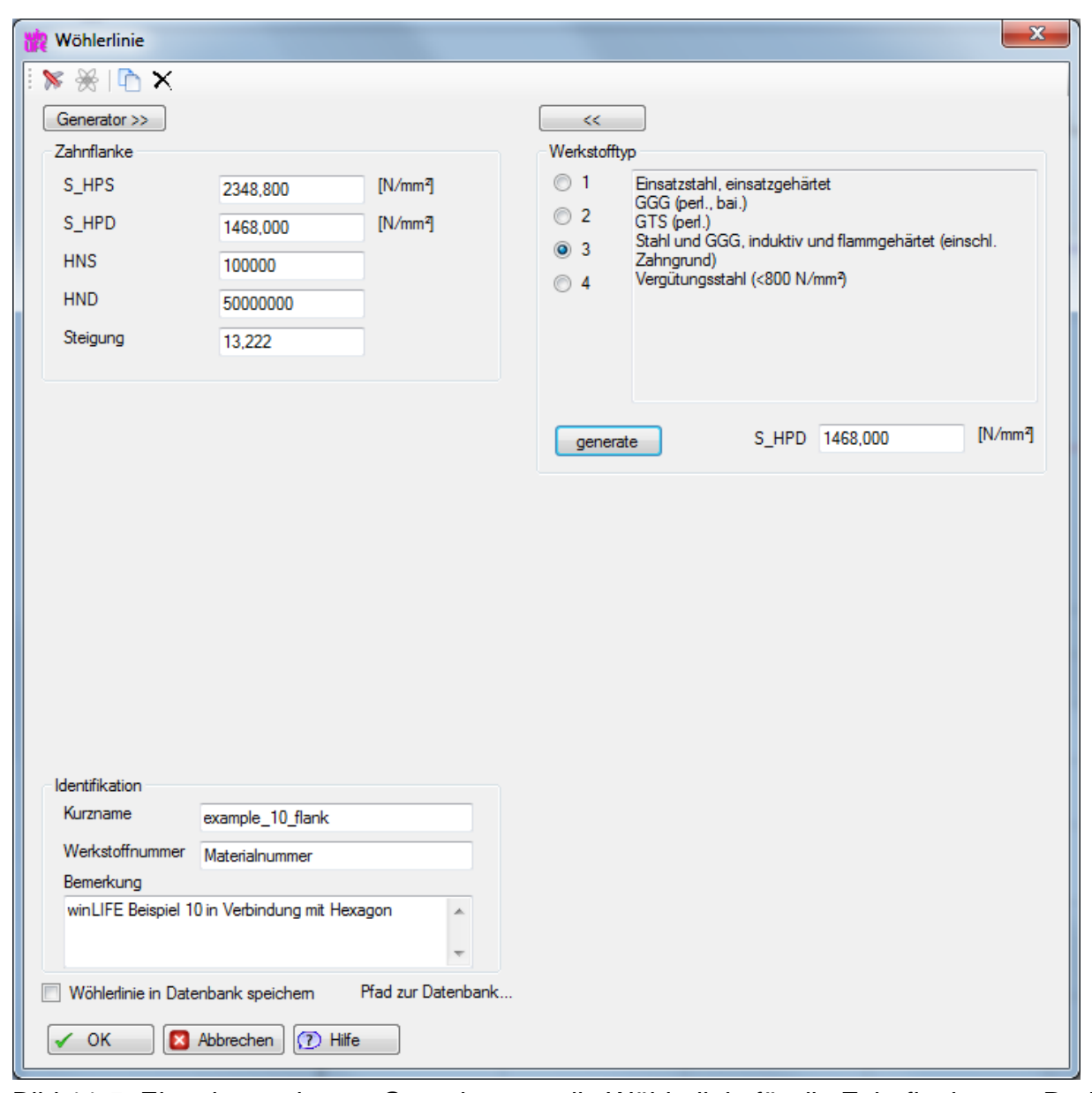


Bild 11-5: Eingabemaske zur Generierung : die Wöhlerlinie für die Zahnflanke von Rad1 (Ritzel)

Das Ergebnis läßt sich durch Klicken von Wöhlerlinie / Wöhlerlinie grafisch darstellen.

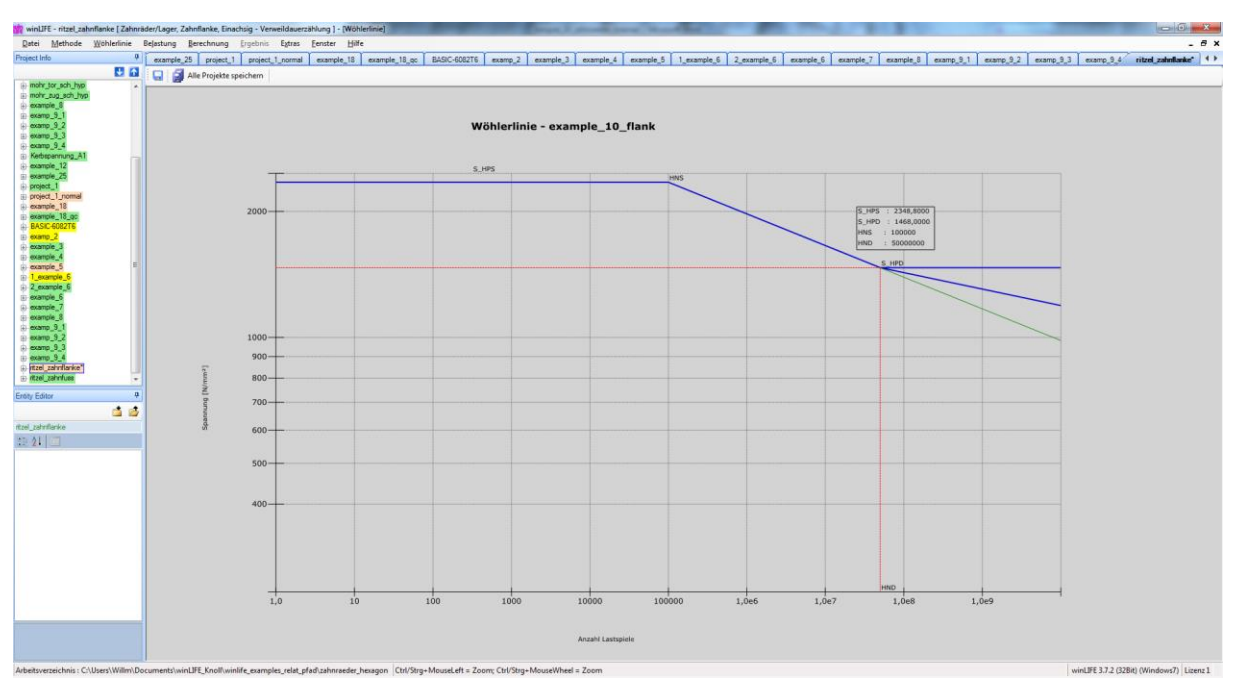


Bild 11-6: Ergebnis der Generierung : die Wöhlerlinie für die Zahnflanke von Rad1 (Ritzel)

11.2.4. Belastungskollektiv (Rad 1)

Man beachte, dass das Verweildauerkollektiv (Belastungskollektiv) für das zu berechnende Rad gültig sein muß! Bei einem Zahnradpaar haben daher das Ritzel (Rad 1) und das Rad (Rad 2) verschiedene Belastungskollektive.

Hinweis: Das Kollektiv für Rad 2 läßt sich aus dem Kollektiv für Rad 1 errechnen, indem die Drehmomentenwerte aus Kollektiv 1 mit der Übersetzung multipliziert werden und die Drehzahlen aus Kollektiv 1 durch die Übersetzung geteilt werden.

11.2.4.1. Manuelle Eingabe

Eine manuelle Eingabe eines Belastungskollektivs kann erfolgen, indem man aus dem Menü wählt:

Belastung / Generieren / Verweildauerzählung .

Als Belastung wird ein einfaches Beispiel eingegeben, bei dem lediglich drei Klassen belegt sind. Auf diese Weise kann man die Ergebnisse hinterher sehr einfach nachvollziehen. Ein weiteres Beispiel mit realistischeren Daten folgt anschließend.

Es erscheint dann die folgende Maske. In unserem Beispiel wird ein Drehmomentenbereich von -200 bis 1300 Nm in 30 Klassen und ein Drehzahlbereich von 1500 bis 1500 1/min in 15 Klassen vorgeben.

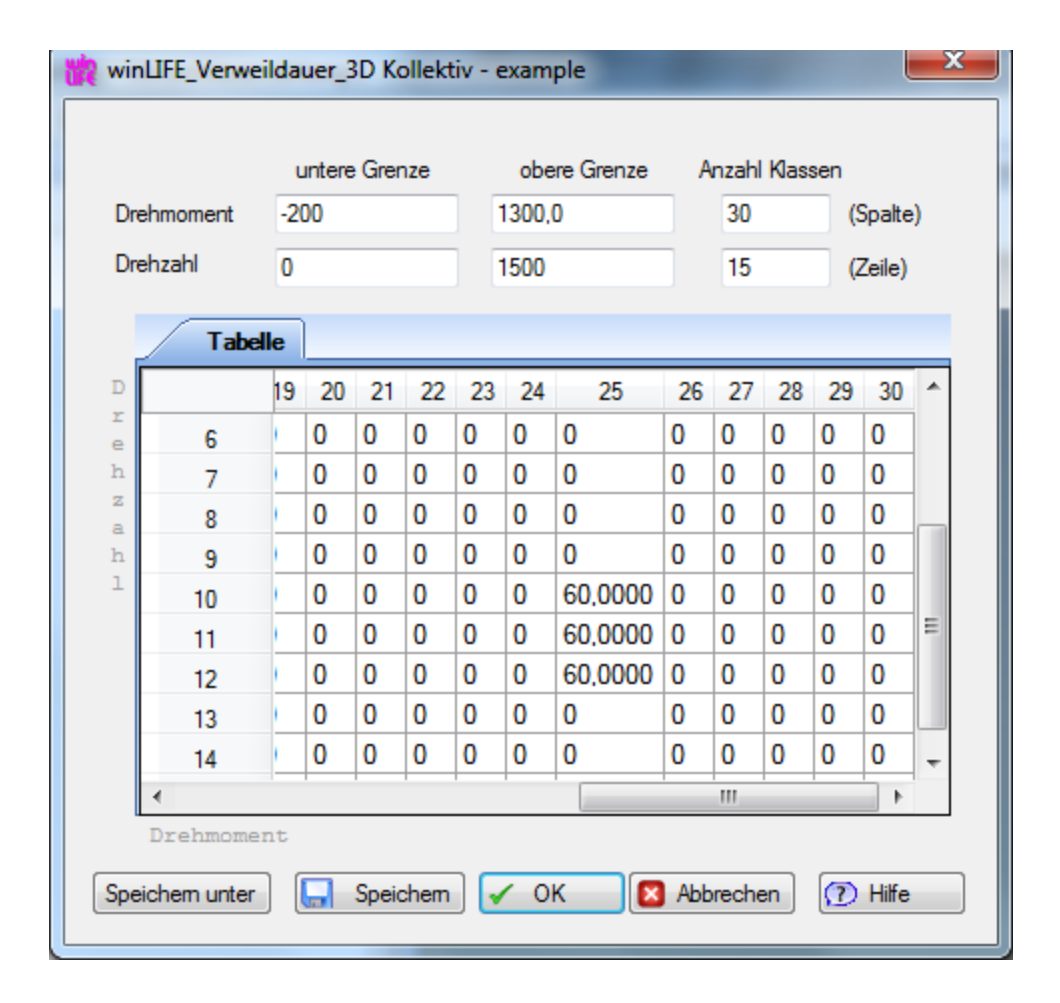


Bild 11-7: Belastungskollektiv

In der Spalte der Drehmomentenklasse 25 (entspricht einem Drehmoment zwischen 1000 und 1050 Nm, mittleres Drehmoment 1025 Nm) werden für die Drehzahlklassen 10,11 und 12 jeweils 60 Sekunden Verweilzeit eingegeben.

Im vorliegenden Fall betrage die Fahrgeschwindigkeit des Fahrzeugs 60 km/h. Die Information aus der grafischen Darstellung läßt sich auch zahlenmäßig angeben (s. folgende Tabelle).

Den Zusammenhang zwischen Drehzahlklasse, Verweilzeit, Strecke und Umdrehungen zeigt die folgende Tabelle.

Drehzahl klasse	Mittlere Drehzahl in Klasse	Bereich Drehzahl [1/min]	Verweilzeit	Strecke bei v=60 km/h	Umdreh.
10	950	900 – 1000	60	1 km	950
11	1050	1000-1100	60	1 km	1050
12	1150	1100 - 1200	60	1 km	1150
Summe			180	3	3150

Eine grafische Darstellung dieser für die Lebensdauerberechnung wichtigen Daten des Kollektivs Drehmoment/Umdrehungen zeigt das folgende Bild:

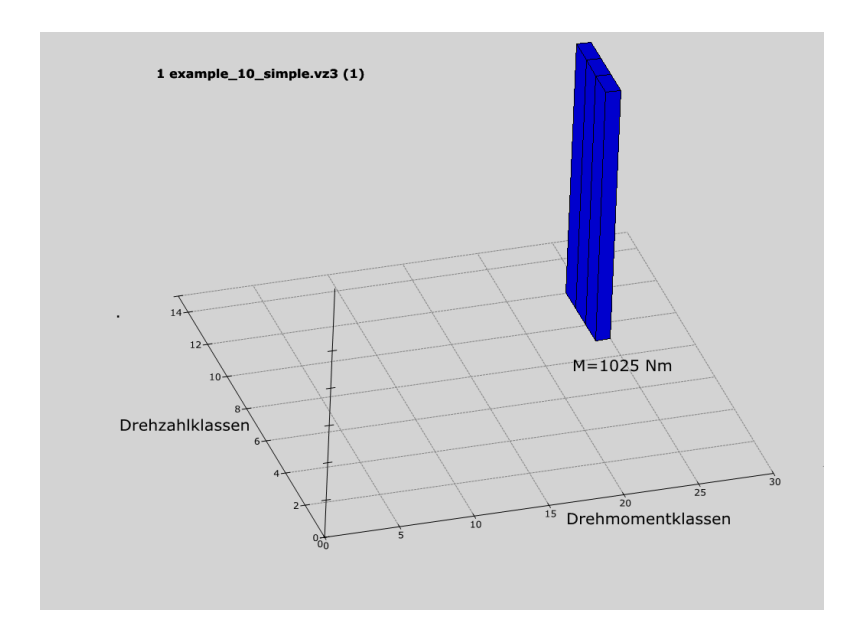


Bild 11-8: Zeitanteile der Belastung

Dieses Kollektiv gibt uns nun an, dass z.B. in dem Matrixelement 10/25, dem eine mittlere Drehzahl von 950 1/min entspricht, eine Verweilzeit von 60 s vorliegt und dabei ein Weg von 1000 m zurückgelegt wird. Daraus läßt sich die absolute Anzahl der Umdrehungen angeben, was für jedes einzelne Matrixelement möglich ist.

Bei dem Kollektiv dieses Beispiels treten alle Drehzahlen nur in einer Drehmomentenklasse auf. Da das Drehmoment und die Anzahl der Umdrehungen (=Drehzahl * Zeit) für die Lebensdauer maßgeblich ist, muss für jede Drehmomentenklasse die absolute Anzahl der Umdrehungen ermittelt werden, was durch Summation der entsprechenden Drehzahlen geschieht. An Hand der Tabelle oben läßt sich dieses einfache Beispiel nachvollziehen.

Dieses sehr einfache Beispiel weist bei einem Drehmoment von 1025 Nm (es wird hier immer der mittlere Wert aus den Klassengrenzen angegeben) eine absolute Anzahl der Umdrehungen von 3150 auf.

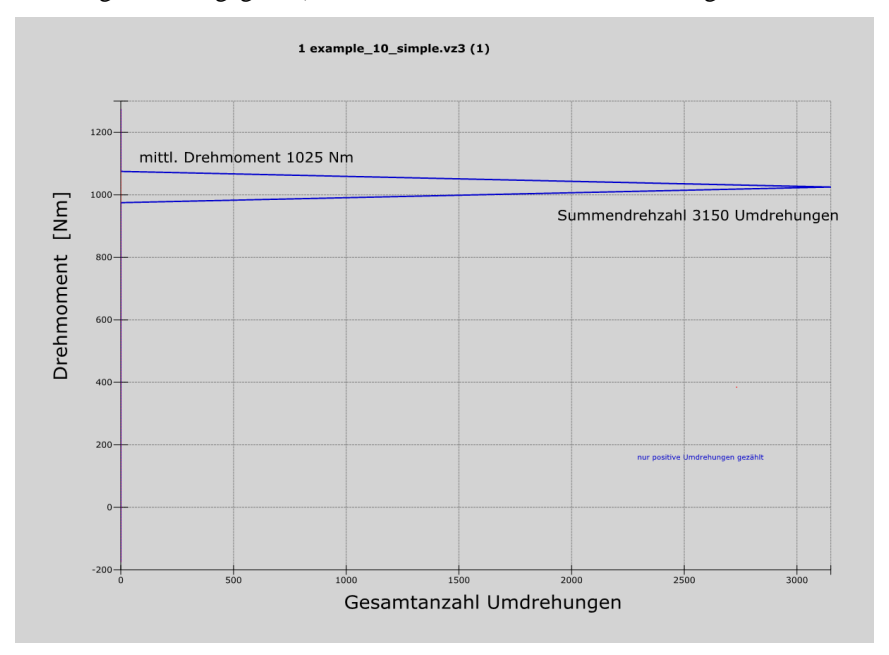


Bild 11-9: Kollektiv Drehmoment/Umdrehungen (Summenhäufigkeit) (za_bsp13)

11.2.4.2. Übernahme von Messdaten

Nachdem mit den einfachen Beispieldaten der Verweildauerzählung schnell ein Verständnis erreicht werden kann, sollen nun reale Daten verwendet werden.

Ein aus Messungen(winADAM) oder Simulationen (winEVA) erhaltenes Kollektiv wird dazu eingelesen. Dazu wird aus dem Menü gewählt:

Belastung / Import aus Dateien

Und es erscheint die folgende Eingabemaske. Es ist eine Datei mit der Endung *.vz3 auszuwählen. Diese Datei wurde von winEVA erzeugt.

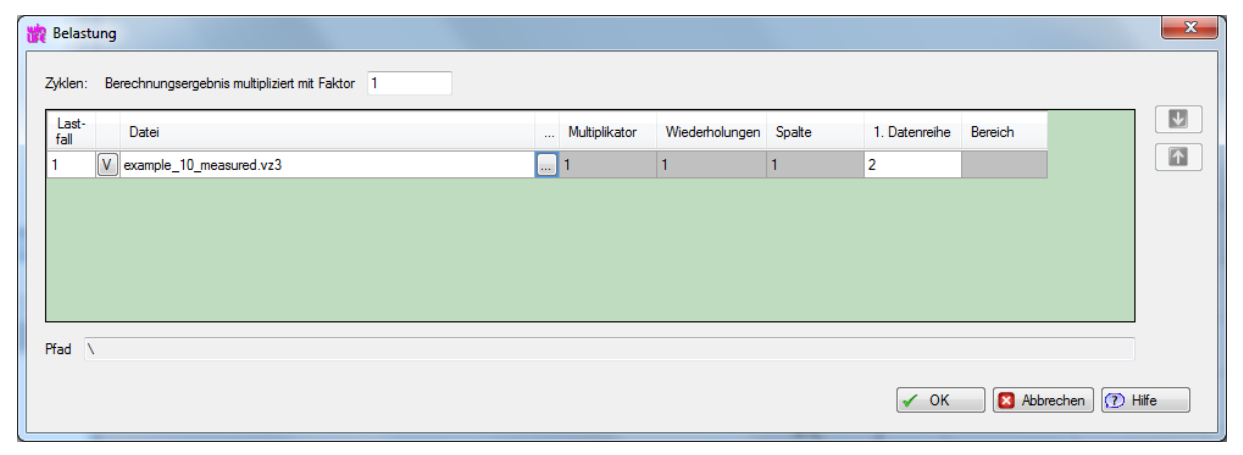


Bild 11-10: Wahl der Datei mit dem Verweildauerkollektiv

Mit

Belastung/Verweildauerzählung – 3D

wird der Inhalt als Verweildauer dargestellt

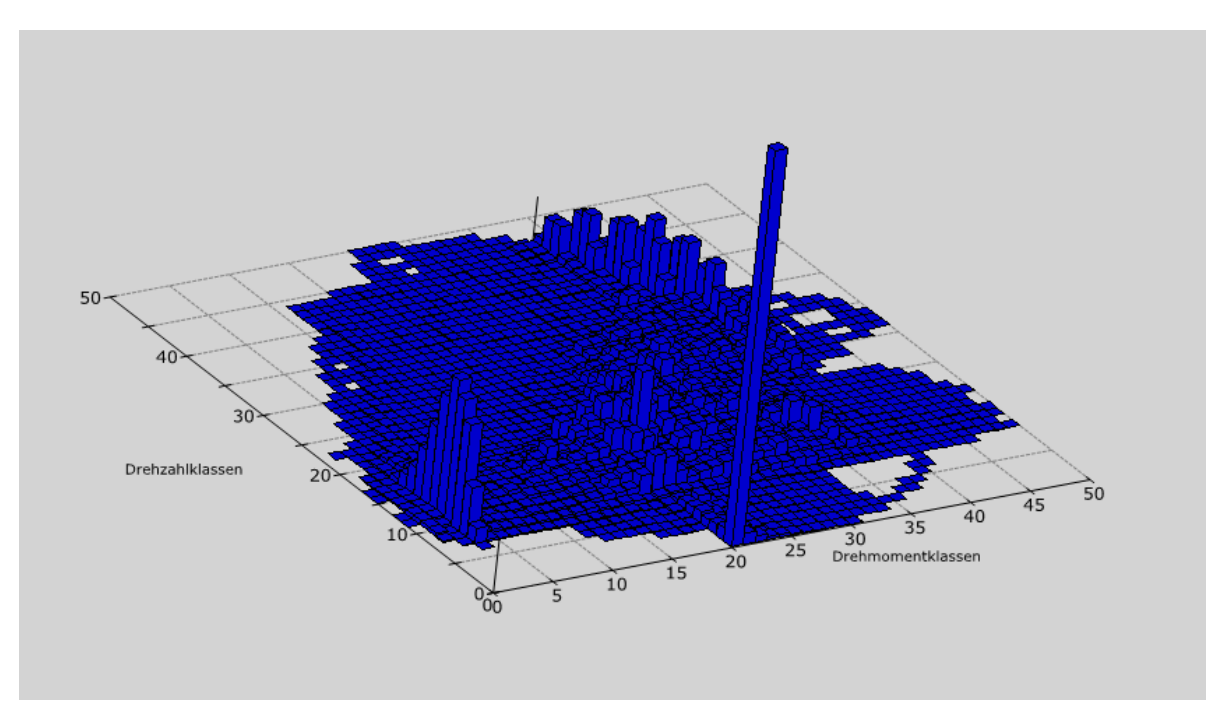


Bild 11-11: Kollektiv Drehmoment/Umdrehungen (Summenhäufigkeit) (za_bsp13)

Mit

Belastung/View

Wird die Überrollungszählung dargestellt:

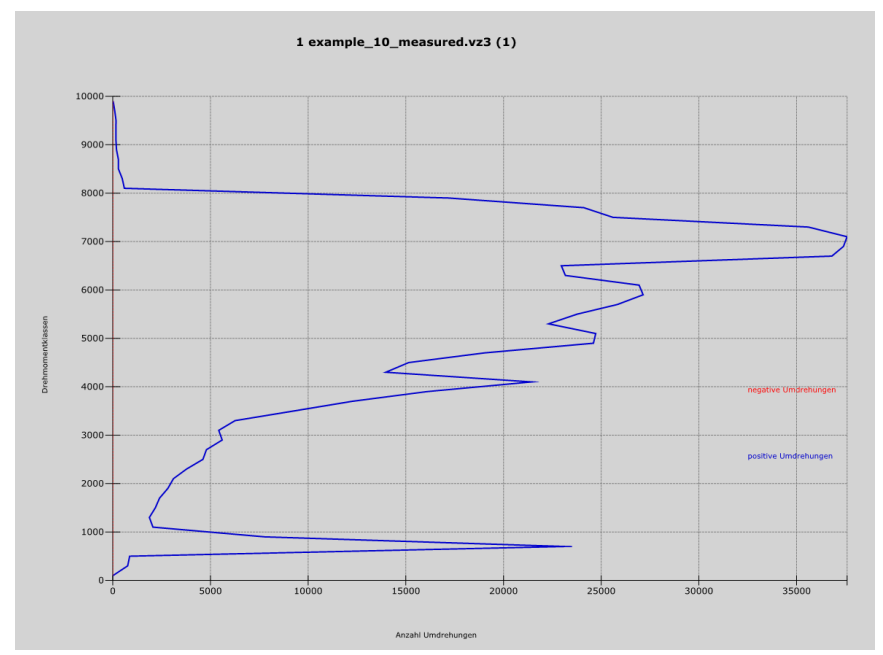


Bild 11-12: Kollektiv der Überrollungen für Drehmomentklassen

Basierend auf diesen Daten soll nun eine Lebensdauerberechnung für Zahnräder erfolgen.

11.2.5. Durchführung der Berechnung für das Ritzel (Rad 1)

11.2.5.1. Zahnfuss

Die Berechnung wird durchgeführt, indem

Berechnung / Parameter

gewählt wird.

Es erscheint dann das folgende Fenster, in dem die notwendigen Eingaben für das Ritzel bereits erfolgt sind. Man beachte, dass hier zusätzlich die Möglichkeit besteht, positive und negative Drehmomente zu berücksichtigen. In unserem Fall treten solche jedoch nicht auf, so dass das Kästchen nicht markiert wird.

Die Daten für das Nennmoment (3183 Nm) und die Zahnfußspannung, die aus der Hexagon-Simulation erhalten wurden (298 MPa), werden für eine Abschätzung des Umrechnungsfaktors K_HP zwischen Spannung und Moment verwendet:

 $K_{HP} = 0.0936 \text{ MPa/Nm}$

Dieser Faktor ist drehzahl- und drehmomentenabhängig, was zunächst aber vernachlässigt wird.

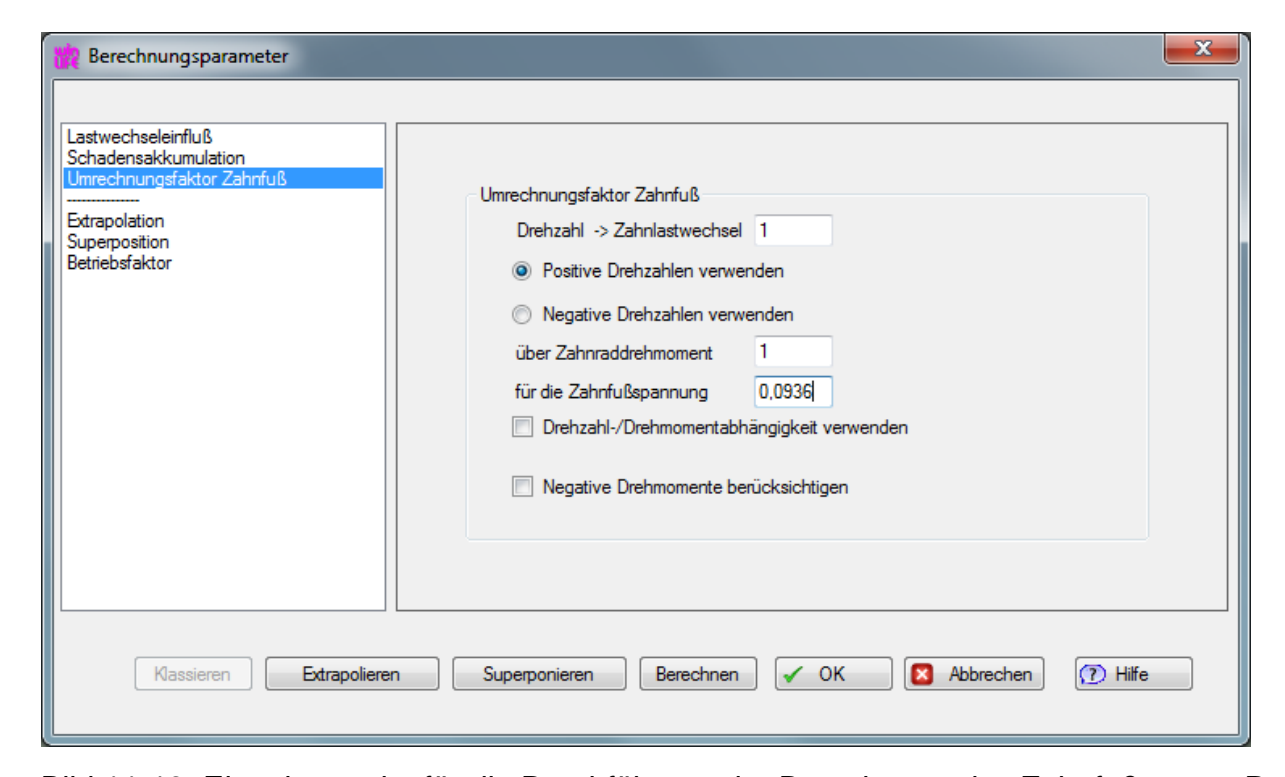


Bild 11-13: Eingabemaske für die Durchführung der Berechnung des Zahnfußes von Rad1 (Ritzel)/ Umrechnung des Kollektivs auf den Zahnfuß

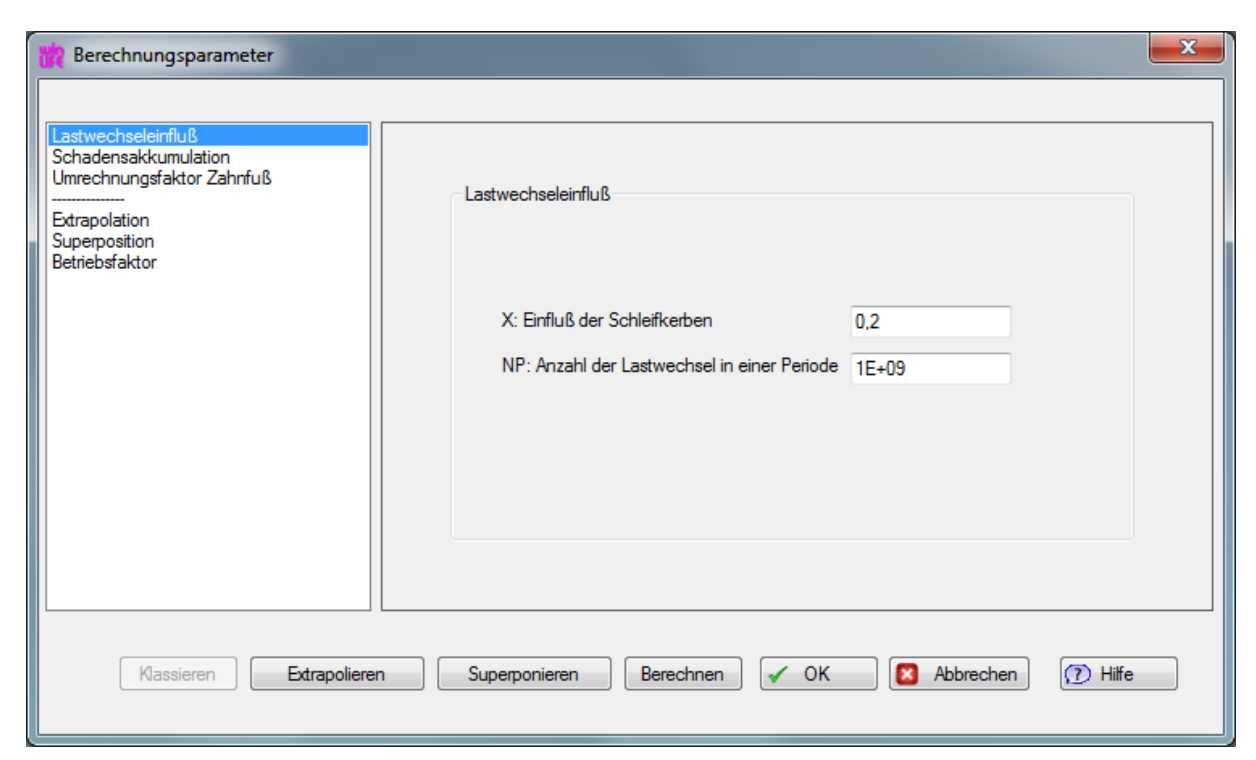


Bild 11-14: Eingabemaske für die Durchführung der Berechnung des Zahnfußes von Rad1 (Ritzel) / Festlegung des Lastwechseleinflusses

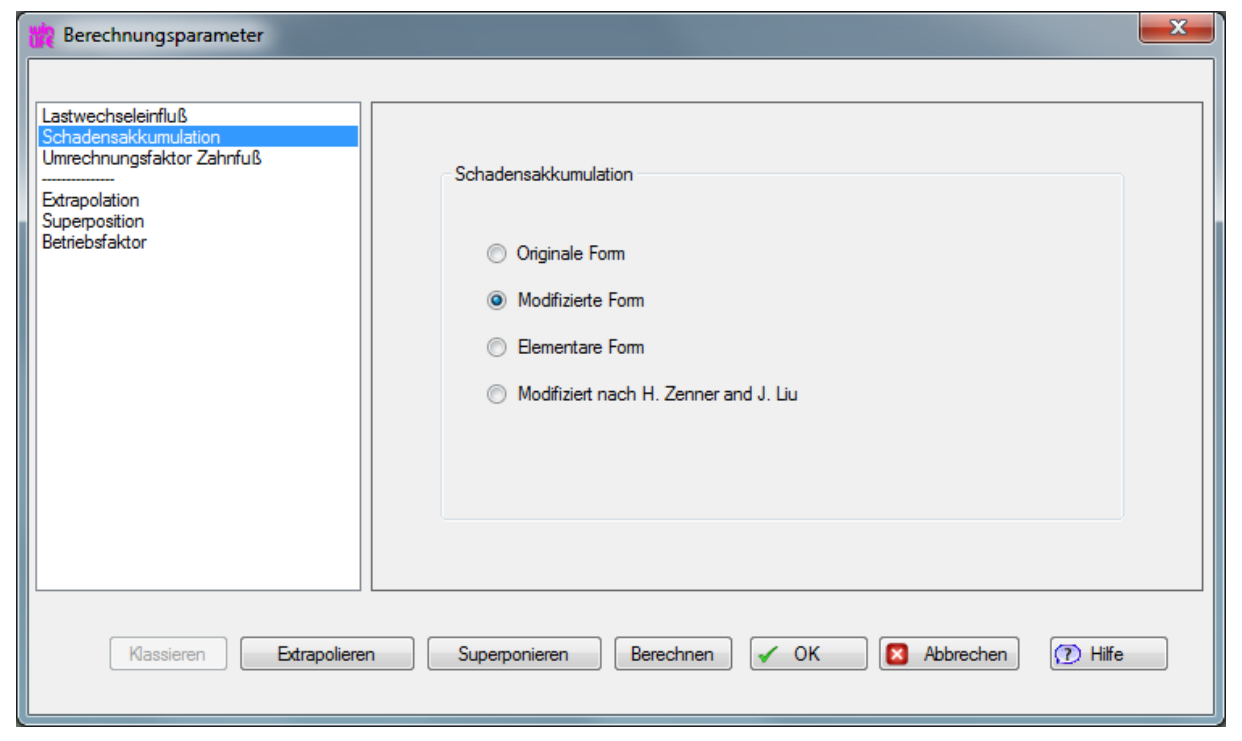


Bild 11-15: Eingabemaske für die Durchführung der Berechnung des Zahnfußes von Rad1 (Ritzel)/ Wahl der Schadensakkumulation

11.2.5.2. Zahnflanke

Durch Wahl

Berechnung / Parameter

Erscheint die folgende Eingabemaske, in dem die notwendigen Eingaben für das Ritzel bereits erfolgt sind. Man beachte, dass hier zusätzlich die Möglichkeit besteht, positive und negative Drehmomente zu berücksichtigen. In unserem Fall treten solche jedoch nicht auf, so dass das Kästchen nicht markiert wird.

Umrechnungsfaktor zwischen elastischer Flankenpressung (1060 MPa) und Wurzel aus Drehmoment 3183^(1/2) (Nm)^(1/2) = 56,41 (Nm)^(1/2) beträgt

K HP=18,79 MPa /(Nm)^(1/2)

Dieser Faktor ist drehzahl- und drehmomentenabhängig, was zunächst aber vernachlässigt wird.

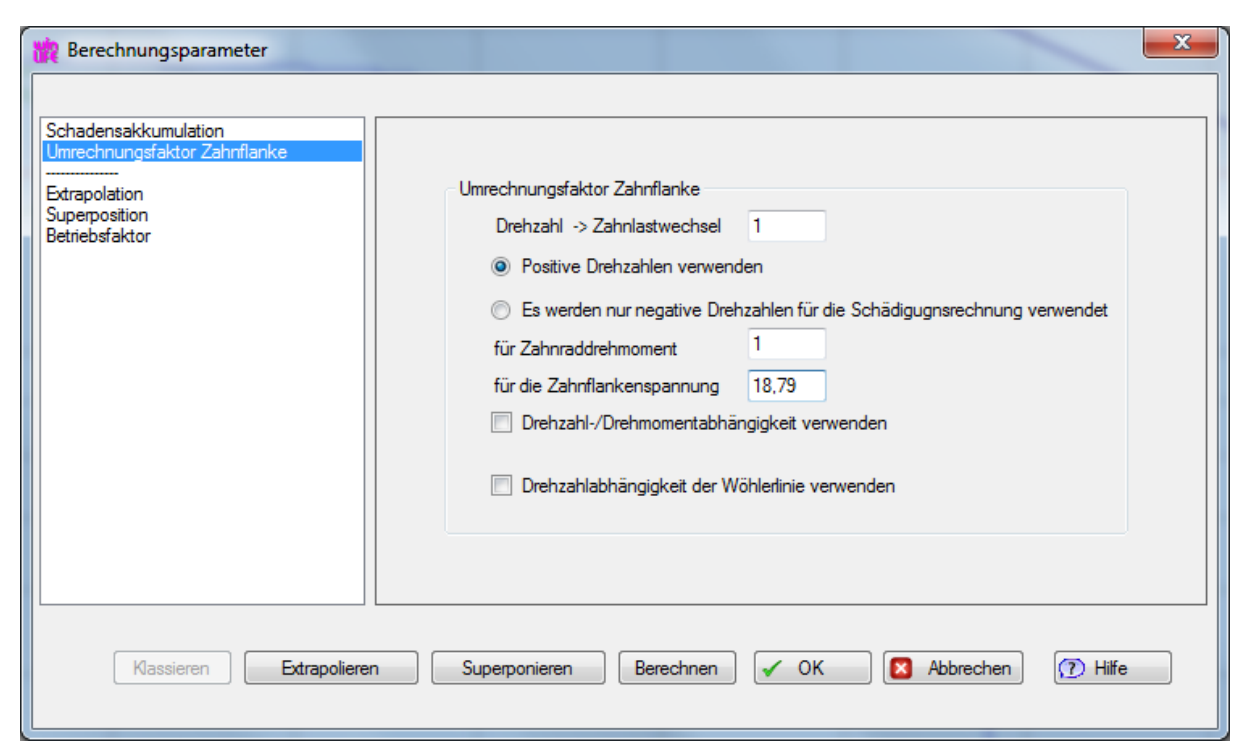


Bild 11-16: Eingabemaske für die Durchführung der Berechnung der Zahnflanke / Umrechnung des Kollektivs auf die Zahnflanke von Rad1 (Ritzel)

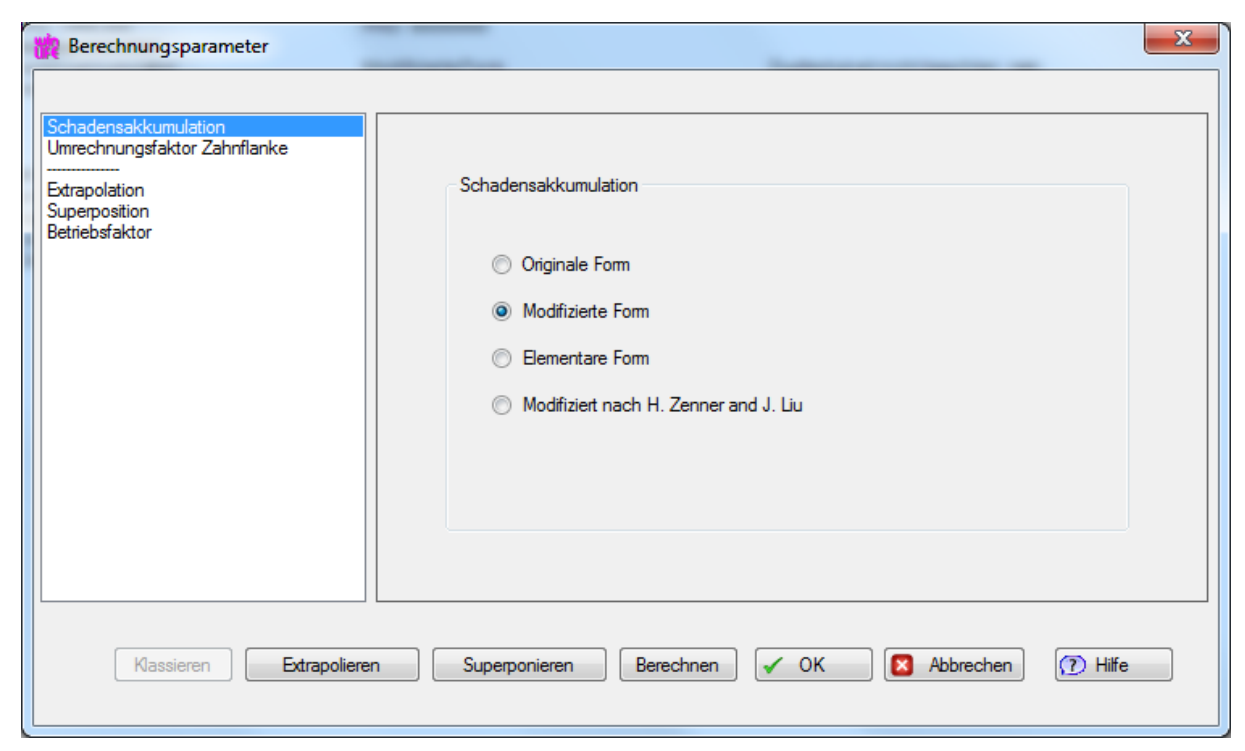


Bild 11-17: Eingabemaske für die Durchführung der Berechnung der Zahnflanke von Rad1 (Ritzel)/ Wahl der Schadensakkumulation

11.2.6. Sonstige Eingabegrößen für Zahnfuß und Zahnflanke (Rad 1)

Die sowohl für Zahnfuss und Zahnflanke gültigen Eingabegrößen ergeben sich aus folgenden Überlegungen:

11.2.6.1. Umrechnungsfaktor

Drehzahl->Zahnlastwechsel:

In unserem Beispiel sind die Daten des Kollektivs am Ritzel gemessen worden, so dass diese mit der Ritzeldrehzahl übereinstimmen, da sich pro Umdrehung genau ein Lastwechsel ergibt. Als Umrechnungsfaktor ist daher 1 einzugeben. Dieser ist für Zahnfuß und Zahnflanke identisch

Zahnraddrehmoment:

Auch hier ist das Ritzeldrehmoment gemessen, so dass der Umrechnungsfaktor 1 beträgt und für Zahnfuß und Zahnflanke identisch sein muss.

Zahnfußspannung/Zahnflankenspannung:

Der Umrechnungsfaktor zwischen Drehmoment am Zahnrad und Zahnfußspannung wird bei der Auslegung des Zahnrades erhalten; er wurde aus den Hexagon-Daten mit

0,0936 für den Zahnfuß und

18,78 für die Zahnflanke

ermittelt.

11.2.6.2. Mittelspannungseinfluss

Einfluss der Schleifkerben:

Bedingt durch den Herstellvorgang bilden sich Schleifkerben. Es ist der Grad der Schleifkerben anzugeben, der zwischen 0,0 und 1 liegen kann. Ein üblicher Wert ist 0,2, was hier gewählt wird. Dieser Wert ist für Zahnfuß und Zahnflanke identisch

Anzahl der Lastwechsel in einer Periode:

In unserem Fall treten nur Schwellbelastungen auf, da kein Zwischenrad oder Planetengetriebe vorliegt. In einem solchen Fall tritt keine Abminderung durch Änderung der Lastrichtung auf, so dass NP = 100000000 angegeben wird. Dies führt zu einem Y_A von 1 und ist für Zahnfuß und Zahnflanke identisch.

11.2.6.3. Schadensberechnung

Es wird hier für Zahnfuß und Zahnflanke nach der nach Haibach modifizierten Form gerechnet, die sich in der Mehrzahl der Fälle aus als brauchbar erwiesen hat.

Nachdem in der Maske OK angeklickt wird, startet die Berechnung.

11.2.6.4. Ergebnisse für das Ritzel (Rad 1)

Zahnfuss

Die Ergebnisse der Berechnung lassen sich durch Wahl von

Ergebnis /Schadenssumme

in Textform ausgeben. Neben der Schadenssumme sind auch die wichtigsten Eingaben angegeben.

Bild 11-18: Ausgabefenster der wichtigsten Berechnungsergebnisse und Basisdaten für den Zahnfuss

Will man einen detaillierteren Überblick, so kann man

Ergebnis/Protokoll

wählen. Es erscheint dann eine umfangreiche Anzeige aller Einzelergebnisse. Aus Platzgründen ist im folgenden Bild nur ein Teil des Protokolls für die Zahnflanke dargestellt, der sehr nützlich zum Verständnis der Berechnung ist.

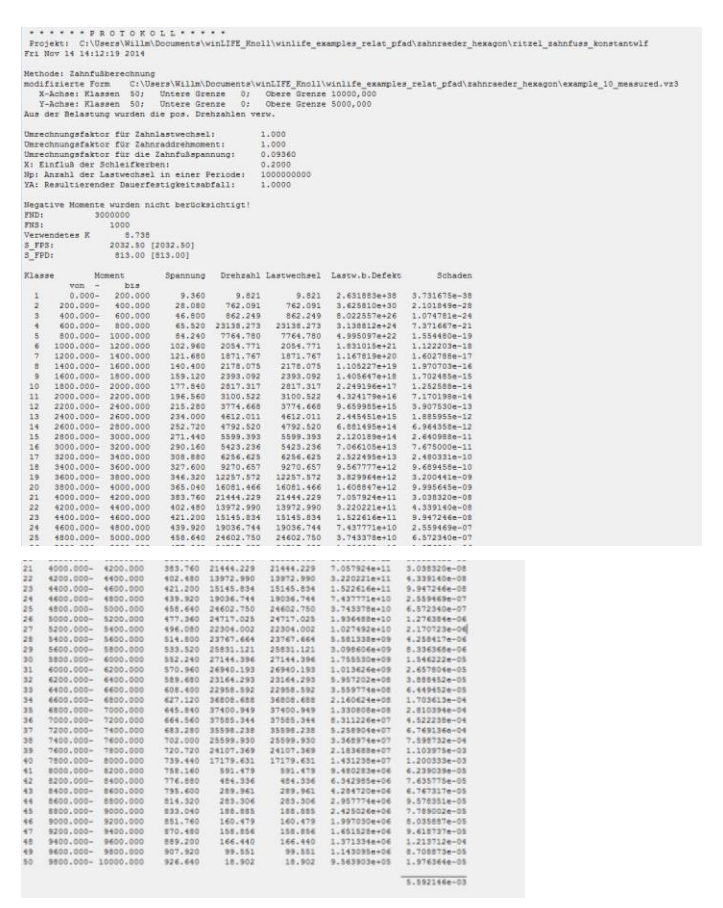


Bild 11-19: Ausgabefenster des Protokolls der Ergebnisse für den Zahnfuss von Rad1 (Ritzel)

Wählt man

Ergebnis / Wöhlerlinie mit Belastung

So erhält man folgende Grafik:

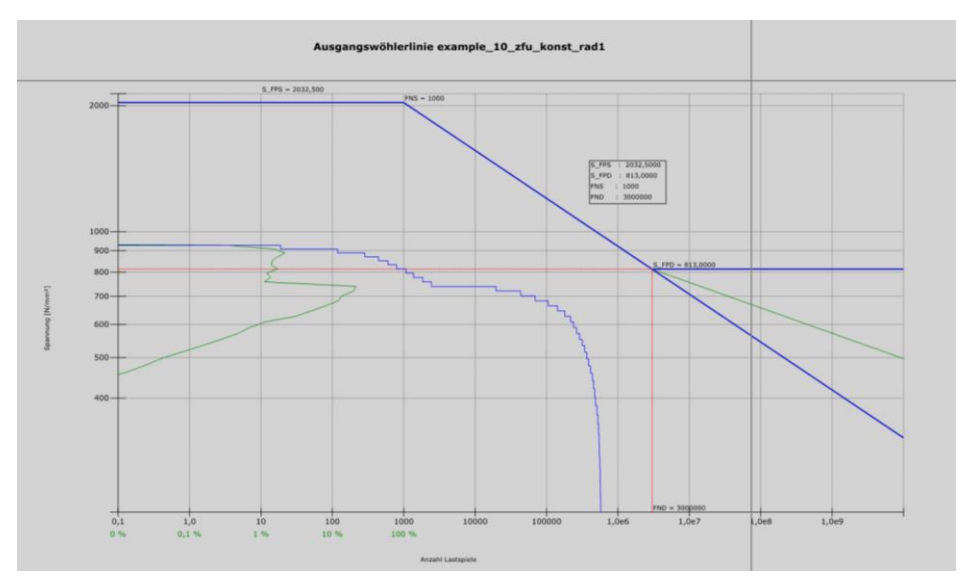


Bild 11-20: Ausgabefenster der wichtigsten Berechnungsergebnisse und Basisdaten für die Zahnflanke von Rad1 (Ritzel)

Zahnflanke

Die Ergebnisse der Berechnung lassen sich durch Wahl von

Ergebnis /Schadenssumme

in Textform ausgeben. Neben der Schadenssumme sind auch die wichtigsten Eingaben angegeben.

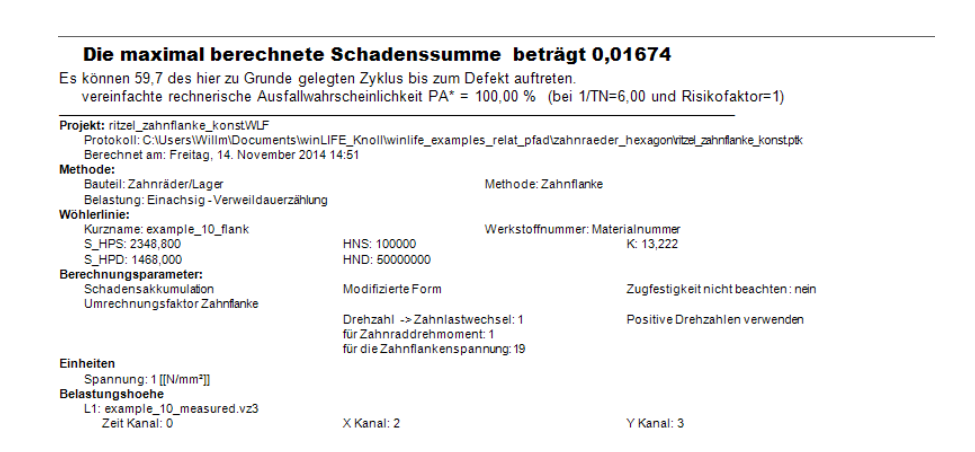


Bild 11-21: Ausgabefenster der Wöhlerlinie zusammen mit Amplitudenkollektiv und prozentualer Schädigung für den Zahnfuss

Will man einen detaillierteren Überblick, so kann man *Ergebnis/Protokoll* wählen. Es erscheint dann eine umfangreiche Anzeige aller Einzelergebnisse. Aus Platzgründen ist im folgenden Bild nur ein Teil des Protokolls für die Zahnflanke dargestellt, der sehr nützlich zum Verständnis der Berechnung ist.

Klass		oment	Spannung	Drehzahl	Lastwechsel	Lastw.b.Defekt	Schaden
	von -	bis					
1	0.000-	200.000	187.900	9.821	9.821	2.607287e+30	3.766878e-30
2	200.000-	400.000	325.452	762.091	762.091	2.218341e+24	3.435408e-22
3	400.000-	600.000	420.157	862.249	862.249	3.338610e+21	2.582660e-19
4	600.000-	800.000	497.137	23138.273	23138.273	4.618023e+19	5.010429e-16
5	800.000-	1000.000	563.700	7764.780	7764.780	1.887426e+18	4.113952e-15
6	1000.000-	1200.000	623.194	2054.771	2054.771	1.469278e+17	1.398491e-14
7	1200.000-	1400.000	677.483	1871.767	1871.767	1.754209e+16	1.067015e-13
8	1400.000-	1600.000	727.734	2178.075	2178.075	2.840577e+15	7.667723e-13
9	1600.000-	1800.000	774.732	2393.092	2393.092	5.778868e+14	4.141109e-12
10	1800.000-	2000.000	819.037	2817.317	2817.317	1.403743e+14	2.007003e-11
11	2000.000-		861.066	3100.522	3100.522	3.929139e+13	7.891097e-11
12	2200.000-	2400.000	901.137	3774.668	3774.668	1.234952e+13	3.056530e-10
13	2400.000-	2600.000	939.500	4612.011	4612.011	4.275062e+12	1.078817e-09
14	2600.000-	2800.000	976.357	4792.520	4792.520	1.605867e+12	2.984381e-09
15	2800.000-		1011.872	5599.393	5599.393	6.469611e+11	8.654914e-09
16	3000.000-	3200.000	1046.183	5423.236	5423.236	2.769416e+11	1.958260e-08
17	3200.000-	3400.000	1079.403	6256.625	6256.625	1.250102e+11	5.004893e-08
18	3400.000-		1111.631	9270.657	9270.657	5.913345e+10	1.567752e-07
19	3600.000-	3800.000	1142.951	12257.572	12257.572	2.916038e+10	4.203502e-07
20	3800.000-	4000.000	1173.435	16081.466	16081.466	1.492524e+10	1.077468e-06
21	4000.000-		1203.147	21444.229	21444.229	7.899486e+09	2.714636e-06
22	4200.000-	4400.000	1232.143	13972.990	13972.990	4.309621e+09	3.242278e-06
23	4400.000-	4600.000	1260.472	15145.834	15145.834	2.416833e+09	6.266809e-06
24	4600.000-	4800.000	1288.178	19036.744	19036.744	1.389882e+09	1.369666e-05
25 26	4800.000-	5000.000	1315.300	24602.750	24602.750	8.179456e+08	3.007871e-05
	5000.000-	5200.000	1341.875	24717.025	24717.025	4.916800e+08	5.027055e-05
27	5400.000-	5400.000	1367.933	22304.002	22304.002	3.014013e+08 1.881400e+08	7.400102e-05 1.263297e-04
29	5600.000-	5800.000	1418.614	25831.121	25831.121	1.194339e+08	2.162796e-04
30	5800.000-	6000.000	1443.287	27144.396	27144.396	7.701616e+07	3.524507e-04
31	6000.000-		1467.546	26940.193	26940.193	5.039516e+07	5.345790e-04
32	6200.000-	6400.000	1491.410	23164.293	23164.293	4.056191e+07	5.710849e-04
33	6400.000-	6600.000	1514.898	22958.592	22958.592	3.299025e+07	6.959206e-04
34	6600.000-		1538.028	36808.688	36808.688	2.700048e+07	1.363261e-03
35	6800.000-	7000.000	1560.815	37400.949	37400.949	2.222890e+07	1.682537e-03
36	7000.000-	7200.000	1583.274	37585.344	37585.344	1.840254e+07	2.042400e-03
37	7200.000-	7400.000	1605.418	35598.238	35598.238	1.531496e+07	2.324409e-03
38	7400.000-	7600.000	1627.262	25599.930	25599.930	1.280887e+07	1.998610e-03
39	7600.000-	7800.000	1648.816	24107.369	24107.369	1.076337e+07	2.239760e-03
40	7800.000-	8000.000	1670.092	17179.631	17179.631	9.084958e+06	1.890997e-03
41	8000.000-		1691.100	591.479	591.479	7.700847e+06	7.680695e-05
42	8200.000-	8400,000	1711.851	484.336	484.336	6.553981e+06	7.389953e-05
43	8400.000-	8600.000	1732.352	289,961	289.961	5.599379e+06	5.178443e-05
44	8600.000-	8800.000	1752.615	283.306	283.306	4.801356e+06	5.900540e-05
45	8800.000-	9000.000	1772.645	188.885	188.885	4.131485e+06	4.571851e-05
46	9000.000-	9200.000	1792.452	160.479	160.479	3.566961e+06	4.499042e-05
47	9200.000-	9400.000	1812.042	158.856	158.856	3.089428e+06	5.141928e-05
48	9400.000-	9600.000	1831.423	166.440	166.440	2.684022e+06	6.201156e-05
49	9600.000-	9800.000	1850.600	99.551	99.551	2.338659e+06	4.256742e-05
50	9800.000-	10000.000	1869.581	18.902	18.902	2.043471e+06	9.249823e-06
							1.673808e-02

Bild 11-22: Ausgabefenster des Protokolls der Ergebnisse für die Zahnflanke

Wählt man

Ergebnis / Wöhlerlinie mit Belastung

So erhält man folgende Grafik:

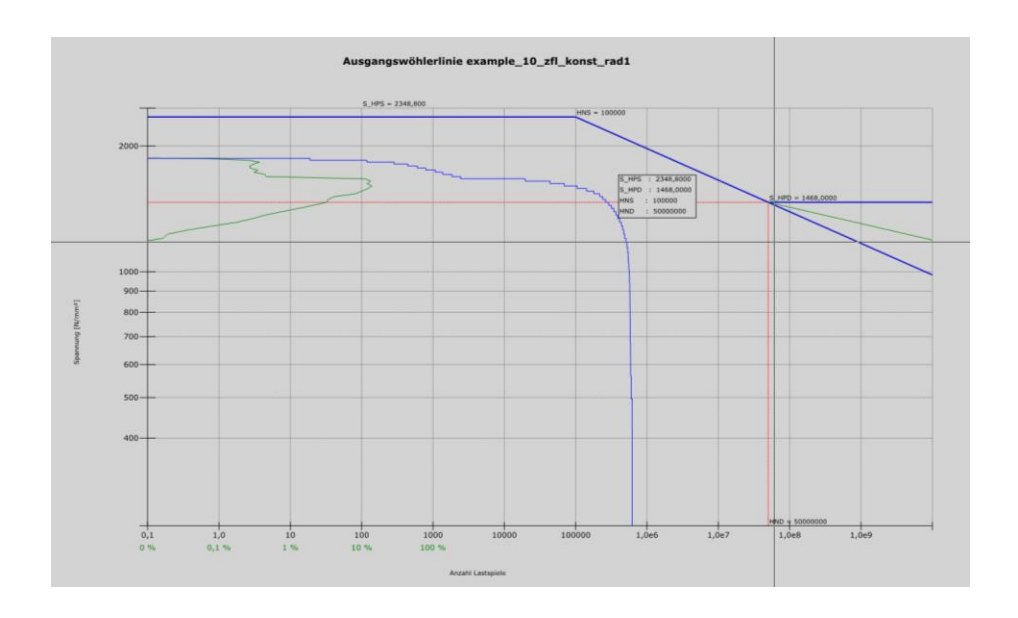


Bild 11-23: Ausgabefenster der Wöhlerlinie zusammen mit Amplitudenkollektiv und prozentualer Schädigung für die Zahnflanke

11.2.7. Berechnung des großen Zahnrades (Rad 2)

Die Berechnung des großen Zahnrades erfolgt in ähnlicher Weise, so dass nur auf die Abweichungen hingewiesen werden muss, die sich alle auf die Angaben bei der Berechnung beziehen:

Bei der Wöhlerlinie liegen geringfügig andere Werte für Zahnfuß und Zahnflanke vor.

Das Lastkollektiv muß für die Bedingungen des Rades 2 definiert sein. Es ist hier die Datei

 $example_10_2ndwheel_measured.vz3$

zu verwenden.

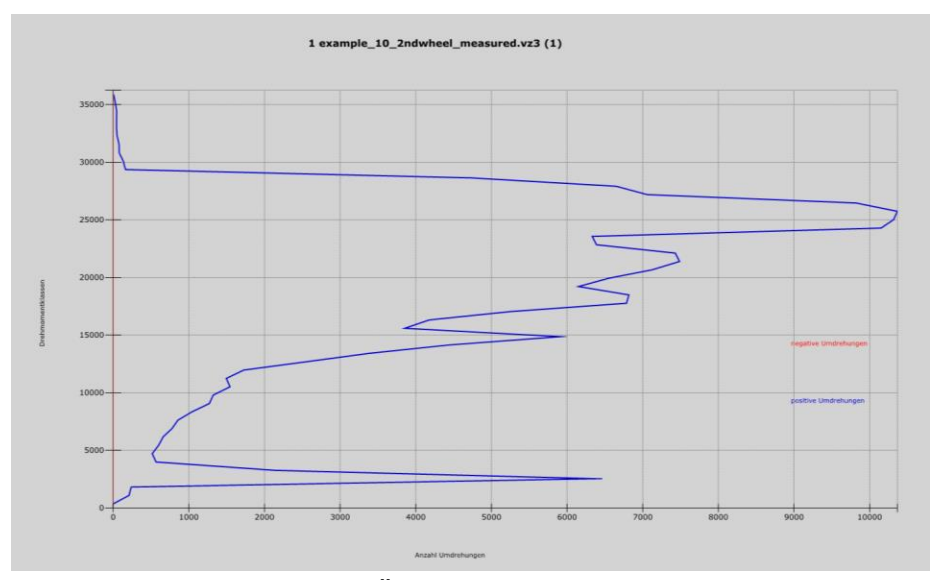


Bild 11-24: Kollektiv der Überrollungen für Drehmomentklassen

Der Vergleich mit dem Kollektiv für Rad 1 zeigt sehr deutlich, dass das maximale Drehmoment größer ist, dafür die maximale Drehzahl um den gleichen Faktor (entsprechend dem Übersetzungsverhältnis bzw. dem Kehrwert) erheblich kleiner ist.

11.2.7.1. Ergebnisse Zahnfuß (Rad 2)

Bei der Eingabe der Berechnungsparameter wird der konstante Umrechnungsfaktor für die Zahnfußspannung K_F nun mit 0,029 verwendet, dessen Ermittlung zuvor beschrieben wurde. Das Ergebnis der Berechnung ist eine Schadenssumme von 0,00867, das Kollektiv mit der Wöhlerlinie ist im folgenden Bild dargestellt.

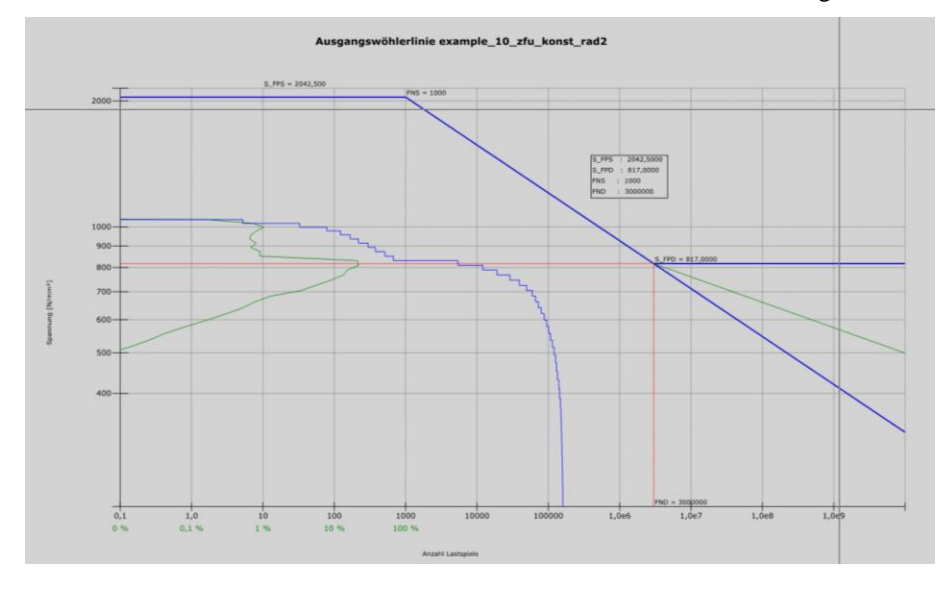


Bild 11-25: Wöhlerkurve mit Amplitudenkollektiv und prozentualer Schädigung für den Zahnfuß von Rad 2

11.2.7.2. Ergebnisse Zahnflanke (Rad 2)

Bei der Eingabe der Berechnungsparameter wird der konstante Umrechnungsfaktor für die Zahnfußspannung K_HP nun mit 9,4 verwendet, dessen Ermittlung zuvor beschrieben wurde.

Das Ergebnis der Berechnung ist eine Schadenssumme von 0,00228, das Kollektiv mit der Wöhlerlinie ist im folgenden Bild dargestellt.

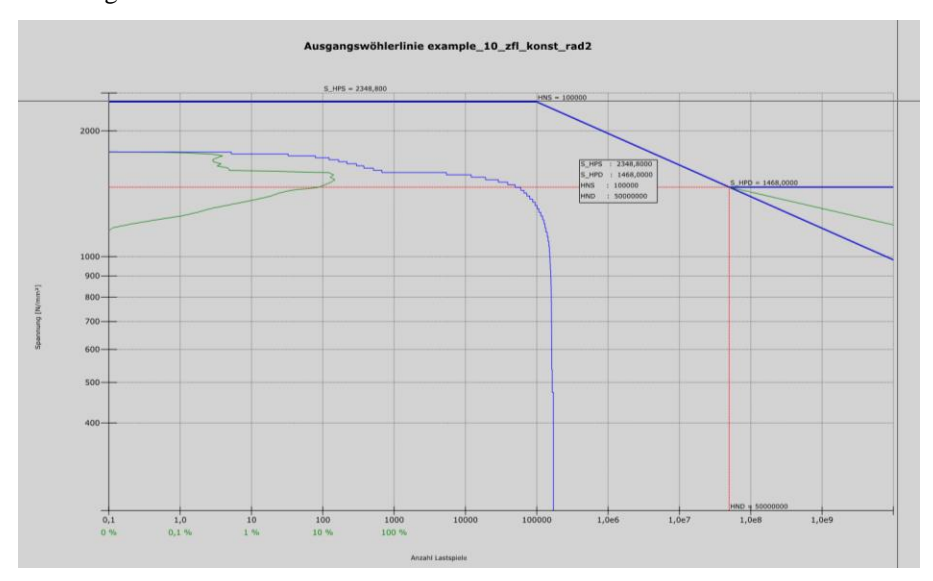


Bild 11-26: Wöhlerkurve mit Amplitudenkollektiv und prozentualer Schädigung für die Zahnflanke von Rad 2

11.2.7.3. Umrechnungsfaktoren Flanke und Fuss (Rad 2)

Das am Zahnrad 2 wirkende Kollektiv liegt vor und ist in der Datei

example_10_2ndwheel_measured.vz3

enthalten. Es wurde aus Zahnrad 1 umgerechnet, indem mit Hilfe der Übersetzung Drehmoment und Drehzahl skaliert wurden.

Drehzahl -> Zahnlastwechsel:

Auch das Zahnrad 2 hat einen Lastwechsel pro Umdrehung. Der Faktor ist daher =1.

Zahnraddrehmoment:

Das Drehmoment am großen Zahnrad entspricht dem Drehmoment in der gegebenen Verweildauerdatei. Der Faktor ist daher =1.

Zahnfußspannung/Zahnflankenspannung:

Der Umrechnungsfaktor zwischen Drehmoment am Zahnrad und Zahnfußspannung wurde bei der Auslegung des Zahnrades erhalten; er ist mit 0,029 gegeben, für die Zahnflanke beträgt er 9,4.

11.2.7.4. Mittelspannungseinfluss

Einfluss der Schleifkerben:

Ritzel und großes Zahnrad sind identisch hergestellt, so dass hier ein gleicher Wert für die Schleifkerben angegeben wird, der 0,2 für Zahnfuß und Zahnflanke beträgt.

Anzahl der Lastwechsel in einer Periode:

In unserem Fall treten nur Schwellbelastungen auf, da kein Zwischenrad oder Planetengetriebe vorliegt. In einem solchen Fall tritt keine Abminderung durch Änderung der Lastrichtung auf und es kann für N_P =0 angegeben werden, da dann der Wert für Y_A automatisch auf 1 gesetzt wird.

11.2.7.5. Schadensberechnung

Es wird hier nach der modifizierten Form gerechnet, die in der überwiegenden Zahl der Fälle angewendet wird.

Nachdem in der Maske OK angeklickt wird, startet die Berechnung.

11.2.8. Umrechnungsfaktoren K_HP und K_FP variabel einstellen

Die folgend beschriebene Vorgehensweise setzt voraus, dass mit dem Programm ZAR1 der Firma HEXAGON eine Zahnradauslegung erfolgt ist und eine Datei *.EDI erzeugt wurde.

Die Zahnflahenspannung sind abhängig von Drehzahl und Drehmoment. Die Faktoren K_HP und K_FP ändern sich mit Drehmoment und Drehzahl zwar nur geringfügig, doch ist der Einfluß auf die Lebensdauer wegen der logarithmischen Zusammenhänge der Wöhlerkurve bedeutsam.

Diese Abhängigkeit wird dadurch berücksichtigt, dass die Faktoren K_HP und K_FP für alle Kombinationen der Drehzahl-Drehmomentenmatrix berechnet werden. Dies geschieht durch einen Aufruf des Programms ZAR für jedes Element der Drehzahl-Drehmomentenmatrix

Um diesen Ablauf zu berücksichtigen, muß im Datenbaum für das aktive Projekt

Schnittstelle

markiert werden (s. Bild). Im Fenster darunter müssen die Daten für das Importprogramm

der

EDI-Dateiname

und in der Zeile Aktiviert muß

Nicht vergessen! Es muß zur Übernahme dieser Einstellungen der Update Button gedrückt werden

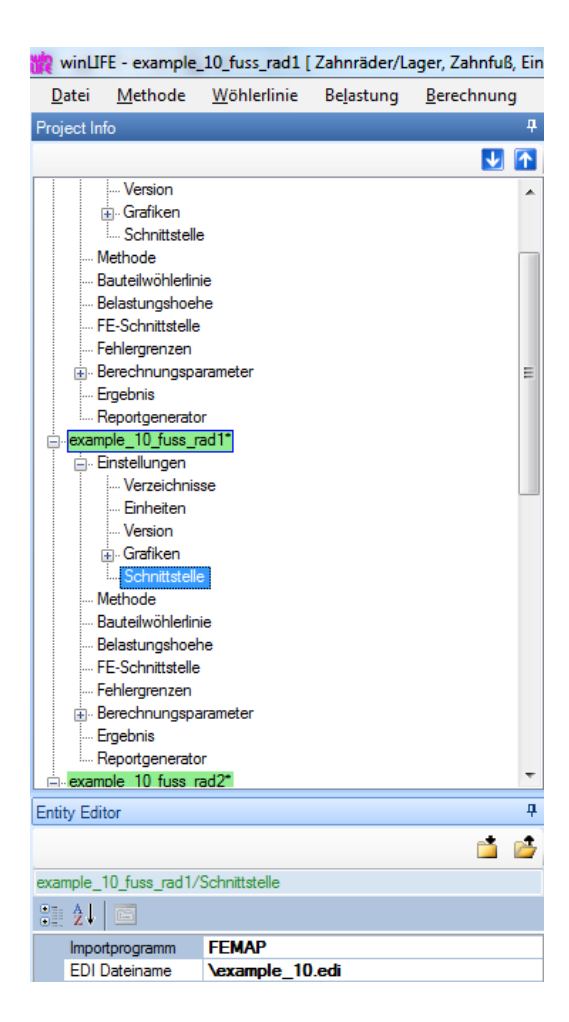


Bild 11-27: Datenbaum mit Einstellungen zur Berücksichtigung der Drehzahl-und Drehmomentenabhängigkeit der Faktoren K_F und K_HP

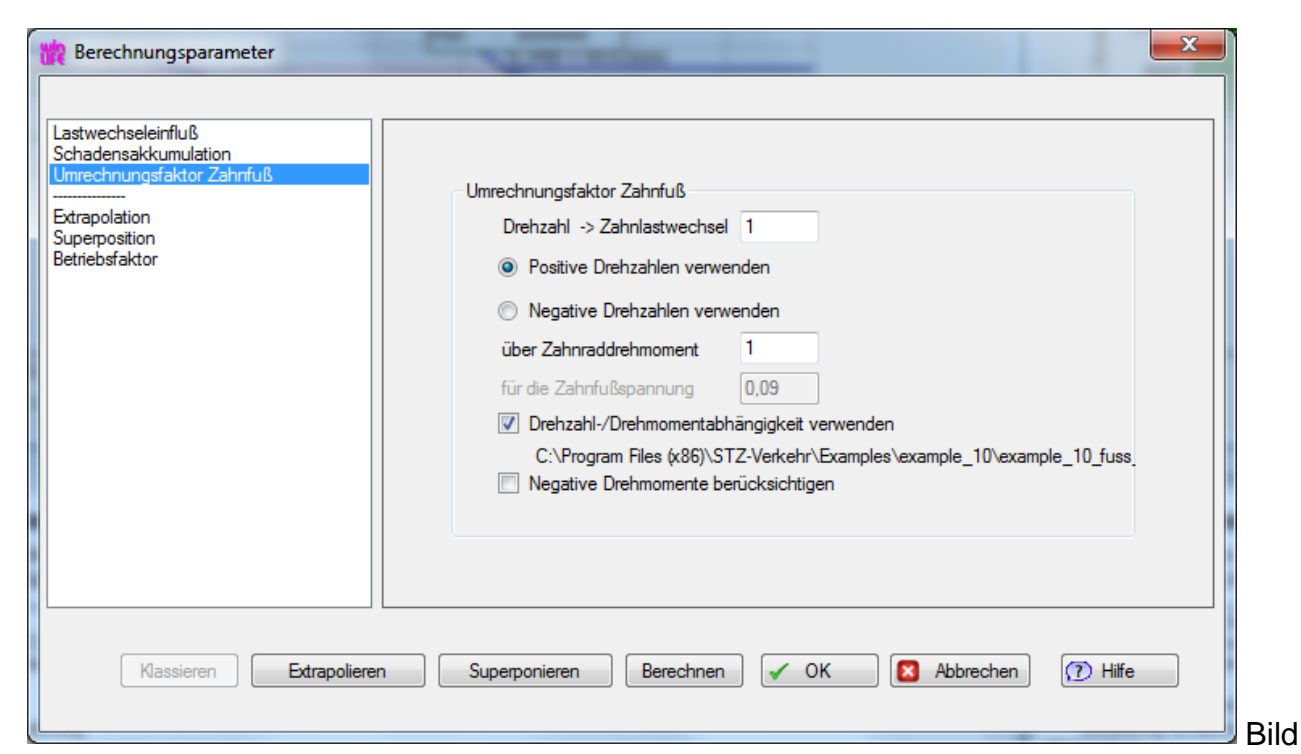
Bei der Wahl der

 $Be rechnung sparameter \, / \, Umrechnung sfaktor \, Zahnfu\beta$

muß das Kästchen

Drehzahl-/Drehmomentenabhängigkeit

markiert werden.



11-28: Eingabemaske zur Festlegung der Umrechnung von dem Drehzahl-Drehmomentenkollektiv auf die Verhältnisse am Zahnfuß

Wenn dieses Kästchen markiert ist, dann erweitert sich das Menü Berechnung um weitere Menüpunkte. Wir wählen dyn. Abhängigkeit / Zahnfuss / Erzeugen

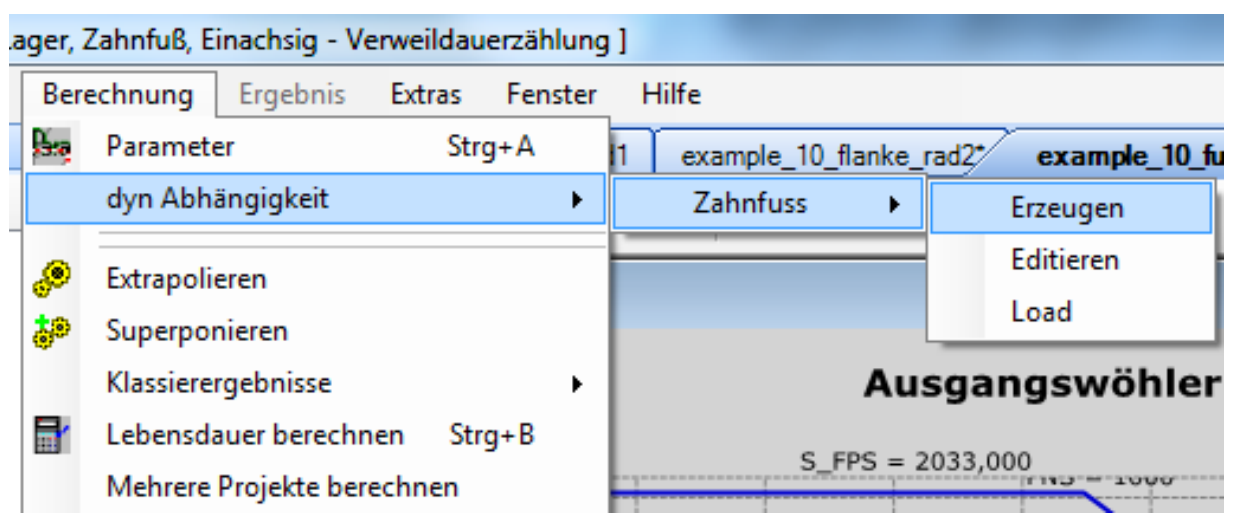


Bild 11-29: Menüpunkte zur Erzeugung der Drehzahl-Drehmomentenabhängigkeit (dyn. Abhängigkeit) der Faktoren K_F und K_HP

Und es erscheint folgende Eingabemaske, in die der Bereich des Drehzahl- Drehmomentenkollektivs und die Anzahl der zu verwendenden Klassen eingetragen werden. Diese Daten können identisch sein mit den Angaben aus der Verweildauermatrix.

Weiterhin muß die für diese Auslegung erzeugte EDI-Datei ausgewählt und das Programm - hier ZAR1 mit Pfad – angegeben werden.

Schließlich muß noch gewählt werden, ob für Rad 1 (Ritzel) oder Rad 2 die Berechnung erfolgen soll.

Als letzter Schritt ist

Übernahme

Anzuklicken. Dies bewirkt den Start der Berechnung, bei der für jedes Marixelement ein Programmaufruf von ZAR1 erfolgt, bei dem der Faktor berechnet und in die Matrix geschrieben wird. Dies wird visualisiert und kann vom dem Benutzer verfolgt werden.

Die Rechenzeit beträgt dabei ca. 0,1 Sekunden pro Aufruf, so dass für die Erstellung der Matrix im Beispiel ca. 250 Sekunden erforderlich sind.

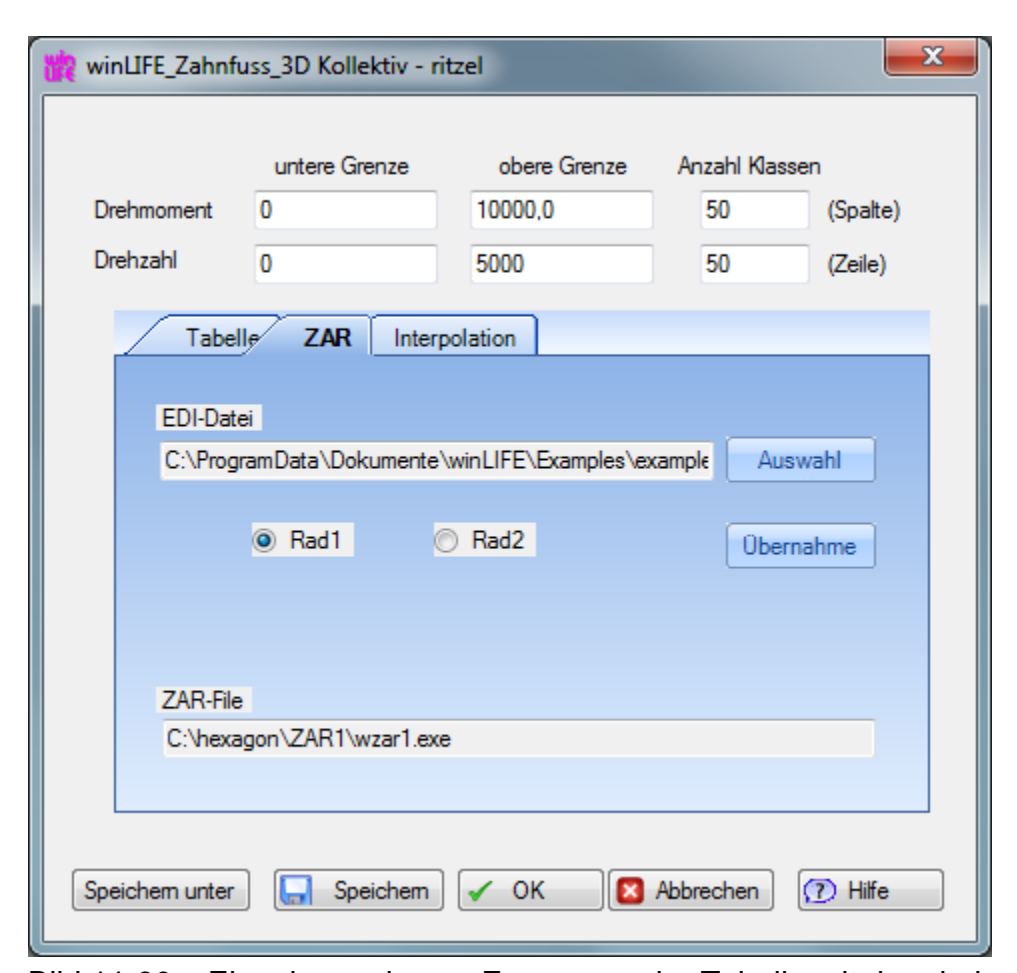


Bild 11-30: Eingabemaske zur Erzeugung der Tabelle mit den drehzahl- und drehmomentabhängigen Faktoren K_HP für den Zahnfuss von Zahnrad 1



Bild 11-31: Eingabemaske zur Erzeugung der Tabelle mit den drehzahl- und drehmomentabhängigen Faktoren K_HP für die Zahnflanke für Zahnrad 1

Am Ende der Berechnung aller Elemente sehen die beiden Tabellen für das Beispiel wie folgt aus.

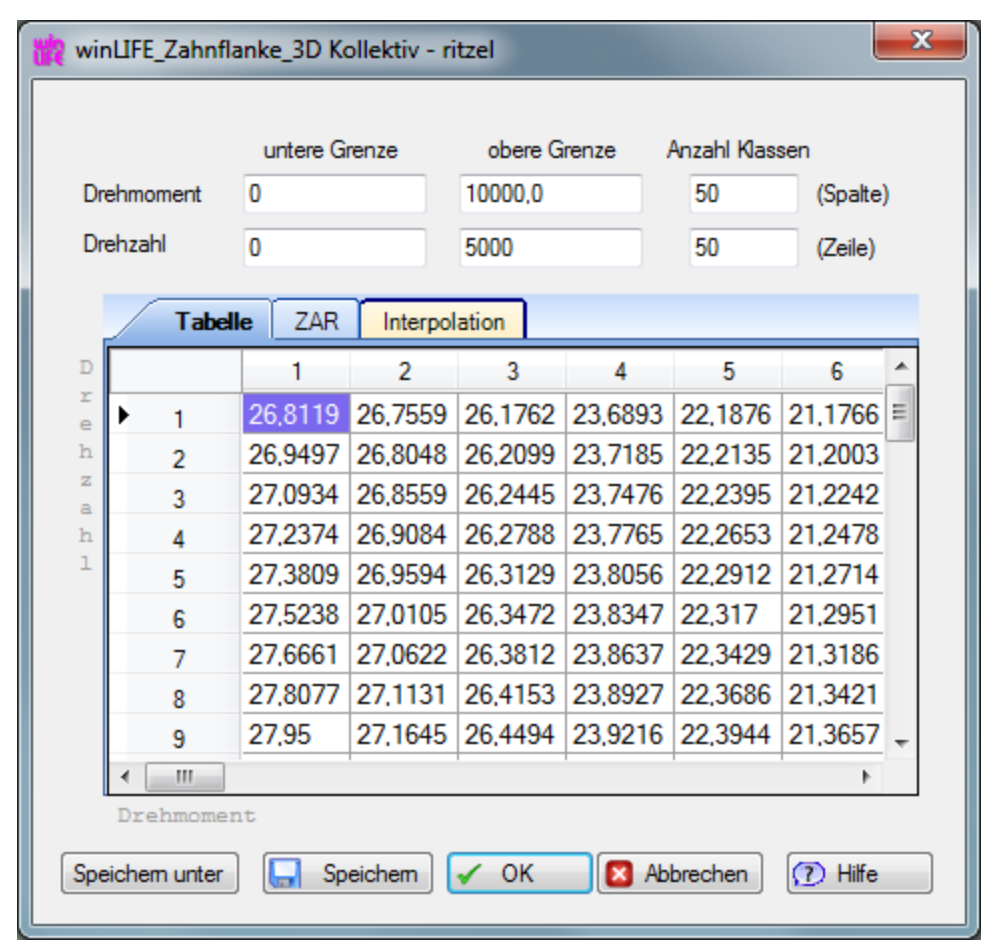


Bild 11-32: Tabelle mit den drehzahl- und drehmomentenabhängigen Faktoren K_HP (Flanke)

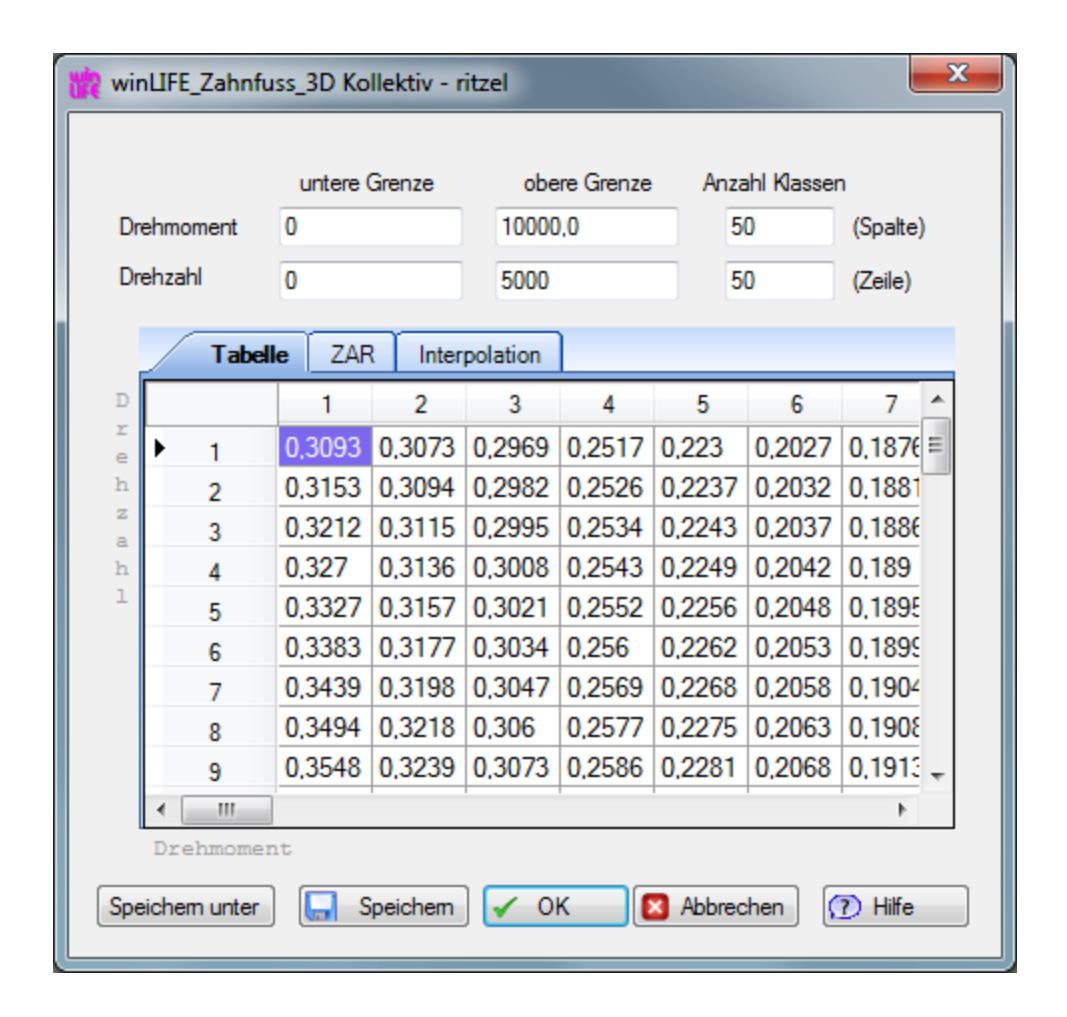


Bild 11-33: Tabelle mit den drehzahl- und drehmomentenabhängigen Faktoren K_F (Fuss)

Dieses Ergebnis kann gespeichert werden, wenn es auch in anderen Projekten verwendet werden soll. Wird nur OK geklickt, so steht es nur in diesem Projekt zur Verfügung.

Nachdem diese Maske mit OK verlassen wurde, kann im Menü

Berechnung / Lebensdauer berechnen

wird die Berechnung gestartet.

Das Ergebnis der Berechnung wird – in der Regel nach einer Rechenzeit von maximal einer Sekunde - auf dem Bildschirm dargestellt. In unserem Beispiel ergibt sich eine Schadenssumme von 0,0167 für die Flanke von Rad 1.



Bild 11-34: Ergebnis der Berechnung für die Flanke von Zahnrad 1 unter Verwendung von drehzahl- und drehmomentenabhängigen Faktoren K_F bzw. K_HP

11.2.9. Zusammenfassung der Ergebnisse

Einen Vergleich der Schadenssummen gegenüber den konstanten Umrechnungsfaktoren und den dynamischen zeigt die folgende Tabelle:

	Rad 1		Rad 1		Rad 2		Rad 2			
	Zahnfuss		Zahnflanke		Zahnfuss		Zahnflanke			
Projekt	Example_10_zfu_ konst_rad1.wlf	Example_10_zfu_ dyn_rad1.wlf	Example_10_zf1_ konst_rad1.wlf	Example_10_zfi_ dyn_rad1.wlf	Example_10_zfu_ konst_rad2.wlf	Example_10_zfu_ dyn_rad2.wlf	Example_10_zfl_ konst_rad2.wlf	Example_10_zfl_ dyn_rad2.wlf		
WL_o ben	2032 / 1000		2348/100000		2042/1000		2348/100000			
WL_u nten	813 / 3000000		1468/50000000		817 / 3000000		1468/50000000			
Steig	8,738		13,222		8,738		13,222			
Belastg	exampl	e_10_m	easured.v	exampl ed.vz3	le_10_2ndwheel_measur					
X- Einfl	0,2									
NP		109								
	Modifiz. Form									
	Pos. Drehz. verwenden									
Berechn ungsart	konst	dyn	konst	dyn	konst	dyn	Konst	dyn		
Faktor	0,0936	Ritzel_zahnfu ss.kfp	18,79	Ritzel_zahnfl anke	0,029		9,4			
Schaden D	0,00559	0,140	0,01674	0,0429	0,00867	2,45 10-7	0,00228	0,448		

Man erkennt deutlich den Einfluß der Drehzahl- und Drehmomentenabhängigkeit der Faktoren, so dass man, wenn aussagekräftige Kollektivwerte vorliegen, diese dynamischen Faktoren möglichst verwenden sollte.

11.3. Beispiel für eine Lagerberechnung

11.3.1. Daten des Lagers und der Belastung

Es soll die Lebensdauer eines Wälzlagers berechnet werden, das durch eine radiale Kraft belastet ist. Als Beispiel wird ein Nadellager verwendet, für das aus einem Lagerkatalog folgende Werte entnommen wurden:

dynamische Tragzahl: C=24~600~N, Exponent p=10/3

Die Belastung dieses Lagers soll zunächst durch eine konstante Kraft von P=4400 N bei einer konstanten Drehzahl von 1000 1/min erfolgen. Die Frage lautet, welche Betriebszeit das Lager erreicht.

11.3.2. Festlegung der Methode

Zunächst muss die Methode im folgenden Fenster in folgender Weise festgelegt werden.

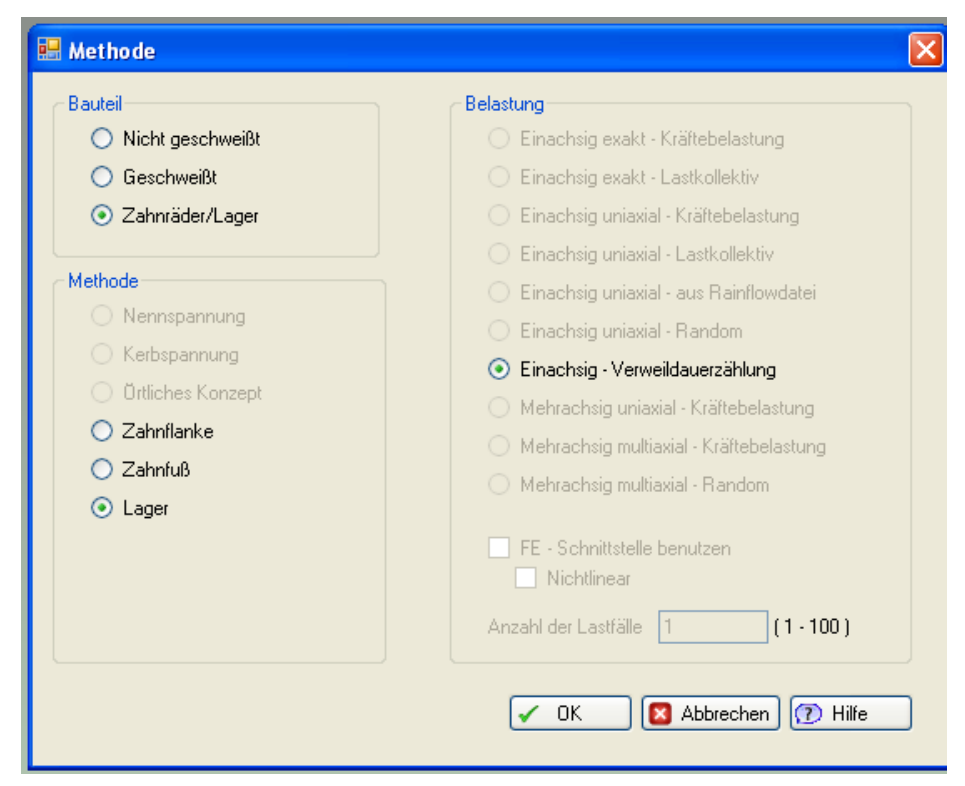


Bild 11-35: Eingabemaske für die Wahl der Methode

11.3.3. Erzeugung einer Wöhlerlinie

In unserem Beispiel sollen die in der Maske angezeigten Daten eingegeben abgespeichert werden.



Bild 11-36: Eingabemaske zur Festlegung der Wöhlerlinie

11.3.4. Eingabe der Belastung

Zur Eingabe der Belastung ist im Menü *Belastung/Generieren / Verweildauerzählung* zu wählen, worauf die abgebildete Eingabemaske erscheint. Diese erscheint allerdings für dieses einfache Beispiel sehr kompliziert. Für reale Belastungsvorgaben ist jedoch diese Form der Eingabe sinnvoll und soll daher auch verwendet werden. Allerdings wird

man eine derartige Eingabe nur in Ausnahmefällen machen, da zumeist die Daten als Messdaten vorliegen und einfach eingelesen werden können.

Im ersten Schritt ist der interessierende Bereich für die Grenzen des Belastungssignals einzugeben. Es werden hier die Grenzen -50 bis 4950 sowohl für Drehmoment und Drehzahl bei je 50 Klassen gewählt. Damit liegen die Klassenmitten bei Vielfachen von Hundert, was das Nachvollziehen dieser Beispielrechnung erleichtert.

Die Kraft von 4400 N bei 1000 1/min liegt dann in der zwölften Drehzahlklasse und der 44. Drehmomentenklasse. Für diese Klasse wird eine Zeitdauer von 3600 Sekunden angegeben, was exakt einer Stunde entspricht. Grafisch kann man sich dieses Kollektiv anschauen, indem *Belastung/View* gewählt wird. Es besteht die Möglichkeit, in dieser Grafik Änderungen der Daten vorzunehmen, indem die rechte Maustaste gedrückt und in den EDIT-Mode geschaltet wird (s. dazu auch das Handbuch des Basis-Moduls).

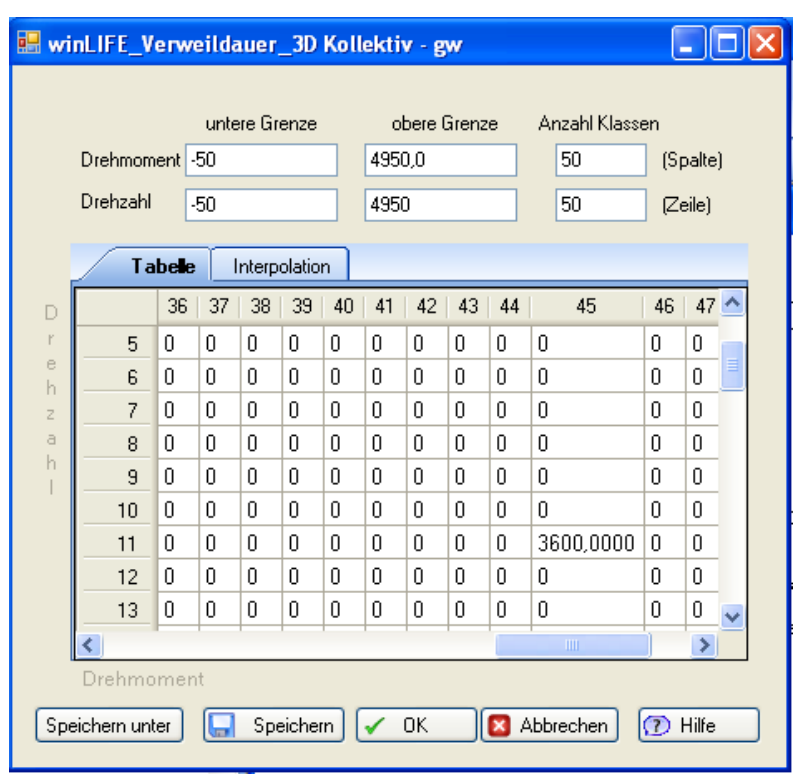


Bild 11-37: Eingabemaske für die Belastung

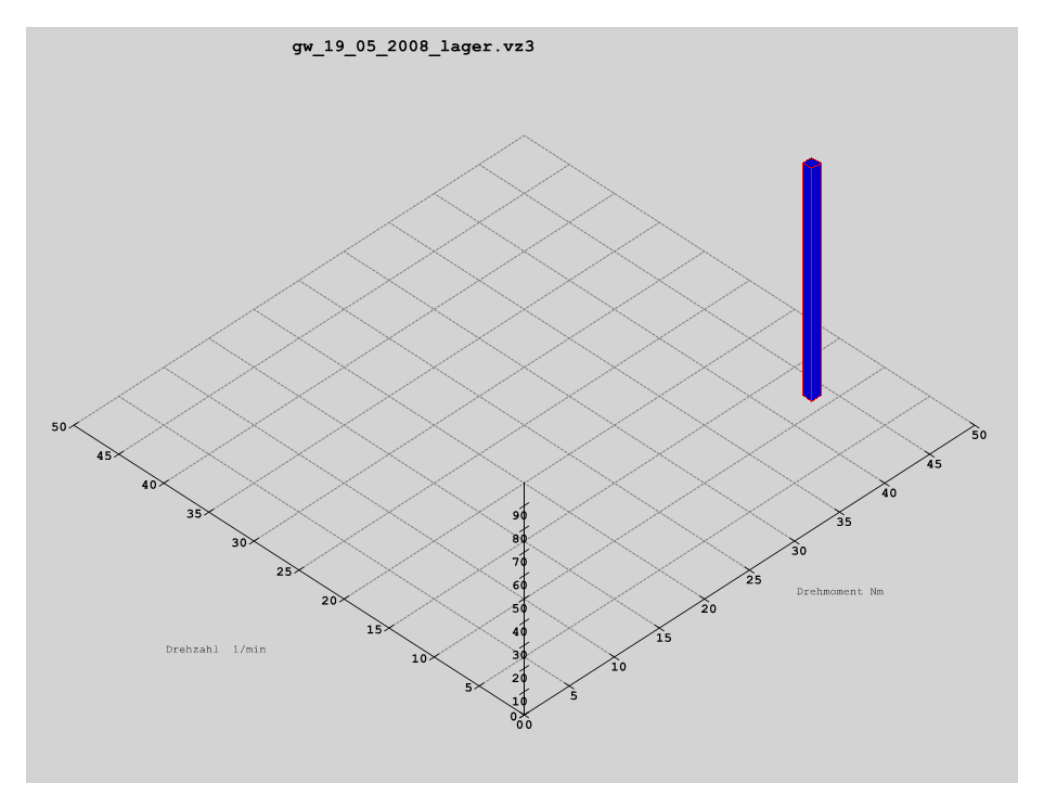


Bild 11-38 :Grafische Darstellung der Zeitanteile der Last, es werden auf den Achsen die Klassennummern angegeben

11.3.5. Berechnung der Lebensdauer und Diskussion der Ergebnisse

Zur Eingabe der Berechnungsparameter muss *Berechnung / Parameter* angeklickt werden und es erscheint die Maske:

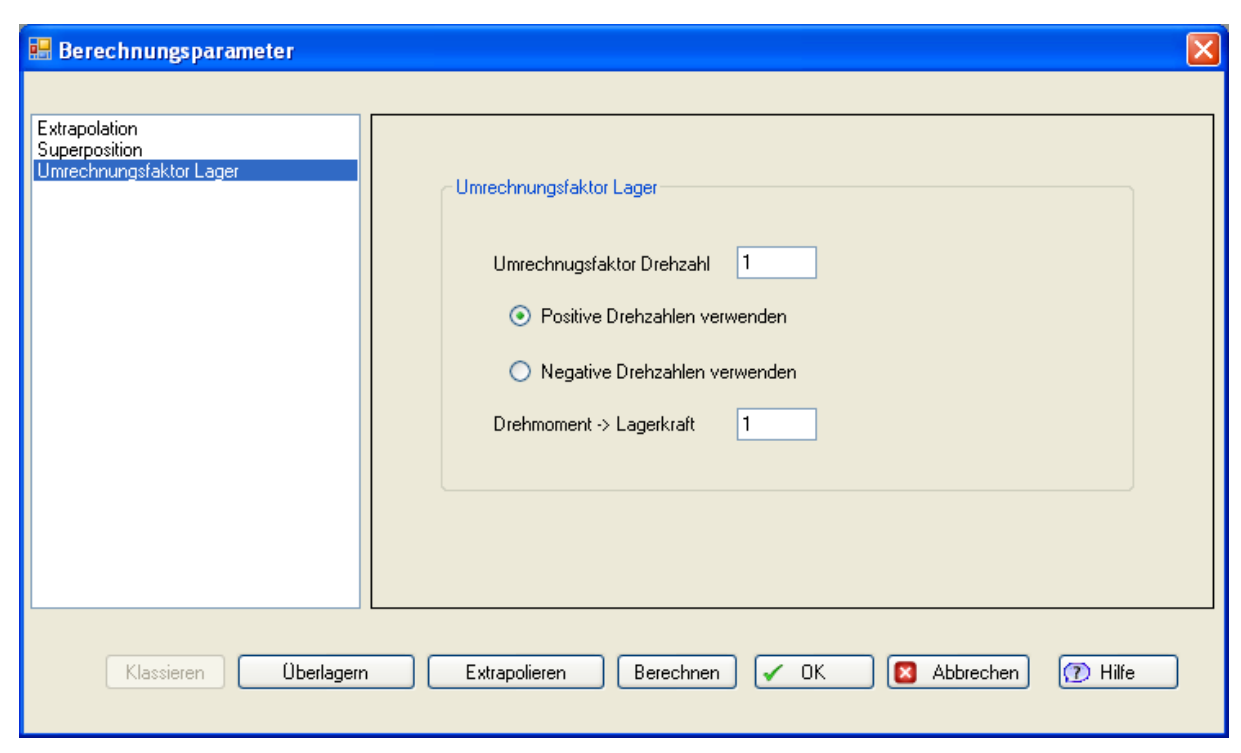


Bild 11-39: Eingabemaske für die Berechnungsparameter

Positive Drehzahlen verwenden ist im vorliegenden Fall ohne Auswirkung, da alle Drehzahlen positiv sind.

Die Berechnung wird gestartet, indem *Berechnung / Lebensdauer berechnen* angeklickt wird und das Ergebnis wird danach automatisch angezeigt. Es erscheint dann das folgende Bild, in dem die Ergebnisse und ein Auszug der Eingaben dargestellt sind.

Die maximal berechnete Schadenssumme beträgt 1,935496322e-04

Es können 5166,63 des hier zu Grunde gelegten Zyklus bis zum Defekt auftreten.

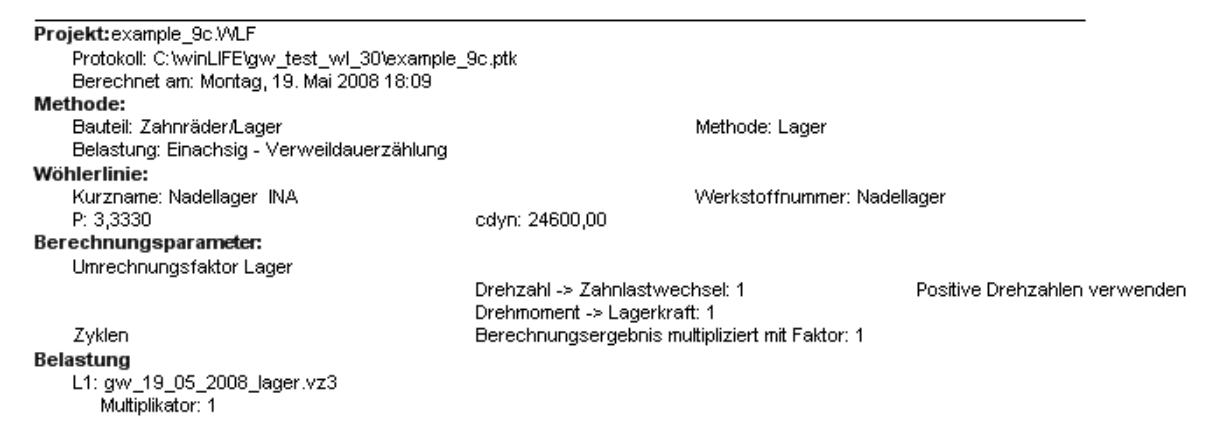


Bild 11-40:

Die aufgebrachte Belastung von 4400 N bei 1000 1/min darf 5166 Mal wiederholt werden, bis die Schadenssumme 1 eintritt. Im vorliegenden Beispiel dauerte die vorgegebene Belastung genau 1h. Da die Belastung 5166 Mal wiederholt werden darf, beträgt die rechnerische Lebensdauer 5166 Stunden.

* * * * * * P R O T O K O L L * * * * * Projekt: C:\winLIFE\gw_test_wl_30\example_9c Monday 19 May 2008 18:9									
C:\win	Methode: Getriebelagerberechnung C:\winLIFE\gw_test_w1_30\gw_19_05_2008_lager.vz3 Aus der Belastung wurden die pos. Drehzahlen verw.								
Umrechnungsfaktor Drehmoment -> Kraft : 1.0000 Umrechnungsfaktor Drehzahl -> Lastwechsel: 1.000 Cdyn: 24600 p: 3.333									
Klasse		ment	Kraft	Drehzahl	Lastwechsel	Lastw.b.Defek	t Schaden		
12 13	von50.000- 50.000- 150.000- 250.000- 350.000- 450.000- 750.000- 850.000- 950.000- 1050.000- 1250.000- 1350.000-	50.000 150.000 250.000 350.000 450.000 550.000 650.000 750.000 850.000 1050.000 1150.000 1250.000 1450.000	0.000 100.000 200.000 300.000 400.000 500.000 700.000 800.000 900.000 1000.000 1200.000 1300.000	0.000 0.000 0.000 0.000 0.000 0.000 0.000 0.000 0.000 0.000	0.000 0.000 0.000 0.000 0.000 0.000 0.000 0.000 0.000 0.000				
38 39 40 41 42 43 44 45 46 47	3650.000- 3750.000- 3850.000- 3950.000- 4050.000- 4250.000- 4350.000- 4450.000- 4550.000- 4650.000- 4850.000-	3750.000 3850.000 3950.000 4050.000 4150.000 4350.000 4450.000 4550.000 4650.000 4650.000 4750.000 4850.000	3700.000 3800.000 3900.000 4000.000 4100.000 4200.000 4400.000 4500.000 4700.000 4800.000 4900.000	0.000 0.000 0.000 0.000 0.000 0.000 0.000 0.000 0.000	0.000 0.000 0.000 0.000 0.000 0.000 0.000 0.000 0.000 0.000	 	1.935496e-04		

Bild 11-41: Protokoll der Berechnung (gekürzt)

In der oben dargestellten Protokolldatei sind die Ergebnisse für alle Matrixelemente gespeichert. Da in unserem Beispiel nur ein Matrixelement vorliegt, ist die Schadenssumme für alle anderen Elemente gleich Null.

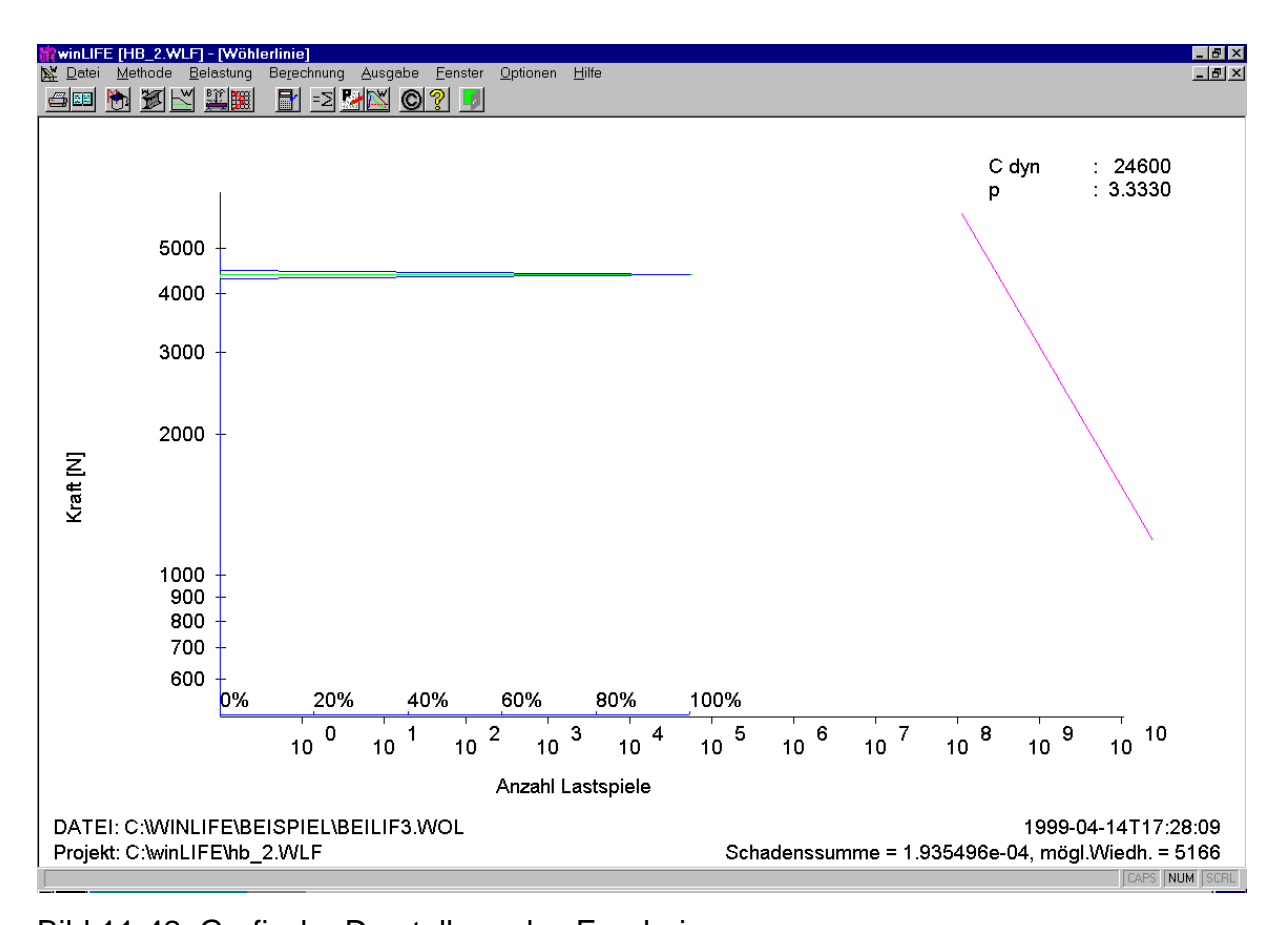


Bild 11-42: Grafische Darstellung des Ergebnisses

Die Ergebnisse in grafischer Darstellung sind in Bild oben zu finden. Man sieht dort die belastende Kraft von 4400 N, die zu 60000 (60 Minuten * 1000 1/min) Lastwechseln führt. Diese Lastwechsel bewirken die gesamte Schädigung (100%), da keine weitere Last wirkt.

Verwendet man nun ein realistischeres Kollektiv mit vielen verschiedenen Wertepaaren aus Belastung und Drehzahl, wie es z.B. im folgenden Bild gezeigt ist, so erkennt man den praktischen Nutzen der Darstellung in einer Matrix, was zu einer sofortigen Übersicht führt.

Auch die Darstellung von Belastungssummenkollektiv, Schädigungsanteil zusammen mit der Wöhlerlinie zeigt sofort, welcher Belastungsanteil zu der größten Schädigung führt.

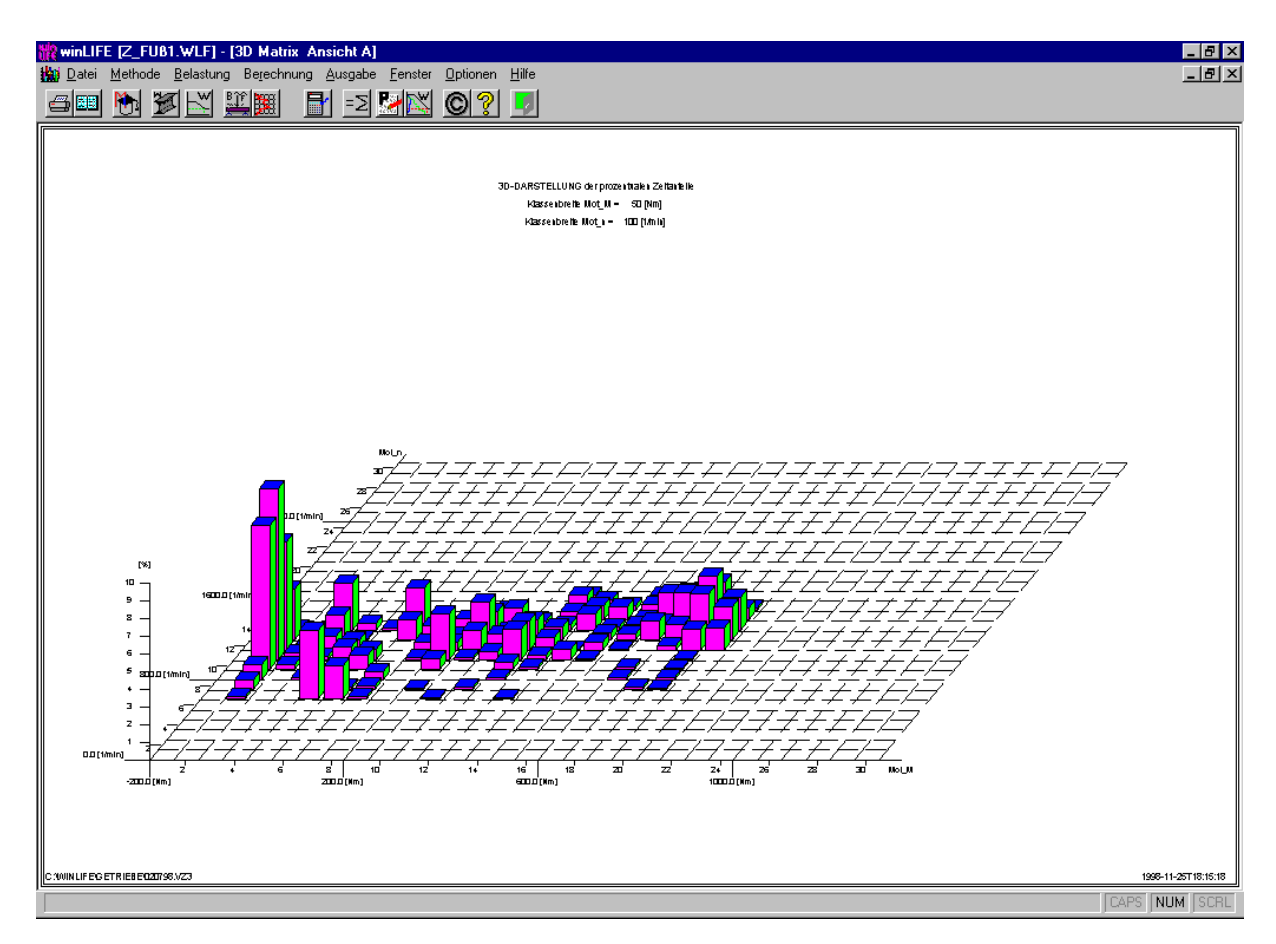


Bild 11-43: Zeitanteile in der Last Drehzahl-Matrix

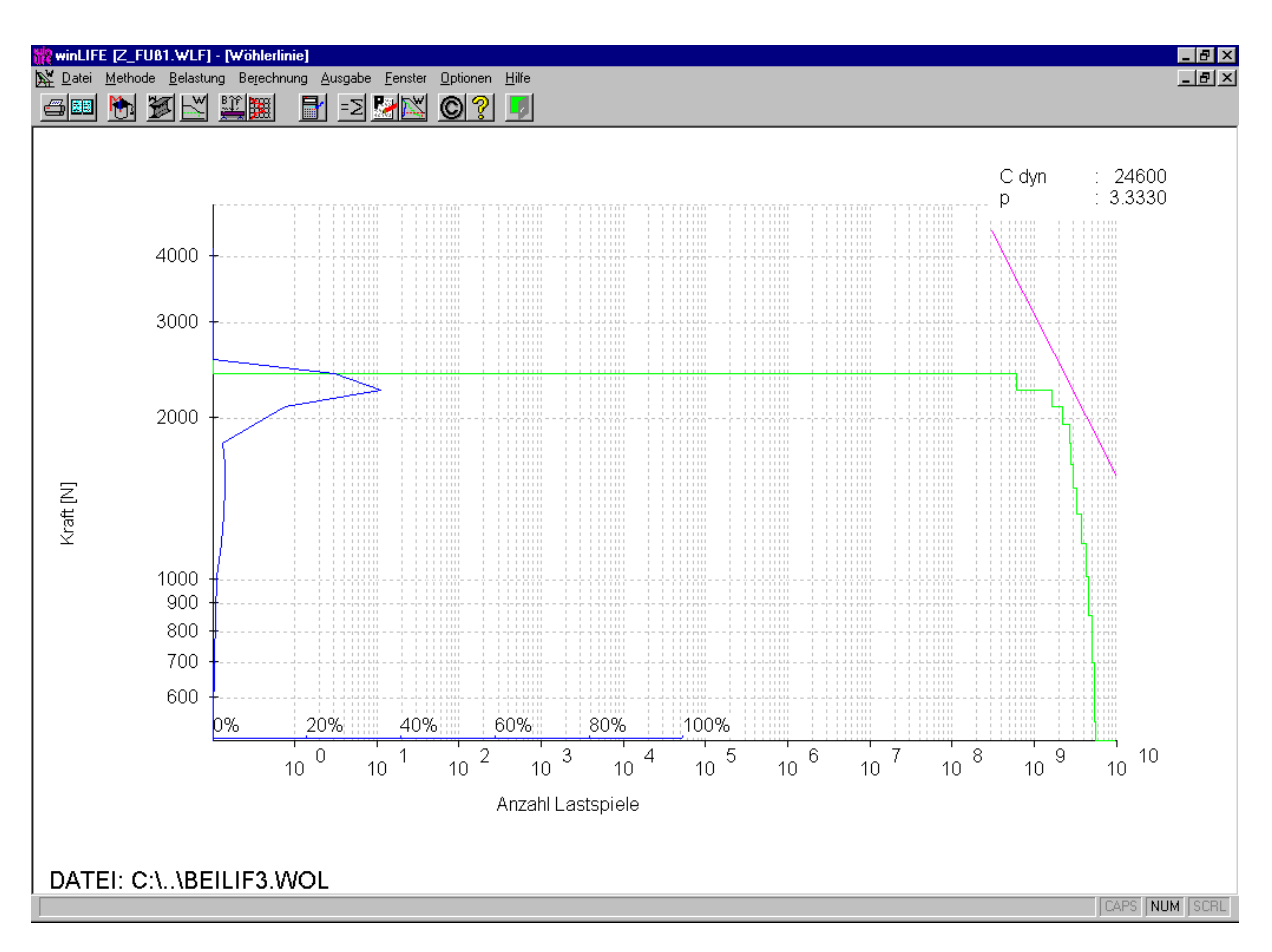
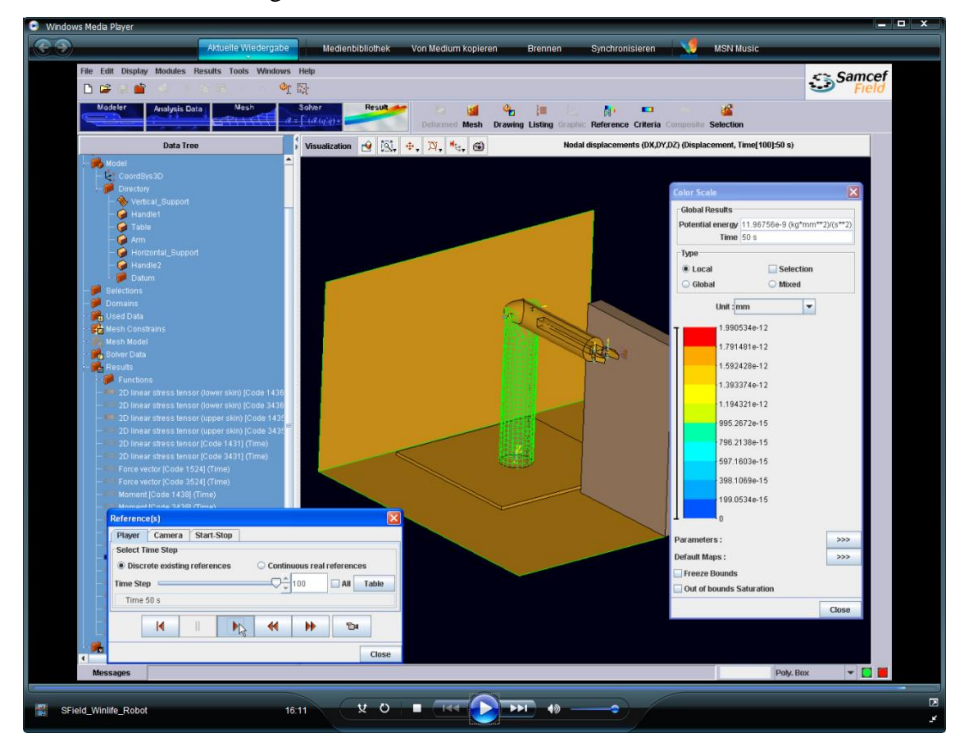


Bild 11-44: Last Drehzahl Kollektiv (lag_8)

12. Beispiel 11 / Mehrkörpersimulation eines Roboterarms (SAMCEF)

Hinweis: Dieses Beispiel ist hier verkürzt beschrieben, da es auch als Video Datei auf unserer Homepage existiert .

Es wird in diesem Beispiel das Zusammenwirken zwischen SAMCEF Field Version 7.0 und winLIFE gezeigt. Ein Roboterarm schlägt gegen eine Wand und die dabei auftretenden Beanspruchungen werden für eine Lebensdauerberechnung verwendet.

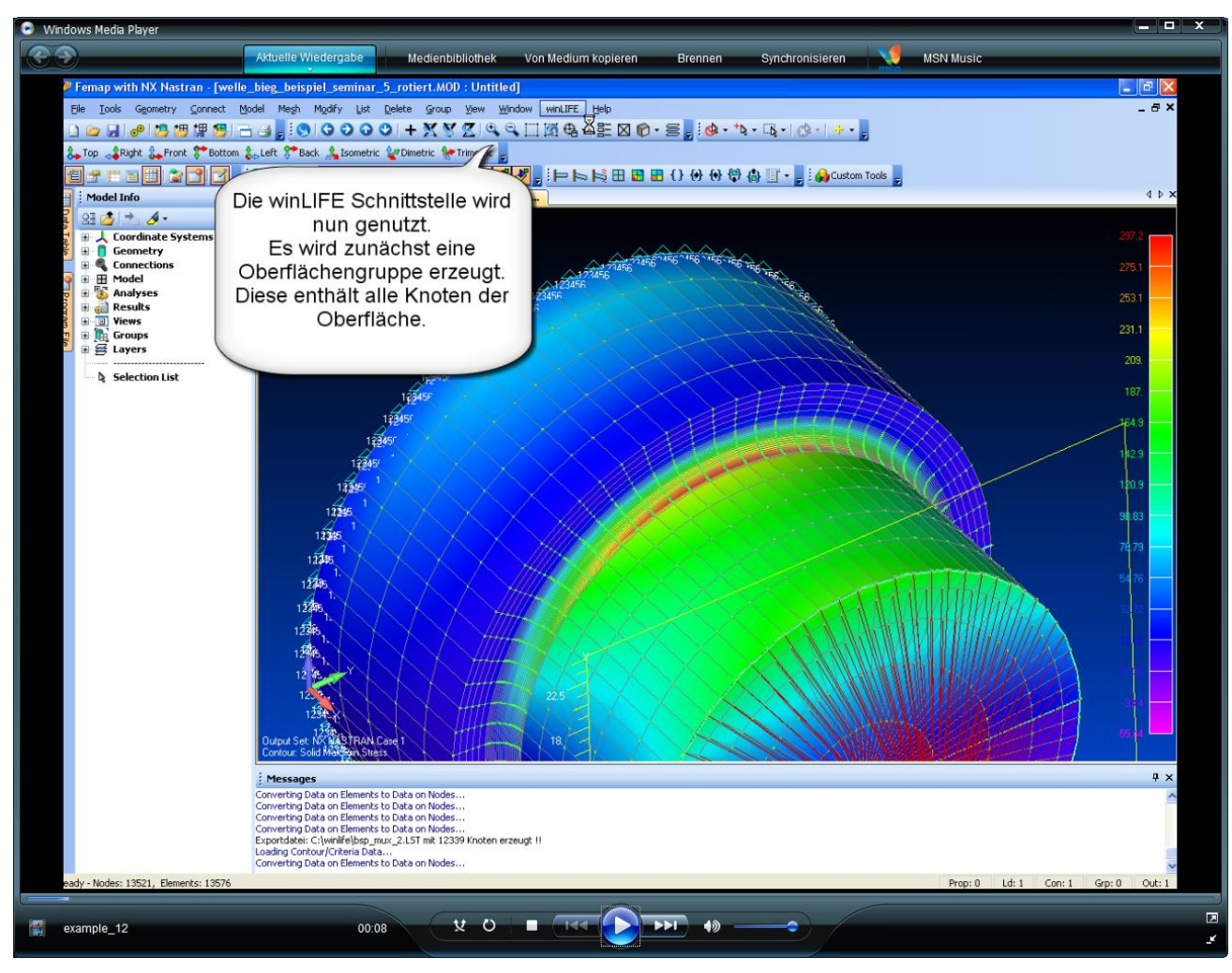


simulierter Roboterarm mit Ergebnissen der Lebensdauerberechnung in winLIFE

13. Beispiel 12 / Gekerbte Welle mit FEMAP

Hinweis: Dieses Beispiel ist hier verkürzt beschrieben, da es als Video Datei auf unserer Homepage existiert .

Es wird in diesem Beispiel das Zusammenwirken zwischen FEMAP und winLIFE gezeigt. An einer gekerbten Welle, die durch ein Biegemoment belastet ist, wird eine Lebensdauerberechnung vorgenommen. Dazu werden Einheitslastfälle in FEMAP definiert und an winLIFE übertragen. Die Ergebnisse der Lebensdauerberechnung werden zurück an FEMAP übergeben und dort dargestellt.



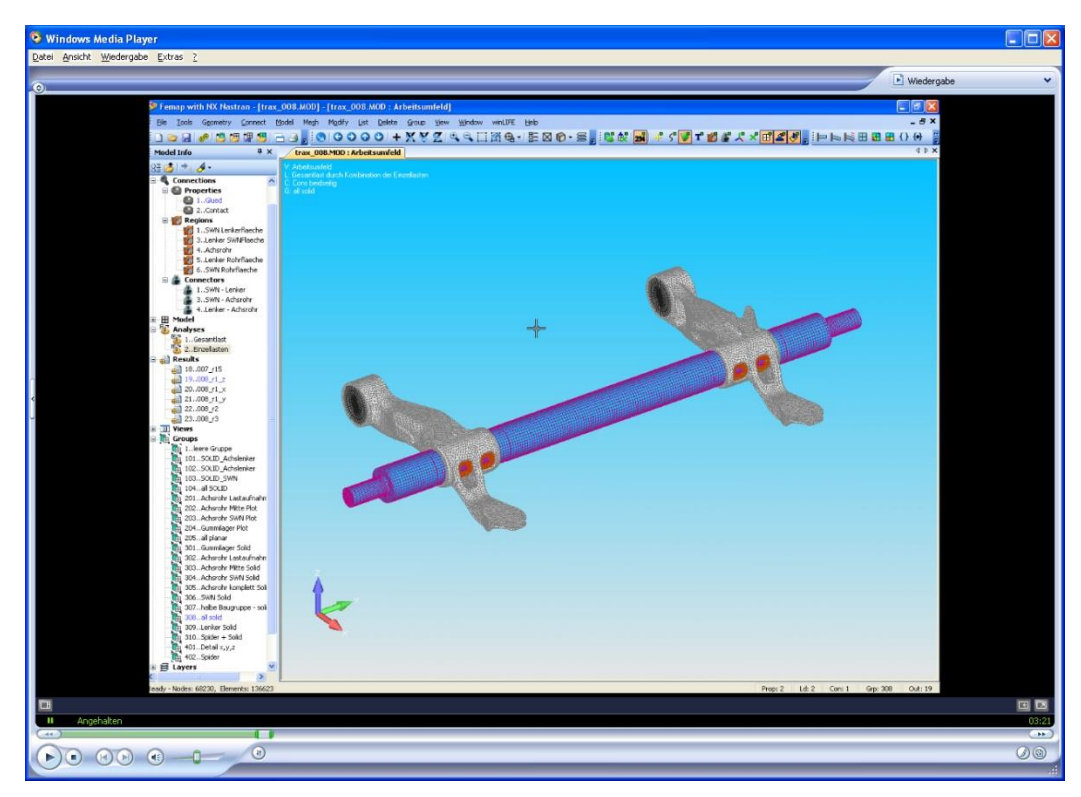
Welle mit Absatz inklusive Spannungsdarstellung in FEMAP

14. Beispiel 13 / Schweißnaht einer Nutzfahrzeugachse (FEMPAP)

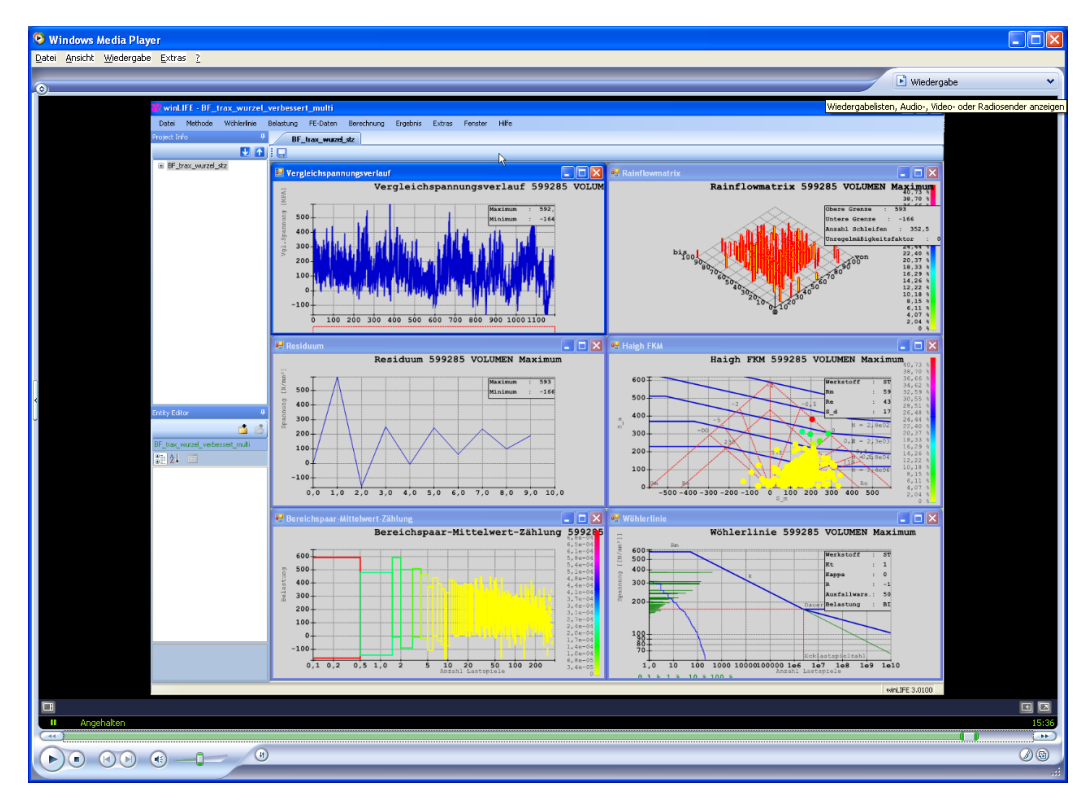
Hinweis: Dieses Beispiel ist hier verkürzt beschrieben, da es als Video Datei auf unserer Homepage existiert.

Es wird in diesem Beispiel wird das Zusammenwirken zwischen FEMAP und winLIFE 4.0 gezeigt. An einem komplexen Bauteil, einer Hinterachse, werden die Schweißnähte nach dem r1-Konzept berechnet.

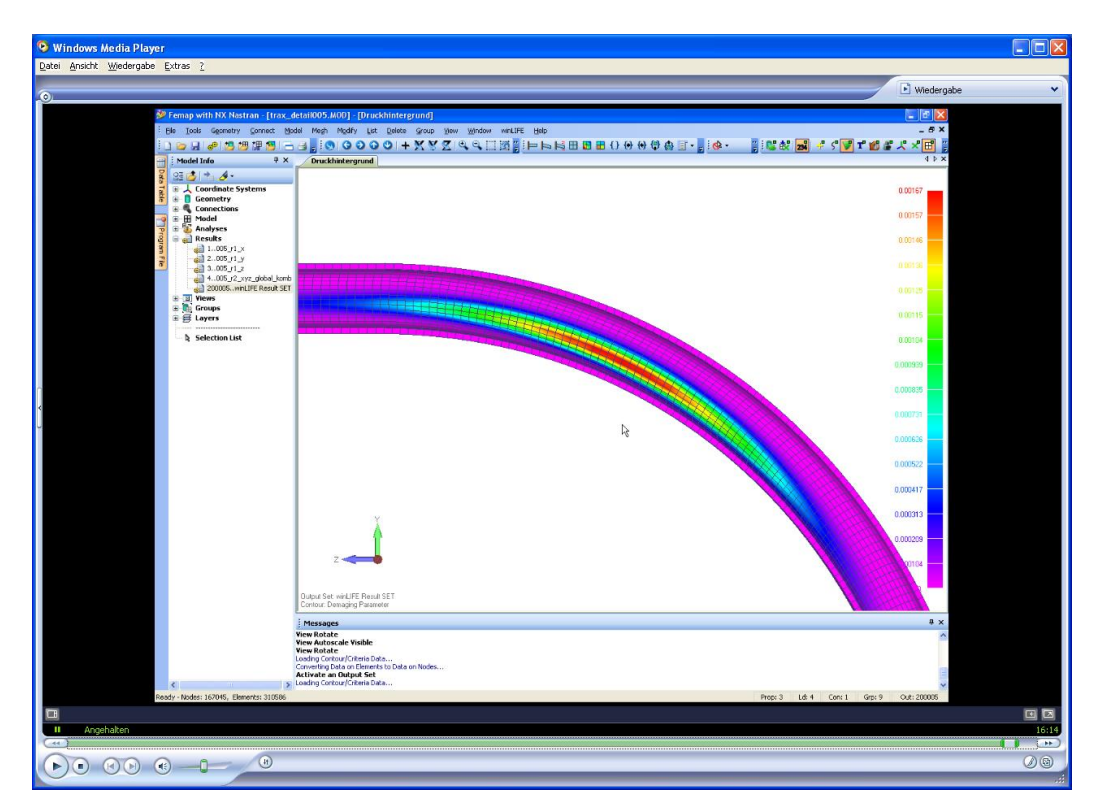
Es wird die gesamte Modellierung und die Verwendung von Sub-Strukturen gezeigt. Die Belastung erfolgt durch drei gemessene Last-Zeit-Funktionen. Es werden drei Einheitslastfälle in Richtung der Radkräfte in FEMAP berechnet und an winLIFE 4.0 übertragen. Die Ergebnisse der Lebensdauerberechnung werden zurück an FEMAP übergeben und dort dargestellt.



Gesamtansicht der berechneten Achse



Ergebnisse in winLIFE



Die Substruktur "Schweißnaht" mit Iso-Flächen gleicher Schädigung, die in winLIFE berechnet und in FEMAP importiert wurden.

15. Beispiel 15 / Gekerbte Welle (SAMCEF)

Hinweis: Dieses Beispiel ist als Video Datei auf unserer Homepage vorhanden.

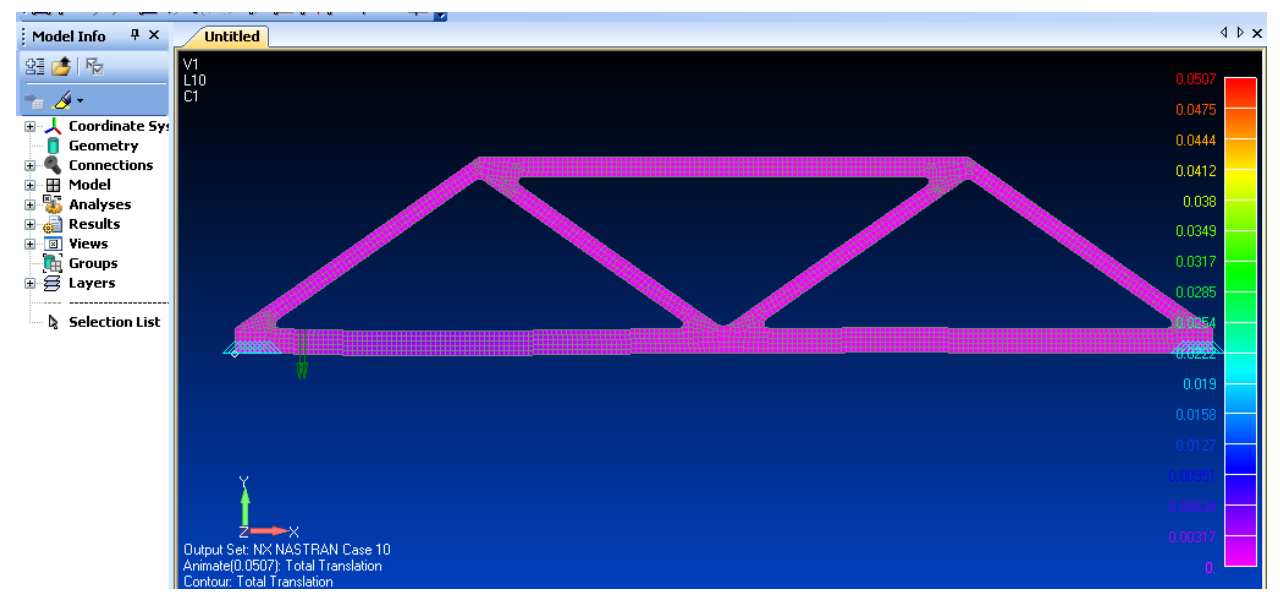
Es wird in diesem Beispiel mit Hilfe von SAMCEF eine Welle mit Kerbe berechnet. Der Modellaufbau in SAMCEF und die anschließende Lebensdauerberechnung einschließlich des Datentransfers ist beschrieben.

16. Beispiel 16 / Last über eine Brücke (FEMAP)

Hinweis: Dieses Beispiel ist als Video Datei auf unserer Homepage vorhanden.

FEM Analyse in FEMAP

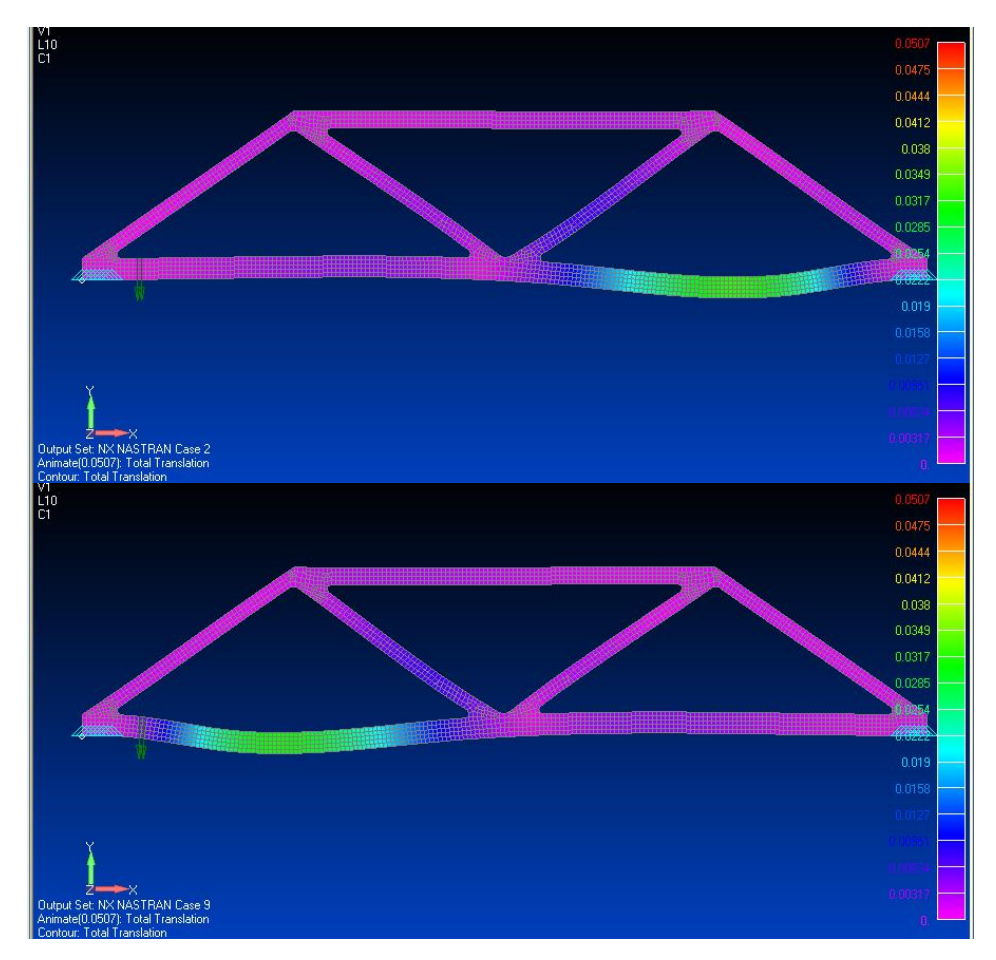
Dieses Beispiel beschreibt ein nichtlineares Modell. Es wird eine in FEMAP modellierte Brücke durch eine von rechts nach links wandernde Last berechnet. Jede einzelne Last repräsentiert einen Zeitpunkt. Das FEMAP-Modell ist auf der winLIFE 4.0 CD im Verzeichnis \example_16\FEMAP_MODELL\bruecke.mod vorhanden.



FE-Modell (FEMAP) der Brücke aus Schalenelementen aufgebaut, über die eine Einzellast (z.B. Auto) von rechts nach links wandert.

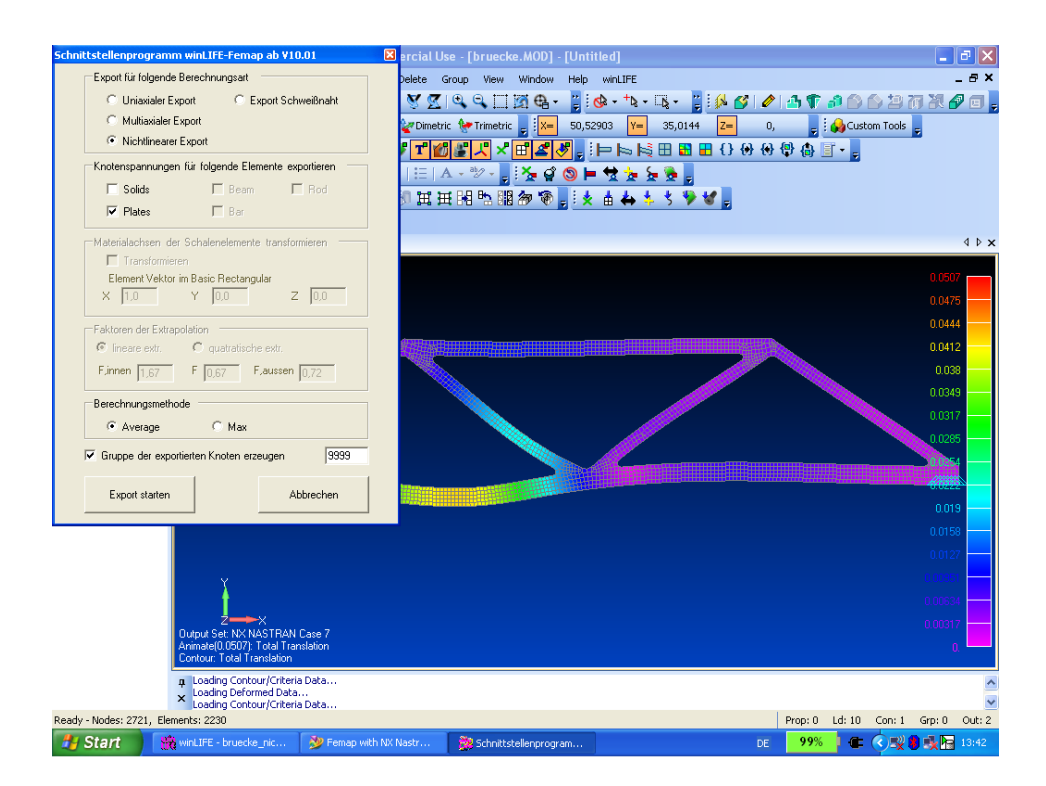
Die oben abgebildete Brücke wird durch eine Einzelkraft belastet, deren Betrag konstant ist, deren Angriffspunkt von rechts nach links wandert (entsprechend der Überfahrt eines Automobils). Das Modell weist daher 10 Lastfälle auf, wobei jeder einzelne Lastfall einem Zeitpunkt entspricht.

Bei der Berechnung mit Hilfe von FEMAP ergeben sich für jeden Lastfall und für jeden einzelnen Knoten die Spannungsergebnisse. Die Ergebnisse für die Durchbiegung für zwei zufällig ausgewählte Lastfälle zeigt das folgenden Bild und man erkennt sehr gut, wie sich auch die Durchbiegung der Brücke entsprechend der Last verändert.



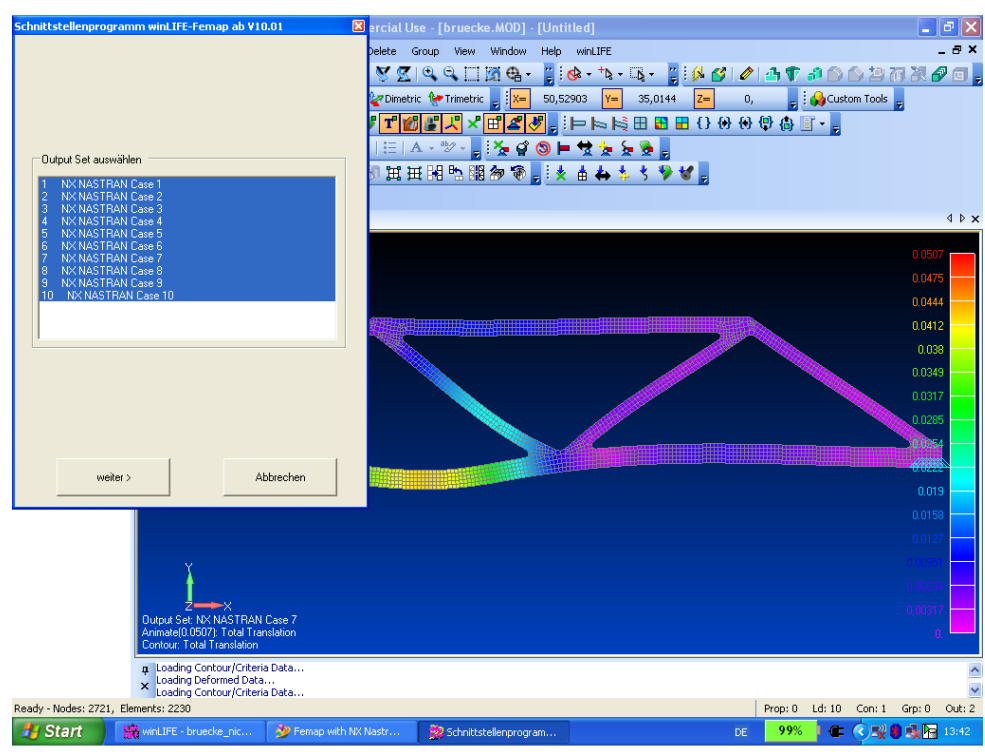
Ergebnis der Berechnung für zwei zufällig ausgewählte Zeitpunkte

Diese Ergebnisse sollen nun für eine Lebensdauerberechnung verwendet werden. Dazu wird in FEMAP in der Menüleiste winLIFE 4.0 angeklickt und es erscheint folgendes Eingabefenster.



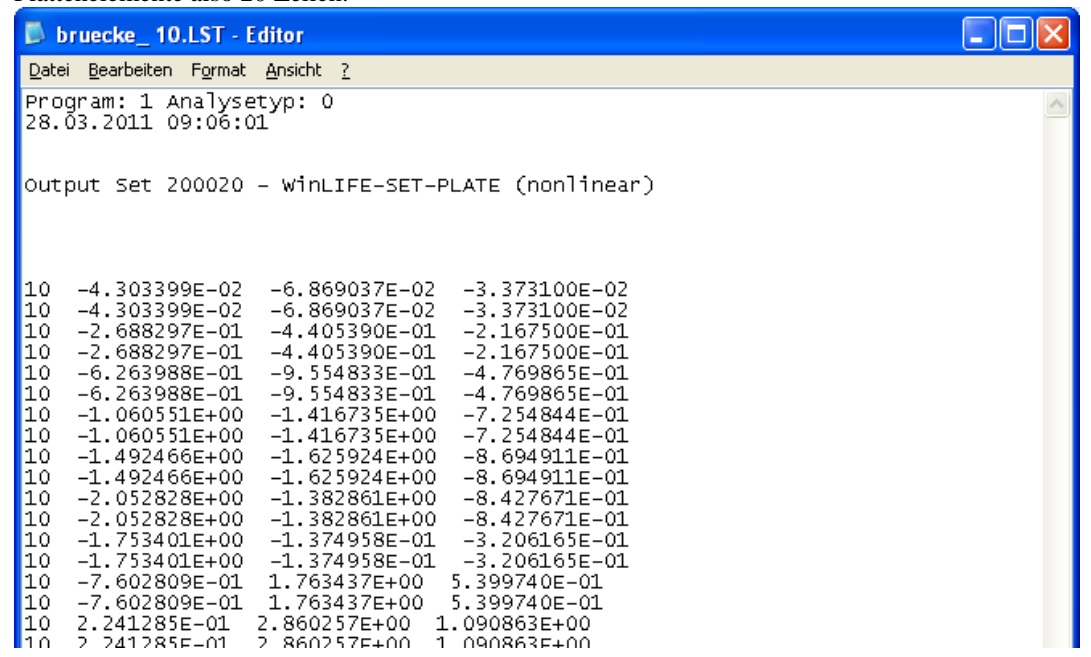
Vorbereitung des (nichtlinearen) Datenexports nach winLIFE

Nach der im Bild oben dargestellten Auswahl erfolgt ein weiteres Auswahlfenster, das alle berechneten Lastfälle darstellt. In unserem konkreten Beispiel sind lediglich 10 Lastfälle (entsprechend Zeitschritte) enthalten. Die Anzahl der Zeitschritte ist nicht begrenzt und kann daher beliebig groß sein.



Wahl der Lastfälle (=Zeitpunkte) für den Datenexport nach winLIFE

Es wird nun für jeden Knoten eine Datei erstellt, die die Ergebnisse über alle Zeitschritte enthält. Die Datei bruecke_10.lst enthält zum Beispiel für alle 10 Zeitschritte die Spannungsergebnisse auf der Ober – und Unterseite der Plattenelemente also 20 Zeilen.



Inhalt der Ergebnisdatei des (nichtlinearen) Datenexports

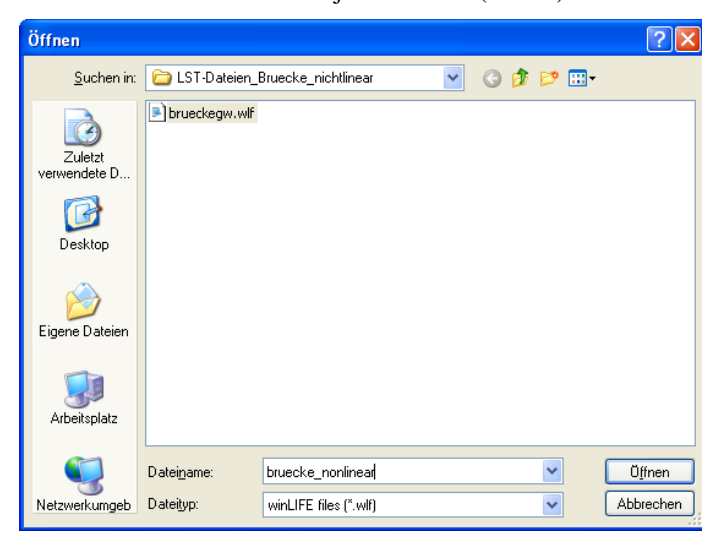
Insgesamt werden in unserem Fall, da das Modell 2721 Knoten enthält und keine Knotenauswahl erfolgte, 2721 Dateien erzeugt.

Hinweis: Es können maximal 20 000 Knoten und damit 20 000 Dateien ausgegeben werden.

Lebensdauerberechnung in winLIFE 4.0

Datei

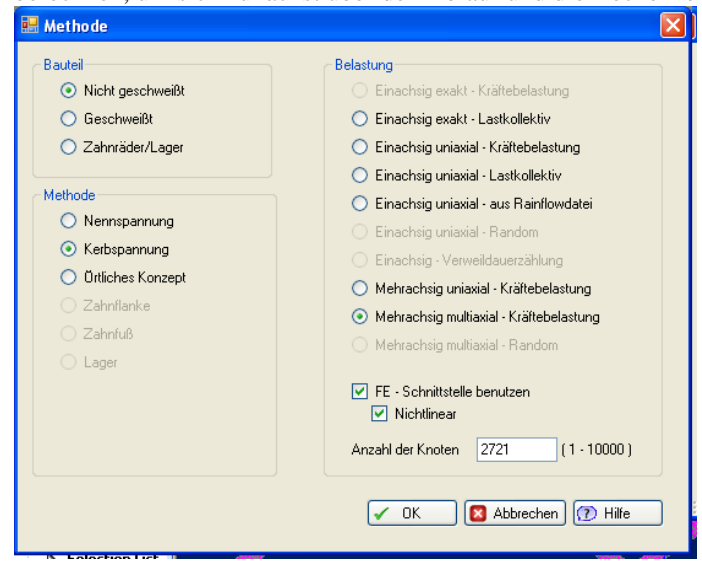
Im ersten Schritt wird ein Projekt definiert (s. Bild).



Speicherung des Projektes

Festlegung der Methode

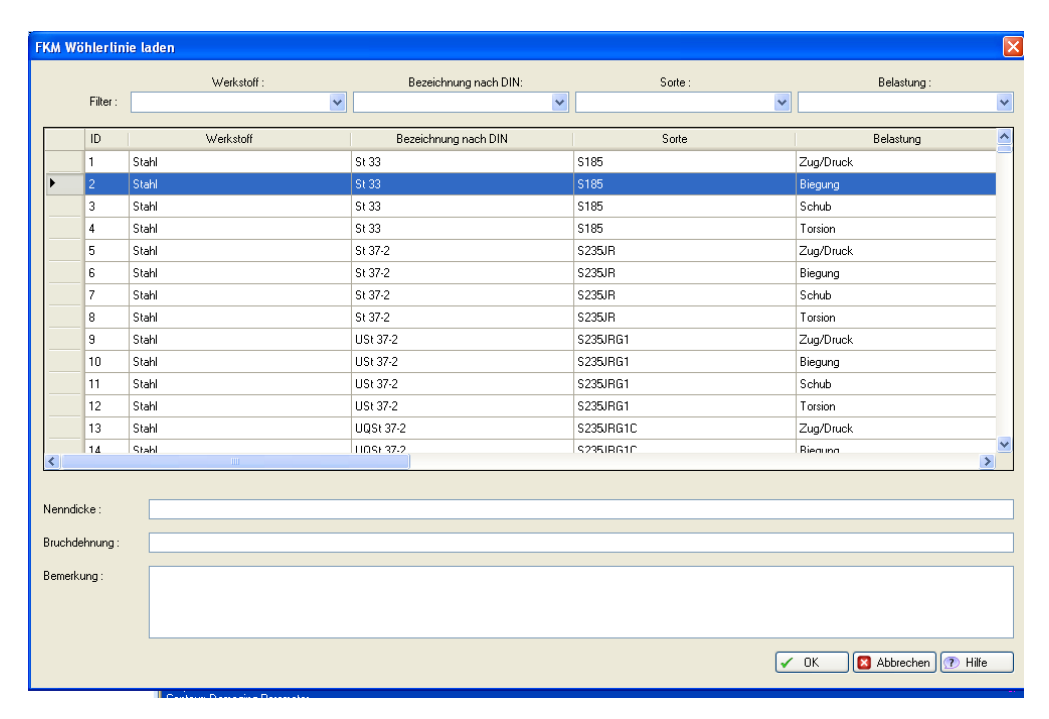
Bei der Festlegung der Methode muss bereits die Anzahl der zu berechnenden Knoten festgelegt werden. Im Beispiel werden hier alle 2721 Knoten festgelegt. Am Beginn eines Projektes kann es sinnvoll sein, nur wenige Knoten zu berechnen, um sich zunächst über den Ablauf und die Rechenzeiten klar zu werden.



Auswahl der Methode

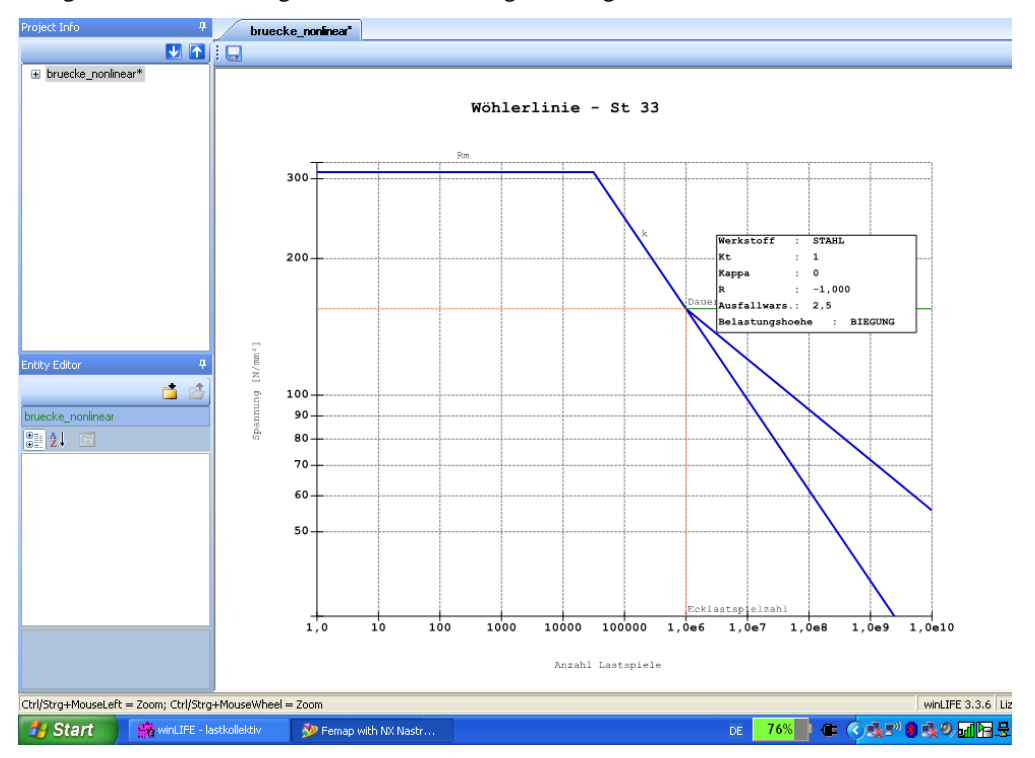
Erzeugung der Wöhlerlinie

Es wird folgende Wöhlerlinie aus der FKM-Datenbank gewählt.



Wahl des Materials aus der FKM-Datenbank

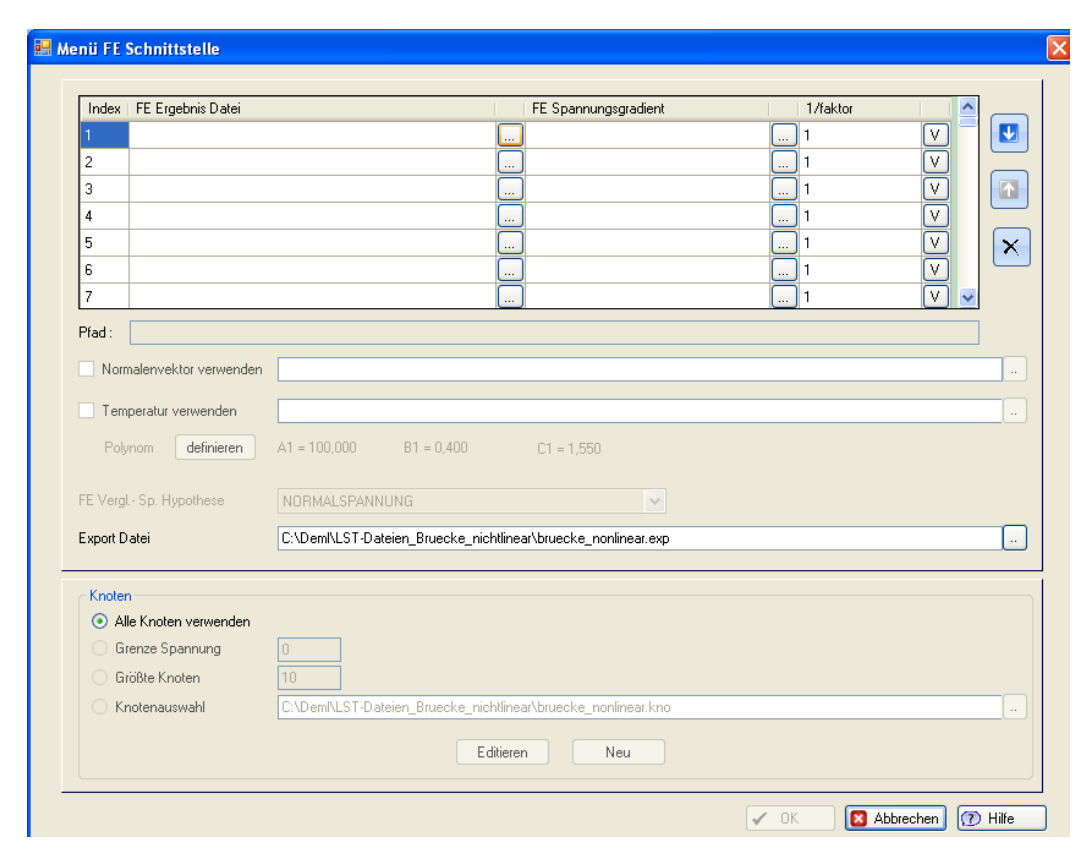
Die grafische Darstellung der Wöhlerlinie zeigt das folgende Bild.



Grafische Darstellung der Wöhlerlinie

Übernahme der FE-Daten

Nach Anklicken des Menüpunktes öffnet sich folgende Tabelle. Die Anzahl der Zeilen in der folgenden Tabelle entspricht der angegebenen Anzahl der Knoten im Methode Menü.

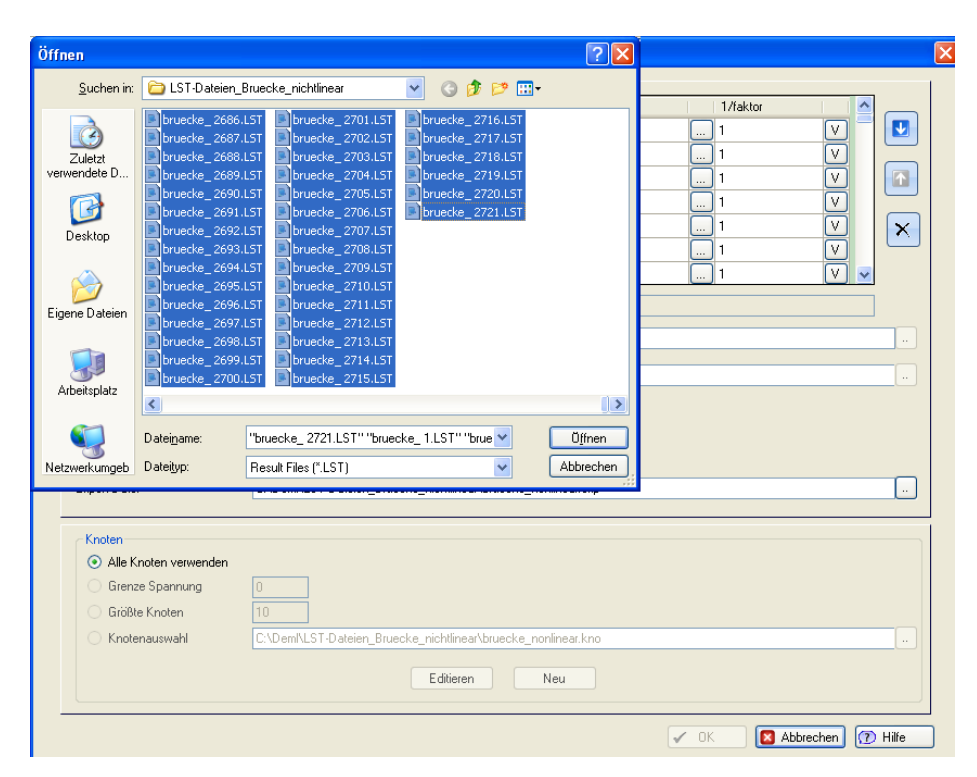


Auswahl der Daten aus der FE-Berechnung(leere Maske vor Auswahl der Dateien)

Zur Datenübernahme aus den *.lst Dateien wird der Button mit den 2 Punkten angeklickt.

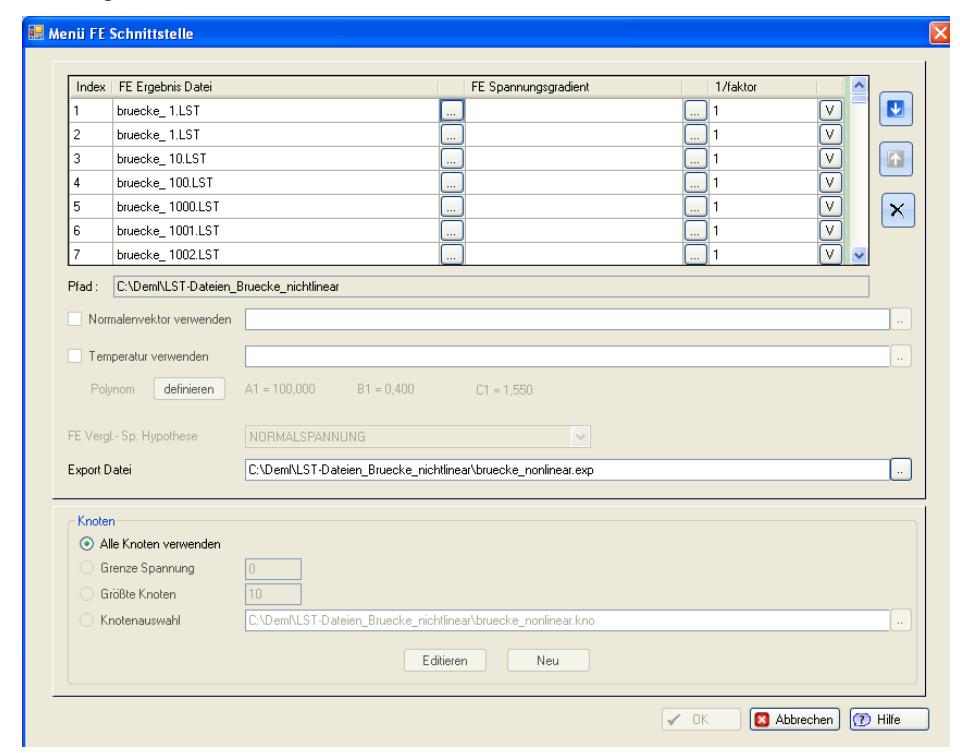
Es ist dann das Verzeichnis zu öffnen, in dem die Dateien gespeichert wurden.

Durch Mehrfachauswahl (erste Datei markieren, Shift-Taste gedrückt halten und die letzte Datei markieren) werde alle Dateien gewählt und in der Tabelle angezeigt. Die ausgewählten Dateien sind dann im Auswahlfenster blau markiert.



Markieren der Dateien. Mehrfachauswahl ist unverzichtbar bei sehr vielen Dateien (erste Datei und letzte Datei markieren, linke Maustaste und Shift !!)

Die ausgewählten Dateien erscheinen dann in der Tabelle (s. n. Bild).



Ergebnis der Auswahl

Berechnung/Parameter

Die Parametereingabe für das vorliegende Beispiel wird hier nicht näher erläutert, sie kann dem Video entnommen werden.:

Ergebnisse

Die Ergebnisse können in winLIFE 4.0 wie in den Beispielen zuvor auch dargestellt werden. winLIFE 4.0 erzeugt einen Neutralfile, der die Schädigungssumme, Sicherheit gegen Dauerfestigkeit und äquivalente Amplituden darstellt.

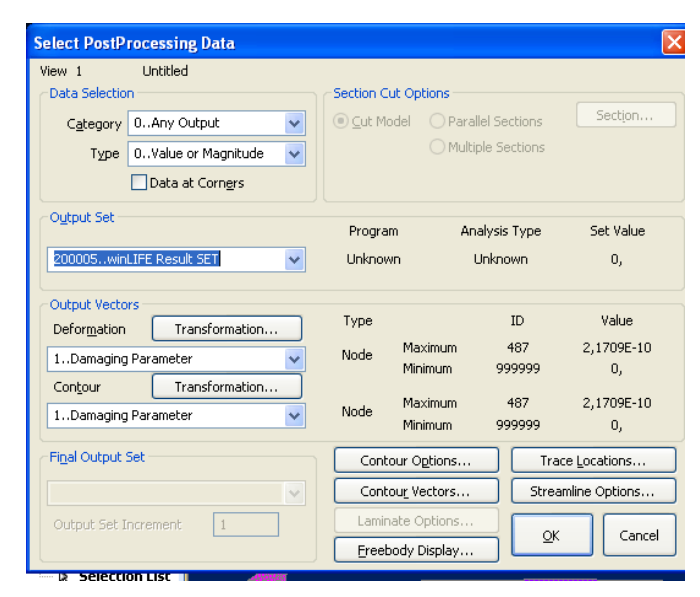
Darstellung der Ergebnisse in FEMAP

Die Ergebnisse können und auch in FEMAP dargestellt werden. Dazu muss man in FEMAP im winLIFE-Menüpunkt Schäden importieren anklicken.



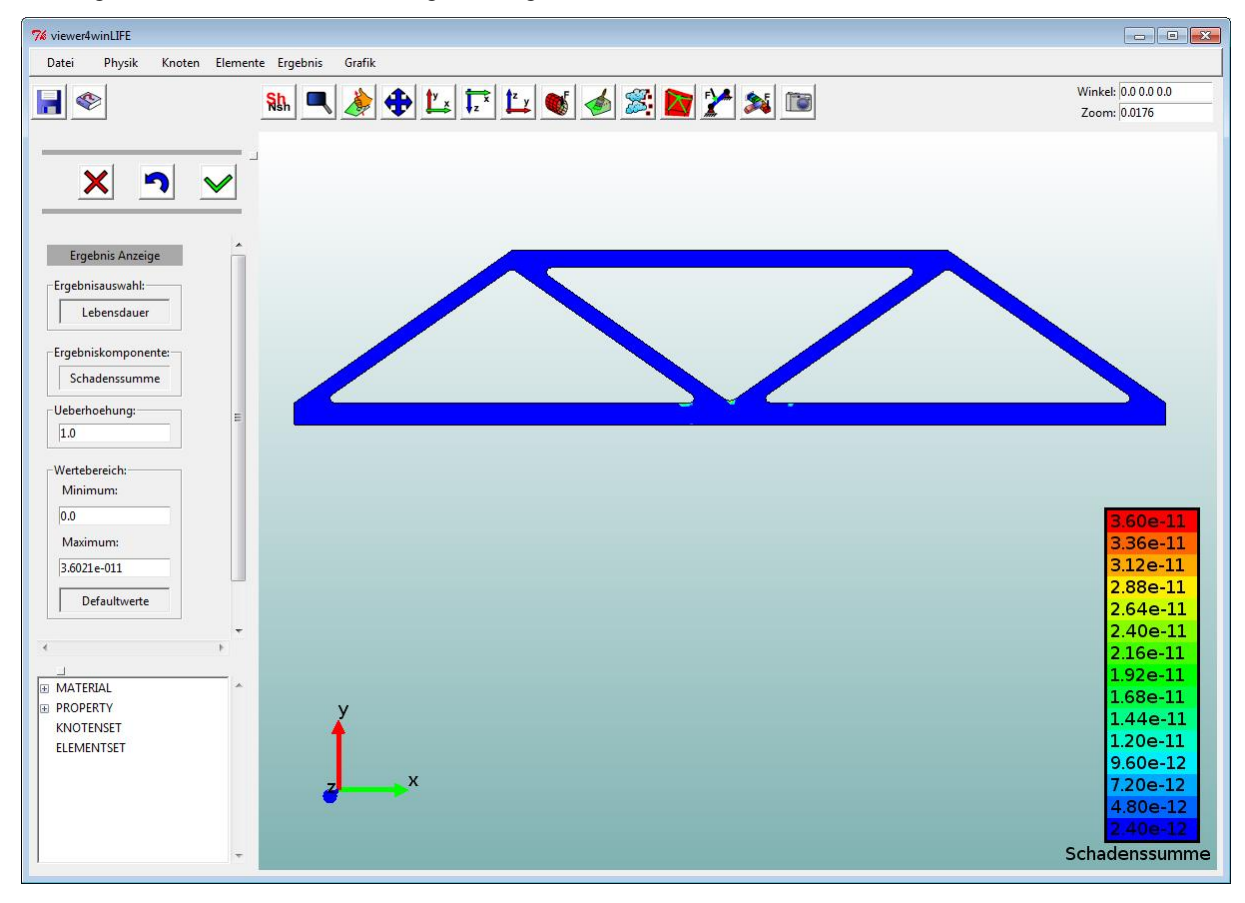
Menü in FEMAP: Importieren der Ergebnisse der Lebensdauerberechnung Datenexports aus winLIFE zur Darstellung in FEMAP

Beim der Darstellung ist im Output-Set der von winLIFE 4.0 erzeugte Damaging Parameter zu wählen.



Dialog in FEMAP zur Auswahl der winLIFE-Ergebnisdateien

Das Ergebnis der Schadenssumme zeigt das folgende Bild:



Ergebnisdarstellung in FEMAP

17. Beispiel 17 / Datenschnittstelle zu ANSYS

Hinweis: Dieses Beispiel ist als Video Datei auf unserer Homepage und auf CD vorhanden. Alle Daten – auch die Daten des ANSYS-Modells – befinden sich auf der winLIFE 4.0 -CD.

In dem Video wird eine Lebensdauerberechnung mit ANSYS und winLIFE 4.0 gezeigt. Eine abgesetzte Welle wird in ANSYS modelliert, die Daten werden nach winLIFE 4.0 exportiert und eine Lebensdauerberechnung durchgeführt. Die Ergebnisse werden dann wieder unter ANSYS dargestellt.

18. Beispiel 18a / Dauerfestigkeitsnachweis (winLIFE QUICK CHECK)

18.1. Ablaufbeschreibung an einem Beispiel

Hinweis: Die Daten dieses Beispiels – auch die Daten des FEMAP/NASTRAN Modells – sind unter Beispiel 18 auf der winLIFE 4.0 -CD zu finden. Unterverzeichnis | examples_wl_30| examp_18| LST-Dateien

Die Erstellung des FE-Modells in FEMAP wird hier nicht beschrieben. Die dabei erzeugten Daten sind aber alle auf der winLIFE 4.0 -CD gespeichert, so dass dieses Beispiel in winLIFE 4.0 ohne Vorarbeiten nachvollzogen werden kann.

18.1.1. Grundregeln bei der Bedienung von winLIFE QUICK CHECK

Regel 1:

Das Menü ist von links nach rechts durchzuarbeiten.

Regel 2:

Nur aktive Menü-Punkte können vom Benutzer betätigt werden (aktiv=schwarz, inaktiv = grau). Auf diese Weise sollen unzulässige Eingaben vermieden werden.

18.1.2. Start von winLIFE

Durch Doppelklick auf das winLIFE 4.0 -Icon starten Sie winLIFE 4.0 . Es erscheint das folgende Fenster. Im der oberen Menüzeile ist nur der Punkt *Datei* aktiv (scharze Farbdarstellung = aktiv, graue Farbdarstellung = inaktiv).

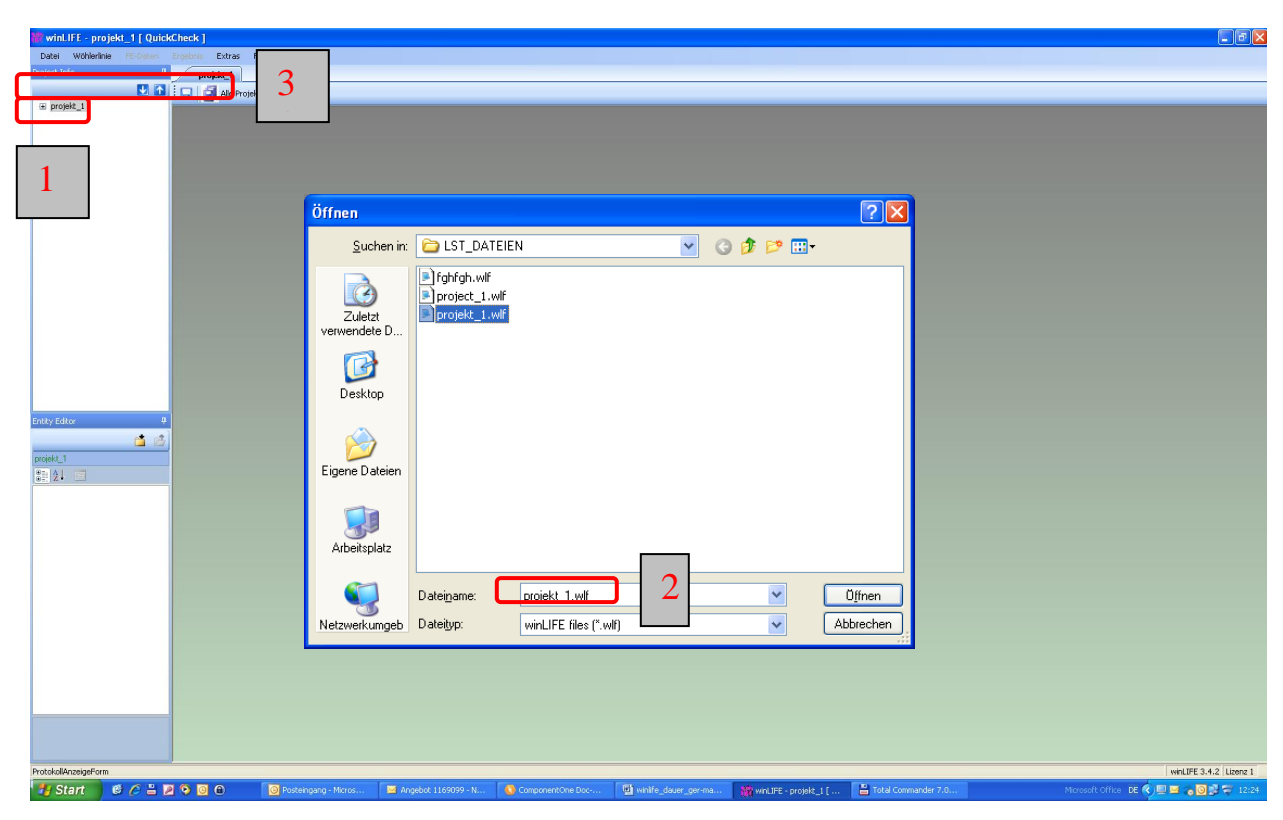


obere Menüleiste von winLIFE nach dem Start des Programms

18.1.3. Erstellen eines Projektes

Wählen Sie aus dem Menü: *Datei / Neu (Dauerfestigkeit)* und geben Sie einen Namen für Ihr Projekt z.B. projekt_1 ein.

Der eingegebene Projektname erscheint danach in der Statuszeile oben und der Menüpunkt Wöhlerlinie ist aktiviert (scharze Farbdarstellung = aktiv, graue Farbdarstellung = inaktiv). In dem folkgenden Bild ist die Reihenfolge der Benutzerativitäten nummeriert.

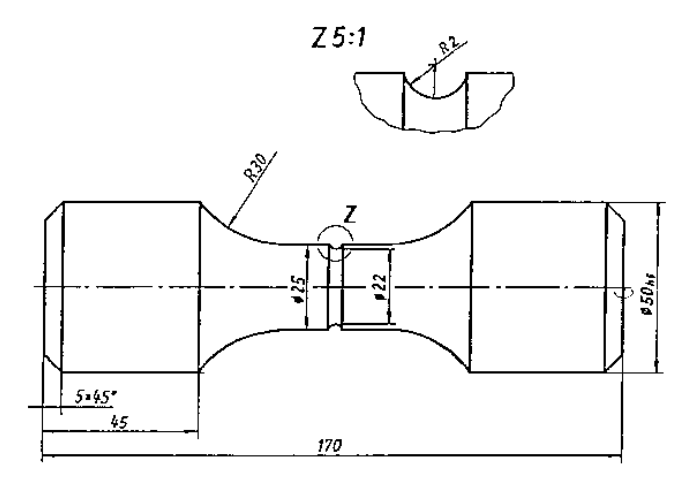


: Eingabe des Namens eines Quick Check Projekts

18.2. Aufgabenstellung

18.2.1. Bauteilgeometrie

Es soll für ein Bauteil, dessen Konstruktionszeichnung mit Bemaßung in dem folgenden Bild dargestellt ist, ein Dauerfestigkeitsnachweis erfolgen. Aus didaktischen Gründen wird dieser Nachweis zunächste für die einzelnen Lastfälle separat druchgeführt. Zum Schluß wird die gleichzeitige Wirkung der Lastfälle untersucht.



FE-Modell "gekerbte Welle"

18.2.2. Bauteilbelastung (Einheitslasten)

Die Belastung des feststehenden Bauteils erfolgt durch folgende drei Größen, die jeweils zu einer Nennspannung von $1N/mm^2$ in der Kerbe führen.

Lastfall Nr.	Belastungsart	Einheitslast, die genau 1 N/mm ² Nennspannung erzeugt.	Zeitlicher Verlauf	Oberlast
1	Zugkraft	Zugkraft in Stirnfläche in x- Richtung 380 N	konstant	380 N * 20 = 7 000 N
2	Biegung	Moment in y- Richtung auf Stirnfläche My = 1045 Nmm	wechselnd	1045 Nmm * 40 = 41 800 Nmm
3	Torsion	Moment in x- Richtung Mx = 2091 Nmm	schwellend	2091 Nmm * 30 = 62 730 Nmm

18.2.3. Werkstoffdaten

Werkstoffbezeichnung 42 CrMoS 4V

Mechanische Werte

Beanspruchungsart für Generierung: Biegung (bei Überlagerung mehrerer Lastfälle wird Biegung empfohlen)

Bauteildaten

Oberfläche, Rautiefe Rz $8 \mu m$ Randschichtfaktor Kv 1,0 =keine Oberflächenverfestigung Schutzschichtdfaktor Ks =keine Schutzschicht 1,0 20.0 Temperatur D_eff=D_effN 7.5 statistischer Größeneinfluß wird ignoriert technologischer Größeneinfluss wird ignoriert 0,01 adm Anisotropie isotropes Verhalten K NL lineares Spannungs-Dehnungs-Verhalten 1 Sicherheitsfaktor 1 kein Sicherheitsaufschlag

18.3. Generierung der Wöhlerlinie

Auf Grund der gegebenen statischen Werkstoffkennwerte und der Bauteileigenschaften kann eine Wöhlerlinie generiert werden. Dies erfolgt nach der FKM-Richtline. Da der interessierende Werkstoff nicht in der FKM-Datenbank vorliegt, wird hier gezeigt, wie die Eingabe erfolgt. Dabei werden auch die Eingabewerte kurz erläutert.

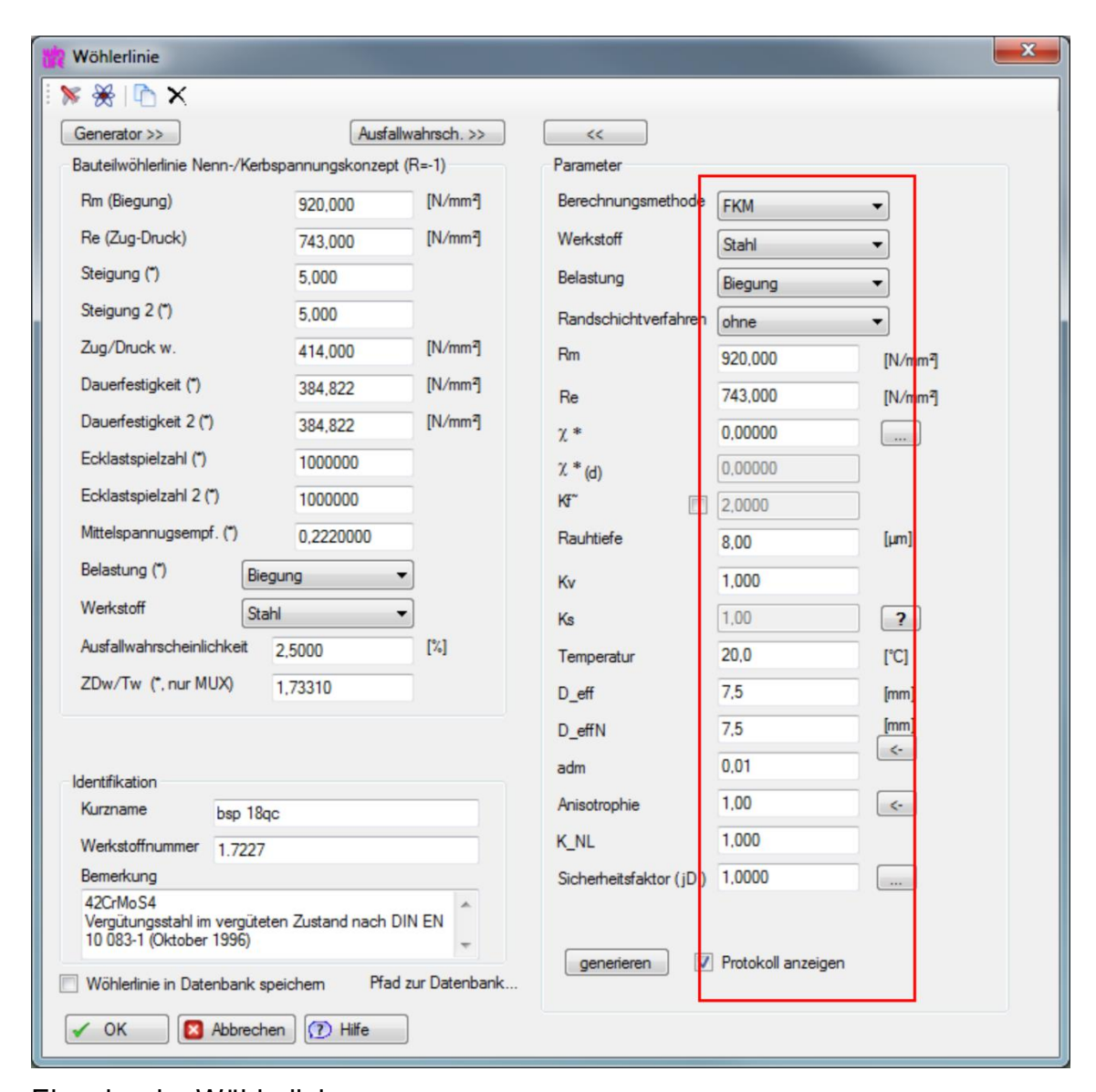
Durch Anklicken von

Wöhlerkurve / EDIT professional

öffnet sich eine Eingabemaske. Oben links in der Maske wird Generator angeklickt und die Maske erweitert sich.

Hinweis: In der Maske sind Daten aus der letzten Eingabe vorhanden. Diese werden durch die Eingaben des Benutzers überschrieben.

Es sind die in der Maske rechts rot eingerahmten Daten bekannt, die nun in die Maske eingegeben werden müssen.



Eingabe der Wöhlerlinie

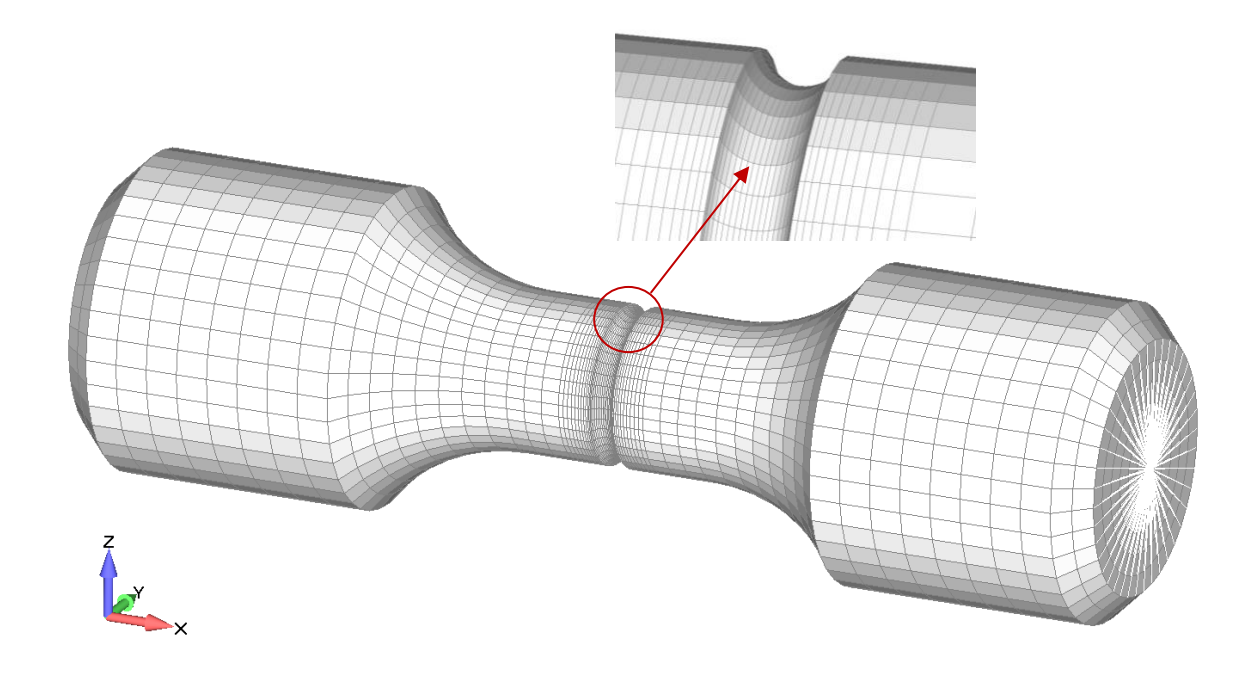
Klickt man auf *generieren*, so werden die Daten der Wöhlerkurve (linke Seite der Maske) erzeugt. Ein Protokoll wird ausgegeben, aus dem die Einzelheiten der Generierung hervorgehen.

```
🃸 Protokoll-Generierung der Wöhlerlinie nach FKM
                            = 1,000 (D_eff < D_eff,N,m)
                            = 920,000
= R_m,N * K_A * K_d,m
= 920,000 * 1,000 * 1,000
    K_T,D
                            = 414,000
= f_W,sigma * R_m * K_T,D
= 0,450 * 920,000 * 1,00
                            = 0,868 (Zug-Druck / Biegung)
= 1 - alpha_F,sigma * lg(R_z[mue m]) * lg(2*R_m / R_m,N,min)
= 1 - 0,220 * lg(8,000) * lg(2*920,000/400,000)
                            = 1,000 (Zug-Druck / Biegung)
= 1 + G_0 * 10^-(a_G-0,5+R_m/b_G)
= 1 + 0,000 * 10^-(0,500-0,5+920,000/2700,000)
                            = 1,076
= 1/n_sigma * (1 + 1/K_fu * (1/K_R - 1)) * 1/(K_V * K_S) =
= 1/1,000 * (1 + 1/2,000 * (1/0,868 - 1)) * 1/(1,000 * 1,000)
    K WK, sigma
                              = 384,822
    S WK
                             = sigma_W,zd / K_WK,sigma / (J_C / K_T,D)
= 414,000 / 1,076 / (1,000)
                             = 0,2220000
= a_M * R_m * 10^-3 + b_M
= 0,350 * 920,000 * 10^-3 + -0,100
    M sigma
    k_sigma
    N_D
                             = 1000000,000
```

Protokoll der Generierung der Wöhlerkurve

18.4. Modellbildung

Das Modell wurde so realisiert, dass eine genügend feine Vernetzung in der Kerbe erfolgte. Das folgende Bild zeigt das FE-Modell mit dem Netz.



FE-Modell mit feinem Netz in der Kerbe

18.5. Ergebnisse für Spannungen und Auslastungsgrad der einzelnen FE - Berechnungen mit Femap / Nastran

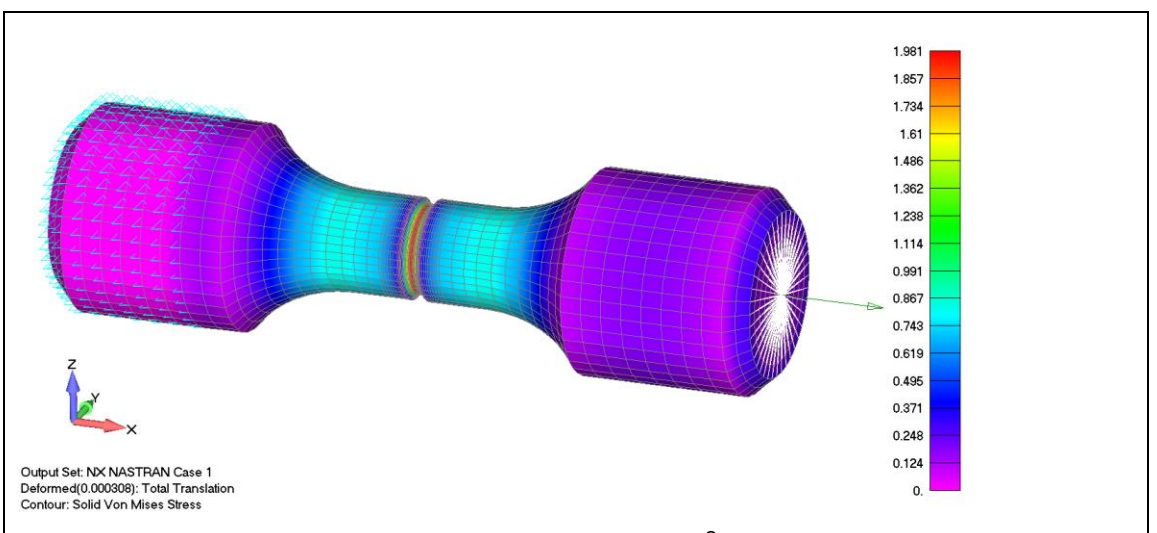
Nur zum Verständnis werden hier zunächst die einzelnen Lastfälle separat dargestellt, da man deren Ergebnisse einfacher nachvollziehen kann.

18.5.1. Lastfall Zug

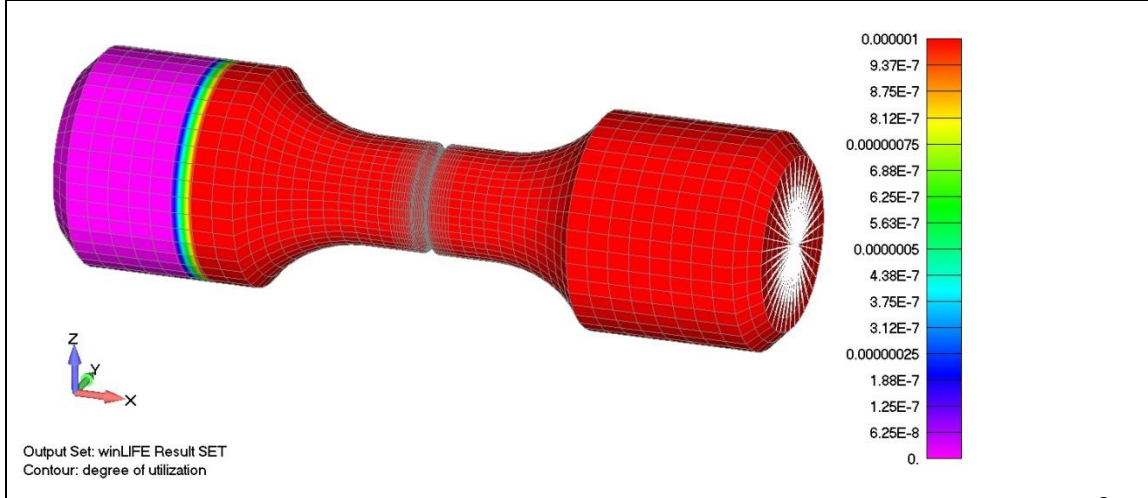
Die Verteilung der von Mises Vergleichsspannung ist in dem folgenden Bild dargestellt. Die Nennspannung in der Kerbe beträgt 1 N/mm², die Belastung F_x beträgt 350 N.



Eingabe der FE-Datei mit Belastungsart und Multiplikator



Die Nennspannung in der Kerbe beträgt $1N/mm^2$, die Belastung F_x beträgt 380~N.



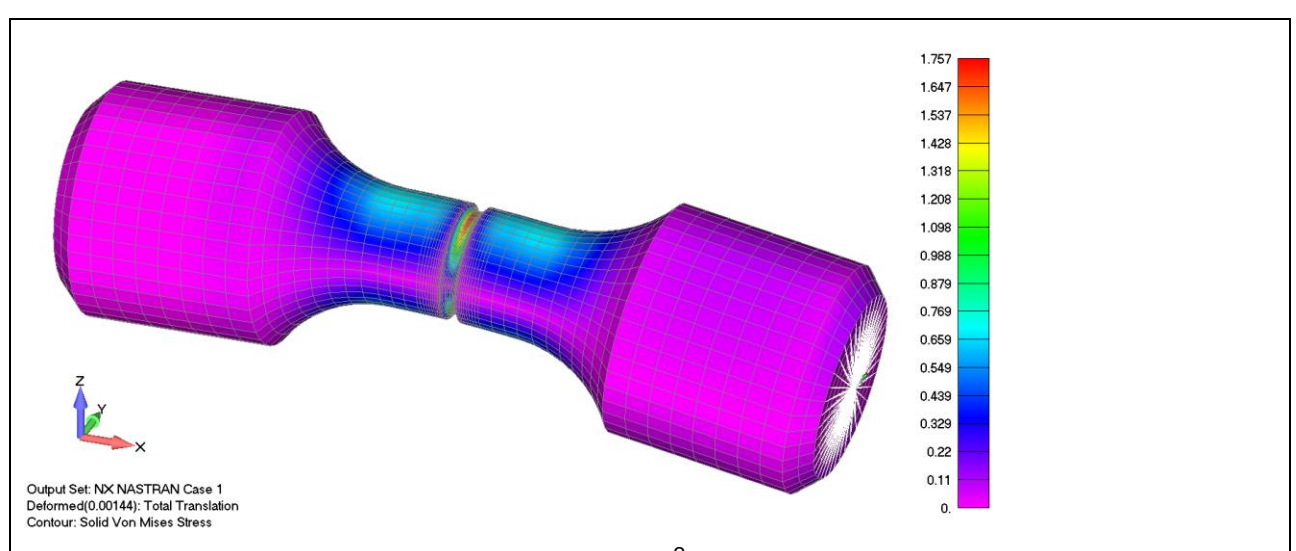
Der Auslastungsgrad für konstante Zugspannung in der Kerbe = $20*1 \text{ N/mm}^2$, bewirkt durch die Belastung $F_x = 380 * 20 \text{ N}$. Man beachte, dass die Auslastung praktisch gleich Null ist, da keine Spannungsschwingweite auftritt.

18.5.2. Lastfall Biegung

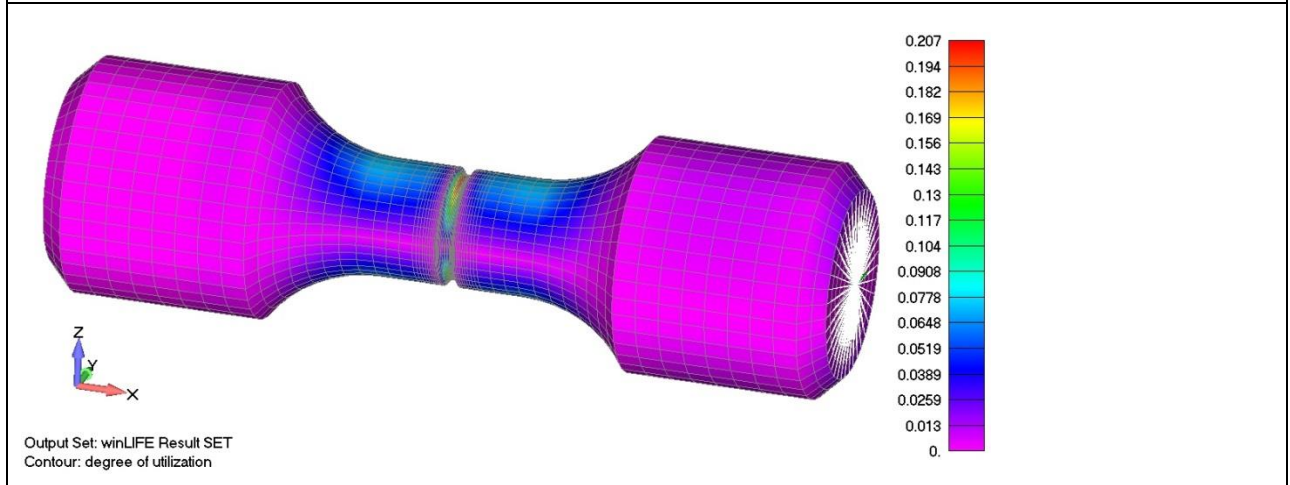
Die Verteilung der von Mises Vergleichsspannung ist in dem folgenden oberen Bild dargestellt. Die Nennspannung in der Kerbe beträgt $1N/mm^2$, die Belastung M_v beträgt 1045 Nmm.



Eingabe der FE-Datei mit Belastungsart und Multiplikator



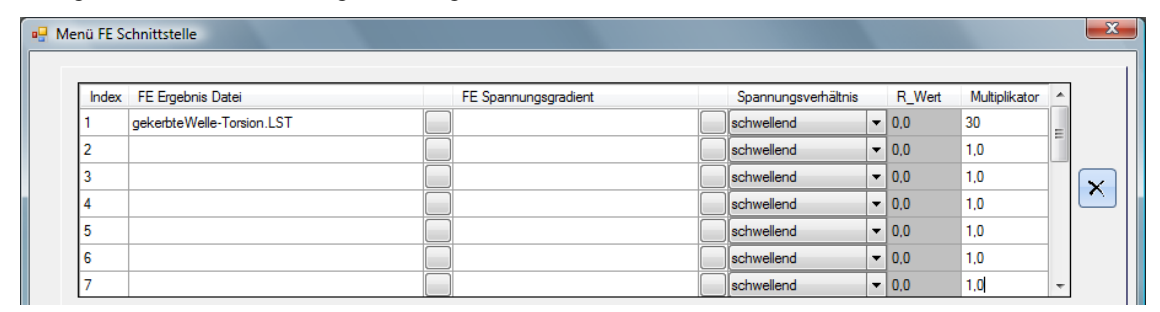
Biegenennspannung in der Kerbe von 1N/mm^2 , bewirkt durch die Belastung $M_y = 1045 \text{Nmm}$.



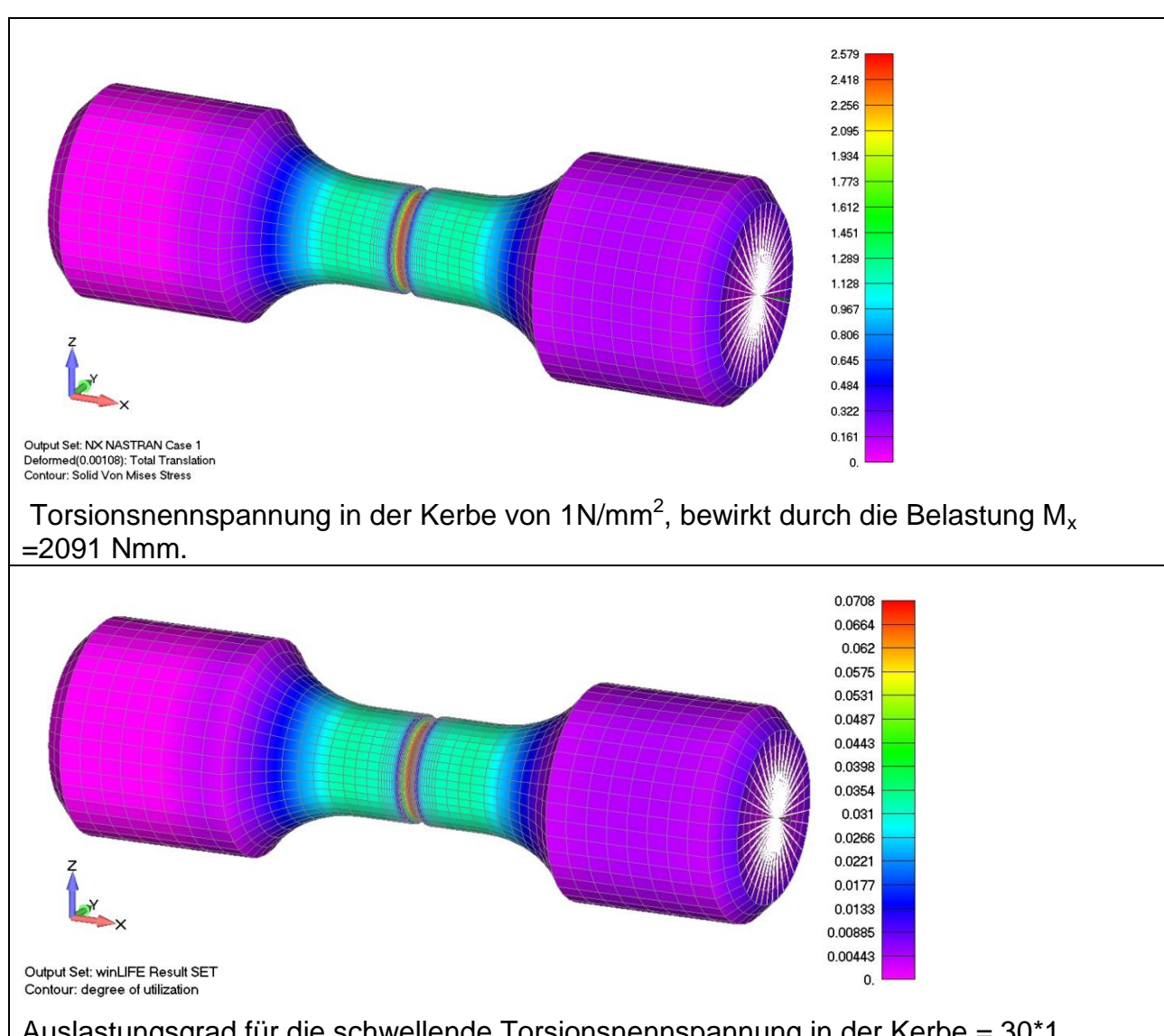
Auslastungsgrad für die wechselnde Biegenennspannung in der Kerbe = $40*1 \text{ N/mm}^2$, bewirkt durch die Belastung $M_v = 1045*40 \text{ Nmm}$.

18.5.3. LastfallTorsion

Die Verteilung der von Mises Vergleichsspannung ist in dem folgenden Bild dargestellt. Die Nennspannung in der Kerbe beträgt 1N/mm^2 , die Belastung M_x beträgt 2091 Nmm.



Eingabe der FE-Datei mit Belastungsart und Multiplikator



Auslastungsgrad für die schwellende Torsionsnennspannung in der Kerbe = 30*1 N/mm², bewirkt durch die Belastung $M_x = 2091*30$ Nmm.

18.6. Dauerfestigkeitsnachweis (uniaxiale Vereinfachung)

Da die Last als Funktion der Zeit nicht bekannt ist, ist auch eine Berücksichtigung der Drehung der Hauptspannungen spekulativ. Ein Worst-Case-Annahme durch *uniaxiale* Vereinfachung ist daher ein plausibler Weg, der in der Regel zu einem konservativen (auf der sicheren Seite) liegenden Ergebnis führen wird (wird bei Solid-Elementen angewendet)..

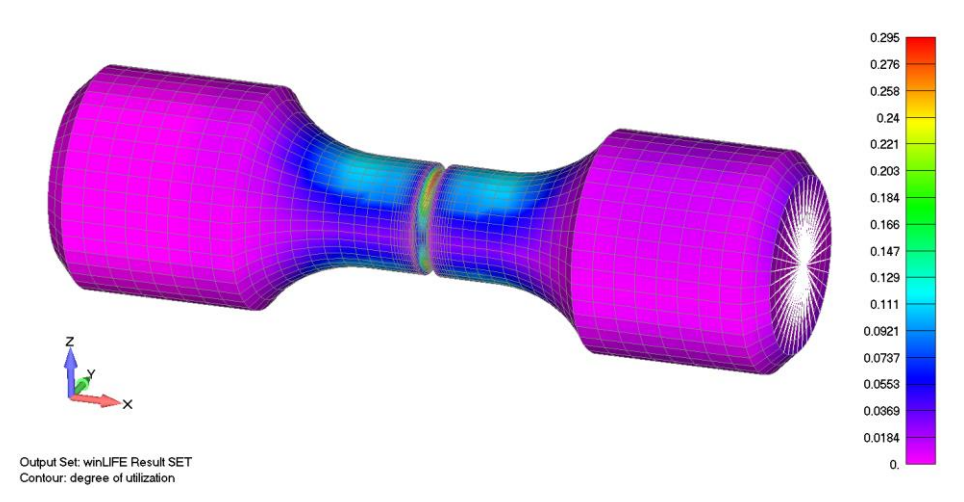
Eine andere Variante ist die Berücksichtigung der Drehung der Hauptspannungen und die Wahl der ungüsntigsten Abfolge, was als *multiaxiale* Variante bezeichnet wird. Beides wird hier in den foglenden Kapiteln dargstellt.

Das Zusammenwirken aller drei Lastfälle wird dadurch erreicht, dass in der Eingabemaske die drei Belastungen gleichzeitig gewählt werden.



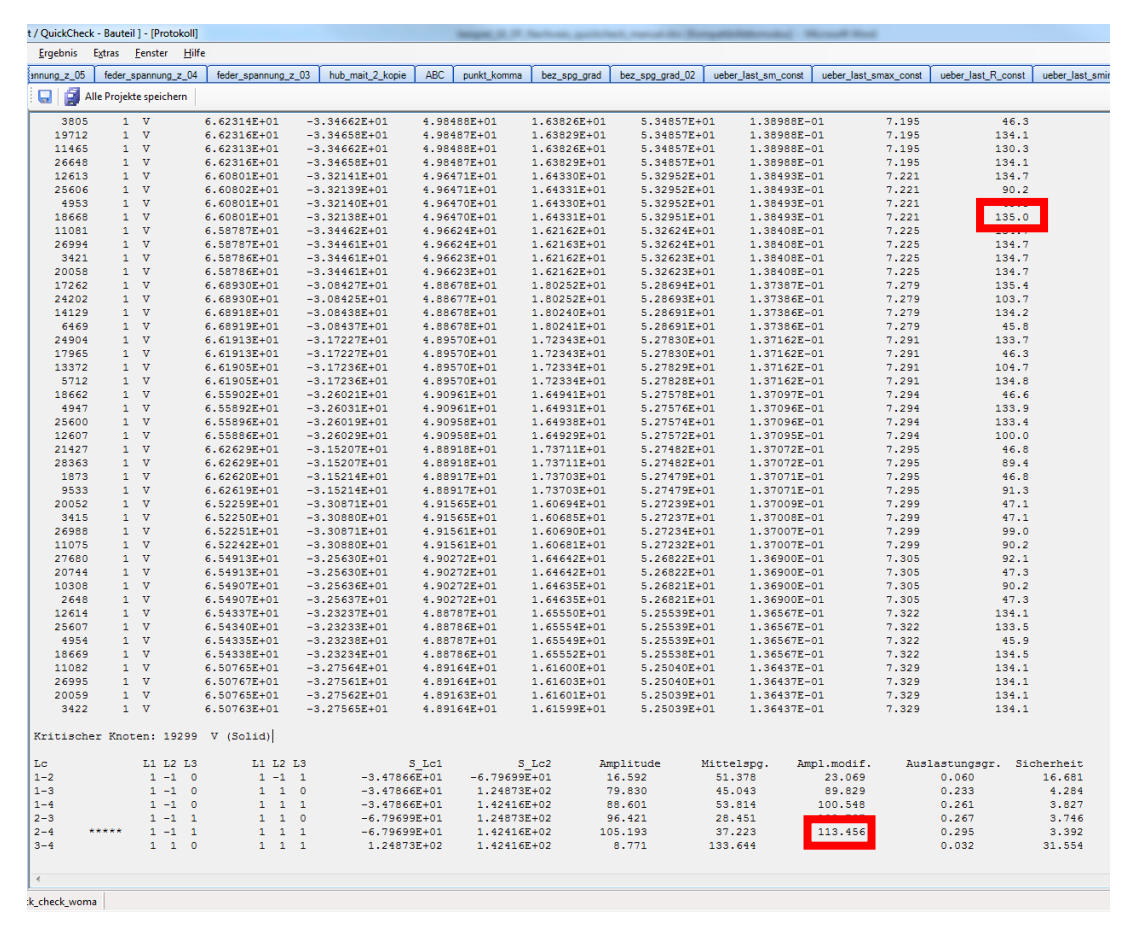
Eingabe der FE-Datei mit Belastungsart und Multiplikator

Das Zusammenwirken der drei Lastfälle wird durch den sich ergebenden Auslastungsgrad gekennzeichnet, der in folgendem Bild angegeben ist. Der Auslastungsgrad gleich 1 würde bedeuten, dass die Dauerfestigkeit erreicht ist. Der hier erreichte Wert von 0,295 besagt, dass die Dauerfestigkeit zu 29,5 % ausgenutzt wird. Die Sicherheit gegen Dauerfestigkeit entspricht dem Kehrwert des Auslastungsgrades und beträgt damit 1/0,295 = 3,38.



Auslastungsgrad für alle drei Belastungen unter der Annahme der ungünstigsten Überlagerung.

Diese Ergebnisse können auch aus dem Protokoll entnommen werden, das am Ende für den kritischen Knoten alle Ergebnisse der Kombinationen darstellt. Die Kombination mit der höchsten Schädigung wird in der zweiten Spalte mit 5 Sternen markiert. In unserem Fall lesen wir in der Spalte Auslastungsgrad 0,295 ab, was auch in dem Ergebnisausdruck als Maximalwert zu finden ist. In der Spalte rechts ist der Winkel der Schnittebenenänderung zu finden. Es ist ersichtlich, dass dieser Winkel von maximal 135 Grad zu einer multiaxialen Beanspruchung im Bauteil führen kann.



Protokoll der Berechnung für alle drei Belastungen unter der Annahme der ungünstigsten Überlagerung.

Der Auslastungdsgrad ergibt sich als Quotient aus der transformierten Amplitude und der Dauerfestigkeit also

113,456 / 384,8=0,295

18.7. Dauerfestigkeitsnachweis (Schnittebenenverfahren)

Soll eine Berücksichtigung von Schnittebenen erfolgen, so kann eine Worst-Case-Analyse erolgen, wobei dann die Normalspannung in der Schnittebene zur Beurteilung verwendet wird und die ungsünstigste Variant gesucht wird.

Voraussetzung ist, dass der Datenexport aus FE als ebener Spannungszustand erfolgt, was dadruch realisiert werden kann, dass Plattenelemente auf die Oberfläche gelegt werden (FEMAP).

Wenn hingegeben OP2-Dateien exportiert werden, dann wird dort der ebene Spannungszustand berechnet und die Ausgabe erfolgt im winLIFE 4.0 -Format.

Die Änderungen des Ablaufs werden folgend beschrieben:

18.7.1. Datei / Kopieren (nur Einstellungen)

Mit Hilfe von

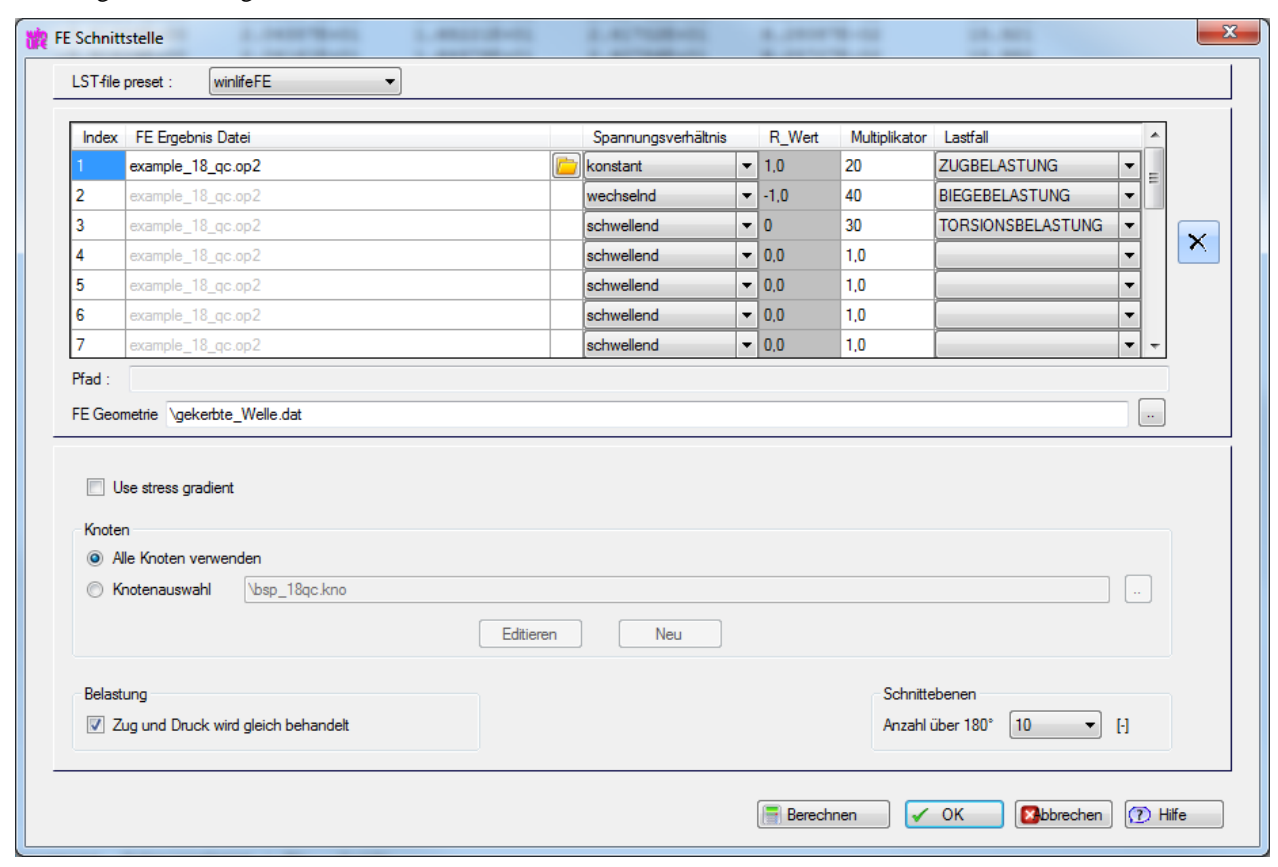
Datei / Kopieren (nur Einstellungen)

Erzeugen wir ein Projekt mit dem Dateinamen:

example_18qc_op2.wlf

18.7.2. Berechnung (FE-Schnittstelle)

Die Eingabe sieht folgendermaßen aus:



Eingabemaske für die Schnittstelle zu den FE-Modellen

Man beachte, dass im oberen Bereich der Maske die Auswahl

winLIFE

gewählt wurde.

Die Anzahl der Schnittebenen stellen wir auf 10.

Nachdem wir auf *Berechnen* geklickt haben, startet die Berechnung und nach Klicken auf *OK* können wir das Ergebnisfenster anschauen.

Im unteren Bereich finden wir:

Lc	L1 L2 L3	L1 L2 L3	S Lc1	S Lc2	Amplitude	Mittelspg.	Ampl.modif.	Auslastungsgr.	Sicherheit
1-2	1 -1 0	1 -1 1	-3.22141E+01	-5.96125E+00	13.126	19.088	16.542	0.043	23.263
1-3	1 -1 0	1 1 0	-3.22141E+01	1.15687E+02	73.950	41.736	83.216	0.216	4.624
1-4 ***	** 1 -1 0	1 1 1	-3.22141E+01	1.41939E+02	87.077	54.863	99.256	0.258	3.877
2-3	1 -1 1	1 1 0	-5.96125E+00	1.15687E+02	60.824	54.863	73.003	0.190	5.271
2-4	1 -1 1	1 1 1	-5.96125E+00	1.41939E+02	73.950	67.989	89.044	0.231	4.322
3-4	1 1 0	1 1 1	1.15687E+02	1.41939E+02	13.126	128.813	18.251	0.047	21.085

Protokolldatei mit den Belastungskombinationen (kritsche Kombination ist mit ***** markiert)

Der Auslastungsdgrad beträgt 0,258

19. Beispiel 18b / Dauerfestigkeitsnachweis mit Zeitverläufen

Im Beispiel 18a wurde mit winLIFE FKM QUICKCHECK gearbeitet und es wurde mit wenigen Eingaben der Dauerfestigkeitsnachweis geführt. Dabei wurden alle Lastfallkombinationen berechnet und die ungünstigste Variante als relevant verwendet.

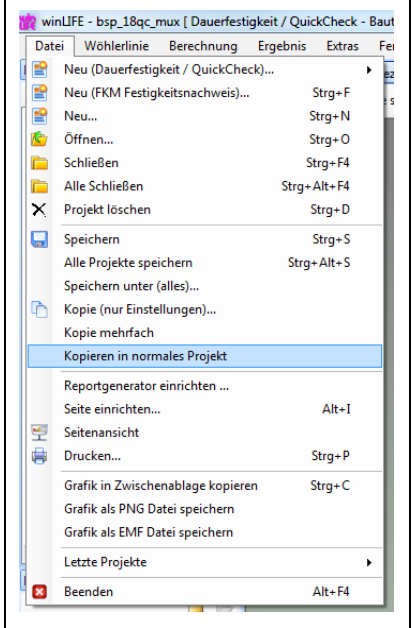
Die der Analyse zugrundeliegende Theorie ist im Gege4nsatz zur einfachen Handhabung der Analyse nicht trivial. Die Komplexität besteht darin, dass alle Kombinationen gefunden und in geeigneter Weise berechnet werden müssen.

Zur Erläuterung der Methodik wird das Problem im Zeitbereich – also mit Last-Zeit-Funktionen – in diesem Beispiel abgebildet. Es wird gezeigt, dass das Vorgehen im Zeitbereich zu dem gleichen Ergebnis führt wie es mit der Worst Case Analyse in winLIFE FKM QUICKCHECK erhalten wurde.

Es besteht in winLIFE 4.0 Möglichkeit, ein mit Hilfe von winLIFE FKM QUICKCHECK berechnetes Problem auf einfache Weise in ein normales Projekt umzuwandeln, so dass die bereits eingegebenen Daten weiter verwendet werden. Bei neuen und unbekannten Problemstellungen bietet es sich daher an, zunächst eine Analyse mit winLIFE FKM QUICKCHECK durchzuführen. Möglicherweise wird sich herausstellen, dass die Sicherheit gegen Dauerfestigkeit so hoch ist, dass gar keine weiteren Analysen und damit kein weiterer Aufwand nötig sind.

Es wird von den bereits im Beispiel 18a verwendeten Daten und Dateien ausgegangen.

19.1. Projekt erzeugen



Unser bereits berechnetes Dauerfestigkeitsprojekt wollen wir verwenden, um die bereits eingegebenen Informationen zu verwenden. Dazu wählen wir aus dem Datei-Menü

Kopieren in normales Projekt

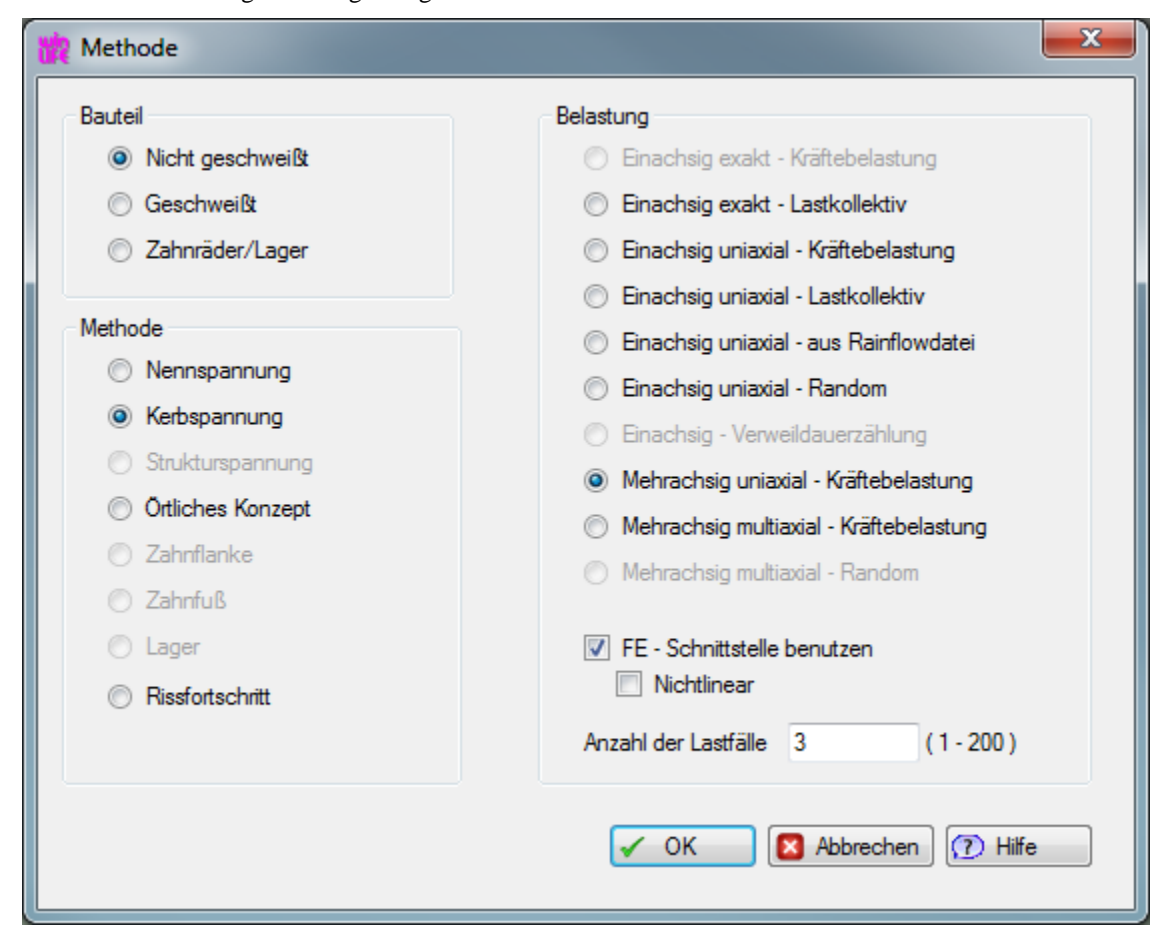
Wir nennen das Projekt example_18_op2_normal

Wir müssen nun zusätzliche Informationen und Daten eingeben.

Eingabe zur Erzeugung des Projektes

19.2. Methode festlegen

Im Menü werden folgende Eingaben gemacht

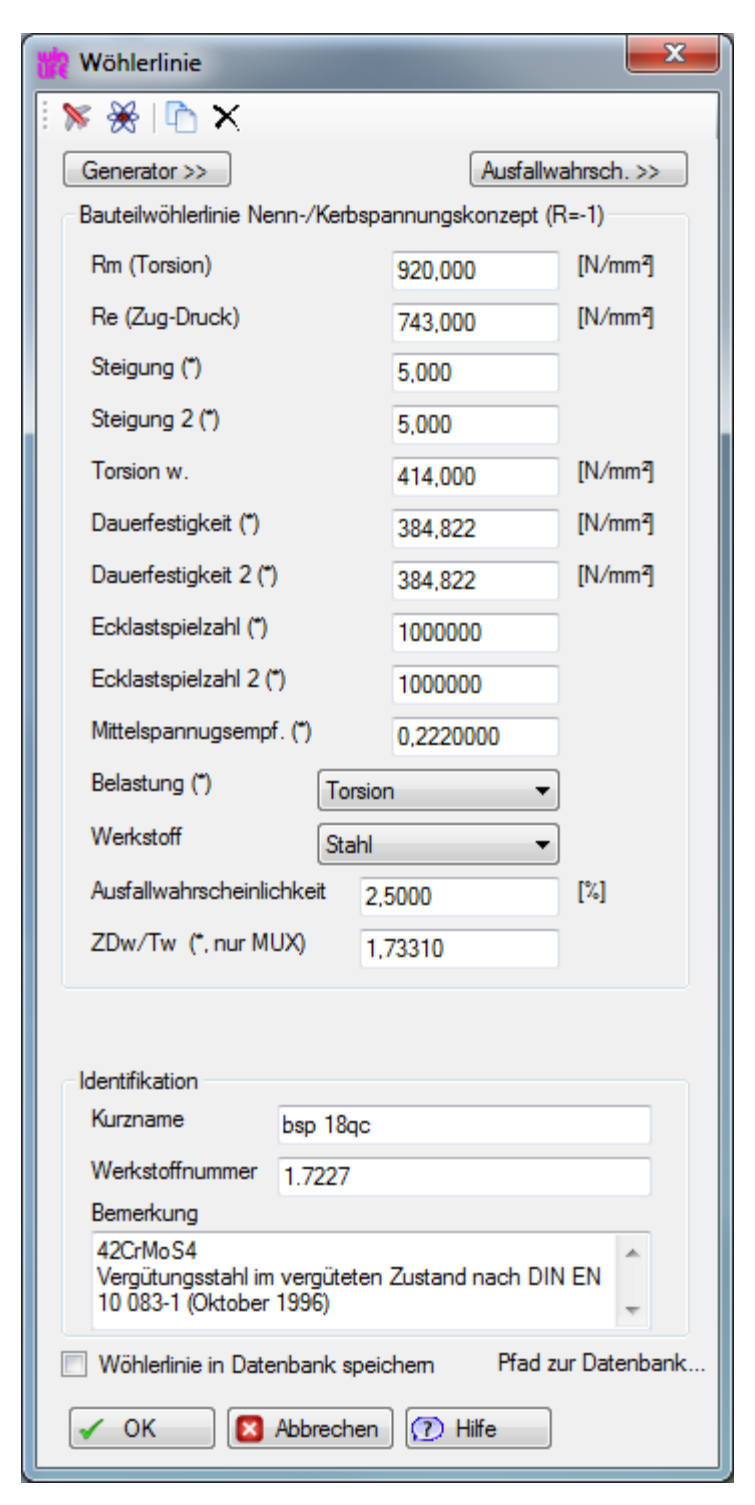


Eingabe zur Erzeugung des Projektes

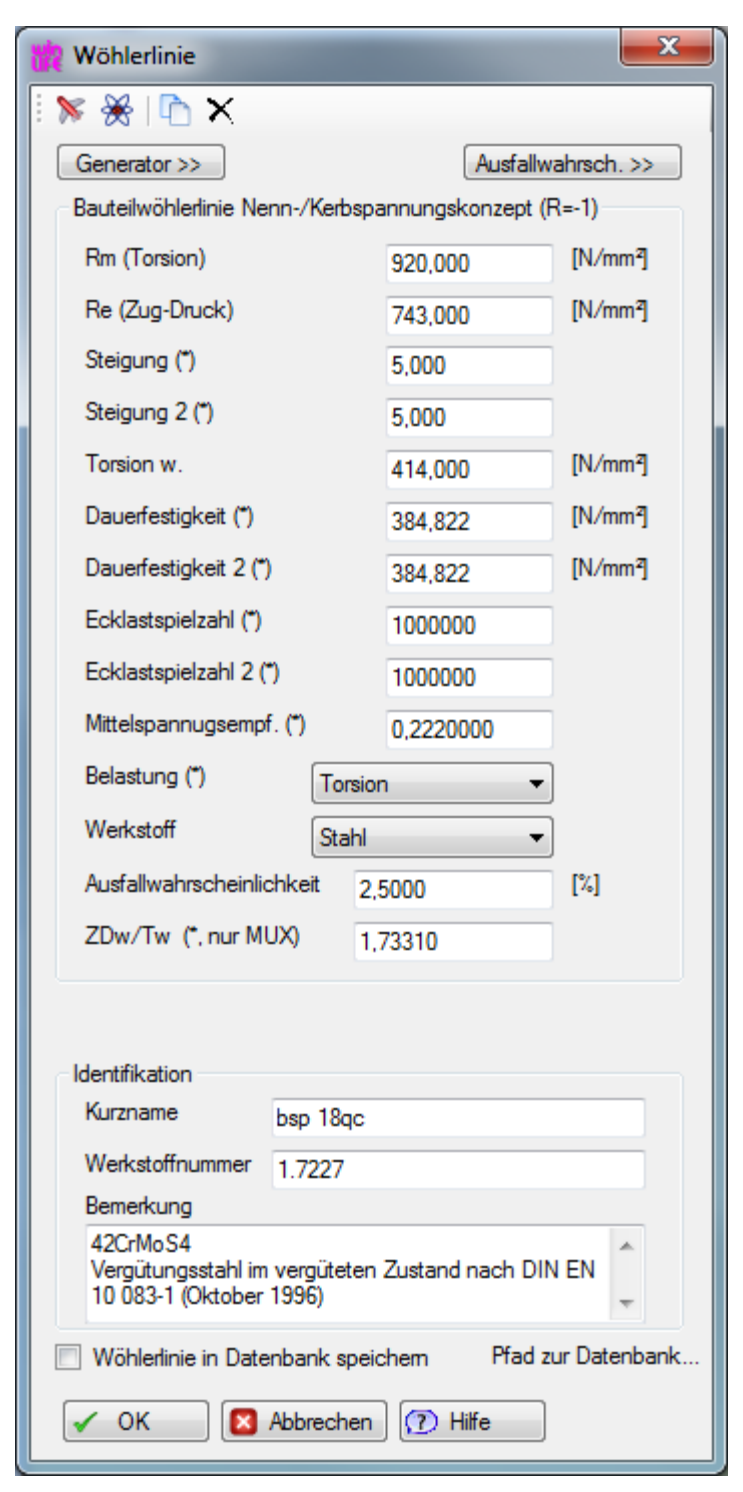
Die Wahl der Option *Mehrachsig uniaxial – Kräftebelastung* bewirkt, dass die Richtungsänderung der Hauptspannungen ignoriert wird.

19.3. Wöhlerlinie übernehmen

Die Wöhlerlinie wird aus dem alten Projekt übernommen. Wir können uns davon überzeugen, indem wir Wöhlerlinie EDIT anklicken. Wir sehen dann in der Eingabemaske die bereits bekannte Dauerfestigkeit von 384 MPa



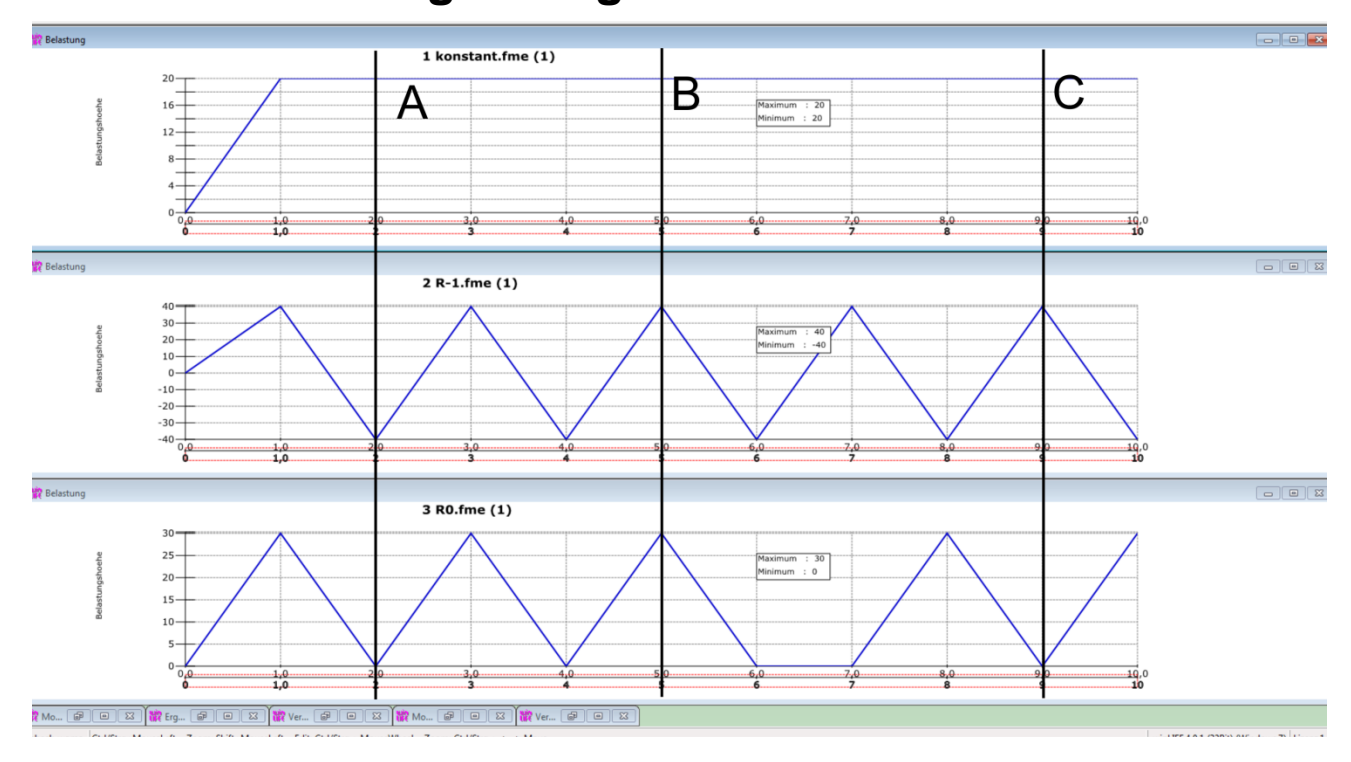
Kontrolle der Daten der Wöhlerlinie



Eingabe zur Erzeugung des Projektes

Zunächst muß für die drei Lastfälle je ein Zeitverlauf definiert werden. Von diesen sind aber nur der Maximalwert und das Spannungsverhältnis bekannt.

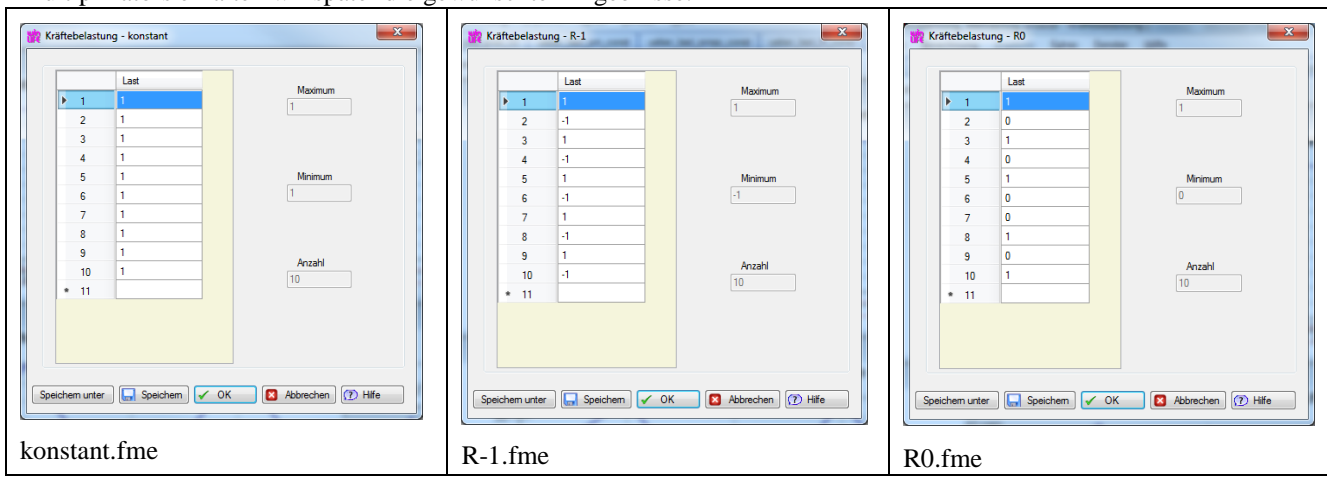
19.4. Belastung erzeugen



Wir wählen aus dem Menü

Belastung / Generieren / Kräftebelastung

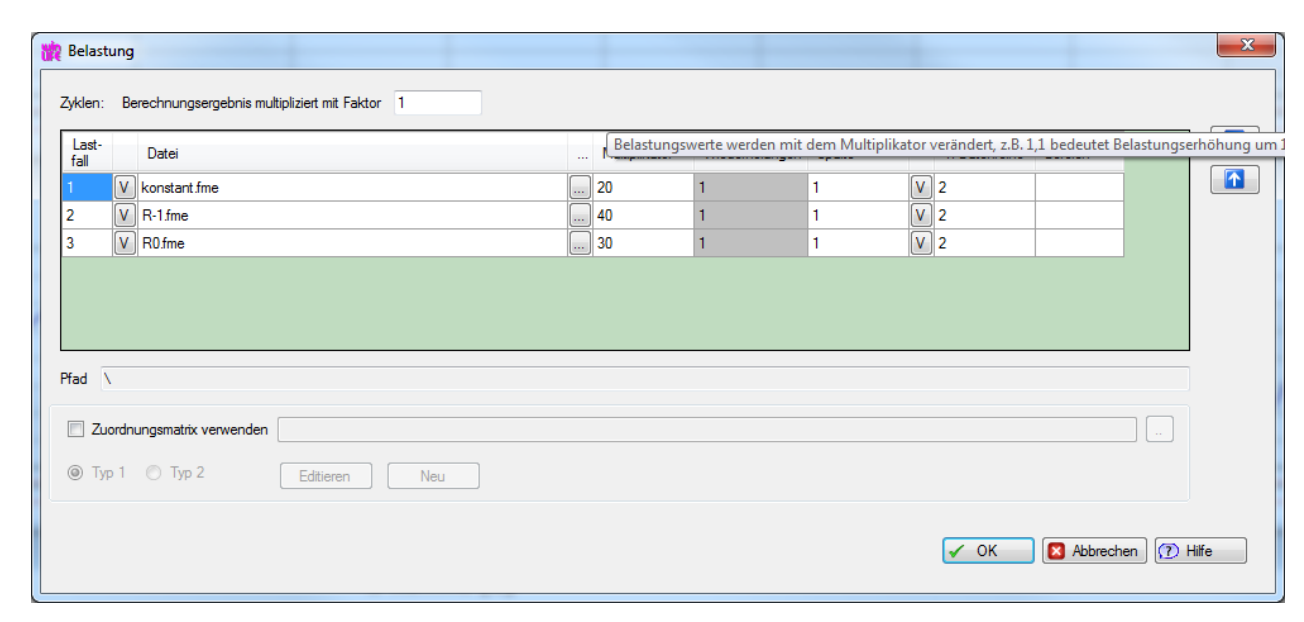
und geben dann drei Last-Zeitverläufe ein, wobei wir der Einfachheit nur die Werte 1 eingeben. Durch Hinzufügen eines Multiplikators erhalten wir später die gewünschten Ergebnisse.



Eingabe der Lastverläufe

Die so definierten Dateien – sie stehen auch bereits in den Beispieldaten zur Verfügung - werden nun durch *Belastung / Import aus Dateien*

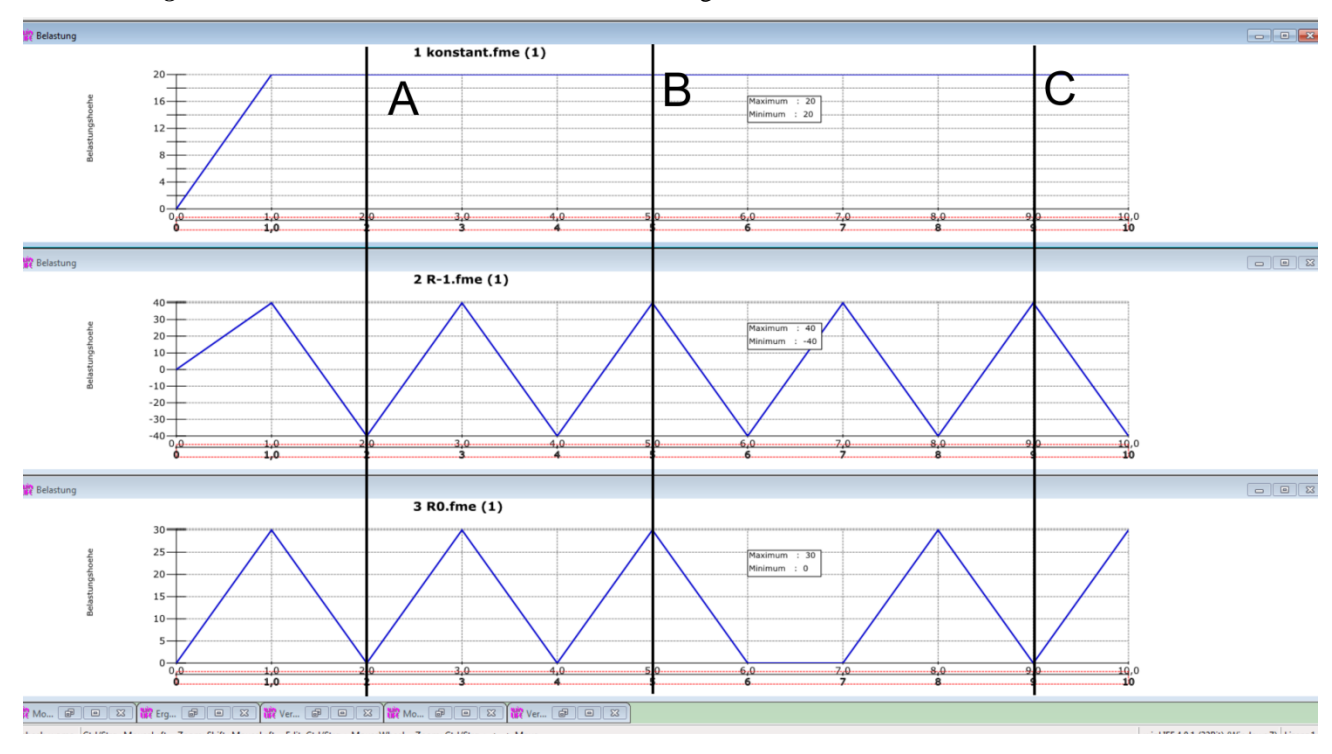
gewählt und der Multiplikator eingegeber	1.	



Einlesen der Lasten und Eingabe Multiplikator

Die visuelle Kontrolle zeigt die folgenden Verläufe.

Mit Belastung / View und Wahl der drei Dateien erhält man folgendes Bild:



Last-Zeit-Verlauf

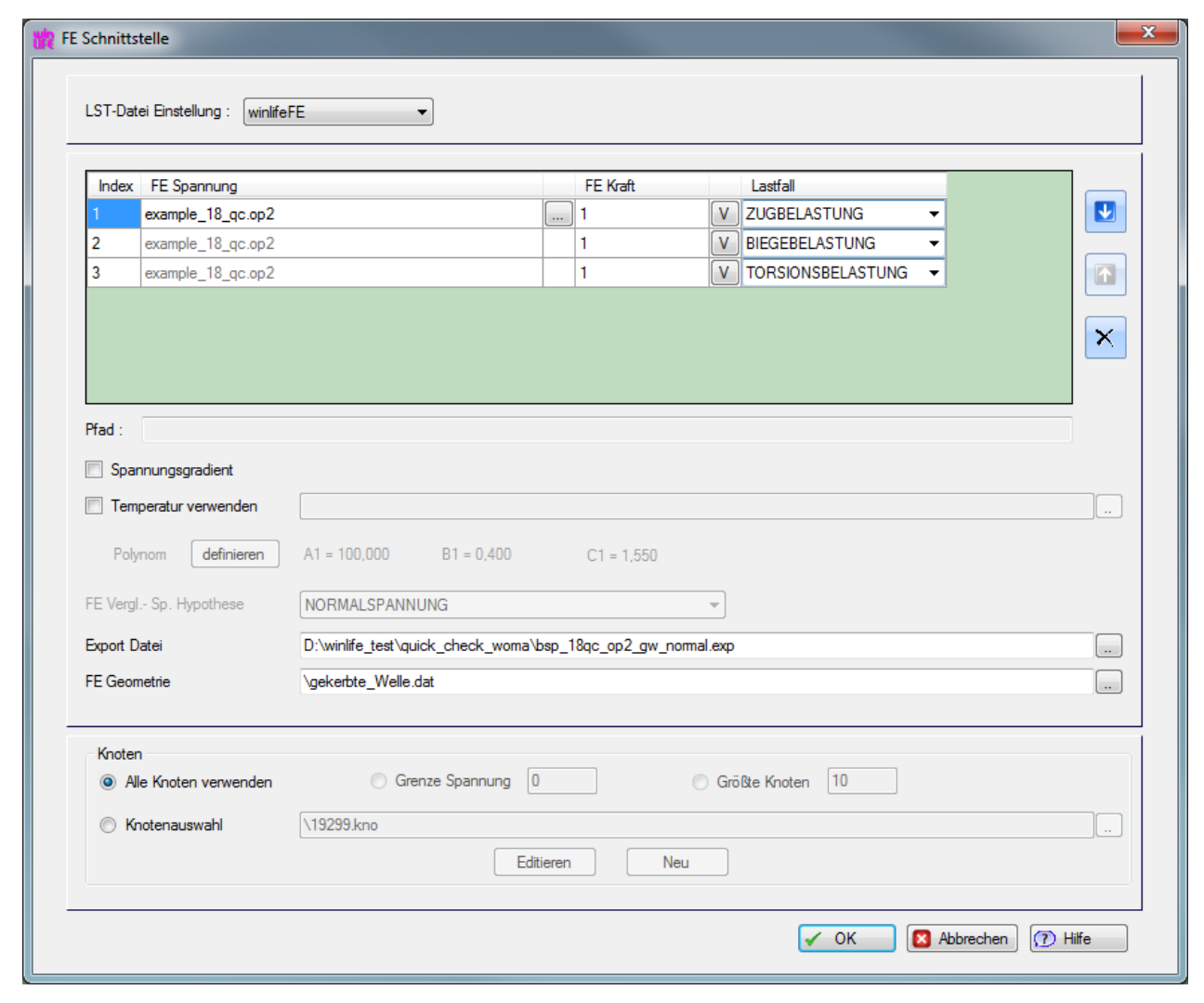
Auf Grund der Komplexität des Bauteils ist es nicht ohne weiteres möglich vorherzusagen, welche Lastfall-Kombination zur größten Schädigung führt. Entscheidend ist es daher, dass die Zeitverläufe so definiert werden, dass alle Kombinationen der Extrembelastungen enthalten sind. Die drei Fälle A, B, und C stellen die ungünstigen Kombinationen dar. Es sind natürlich beliebig viele andere Zeitverläufe denkbar, die ebenfalls diesen Anforderungen genügen.

19.5. FE-Schnittstelle (OP2-Datenübernahme)

Es werden mit Hilfe der Auswahl

FE-Daten / Import von FE-Software

die Berechnungsergebnisse der Einheitslastfälle aus der FE-Berechnung eingelesen. Dabei wurden jedoch für dieses Beispiel eine OP2-Datei (Spannungsergebnisse) und Geometriedatei erzeugt. Diese werden nun eingelesen.



Eingabemaske für die Datenschnittstelle zu den FE-Modellen

19.6. Berechnung / Parameter festlegen

Es wird mit folgenden Berechnungsparametern gerechnet.

Festigkeitshypothese	Normalspannungshypothese aus betragsmäßig größter Hauptspannung	
Klassierung	100 Klassen	
	Hysterese ja	
	Automatisches Berechnen der oberen und unteren Grenze	
Mittelspannungseinfluß	Amplitudentransformation	
Multiaxial	Default-Werte übernehmen	
Residuum	berücksichtigen	
Schadensakkumulation	Elementare Form	
Zeitraffung	Keine	
Betriebsfaktor	Default-Werte übernehmen	

19.7. Ergebnis / Protokoll auswerten

	Dw/Tw	. wants	1.7331							
-	knot	Rm*	Dauerfest.	Sig.Mi	Sig.Am	Sig.Am mod	n	Schadensanteil	von	bis
	19299	920.00	384.82	28.52	97.52	103.85	1.0	1.431407e-09	92	1
	19299	920.00	384.82	45.48	80.56	90.66	1.0	7.255990e-10	92	17
	19299	920.00	384.82	70.92	72.08	87.82	0.5	3.095583e-10	100	33
	19299	920.00	384.82	37.00	106.00	114.21	0.5	1.151508e-09	1	100
	19299	920.00	384.82	53.96	89.04	101.02	2.0	2.493149e-09	17	100

Auszug aus dem Protokollausdruck mit der kritischen Beanspruchungsamplitude

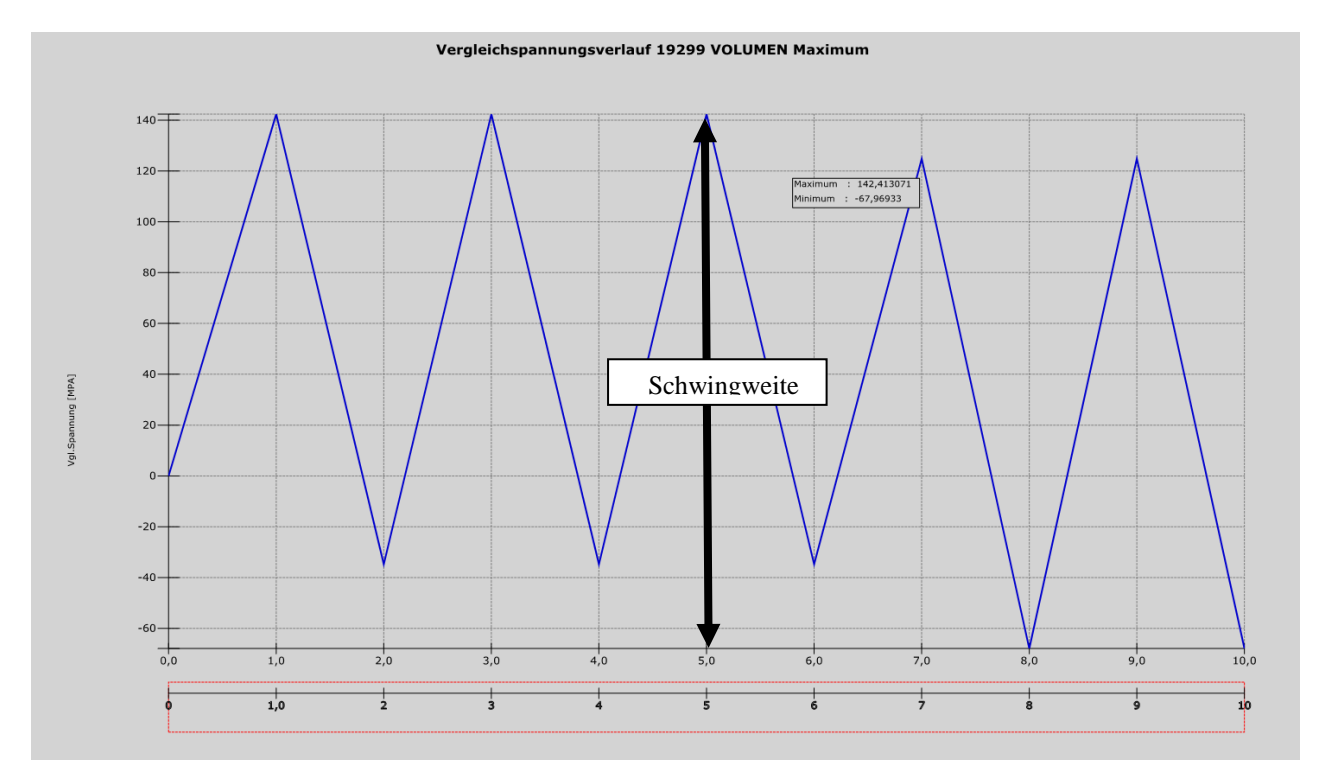
Der Auslastungsgrad ergibt sich als Quotient aus der größten transformierten Amplitude und der Dauerfestigkeit also:

114,21 / 384,8=0,296

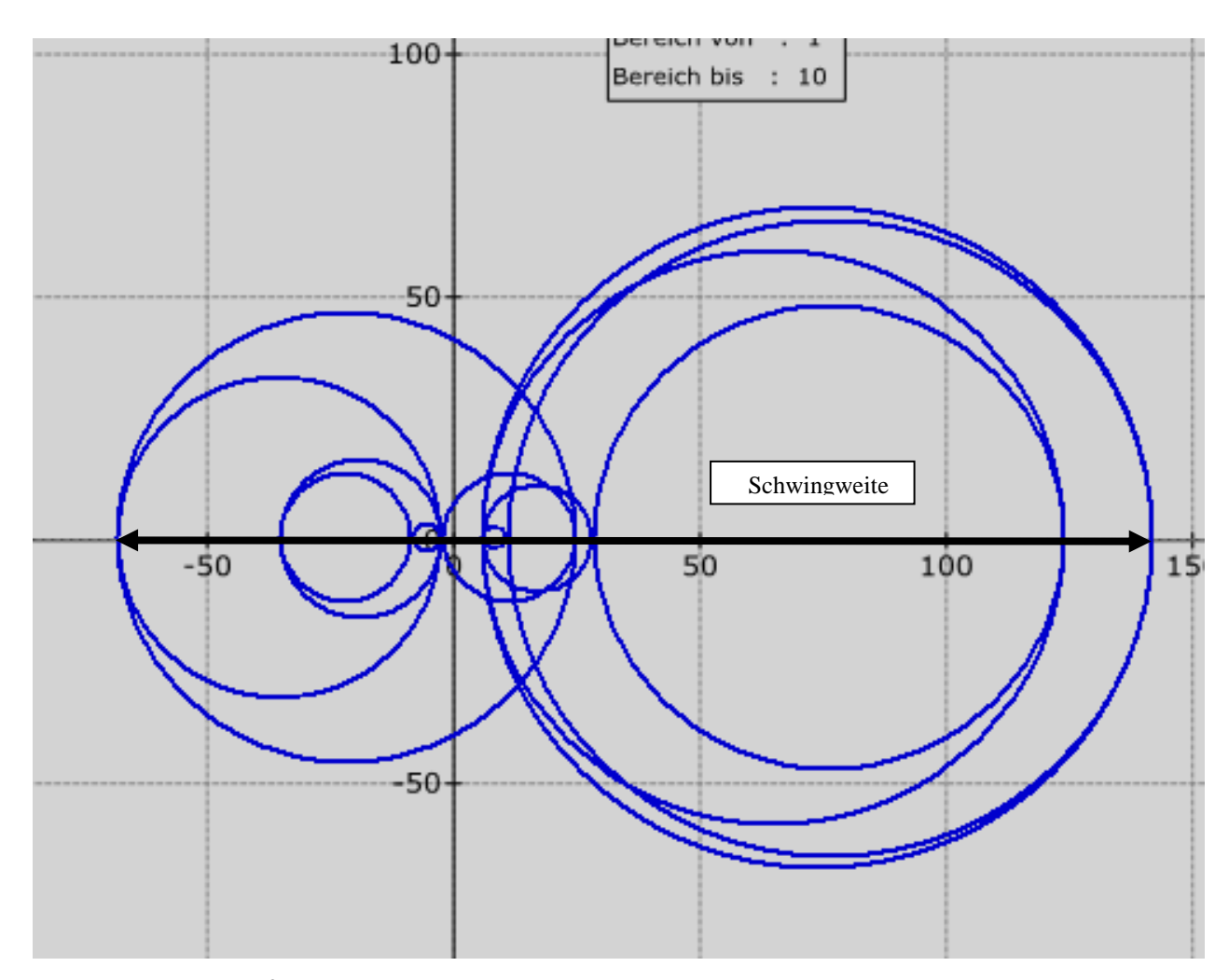
Damit wird das gleiche Ergebnis wie im Dauerfestigkeitsnachweis erhalten.

Eine Analyse des Spannungszustandes ist mit Hilfe des Vergleichsspannungsverlaufs möglich. Man wähle dazu:

Ergebnis / Vergleichsspannungsverlauf



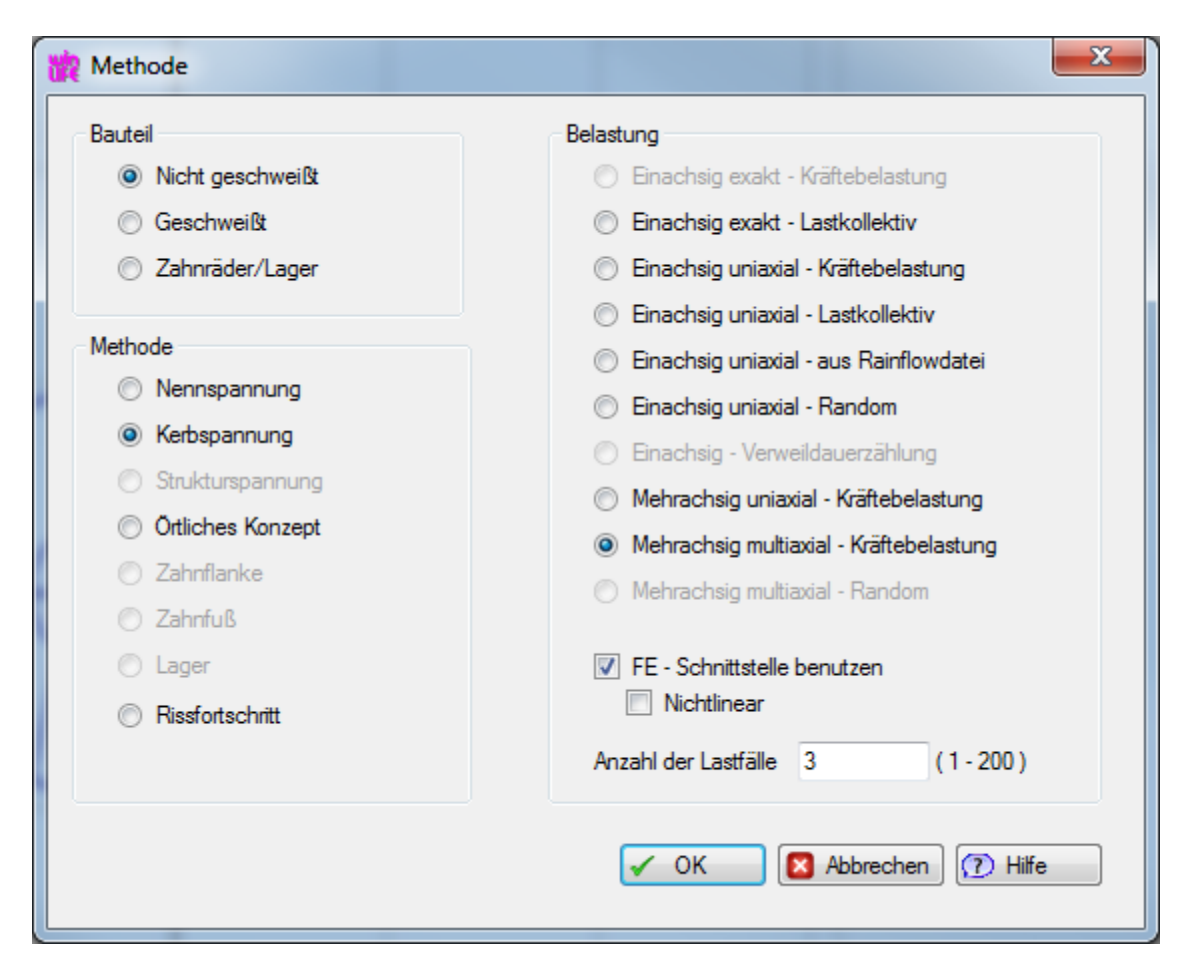
Vergleichsspannungsverlauf und maximale Schwingweite



Mohrscher Kreis für alle Zeitschritte

19.7.1. Multiaxiale Berechnung / kritische Schnittebene

Um nach dem Verfahren der kritischen Schnittebene zu rechnen, muß in dem bestehenden Projekt die Eingabe im Methode Dialog geändert werden. Es wird nun *Mehrachsig multiaxial – Kräftebelastung* markiert



Eingaben im Methode Menü

Eine Neuberechnung liefert dann folgendes Ergebnis:

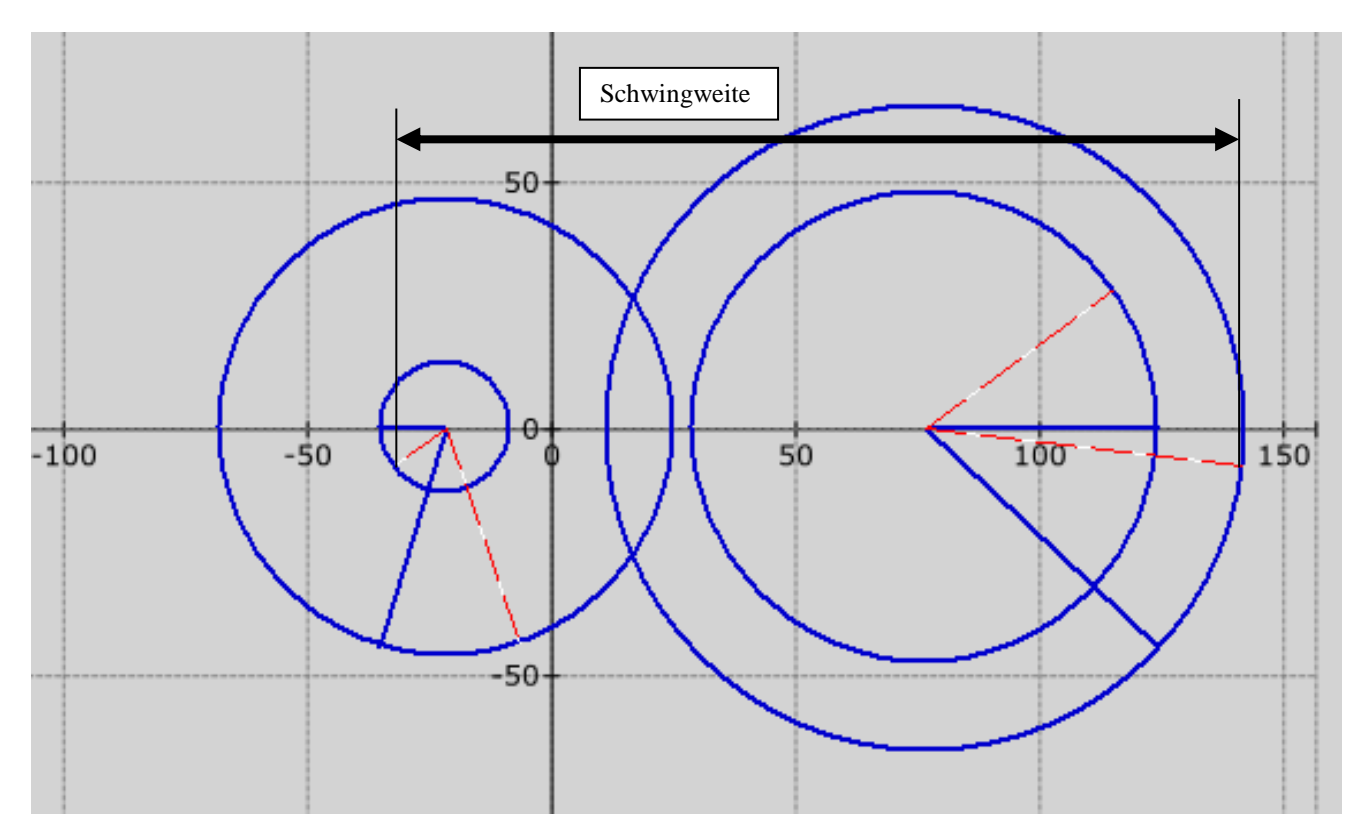
Dw/Tw		1.7331							
knot	Rm*	Dauerfest.	Sig.Mi	Sig.Am	Sig.Am mod	n	Schadensanteil	von	bis
19299	920.00	384.82	41.82	74.12	83.40	0.5	2.391146e-10	85	1
19299	920.00	384.82	70.60	71.50	87.18	0.5	2.983068e-10	100	19
19299	920.00	384.82	54.90	61.04	73.23	1.5	3.742587e-10	16	85
19299	920.00	384.82	54.90	87.20	99.39	2.5	2.872804e-09	1	100

Auszug aus der Protokolldatei

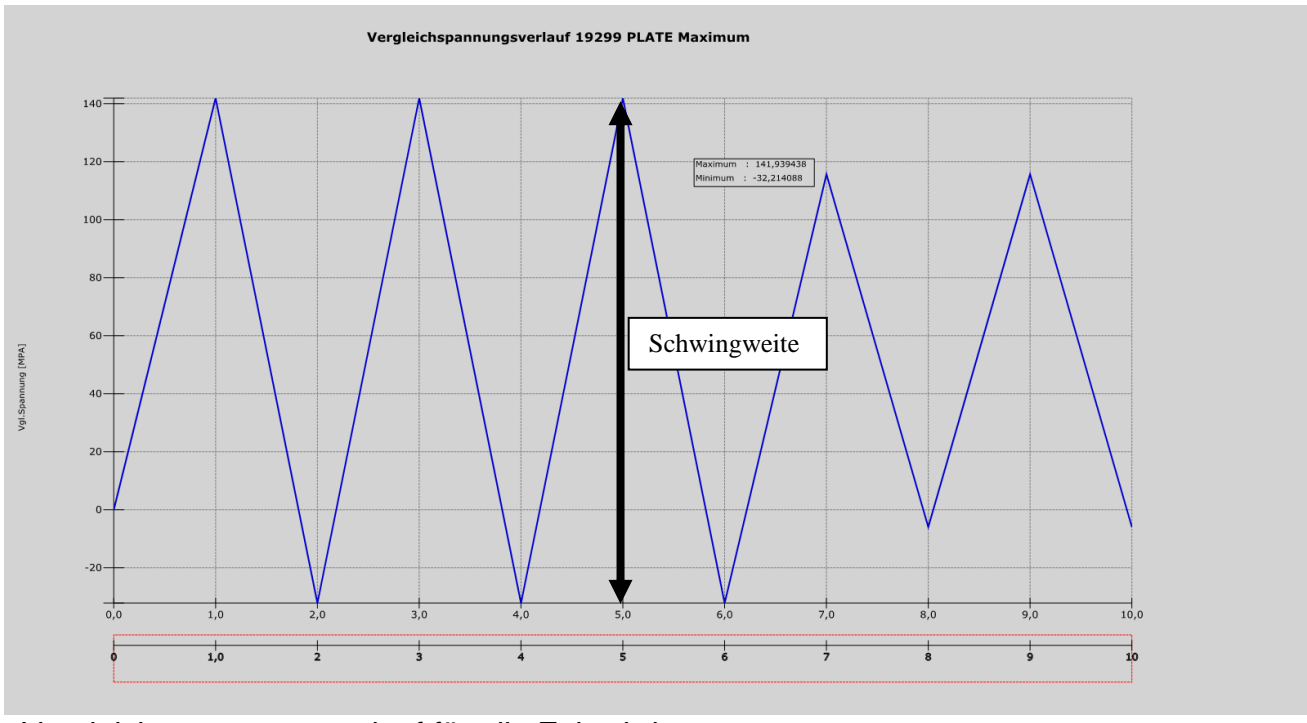
Der Quotient

99,3/384,8=0,258

Liefert den Auslastungsgrad, der mit dem Ergebnis aus QUICK CHECK übereinstimmt.



Mohrscher Kreis für alle Zeitschritte



Vergleichsspannungsverlauf für alle Zeitschritte

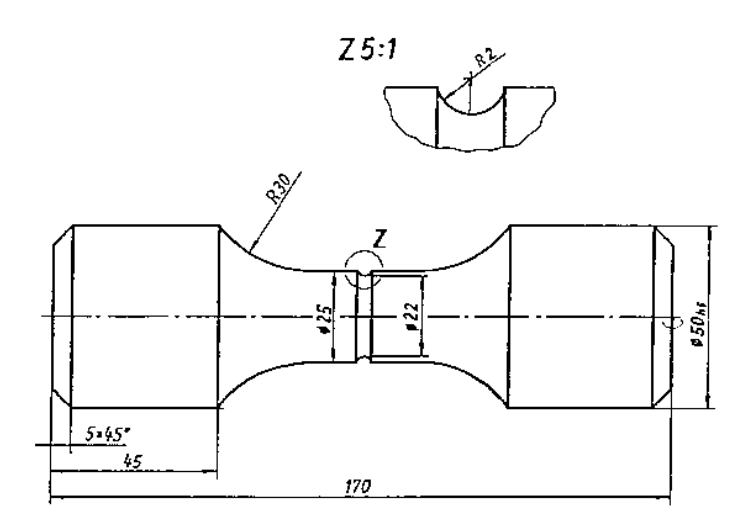
20. Beispiel 19 / bezogener Spannungsgradient

Hinweis: Für diese Beispiel sind die FE-Daten – auch die Daten des FEMAP/NASTRAN Modells –auf unserer Homepage und auf CD vorhanden.

20.1. Aufgabenstellung

20.1.1. Bauteilgeometrie

Für ein rotationssymmetrisches Bauteil, dessen Konstruktionszeichnung mit Bemaßung in dem folgenden Bild dargestellt ist, sollen die bezogenen Spannungsgradienten im Kerbbereich bestimmt werden. Dieses Bauteil findet ebenfalls im Beispiel 18 Verwendung.



FE-Modell "gekerbte Welle"

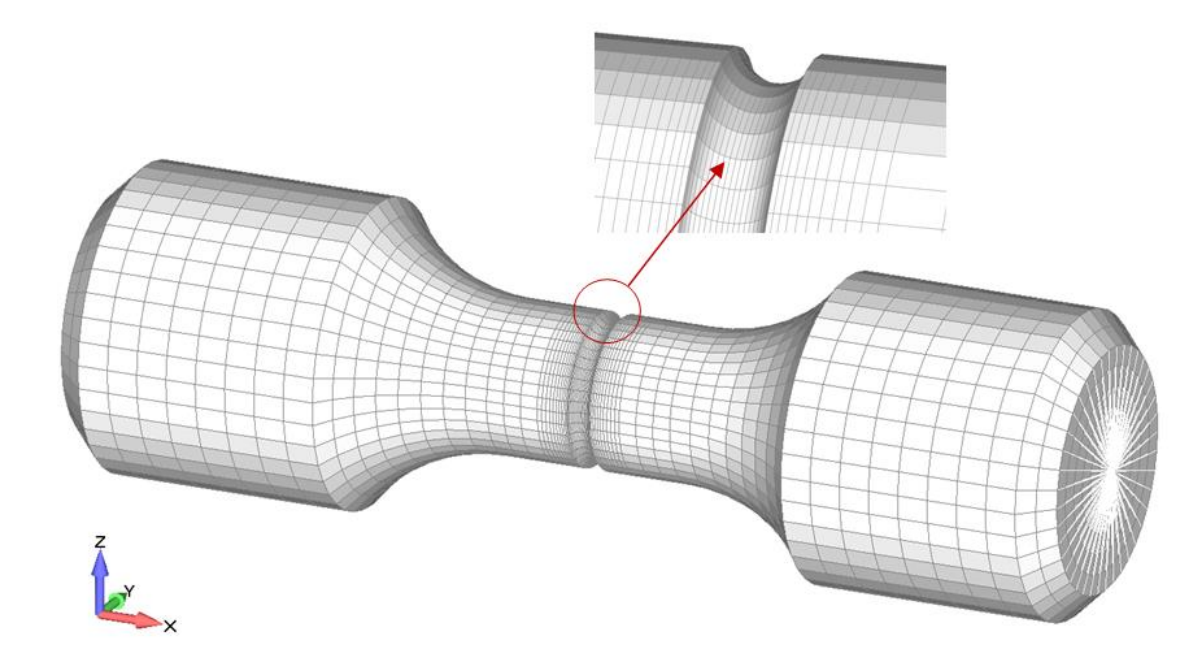
20.1.2. Werkstoffdaten

Es liegen folgende Materialangaben vor:

Werkstoffname: 42 CrMoS 4V E-Modul: 210.000 MPa

20.1.3. Modellbildung

Das Modell wurde so realisiert, dass eine genügend feine Vernetzung in der Kerbe erfolgte. Das folgende Bild zeigt das FE-Modell mit dem Netz.



FE-Modell mit feinem Netz in der Kerbe

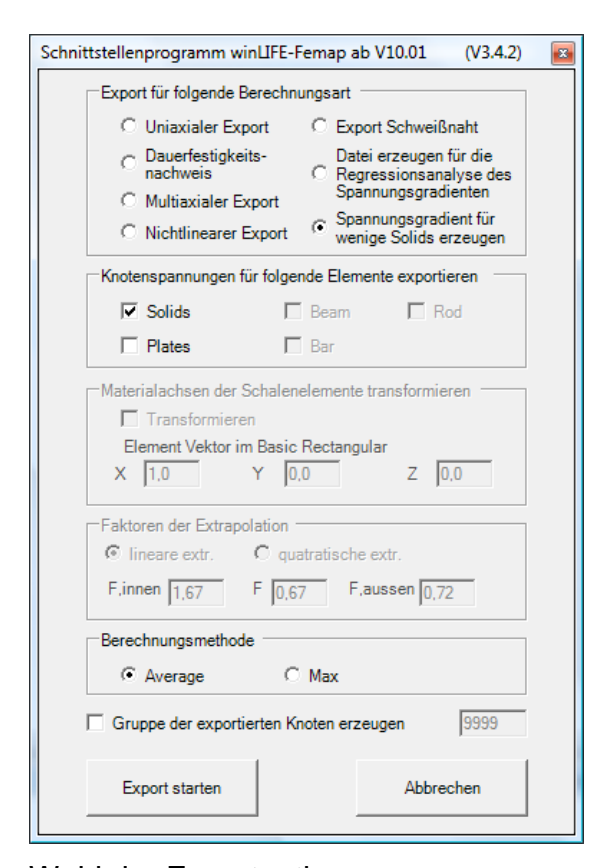
20.1.4. Bauteilbelastung (Einheitslasten)

Die Belastung des feststehenden Bauteils erfolgt durch folgende drei Größen, die jeweils zu einer Nennspannung von 1N/mm^2 in der Kerbe führen.

Lastfall Nr.	Belastungsart	Einheitslast, die genau 1 N/mm ² Nennspannung erzeugt.	Größte Haupt- Spannung im Kerbgrund	Kerbformzahl
1	Zug	Zugkraft in Stirnfläche in x- Richtung 380 N	2,25 N/mm²	2,25
2	Biegung	Moment in y- Richtung auf Stirnfläche My = 1045 Nmm	2,0 N/mm²	2,0
3	Torsion	Moment in x- Richtung Mx = 2091 Nmm	1,49 N/mm²	1,49

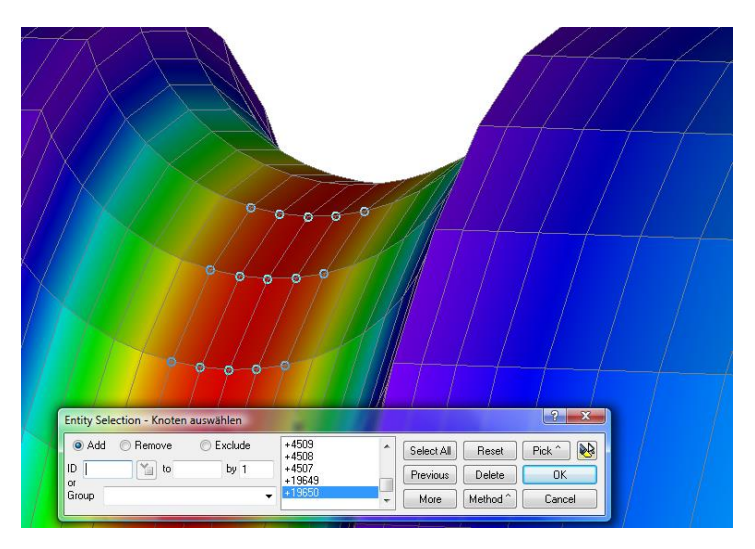
20.2. Bestimmung des Spannungsgradienten direkt aus dem FE-Modell in Femap

Der bezogene Spannungsgradient wird nach diesem Verfahren direkt aus den Spannungsergebnissen des FE-Modells bestimmt. Hierzu wird das Schnittstellenprogramm winLIFE – Femap aufgerufen.



Wahl der Exportoptionen

Nach dem hier vorgestellten Verfahren sollten nur wenige Knoten gewählt werden, für die der bezogene Spannungsgradient bestimmt wird. Bei der Auswahl vieler Knoten dauert die Ermittlung der zugehörigen Spannungsgradienten entsprechend länger.

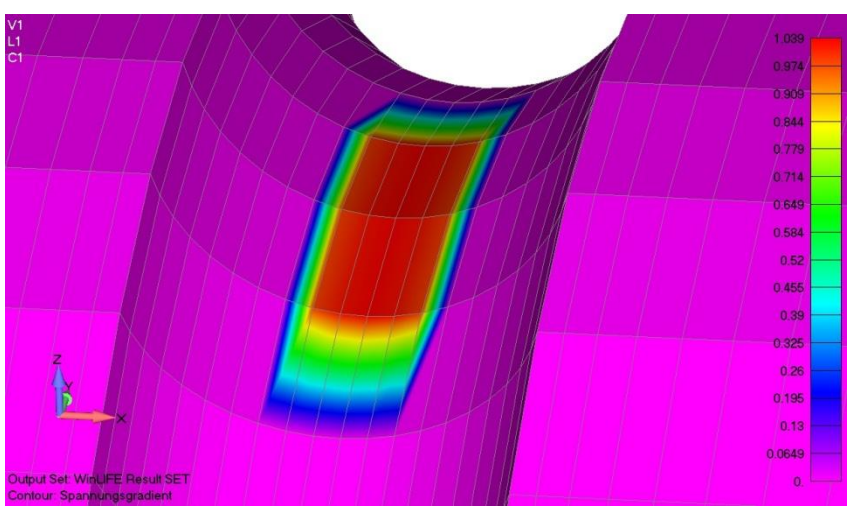


Knotenauswahl am FE-Modell

Die bezogenen Spannungsgradienten für die gewählten Knoten sind in der Ergebnisdatei *.LSS aufgeführt:

Spannungsgradienten an den Knoten

In Femap kann die Ergebnisdatei *.NEU zur Visualisierung der Spannungsgradienten eingelesen werden. Es ergibt sich das folgende Bild mit einem bezogenen Spannungsgradienten von 1,039 1/mm in der Kerbmitte.

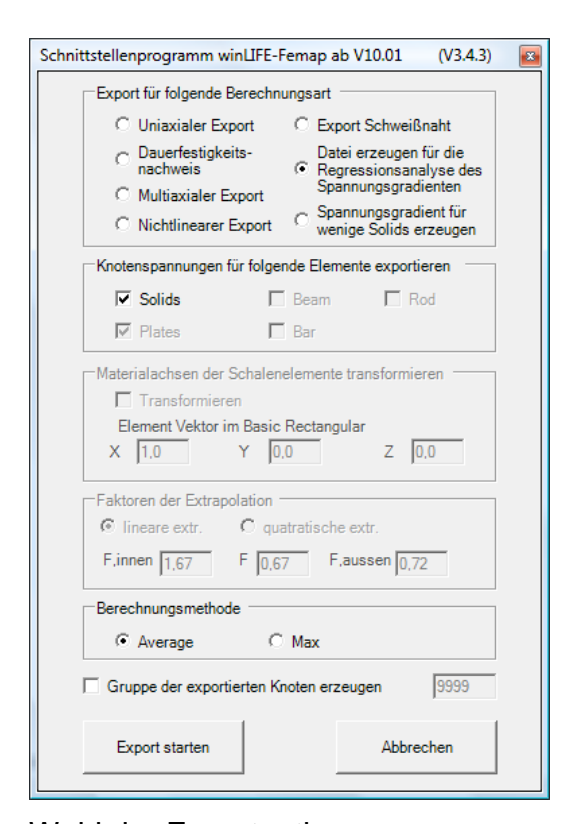


Darstellung der Spannungsgradienten in der Kerbe

20.3. Bestimmung des Spannungsgradienten aus einer Regressionsanalyse

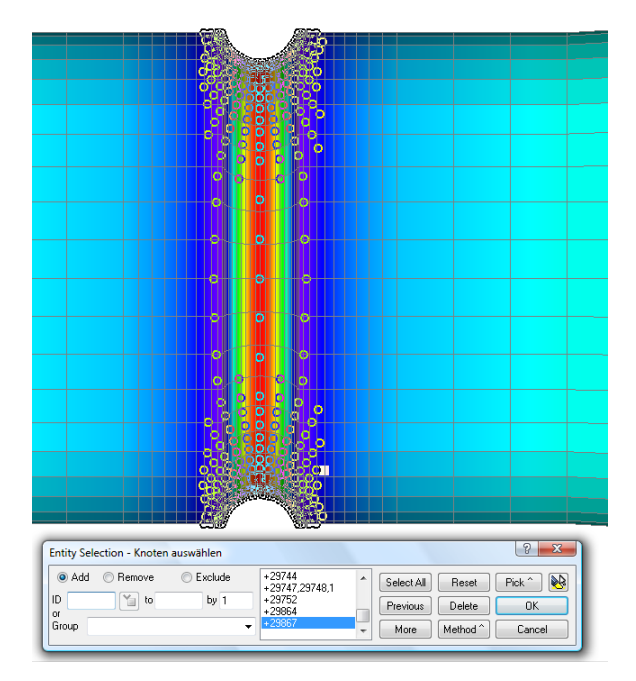
20.3.1. Eingabeoptionen

Der bezogene Spannungsgradient wird nach diesem Verfahren aus einer Regressionsanalyse bestimmt. Hierzu wird zunächst eine *.GRD Datei geschrieben.



Wahl der Exportoptionen

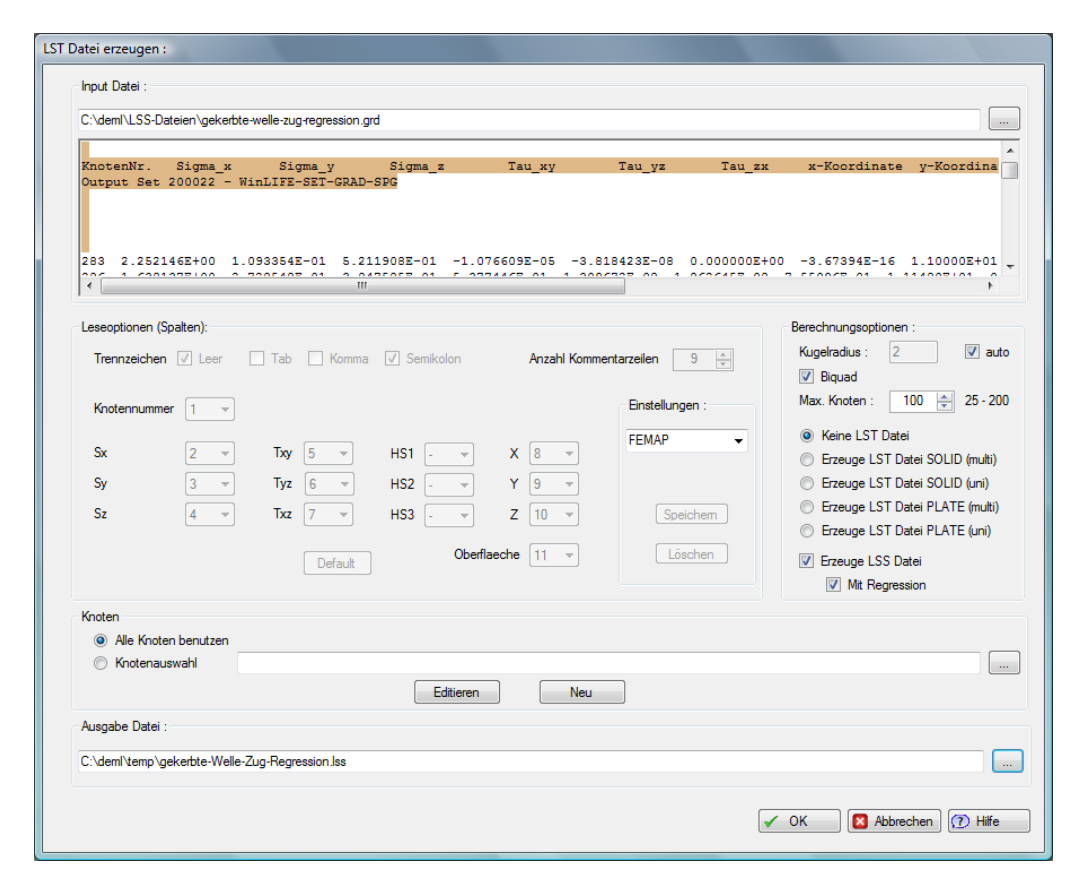
Ein Vorteil dieses Verfahrens im Vergleich zum vorherigen Verfahren ist eine schnelle Berechnung der Spannungsgradienten. Folglich können viele Knoten für die Auswertung herangezogen werden.



Knotenauswahl am FE-Modell

Die resultierende *.GRD-Datei enthält Knotenwerte wie Spannungen, Koordinaten und eine Angabe, ob es sich bei dem jeweiligen Knoten um einen Oberflächenknoten oder um einen Knoten im Material handelt. Diese GRD-Datei wird dann in winLIFE 4.0 eingelesen und die Spannungsgradienten bestimmt.

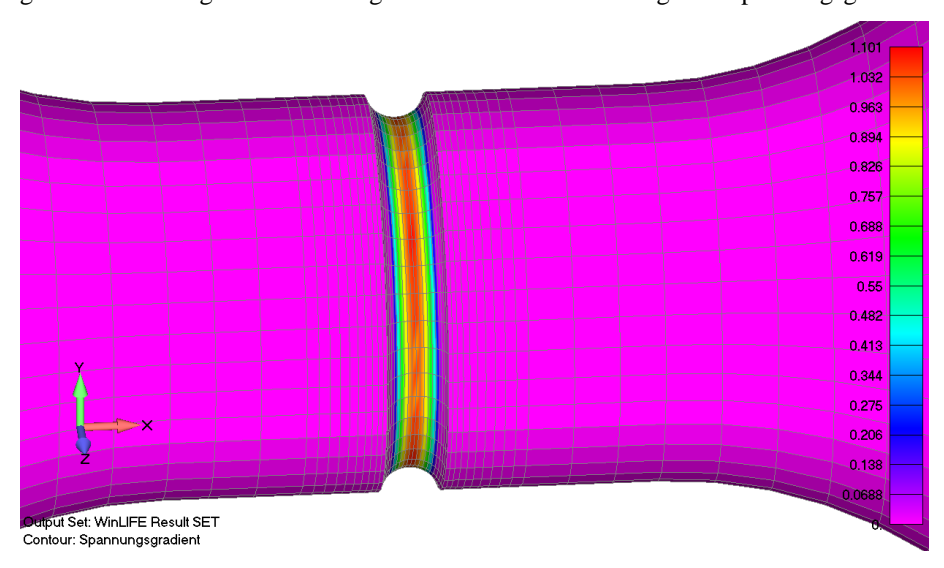
Hierbei sind mehrere Einstellungen für die Berechnung des Spannungsgradienten möglich. In diesem Beispiel wird eine Regression mit der Einstellung "auto" durchgeführt und es wird eine Auswertung mit biquadratischem Verlauf der Regressionsfunktion gewählt. Die max. Knotenanzahl erhält den Wert 100.



Import der GRD-Datei in winLIFE

20.3.2. Ergebnis

Neben der LSS-Datei wird für Femap die Ergebnisdatei *.NEU geschrieben zur Visualisierung der Spannungsgradienten. Es ergibt sich das folgende Bild mit einem bezogenen Spannungsgradienten von ca. 1,1 1/mm im Kerbgrund.

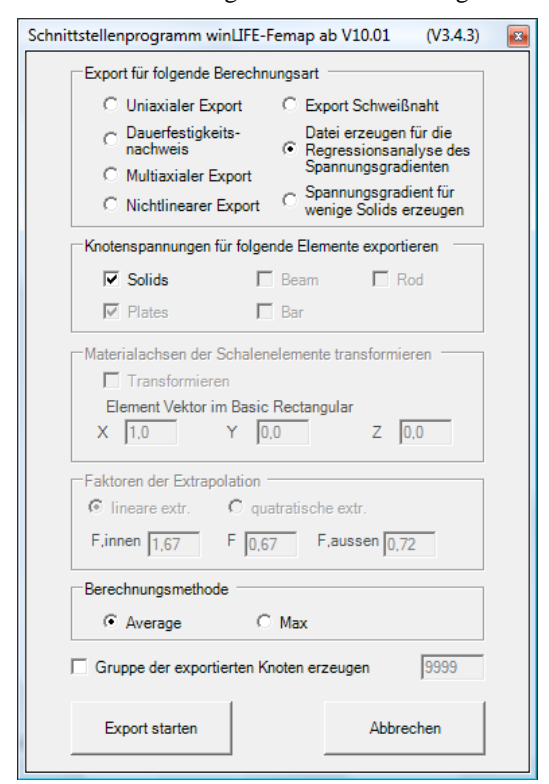


Darstellung der Spannungsgradienten in der Kerbe

20.4. Bestimmung des Spannungsgradienten nach der Peilstab-Methode

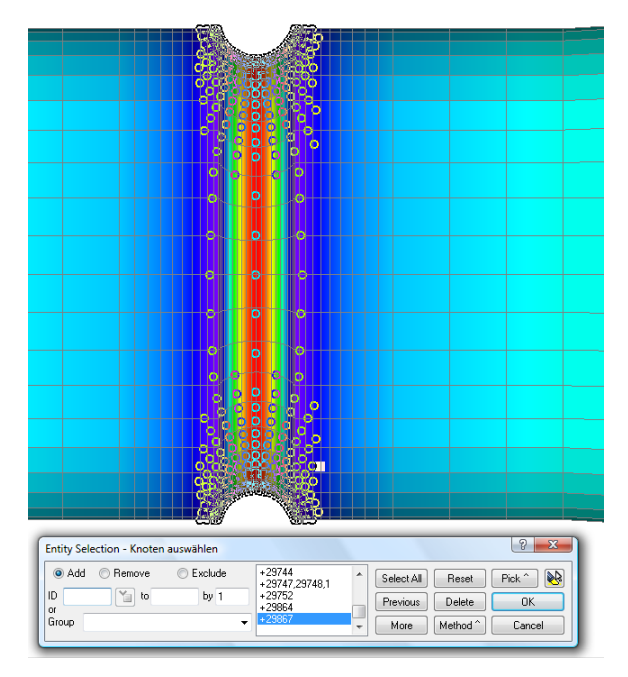
Eingabeoptionen

Wie in dem vorherigen Verfahren mit Regression wird zunächst eine *.GRD Datei geschrieben.



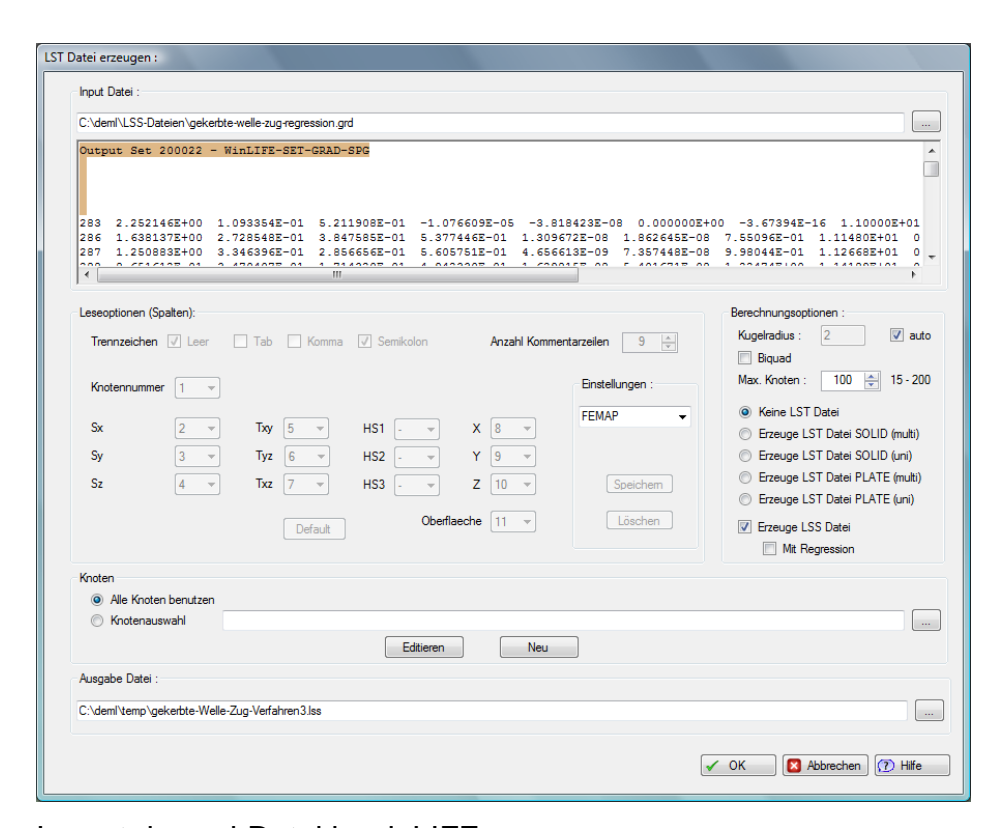
Wahl der Exportoptionen

Im nächsten Schritt werden wieder Knoten gewählt, für die der bezogene Spannungsgradient bestimmt wird. Das Verfahren ist vergleichsweise schnell, daher kann eine größere Anzahl Knoten gewählt werden.



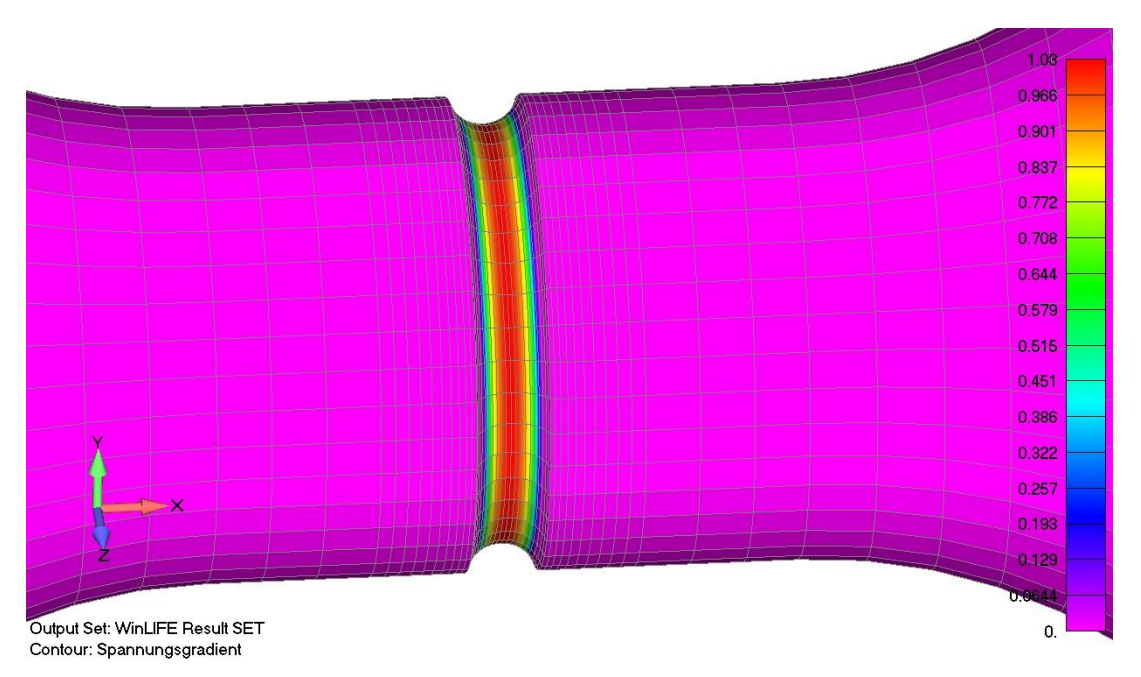
Knotenauswahl am FE-Modell

Die resultierende *.GRD-Datei wird dann in winLIFE eingelesen. Auch hier sind mehrere Einstellungen für die Bestimmung des Spannungsgradienten möglich. Zunächst wird eine Regression mit den Einstellungen auto durchgeführt und es werden max. 100 Knoten in der Analyse berücksichtigt.



Import der grd-Datei in winLIFE

Neben der LSS-Datei wird für Femap die Ergebnisdatei *.NEU geschrieben zur Visualisierung der Spannungsgradienten. Es ergibt sich das folgende Bild mit einem bezogenen Spannungsgradienten von ca. 1,03 1/mm im Kerbgrund.



Darstellung der Spannungsgradienten in der Kerbe

20.5. Bestimmung des Spannungsgradienten aus FEM Originaldateien

Beschreibung

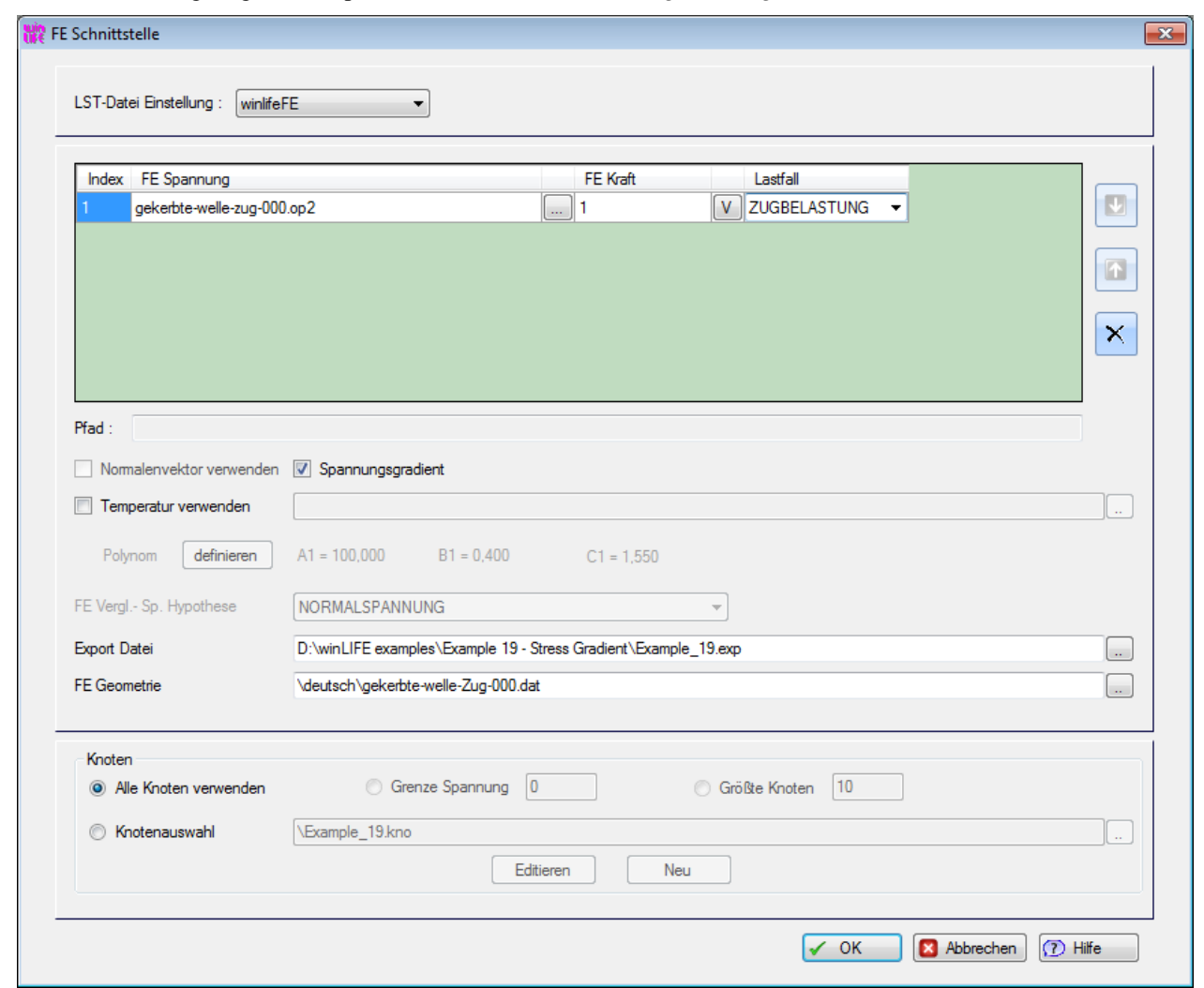
Seit der winLIFE Version 3.8.1 können FEM Ergebnisdateien (z.B. NX Nastran op2-, Abaqus fil- , ANSYS rst-Dateien) direkt in winLIFE importiert werden.

Zur Ermittlung der bezogenen Spannungsgradienten wird der winLIFE Viewer verwendet. Der winLIFE Viewer ist ein zusätzliches Modul, das die Darstellung des Berechnungsmodells erlaubt. In der winLIFE Hilfe wird dieses Modul näher beschrieben.

Der Anwender wählt im winLIFE Menü die Befehle

FE-Daten → Import from FE-Software...

Im folgenden Dialog wird für die LST-Datei Einstellung winLIFE gewählt. Die aus Nastran stammende op2-Datei wird in die Tabelle eingetragen. Die op2-Datei enthält den Lastfall Zugbelastung.

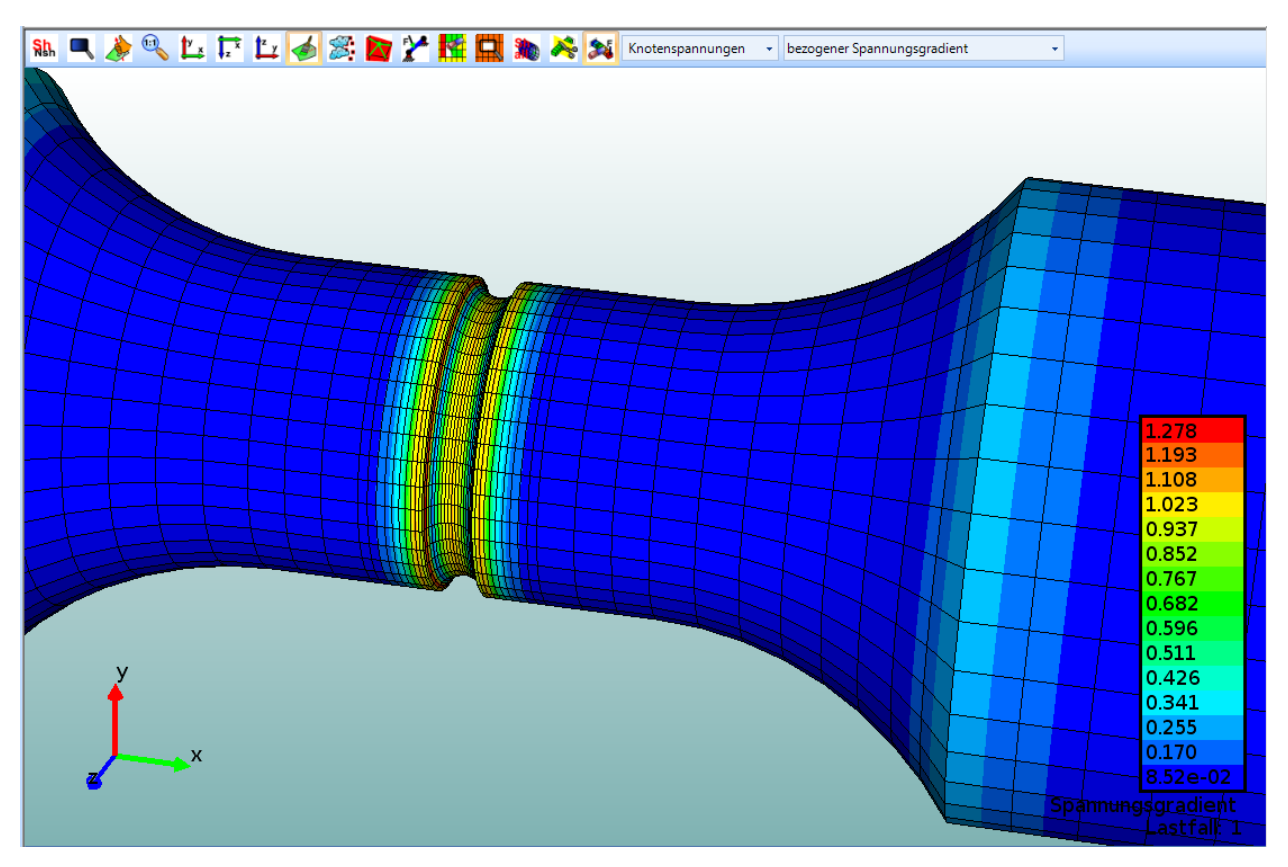


Wahl einer FE-Originaldatei op2 als Belastung

Entscheidend ist es das Feld Spannungsgradient zu markieren. Zur Darstellung des FE-Modells wird die Geometrie (FE-Netz) als dat-Datei eingetragen.

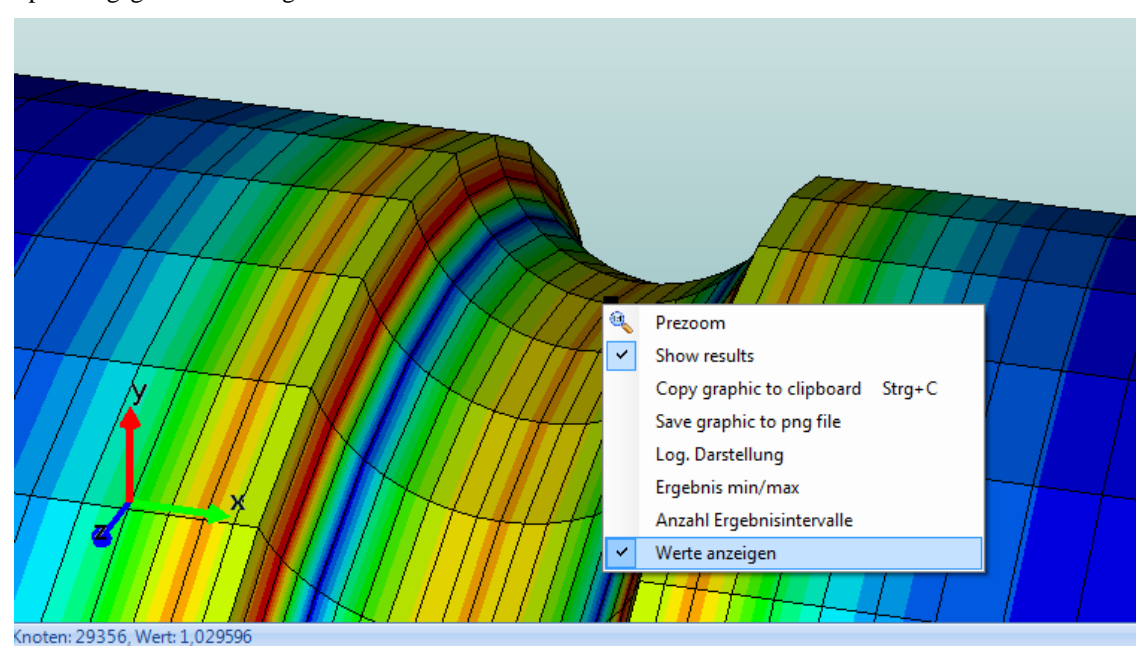
Nun wird gewählt: FE-Daten → View → Lastfall – ZUGBELASTUNG

Die Spannungsgradienten werden angezeigt, wenn die Auswahllisten entsprechend auf *Knotenspannungen* und *bezogener Spannungsgradient* gestellt werden.



Darstellung des bezogenen Spannungsgradienten

Die Werte der Spannungsgradienten können knotenweise angezeigt werden. Die rechte Maustaste wird gedrückt und es wird die Option Werte anzeigen gewählt. Im unteren linken Teil des Fensters wird der Wert für den bezogenen Spannungsgradienten eingeblendet.



Anzeigen der Werte für die Spannungsgradienten

Außerdem hat winLIFE 4.0 mittlerweile eine LST-Datei geschrieben, die sich im Ordner der op2-Datei befindet. Die LST-Datei enthält die Spannungstensoren und bezogenen Spannungsgradienten. Mit der LST-Datei führt winLIFE 4.0 die Lebensdauer-Rechnung durch.

20.6. Ergebnis

Die bezogenen Spannungsgradienten werden für die Biege- und Torsionsbelastung ebenfalls nach diesen vier vorgestellten Verfahren bestimmt. In der folgenden Tabelle sind die entsprechenden Spannungsgradienten eingetragen und den Werten aus der FKM-Richtlinie gegenübergestellt.

Lastfall Nr.	Belastungs- art	Einheitslast, die genau 1 N/mm ² Nennspannung erzeugt.	Größte Spannung im Kerbgrund	b _i mi	Spannungs- gradient Literatur nach			
				Femap- Interface	Regression*	Peilstab- Methode *	Auswer- tung von FE- Original- dateien	FKM Richtlinie [1/mm]
1	Zug	Zugkraft in Stirnfläche in x-Richtung	2,25 N/mm²	1,04	1,1	1,03	1,03	1,0
2	Biegung	Moment in y- Richtung auf Stirnfläche My = 1045 Nmm	2,0 N/mm²	1,08	1,1	1,07	1,07	1,091
3	Torsion	Moment in x- Richtung Mx = 2091 Nmm	1,49 N/mm²	0,498	0,5	0,514	0,497	0,591

^{*} gewählte Optionen inwinLIFE 4.0: auto, biquad, max. Knotenanzahl 100

21. Beispiel 20 / Containerprojekte

21.1. Aufgabenstellung

Dieses Beispiel führt in die Verwendung von Containerprojekten ein. Containerprojekte sind außerordentlich hilfreich, wenn eine große Zahl von Projekten extrapoliert und summiert werden sollen, wobei sich nur die Belastung der Teilprojekte unterscheiden darf.

Neben der resultierenden Schadenssumme wird auch der Betriebsfaktor, die resultiere Rainflow-Matrix, Bereichspaarzählung etc. bestimmt.

Hinweise: Jede Lastdatei muss alle Kanäle einschließlich des Zeitkanals enthalten. Die verschiedenen Kanäle sind dann in Spalten angeordnet, deren Spaltennummer dann zur Identifizierung angegeben wird.

21.2. Laden eines existierenden Projektes

Um ein Containerprojekt zu erzeugen, muss zunächst ein Standard Einzelprojekt existieren. Wir wählen aus dem Menü *Datei / Öffnen* und laden dazu das Projekt Beispiel_6.wlf.



Dieses Projekt muss alle Daten zur Berechnung enthalten, Zur Sicherheit kann man eine Berechnung durchführen und prüfen, ob ein Ergebnis erhalten wird.

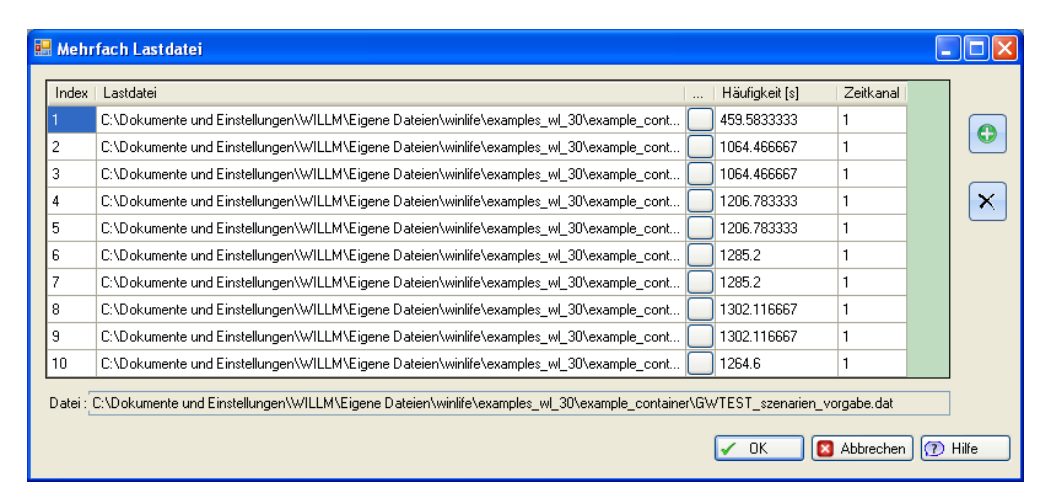
21.3. Vorbereitung der Mehrfach Lastdatei

Durch Wahl von *Extras / Werkzeuge / Mehrfach Lastdatei* öffnet sich eine Eingabetabelle, in der die im Containerprojekt zu verarbeitenden Lastdateien auf geführt werden müssen.

Weiterhin ist in dieser Tabelle in der Spalte Häufigkeit die Sollzeit anzugeben. Weiterhin muss angegeben werden, wo sich die Spalte mit der Meßzeit befindet. In unserem Beispiel ist die Zeit in Spalte 1 angeordnet.

Ist zum Beispiel die Häufigkeit (=Sollzeit) 36000 Sekunden, die Meßzeit aber nur 600 Sekunden, so wird ein Multiplikator 36000/600 = 60 berechnet. Mit diesem Multiplikator werden dann die Zählungen der Beanspruchungsstufen in der Rainflow-Matrix und die Schädigung multipliziert.

Aus der Messdatei wird mit Hilfe des Zeitkanals die Meßdauer bestimmt und mit Hilfe der in der Tabelle angegebenen Häufigkeit wird ein Multiplikator berechnet, mit dem die Ergebnisse (Schadenssumme, Zählungen der Rainflow-Matrix, etc.) multipliziert werden.

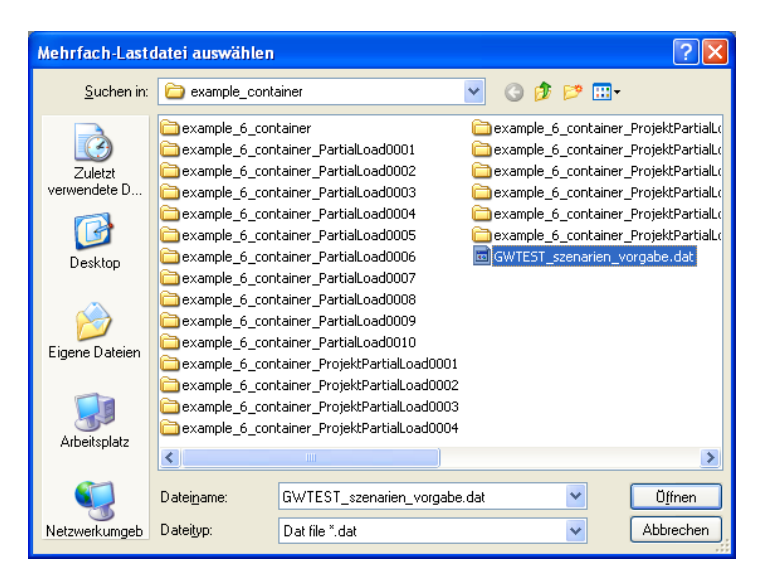


Liste der Dateinamen mit Sollzeit (Spalte Häufigkeit) und Zeitkanal

Wichtig: Jede Lastdatei muss alle Kanäle einschließlich des Zeitkanals enthalten. Die Datei wird mit einem vom Benutzer festzulegenden Namen in unserem Beispiel GWTEST_szenarien_vorgabe.dat benannt.

21.4. Umwandeln in ein Containerprojekt

Durch Wahl von *Datei / Umwandeln in Containerprojekt* öffnet sich eine Auswahlmaske zur Wahl der Mehrfach Lastdatei, deren Erzeugung im Kapitel zuvor beschrieben wurde.



Dialog zur Festlegung des Dateinamens (Namen merken, er muß später gewählt werden)

Nach Wahl der Mehrfach Lastdatei wird das Containerprojekt erzeugt, was in winLIFE 4.0 in der obersten Zeile des Fensters angezeigt wird (s. nächstes Bild). Dort erscheint "Containerprojekt".



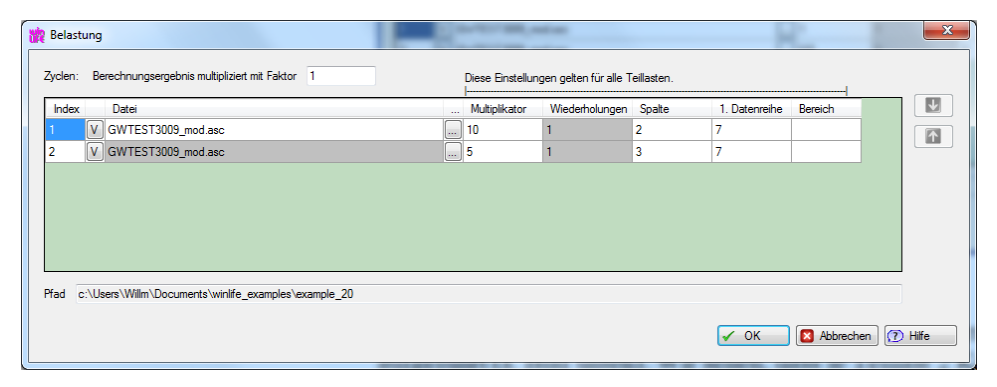
Menüansicht (s. Kopfzeile mit Test "Containerprojek")

Die gesamten Lastdateien sind bereits definiert, wovon man sich durch Wahl von *Belastung / Import aus Dateien* überzeugen kann. Dort sind (s. Bild unten) die Lasten Teil_Last1 bis Teil_Last10 zugeordnet.



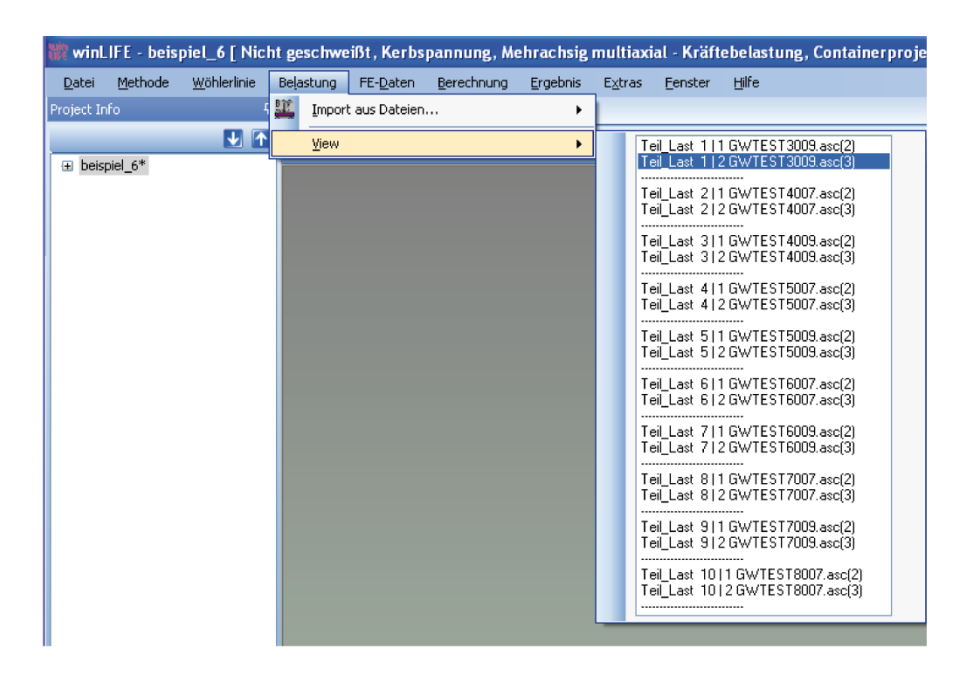
Ansicht der geladenen Lasten im Menü Belastung

Wähl man durch Doppelklick Teil_Last1, so erhält man folgende Maske. Der Name der Datei GWTEST3009.asc wurde in der Mehrfach Lastdatei festgelegt. Die Parameter *Multiplikator*, *Wiederholungen*, *Spalte*, *1. Datenreihe*, *Bereich* wurden aus dem zur Erzeugung des Containerprojektes verwendeten Standard Einzelprojektes übernommen. Der Faktor zur Umrechnung auf die Sollzeit beträgt hier 1. Das ist dann der Fall, wenn die Sollzeit kleiner als die Ist-Zeit ist.



Auswahl der Belastungsdateien und weitere Eingabe- und Auswahlmöglichkeiten

Wählt man *Belastung View*, so werden die einzelnen, grafisch darstellbaren Kanäle aufgeführt (s. Bild unten). Wir sehen, dass je Teillast 2 Kanäle definiert sind.



Auswahl zur grafischen Darstellung der Lasten als Funktion der Zeit

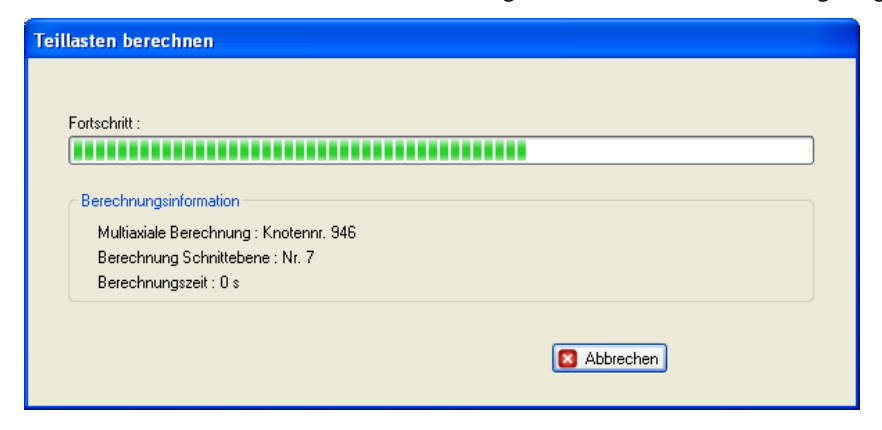
Die Zuordnung zu den FE-Daten wird übernommen aus dem Ausgangsprojekt. Sie ist für alle Teillasten identisch.

21.5. Berechnung / Lebensdauer für Teillasten

Der Start der Berechnung erfolgt indem

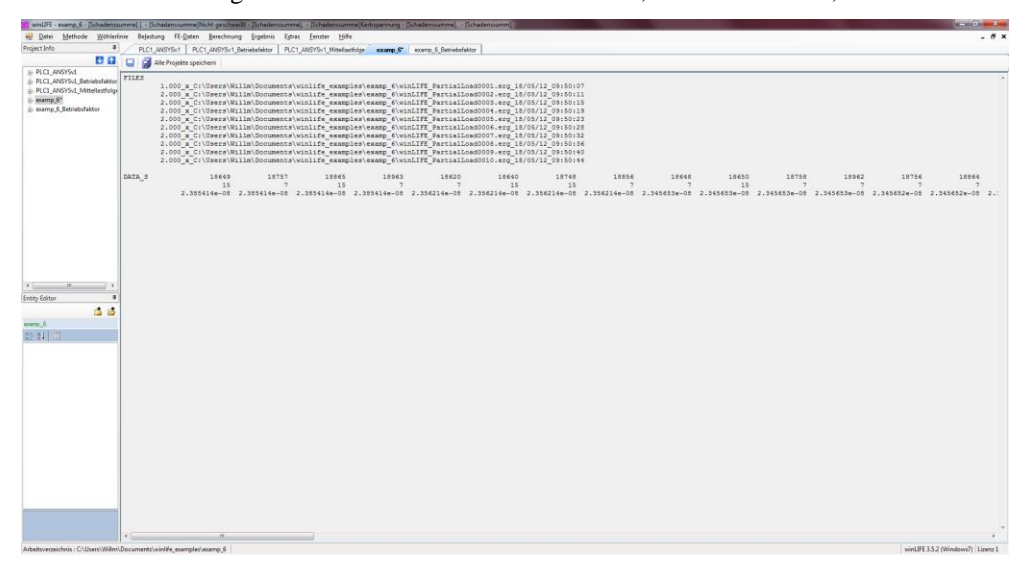
Berechnung / Lebensdauer berechnen für Teillasten

Gewählt wird. Der Fortschritt der Berechnung wird durch einen Balken angezeigt.



Fortschrittsbalken bei der Berechnung

Nach Abschluss der Berechnung öffnet sich ein Fenster, in dem im oberen Teil die verwendeten Dateien angegeben werden. Danach folgt die Knotennummer des FE-Modells, die Schnittebene, Schadenssumme.



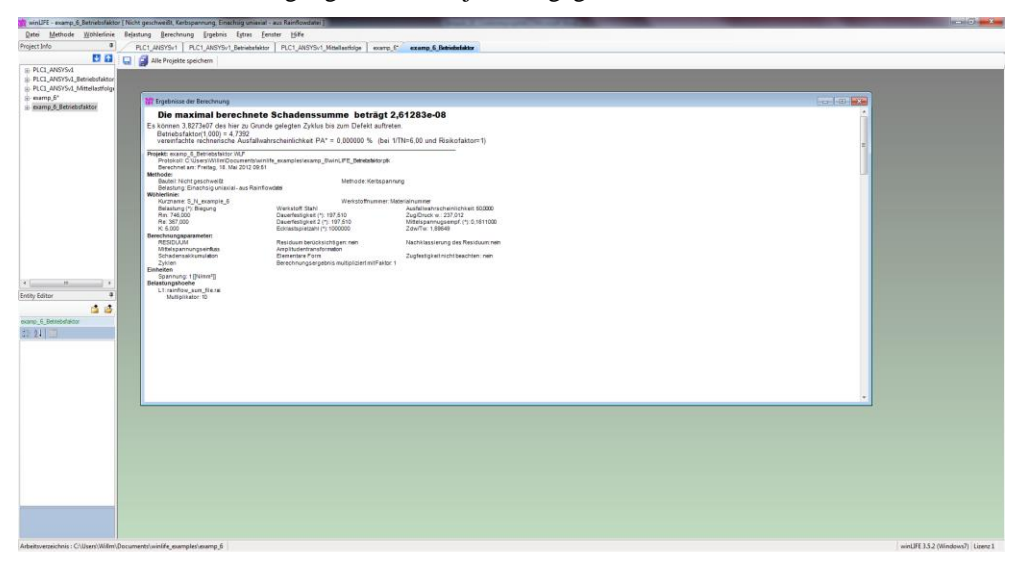
Ergebnisdarstellung der Teilprojekte nach Abarbeitung eines Containerprojektes

21.6. Berechnung / Betriebsfaktor erzeugen

Die Berechnung des Betriebsfaktors bewirkt die Erzeugung des Gesamtkollektivs und des Betriebsfaktors für das Gesamtkollektiv. Es erlaubt eine detaillierte Auswertung und Analyse des Ergebnisses der Addition und Extrapolation der Einzelkollektive.

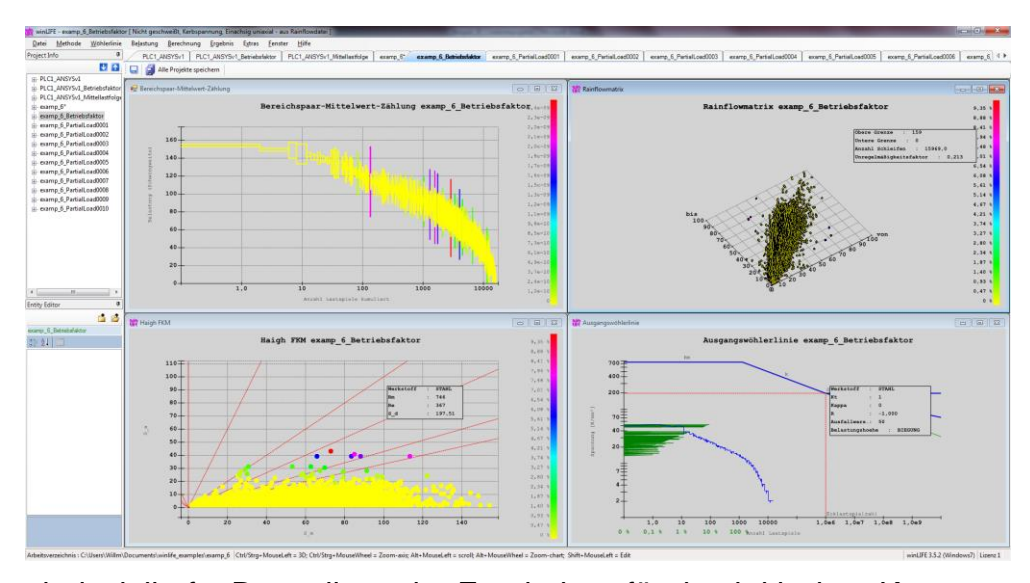
Für die Erzeugung des Betriebsfaktors wird ein zusätzliches Projekt erzeugt, das aus dem Namen des Ausgangsprojektes und daran angehängt *_Betriebsfaktor* besteht.

Es wird die Geamtschädigung für alle Projekte angegeben.



Darstellung des Gesamtergebnisses für alle Projekte

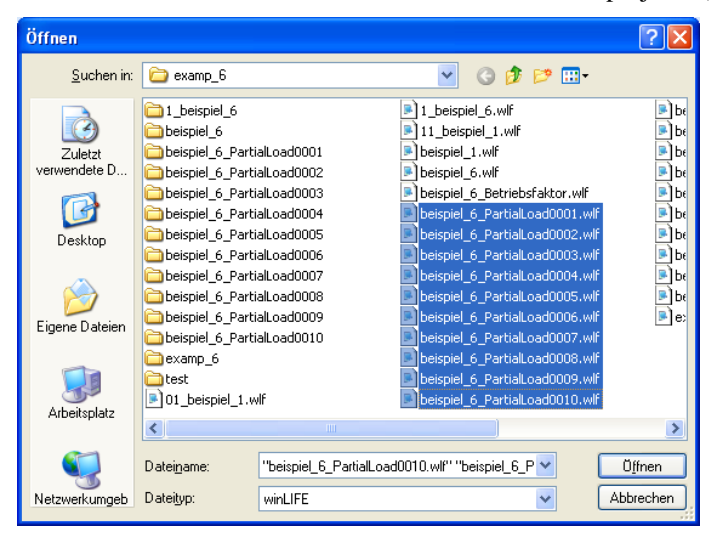
Auch die im folgenden Bild dargestellten Auswertungen beziehen sich auf einen (den kritischen) Knoten wie im folgenden Bild darstellt.



beispielhafte Darstellung der Ergebnisse für den kritischen Knoten

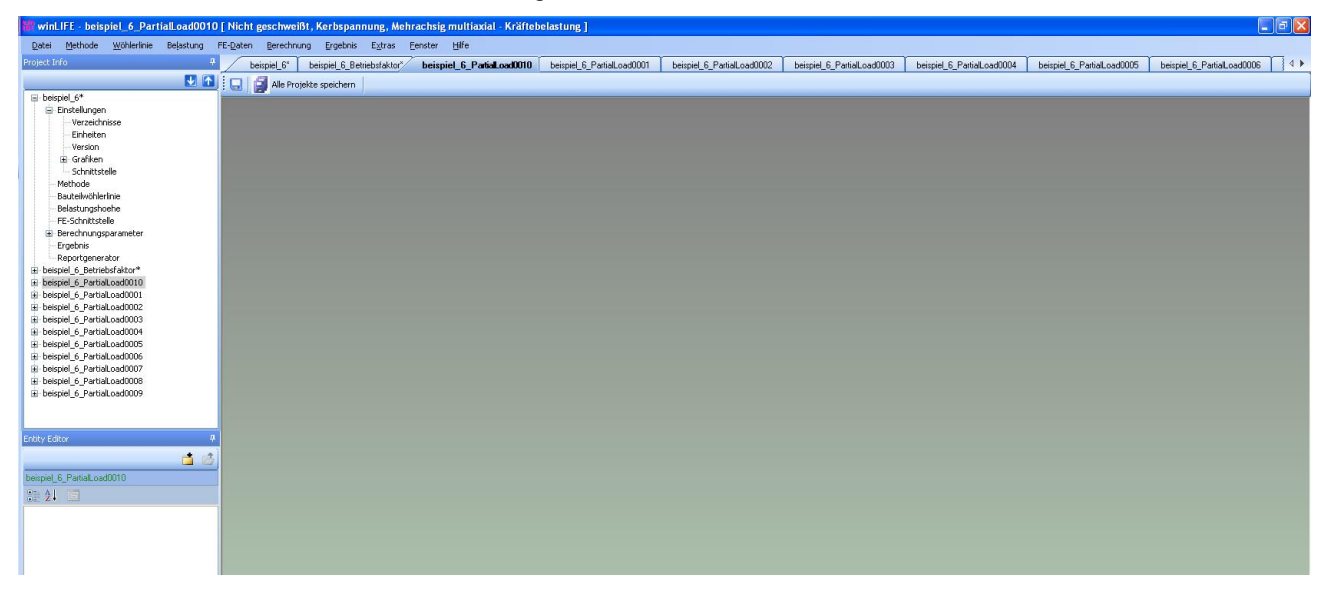
21.7. Einzelprojekte laden

Für jede Belastung wurde ein Standard-Einzelprojekt erzeugt, das der Benutzer nachträglich laden kann. Wir wählen aus dem Menü Datei / Öffnen und markieren alle 10 Einzelprojekte (s. Bild).



Nachträgliches Laden einzelner Projekte für die vertiefte Analyse

Diese Projekte stehen anschließend als Standard Einzelprojekte (s. nächste Bild) zur Verfügung und können auf diese Weise zur Kontrolle der einzelnen Teillasten eingesetzt werden.



Nach Laden der Einzelprojekte werden diese als "Reiter" im Menü angezeigt. Alle Ergebnisse stehen in dem zugehörigen Fenster zur Verfügung

21.8. Schadensanteil von Einzelprojekten

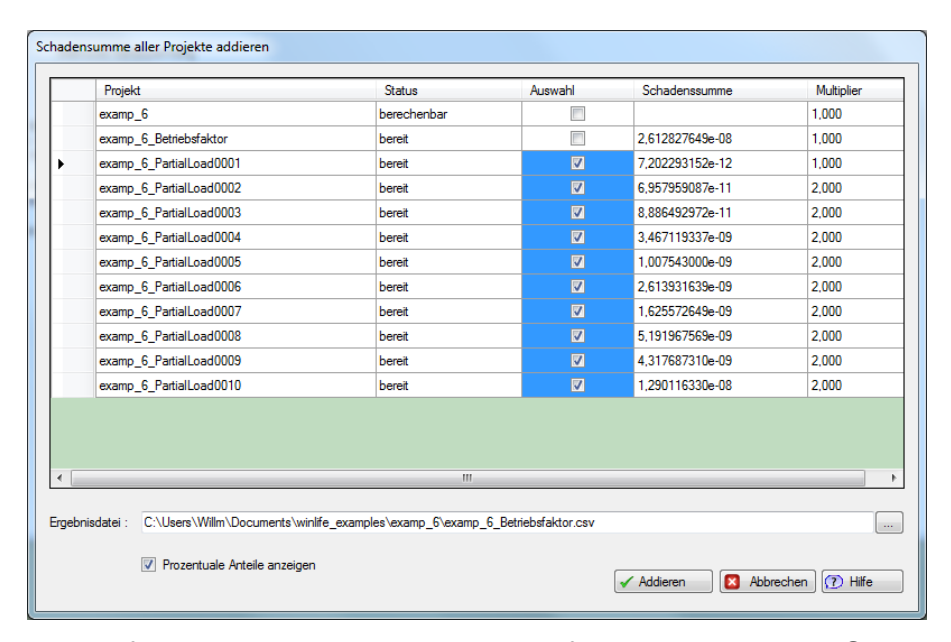
Will man nun den Schadensanateil der einzelnen Teilprojekte ermitteln, so wählt man im Menü:

Extras / Schadenssumme

und eine Auswahlmaske mit allen geöffneten Projekten erscheint (Bild unten). In dieser Maske kann man Projekte durch Markieren auswählen und die Schadenssumme addieren. Die einzelnen Schädigungsanteile der Teilprojekte können angezeigt werden, wenn das entsprechende Kästchen

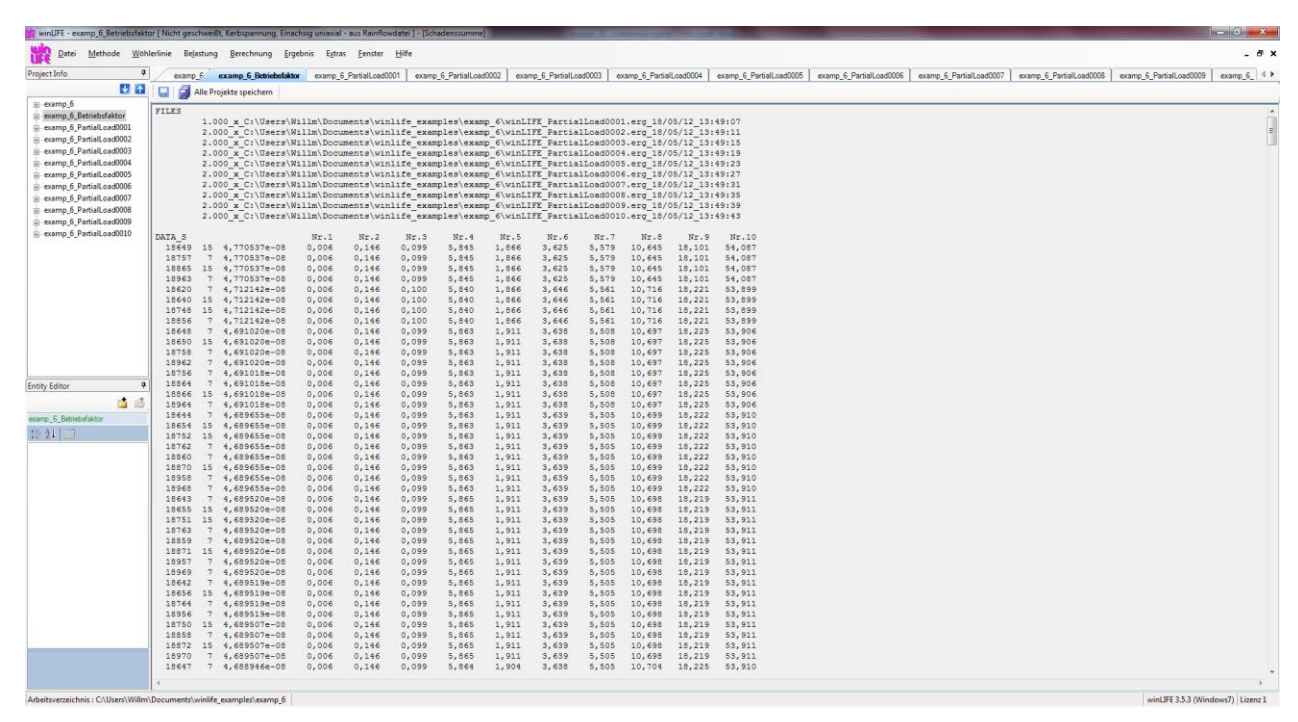
Prozentuale Anteile anzeigen

markiert ist.



Mehrfachauswahl von Teilprojekten für eine gewichtete Summation

Als Ergebnis werden dann alle Projekte und ihr prozentualer Schadensanteil dargestellt (nächstes Bild).



Ergebnisdarstellung der Einzel-Projekte mit zugehörigem Schadensanteil

Hinweis: Bei der Berechnung des Betriebsfaktors erfolgt die Schadensberechnung indem die extrapolierten Rainflow-Matrizen addiert und dann aus der Gesamt-Rainflow-Matrix die Schadenssumme berechnet wird.

Bei der Addition der Schadenssummen hingegen werden die extrapolierten Schadenssummen der Einzelprojekte addiert, was in der Summe zu geringfügig anderen Ergebnissen führt! Die Schadenssumme ist in diesem Fall kleiner!

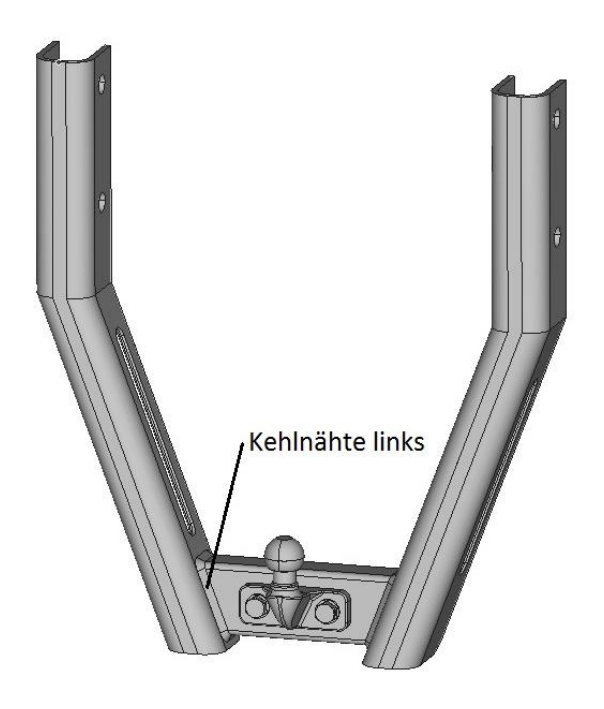
22. Beispiel 21 / Schweissnaht einer Anhängevorrichtung

Hinweis: Dieses Beispiel ist als Video Datei auf unserer Homepage und auf CD vorhanden. Alle Daten – auch die Daten des FEMAP/NASTRAN Modells – befinden sich auf der winLIFE 4.0 -CD.

22.1. Aufgabenstellung

22.1.1. Bauteilgeometrie

Für den dargestellten Kugelkopfanhängebock sollen Schweißnähte nach dem Strukturspannungskonzept berechnet werden. Es werden in diesem Beispiel nur die Kehlnähte auf der linken Seite zwischen dem U-Profil und dem Rechteckprofil betrachtet, siehe Abbildung 1-1.



Geometrie des Kugelkopfanhängebocks

22.1.2. Werkstoffdaten

Die verwendeten Rechteck- und U-Profile bestehen aus dem Feinkornbaustahl S700MC:

Werkstoffname: S700MC

E-Modul: ca. 210.000 MPa

 $\begin{array}{ll} \text{Re} & \qquad \geq 700 \text{ MPa} \\ \\ \text{Rm} & \qquad \qquad 750\text{-}950 \text{ MPa} \end{array}$

Querkontraktionszahl: 0,3

Die Flanschkugel besteht aus dem Material 42CrMo4:

Werkstoffname: 42CrMo4

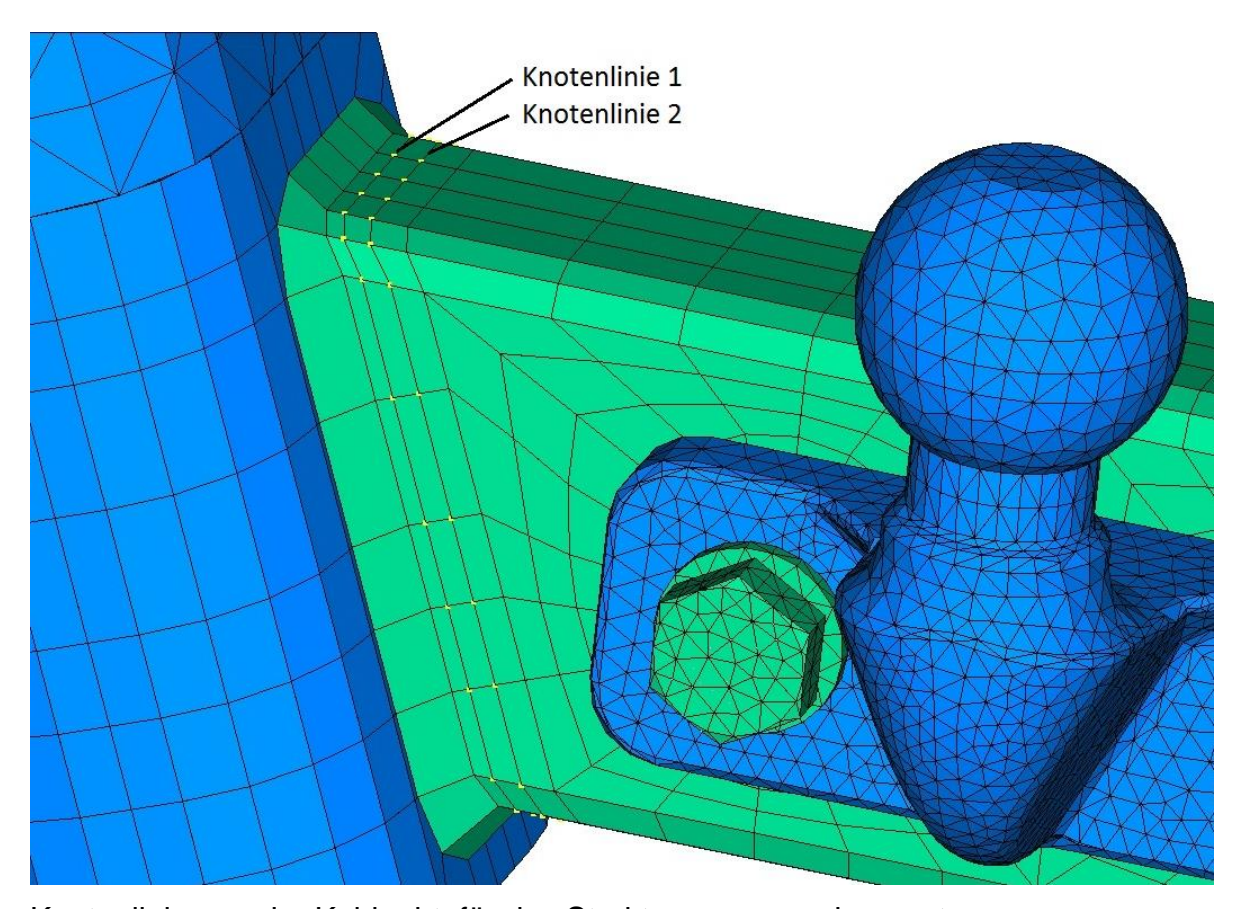
E-Modul: ca. 210.000 MPa

Querkontraktionszahl: 0,3

22.1.3. Modellbildung

Das Modell ist überwiegend aus Tetraeder-Elementen aufgebaut. Die Bereiche der zu untersuchenden Schweißnähte sind mit Hexaeder-Elementen vernetzt. Für das Strukturspannungskonzept mit linearer Extrapolation werden dabei definierte Abstände der Knotenreihen von der Kehlnaht eingehalten wie die gelb markierten Knoten in der Abbildung zeigen.

Der Abstand der Knotenlinie 1 beträgt 0,4 x Blechdicke von der Schweißnaht und der Abstand der Knotenlinie 2 beträgt 1 x Blechdicke von der Schweißnaht. Mit der Blechdicke des Rechteckprofils von 7,1mm ist die Knotenlinie 1 somit 2,84mm und die Knotenlinie 2 folglich 7,1mm von der Kehlnaht entfernt.



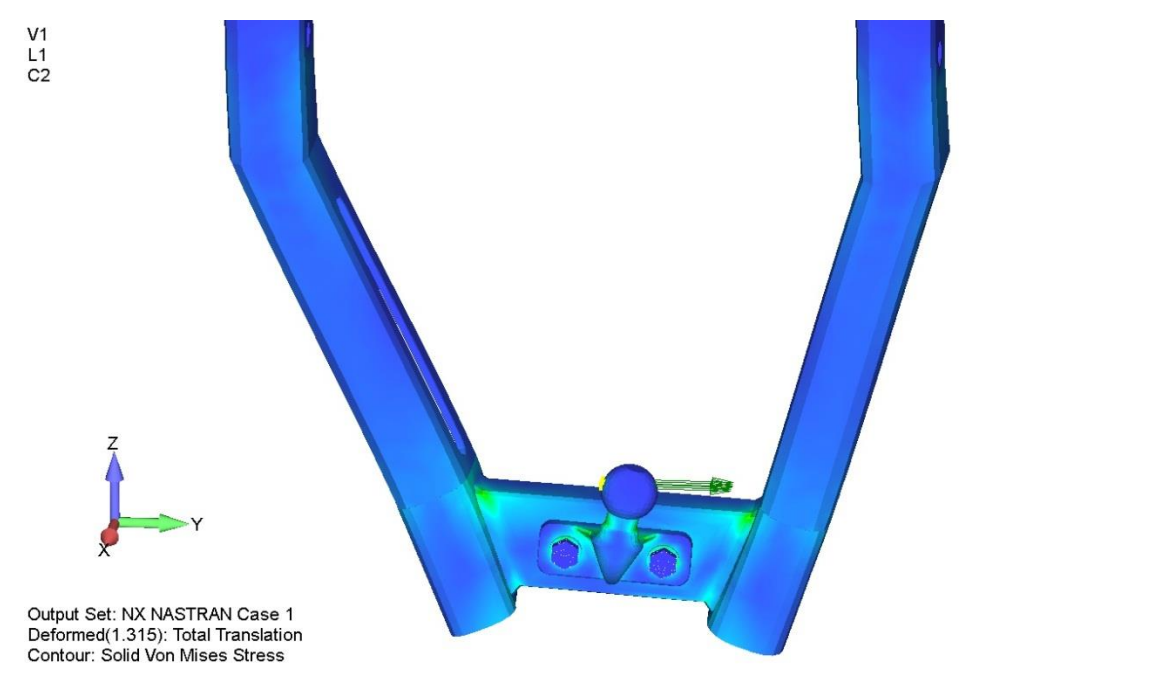
Knotenlinien an der Kehlnaht für das Strukturspannungskonzept

22.1.4. Bauteilbelastung

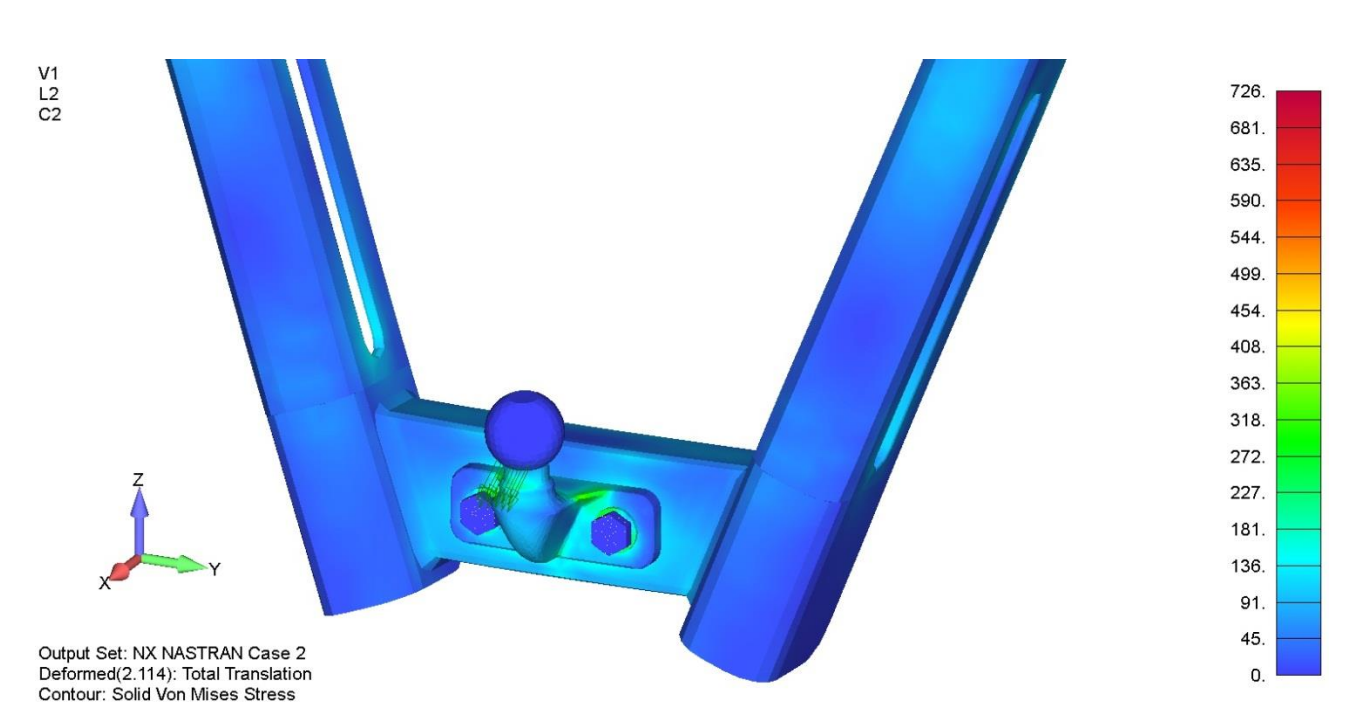
An dem Kugelkopf wirken 2 Lastfälle, die zunächst getrennt dargestellt werden. In der folgenden Lebensdauerberechnung in winLIFE 4.0 werden diese zwei Lastfälle gleichzeitig wirken.

Die Enden der U-Profile werden im Bereich der Bohrungen fixiert.

Lastfall Nr.	Belastungsart	Last
1	Seitenlast	Zugkraft in y-Richtung Fy = 20000 N
2	Vertikal- und Horizontallast	Zugkraft in x-Richtung $Fx = 21700 \text{ N}$ und Druckkraft in z-Richtung von $Fz = -12000 \text{ N}$



Anhängebock unter Seitenlast (Lastfall Nr. 1)



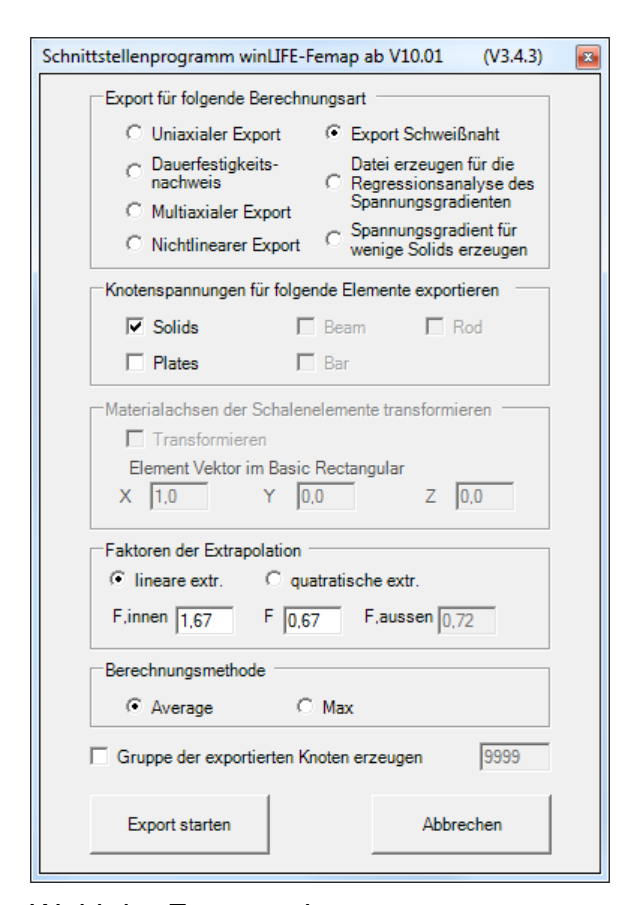
Anhängebock unter Vertikal- und Horizontallast (Lastfall Nr. 2)

631. 591. 552. 513. 473. 434. 394. 355. 315. 276. 237. 197. 158. 118. 79. 39.

0.

22.2. Durchführung einer Lebensdauerberechnung nach dem Strukturspannungskonzept

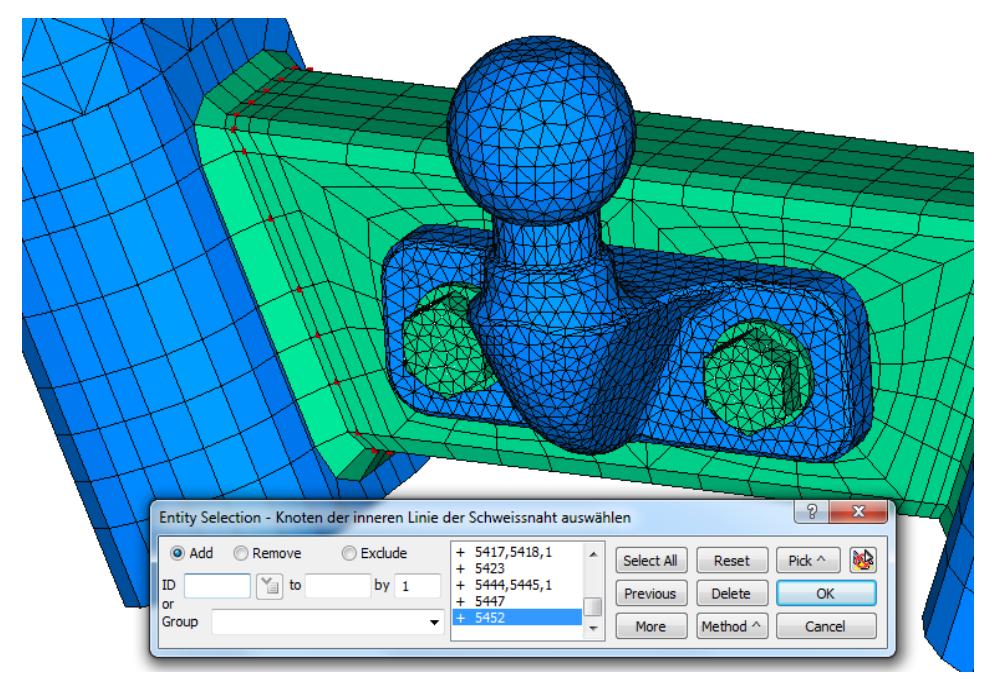
Die Knotenspannungen werden aus Femap exportiert. Hierzu wird das Schnittstellenprogramm winLIFE – Femap aufgerufen. In dem Dialogfenster wird eine lineare Extrapolation der Spannungen gewählt. Die Werte für die Extrapolation sind standardmäßig auf 1,67 und 0,67 gesetzt.



Wahl der Exportoptionen

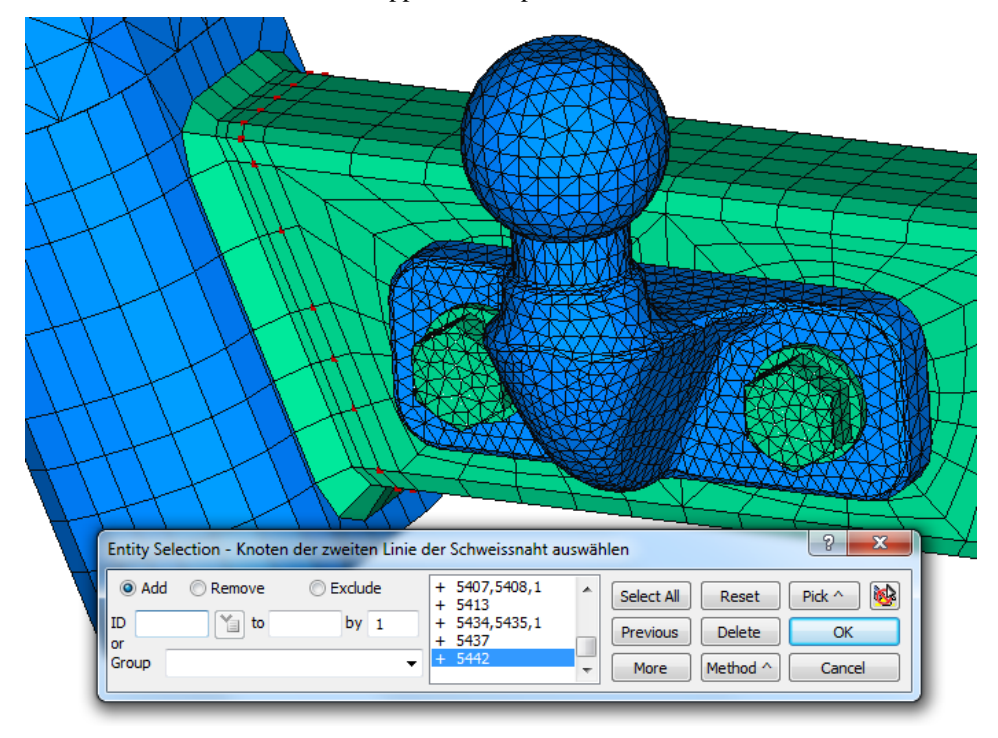
Der Export der Spannungen wird nacheinander für die beiden Lastfälle durchgeführt. In dieser Dokumentation wird der Export für den Lastfall 1 beschrieben.

Im folgenden Dialogfenster wird dann die Knotenlinie 1 als innere Linie der Schweißnaht gewählt. Die Knotenlinie 1 ist bereits als Gruppe in Femap definiert und kann zur Selektion verwendet werden.



Knotenauswahl am FE-Modell

Die Knotenlinie 2 wird in dem nächsten Dialogfenster gewählt als Knoten der zweiten Linie der Schweißnaht. Die Knotenlinie 2 ist ebenfalls als Gruppe in Femap vorhanden.



Knotenauswahl am FE-Modell

In winLIFE 4.0 erfolgt nun die Projektdefinition. Es wird die Einstellung "Geschweißt" gewählt und als Methode "Kerbspannung". Als Belastung wird "Mehrachsig uniaxial – Kräftebelastung" eingestellt. Die FE-Schnittstelle wird mit 2 Lastfällen verwendet.

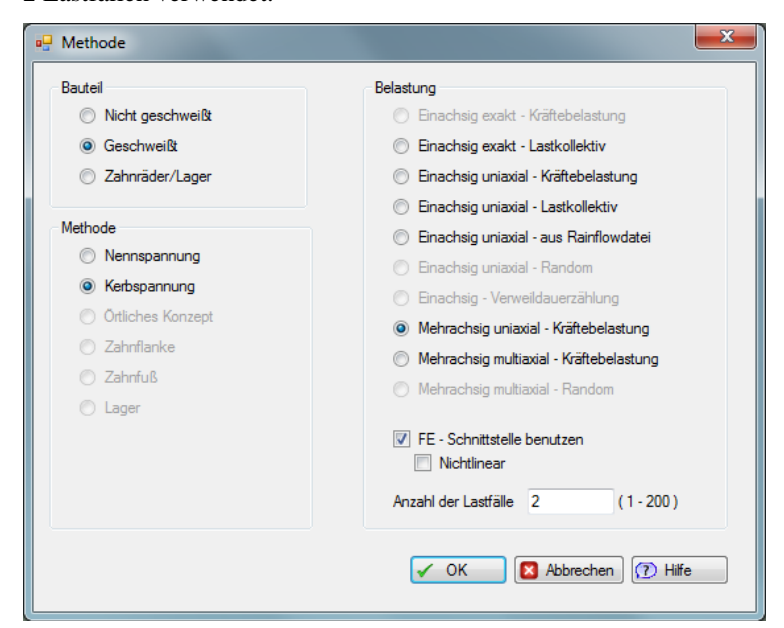


Bild 22-8:Einstellungen zu der Projektmethode

Für den Stahl S700MC wird eine Wöhlerlinie nach FKM generiert. Die Wöhlerlinie gilt für die Verwendung des Strukturspannungskonzepts. Die Materialkennwerte für den Stahl S700MC sind für die Zugfestigkeit Rm 750 N/mm² und für die Streckgrenze Re 700 N/mm².

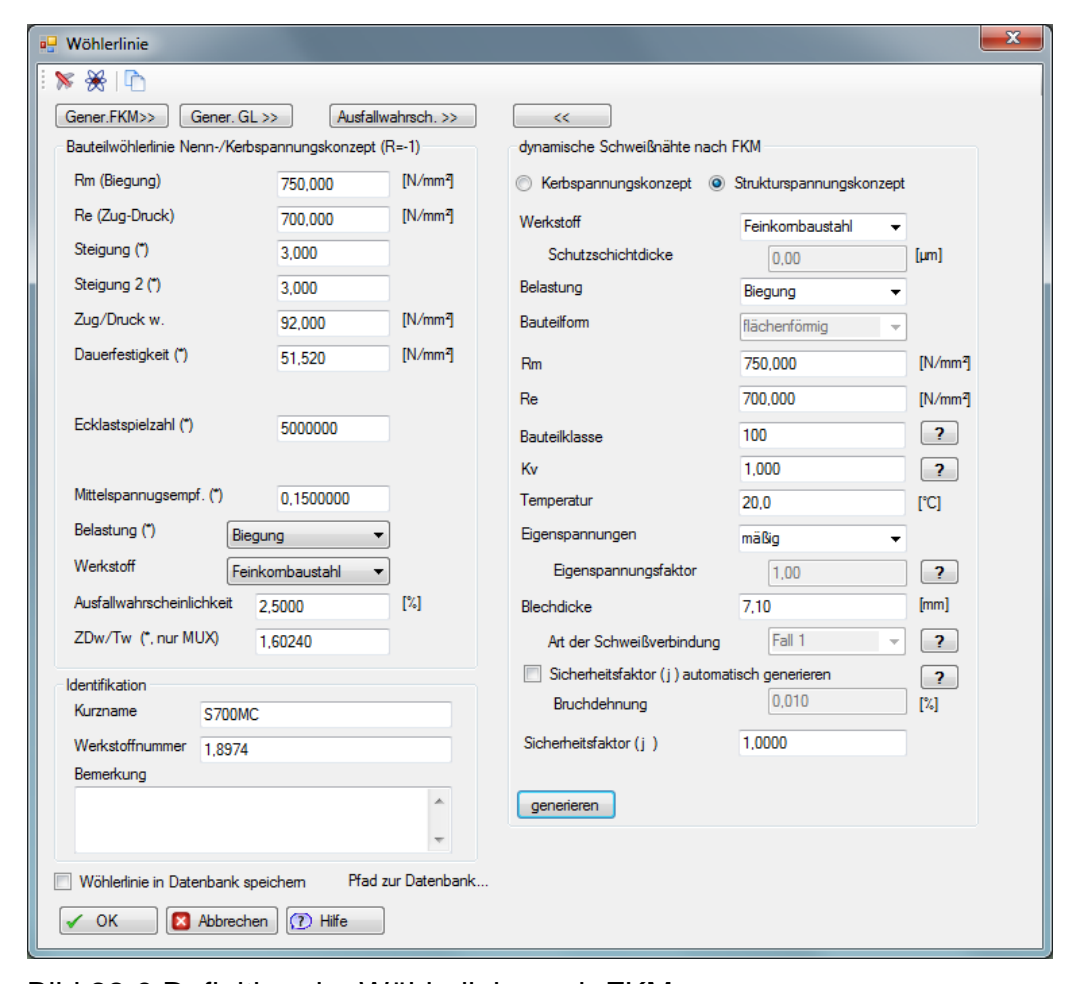


Bild 22-9: Definition der Wöhlerlinie nach FKM

Änderungen in der FKM-Richtlinie führen in der neuen Version zu Zdw/Tw= 1,61119. Um zu denselben Ergebnissen wie in dem Video zu kommen, muß Zdw/Tw= 1,60240 eingegeben werden, falls die Generierung nachvollzogen werden soll.

Der Belastungsverlauf wird anschließend für die beiden Lastfälle mit einem Multiplikator eingetragen. In diesem Beispiel wird der Wert von 2000 als Multiplikator gewählt.

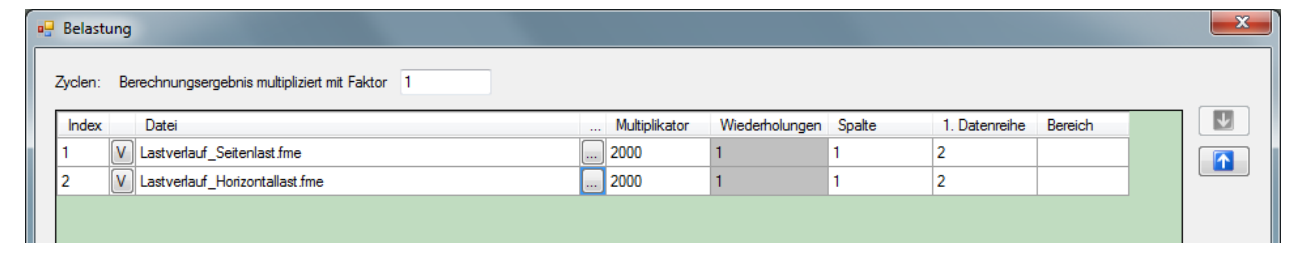


Bild 22-10:Angabe der Belastungsverläufe

In dem Menü FE-Schnittstelle sind die Ergebnisse aus der FE-Simulation anzugeben. Es werden die vorher erzeugten LST Dateien für die beiden Lastfälle eingetragen.

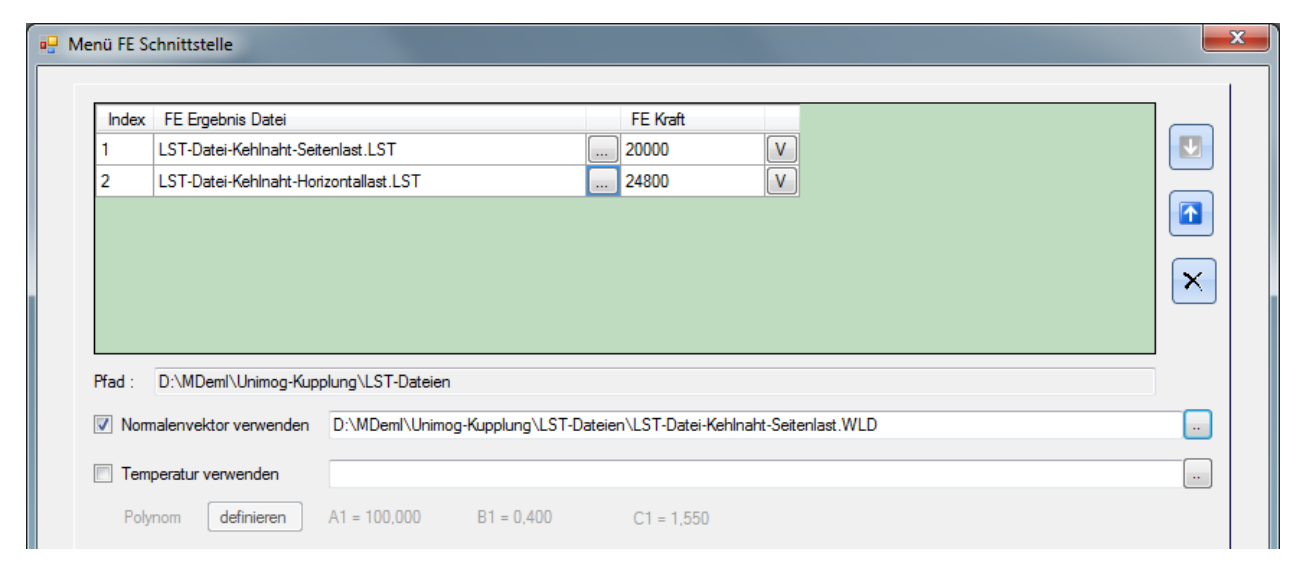


Bild 22-11: Angabe der FE-Ergebnisse

Die folgenden Abbildungen zeigen die gewählten Angaben und Optionen als Berechnungsparameter.

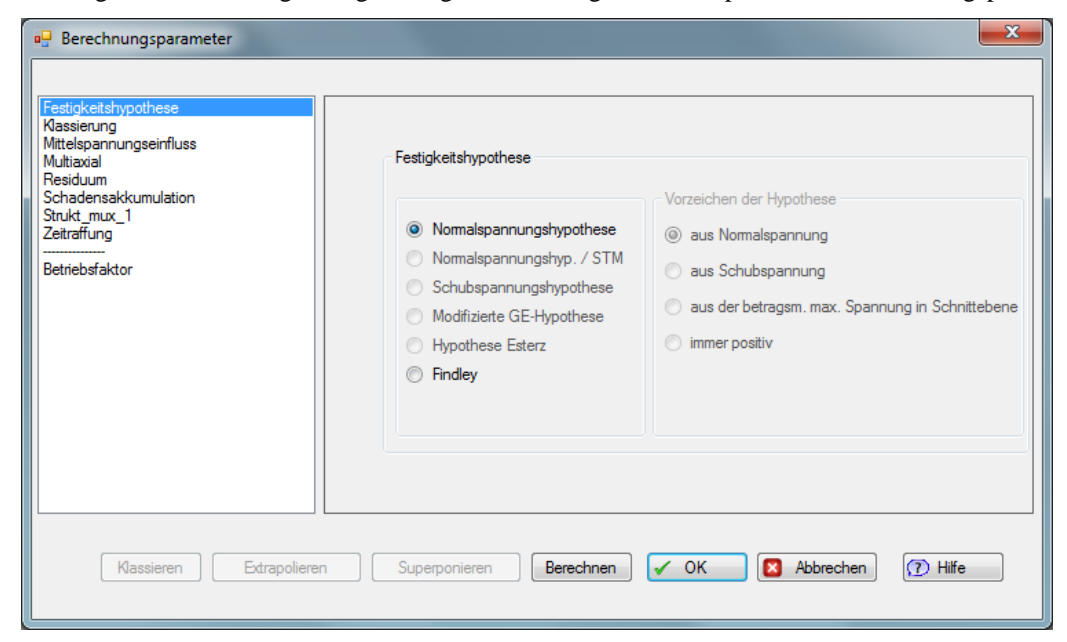


Bild 22-12: Wahl der Festigkeitshypothese

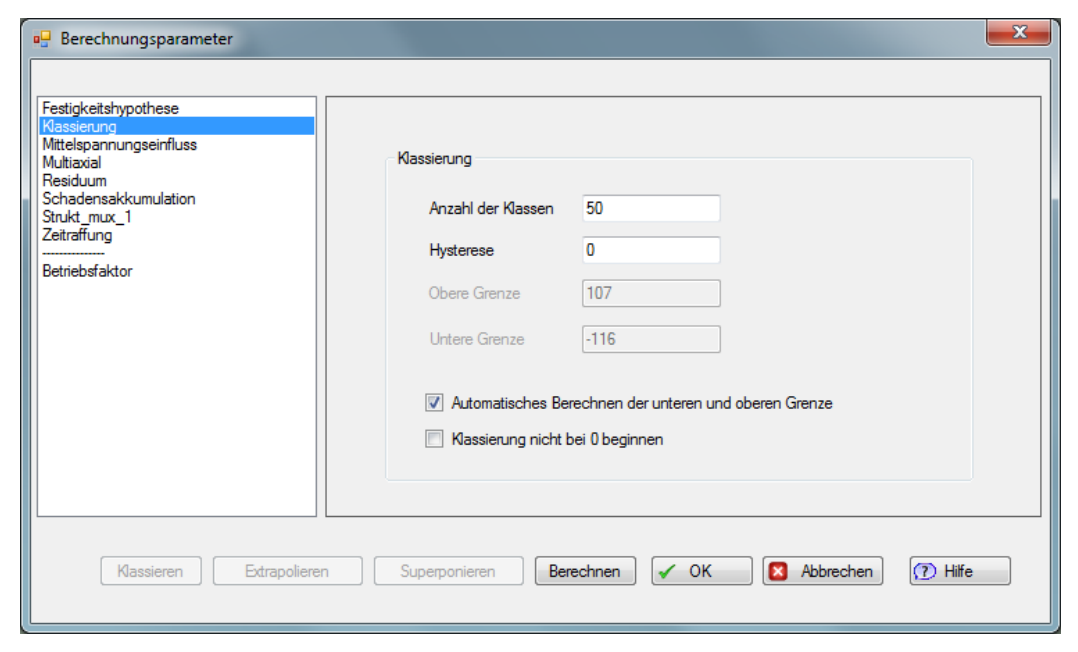


Bild 22-13: Angaben zur Klassierung

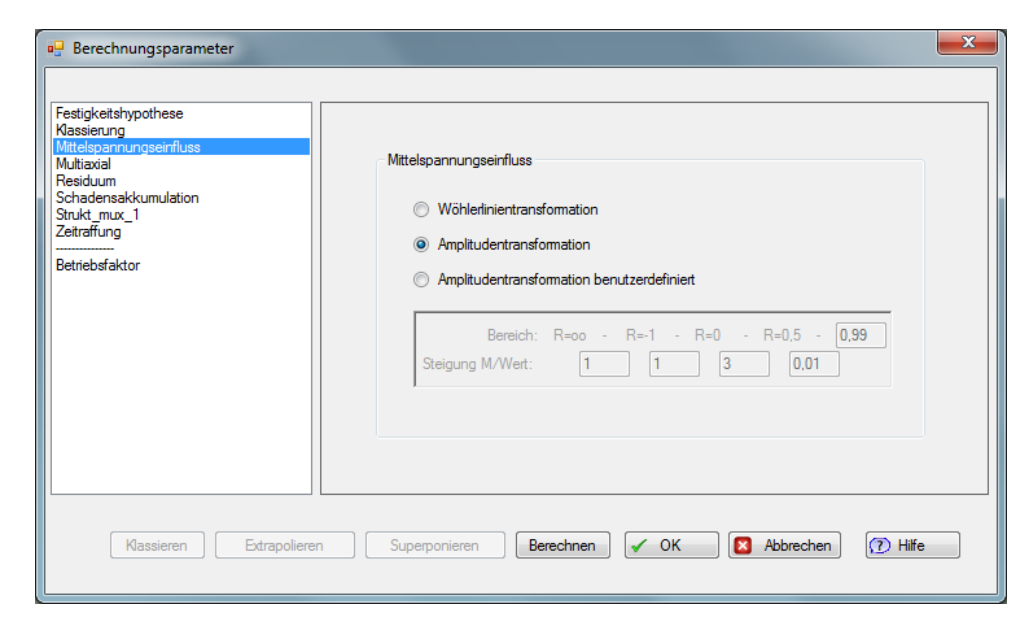


Bild 22-14: Angabe zur Berücksichtigung des Mittelspannungseinflusses

Bei den Angaben zur Schadensakkumulation sollte die Option "Zugfestigkeit nicht beachten" gesetzt werden.

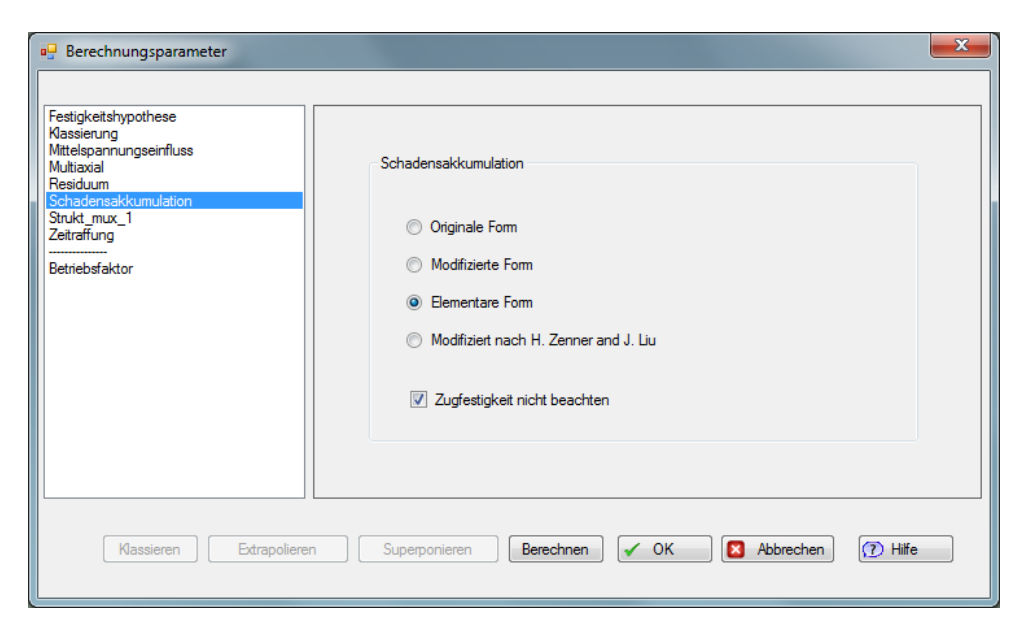


Bild 22-15: Einstellungen zur Schadensakkumulation

22.3. Ergebnis

Schadenssumme

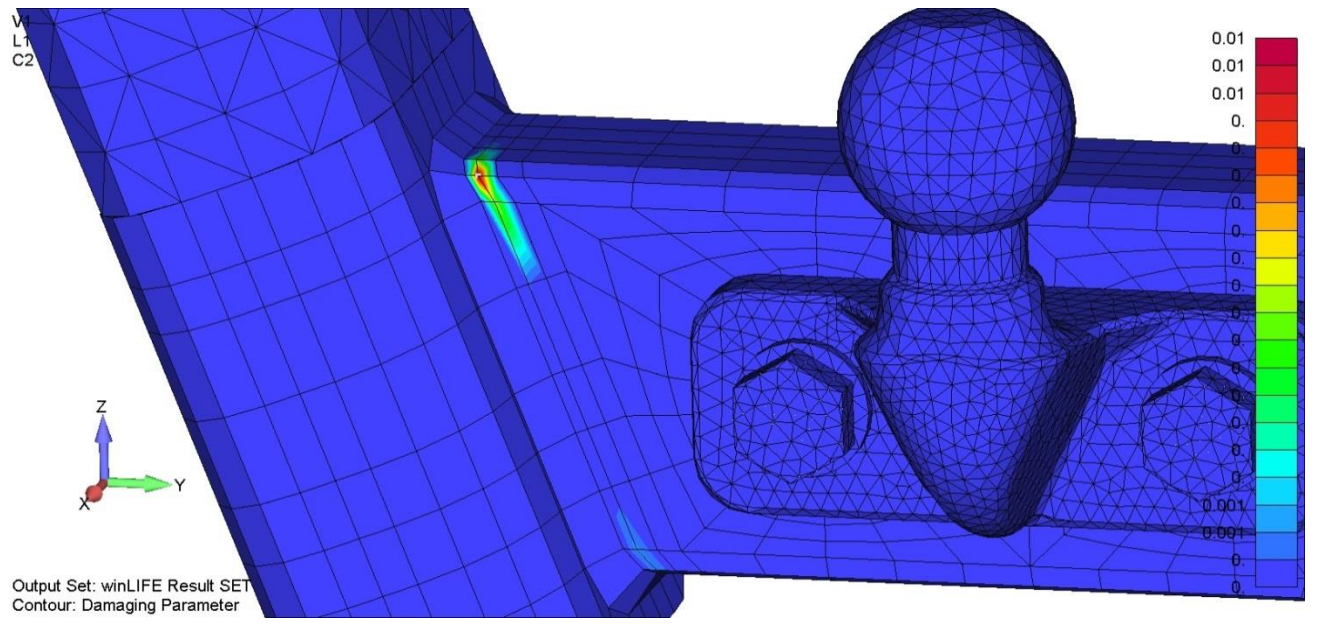
Mit den gewählten Angaben erfolgt in winLIFE 4.0 nun die Berechnung der Lebensdauer der Kehlnaht. Es ergibt sich eine maximale Schadenssumme im Knoten Nr. 5445 in Höhe von 0,00567. Damit tritt nach 1/0,00567 = 176,4 Belastungszyklen das Versagen auf.

Die maximal berechnete Schadenssumme im Knoten: 5445(VOLUMEN) beträgt 0,00567

Es können 176,4 des hier zu Grunde gelegten Zyklus bis zum Defekt auftreten. Betriebsfaktor(1,000) = 5,6083 vereinfachte rechnensche Ausfallwahrscheinlichkeit PA* = 0,000000 % (bei 1/TN=6,00 und Risikofaktor=1) Projekt: Anhaengekupplung_Struktursp.WLF Protokoll: D:IMDeml\Unimog-Kupplung\Anhaengekupplung_Struktursp\ptk Berechnet am: Keine Protokoldatei gefunden. Methode: Methode: Kerbspannung Bauteil: Geschweißt Belastung: Mehrachsig uniaxial- Kräftebelastung Wöhlerlinie: Kurzname: S700MC Werkstoffnummer: 1.8974 Belastung (*): Biegung Rm: 750,000 Werkstoff: Ausfallwahrscheinlichkeit: 2,5000 Dauerfestigkeit (*): 51,520 Zug/Druck w.: 92.000 Re: 700,000 Mittelspannugsempf. (*): 0,1500000 Zdw/Tw: 1,60240 Ecklastspielzahl (*):5000000 K: 3.000 Berechnungsparameter: Klassierung Anzahl der Klassen: 50 Hysterese: 0 Obere Grenze: 113 Untere Grenze: -121 RESIDUUM Nachklassierung des Residuum: nein Residuum berücksichtigen; nein Mittelspannungseinfluss Amplitudentransformation Zugfestigkeit nicht beachten: ja Schadensakkumulation Elementare Form Festigkeitshypothese Struct_Mux_1 Normalspannungshypothese algebr. größter Wert Normalspannung Zyklen Berechnungsergebnis multipliziert mit Faktor. 1 Einheiten Spannung: 1 [[N/mm²]] Belastungshoehe Normalenvektor Datei : L1: Lastverlauf_Seitenlast.fme $\hbox{D:$MDeml$\Unimog-Kupplung$LST-Date} ien\LST-Datei-Kehlnaht-Seitenlast\WLD$ Multiplikator: 2000 1. Datenreihe: 2 Spalte: 1 Zeitraffung: nein FE: LST-Datei-Kehlnaht-Seitenlast.LST FE - Kraft: 20000 L2: Lastverlauf_Horizontallast.fme Multiplikator: 2000 Spalte: 1 Zeitraffung: nein FE: LST-Datei-Kehlnaht-HorizontallastLST

größte Schadenssumme

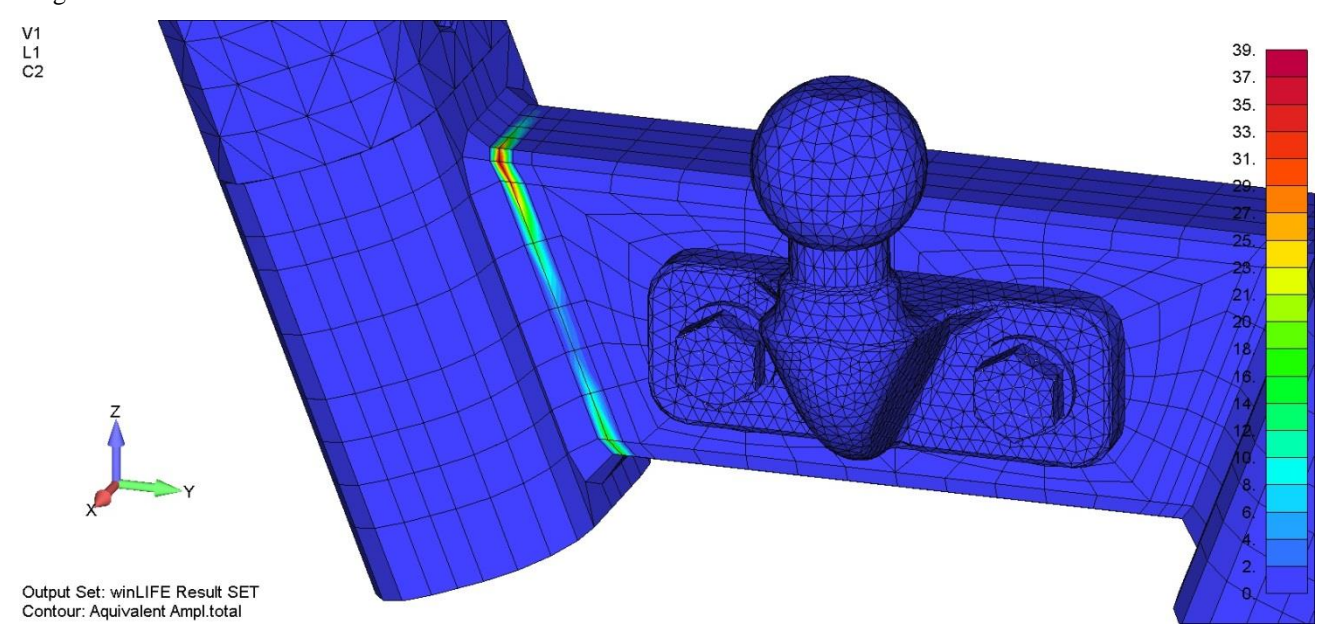
Die bei der Berechnung in winLIFE 4.0 entstehende Ergebnisdatei *.NEU wird in Femap zur Visualisierung der Schadenssumme und des Auslastungsgrads eingelesen. Es ergibt sich das folgende Bild für die Verteilung der Schadenssumme an der Kehlnaht mit dem Maximum für den Knoten Nr. 5445 in Höhe von 0,00567 im Eckbereich des Rechteckprofils.



Schadenssumme

22.3.2. Äquivalente Amplitude

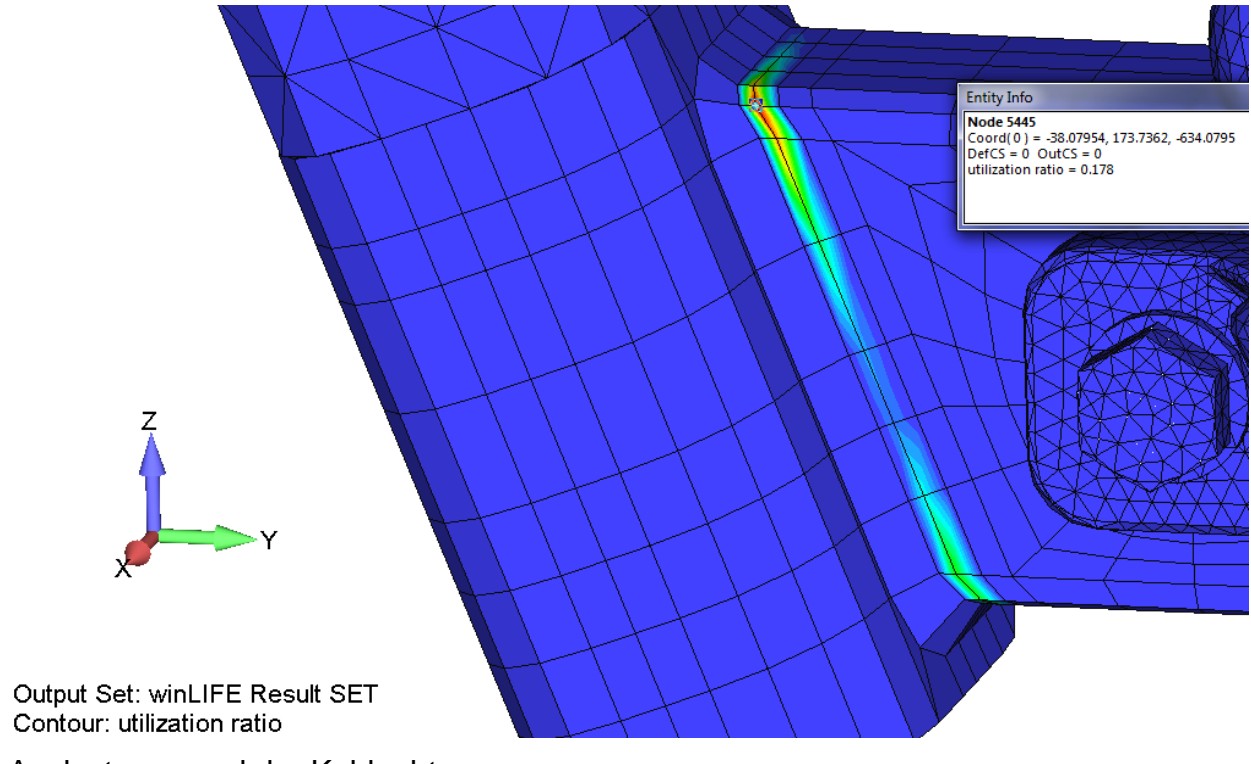
Die Beanspruchung lässt sich auf eine schädigungsgleiche Lastamplitude umrechnen wie in folgender Abbildung dargestellt.



äquivalente Amplitude

22.3.3. Auslastungsgrad

Der Auslastungsgrad ist in folgender Abbildung dargestellt. Ein Auslastungsgrad von 0,178 bedeutet eine 17,8%-Ausnutzung der Dauerfestigkeit.

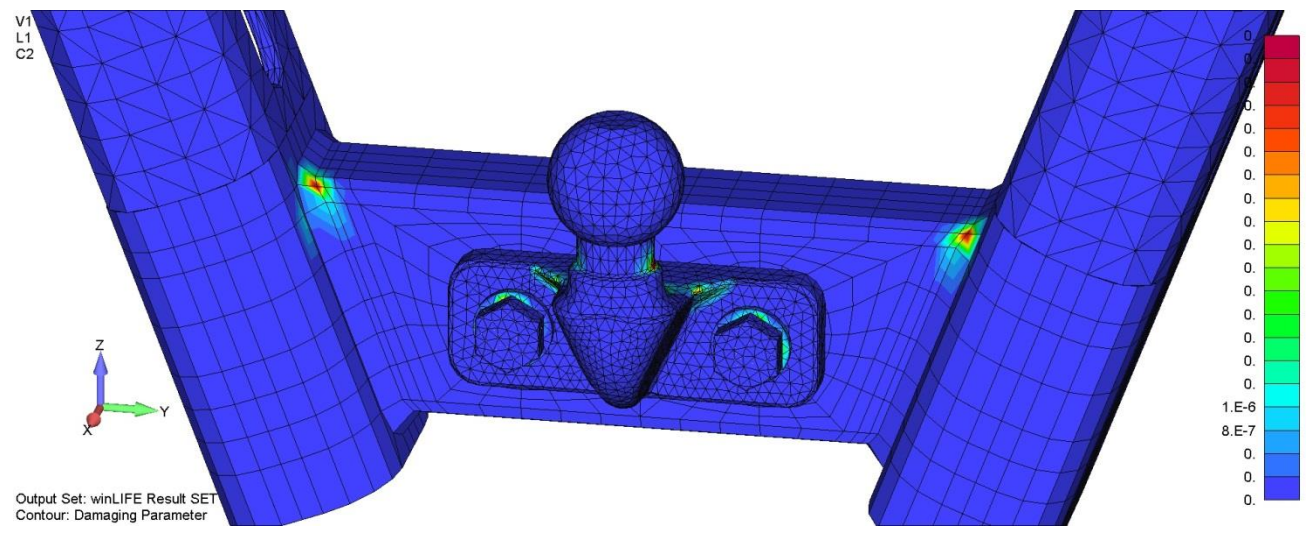


Auslastungsgrad der Kehlnaht

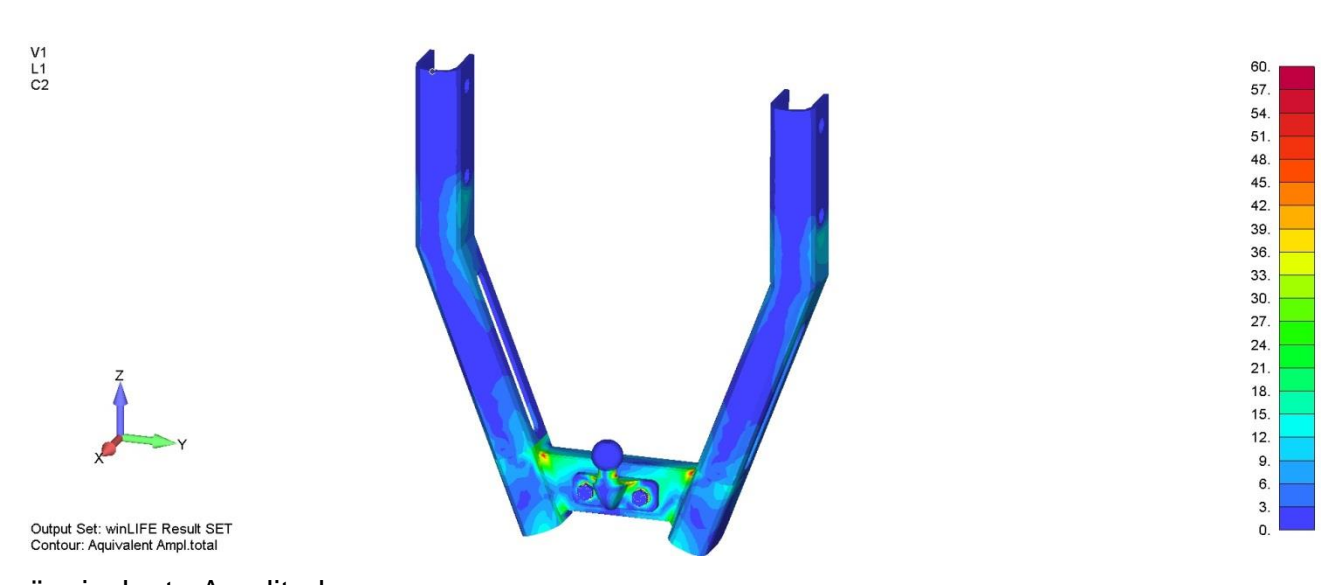
22.3.4. Gesamtstruktur

Der komplette Kugelkopfanhängebock soll nun vereinfacht hinsichtlich Lebensdauer untersucht werden. Dabei wird für das komplette Modell, also auch für die Schweißungen, Stahl im Grundzustand verwendet.

Es ergibt sich die Schädigungssumme und die äquivalente Amplitude wie in den folgenden Abbildungen dargestellt. Wie man erkennt, bewirkt bereits die Geometrie der Schweißnähte eine Schädigungszunahme im Eckbereich zwischen U-Profil und Rechteckprofil. Bei diesen Ergebnissen für die Gesamtstruktur ist die Festigkeitsabnahme des Werkstoffs in den Schweißungen wie bereits erwähnt nicht berücksichtigt.



Schädigungssumme Gesamtmodell



äquivalente Amplitude

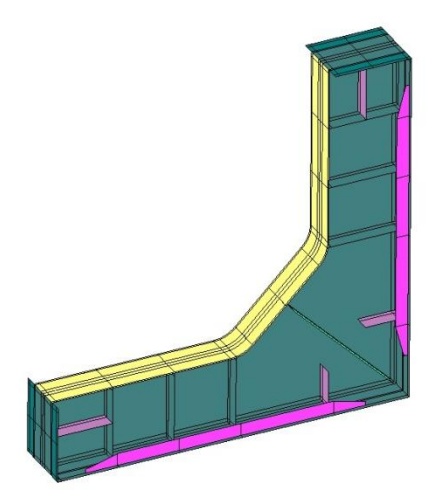
23. Beispiel 22 / Hot Spot Suche an einer geschweißten Rahmenecke

Hinweis: Dieses Beispiel ist als Video Datei auf unserer Homepage und auf CD vorhanden. Alle Daten – auch die Daten des FEMAP/NASTRAN Modells – befinden sich auf der winLIFE 4.0 -CD.

23.1. Aufgabenstellung

23.1.1. Bauteilgeometrie

Eine Rahmenecke aus dem Schiffbau soll hinsichtlich der Festigkeit ihrer Schweißverbindungen untersucht werden. Hierbei wird zunächst eine Suche nach den kritischen Stellen der Schweißnähte durchgeführt. Diese Suche erfolgt nach dem Hot-Spot Suchverfahren. Diese Lebensdauerergebnisse werden anschließend verglichen mit den Berechnungsergebnissen nach dem Strukturspannungskonzept. Die Geometrie des Rahmenelements ist dem Buch "Fatigue assessment of welded joints by local approaches" [47] von D. Radaj und C.M. Sonsino entnommen.



Geometrie des geschweißten Rahmenelements

23.1.2. Werkstoffdaten

Als Werkstoffe werden niedrigfeste Stähle der Gruppe S235JR verwendet.

Werkstoffname: S235JR

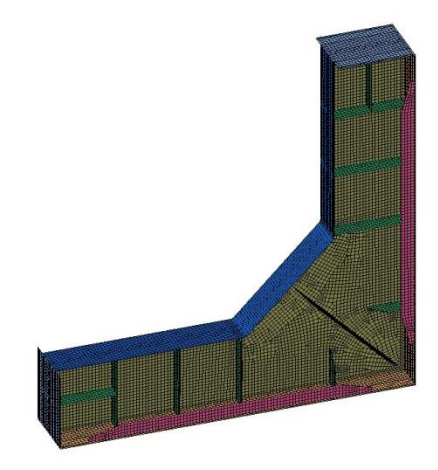
E-Modul: ca. 210.000 MPa

Re \geq 235 MPa Rm \geq 360 MPa

Querkontraktionszahl: 0,3

23.1.3. Modellbildung

Das Modell ist aus ebenen plate-Elementen aufgebaut. Für die Anwendbarkeit der "Hot-Spot Suche" ist bei der Vernetzung darauf zu achten, dass Bleche, die durch Schweißnähte verbunden sind, unterschiedlichen Properties zugewiesen werden. Hinsichtlich der zu erzielenden Aussagekraft dieses Verfahrens orientiert sich die Elementkantenlänge an den Blechdicken. Wie bei Betrachtung des Modells ersichtlich ist, werden in den Bereichen der Schweißnähte bevorzugt Viereckselemente verwendet.



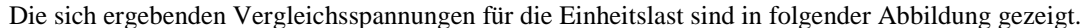
Finite-Elemente Modell mit unterschiedlichen Blech-Properties

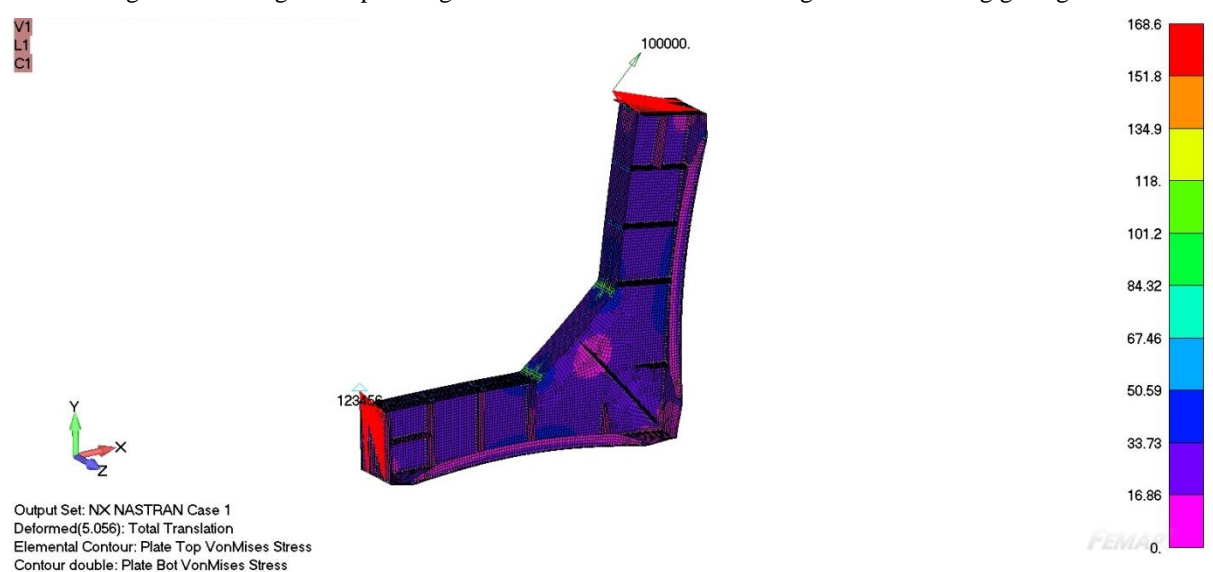
23.1.4. Bauteilbelastung

An den Enden der Struktur wirkt eine zeitlich veränderliche Last. Wir werden eine schwellende Belastung untersuchen und einen Belastungsverlauf der in der Praxis realistischer ist.

In Femap wird dazu ein Einheits-Lastfall definiert, der später in winLIFE 4.0 skaliert wird.

| Lastfall | Belastungsart | Last |
|----------|---------------|---------------------|
| 1 | Zugkraft | Kraft F = 100.000 N |

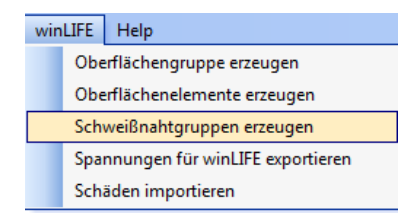




Vergleichsspannungen unter Zugbelastung

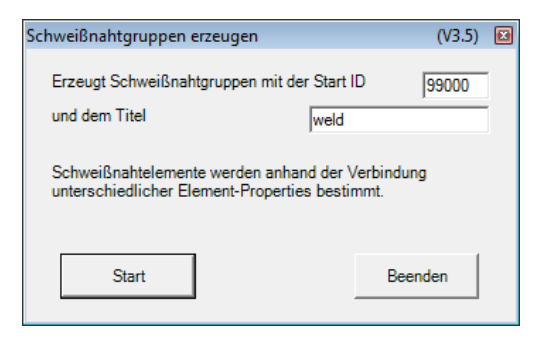
23.1.5. Schweißnahtidentifikation

Die unterschiedlichen Properties der Bleche ermöglichen nun die Identifikation von Schweißnähten. Dabei werden Bleche gesucht, die miteinander durch Knoten verbunden sind. Die gefundenen Knoten sind Stöße der Bleche und kennzeichnen die Schweißnähte. Es werden alle Elemente, die an diesen Knoten der Stöße liegen zu Schweißnahtgruppen zusammengefaßt. Die Erzeugung der Gruppen erfolgt mit dem Befehl "Schweißnahtgruppen erzeugen" aus dem winLIFE 4.0 Menü.



Befehl Schweißnahtgruppen erzeugen

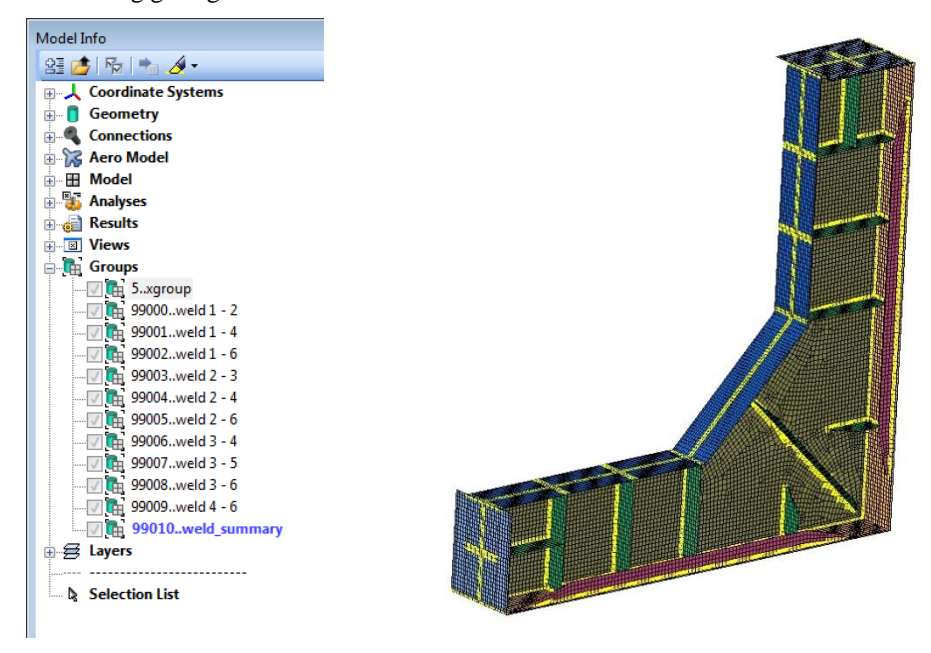
Im folgenden Fenster werden die Startnummer und die Titel für die zu erzeugenden Gruppen festgelegt.



Festlegen der Gruppenparameter

Daraufhin erscheint das Femap Dialogfenster und es wird die Auswahl der zu betrachtenden Elemente durchgeführt. Hier wählen wir "Select All".

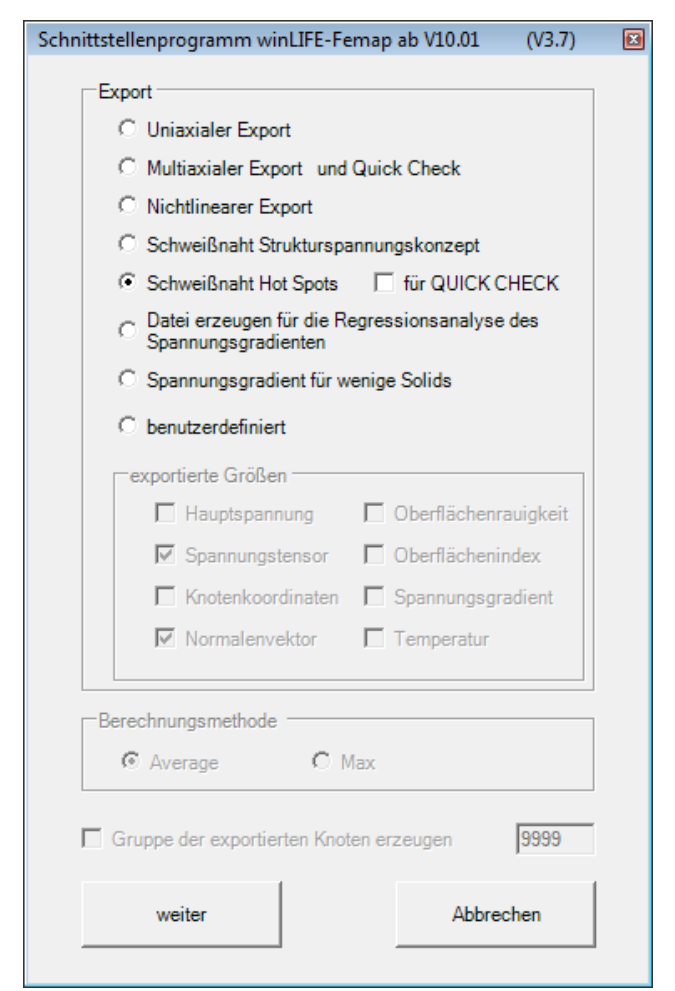
In Femap werden Schweißnahtgruppen nach dem oben beschriebenen Suchverfahren angelegt wie in folgender Darstellung gezeigt.



identifizierte Schweißnahtelemente

23.2. Durchführung einer Lebensdauerberechnung nach dem Hot Spot Suchverfahren

Nach dem Hot-Spot Suchverfahren werden jetzt Elementspannungen aus Femap exportiert. Hierzu wird das Schnittstellenprogramm winLIFE – Femap aufgerufen (siehe Abbildung). In dem Dialogfenster wird der Punkt "Schweißnaht Hot Spot" gewählt. Das Verfahren ist nur für plate Elemente verfügbar. Standardmäßig wird die Transformation der Materialachsen aktiviert.

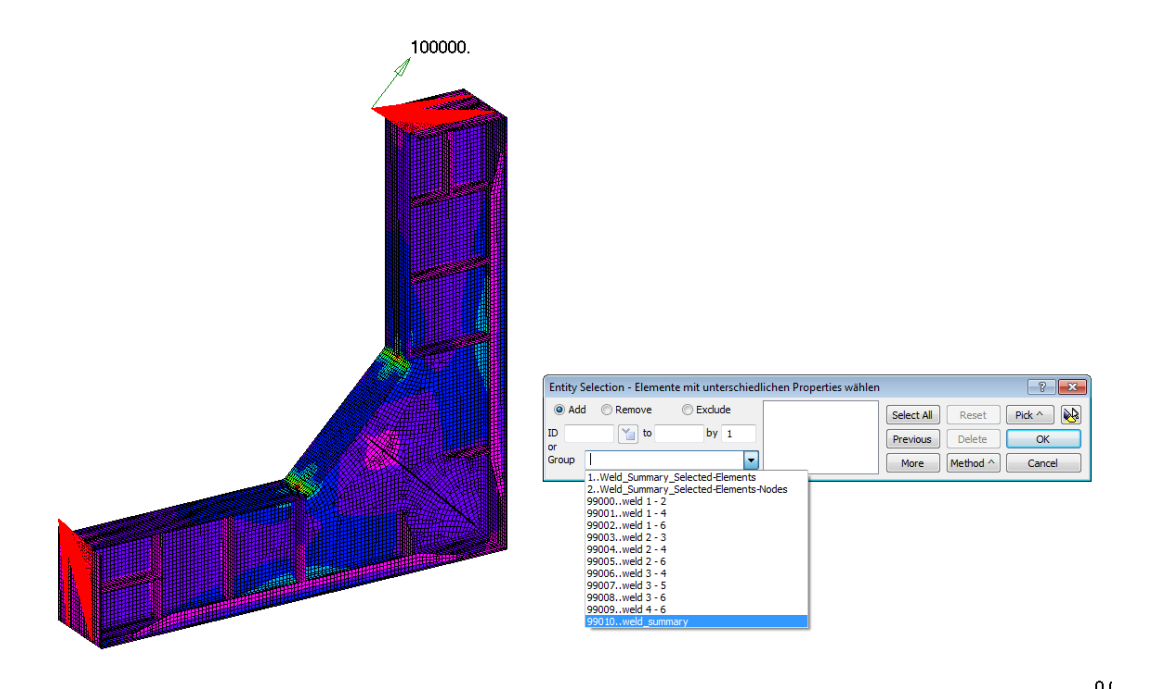




Wahl der Exportoptionen

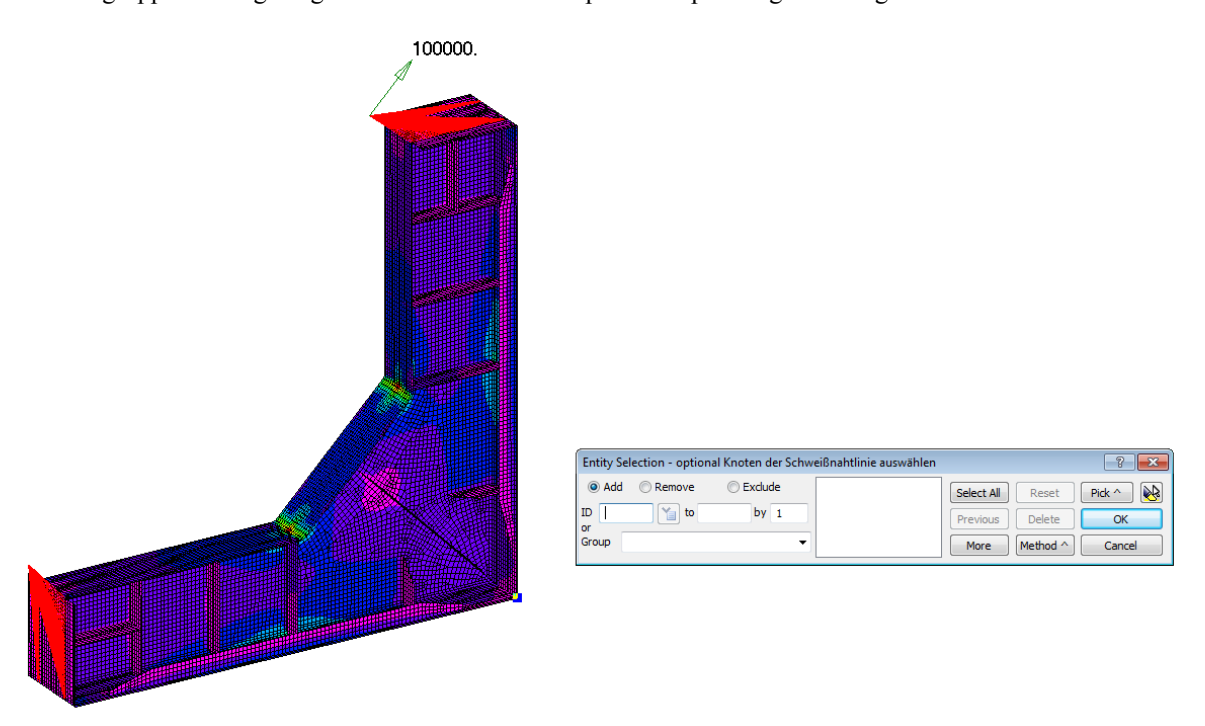
Der Export der Spannungen wird für den in Femap vorliegenden Lastfall durchgeführt.

Im folgenden Dialogfenster können die zuvor erzeugten Nahtgruppen gewählt werden und bei Bedarf noch weitere Elemente. Die Schweißnähte werden nun identifiziert durch die unterschiedlichen Properties der verbundenen Bleche wie oben geschildert.



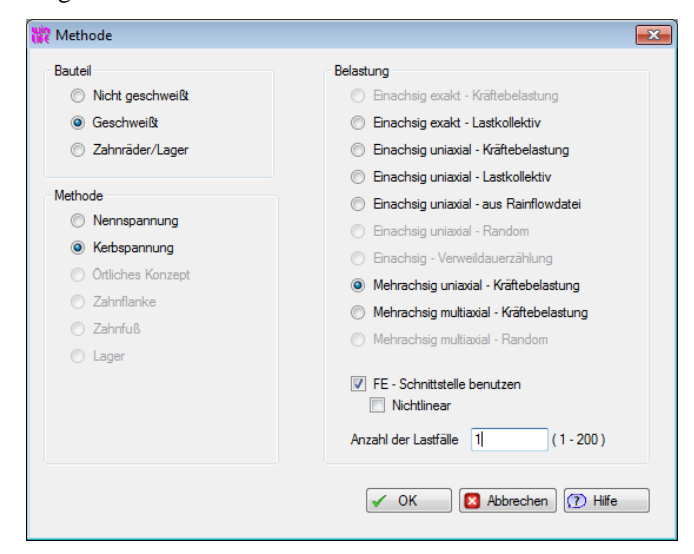
Wahl von Schweißnahtelementen für den Spannungsexport

In einer weiteren Selektion können Knoten einer Schweißnaht direkt gewählt werden. Diese Selektion bietet sich besonders dann an, wenn die miteinander verbundenen Bleche keine unterschiedlichen Properties haben und damit eine Schweißnahtsuche über Properties nicht erfolgen kann. In unserem Modell braucht keine Selektion von Schweißnahtknoten durchgeführt werden, da alle Schweißnähte durch den zuvor verwendeten Befehl "Schweißnahtgruppen erzeugen" gefunden wurden. Der Export der Spannungen durchgeführt.



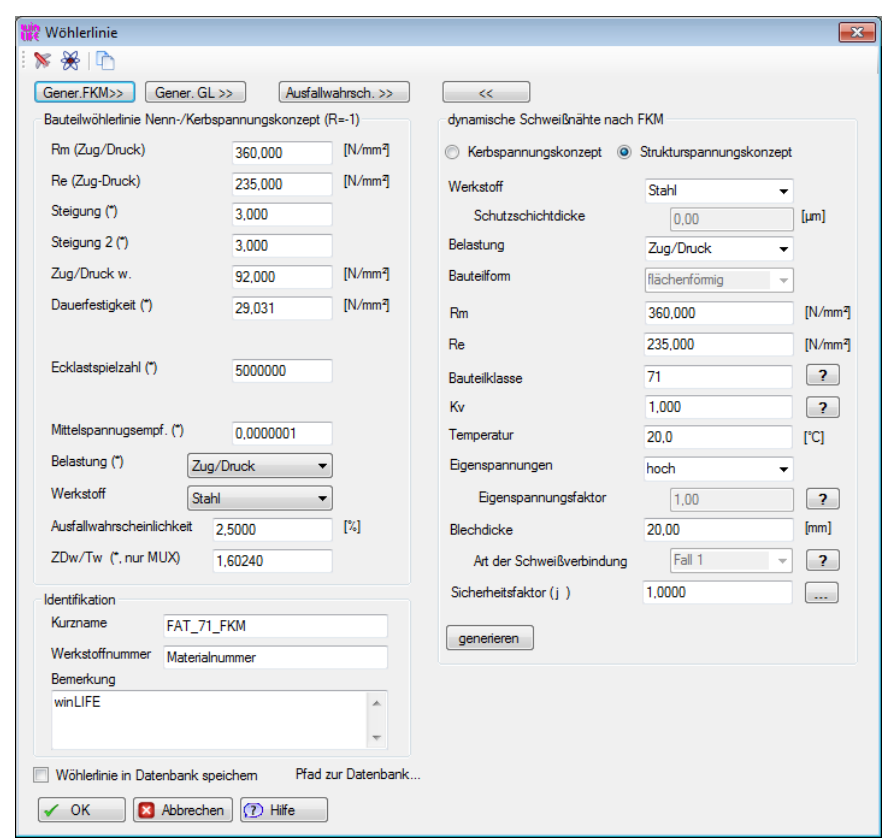
Knotenauswahl am FE-Modell

In winLIFE 4.0 wird ein neues Projekt angelegt und es erfolgt die Angabe der Projektmethode. Es wird die Einstellung "Geschweißt" gewählt und als Methode "Kerbspannung". Als Belastung wird "Mehrachsig uniaxial – Kräftebelastung" eingestellt. Die FE-Schnittstelle wird mit einem Lastfall verwendet.



Einstellungen zu der Projektmethode

Für den Stahl S235JR wird eine Wöhlerlinie nach FKM generiert. Die Wöhlerlinie gilt für die Verwendung des Strukturspannungskonzepts. Die Materialkennwerte für den Stahl S235JR betragen für die Zugfestigkeit Rm 360 N/mm² und für die Streckgrenze Re 235 N/mm². Es wird die Bauteilklasse (FAT-Klasse) 71 gewählt.



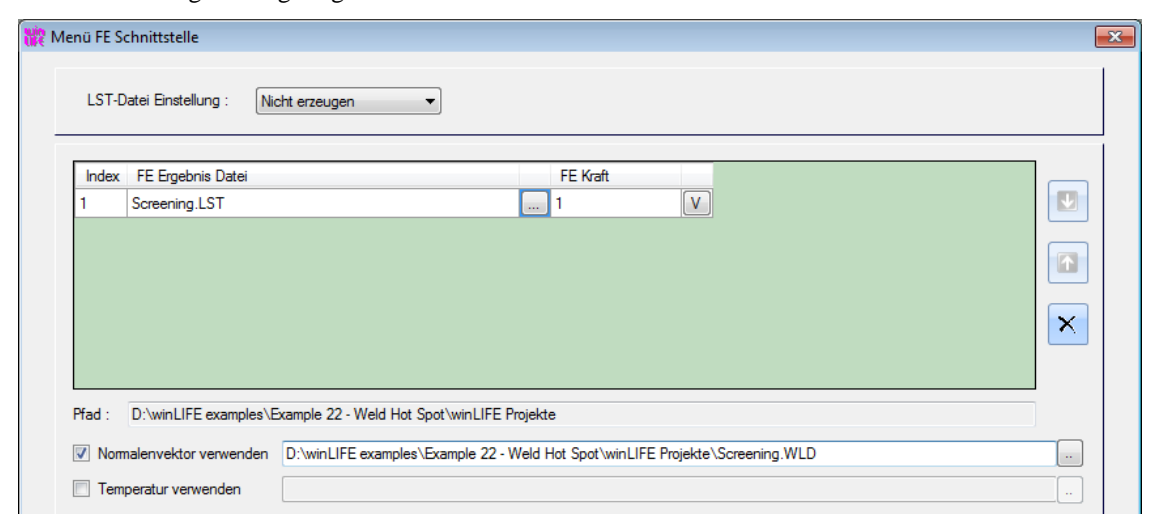
Definition der Wöhlerlinie nach FKM

Der Belastungsverlauf wird anschließend für den Lastfall mit einem Multiplikator eingetragen. In diesem Beispiel wird das Berechnungsergebnis mit dem Wert 2000000 multipliziert.



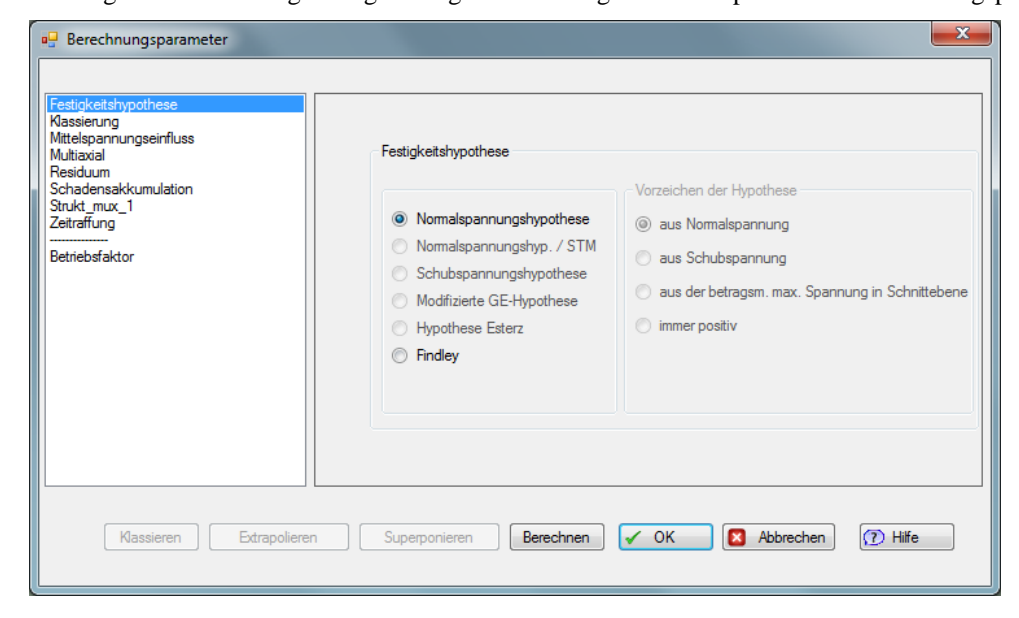
Angabe des Belastungsverlaufs

In dem Menü FE-Schnittstelle sind die Ergebnisse aus der FE-Simulation anzugeben. Es wird die vorher erzeugte LST-Datei für die Zuglast eingetragen.

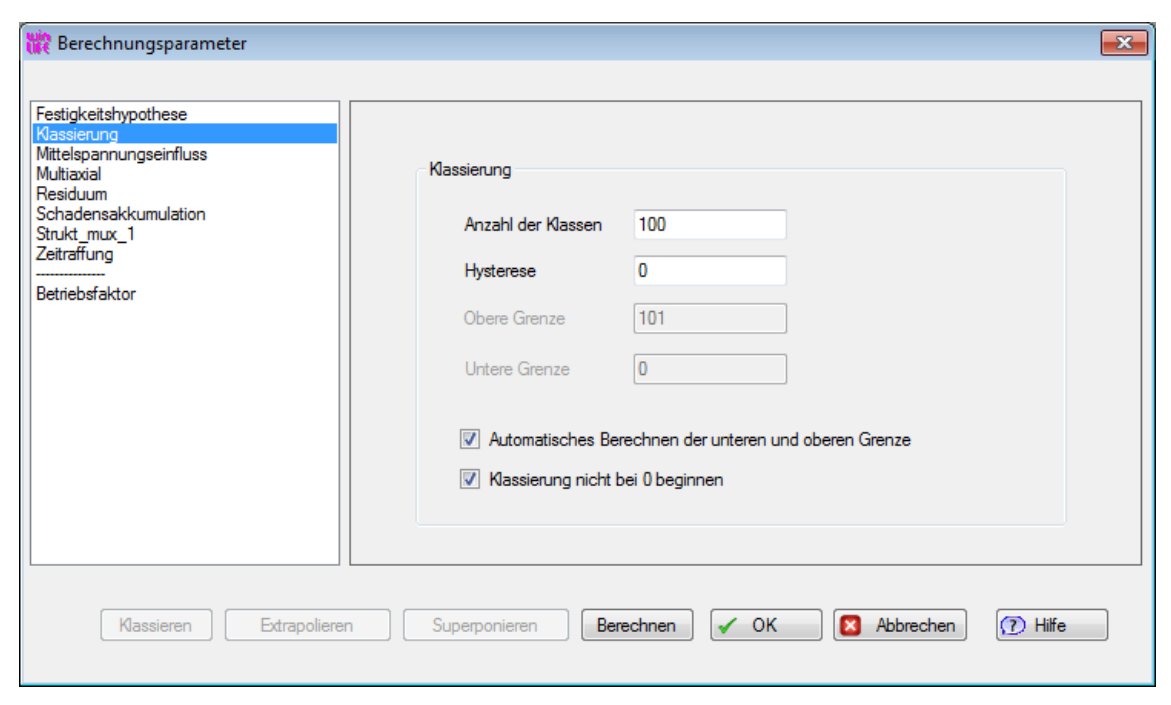


Angabe der FE-Ergebnisse

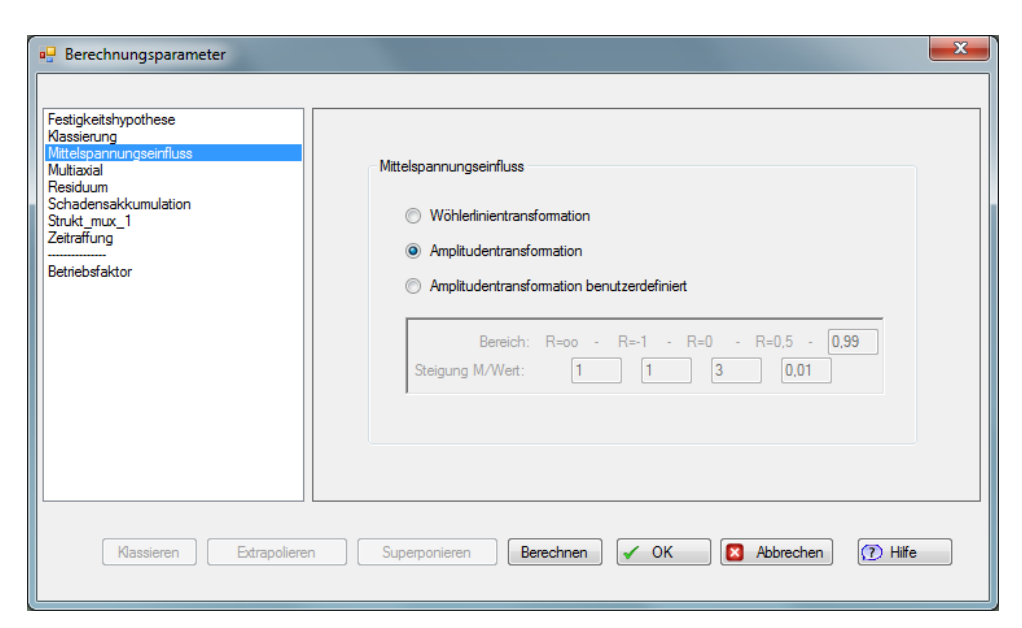
Die folgenden Abbildungen zeigen die gewählten Angaben und Optionen als Berechnungsparameter.



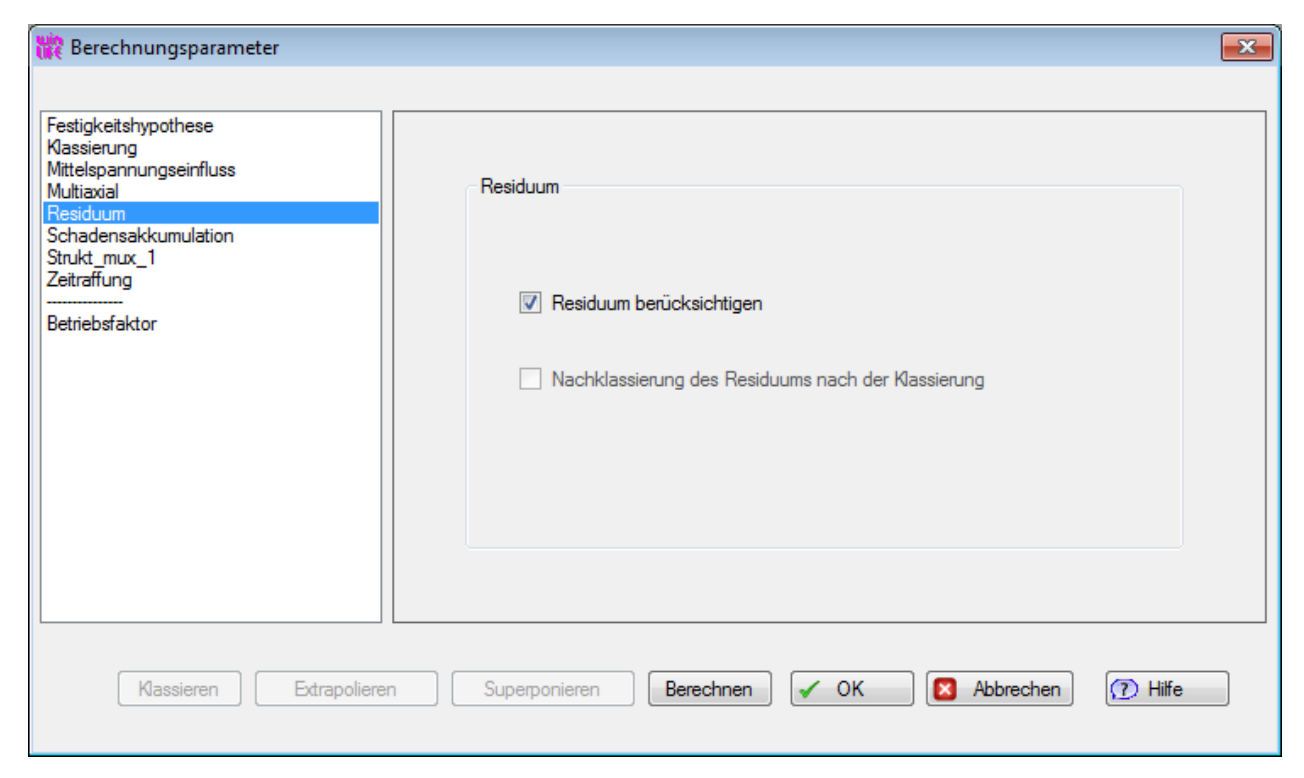
Wahl der Festigkeitshypothese



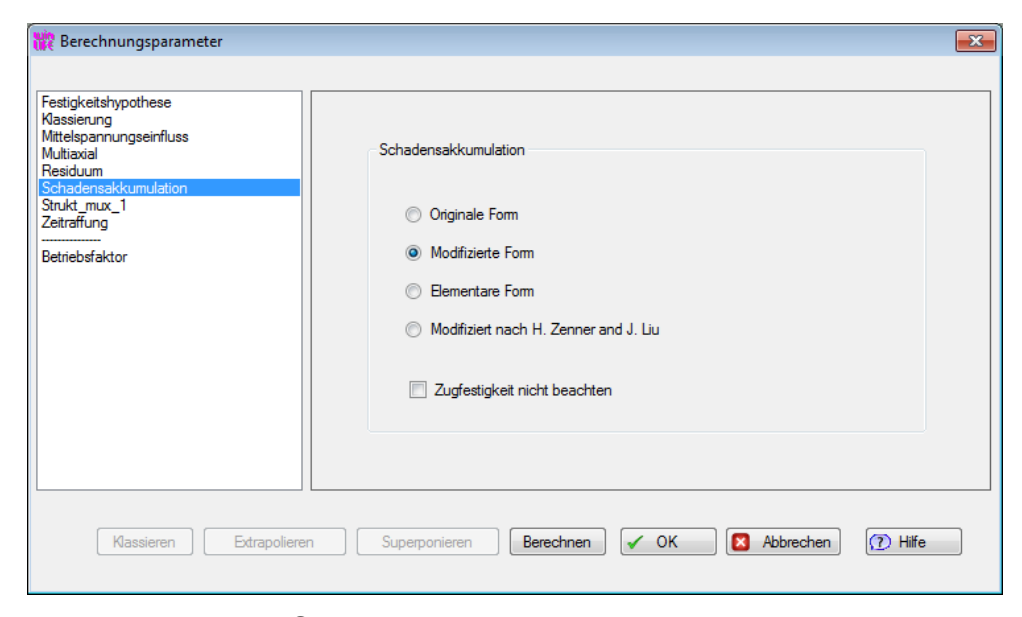
Angaben zur Klassierung



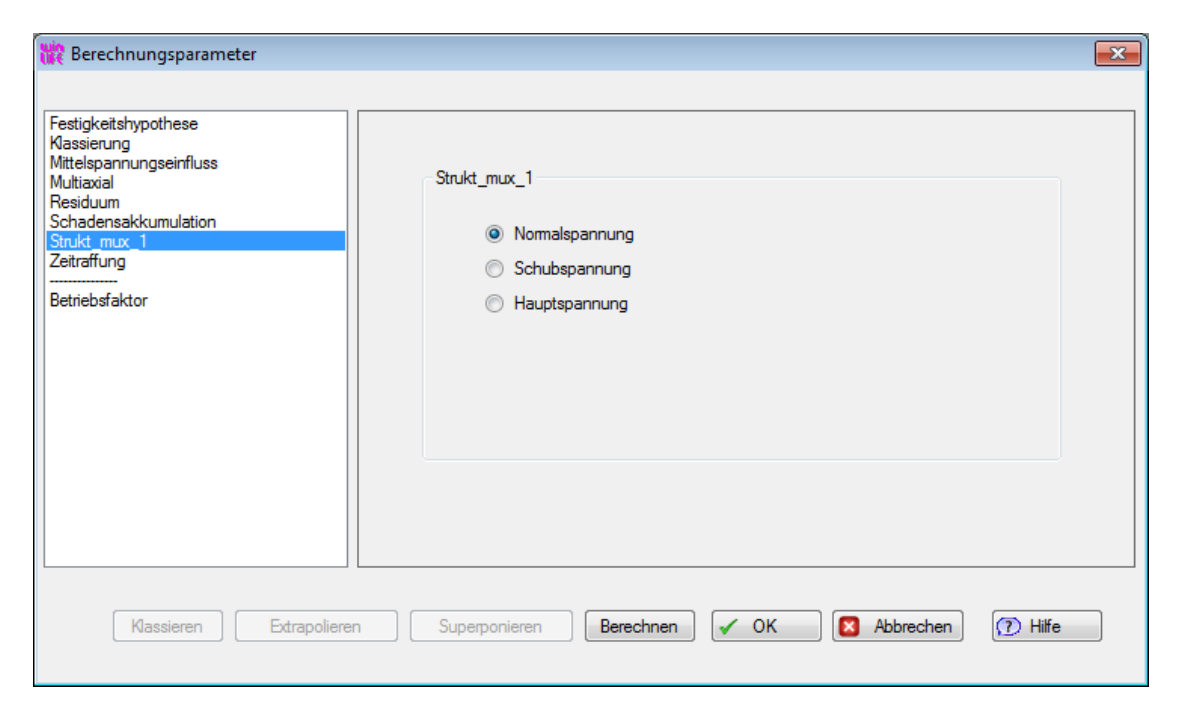
Angaben zur Berücksichtigung des Mittelspannungseinflusses



Berücksichtigung des Residuums



Einstellungen zur Schadensakkumulation



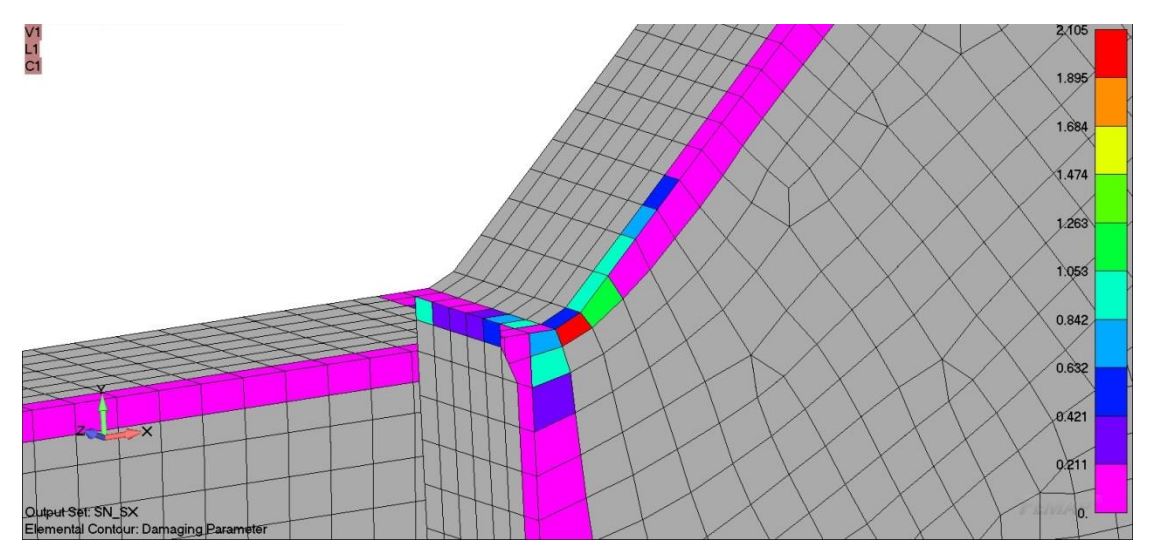
Einstellungen zur Multiaxialität

23.3. Ergebnis Hot Spot

23.3.1. Schadenssumme

Mit den gewählten Angaben erfolgt in winLIFE die Berechnung der Lebensdauer der Schweißnähte nach dem Hot-Spot Suchverfahren. Die bei der Berechnung in winLIFE entstehende Ergebnisdatei *.NEU wird in Femap zur Visualisierung der Schadenssumme und des Auslastungsgrads eingelesen.

Es tritt eine maximale Schadenssumme von 2,105 zwischen dem Obergurt und dem Steg auf (siehe Abbildung). Eine Schadenssumme von 0,922 tritt zwischen Obergurt und Quersteife auf.



Schadenssummen nach dem Hot-Spot Suchverfahren

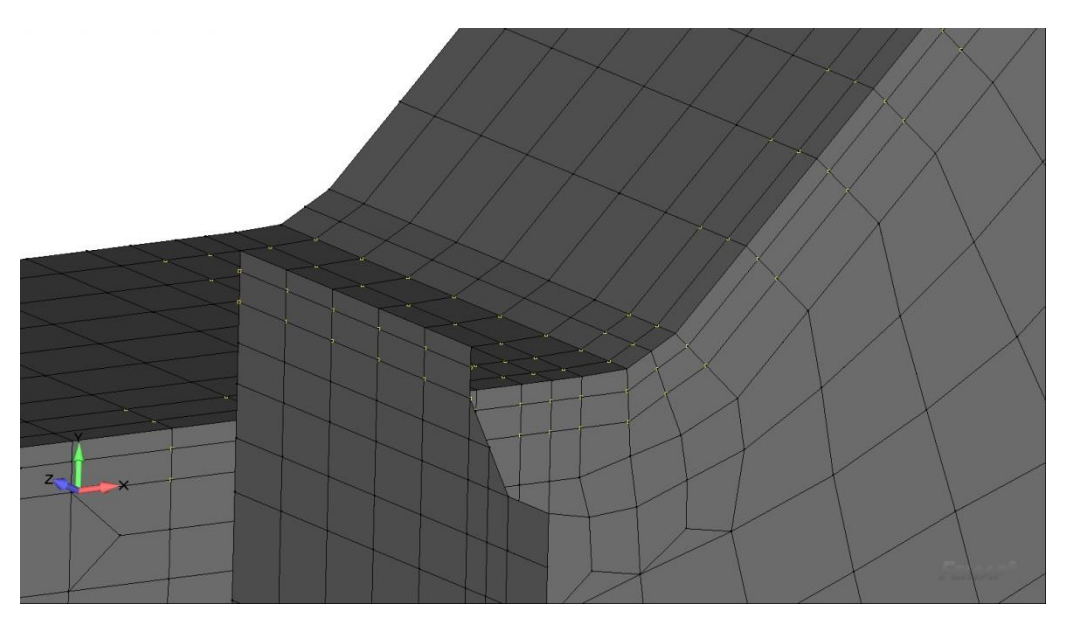
23.4. Durchführung einer Lebensdauerberechnung nach dem Strukturspannungskonzept

Nun wird eine Berechnung der Lebensdauer nach dem Strukturspannungskonzept durchgeführt.

23.4.1. Modellbildung

Das Modell ist ebenfalls aus ebenen plate-Elementen aufgebaut. Für das Strukturspannungskonzept mit linearer Extrapolation werden dabei definierte Abstände der Knotenreihen von der Kehlnaht eingehalten wie die gelb markierten Knoten in der Abbildung zeigen.

Der Abstand der Knotenlinie 1 beträgt 0,4 x Blechdicke von der Schweißnaht und der Abstand der Knotenlinie 2 beträgt 1 x Blechdicke von der Schweißnaht. Es sind die jeweiligen Blechdicken zu verwenden.



Vernetztes Modell nach dem Strukturspannungskonzept

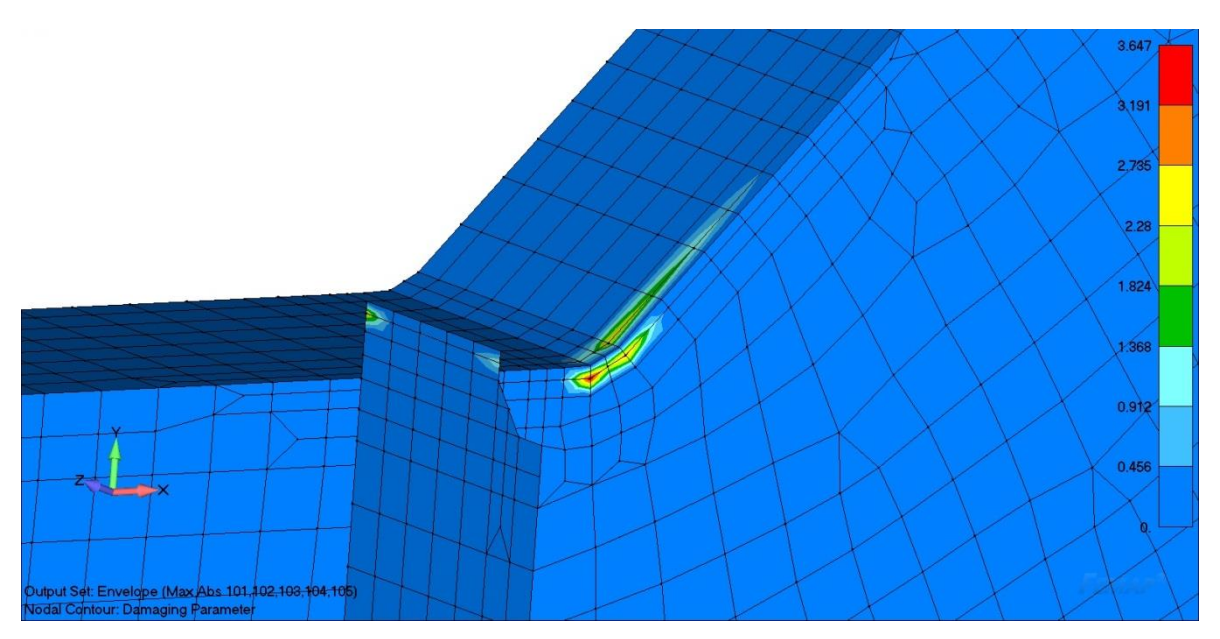
Die Spannungen werden nun entsprechend dem Vorgehen nach dem Strukturspannungskonzept exportiert und eine Lebensdauerberechnung in winLIFE durchgeführt. Das Beispiel 21 schildert den Ablauf einer rechnerischen Lebensdauerbestimmung nach dem Strukturspannungskonzept.

23.5. Ergebnis Strukturspannungskonzept

23.5.1. Schadenssumme

Mit den gewählten Angaben erfolgt in winLIFE 4.0 die Berechnung der Lebensdauer der Schweißnähte nach dem Strukturspannungskonzept. Das Verfahren wird für planare Elemente und für Volumenelemente angewendet.

Die bei der Berechnung in winLIFE 4.0 entstehende Ergebnisdatei *.NEU wird in Femap zur Visualisierung der Schadenssumme und des Auslastungsgrads eingelesen.



Schadenssummen nach dem Strukturspannungskonzept

Es tritt eine maximale Schadenssumme von 3,65 zwischen dem Obergurt und dem Steg auf. Eine Schadenssumme von 2,39 tritt zwischen Obergurt und Quersteife auf.

23.6. Ergebnis Vergleich Schadenssummen

Die Berechnungsergebnisse zwischen den einzelnen Verfahren werden nun verglichen. In folgender Tabelle sind die höchsten Schadenssummen für die unterschiedlichen Berechnungsverfahren eingetragen.

| Verfahren | Extrapolationsart | Elementtyp | Schadenssumme | Schadenssumme |
|-----------------------------------------|-------------------|---------------------------------|---------------|---------------------|
| | | | Obergurt-Steg | Obergurt-Quersteife |
| Hot-Spot Suche
(Screening Verfahren) | keine | Plates 4 Knoten und 3
Knoten | 2,11 | 0,92 |
| Strukturspannungskonzept | linear | Plates 4 Knoten und 3
Knoten | 3,65 | 2,39 |
| Strukturspannungskonzept | quadratisch | Plates 4 Knoten und 3
Knoten | 4,11 | 2,25 |
| Strukturspannungskonzept | linear | Solid 8 Knoten | 4,54 | 2,52 |

Die Stellen der höchsten Schadenssumme stimmen bei der Hot-Spot Suche und dem Strukturspannungskonzept überein.

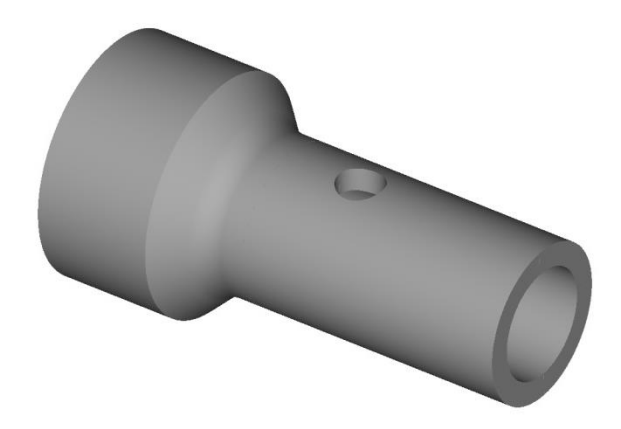
24. Beispiel 23 / rotierende Welle

Hinweis: Dieses Beispiel ist als Video Datei auf unserer Homepage und auf CD vorhanden. Alle Daten – auch die Daten des FEMAP/NASTRAN Modells – befinden sich auf der winLIFE-CD.

24.1. Aufgabenstellung

Bauteilgeometrie

Die folgende Abbildung zeigt eine abgesetzte Welle mit einer Innenbohrung und Querbohrung. Für dieses Bauteil soll eine Lebensdauerberechung für eine Rotationsbewegung um die Mittelachse durchgeführt werden. Dabei soll auf das dünnere Wellenende zunächst eine stehende konstante Last wirken und anschließend eine zeitlich veränderliche Last. Die Rotation soll in diesem Beispiel verhältnismäßig langsam erfolgen, so dass Fliehkräfte unberücksichtigt bleiben.



Geometrie der rotierenden Welle

Werkstoffdaten

Es liegen folgende Materialangaben vor:

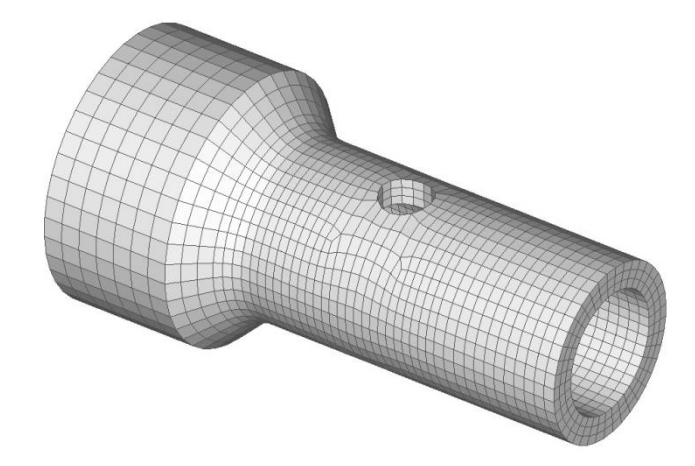
Werkstoffname: 42 CrMo 4

E-Modul: 210.000 N/mm²

Die Oberflächenrauigkeit beträgt $Rz = 100 \mu m$

24.2. Finite Elemente BerechnungModellbildung

Das FE-Modell wurde in Femap/NX NASTRAN so realisiert, dass für die Vernetzung Hexaeder Elemente Verwendung fanden. Das folgende Bild zeigt das FE-Modell mit der Netzaufteilung.

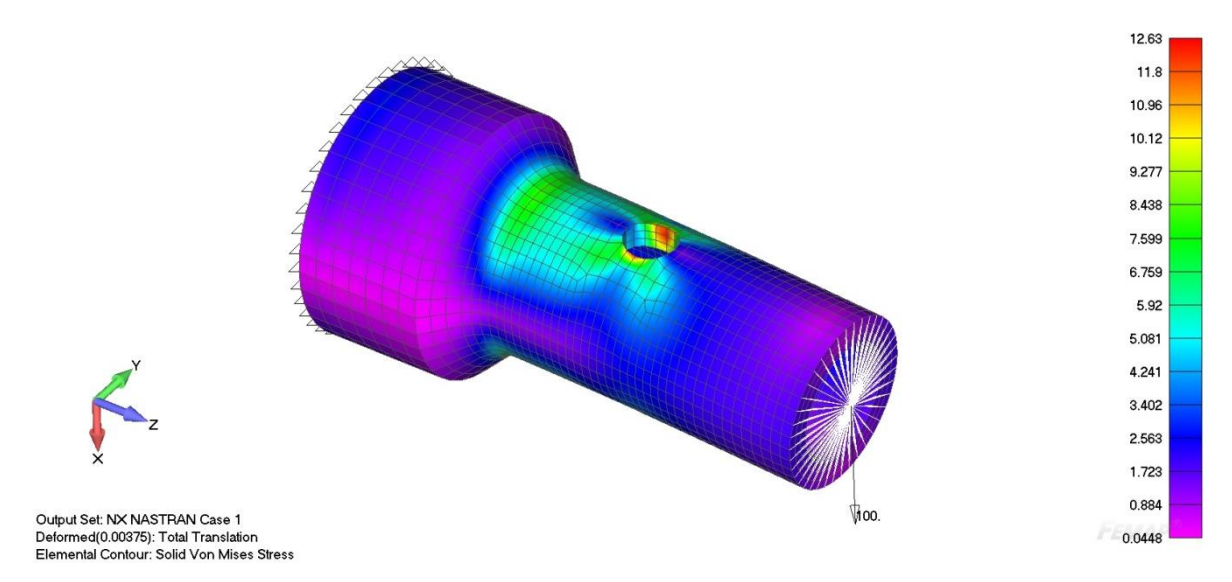


FE-Modell der rotierenden Welle

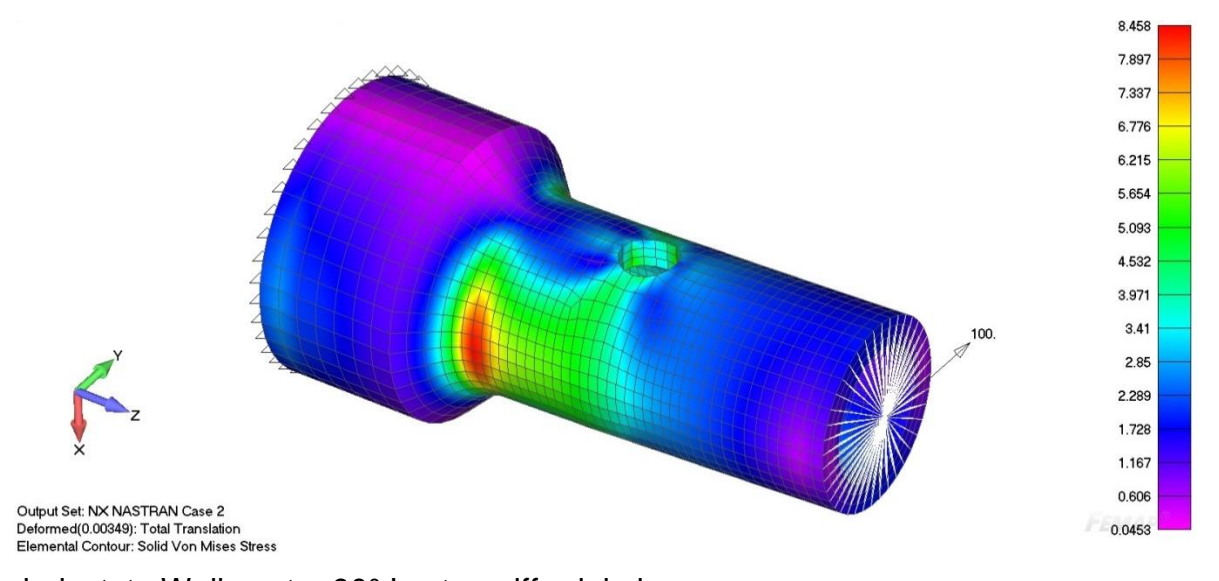
Bauteilbelastung (Einheitslasten)

In der Simulation wird nun für den Bewegungs- und Belastungsverlauf der Welle eine veränderte Betrachtungsweise herangezogen. Anstelle der Drehbewegung der Welle mit stehender Last wird die Sichtweise genau umgedreht: Die Welle steht und die Last rotiert um die Welle.

Dabei wird die Belastung der nun feststehenden Welle in Winkelinkrementen aufgegeben. In diesem Beispiel wird ein Winkelfenster von 90° gewählt und es ergeben sich damit Lastangriffswinkel von 0°, 90°, 180° und 270° für eine Einheitslast von 100N. Die kontinuierliche Rotationsbewegung wird also durch vier Lastfälle abgebildet. Die folgenden beiden Abbildungen zeigen die Vergleichsspannungen im Bauteil unter einer Last von 100N bei 0° und 90° Lastangriffswinkel.



belastete Welle unter 0° Lastangriffswinkel



belastete Welle unter 90° Lastangriffswinkel

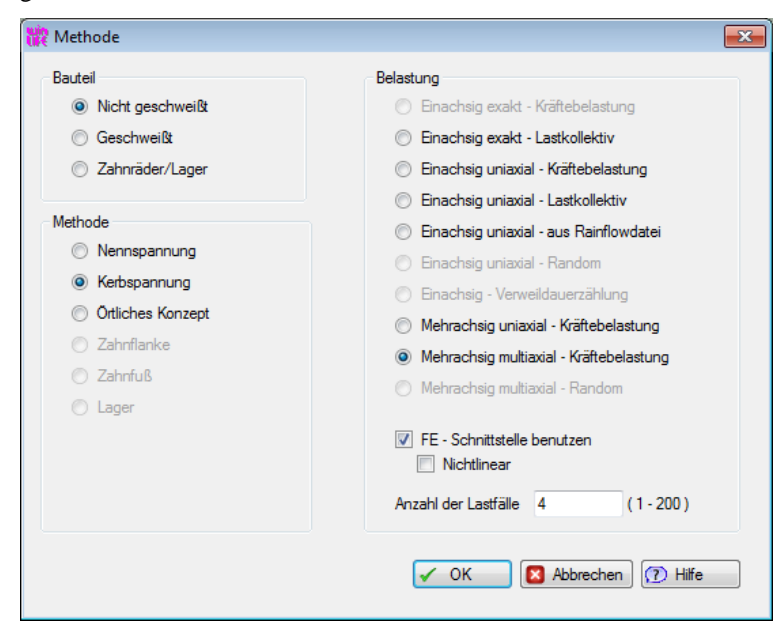
Die unten stehende Tabelle dokumentiert die Verwendung von 4 Einheits-Lastfällen zur Beschreibung des drehenden Belastungsverlaufs. Je nach Aufgabenstellung, Bauteilgeometrie und gewünschter Genauigkeit der Berechnungsergebnisse empfiehlt sich die Wahl kleinerer Winkelfenster.

| Lastfall Nr. | Kraft | Lastwinkel | Größte Vergleichsspannung
(v. Mises) in der Querbohrung | Größte Vergleichsspannung
(v. Mises) am Querschnittssprung |
|--------------|-------|------------|------------------------------------------------------------|---------------------------------------------------------------|
| 1 | 100 N | 0° | 12,63 N/mm² | 8,11 N/mm² |
| 2 | 100 N | 90° | 5,67 N/mm ² | 8,46 N/mm² |
| 3 | 100 N | 180° | 12,63 N/mm² | 8,11 N/mm² |
| 4 | 100 N | 270° | 5,67 N/mm ² | 8,46 N/mm² |

24.3. Lebensdauerberechnung in winLIFE mit konstanter Last

Projektdefinition

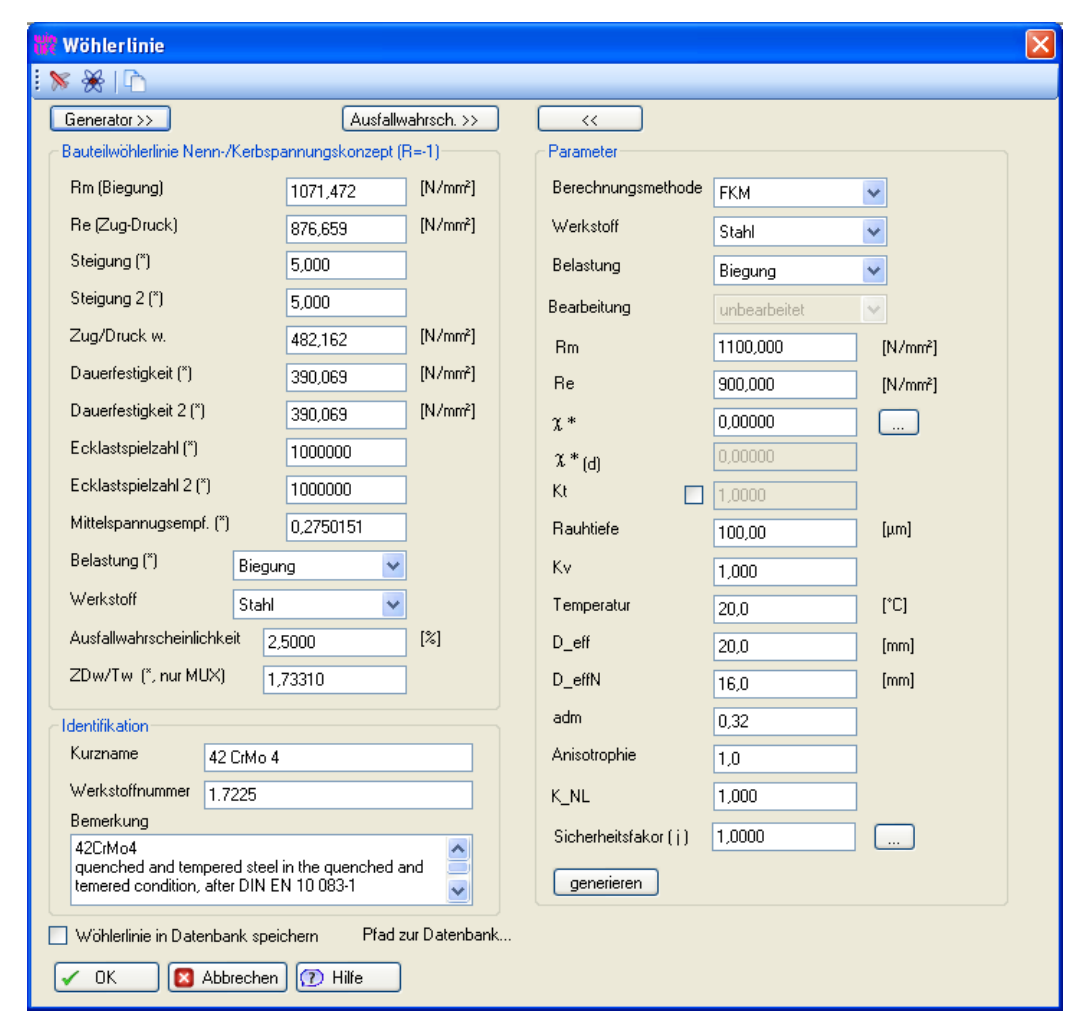
Es wird in winLIFE 4.0 ein neues Projekt angelegt und die im folgenden Fenster angegebenen Methodeneinstellungen gewählt.



Methodeneinstellungen

Generierung der Wöhlerlinie

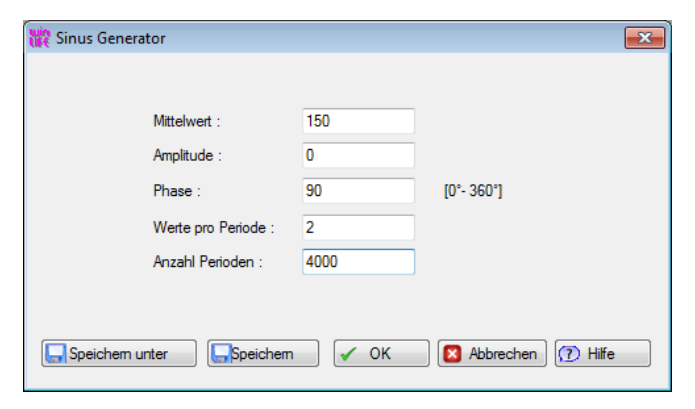
In einem weiteren Schritt wird die FKM Wöhlerlinie für 42CrMo4 geladen und entsprechend den Bauteil- und Belastungsgegebenheiten angepasst:



Angaben zu der Wöhlerlinie

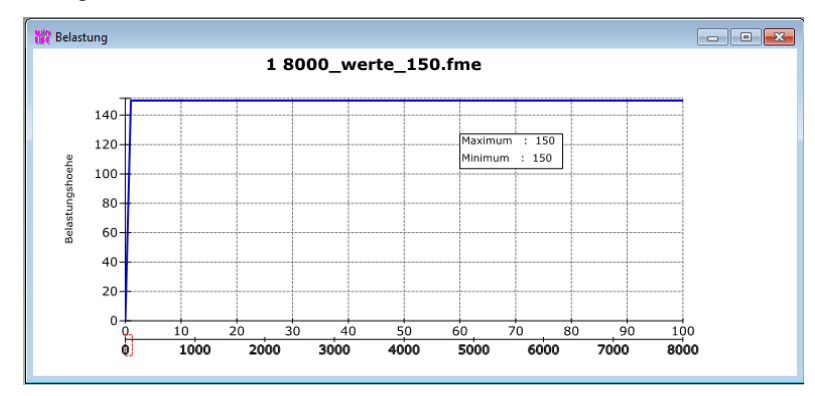
Definition des Belastungsverlaufs

In diesem Beispiel soll zuerst der Einfluss einer konstanten Last auf die Lebensdauer untersucht werden. Dazu wird in winLIFE 4.0 mittels Sinus Generator eine größere Anzahl von Werten erzeugt. Der Eintrag Mittelwert 150 stellt die Spannung dar, die später maximal wirkt. Die Angabe Phase 90 ist die gewählte Winkelgröße in der FE-Berechnung. Hier sollen 1000 Umdrehungen der Welle berechnet werden. Wegen der 4 Winkelfenster beträgt der Wert für Anzahl Periode 4000 (4000 = 1000 Umdrehungen * 4 Perioden/Umdrehung).



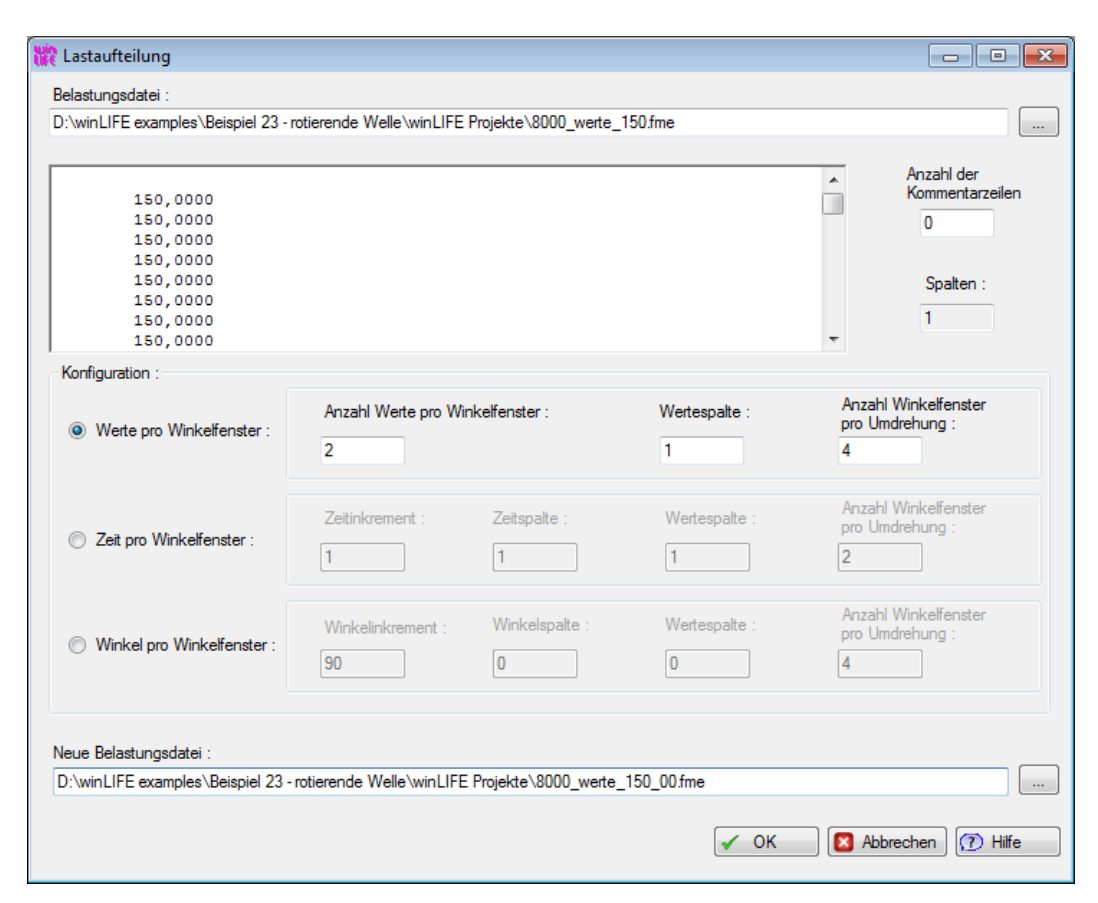
Verwendung des Sinus Generators

Es ergeben sich 8000 Werte, die bis auf den Startwert, alle konstant 150 betragen.



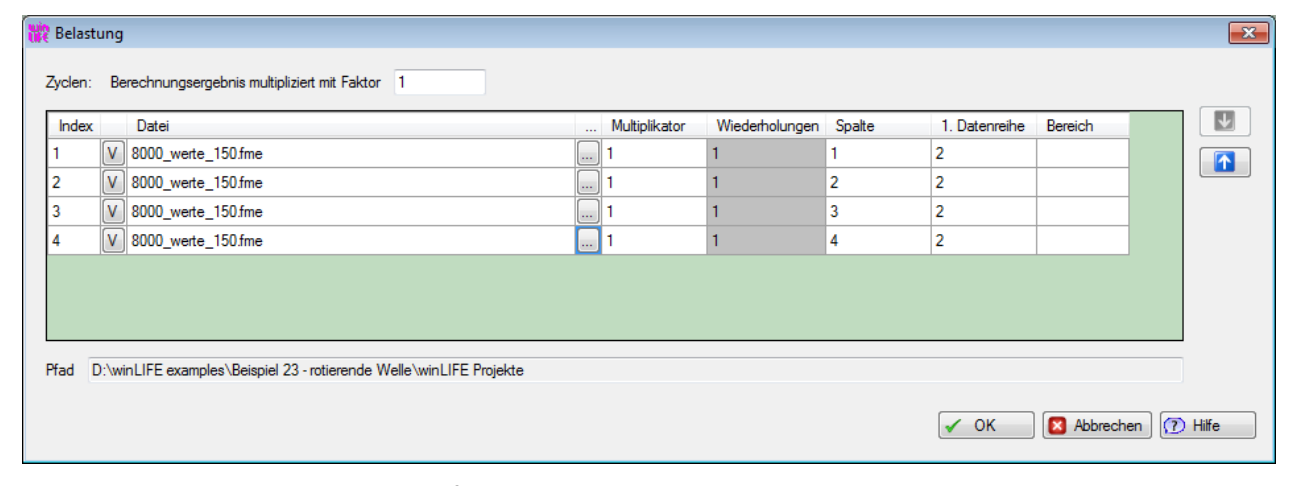
konstante Belastung

Der Belastungsverlauf für die Umlaufbiegung wird mit dem Befehl Lastdatei aufteilen erzeugt. Dabei wird die eben mittels Sinus Generator erhaltene Datei konvertiert.



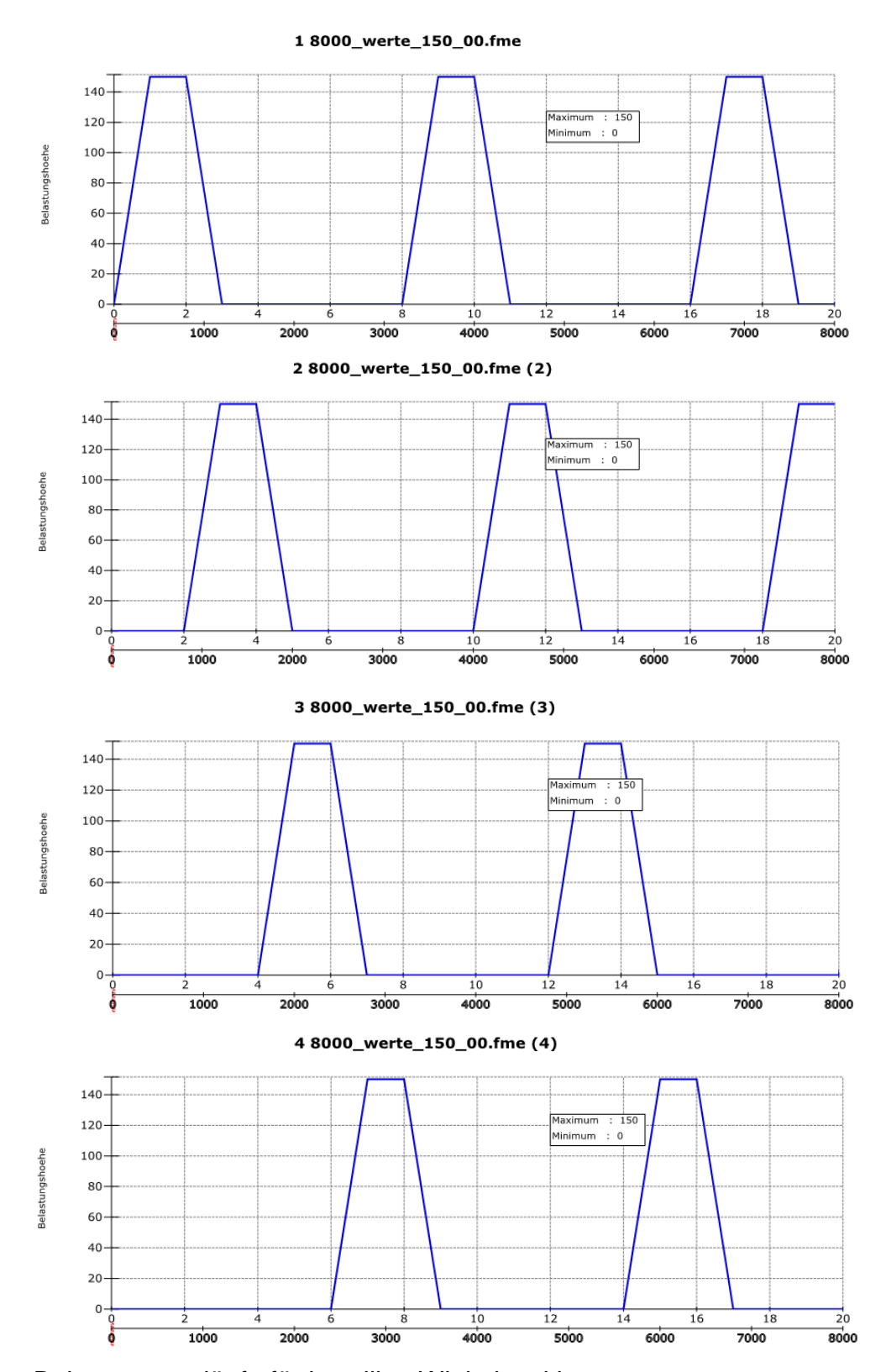
Aufteilung der Last

Die Umwandlung mittels Lastaufteilung erzeugt eine neue Datei, hier in diesem Fall die Datei 8000_werte_150_00.fme.



Angabe der Belastungsverläufe

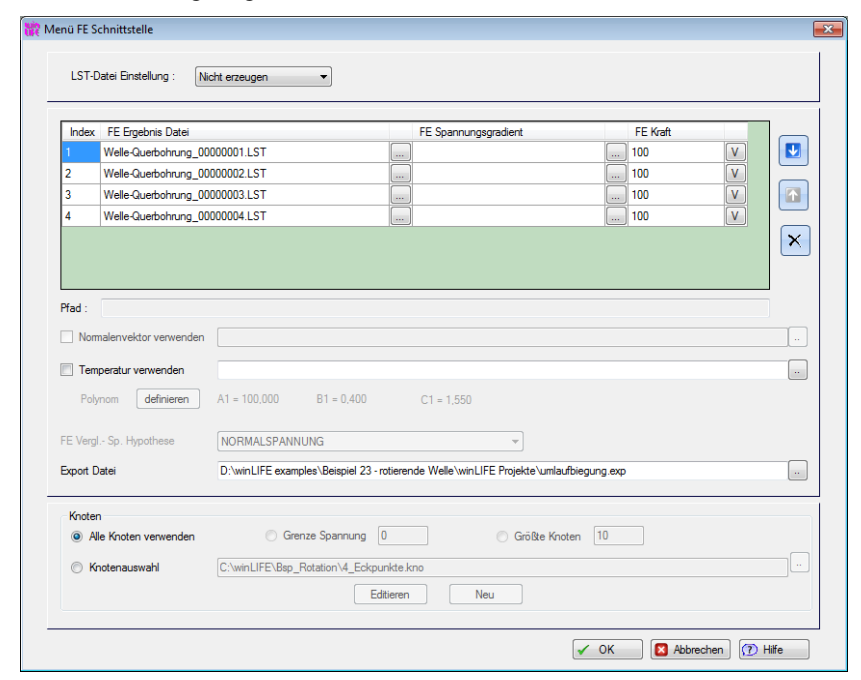
Die Belastung lässt sich grafisch anzeigen. Jede Winkelposition wird einem Belastungsverlauf zugeordnet.



Belastungsverläufe für jeweilige Winkelpositionen

FE-Daten Zuordnung

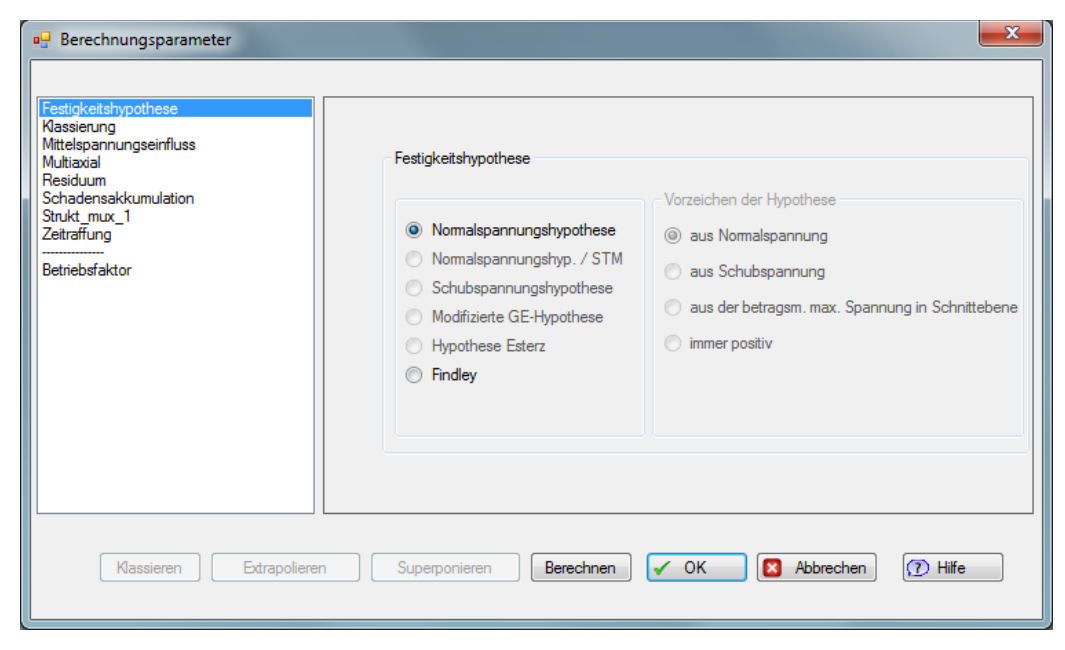
In Femap werden die Spannungsergebnisse der 4 Lastfälle exportiert und dann in winLIFE 4.0 im Menü FE-Schnittstelle eingetragen.



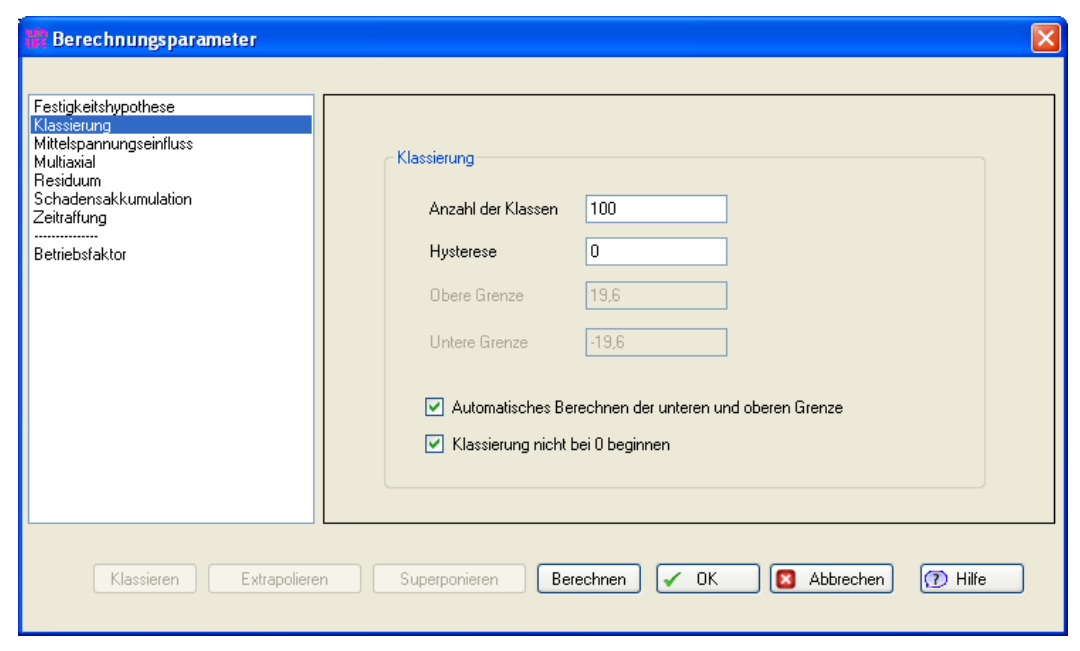
Belastungsverläufe für jeweilige Winkelpositionen

Berechnungsparameter

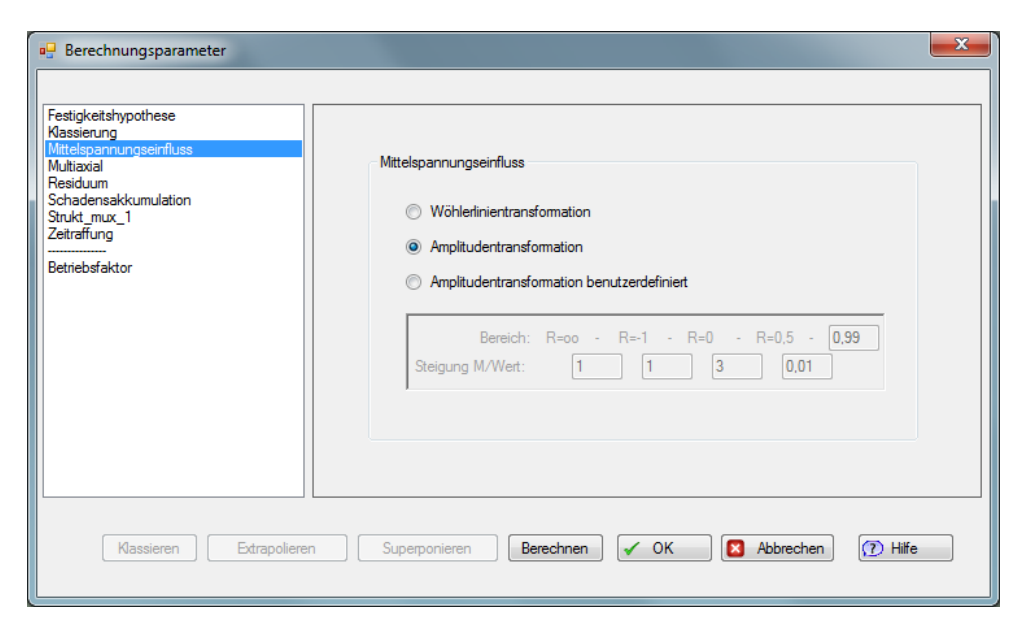
Die folgenden Abbildungen zeigen die gewählten Angaben und Optionen für die Berechnungsparameter.



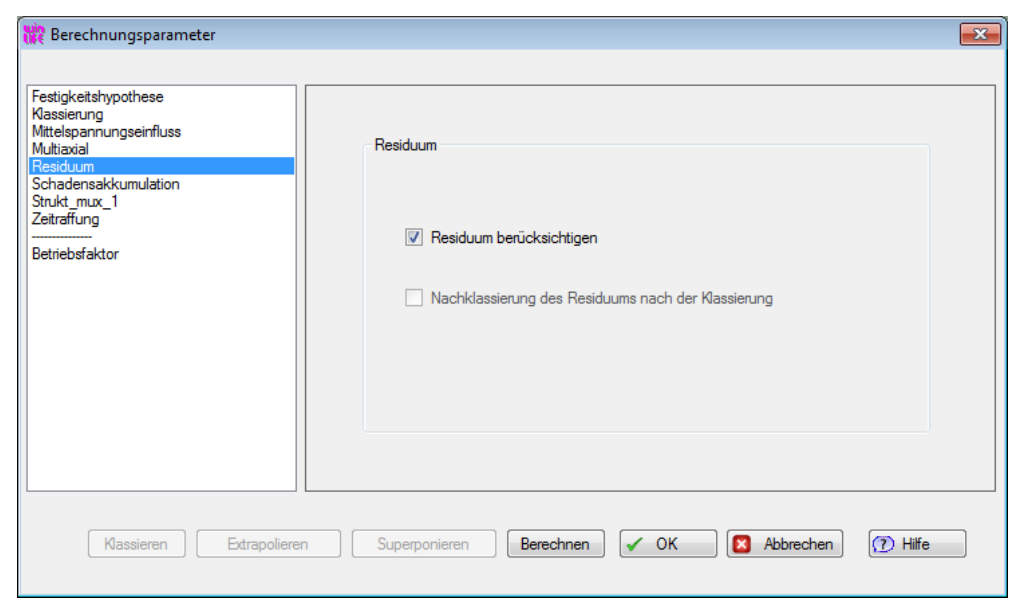
Wahl der Festigkeitshypothese



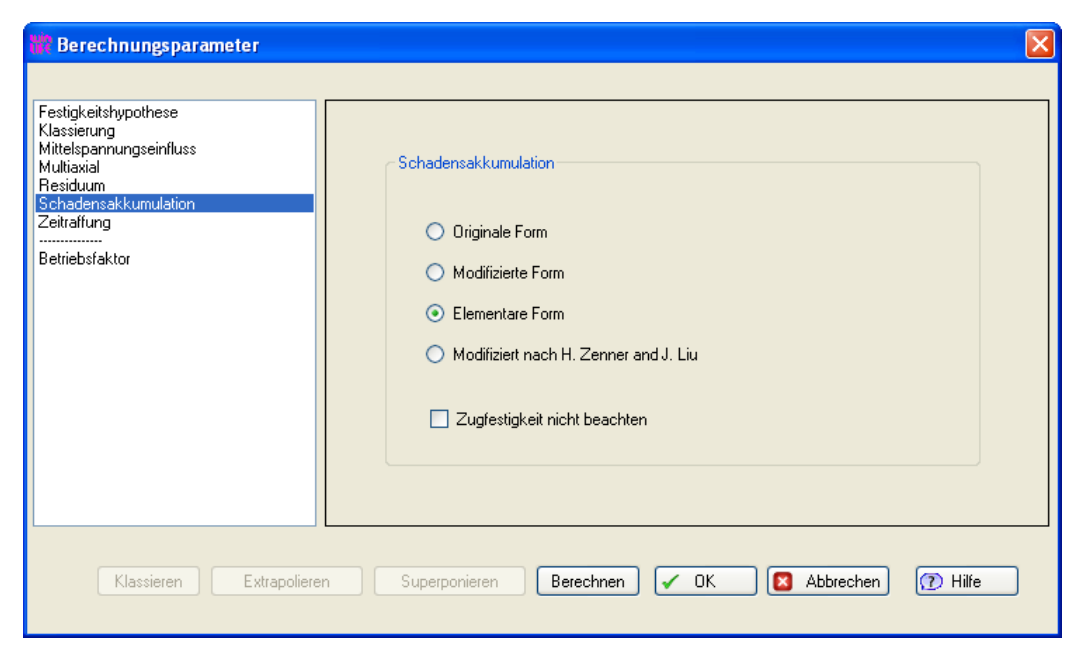
Angaben zur Klassierung



Angaben zur Berücksichtigung des Mittelspannungseinflusses



Berücksichtigung des Residuums



Einstellungen zur Schadensakkumulation

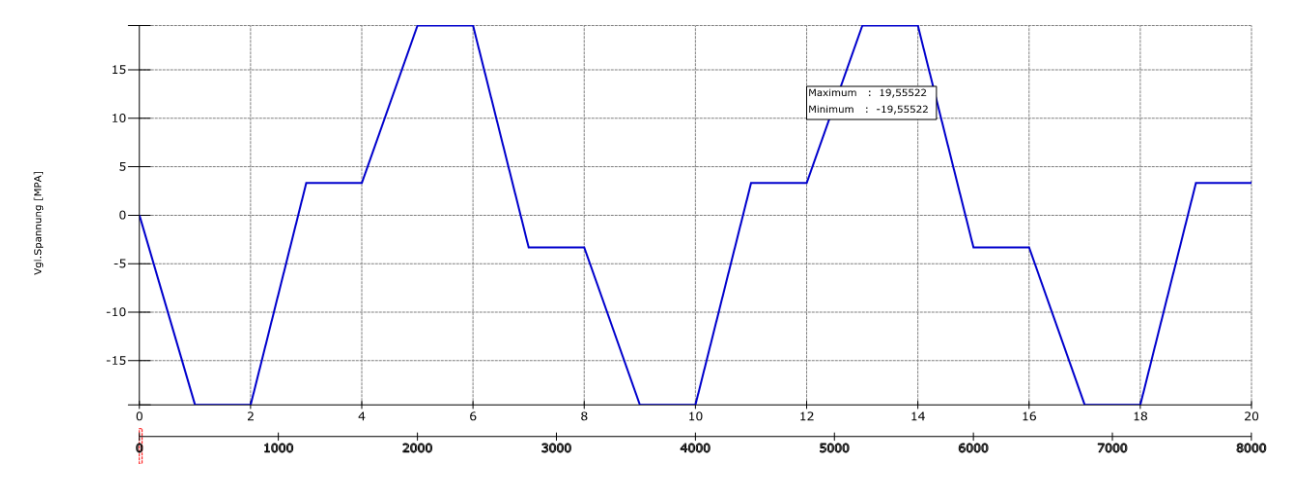
Ergebnis

Es ergibt sich das Ergebnis für die konstante stehende Last:



Ergebnis der Lebensdauerberechnung

Vergleichspannungsverlauf 7429 VOLUMEN Maximum



Vergleichsspannungsverlauf

24.4. Lebensdauerberechnung in winLIFE mit veränderlicher Last

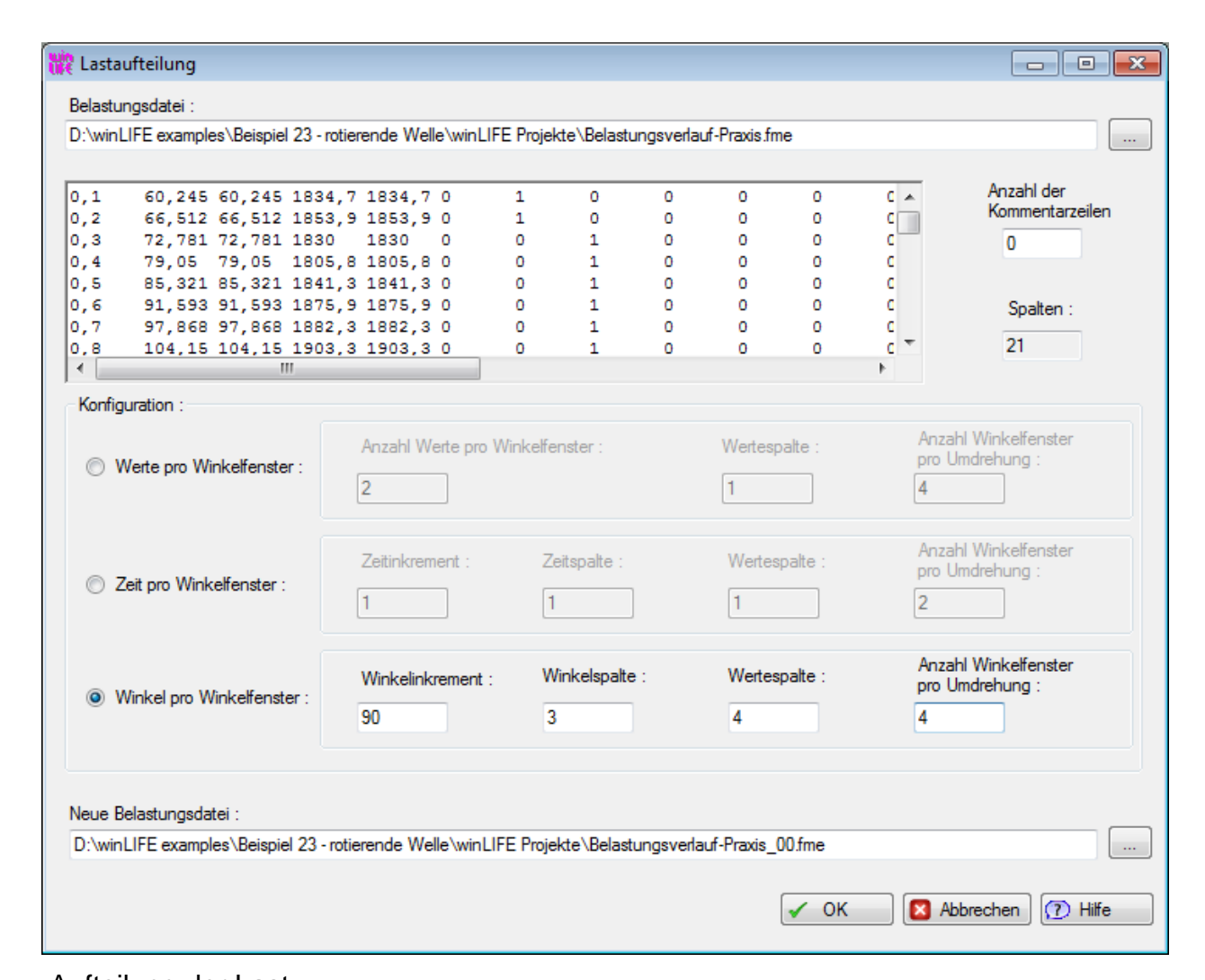
Projektdefinition, Projektangaben

Das winLIFE 4.0 Projekt kann weitgehend so belassen werden wie es gerade für die konstante Last definiert wurde. D. h. die Projektmethode und die Wöhlerlinie werden übernommen.

Definition des Belastungsverlaufs

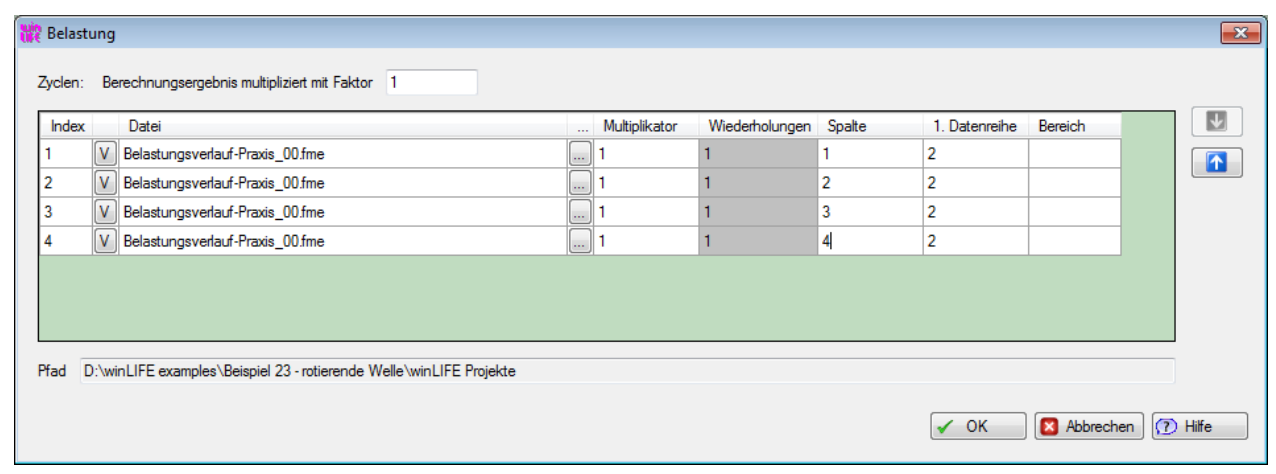
Im Folgenden soll jetzt der Einfluss einer zeitlich veränderlichen Last auf die Lebensdauer untersucht werden. Hierzu werden Messdaten verwendet. In der Datei der Messdaten werden die Winkelangaben in einer Spalte benötigt und die Lastdaten in einer weiteren Spalte. Bei den Winkelangaben handelt es sich um kumulierte Winkelwerte.

Die folgende Abbildung zeigt einen Ausschnitt aus der Messdaten-Datei und zu tätigende Angaben für die Lastaufteilung. Entsprechend der FEM Berechnung wurden 4 Winkelfenster mit je 90° Winkelinkrement verwendet.



Aufteilung der Last

Die erzeugte Datei, hier in diesem Fall die Datei Belastungsverlauf-Praxis_00.fme wird nun im winLIFE 4.0 Menü Belastung angegeben.



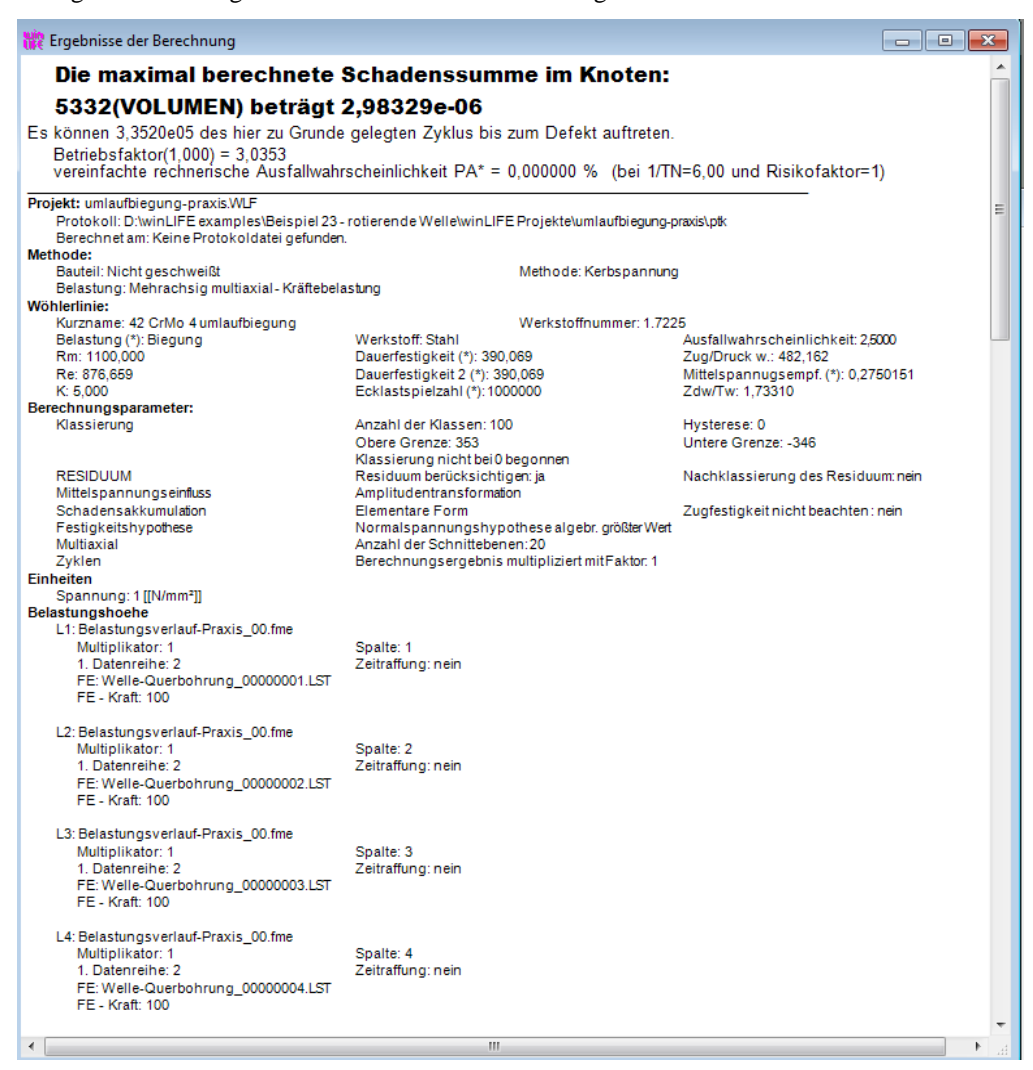
Angabe der Belastungsverläufe

FE-Daten Zuordnung und Berechnungsparameter

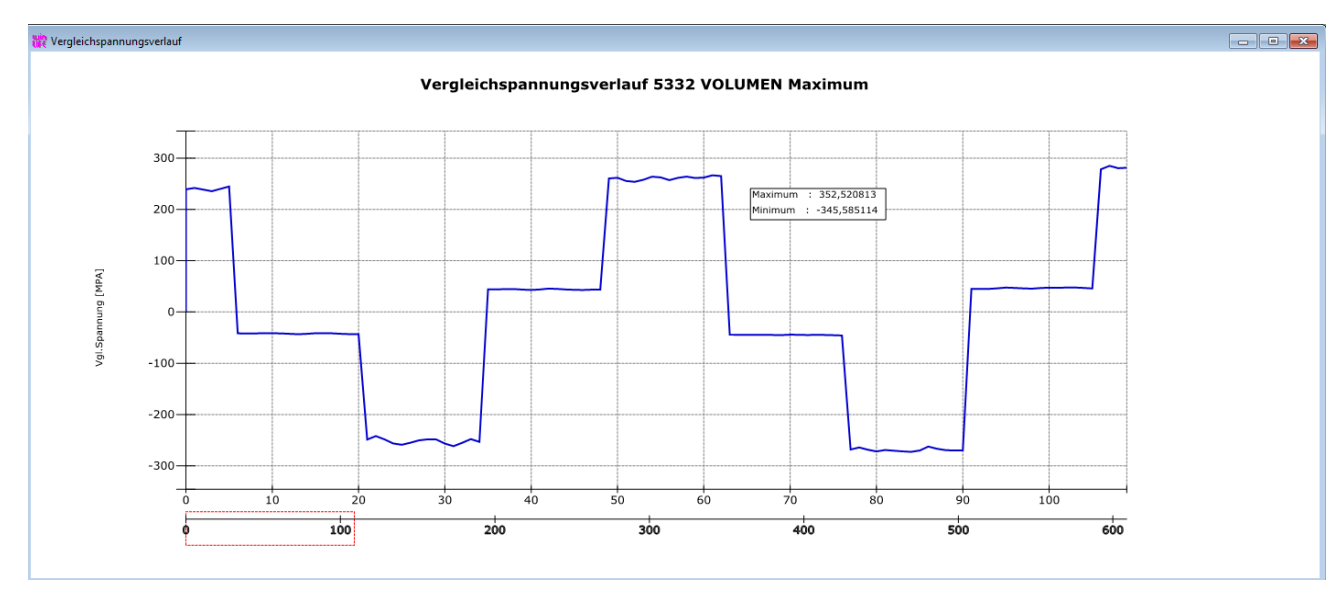
Die FE-Datenzuordnung und die Berechnungsparameter bleiben so wie sie aus dem Beispiel für die konstante Last bereits vorliegen.

Ergebnis

Es ergibt sich als Ergebnis der Lebensdauerberechnung:



Ergebnis der Lebensdauerberechnung



Vergleichsspannungsverlauf

25. Beispiel 24 / Rissfortschrittsberechnung

Hinweis: Dieses Beispiel ist als Video Datei auf unserer Homepage und auf CD vorhanden. Alle Daten – auch die Daten des FEMAP/NASTRAN Modells – befinden sich auf der winLIFE 4.0 -CD.

1.1 Aufgabenstellung

25.1.1. Bauteilgeometrie

Für eine rissbehaftete Scheibe, die in der folgenden Abbildung dargestellt ist, soll eine Rissfortschrittsberechnung durchgeführt werden. Der vorhandene Randriss hat eine Anfangslänge von 10mm. Es soll die Zyklenzahl bestimmt werden bis der Riss infolge einer Last auf 20mm Länge gewachsen ist.

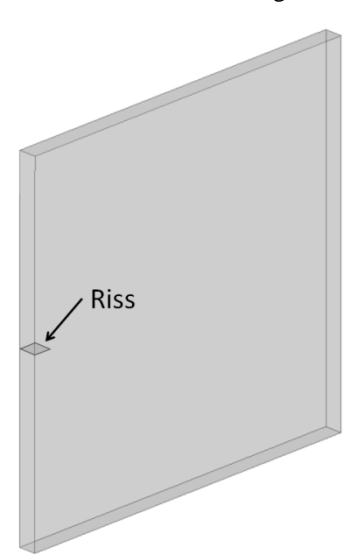


Bild 25-1: Scheibe mit vorhandenem Riss

25.1.2. Belastung

Auf das Bauteil wirkt eine vertikale wechselnde Last mit einer Spannungsamplitude von 1 N/mm² wie im folgenden Bild dargestellt. Es wird nun davon ausgegangen, dass der Riss sich infolge der Zugbeanspruchung senkrecht zur Rissebene öffnet. Daher wird für die Charakterisierung der Rissöffnungsart der Modus I verwendet. Die Scheibenbreite, Wert d, beträgt 200mm.

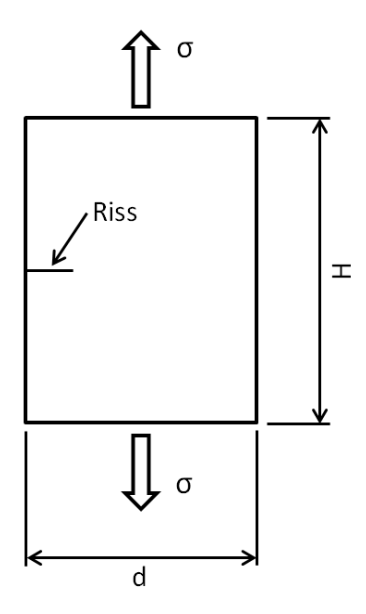


Bild 25-2: Scheibe mit Riss unter Zugbelastung (nicht maßstäblich)

25.1.3. Werkstoffdaten

Es liegen folgende Materialangaben (R = -1) der Paris-Gleichung vor:

Werkstoffname 42CrMo4

Streckgrenze $R_{p0,2} = 1050 \text{ MPa}$

kritischer Spannungsintensitätsfaktor $K_{IC} = 1992,25 \text{ Nmm}^{-3/2}$ bei Raumtemperatur

Schwellen-Spannungsintensitätsfaktor $\Delta K_{I,th} = 221,36 \text{ Nmm}^{-3/2}$

Materialkonstante m = 3,05

Materialkonstante $C = 3.592 \cdot 10^{-14}$

1.2 Lebensdauerberechnung nach Paris

25.1.4. Projektdefinition

Es wird in winLIFE 4.0 ein neues Projekt angelegt und die im folgenden Fenster angegebenen Methodeneinstellungen gewählt.

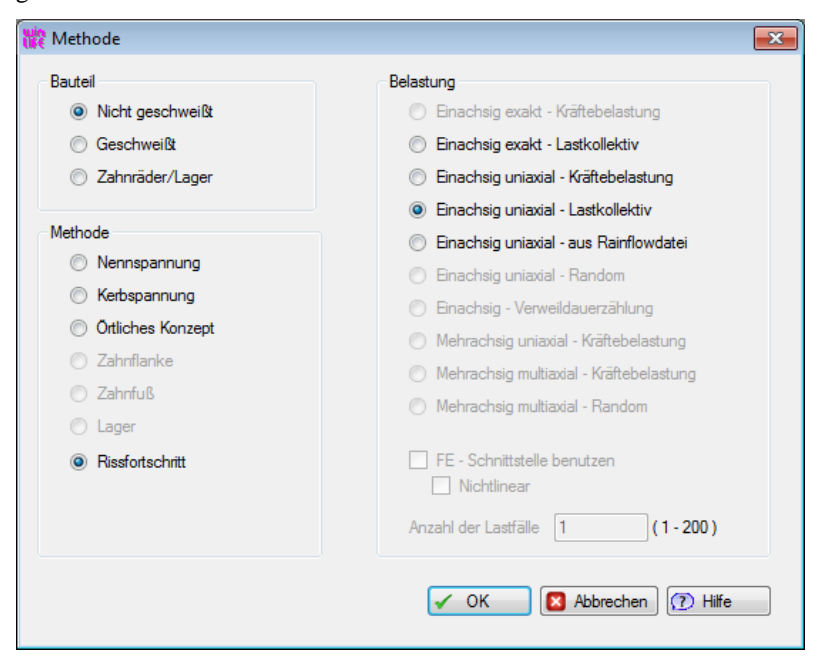


Bild 25-3: Methodeneinstellungen

25.1.5. Generierung der Rissfortschrittskurve

In einem weiteren Schritt wird die Rissfortschrittskurve basierend auf den Materialangaben erzeugt. Wir verwenden in diesem Beispiel zunächst die Rissfortschrittsgleichung nach Paris und anschließend nach Erdogan-Ratwani.

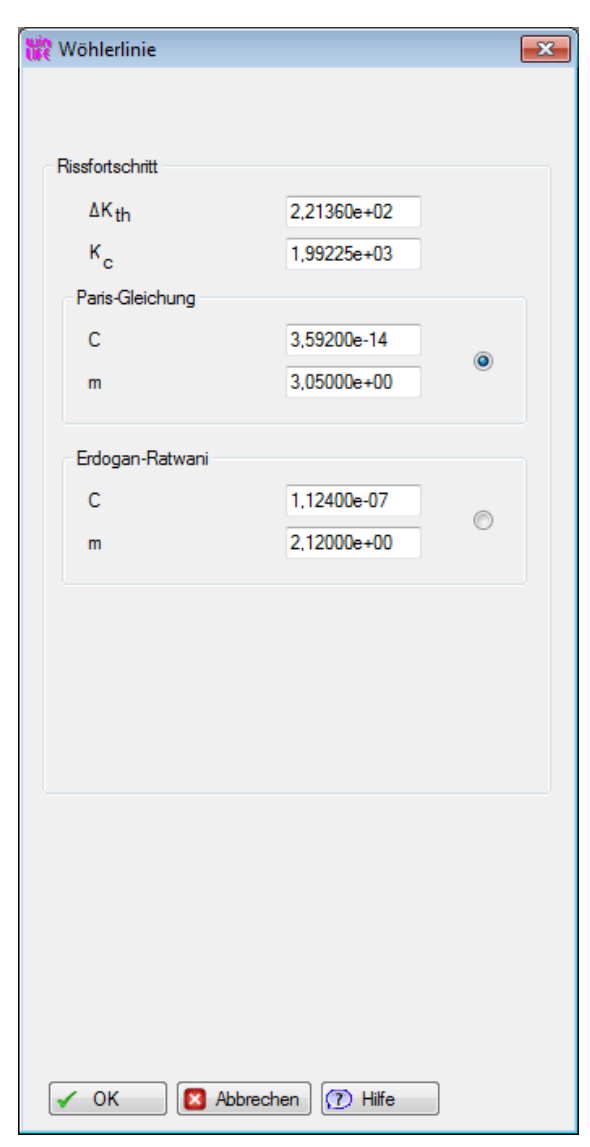


Bild 25-4: Angaben zur Rissfortschrittskurve

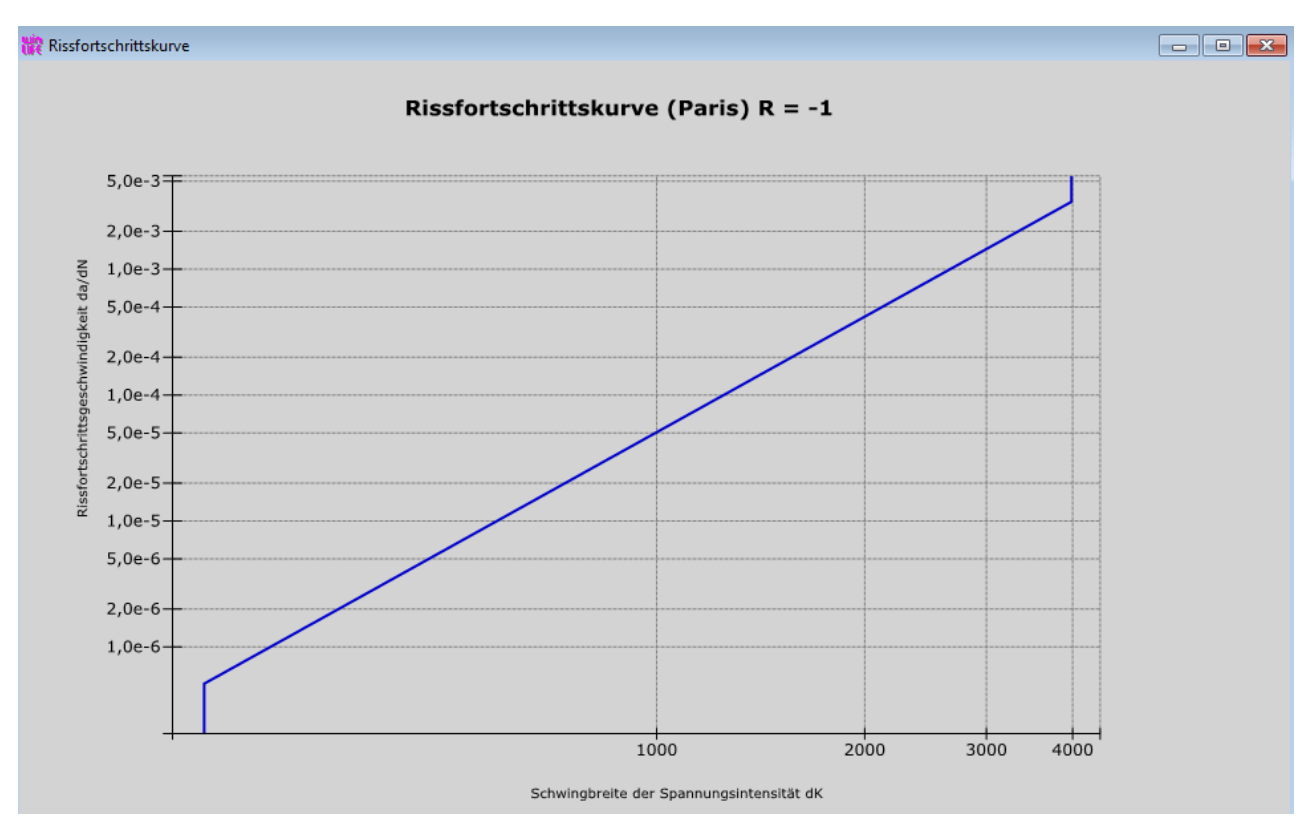


Bild 25-5: Rissfortschrittskurve nach Paris

25.1.6. Definition des Belastungsverlaufs

In diesem Beispiel wird ein wechselndes Last-Kollektiv definiert. Die Amplitude beträgt 200MPa und die Anzahl der Wiederholungen soll zunächst 10000 betragen. Das Berechnungsergebnis wird zeigen, ob diese 10000 Lastwechsel ausreichen, um die Risslänge auf 20mm zu erhöhen.

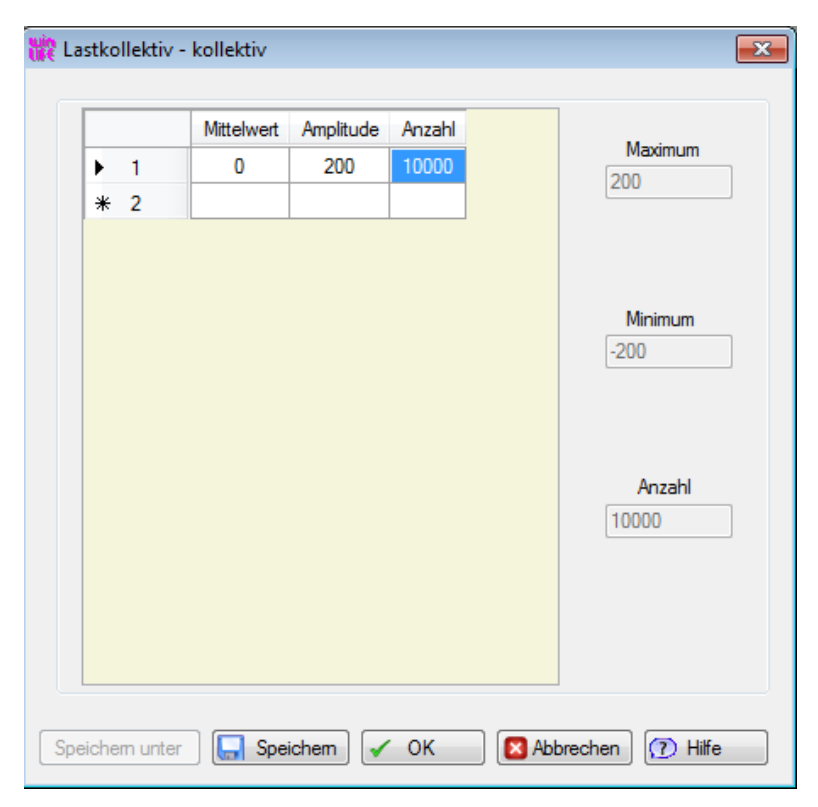


Bild 25-6: Definition eines Last-Kollektivs

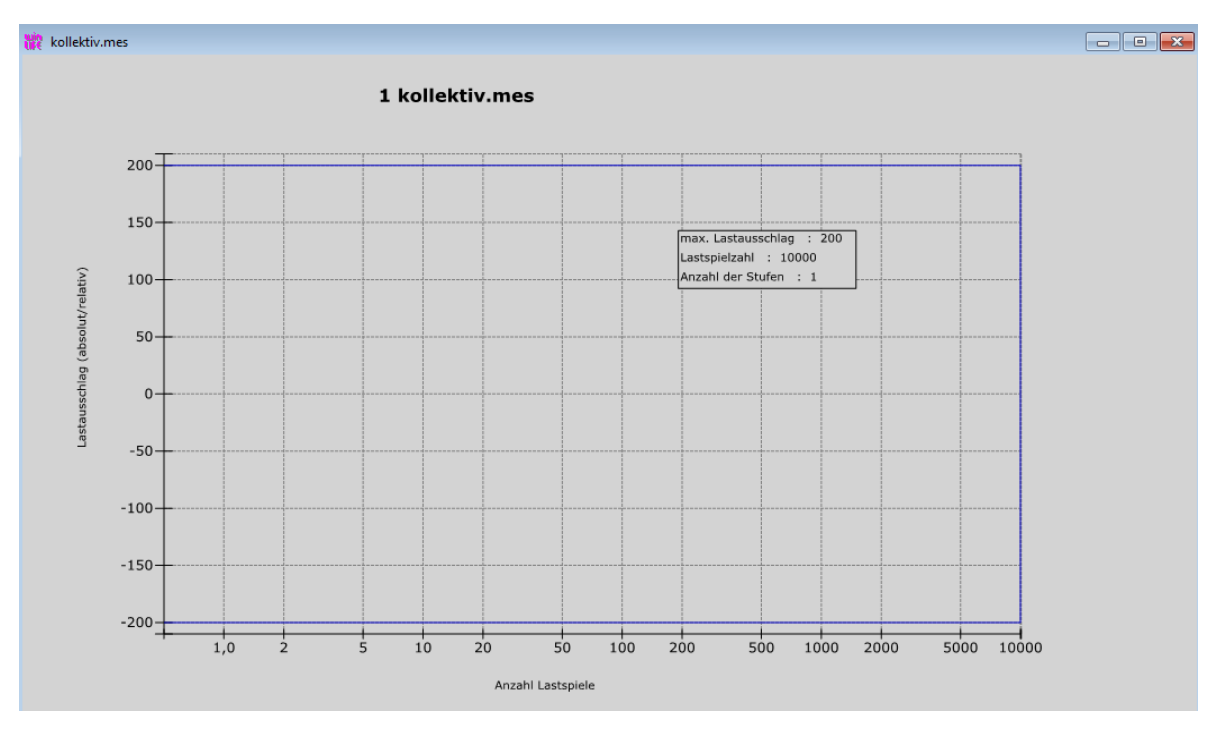


Bild 25-7: Belastungskollektiv

25.1.7. Berechnungsparameter

Die folgenden Abbildungen zeigen die gewählten Angaben und Optionen für die Berechnungsparameter.

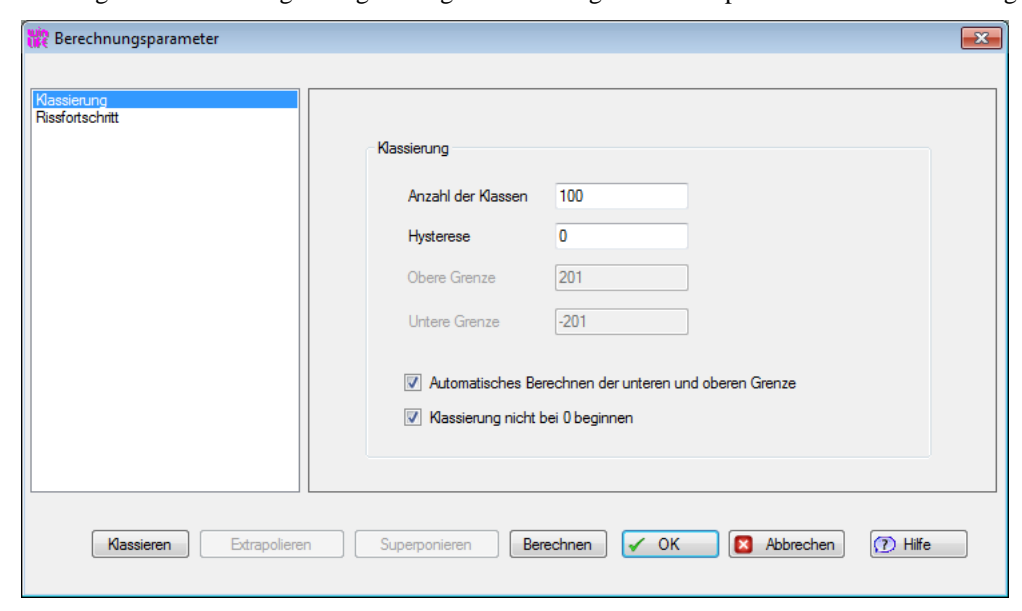


Bild 25-8: Angaben zur Klassierung

Anschließend wird unten links auf den Button Klassieren gedrückt.

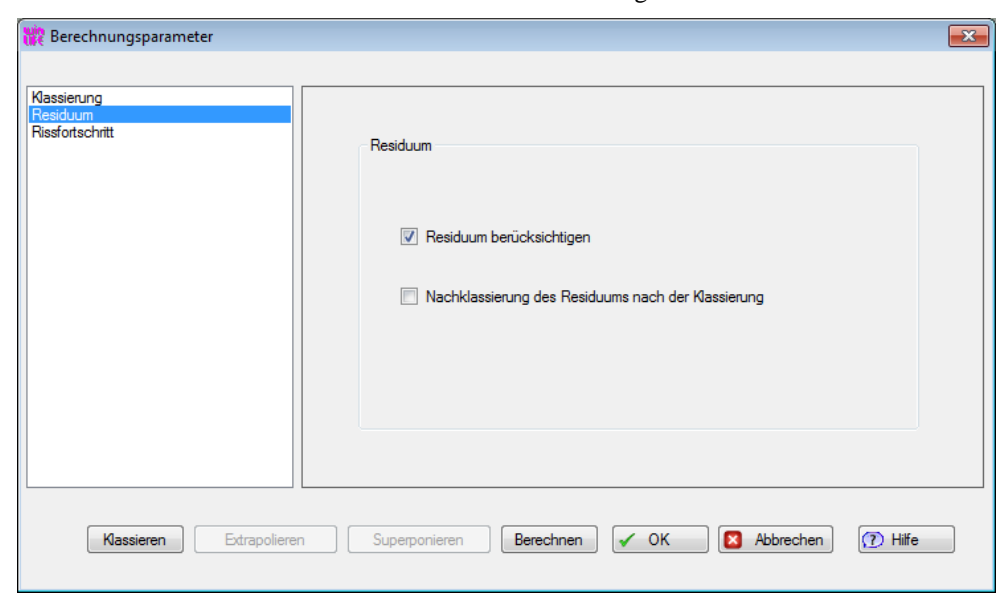


Bild 25-9: Angaben zum Residuum

Die Angaben zum Rissfortschritt enthalten u.A. die Anfangsrisslänge, in diesem Beispiel 10mm und die Endrisslänge von 20mm. Der Geometriefaktor Y ergibt sich durch Auswahl der entsprechenden Geometrie aus der Tabelle. Der Wert d der Scheibe beträgt 200mm. Der anfängliche Geometriefakor Y ergibt sich zu 1,1224.

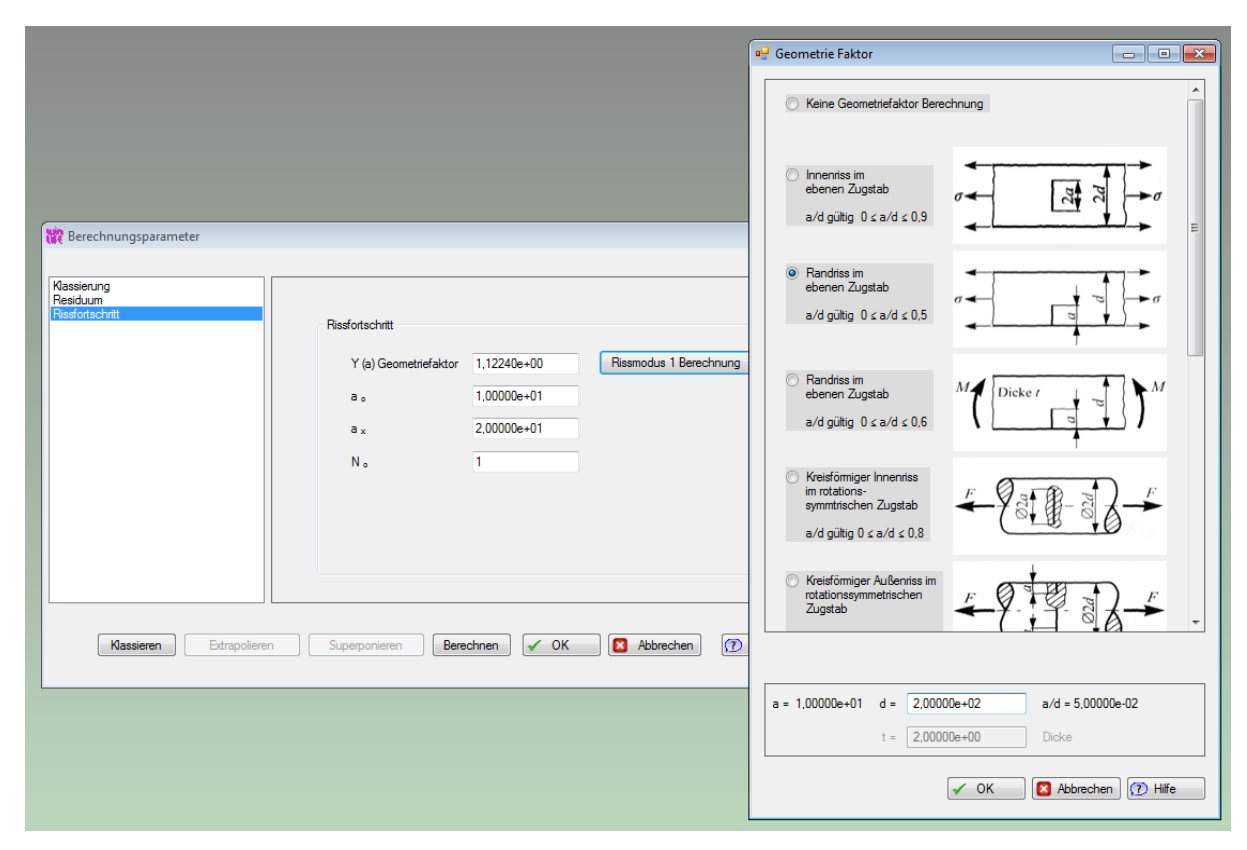


Bild 25-10: Angaben zum Rissfortschritt

25.1.8. Ergebnis nach der Paris-Gleichung

Nach 10000 Lastwechseln sind 100% der angegebenen Endrisslänge von 20mm erreicht:



Bild 25-11: Ergebnis der Rissfortschrittsberechnung

Die Rissergebniskurve stellt das Risslängenwachstum dar.

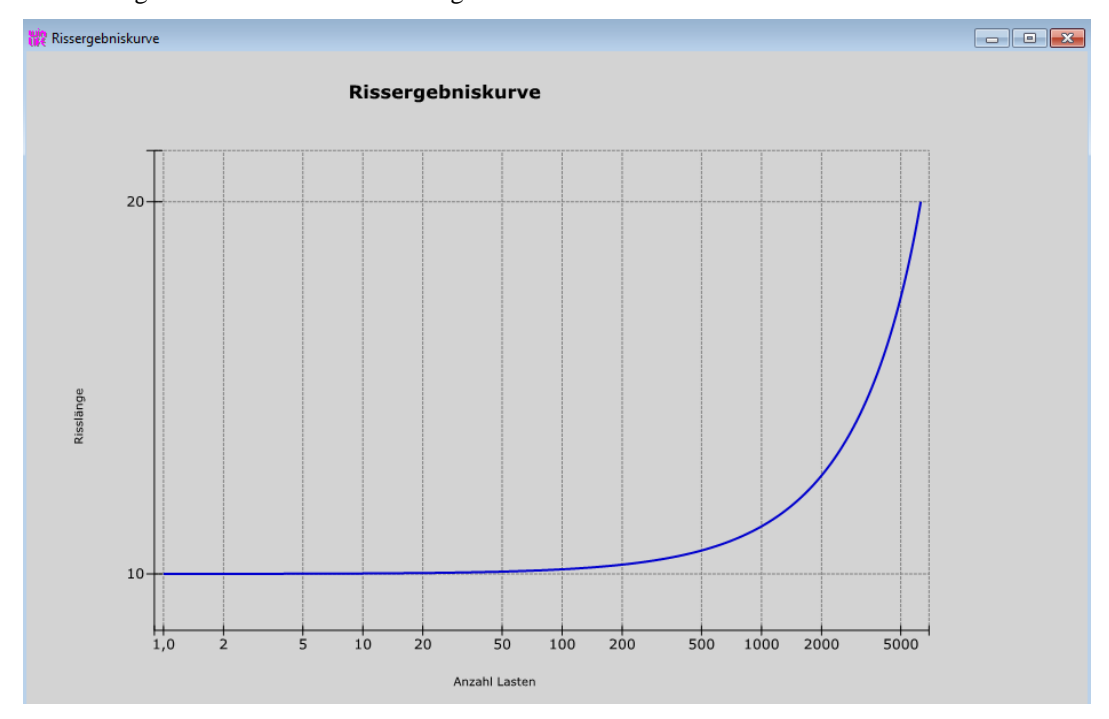


Bild 25-12: Rissergebniskurve

Das Protokoll zeigt für jedes Schwingspiel den Zuwachs der Risslänge und den sich daraus ergebenden neuen Spannungsintensitätsfaktor. Nach 6297 Schwingspielen wird die Endrisslänge von 20mm erreicht.

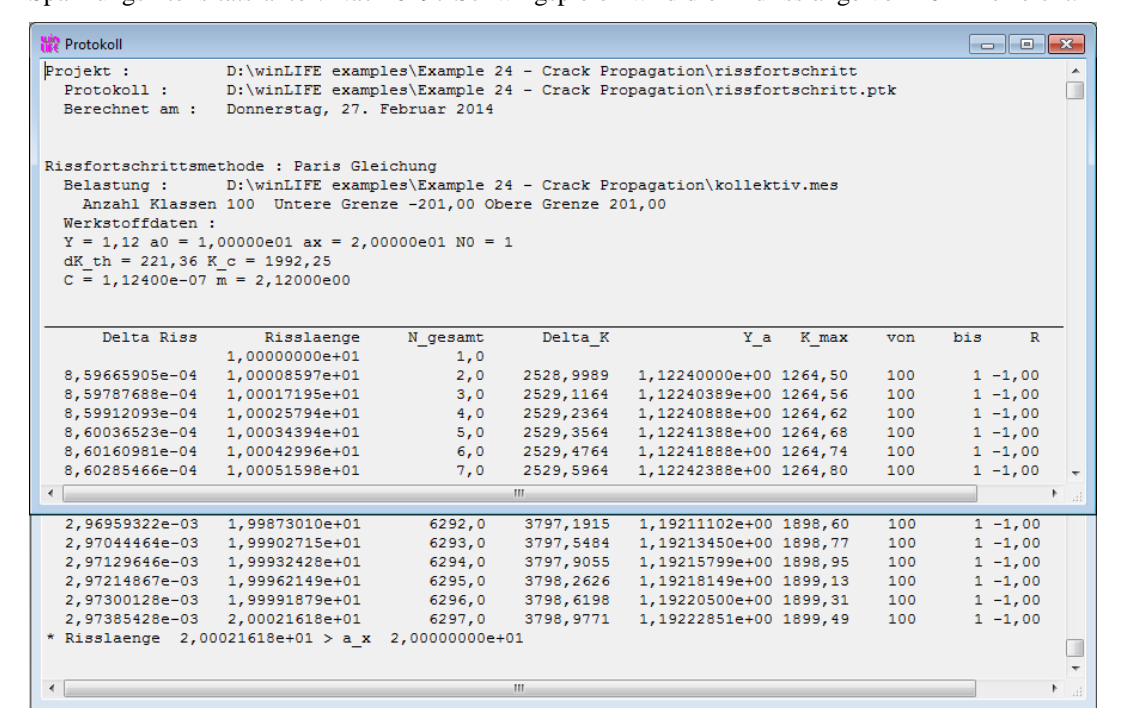


Bild 25-13: Auszug aus dem Protokoll der Rissfortschrittsberechnung

Nun soll die Belastungsanzahl auf 2000 Zyklen reduziert werden, um die dann vorliegende Risslänge zu bestimmen.

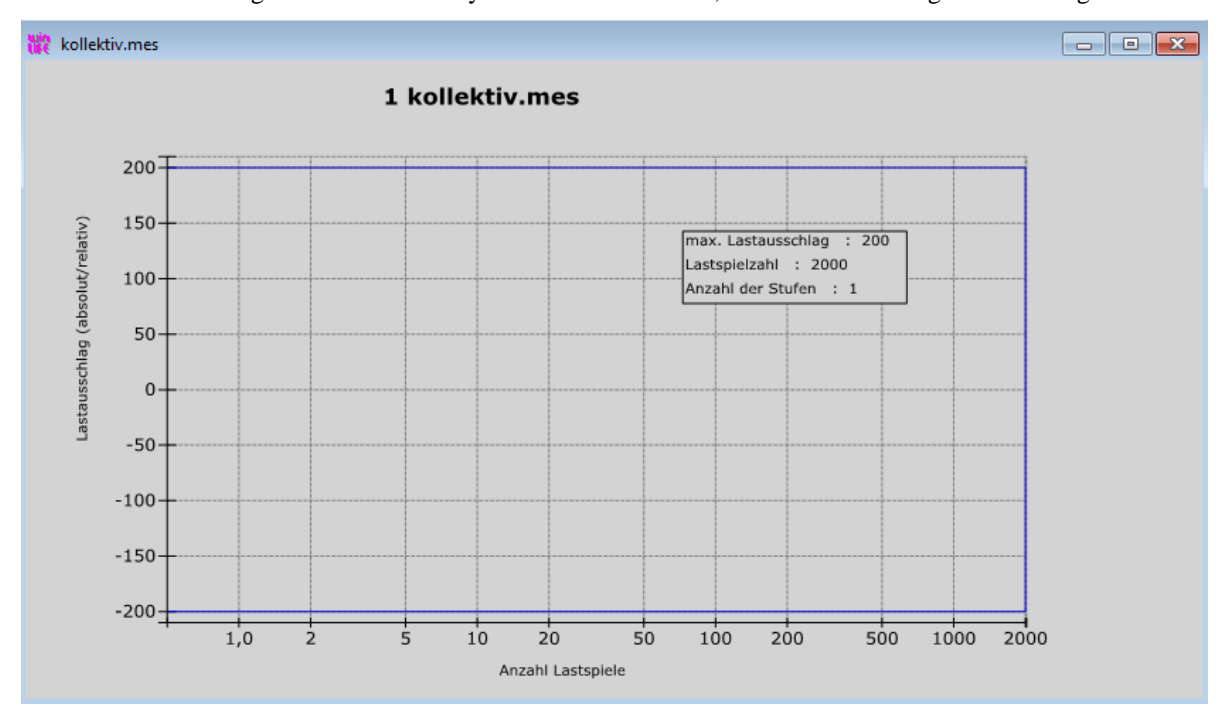


Bild 25-14: Belastungskollektiv mit 2000 Lastspielen

Nach 2000 Lastwechseln sind also 20,099% der Endrisslänge erreicht. Der Riss ist also 10mm + 2,0099mm = 12,0099mm lang. Dieses Ergebnis ist auch der Rissergebniskurve (Bild 1-12) zu entnehmen.

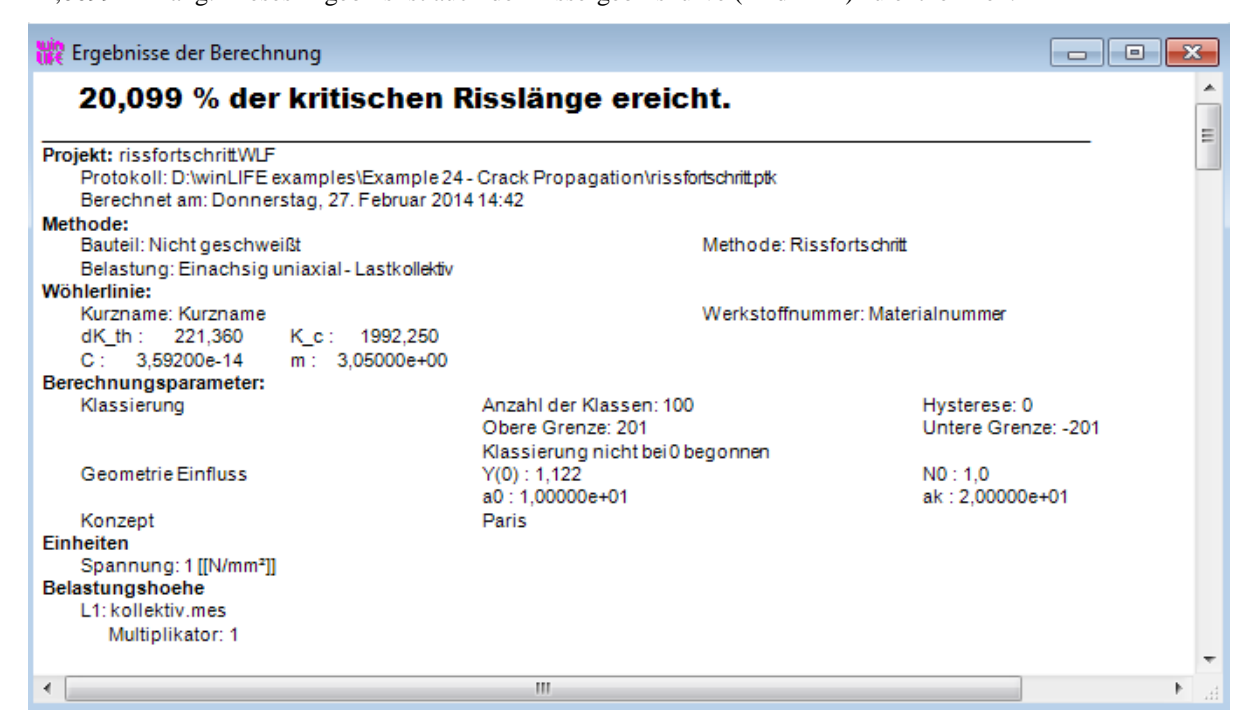


Bild 25-15: Ergebnis der Rissfortschrittsberechnung

1.3 Lebensdauerberechnung nach Erdogan-Ratwani

25.1.9. Berechnung nach Erdogan-Ratwani

Nun wird die Rissfortschrittskurve nach Erdogan-Ratwani für die Lebensdauer-Berechnung verwendet.

25.1.10. Umrechnung von Werkstoffdaten

Es liegen wie bereits weiter oben angegeben folgende Materialangaben (R = -1) der Paris-Gleichung vor:

Werkstoffname 42CrMo4

Streckgrenze $R_{p0,2} = 1050 \text{ MPa}$

kritischer Spannungsintensitätsfaktor $K_{IC} = 1992,25 \text{ Nmm}^{-3/2}$ bei Raumtemperatur

Schwellen-Spannungsintensitätsfaktor $\Delta K_{Lth} = 221,36 \text{ Nmm}^{-3/2}$

 $\label{eq:materialkonstante} \begin{array}{ll} \text{Materialkonstante} & m = 3,05 \\ \text{Materialkonstante} & C = 3,592 \cdot 10^{-14} \end{array}$

Diese Werkstoffangaben werden nun für die Verwendung der Erdogan-Ratwani Gleichung umgerechnet:

Die Paris-Gleichung wird durch folgende Funktion beschrieben:

$$\frac{da}{dN} = C \cdot (\Delta K)^m \quad \text{mit } \Delta K_{th} < \Delta K < \Delta K_c$$

Die Rissfortschrittsgleichung nach Erdogan-Ratwani lautet:

$$\frac{da}{dN} = \frac{C_2(\Delta K - \Delta K_{th})^{m_2}}{(1 - R_K)K_c - \Delta K}$$

Die Konstanten C₂ und m₂ der Erdogan-Ratwani Gleichung sollen nun bestimmt werden. Hierzu werden aus dem mittleren Bereich der Paris-Rissfortschrittskurve zwei Wertepaare gewählt:

Wertepaar 1:
$$\Delta K = 1000 \text{Nmm}^{-3/2}$$
; $\frac{da}{dN} = 5,074 \cdot 10^{-5} \frac{mm}{LZ}$

Wertepaar 2:
$$\Delta K = 1500 \text{Nmm}^{-3/2}$$
; $\frac{da}{dN} = 1,747 \cdot 10^{-4} \frac{mm}{LZ}$

Durch Einsetzen der Wertepaare in die Gleichung nach Erdogan-Ratwani ergeben sich zwei Gleichungen mit den unbekannten Parametern C_2 und m_2 :

Gleichung 1 für Wertepaar 1:
$$5,074 \cdot 10^{-5} \frac{mm}{LZ} = \frac{C_2 (1000 Nmm^{-3/2} - 221,36 Nmm^{-3/2})^{m_2}}{(1 - (-1)) \cdot 1992,25 Nmm^{-3/2} - 1000 Nmm^{-3/2}}$$

$$5,074 \cdot 10^{-5} \frac{mm}{LZ} = \frac{C_2 (778,64Nmm^{-3/2})^{m_2}}{2984,5Nmm^{-3/2}}$$
 mit $R_K = -1$

Gleichung 2 für Wertepaar 2:
$$1,747 \cdot 10^{-4} \frac{mm}{LZ} = \frac{C_2 (1500 Nmm^{-3/2} - 221,36 Nmm^{-3/2})^{m_2}}{(1 - (-1)) \cdot 1992,25 Nmm^{-3/2} - 1500 Nmm^{-3/2}}$$

$$1,747 \cdot 10^{-4} \frac{mm}{LZ} = \frac{C_2 (1278,64Nmm^{-3/2})^{m_2}}{2484.5Nmm^{-3/2}} \quad \text{mit } R_K = -1$$

Die Unbekannten C_2 und m_2 werden nun bestimmt. Dazu wird die Gleichung 1 nach C_2 aufgelöst:

$$C_2 = \frac{5,074 \cdot 10^{-5} \frac{mm}{LZ} \cdot 2984,5 Nmm^{-3/2}}{(778,64 Nmm^{-3/2})^{m_2}}$$

und in die Gleichung 2 eingesetzt:

$$1,747 \cdot 10^{-4} \frac{mm}{LZ} = \frac{5,074 \cdot 10^{-5} \frac{mm}{LZ} \cdot 2984,5Nmm^{-3/2}}{(778,64Nmm^{-3/2})^{m_2}} \cdot \frac{(1278,64Nmm^{-3/2})^{m_2}}{2484,5Nmm^{-3/2}}$$

$$1,747 \cdot 10^{-4} \frac{mm}{LZ} = \frac{5,074 \cdot 10^{-5} \frac{mm}{LZ} \cdot 2984,5Nmm^{-3/2}}{2484,5Nmm^{-3/2}} \cdot \frac{(1278,64Nmm^{-3/2})^{m_2}}{(778.64Nmm^{-3/2})^{m_2}}$$

$$1,747 \cdot 10^{-4} \frac{mm}{LZ} = 6,095 \cdot 10^{-5} \frac{mm}{LZ} \cdot \left(\frac{1278,64Nmm^{-3/2}}{778,64Nmm^{-3/2}}\right)^{m_2}$$

$$\frac{1,747 \cdot 10^{-4} \frac{mm}{LZ}}{6,095 \cdot 10^{-5} \frac{mm}{LZ}} = \left(\frac{1278,64Nmm^{-3/2}}{778,64Nmm^{-3/2}}\right)^{m_2}$$

$$2,866 = 1,642^{m_2}$$

$$m_2 = \frac{\log 2,866}{\log 1.642} = 2,12$$

Für den Parameter C_2 , folgt:

$$C_2 = \frac{5,074 \cdot 10^{-5} \frac{mm}{LZ} \cdot 2984,5 Nmm^{-3/2}}{(778,64 Nmm^{-3/2})^{2,12}} = 1,124 \cdot 10^{-7}$$

Für die Anwendung der Erdogan-Ratwani Gleichung können somit folgende Materialangaben verwendet werden:

Werkstoffname 42CrMo4

kritischer Spannungsintensitätsfaktor $K_{IC} = 1992,25 \text{ Nmm}^{-3/2}$ bei Raumtemperatur

Schwellen-Spannungsintensitätsfaktor $\Delta K_{I,th} = 221,36 \text{ Nmm}^{-3/2}$

Materialkonstante $m_2 = 2,12$ Materialkonstante $C_2 = 1,124 \cdot 10^{-7}$

25.1.11. Ergebnis nach Erdogan-Ratwani

Unter Verwendung des Lastkollektivs mit der Schwingspielzahl von 10000 Zyklen, wird die Rissfortschrittsberechnung nach Erdogan-Ratwani durchgeführt.

Das Ergebnis zeigt, dass nach 3707 Lastwechseln die Endrisslänge von 20mm erreicht ist. Zum Vergleich: unter Verwendung der Paris-Gleichung beträgt die Lastwechselzahl 6297 Zyklen, um die Risslänge von 20mm zu erreichen.

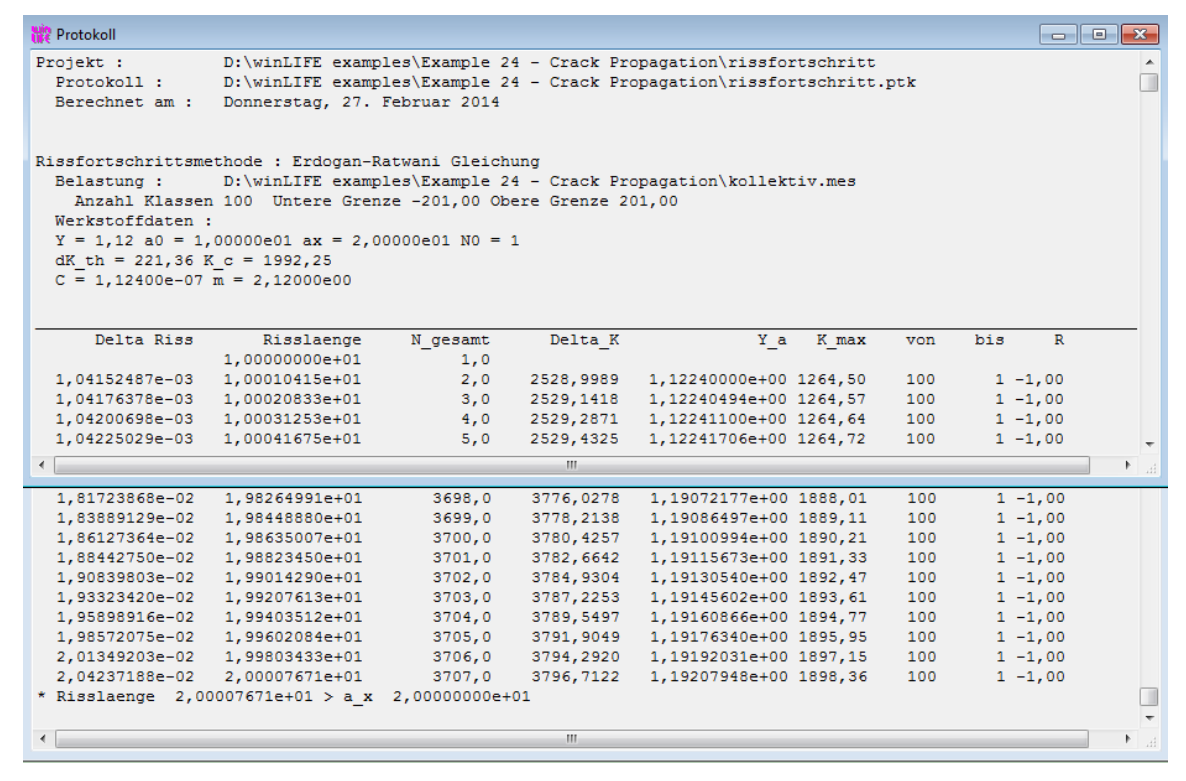


Bild 25-16: Protokoll, Berechnung nach Erdogan-Ratwani

Nun wird das Lastkollektiv auf 2000 Lastwechsel geändert. Die Rissfortschrittsberechnung nach Erdogan Ratwani ergibt für die Endrisslänge ca. 12,7932mm. Wie oben bereits ermittelt, ergibt die Berechnung nach Paris eine Endrisslänge von ca. 12,0099mm.



Bild 25-17: Berechnungsergebnis nach Erdogan-Ratwani

1.4 Zusammenfassung der Lebensdauerberechnung

Die folgende Tabelle stellt die Ergebnisse der oben durchgeführten Berechnungen zusammen. In dem hier gezeigten Beispiel wird die Endrisslänge von 20mm nach Erdogan-Ratwani früher erreicht als nach Paris. Ebenfalls zeigt sich, dass der Riss für eine Berechnung nach Erdogan-Ratwani nach 2000 Zyklen eine größere Länge aufweist. Diese Ergebnisse müssen jedoch nicht repräsentativ sein für andere Fragestellungen.

| Rissfortschrittsberechnung | nach Paris | nach Erdogan-Ratwani |
|--------------------------------------------------|------------|----------------------|
| Lastwechselzahl bis 20mm Risslänge erreicht wird | 6297 | 3707 |
| Risslänge nach 2000 Zyklen | 12,01mm | 12,79mm |

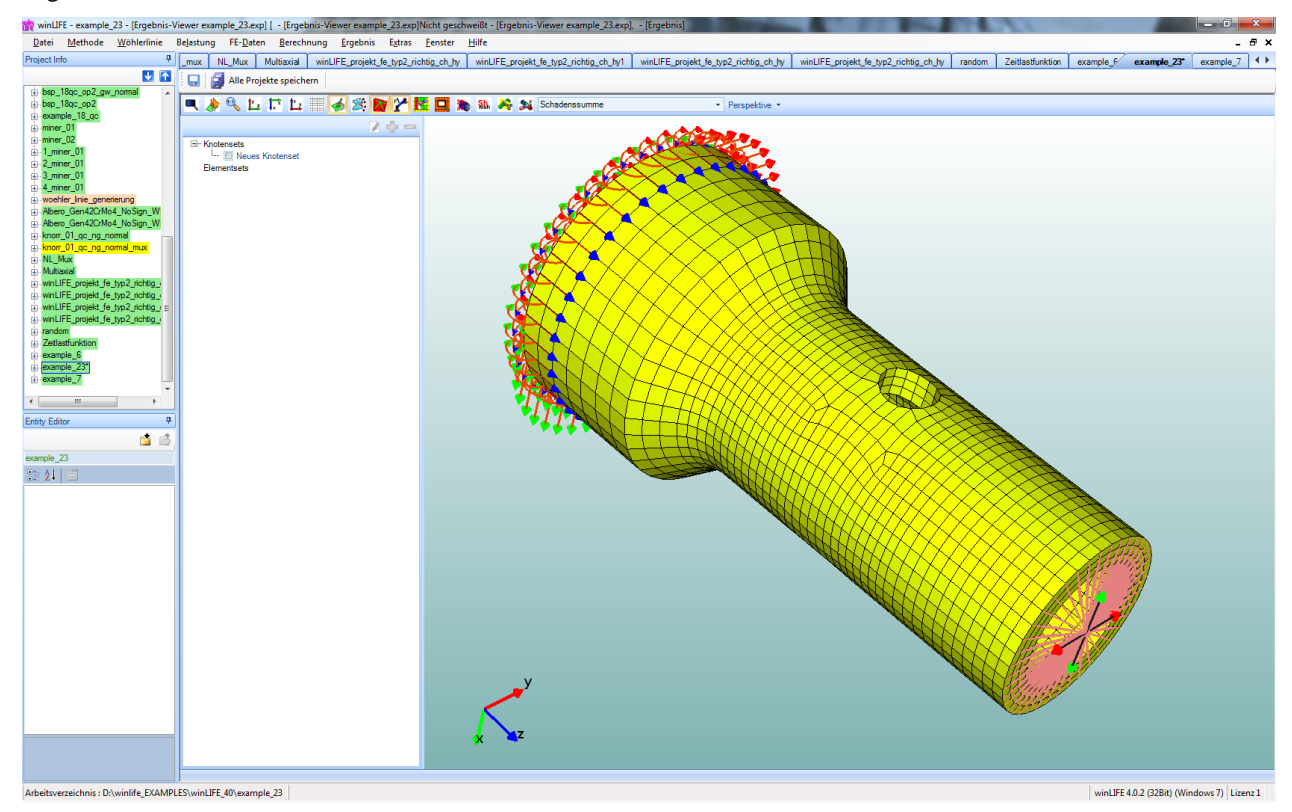
Vergleich der Ergebnisse nach Paris und nach Erdogan-Ratwani

26. Beispiel 25 / Einführung in den winLIFE Viewer

Hinweis: Dieses Beispiel ist als Video Datei auf unserer Homepage und auf CD vorhanden. Alle Daten – auch die Daten des FEMAP/NASTRAN Modells – befinden sich auf der winLIFE 4.0 -CD.

Die folgende Einführung in den VIEWER4WINLIFE basiert auf dem Beispiel 23 - der rotierenden Welle.

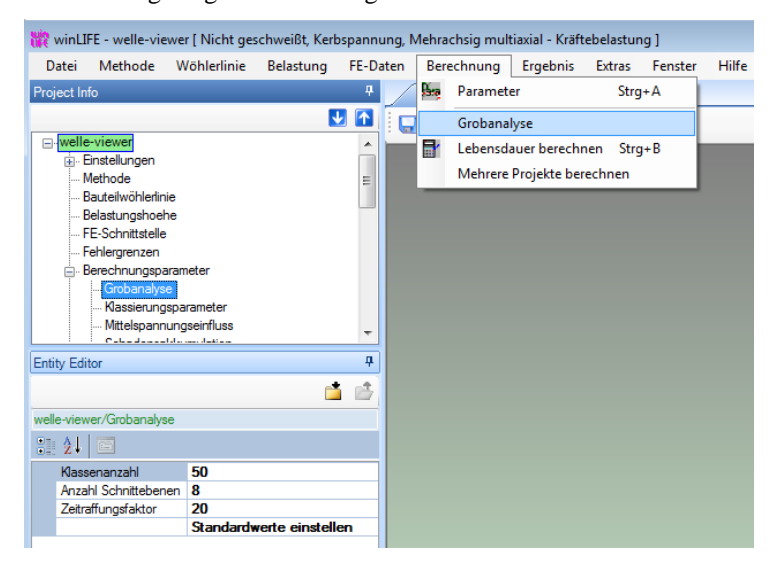
Es empfiehlt sich, das zugehörige Video anzuschauen, da dort die Menüfolge im VIEWER4WINLIFE festgehalten ist. Die untere Abbildung zeigt im Viewer das FE-Modell der Welle mit den Lagerungsbedingungen und Kräften OHNE Ergebnisse.



Darstellung des Modells mit Lasten und Randbedingungen im VIEWER4WINLIFE

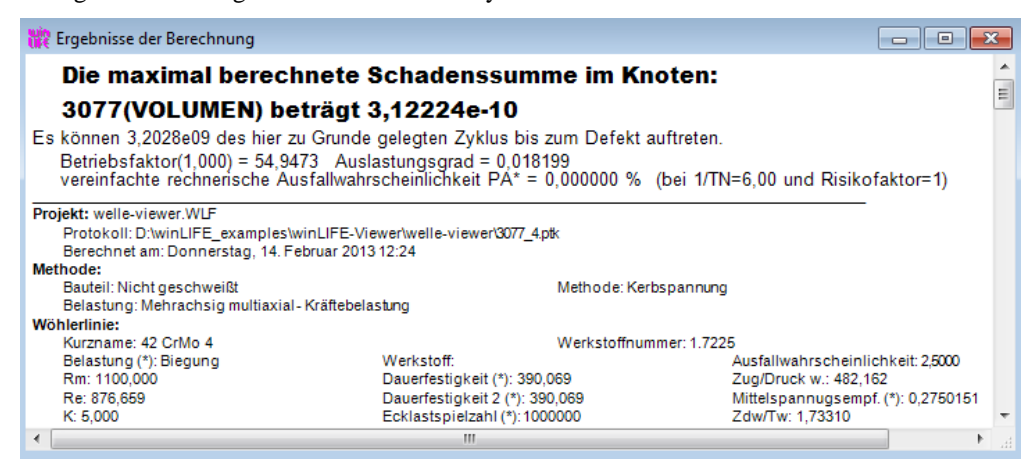
26.1. Berechnung aller Knoten der Oberfläche

In der ersten winLIFE 4.0 Berechnung wird eine Grobanalyse von allen Knoten des Modells durchgeführt. Hierzu werden die gezeigten Einstellungen verwendet.



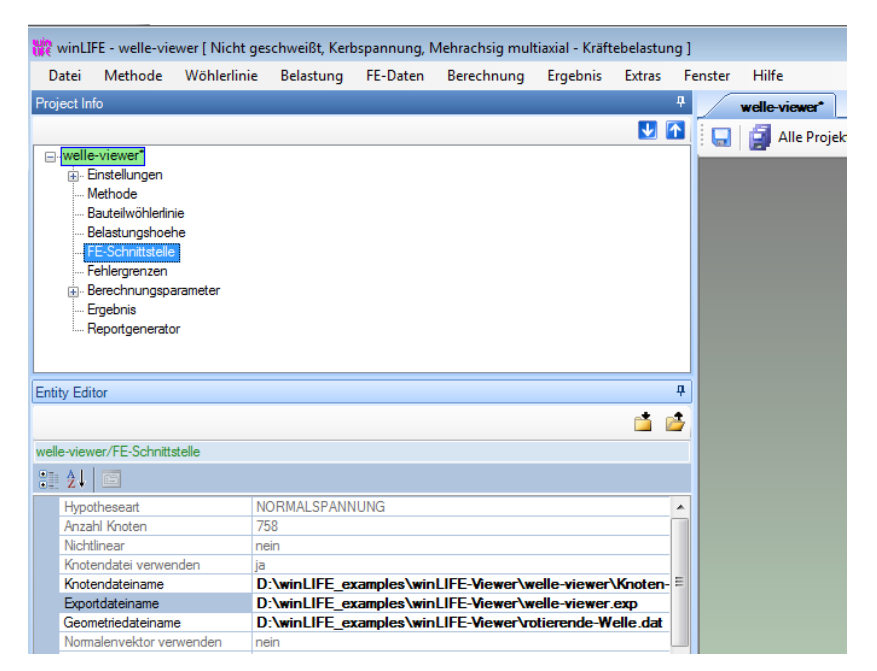
Einstellung der Grobanalyse

Es ergibt sich als Ergebnis für die Grobanalyse:



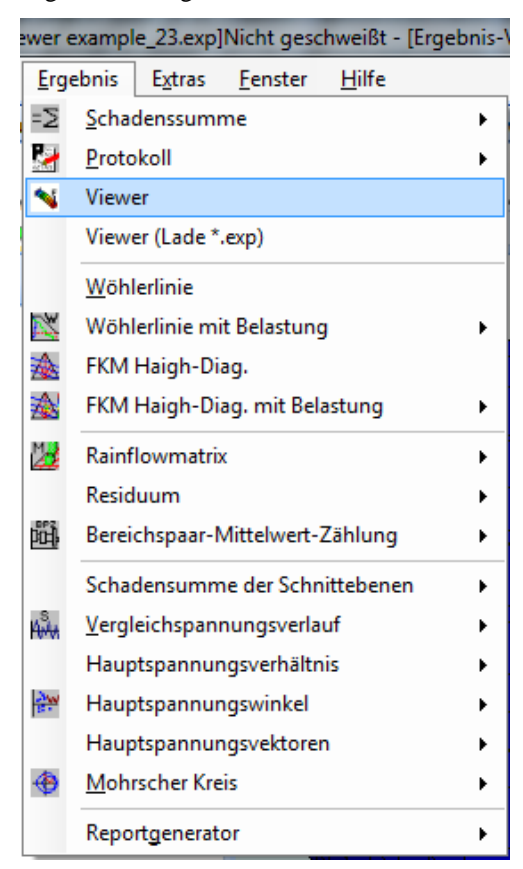
Ergebnis der Grobanalyse

Der Viewer benötigt für die Darstellung die winLIFE 4.0 Ergebnisdatei (*.exp) und beispielsweise die Nastran Input Datei (*.dat). Die Pfade zu diesen beiden Dateien werden, soweit es noch nicht automatisch erfolgt ist, im Menü FE-Schnittstelle eingetragen.



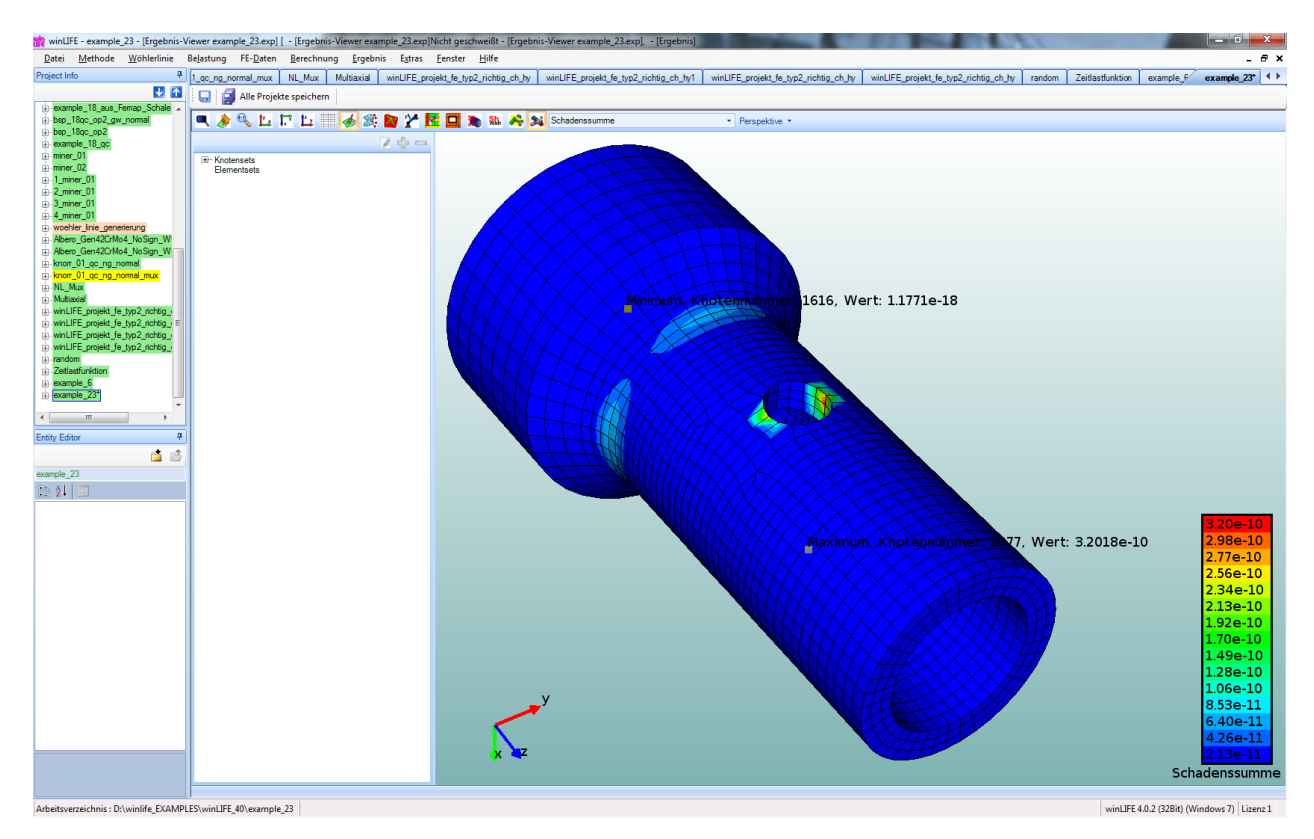
Angaben im Menü FE-Schnittstelle

Die Berechnungsergebnisse können nun in winLIFE 4.0 visualisiert werden. Hierzu wird der Befehl Viewer aus dem Ergebnismenü gewählt.



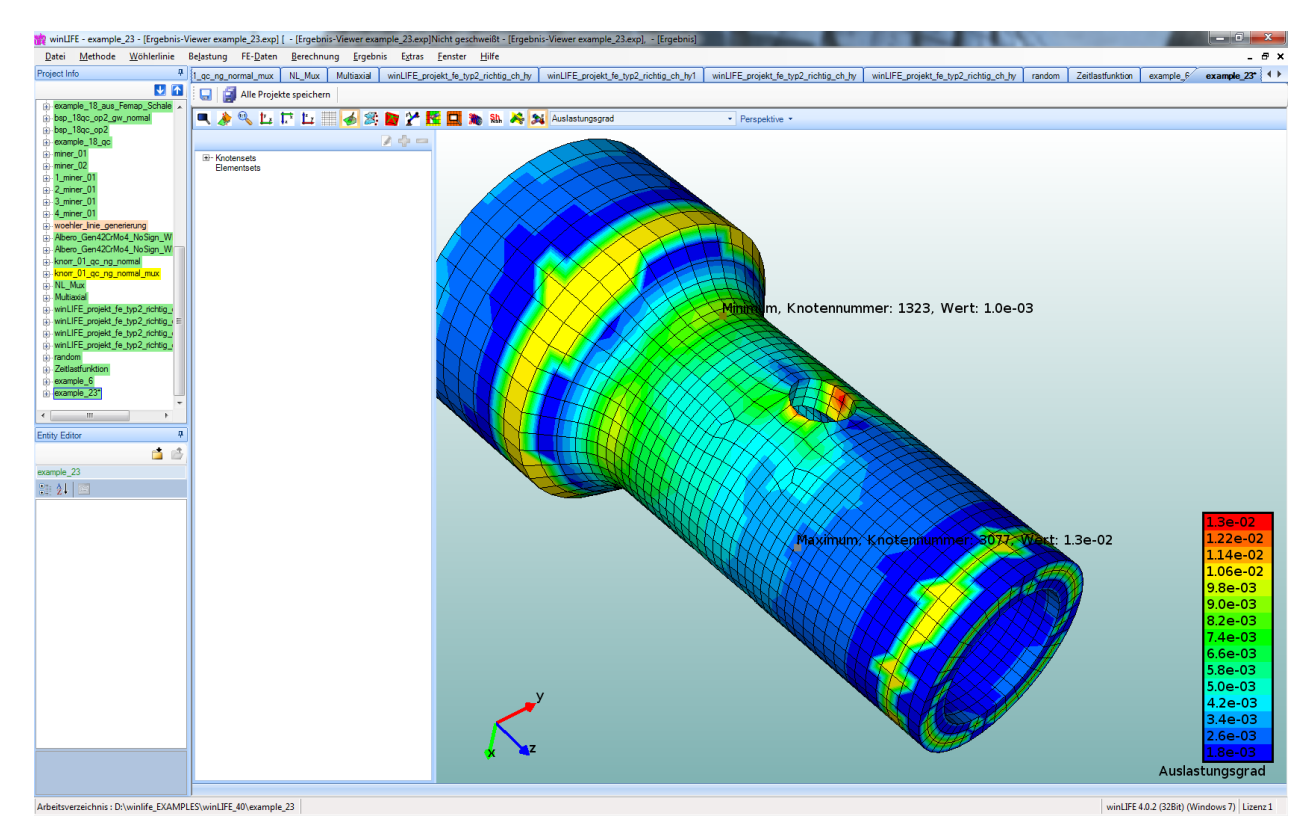
Aufruf des VIEWER4WINLIFE

Die Ergebnisse zeigen im Bereich der Querbohrung die höchsten Schadenssummen. Neben der Schadenssumme können auch die äquivalenten Amplituden oder der Auslastungsgrad gewählt werden.



Darstellung der Schadenssumme im VIEWER4WINLIFE

In folgender Abbildung ist der Auslastungsgrad gezeigt. Auch in dieser Darstellung ist die Querbohrung als kritische Stellen zu bewerten.



Darstellung des Auslastungsgrads im VIEWER4WINLIFE

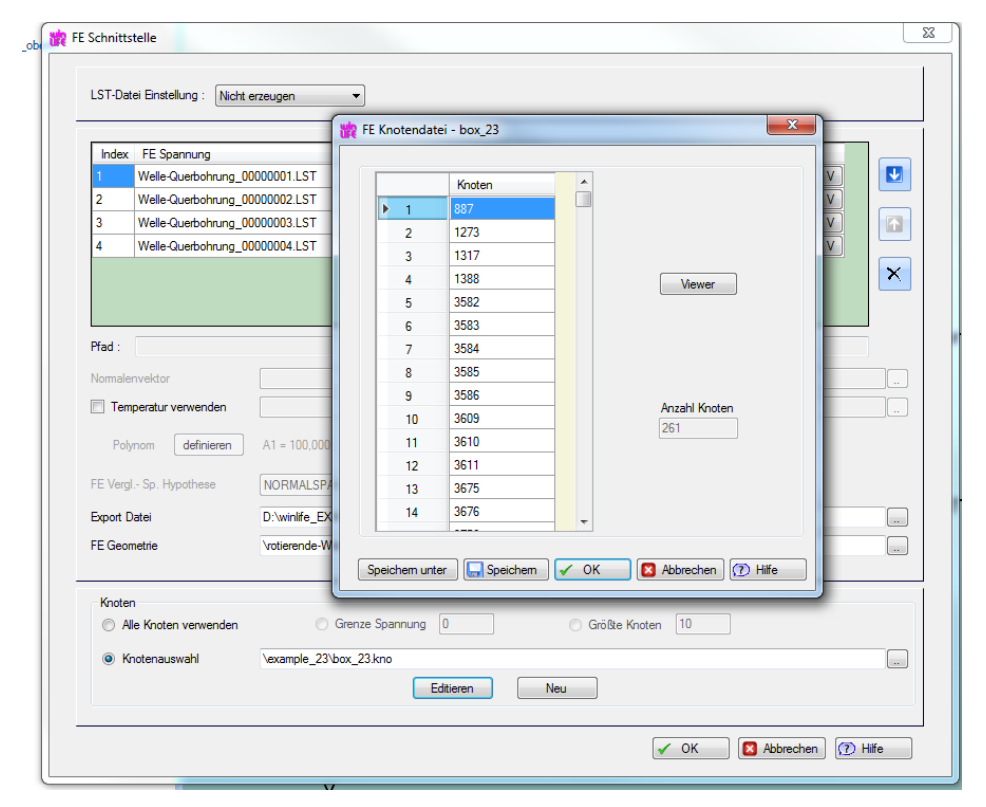
26.2. Berechnung einer Knotenauswahl

In vielen Fällen ist eine Berechung nur weniger, ausgewählter Knoten oder Elemente sinnvoll, da so die Rechenzeit reduziert werden kann. Dazu soll ein Knotenset aus dem Bereich der Querbohrung erzeugt werden. Nur mit diesen Knoten wird in winLIFE 4.0 dann eine Lebensdauerberechnung durchgeführt.

Dazu wird im Menü

FE-Daten

Angeklickt und es erscheint die Maske FE-Schnittstelle. Dort wird der Menüpunkt Knotenauswahl markiert.



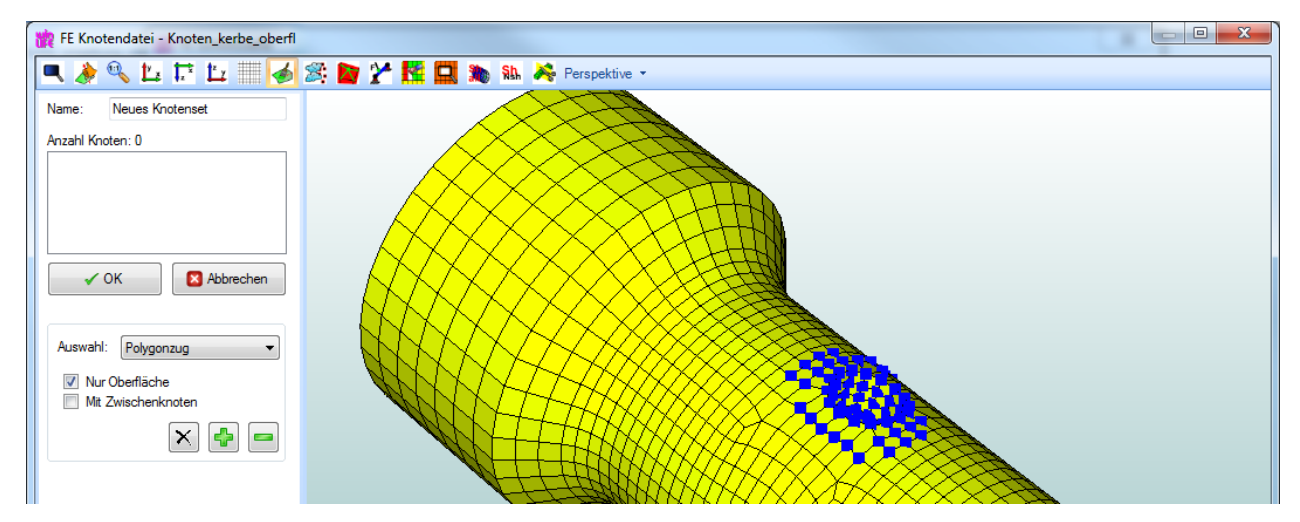
Maske zur Auswahl einzelner Knoten

Es erscheint dann das folgende Bild. Eine bereits existierende Auswahl (hier box_23.kno) wird angezeigt. Wir wollen aber eine neue Auswahl erzeugen und wählen dazu *Viewer* und es wird das im Projekt gewählte Modell angezeigt.

Wir klicken das grüne *Plus* an und das Aussehen des Auswahlfensters ändert sich. Anklicken des Button *Deaktiviert* öffent eine Auswahlbox und wir markieren *Polygonzug*.

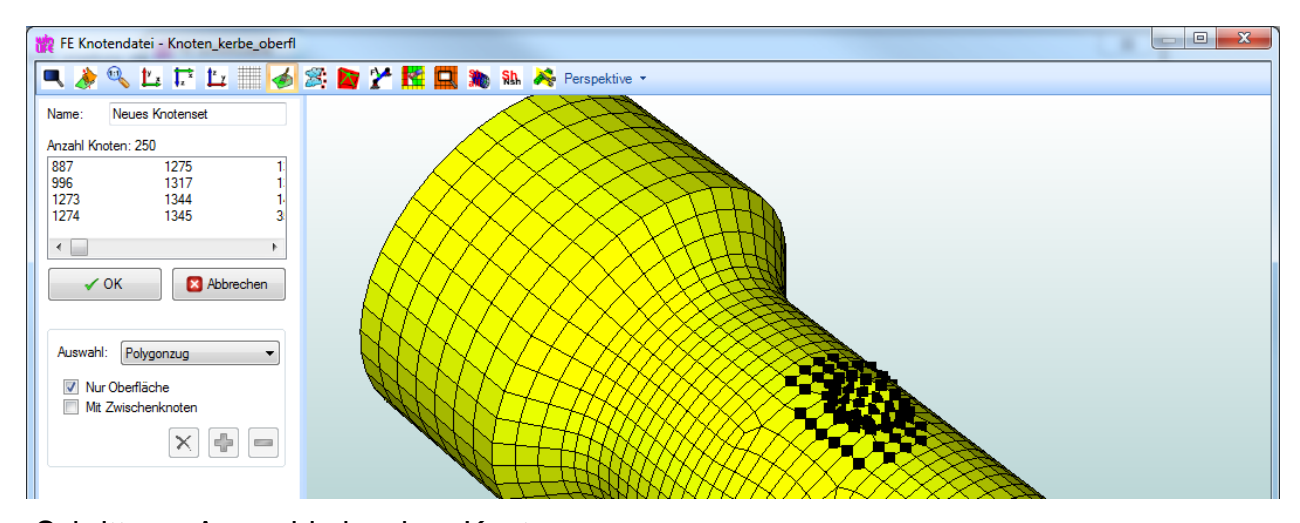


Durch punktweises Anklicken erzeugen wir einen Linienzug um die Bohrung herum, markieren das Kästchen *Nur Oberfläche* . Nach Drücken der rechten Maustaste und Auswahl OK erscheint folgendes Bild.



Schritte zu Auswahl einzelner Knoten

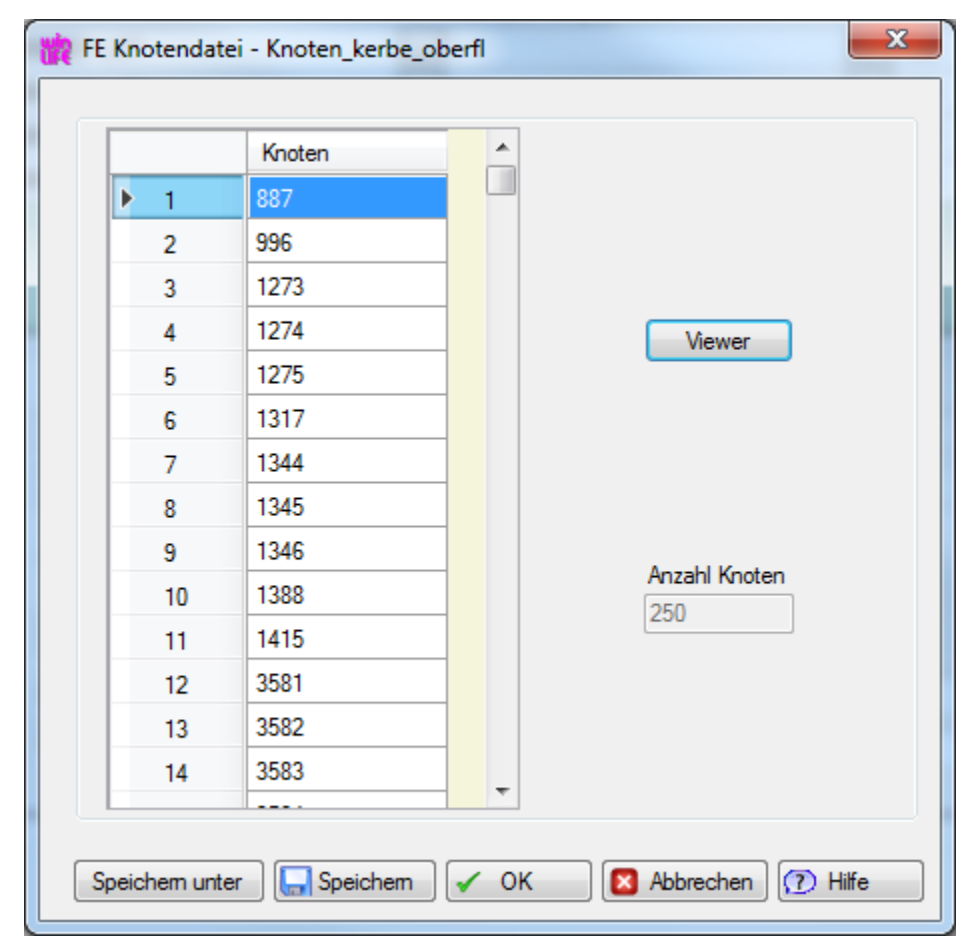
Durch Klicken auf das grüne Plus werden die gewählten Knoten in das Auswahlfenster übernommen (s. nächstes Bild).



Schritte zu Auswahl einzelner Knoten

Wir ändern noch den Namen des Knotensets indem wir *neues Knotenset* durch *Knoten_kerbe_oberfl* ersetzen. Die endgültige Übernahme der Daten erfolgt durch Schließen des Fensters (oben rechts *x* anklicken).

Nach Verlassen des Viewers erschent eine Tabelle mit allen gewählten Knoten (nächstes Bild), die wir nun unter dem Namen **Knoten_kerbe_oberfl.kno** abspeichern.

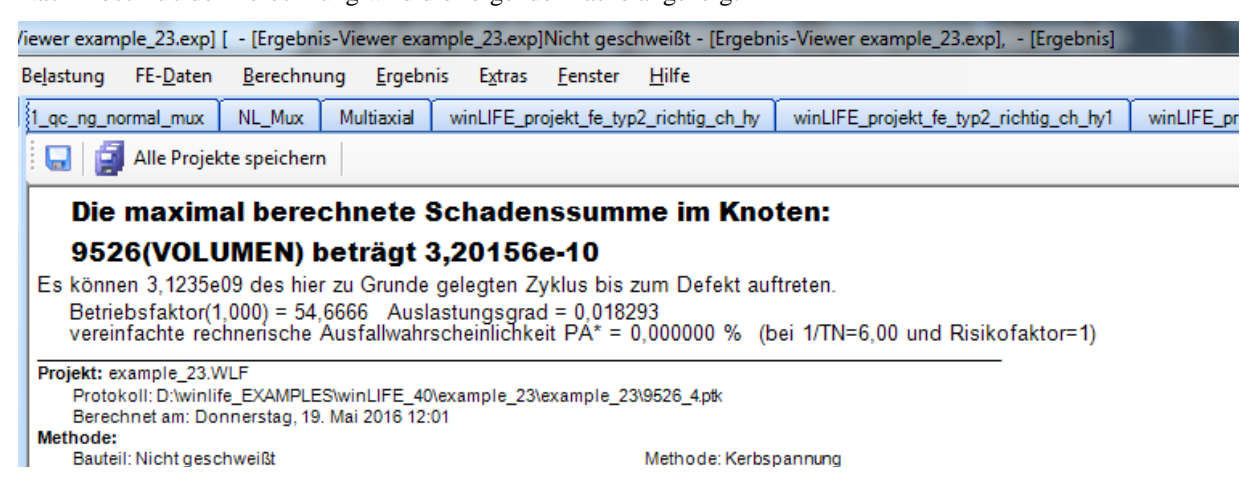


Ergebnis der Auswahl als Knotenliste

Eine erneute Berechnung nur für diese Knoten starten wir durch

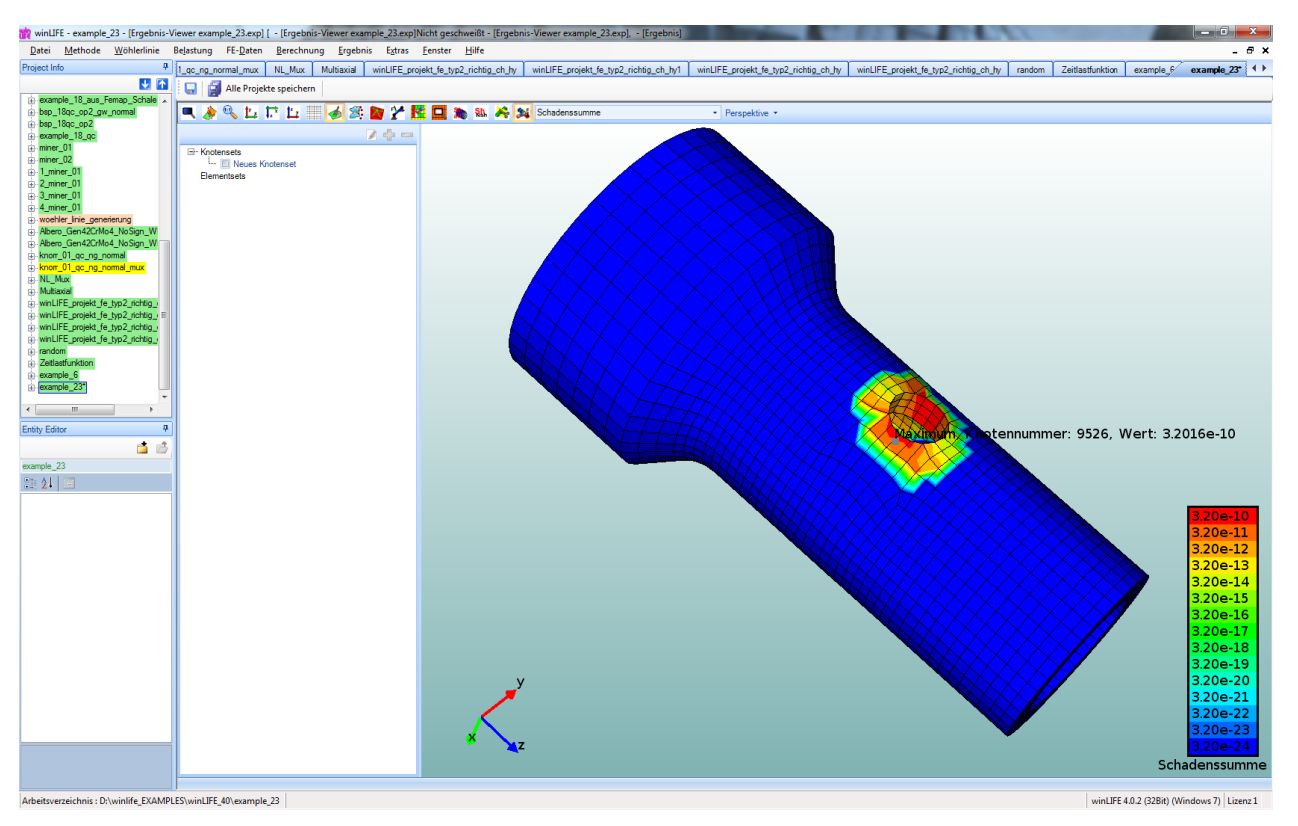
Berechnung / Lebensdauer Berechnen

Nach Abschluß der Berechnung wird die folgende Maske angezeigt



Ergebnisfenster nach Abschluß der Berechnung

Wir wählen nach Abschluß der Berechnung *Ergebnis /Viewer* und sehen nun die Ergebnisse, die nun nur für die gewählten Knoten erzeugt wurden.



grafische Ergebnisdarstellung der Berechnung der ausgewählten Knoten

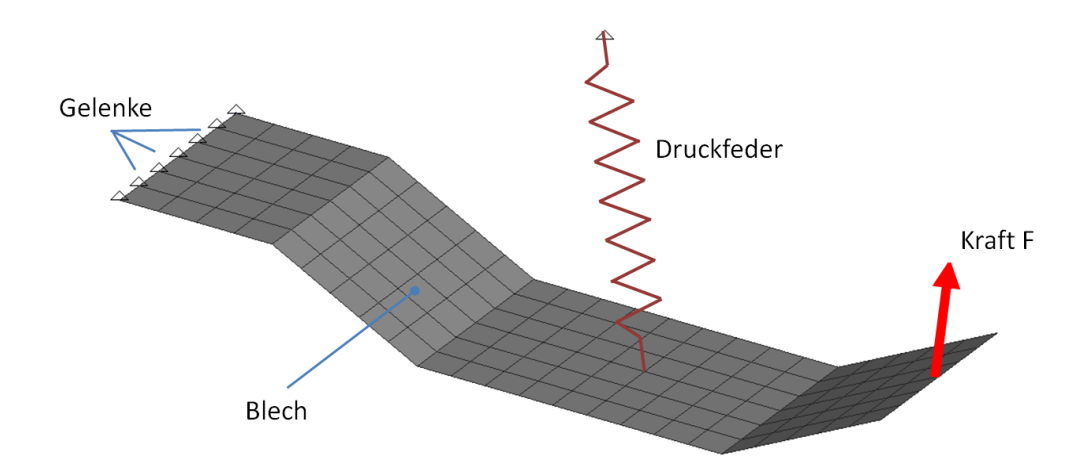
27. Beispiel 26 / Nichtlinearität eines Federblechs

Hinweis: Dieses Beispiel ist als Video Datei auf unserer Homepage und auf CD vorhanden. Alle Daten – auch die Daten des FEMAP/NASTRAN Modells – befinden sich auf der winLIFE 4.0 -CD.

27.1. Aufgabenstellung

27.1.1. Bauteilgeometrie

In dieser Aufgabe wird ein Federblech hinsichtlich seiner Festigkeit untersucht. Dabei soll das nichtlineare Verhalten der Struktur unter großen Verformungen berücksichtigt werden. Die am rechten Rand des Blechs wirkende Kraft (rot) bewegt das Blech nach oben. Das linke Ende des Blechs ist drehbar gelagert. Eine Feder wirkt der Bewegung des Blechs entgegen.



Geometrie des Federblechs

27.1.2. Werkstoffdaten

Als Werkstoffe werden niedrigfeste Stähle der Gruppe S235JR verwendet.

Werkstoffname: S235JR

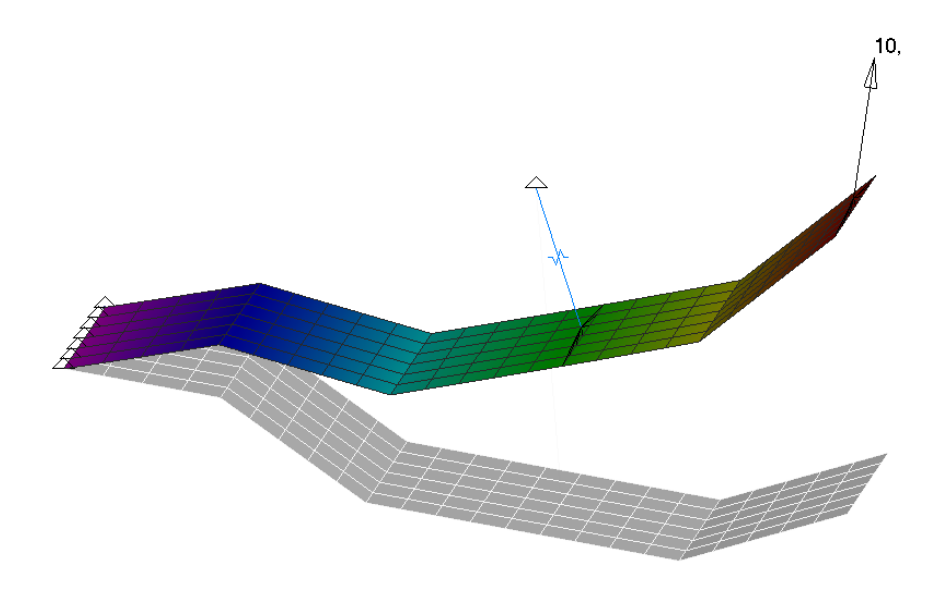
E-Modul: ca. 210.000 MPa

 $\begin{array}{ll} \text{Re} & \qquad \geq 235 \text{ MPa} \\ \text{Rm} & \qquad \geq 360 \text{ MPa} \end{array}$

Querkontraktionszahl: 0,3

27.1.3. Modellbildung

Das Modell ist in Femap aus ebenen Schalen-Elementen (plates) aufgebaut. Die Verformung unter der maximal wirkenden Last von 10N zeigt folgendes Bild. Die Verformung ist von Ihrer Größe her realistisch dargestellt.



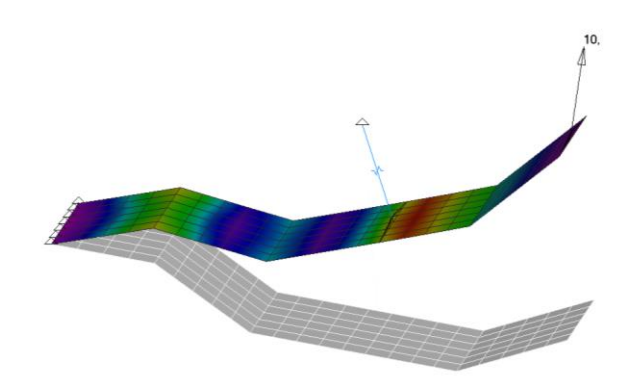
Verformung unter der größten Last

27.1.4. Bauteilbelastung

Am Enden der Struktur wirkt eine zeitlich veränderliche Last. Wir werden eine schwellende Belastung untersuchen. Die Last wird für die nichtlineare FE-Analyse schrittweise auf die Struktur gegeben.

| Lastfall | Belastungsart | Höchste Kraft |
|----------|---------------|---------------------|
| 1 | Zugkraft | max. Kraft F = 10 N |

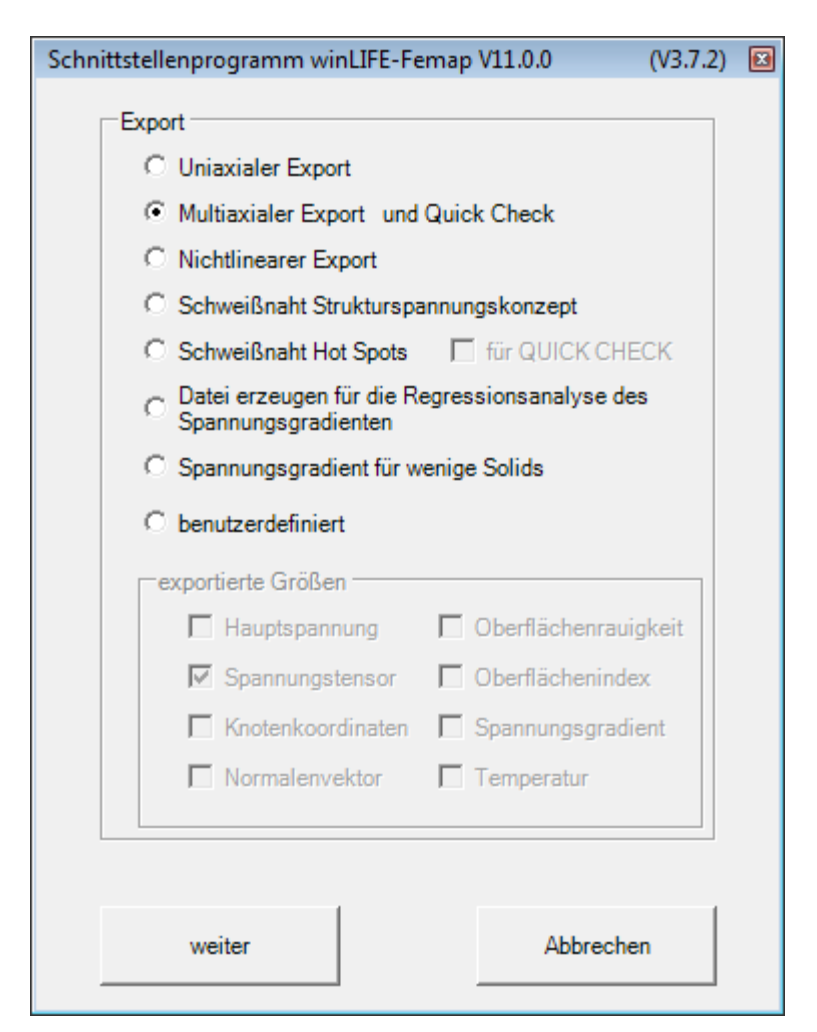
Die sich ergebenden Vergleichsspannungen für die maximale Kraft sind in folgender Abbildung gezeigt.



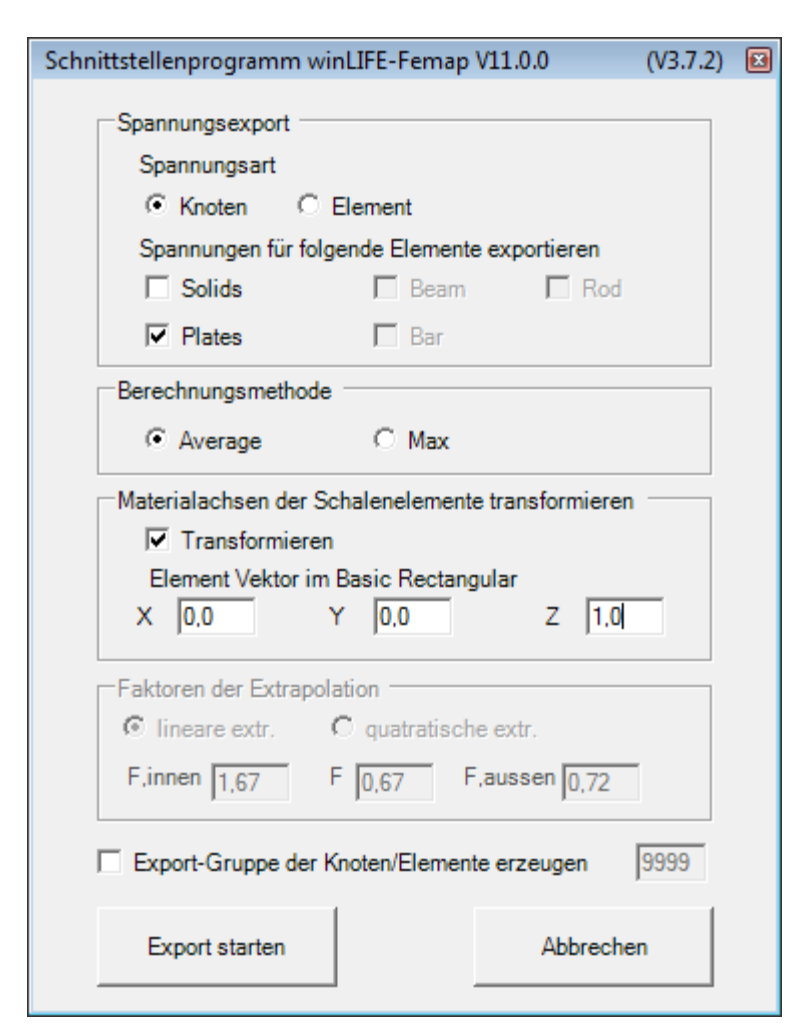
Vergleichsspannungen unter Zugbelastung

27.2. Durchführung einer Lebensdauerberechnung

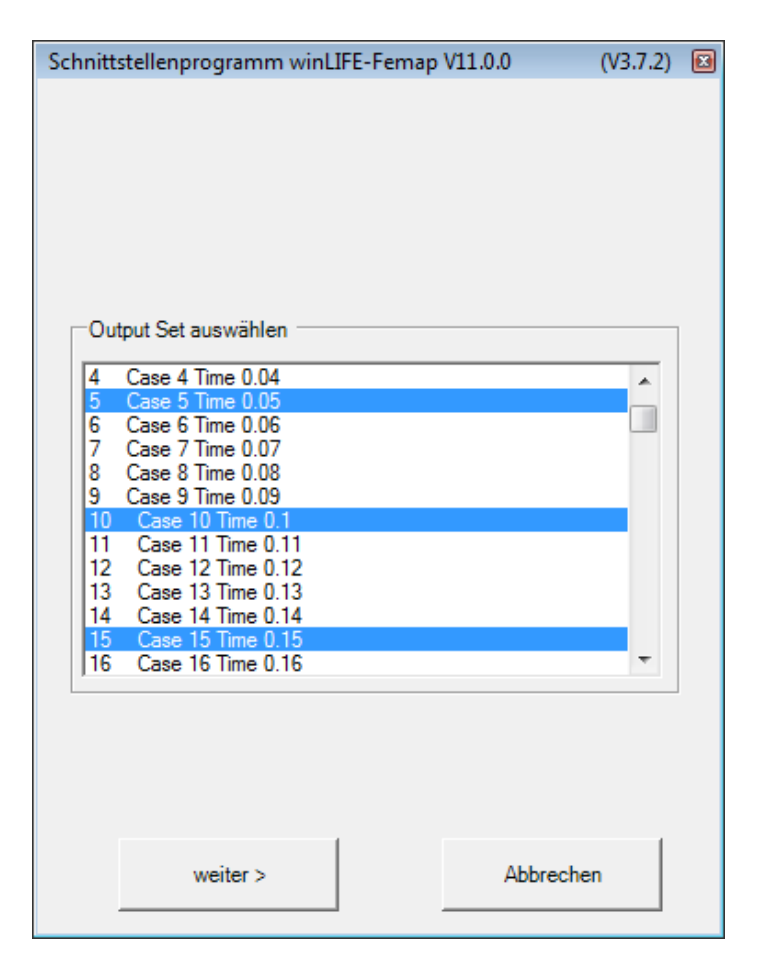
Die Spannungen für jeden Knoten werden zu bestimmten Zeitschritten herausgeschrieben. Alle 0,05s wird der vollständige Spannungstensor exportiert. Ein Zeitschritt von 0,05s entspricht dabei einer Last von 0,5N. Für die richtige Mittelung der Knotenspannungen müssen die Materialachsen der plate Elemente in eine Richtung transformiert werden. Wir wählen die z-Richtung des globalen Koordinatensystems.



Vergleichsspannungen unter Zugbelastung

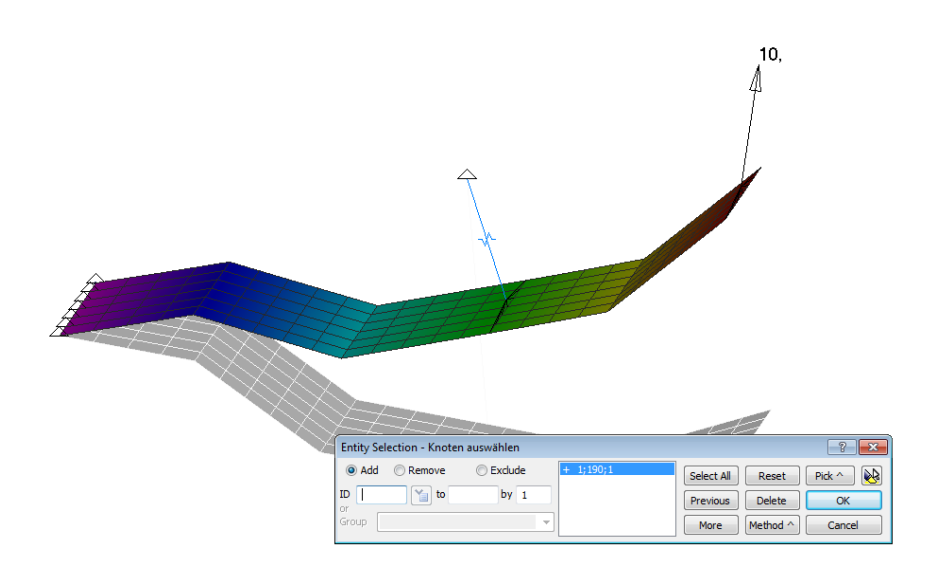


Wahl der Exportoptionen



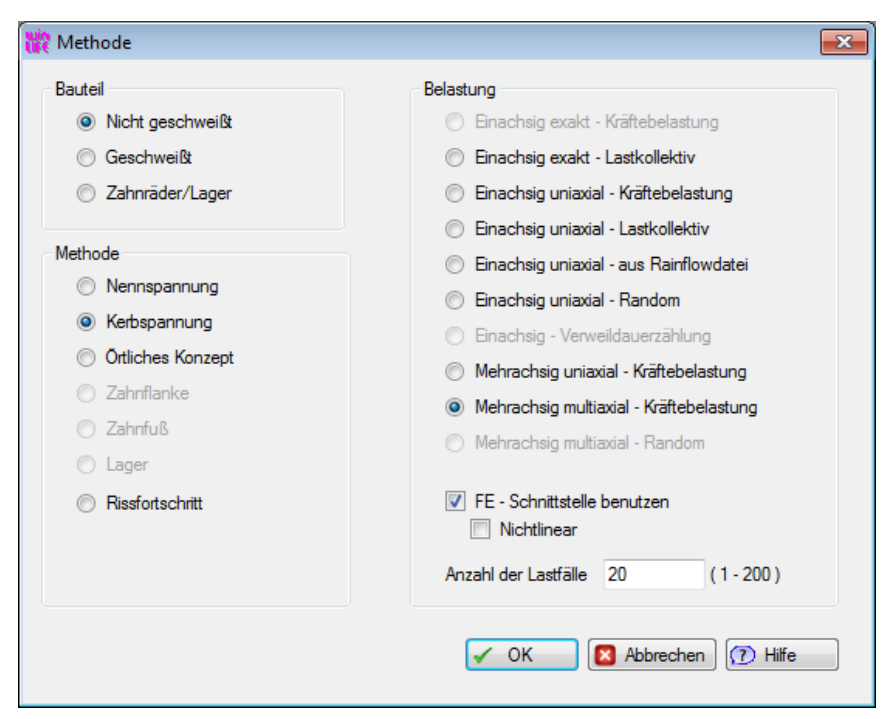
Maske zur Auswahl der Zeitschritte

Der Export der Spannungen wird für die Zeitschritte 0,05; 0,10; 0,15; usw. durchgeführt. Nach Bestätigung des Buttons weiter wird die Knotenauswahl durchgeführt. Es sollen die Spannungen für alle Knoten in eine LST-Datei geschrieben werden.



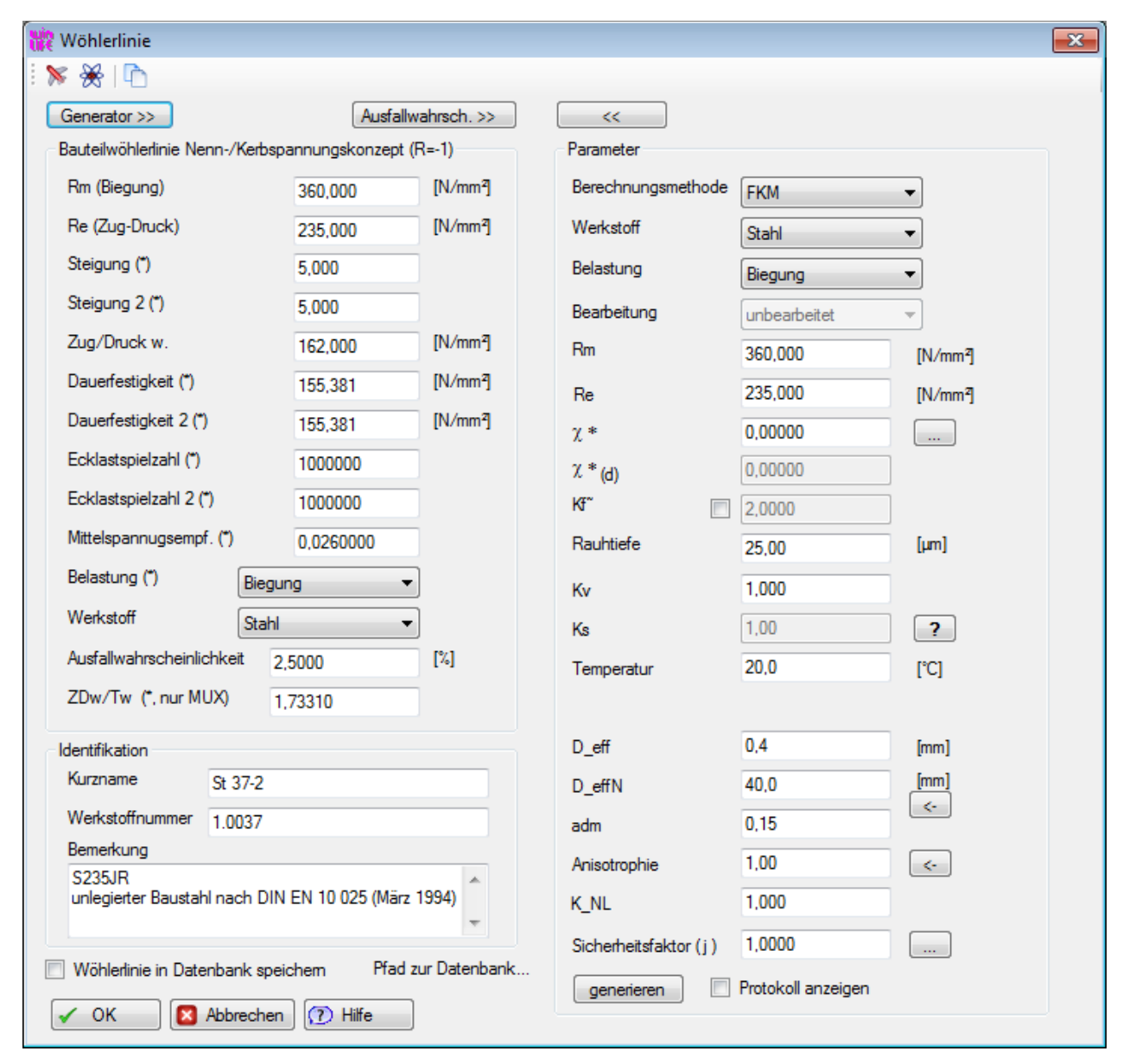
Spannungsexport für alle Knoten

In winLIFE 4.0 wird ein neues Projekt angelegt und es erfolgt die Angabe der Projektmethode. Bei dem zu betrachtenden Blech handelt es sich um ein nichtgeschweißtes Bauteil. In der Lebensdauerberechnung sollen örtliche Spannungen verwendet werden, daher wird als Methode "Kerbspannung" gewählt. Als Belastung wird "Mehrachsig multiaxial" eingestellt, so erfolgen mehr Auswertungen bei der Lebensdauerberechnung. Eine Berechnung "Einachsig uniaxial" wäre aber auch möglich, da nur ein Lastfall vorliegt. Die FE-Schnittstelle wird mit den 20 exportierten Lastfällen verwendet.



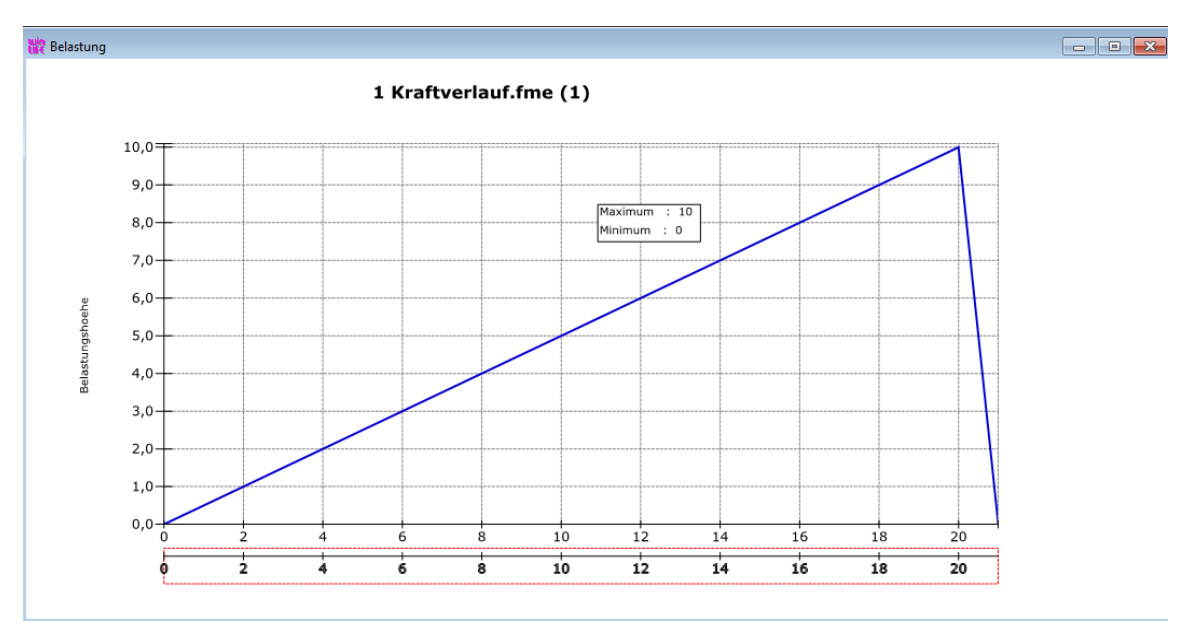
Einstellungen zu der Projektmethode

Für den Stahl S235JR wird eine Wöhlerlinie nach FKM generiert. Hierzu kann aus der winLIFE 4.0 Datenbank der Werkstoff gewählt werden. Menü *Wöhlerlinie* → *Laden FKM*. Es wird von überwiegender Biegebeanspruchung ausgegangen. Die Materialkennwerte für den Stahl S235JR betragen für die Zugfestigkeit Rm 360 N/mm² und für die Streckgrenze Re 235 N/mm². Die Oberflächenqualität (Rauhtiefe) wird mit Rz 25 angesetzt. Die Blechdicke beträgt 0,4mm.



Definition der Wöhlerlinie nach FKM

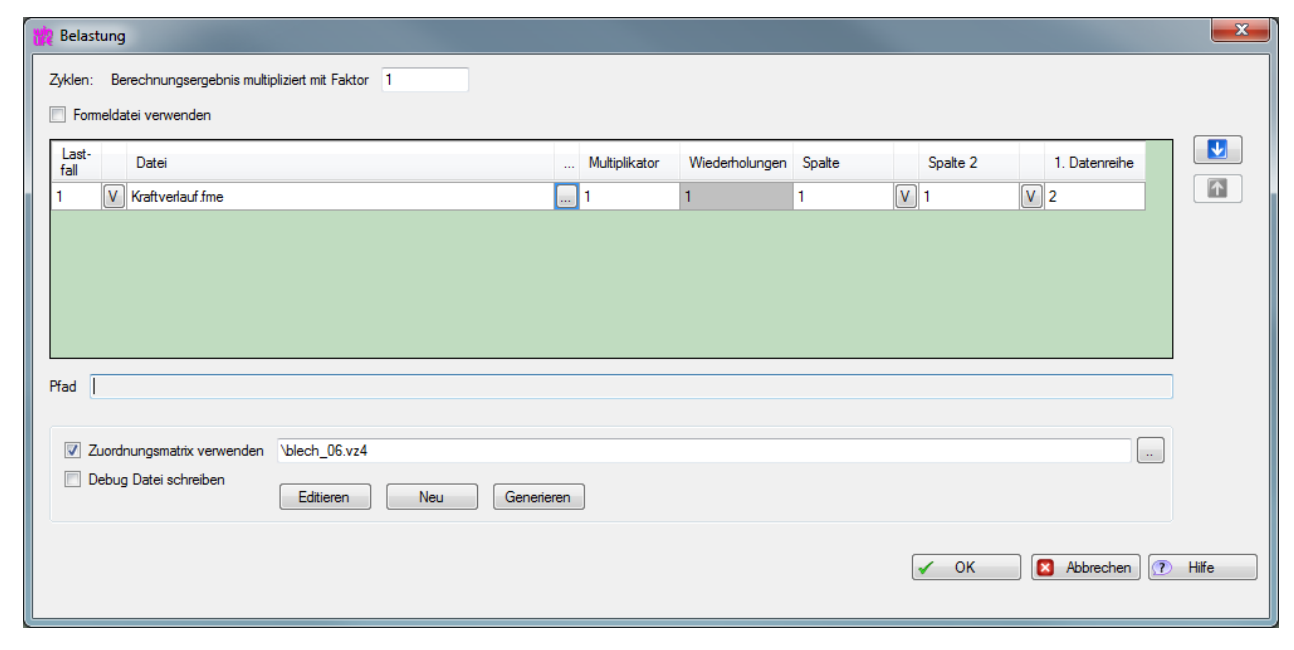
Der Kraftverlauf wird in 20 Schritte definiert: Menü *Belastung* → *Kräftebelastung* → *Generieren*. D.h. die Last steigt von 0 auf 10N in Schritten von 0,5N. Anschließend geht die Last auf den Wert Null zurück.



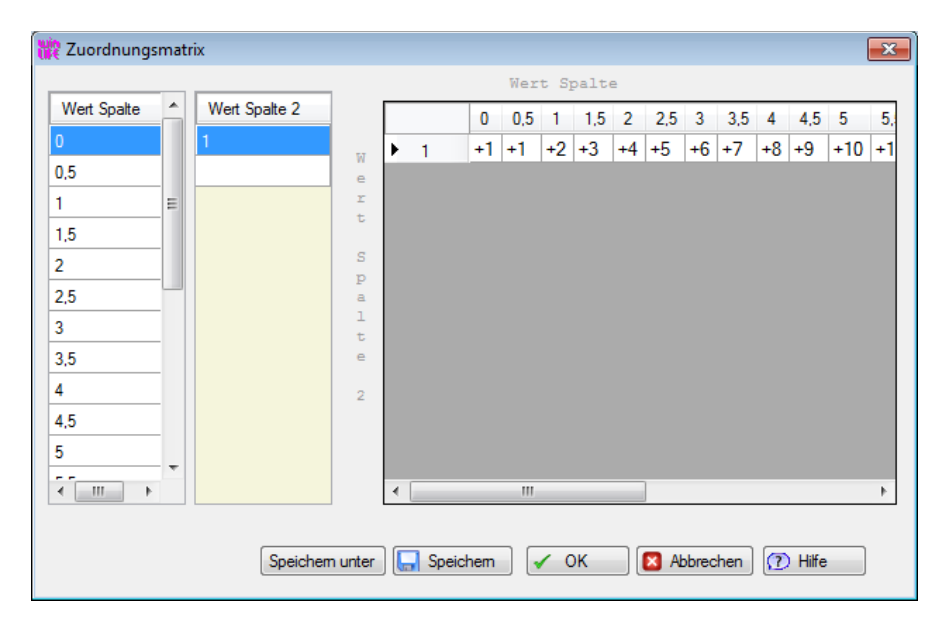
Definition des Kraftverlaufs

Für den nichtlinearen Zusammenhang zwischen Kraft und Spannungen wird eine sogenannte Zuordnungsmatrix verwendet. Hier wird der Zusammenhang zwischen dem Kraftwert und der dazugehörenden Spannung hergestellt. Da wir Kraftwerte vorgeben, handelt es sich um den Zuordnungsmatrix-Typ 2. Der Zuordnungsmatrix-Typ 1 verwendet Klasseneinteilungen.

In den Spalten wird die Kraft angegeben. In unserem Fall 0,0N; 0,5N; 1,0N; usw.. In der darunterliegenden Zeile wird die Nummer der LST-Datei angegeben, die im FE-Datendialog in der Liste dann eingetragen wird. Da nur ein Lastfall vorhanden ist, liegt nur eine Zeile in der Matrix vor.



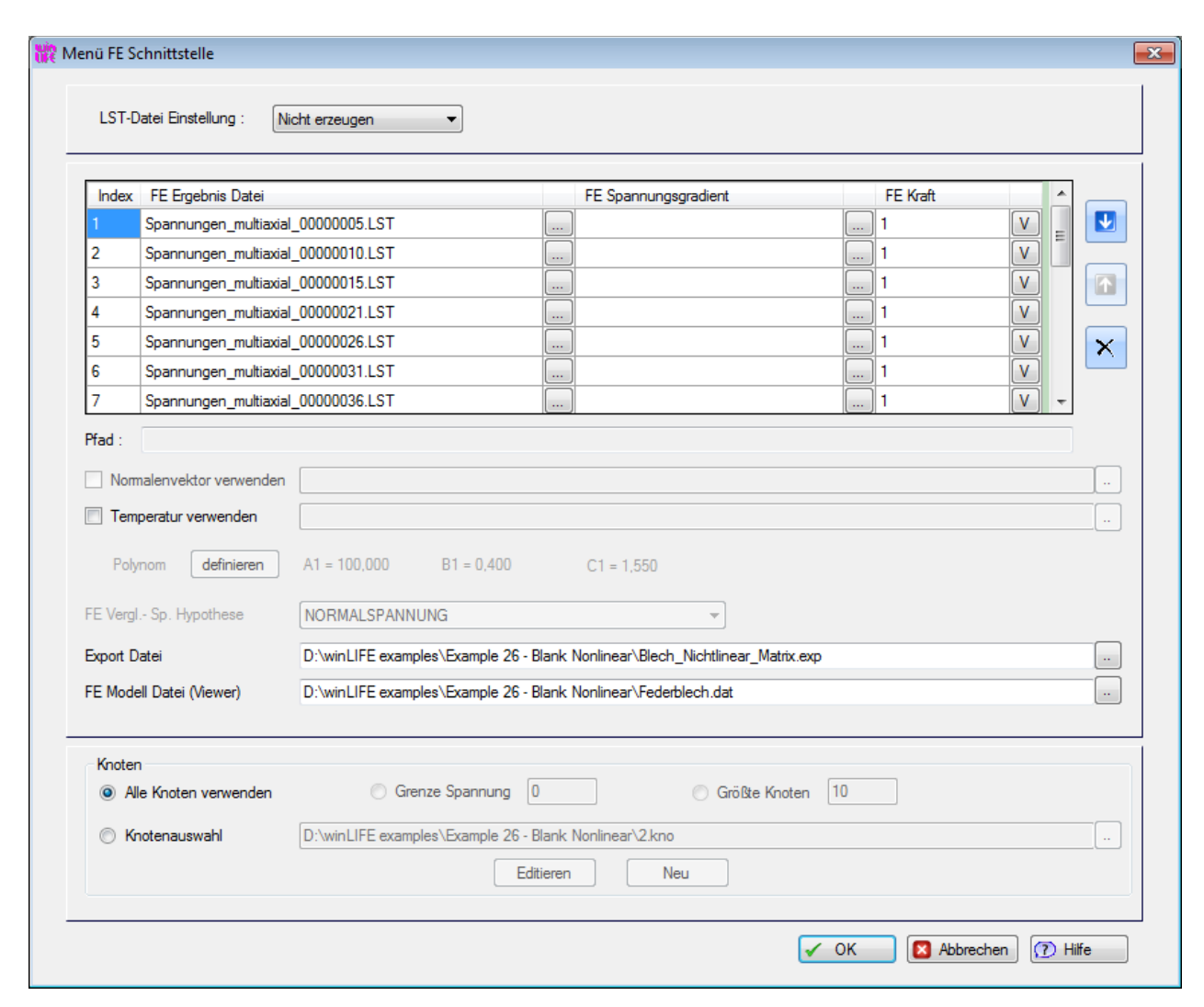
Eingabe des Belastungsverlaufs



Angabe der Zuordnungsmatrix

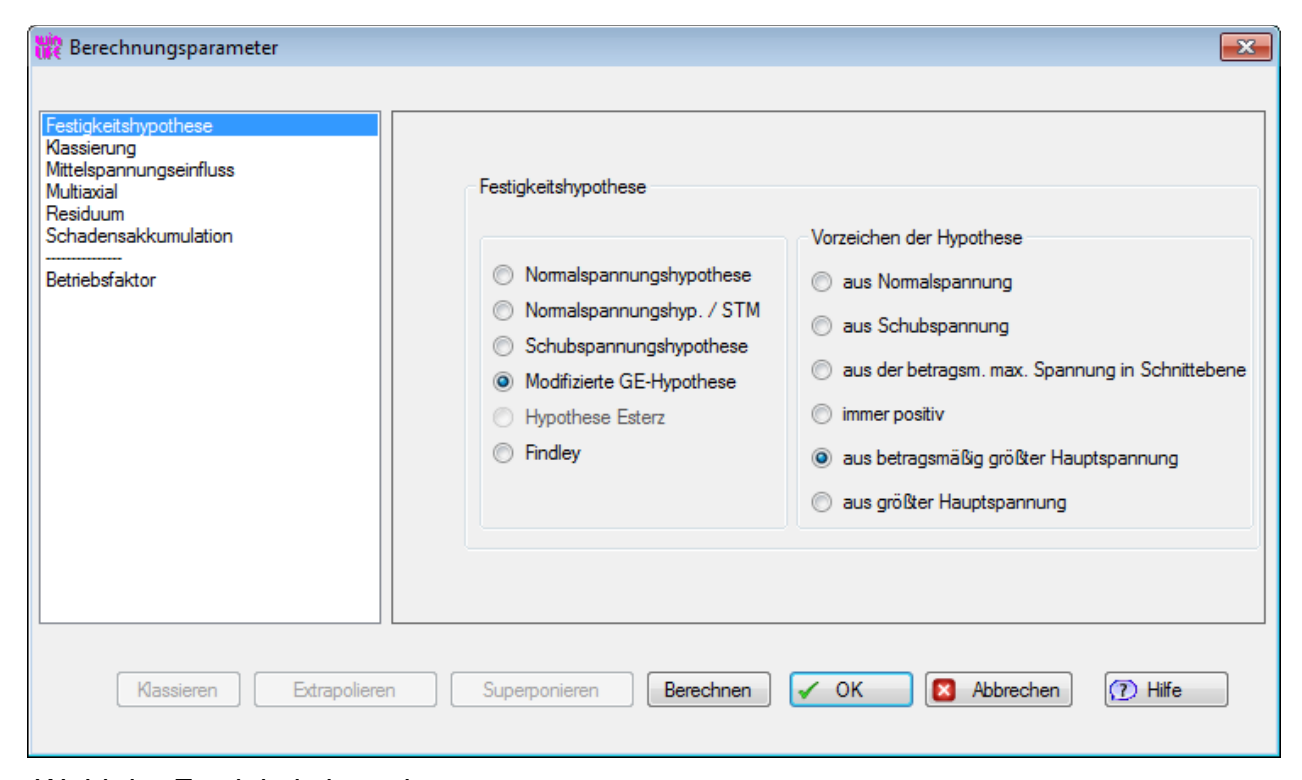
Für die Kraft 0N wird die erste LST-Datei verwendet. Hier bräuchten wir eigentlich eine LST-Datei, die für den Spannungstensor nur aus Nullen besteht. Ein kleiner Fehler ist also in der Berechnung enthalten. Dieselbe erste LST-Datei wird für das Kraftniveau 0,5 N verwendet.

In dem Menü FE-Schnittstelle sind die Ergebnisse aus der FE-Simulation anzugeben. Es werden die vorher erzeugten LST- Dateien für die einzelnen Kraftschritte eingetragen.

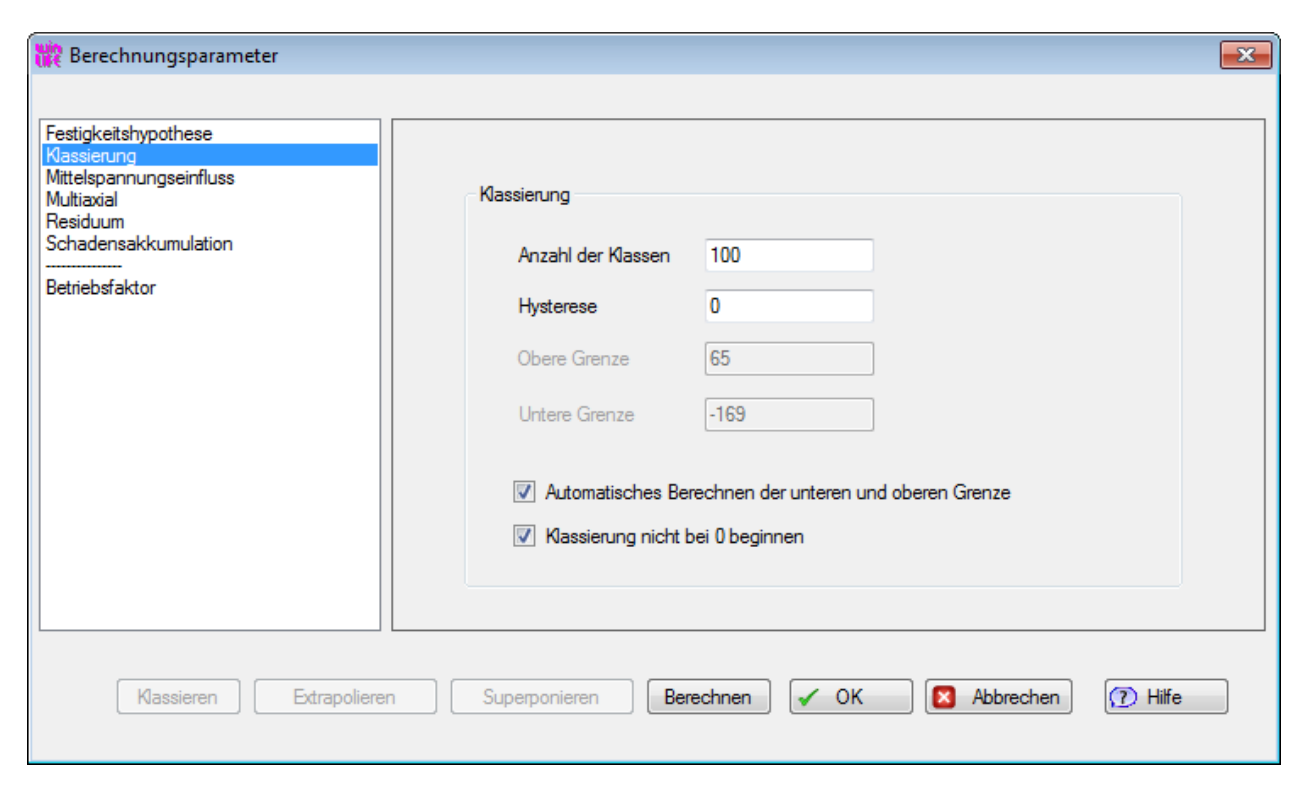


Angabe der FE-Ergebnisse

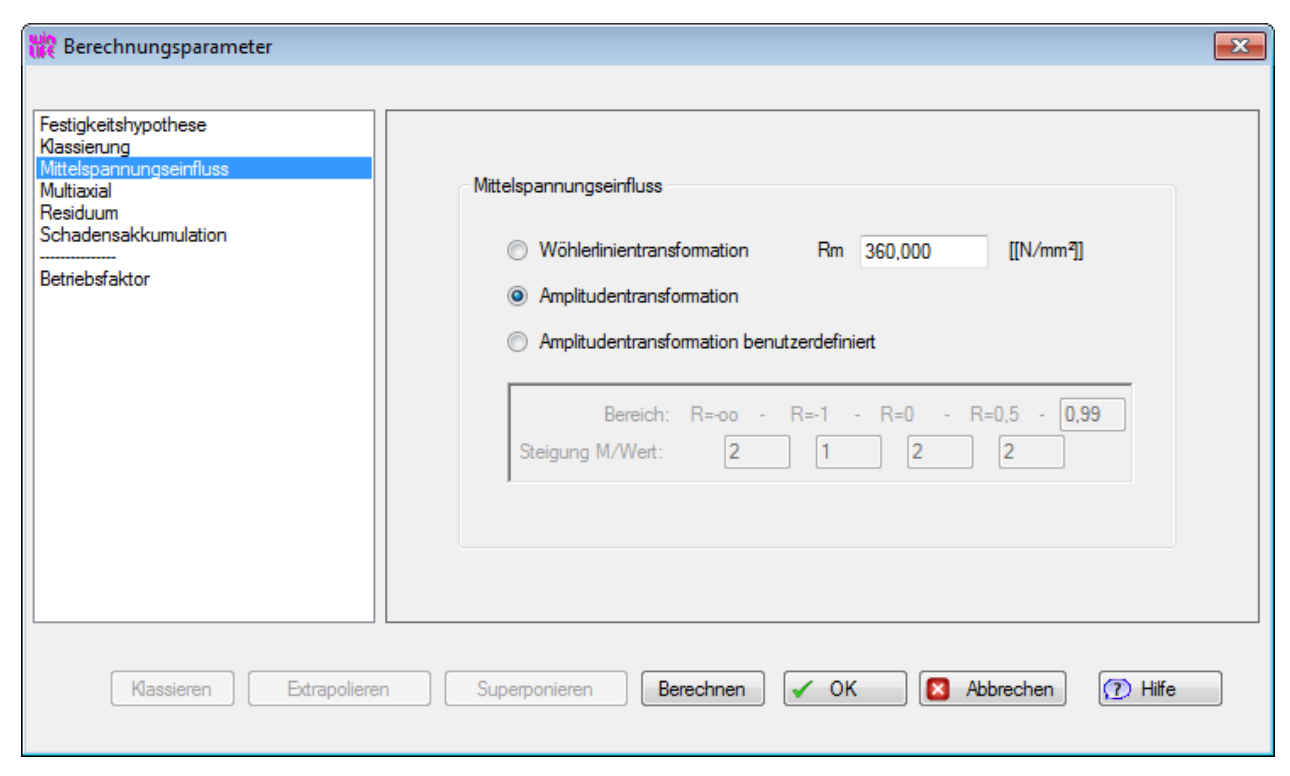
Die folgenden Abbildungen zeigen die gewählten Angaben und Optionen als Berechnungsparameter.



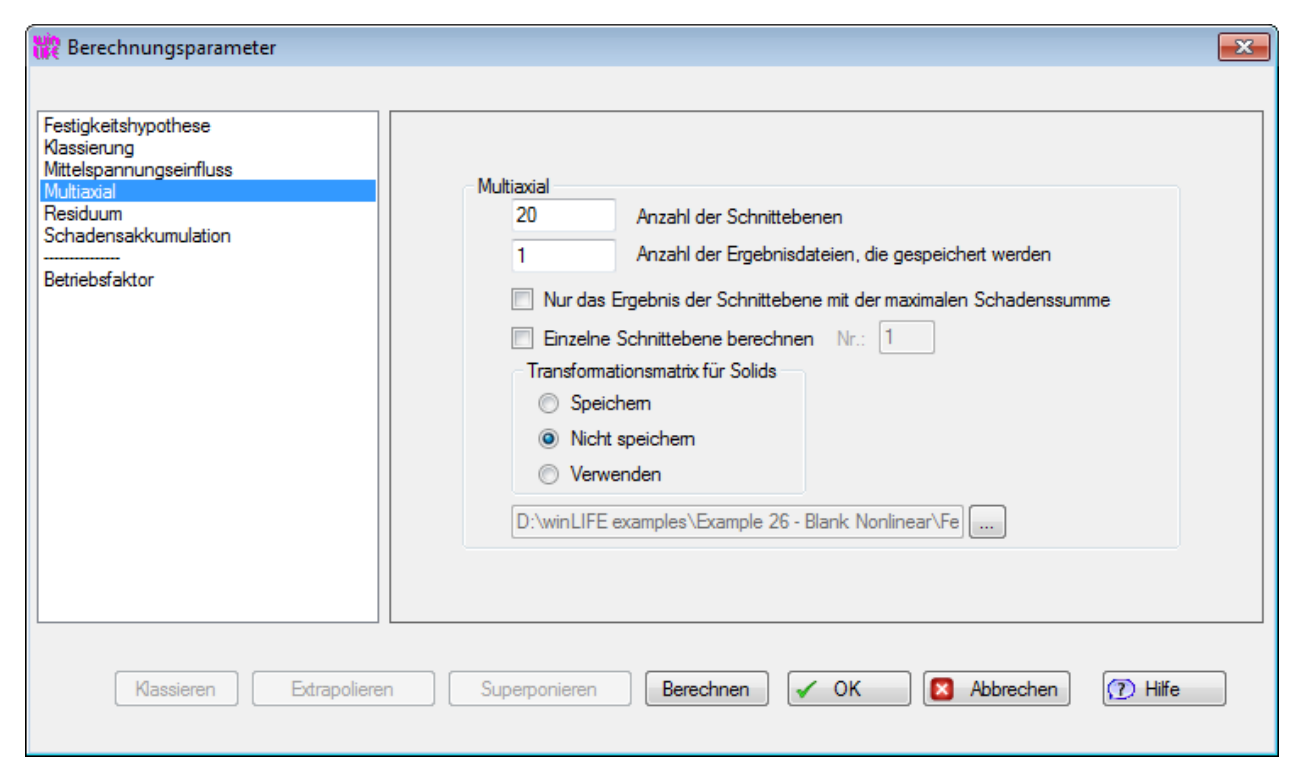
Wahl der Festigkeitshypothese



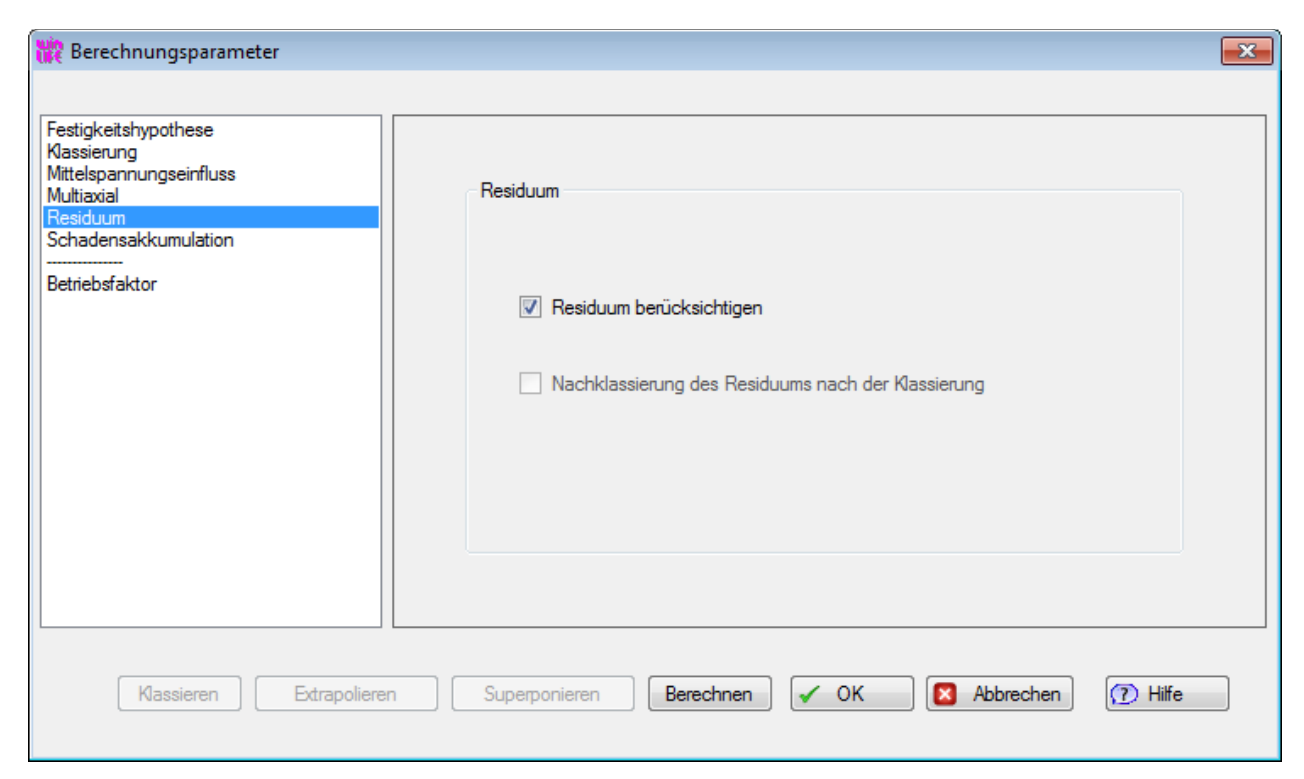
Angaben zur Klassierung



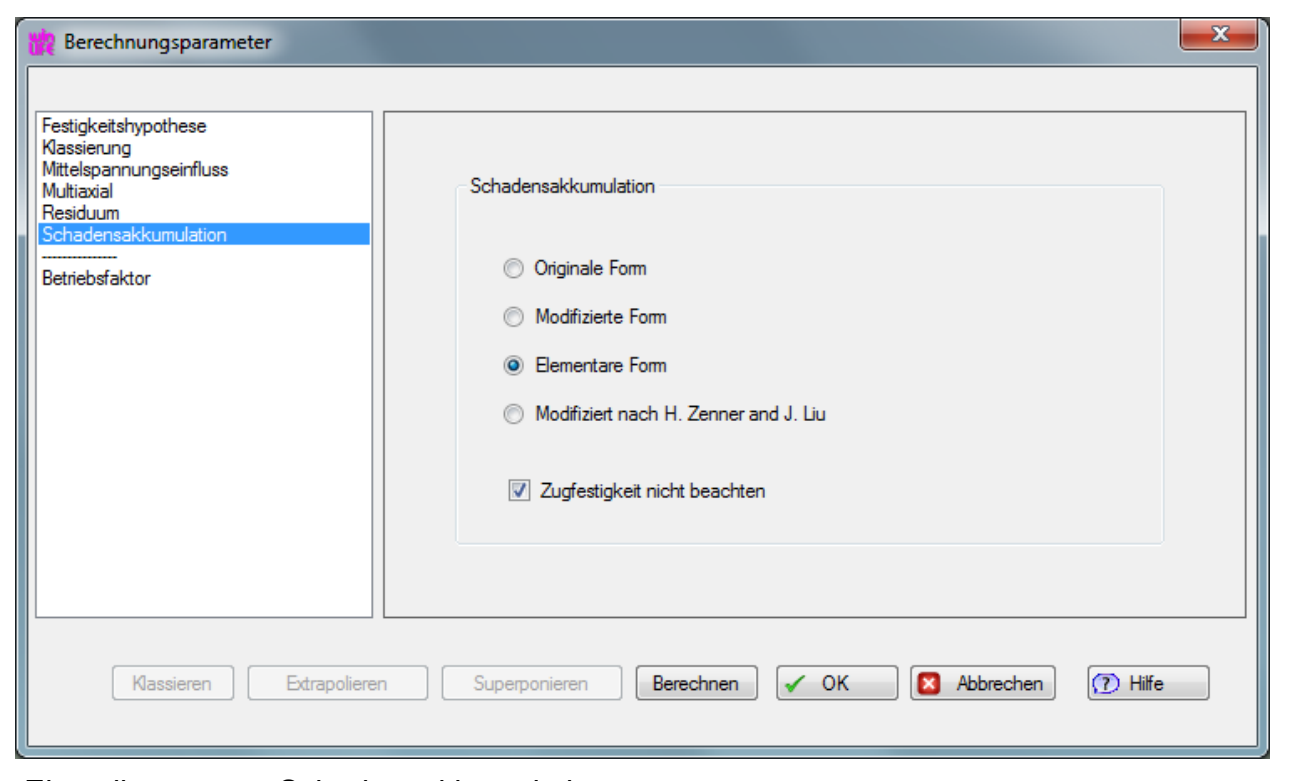
Angaben zur Berücksichtigung des Mittelspannungseinflusses



Einstellungen zur Schnittebenenauswertung



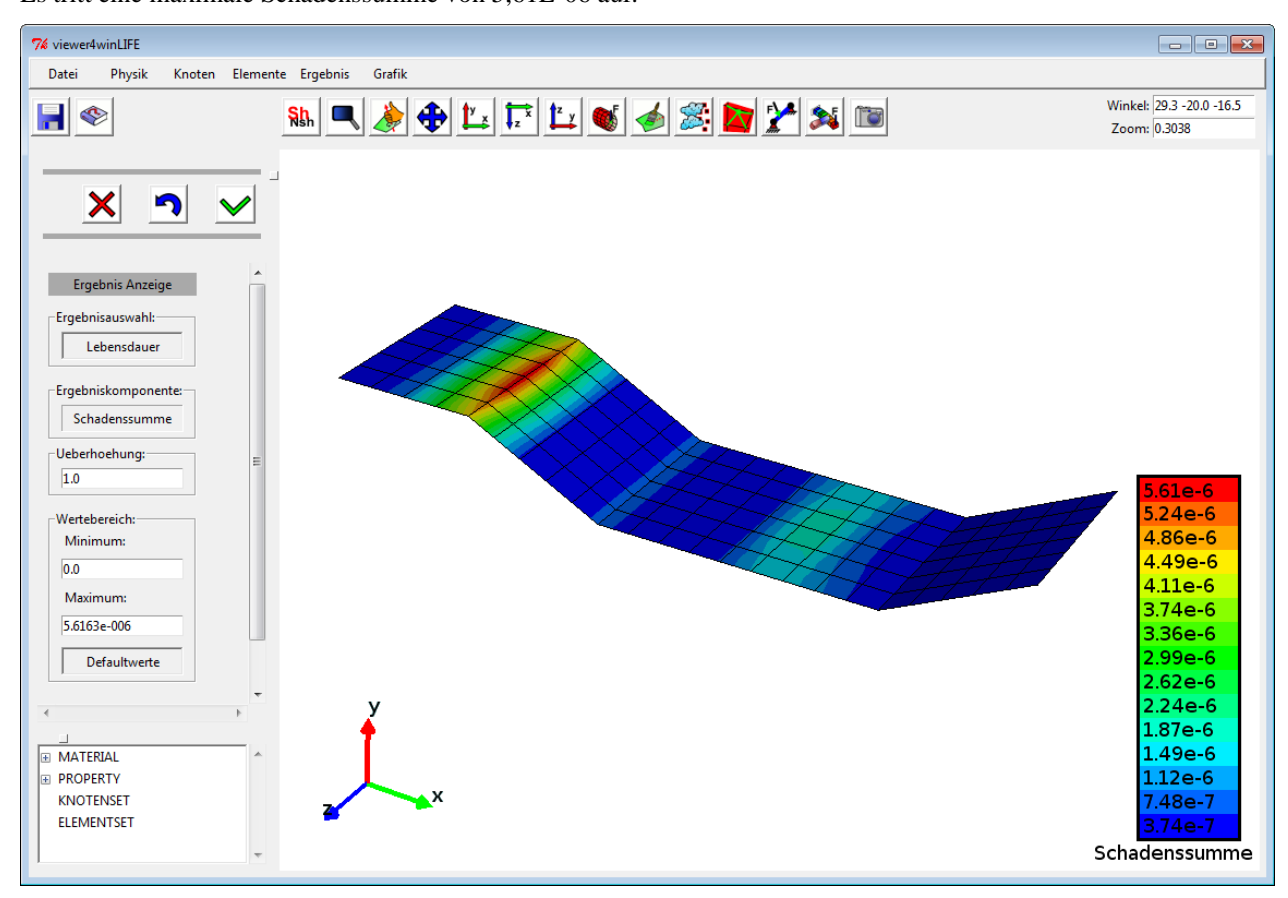
Berücksichtigung des Residuums



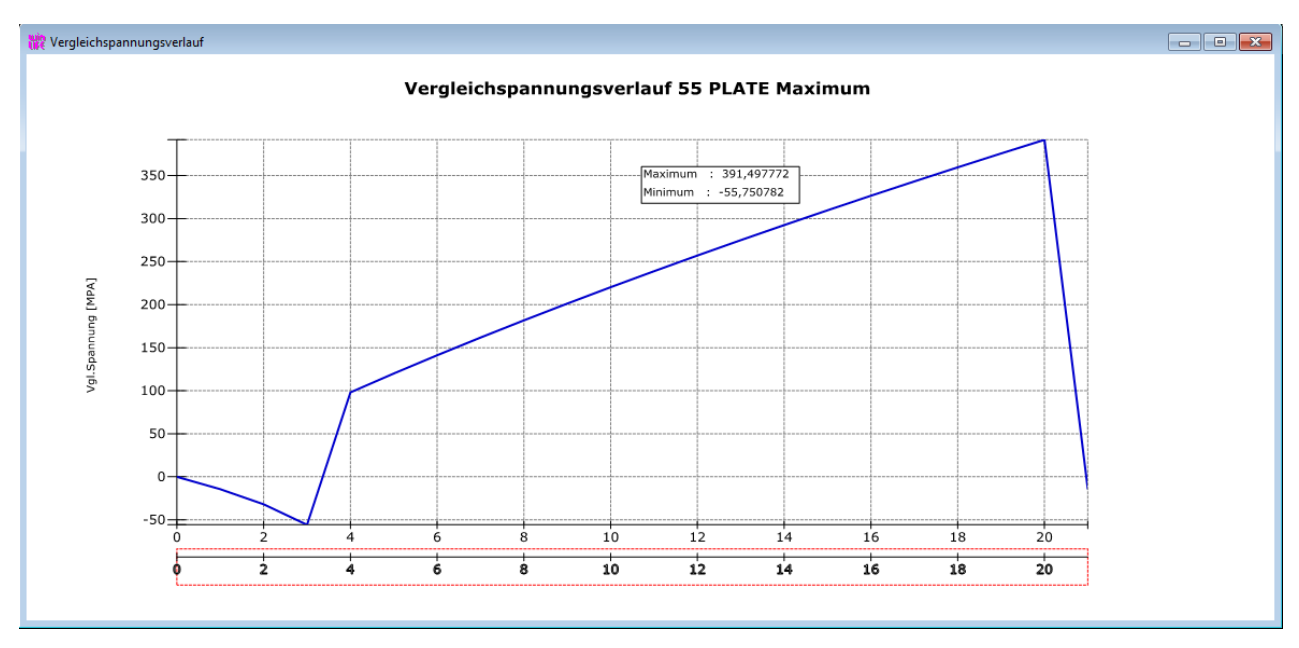
Einstellungen zur Schadensakkumulation

Mit den gewählten Angaben erfolgt in winLIFE 4.0 die Berechnung der Lebensdauer des Bleches. Die bei der Berechnung in winLIFE 4.0 entstehende Ergebnisdatei *.NEU kann in Femap zur Visualisierung der Schadenssumme und des Auslastungsgrads eingelesen werden. Hier werden die Ergebnisse im VIEWER4WINLIFEdargestellt.

Es tritt eine maximale Schadenssumme von 5,61E-06 auf.



Schadenssummen am Blech



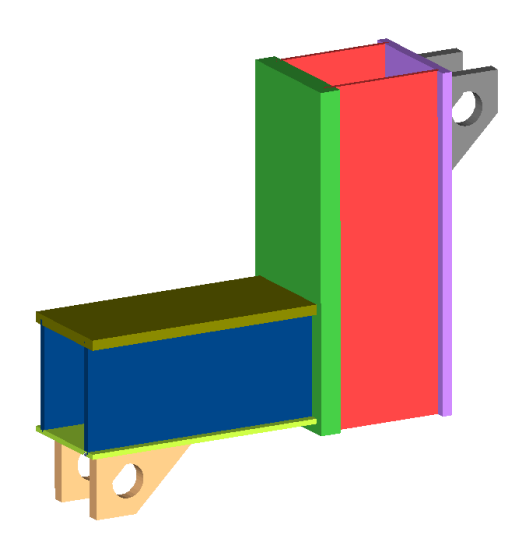
Verlauf der Vergleichsspannung für den Knoten höchster Schädigung

28. Beispiel 27 / Berechnung einer Schweißkonstruktion

28.1. Aufgabenstellung

Die hier gezeigte Schweißkonstruktion wird hinsichtlich dynamischer Festigkeit untersucht. Die Struktur ist dem Vortrag "Optimization of Welded Structures with Hot Spot Stress Constraints Evaluated Using Consistent Finite Element Meshing" von Norio Takeda und Panos Y. Papalambros entnommen.

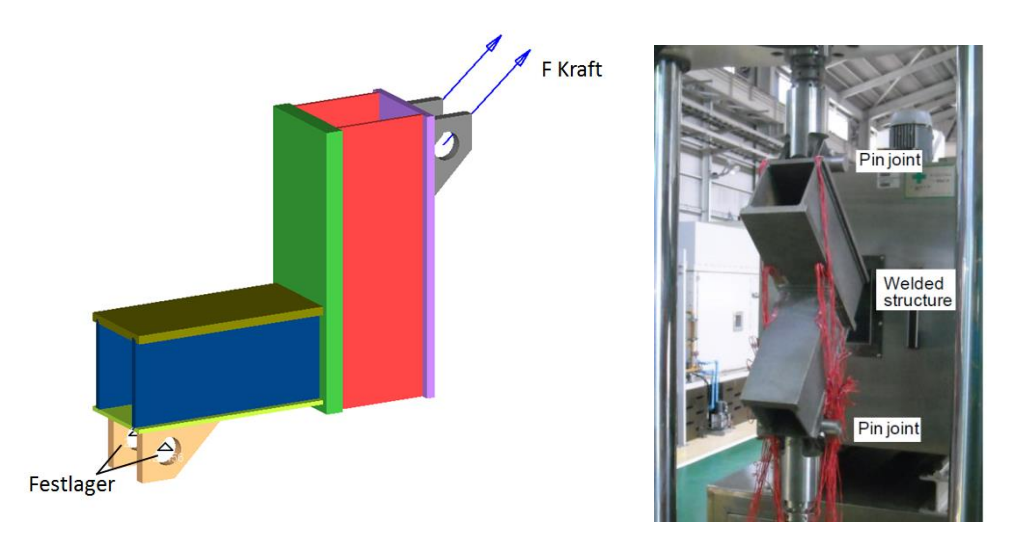
Zunächst soll ein einfaches Hot-Spot Suchverfahren zum Einsatz kommen, um die kritischen Stellen der Naht zu ermitteln. Anschließend werden die erkannten kritischen Stellen nach dem Strukturspannungskonzept genauer betrachtet. Der Vergleich mit Versuchswerten wird durchgeführt.



Modell der Schweißkonstruktion

28.2. Geometrie und Last

Die Geometrie mit ihren Maßen ist der oben angegebenen Quelle zu entnehmen. Die Last wirkt in den Bohrungsmittelpunkten und zwar in Richtung der Verbindungslinie der Bohrungen vom unteren zum oberen Kastenprofil. Die Bohrung des unteren Profils wird komplett fixiert wie die untere Abbildung zeigt.



Randbedingungen in der Simulation und Versuchsaufbau

28.3. Hot-Spot Suchverfahren

Das Hot-Spot Suchverfahren verwendet Blech-Properties für die Schweißnahtsuche. Dazu werden die Bleche aus Schalen-Elementen grob vernetzt. Die Elementgröße orientiert sich dabei an den Blechdicken. Das hier gezeigte Modell ist mit der Elementkantenlänge von 10mm vernetzt, obwohl die Bleche unterschiedlich stark sind wie das obere Bild zeigt.

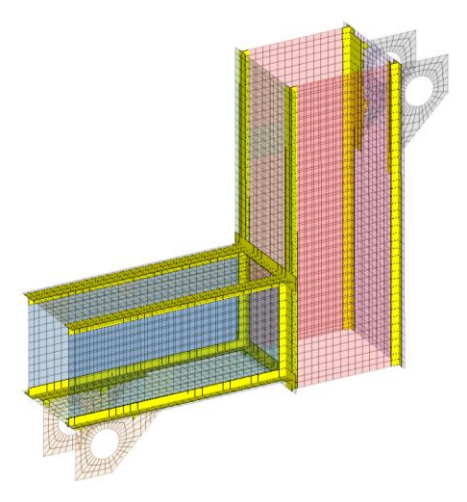
Für das Schweißnahtsuchverfahren wird die winLIFE 4.0 Schnittstelle in Femap benutzt.

In Femap wird gewählt:

Menü winLIFE \rightarrow Schweißnahtgruppen erzeugen \rightarrow OK.

In der nächsten Abfrage wählt man: select all

Das Beispiel Nummer 22 in der winLIFE 4.0 Hilfe geht näher auf die Schweißnahtidentifikation ein. Hier kann der interessierte Leser weitere Informationen erhalten.



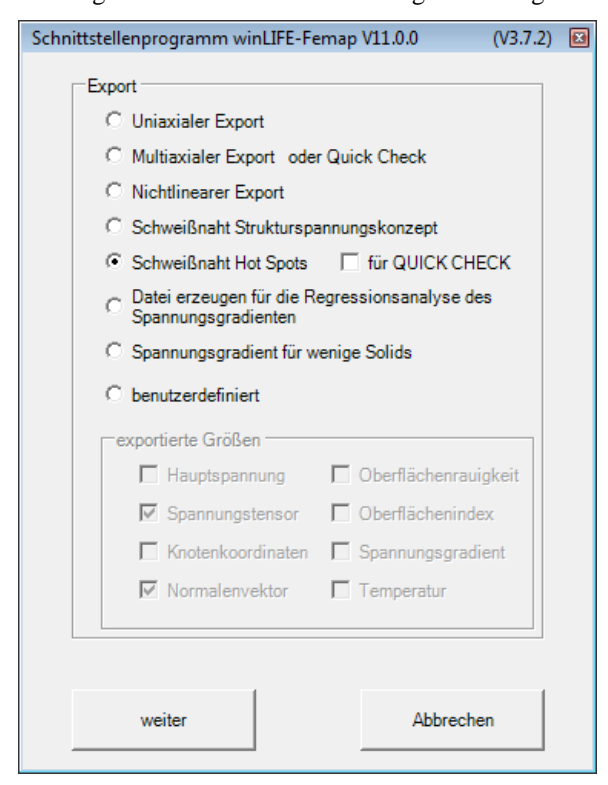
Ermittelte Schweißnahtgruppen

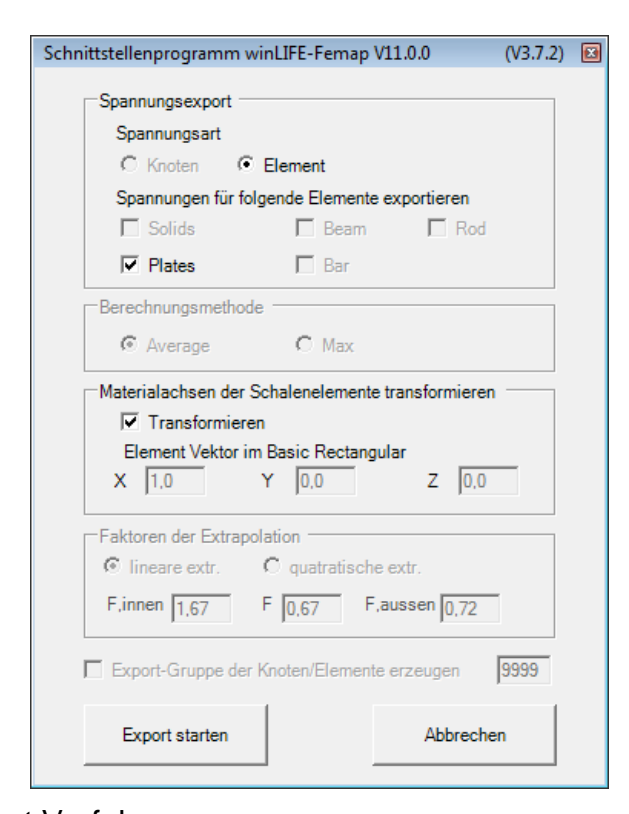
Die zur Schweißnaht angrenzenden Elemente werden durch das Suchverfahren gefunden, wie im oberen Bild in gelb gezeigt ist. Der Spannungsexport für diese Elemente wird nun durchgeführt.

In Femap wird gewählt:

Menü winLIFE → Spannungen für winLIFE exportieren

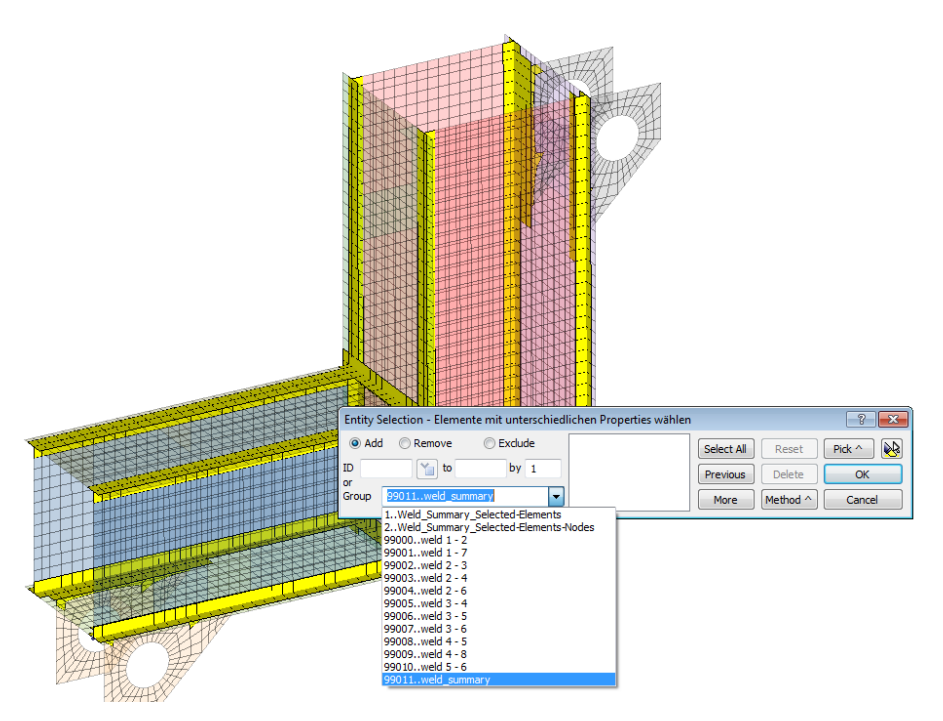
Die folgenden Fester werden wie dargestellt ausgefüllt.





Export der Spannungen nach dem Hot-Spot Verfahren

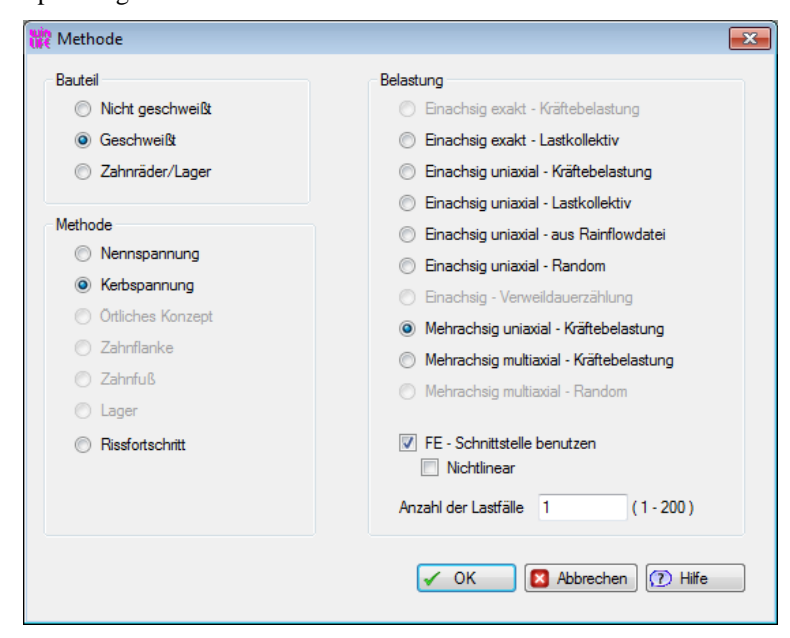
Die Nahtgruppe für den Export wird ausgewählt. Das dann folgende Fenster kann geschlossen werden, da von Hand keine weitere Schweißnaht durch Knotenselektion definiert wird.



Export der Nahtgruppe nach dem Hot-Spot Verfahren

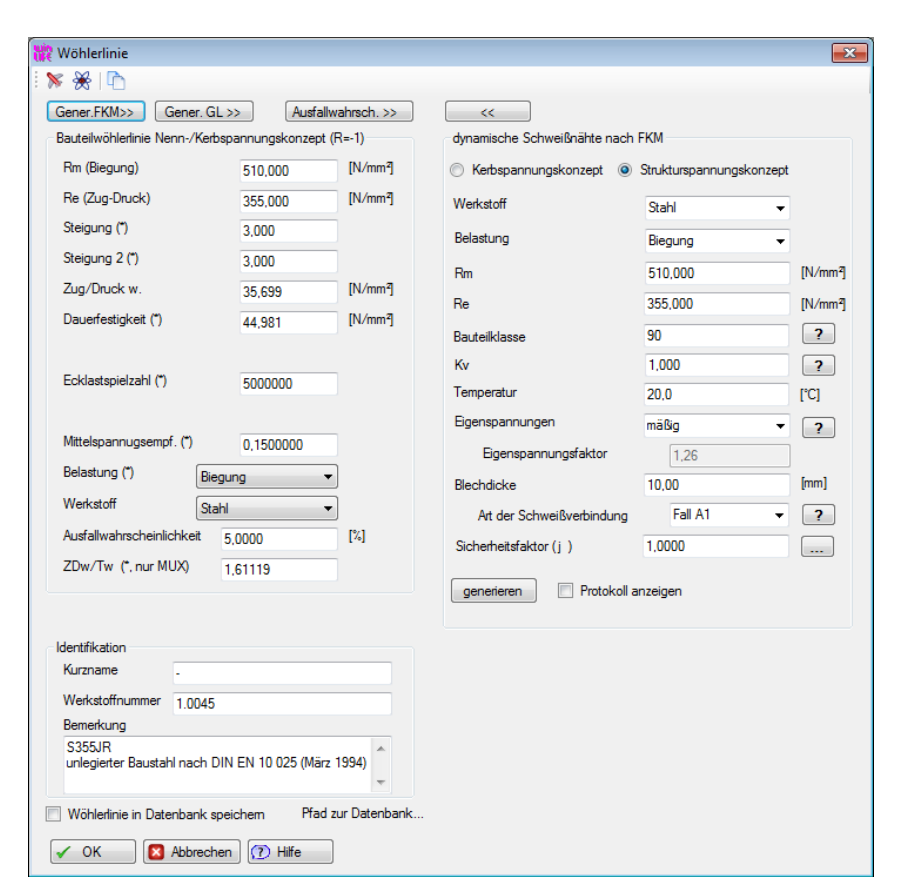
28.4. Projektaufbau in winLIFE

In winLIFE 4.0 erfolgt die Projektdefinition für die Schweißkonstruktion. Es wirkt ein Lastfall mit einem schwellenden Spannungsverhältnis.



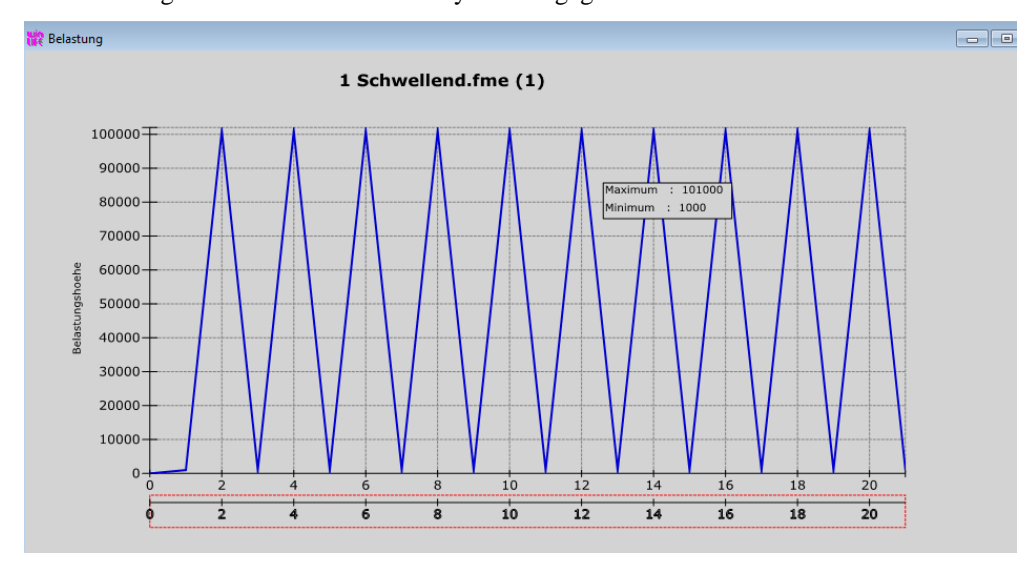
Methodeneinstellungen in winLIFE

Die Wöhlerlinie wird generiert. Gewählt wird aus der FKM Datenbank der Stahl S355JR. Wie in der Literaturstelle (siehe oben) wird die FAT-Klasse 90 gewählt. Eigenspannungen werden als mäßig angenommen. Der Einfluss der Blechdicke auf die Wöhlerlinie ist für die verwendeten Blechdicken der Struktur (6mm bis 25mm) nicht von Bedeutung. Es wird daher der Wert 10mm als Blechdicke verwendet.



Wöhlerliniengenerierung

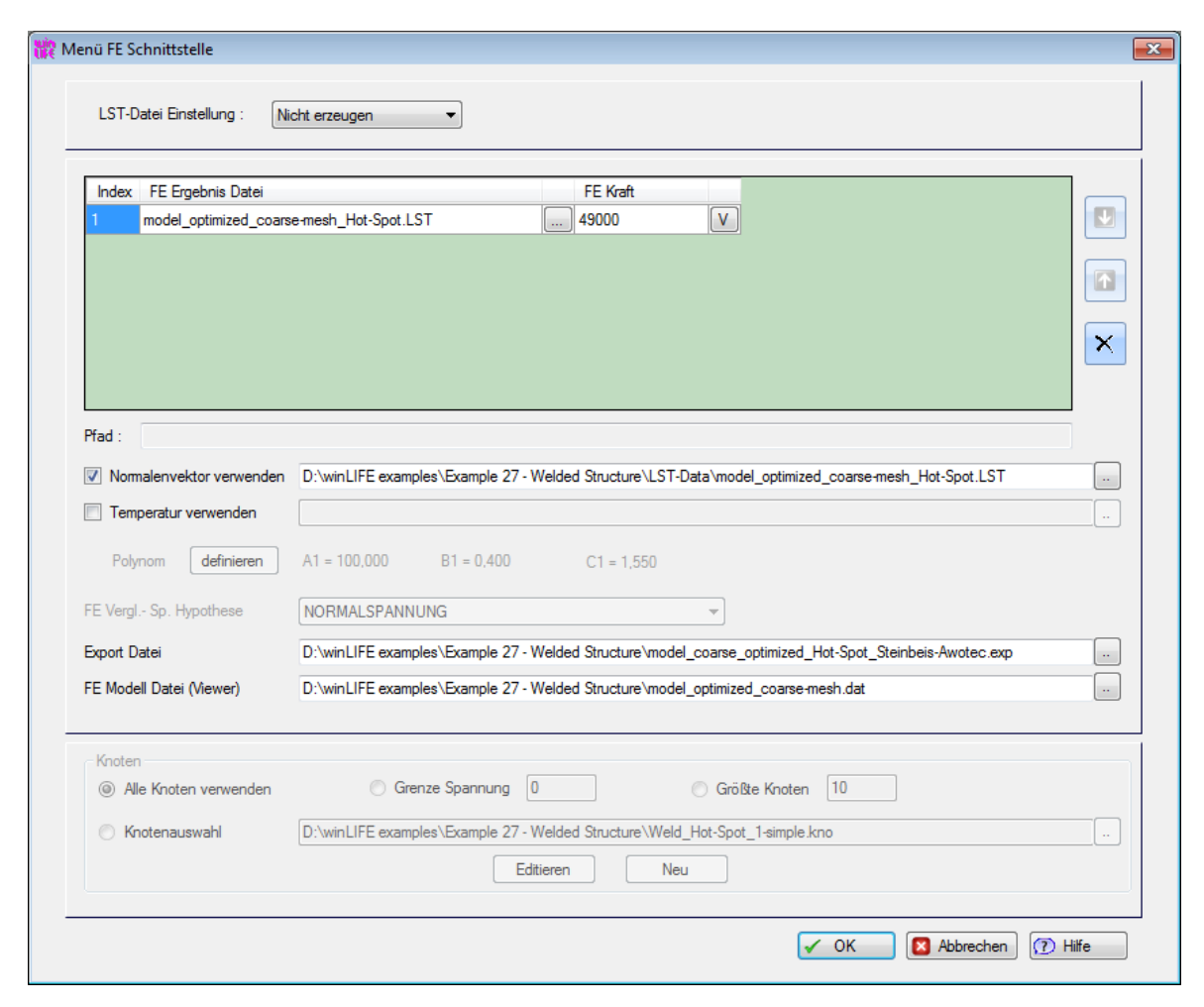
Als Belastung werden 10 schwellende Zyklen vorgegeben.



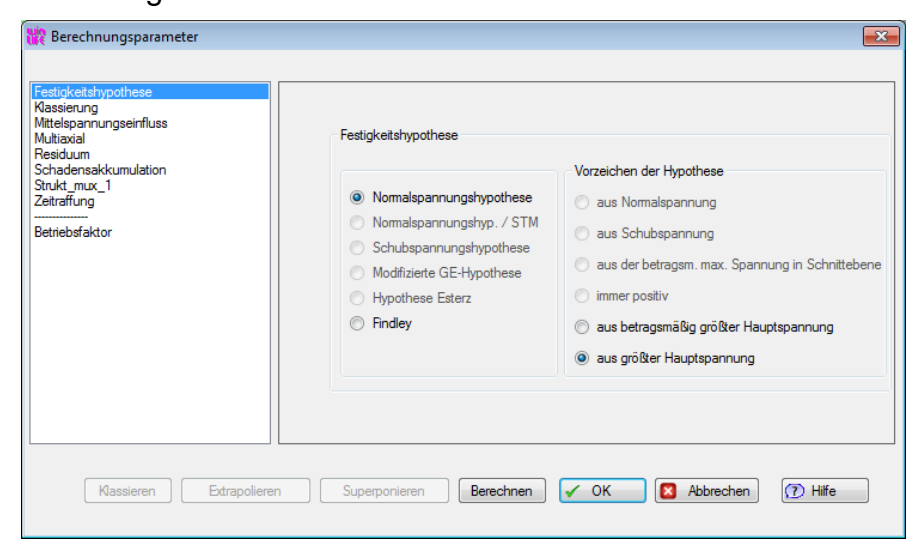
Last-Zeitverlauf

Die Kraft in der FEM-Berechnung beträgt 49000N. Ebenfalls muss der Normalenvektor wie unten gezeigt angegeben werden. Dieser ist in der exportierten LST-Datei enthalten.

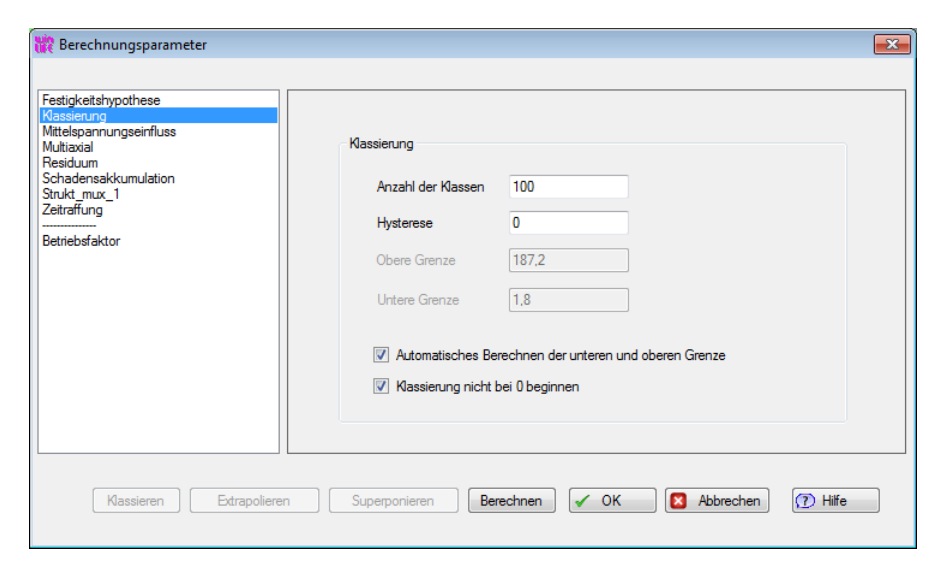
Die Angabe der FE-Modell Datei für den VIEWER4WINLIFE erfolgt hier durch die NASTRAN (*.dat) Datei.



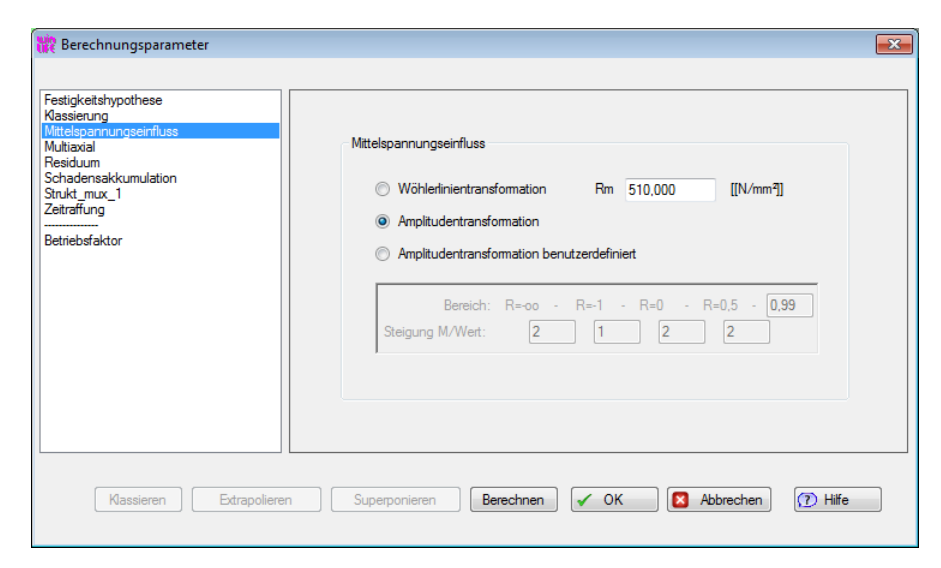
FE-Dialog



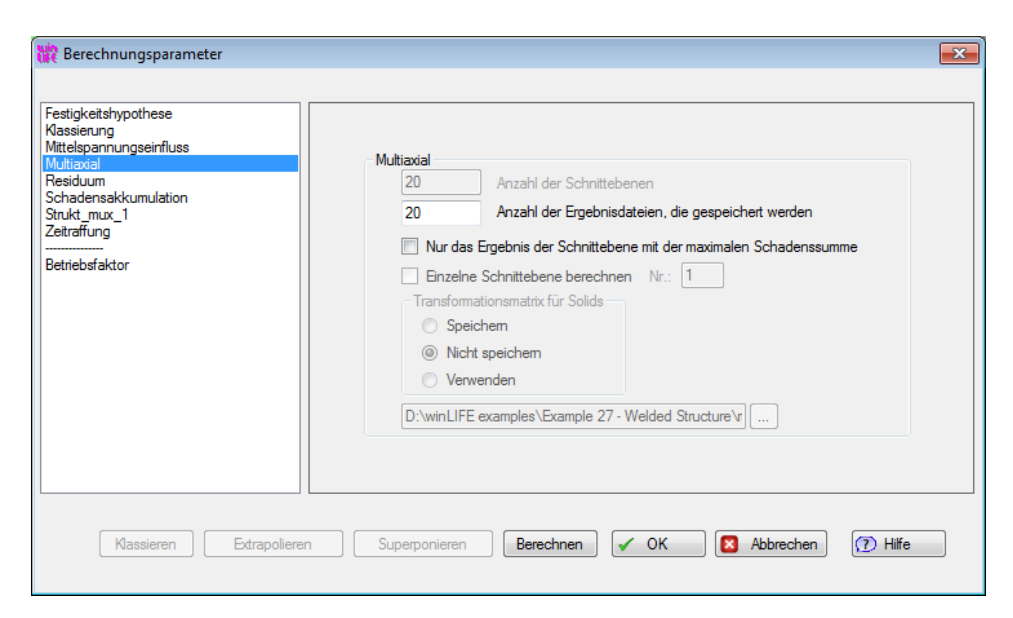
Parametereinstellungen



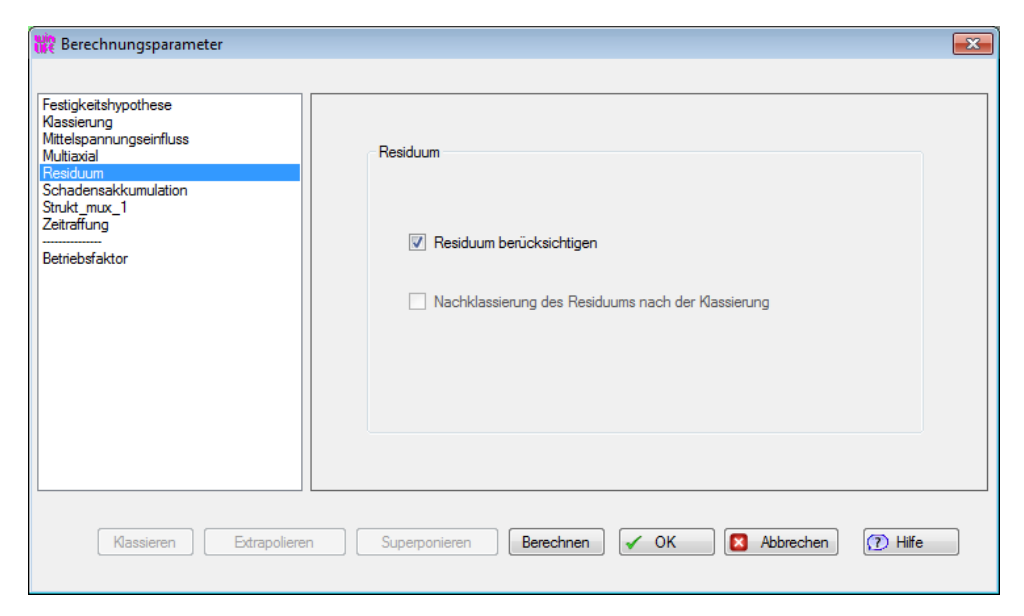
Einstellung der Klassierung



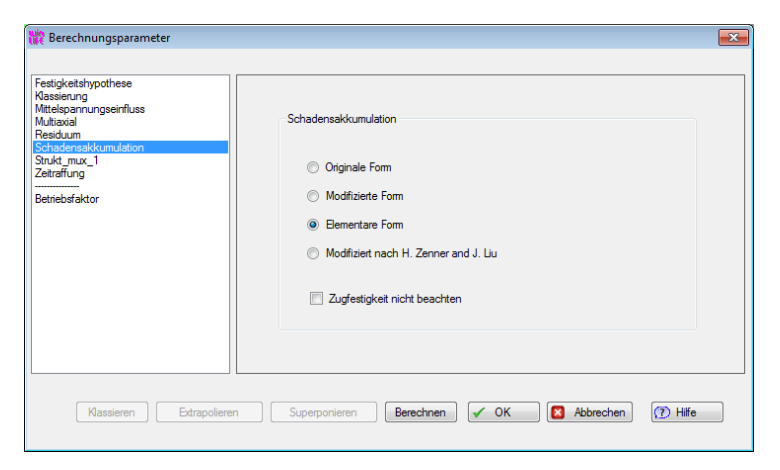
Berücksichtigung der Mittelspannung



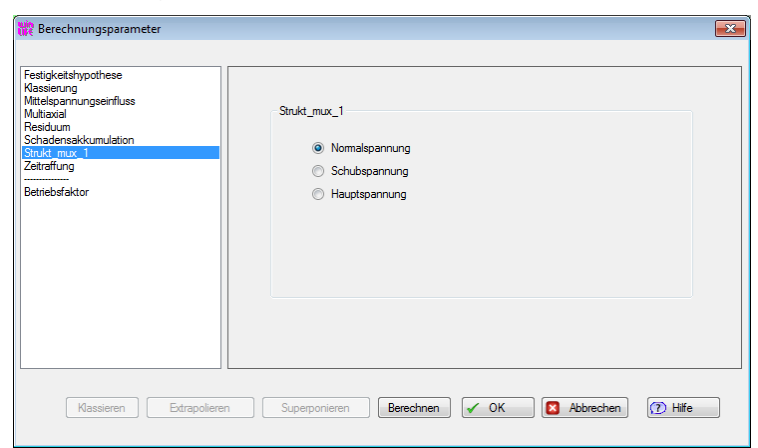
Optionen für den Parameter Multiaxial



Berücksichtigung des Residuums

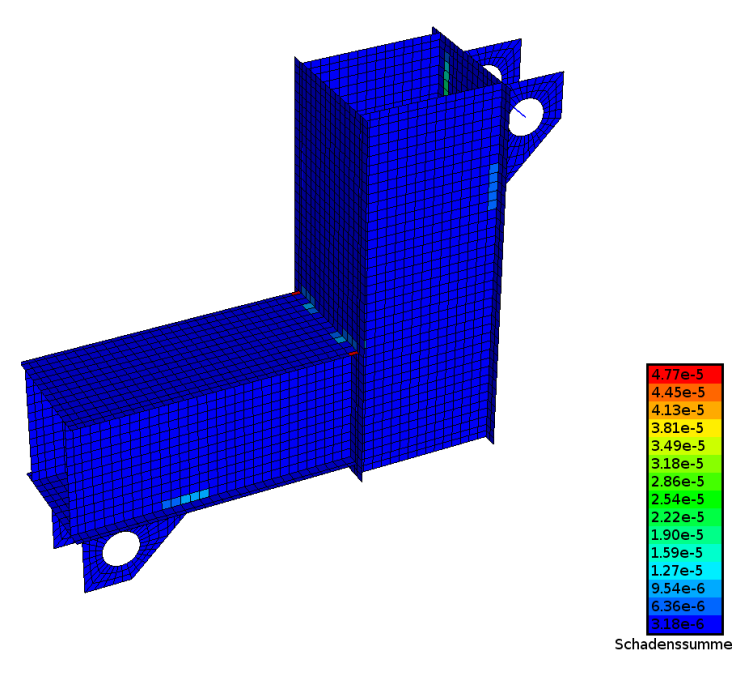


Einstellung der Schadensakkumulation



Wahl einer Spannungsart

Die kritischen Stellen werden nun dargestellt. In einem weiteren Schritt werden diese Stellen mit dem Strukturspannungskonzept ausgewertet.



Schadenssummen nach dem Hot-Spot Verfahren

28.5. Strukturspannungskonzept

Das Berechnungsmodell wird fein vernetzt. Die Elementkantenlängen betragen 2mm. Die Auswertung der Spannungen erfolgt in Abständen von 4mm, 8mm und 12mm zur Schweißnaht. Die Spannungen werden quadratisch extrapoliert auf die Schweißnaht. Der Spannungsexport für diese Elemente wird durchgeführt.

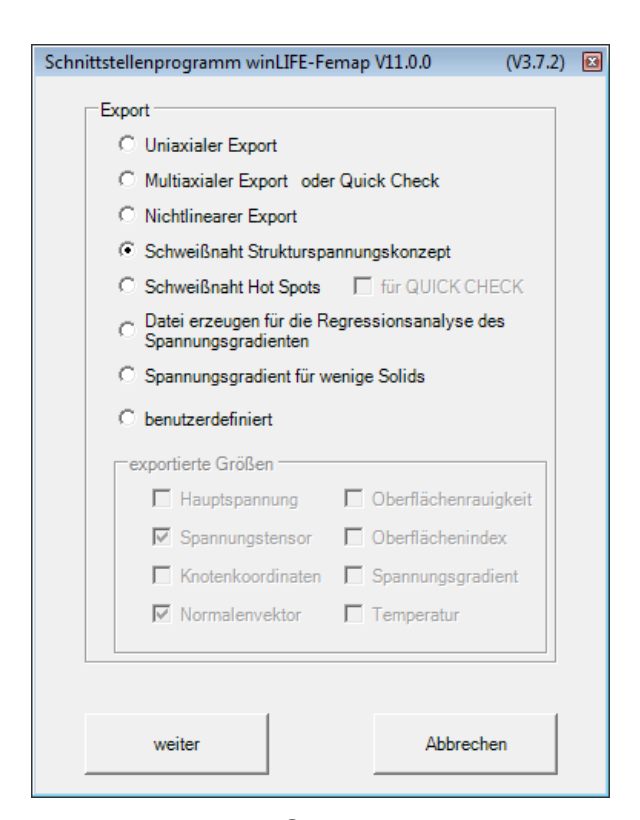
Die kritischen Stellen aus dem Hot-Spot Verfahren sind also genauer untersucht worden. Das Ergebnis der Schadenssumme ist folgend gezeigt.

28.6. Schweißnaht-Export

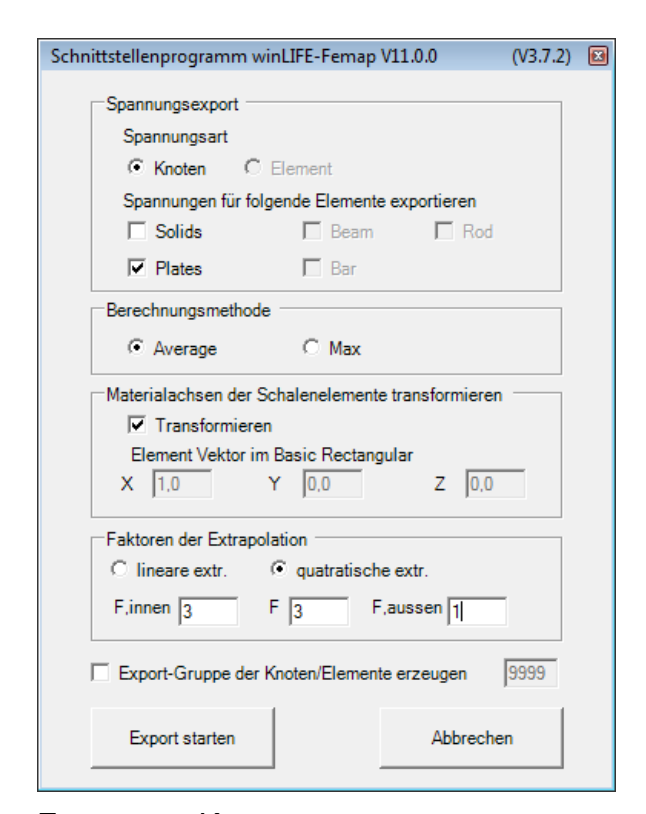
In Femap wird gewählt:

Menü winLIFE → Spannungen für winLIFE exportieren

Die folgenden Fester werden wie dargestellt ausgefüllt.

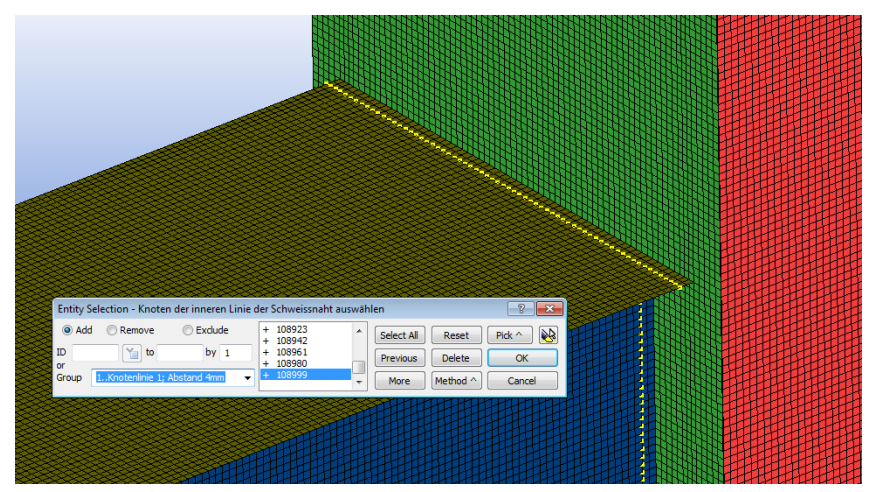


Export nach dem Strukturspannungskonzept



Export von Knotenspannungen

Nacheinander werden die Knotenlinien (Knoten-Gruppen) für die Schweißnahtdefinition ausgewählt. Diese Knotenlinien sind in den Übungsbeispielen bereits vorhanden.



Auswahl von Knoten für den Spannungsexport

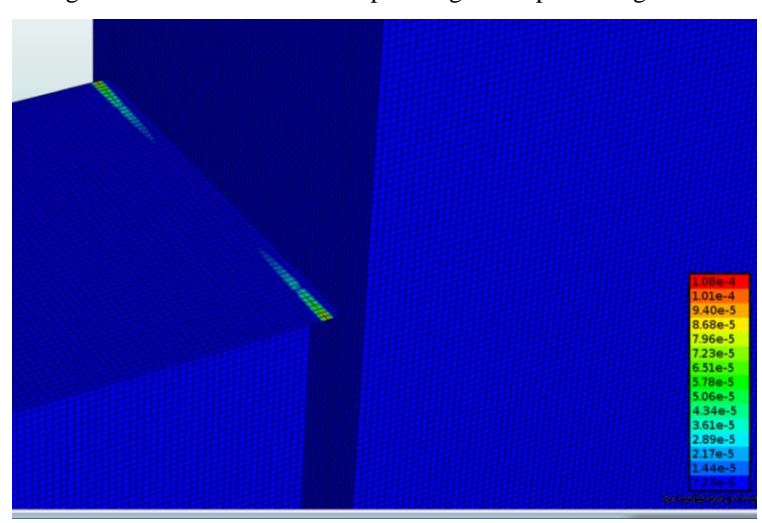
Nach Bestätigung durch Klicken von OK, wird die zweite (mittlere) Schweißnahtlinie im Abstand von 8mm gewählt. Und schließlich wird die äußere Linie gewählt im Abstand von 12mm.

28.7. Projektaufbau in winLIFE

Es kann das vorhandene winLIFE 4.0 Projekt der Hot-Spot Auswertung kopiert werden. Die FE-Daten nach dem Strukturspannungskonzept werden eingetragen und die Parametereinstellungen werden beibehalten.

28.8. Ergebnis

Es ergibt sich nach dem Strukturspannungskonzept die folgende Verteilung der Schädigung



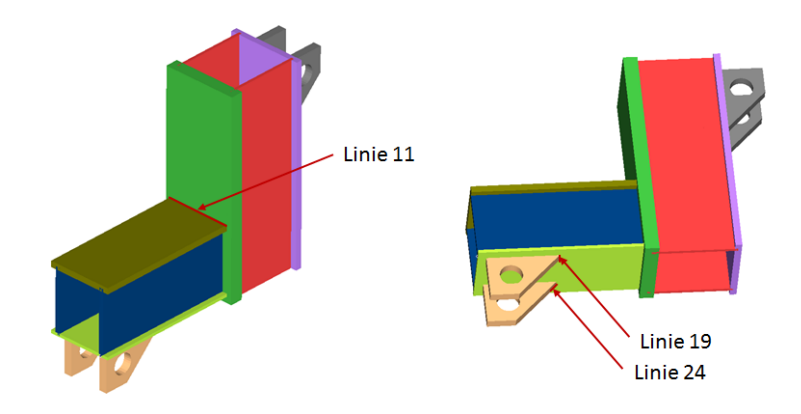
Schadenssummen nach dem Hot-Spot Verfahren

Die Strukturen wurden im Versuch auf Ermüdungsfestigkeit geprüft. Es liegen Versuchsergebnisse von zwei Proben vor. In folgender Aufstellung sind die Versuchsergebnisse und die berechneten Ergebnisse aufgeführt.

| | Schwingspiele bis zum Versagen | | |
|----------------------------------------|--------------------------------|--------------------------|--------------|
| Versagensort (siehe Bild unten) | Linie 11 | Linie 19 | Linie 24 |
| Versuch Probe1 und Probe 2 | keine Angabe | 5,94E+04 1,60E+05 | keine Angabe |
| Hot-Spot Verfahren | 2,1E+05 | 2,63E+05 | 5,62E+05 |
| | (20961) | | |
| Strukturspannungskonzept (quadratisch) | 9,21E+04 | 3,37E+05 | 2,07E+05 |

Lebensdauervergleich aus Versuch und Berechnung

Die obere Tabelle zeigt die Lebensdauern aus dem Versuch und der Berechnung. Die Versuche weisen als Versagensort die Linie 19 auf (siehe Bild unten). Das Hot-Spot Verfahren sowie das Strukturspannungskonzept ermitteln die Linie 11 als Versagensort. Außerdem ist ersichtlich, dass die berechnete Lebensdauer um den Faktor 2 bis 4 höher ist als die experimentell gewonnene Lebensdauer. Die Ergebnisse aus dem Hot-Spot- und Strukturspannungs-Konzept unterscheiden sich etwa um den Faktor 2 bis 3 in ihrer Lebensdauer.

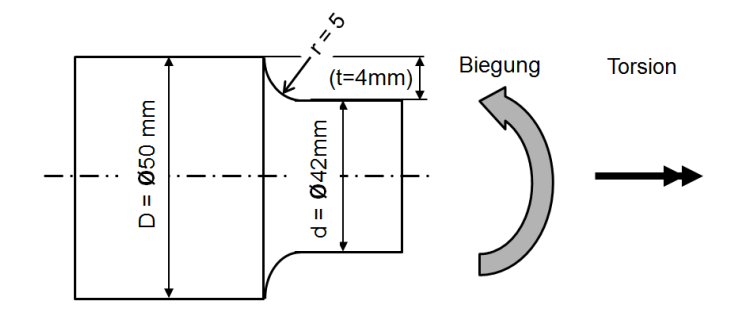


Versagensorte der Schweißkonstruktion

29. Beispiel 28 / FKM Beispiel Wellenabsatz

29.1. Aufgabenstellung

Der Wellenabsatz aus der FKM Richtlinie, Kapitel 6.1, soll hier mit dem winLIFE FKM QUICKCHECK / FKM nachgerechnet werden. Die untere Abbildung zeigt die Geometrie der Welle und die wirkenden Lasten Biegung und Torsion.



Zeichnung des Wellenabsatzes mit Belastung

29.2. Materialangabe und örtliche Spannungen

Die Welle besteht aus dem Werkstoff 41 Cr 4. Es handelt sich um einen Vergütungsstahl und der Werkstoff liegt im vergüteten Zustand vor.

Für den Nachweispunkt sind die folgenden Spannungen angegeben (vgl. FKM-Richtlinie Kapitel 6.1.4):

$$\sigma_{a,x} = 45 \text{MPa}$$
 $\sigma_{m,x} = 0 \text{MPa}$ $\sigma_{a,y} = 247 \text{MPa}$ $\sigma_{m,y} = 0 \text{MPa}$ $\sigma_{m,y} = 103 \text{MPa}$ $\sigma_{m,xy} = 64 \text{MPa}$

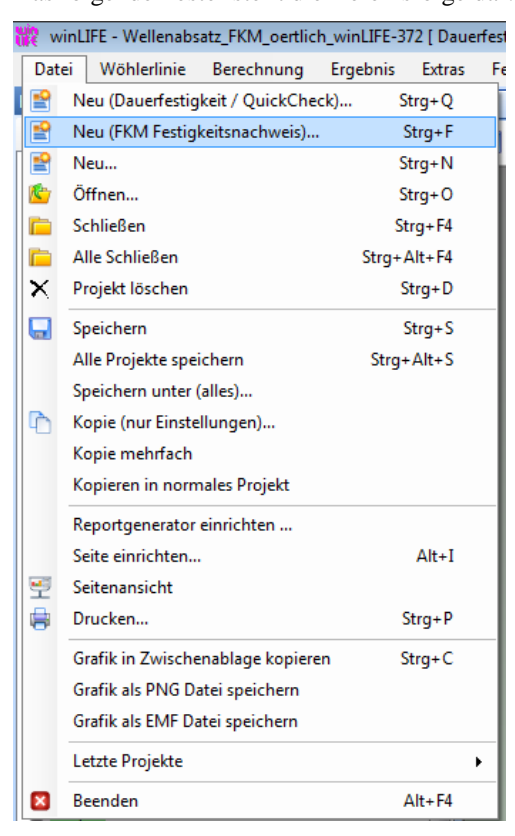
Für den Festigkeitsnachweis nach FKM in winLIFE 4.0 werden örtliche Spannungen verwendet.

29.3. Projektaufbau in winLIFE, Modul QUICK CHECK / FKM

In winLIFE FKM QUICKCHECK erfolgt nun die Projektdefinition. Dazu wird gewählt:

Menü Datei / Neu (FKM Festigkeitsnachweis)...

Das folgende Fester stellt die Befehlsfolge dar:



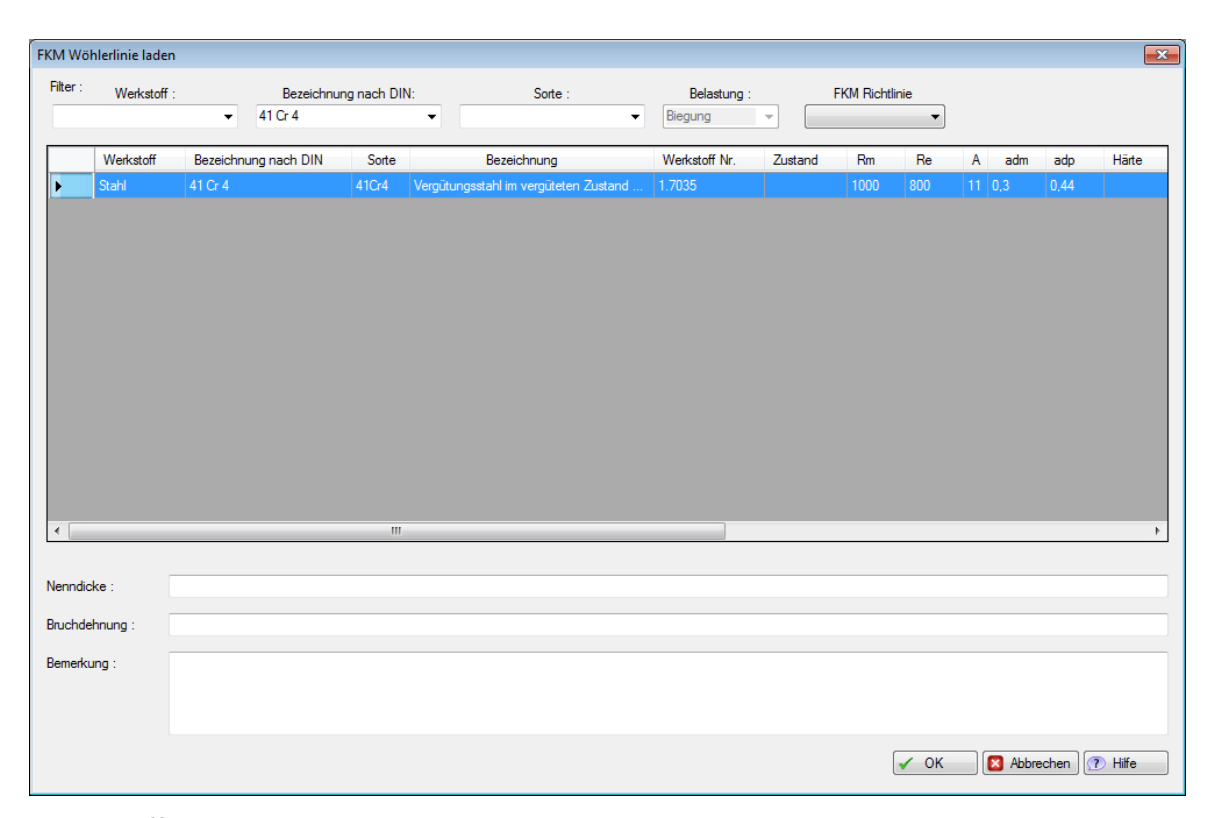
Wahl des Festigkeitsnachweises in winLIFE

Ein Dateiname für das winLIFE FKM QUICKCHECK Projekt wird gewählt, z.B. eignet sich: Wellenabsatz_FKM.wlf.

Die Beanspruchbarkeit des Werkstoffs wird im Menü *Wöhlerlinie* festgelegt. Der Werkstoff 41 Cr 4 im vergüteten Zustand liegt in der winLIFE 4.0 FKM Datenbank vor und kann gewählt werden.

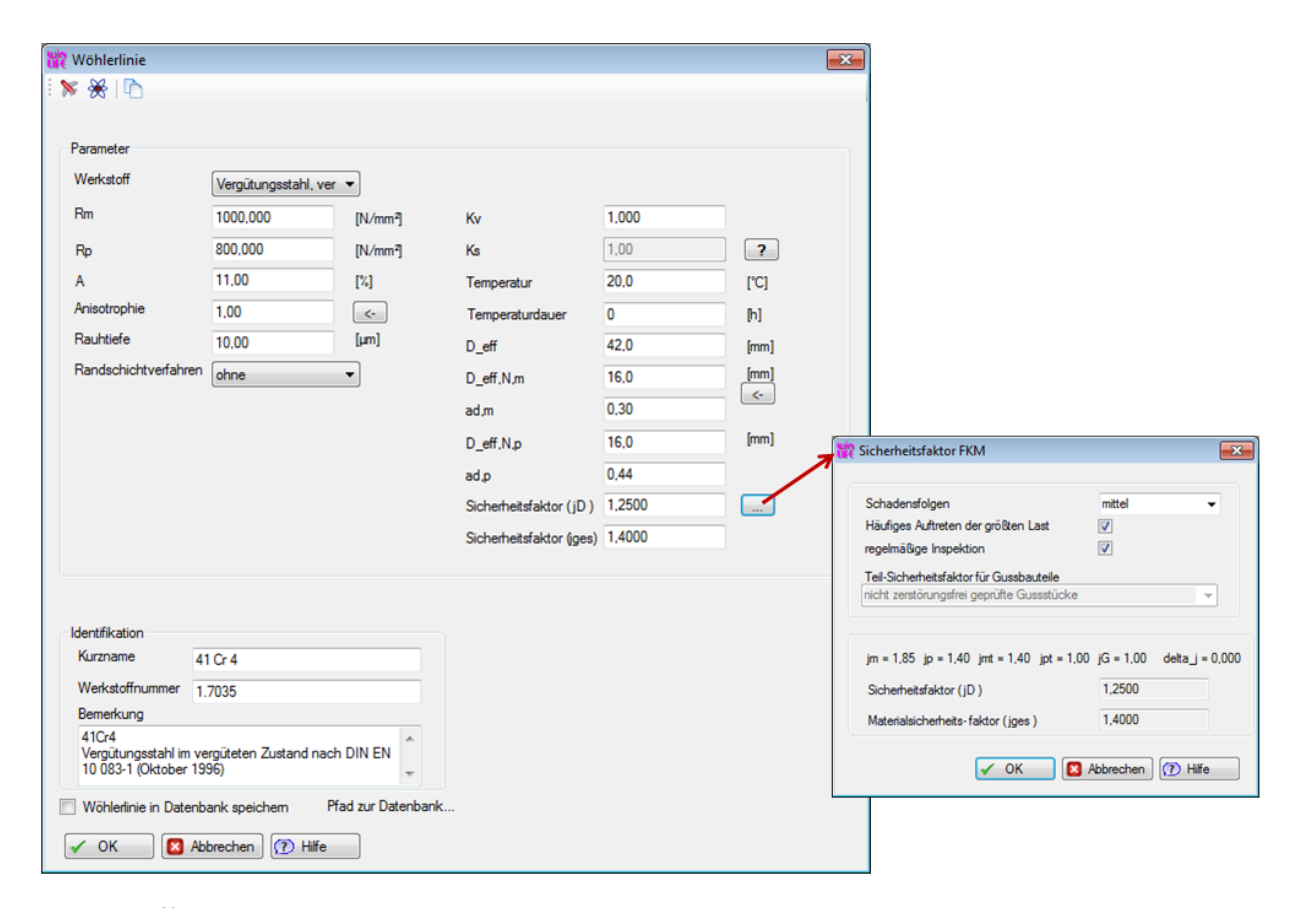
Menü Wöhlerlinie / Laden FKM ...

Im folgenden Fenster wird für die *Bezeichnung nach DIN* der Werkstoff: 41 Cr 4 eingetragen. Daraufhin findet man den gesuchten Werkstoff und wählt diesen aus durch Klicken auf OK.



Werkstoffauswahl aus FKM Datenbank

Die zu ergänzenden Werkstoffangaben können der FKM Richtlinie entnommen werden. Der Sicherheitsfaktor wird hier durch entsprechende Angaben im gezeigten Fenster bestimmt. Schließlich ergibt sich folgende Abbildung für die Eingaben zu der Wöhlerlinie.

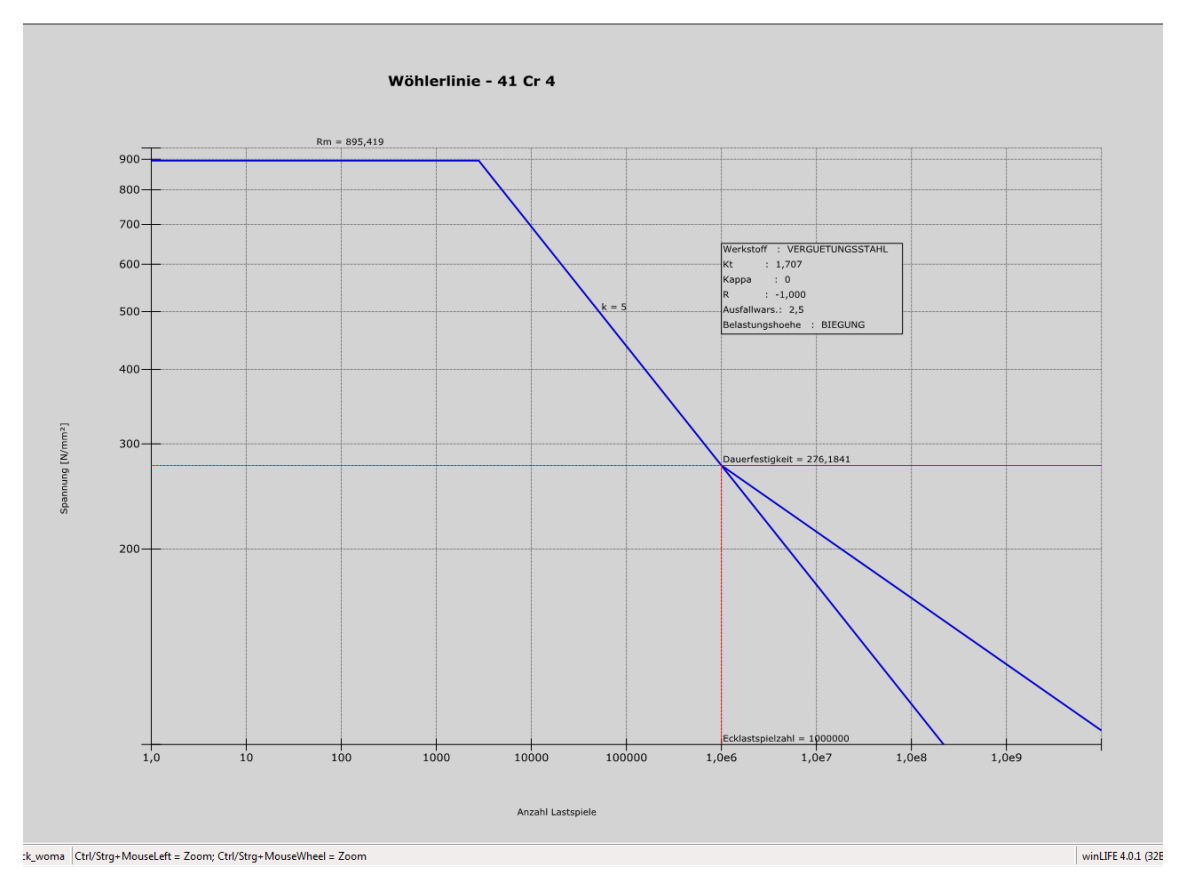


Werkstoffangaben

Aus den gerade getätigten Eingaben wird eine Wöhlerlinie erzeugt. Über die Befehlsfolge

Menü Wöhlerlinie/Wöhlerlinie

Wird diese gezeigt.

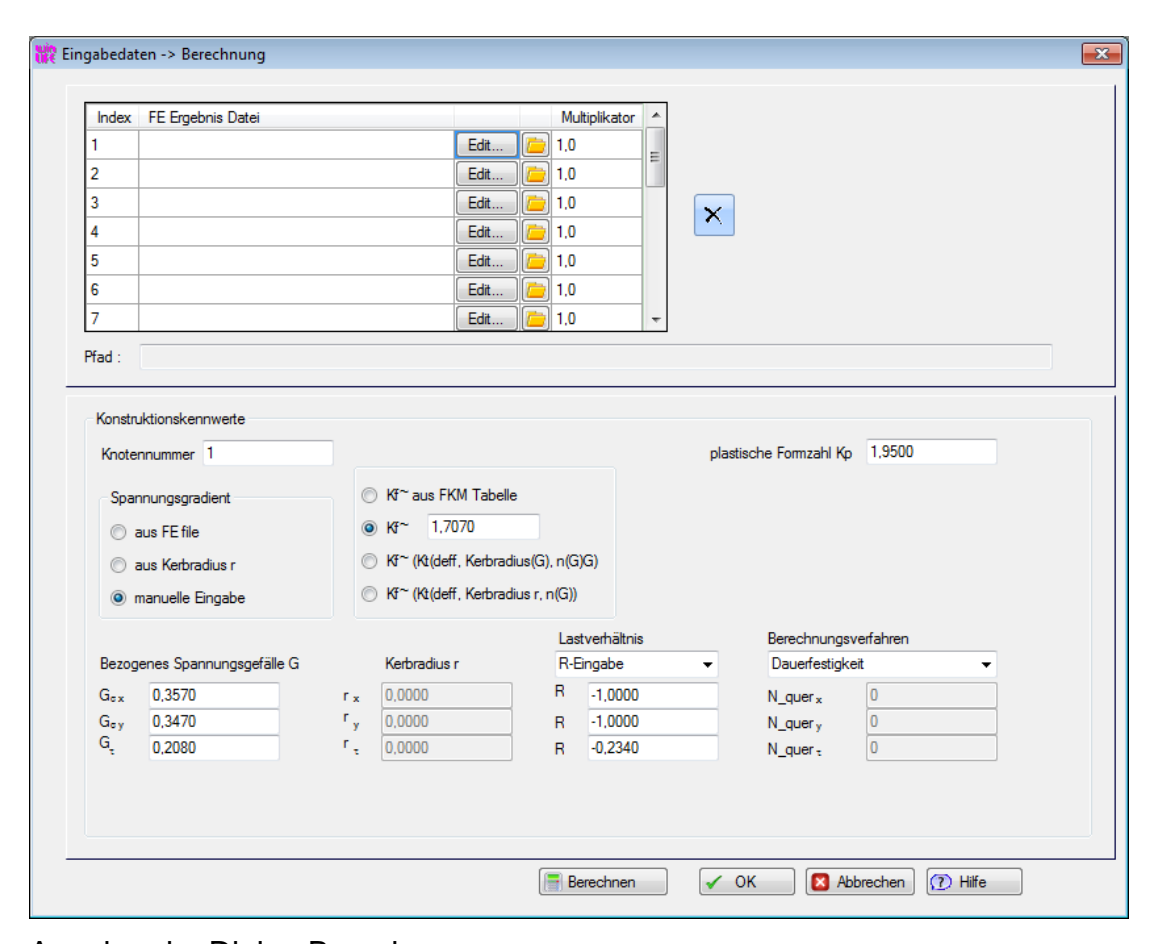


Wöhlerlinie für das Material 41 Cr 4

Nun folgt der Schritt der Belastungseingabe. Das Vorgehen wird hier dokumentiert.

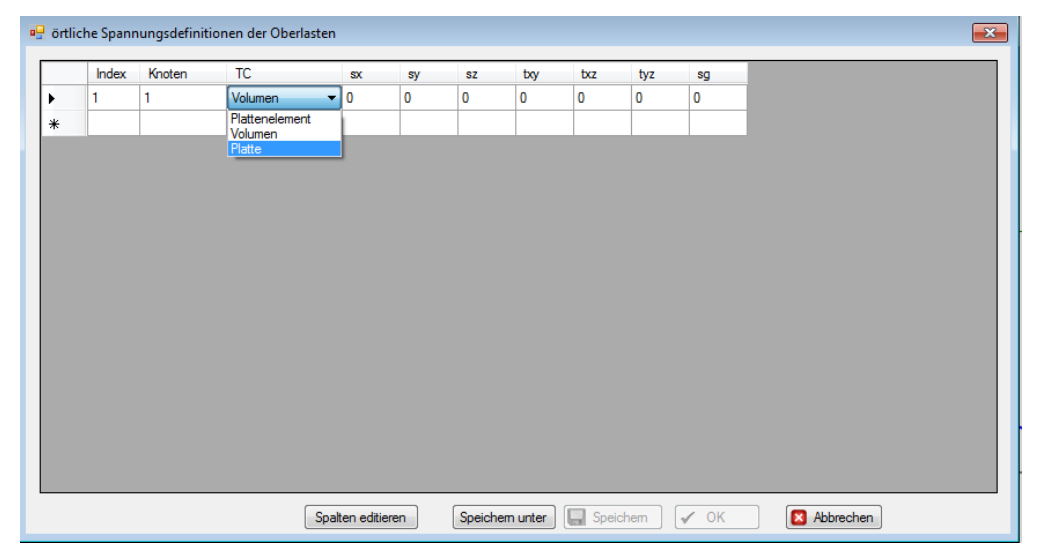
Menü Berechnung das unten dargestellte Bild erscheint

Hier werden also die Angaben zur Belastung gemacht.



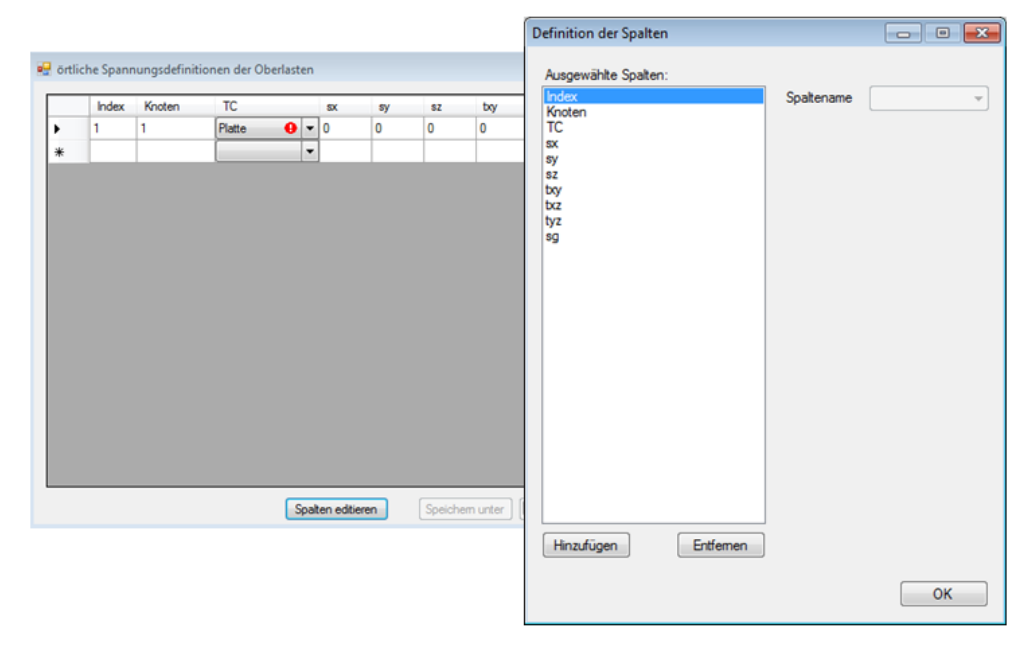
Angaben im Dialog Berechnung

Zunächst erfolgt die Eingabe der örtlichen Spannungen am Nachweispunkt. Dazu wird in der ersten Zeile auf die Schaltfläche *Edit* geklickt (obere Abbildung). Es öffnet sich ein neues Fenster. Hier wird der Spannungstensor angegeben. Für den vorliegenden Fall des ebenen Spannungszustandes soll der Spannungstensor für ein Plattenelement selektiert werden. In der Spalte *TC* wird daher *Platte* aus der Drop-Down Liste gewählt.



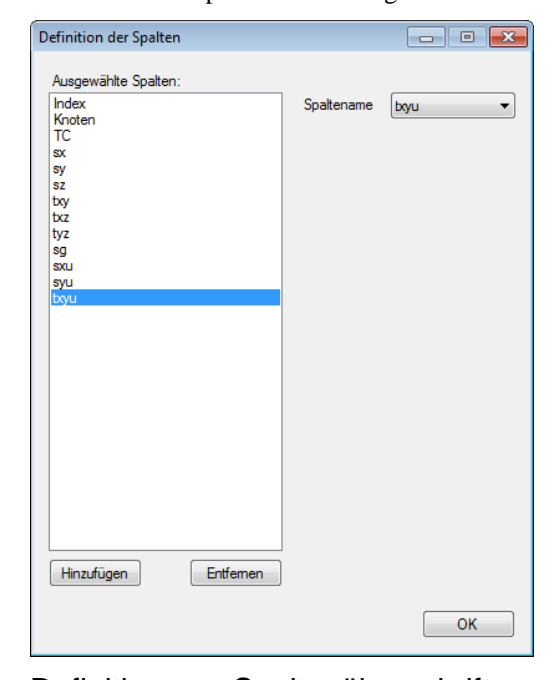
Angabe der örtlichen Spannungen

Die Spaltenüberschriften müssen nun für die Plattenelemente vorbereitet werden. Dazu geht man auf den Button *Spalten editieren*.



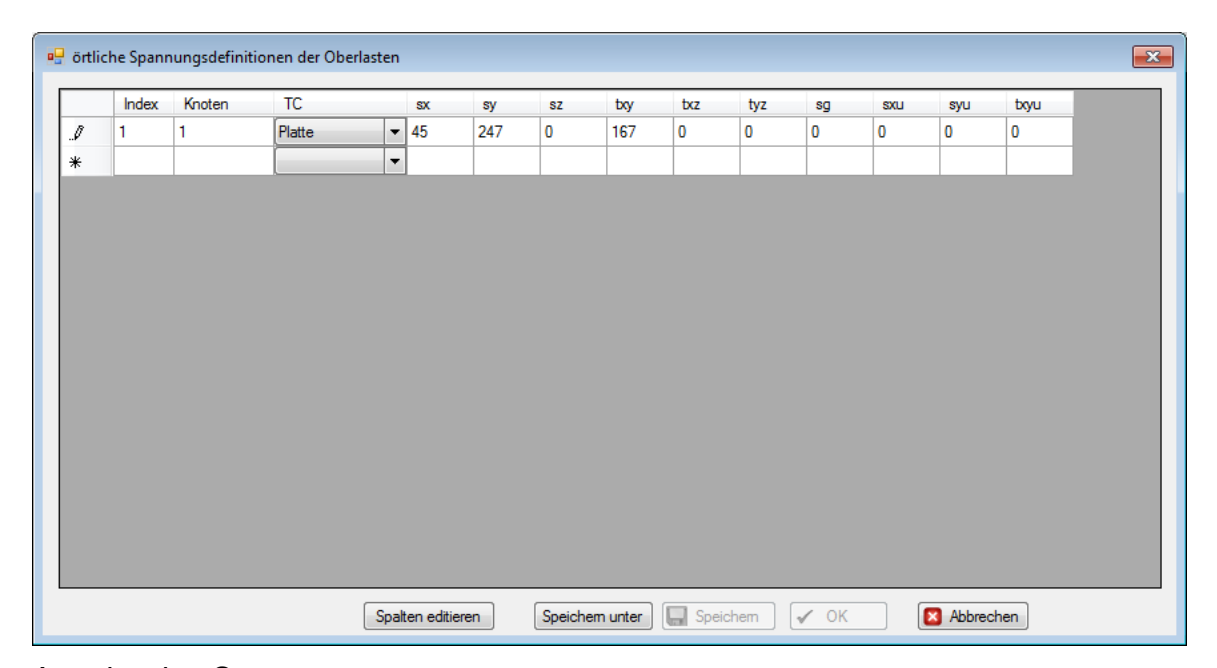
Definition von Spaltenüberschriften

Fortlaufend wird jetzt auf *Hinzufügen* geklickt und der benötigte Spaltenname aus der rechten Drop-Down Liste gewählt. Es sind 3 neue Spalten hinzuzufügen. Es handelt sich um die Spalten *sxu*, *syu* und *txyu* wie unten gezeigt ist.



Definition von Spaltenüberschriften

Nachdem die drei neuen Überschriften definiert sind wird *OK* geklickt und der Spannungstensor wird in die Tabelle eingetragen.

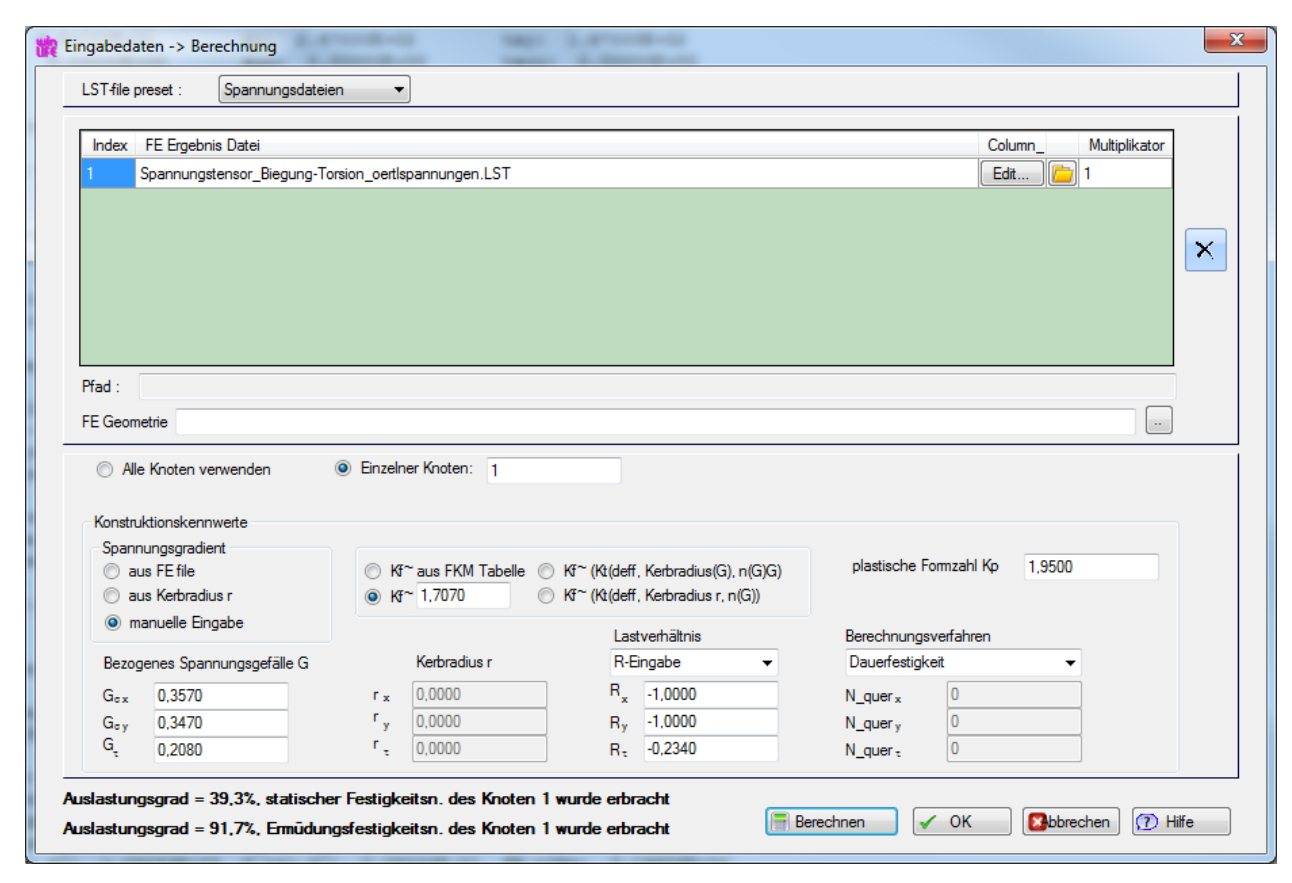


Angabe des Spannungstensors

Die Datei enthält also die auftretenden Spannungen am Nachweispunkt. Die Datei wird gespeichert. Klicken Sie bitte hierzu auf den Button *Speichern unter*. In diesem Beispiel lautet der Dateiname *Spannungstensor_Biegung-Torsion_oertlspannungen.LST*. Aber der Anwender ist in der Wahl des Dateinamens natürlich frei.

Nun werden die weiteren Angaben im unten gezeigten Fenster durchgeführt.

Die plastische Formzahl wird gemäß der FKM Richtlinie ermittelt zu 1,95. Die bezogenen Spannungsgefälle berechnen sich mit Hilfe der Spannungen am Nachbarpunkt (siehe bitte hierzu die FKM-Richtlinie Kapitel 6.1.4). Als Kerbwirkungszahl wird 1,707 für die y-Spannungskomponente verwendet, da diese Spannungskomponente aufgrund ihrer Höhe als relevant anzusehen ist. Als weitere Eingaben folgen die Spannungsverhältnisse und das Berechnungsverfahren, hier *Dauerfestigkeit*. Schließlich sollte das Fenster so ausgefüllt sein wie die untere Abbildung zeigt.



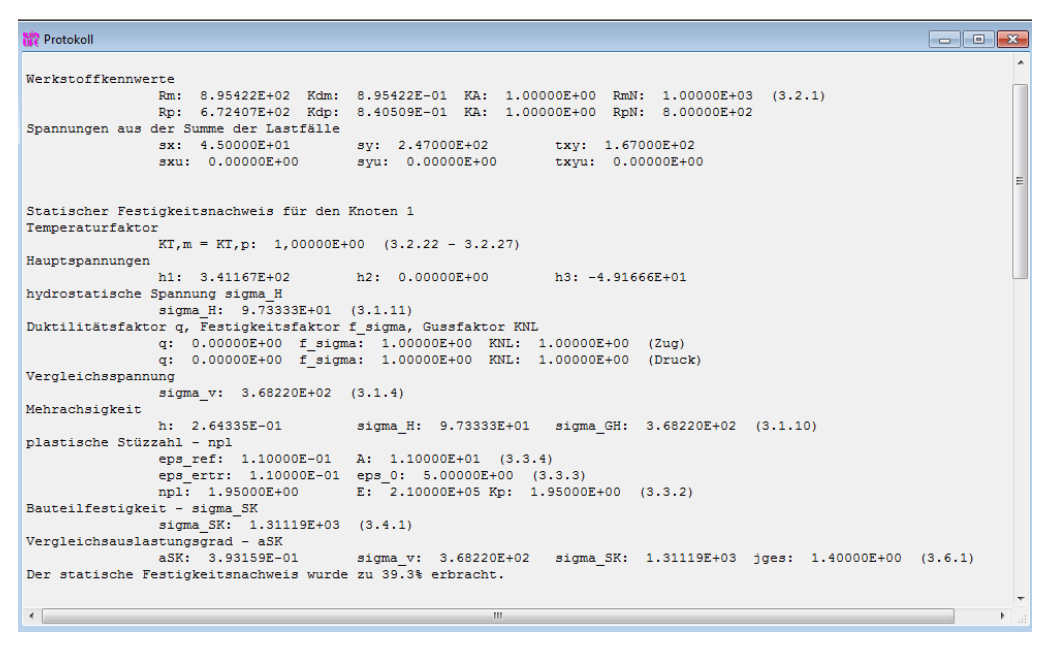
Berechnungsangaben

Die Festigkeitsberechnung wird durchgeführt durch Klicken auf den Button *Berechnen*. Es ergeben sich die Auslastungsgrade für die statische Festigkeit von 39,3% und für die Ermüdungsfestigkeit von 91,7%. Diese entscheidenden Ergebnisse werden jetzt unten links eingeblendet.

29.4. Ergebnis

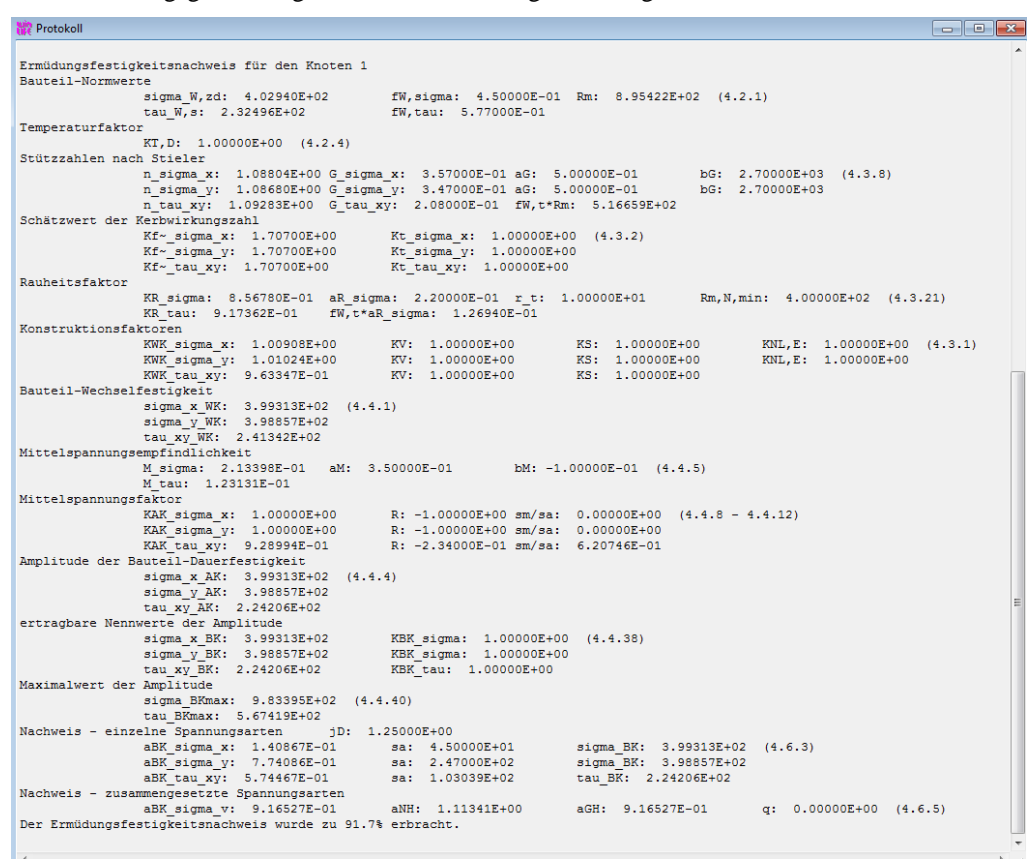
Das Protokoll in winLIFE FKM QUICKCHECK zeigt neben den Auslastungsgraden für die statische Festigkeit und Ermüdungsfestigkeit auch Zwischenergebnisse der Berechnung. Der Anwender kann somit die Berechnungen gut nachvollziehen und die Zwischenschritte mit den Gleichungen aus der FKM-Richtlinie gegenüberstellen.

Die folgende Abbildung zeigt einen Ausschnitt aus dem Ergebnis-Protokoll für den statischen Festigkeitsnachweis. Dabei ist ganz unten der Auslastungsgrad aufgeführt, hier 39,3%.



Protokoll der Festigkeitsberechnung, statischer Nachweis

Nun wird der Ausschnitt aus dem Ergebnis-Protokoll gezeigt, der für den Nachweis der Ermüdungsfestigkeit relevant ist. Der Auslastungsgrad bezogen auf die Dauerfestigkeit beträgt 91,7% wie man der untersten Zeile entnehmen kann.

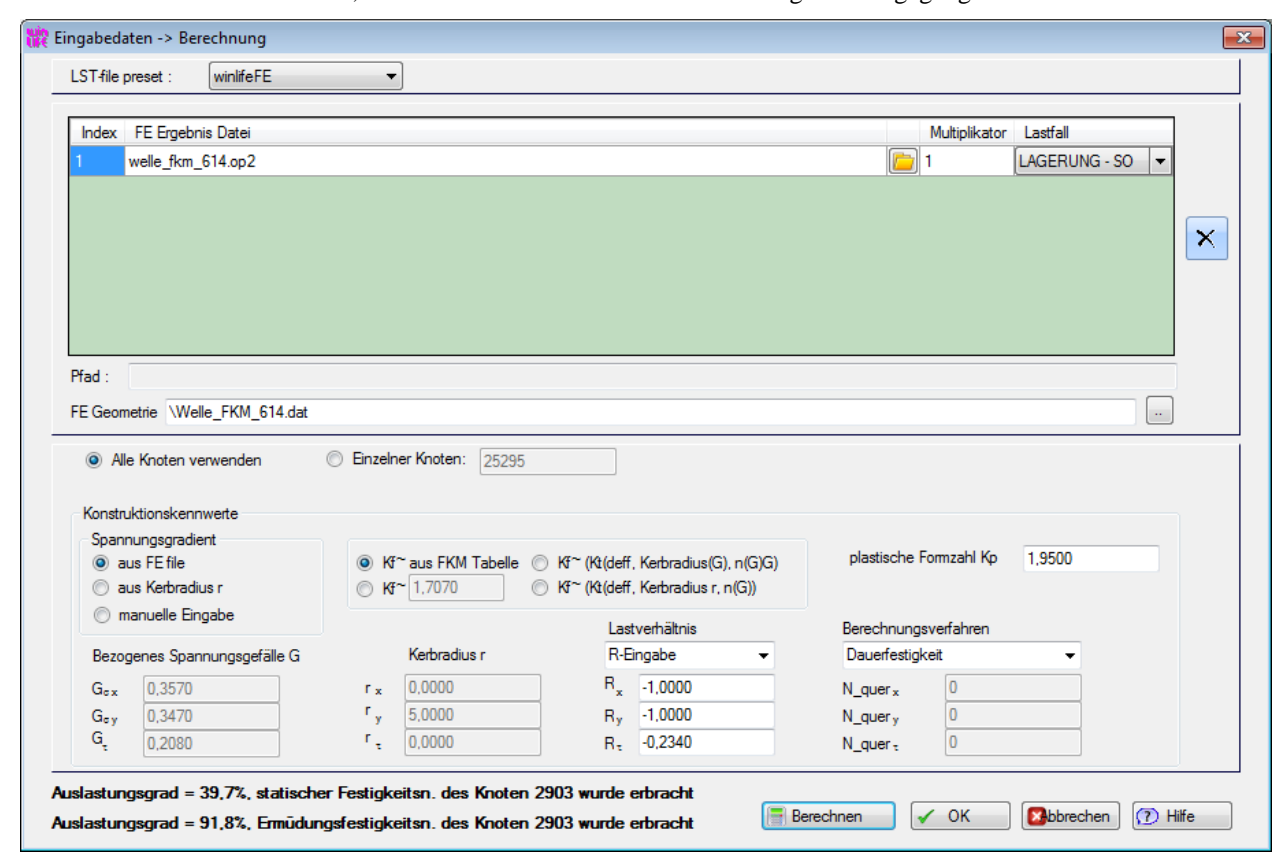


Protokoll der Festigkeitsberechnung, Ermüdungsnachweis

29.5. Berücksichtigung von Finite-Elemente-Ergebnisse

Das aktuelle winLIFE FKM-Modul ist in der Lage Finite-Elemente Ergebnisse einzulesen und auszuwerten. Die NASTRAN Ergebnisse (op2-Datei) werden ausgewählt und der relevante Lastfall eingestellt. Der Spannungsgradient wird aus dem FE-Modell bestimmt und die Kerbwirkungszahl wird der FKM-Tabelle entnommen. Die plastische Formzahl wurde hier nicht mit der FE-Methode bestimmt, sondern der FKM-Richtlinie entnommen. Für Anwender des VIEWER4WINLIFE empfiehlt es sich die NASTRAN dat-Datei einzulesen, um die Ergebnisse im Anschluss an die Berechnung darstellen zu können.

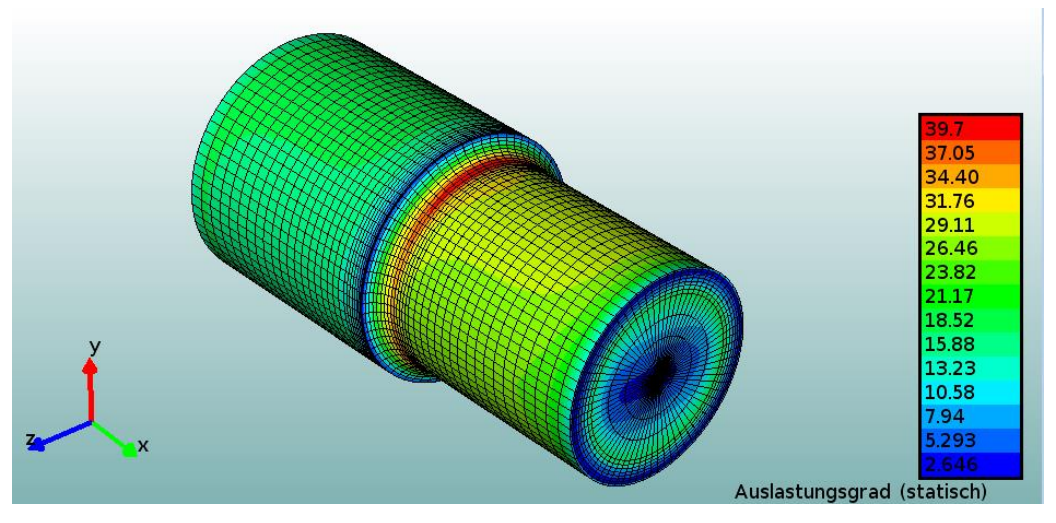
Werden alle Knoten verwendet, kann von mehreren Minuten Berechnungszeit ausgegangen werden.



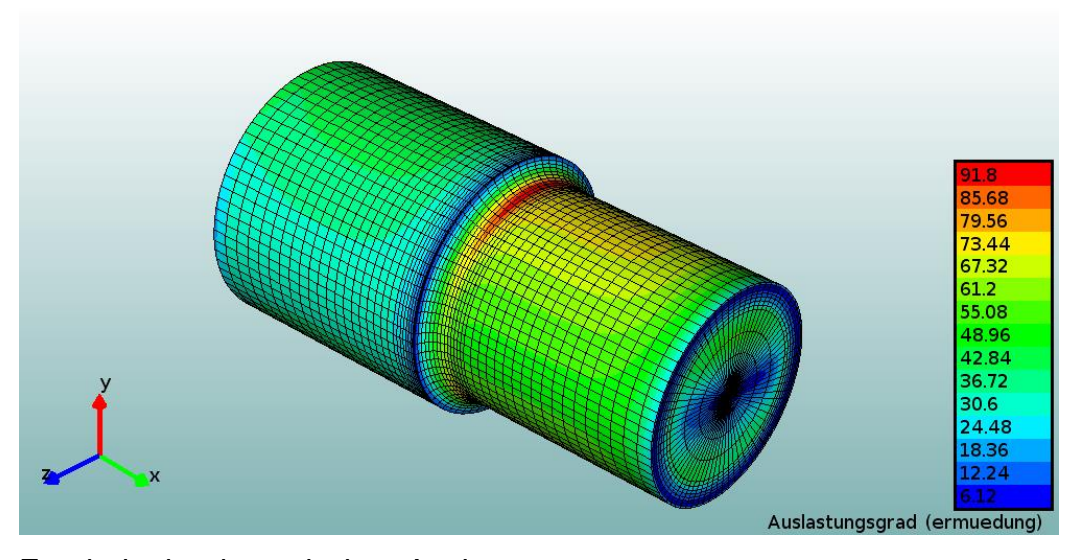
Einstellungen für die Verwendung von NASTRAN Ergebnisse

Die Ergebnisse betragen für den statischen Auslastungsgrad 39,7% und für den dynamischen Auslastungsgrad 91,8%. Die Auslastungsgrade nach der FKM-Richtlinie für das Beispiel 6 sind angegeben mit 39% (statisch) und 92% (dynamisch). Die Abweichungen zu der FKM-Richtlinie sind also gering.

Die Ergebnisse der Auslastungsgrade sind folgend dargestellt.



Ergebnis der statischen Auslastung



Ergebnis der dynamischen Auslastung

30. Beispiel 29 / FKM Beispiel Gussbauteil

30.1. Aufgabenstellung

Das Gussbauteil aus der FKM Richtlinie, Kapitel 6.2, soll hier mit dem winLIFE FKM QUICKCHECK / FKM nachgerechnet werden. Die untere Abbildung zeigt die Geometrie des Bauteils mit dem Nachweispunkt.

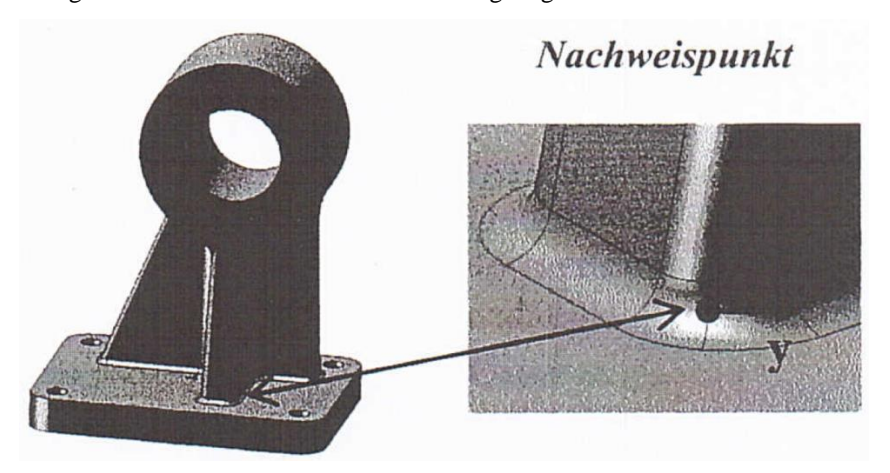


Abbildung des Gussbauteils [FKM Richtlinie]

30.2. Materialangabe und örtliche Spannungen

Der Lagerbock besteht aus dem Werkstoff EN-GJL-250 (alt GG-25).

Die Rauheit der Oberfläche beträgt $R_z = 200 \mu m$.

Für den Nachweispunkt sind die folgenden Spannungen aus einer FEM-Analyse gegeben (vgl. FKM-Richtlinie Kapitel 6.2.0):

Oberlastfall:Unterlastfall: $\sigma_{x,O} = 60\text{MPa}$ $\sigma_{x,U} = -34\text{MPa}$ $\sigma_{v,O} = 16\text{MPa}$ $\sigma_{v,U} = -8\text{MPa}$

 $\tau_{xy,O} = 1$ MPa $\tau_{xy,U} = -1$ MPa

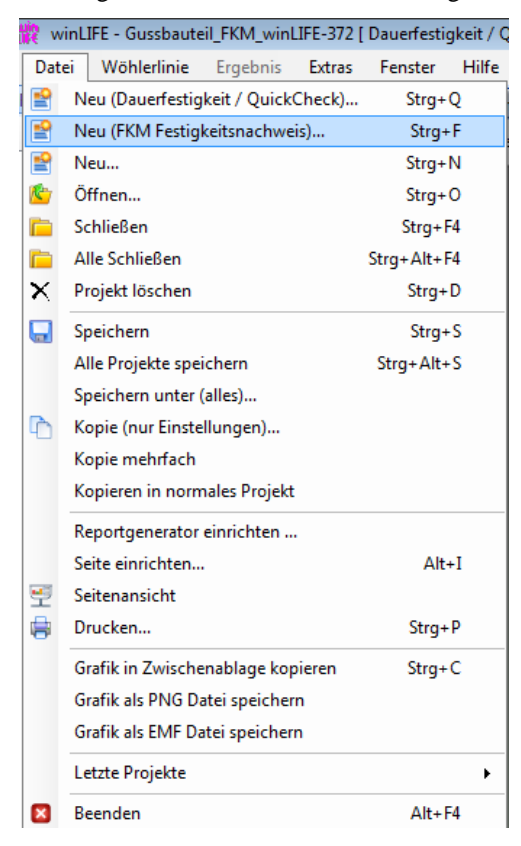
Für den Festigkeitsnachweis nach FKM in winLIFE werden örtliche Spannungen verwendet.

30.3. Projektaufbau in winLIFE, Modul QUICK CHECK / FKM

In winLIFE 4.0 erfolgt nun die Projektdefinition. Dazu wird gewählt:

Menü Datei / Neu (FKM Festigkeitsnachweis)...

Das folgende Fester stellt die Befehlsfolge dar:



Wahl des Festigkeitsnachweises in winLIFE

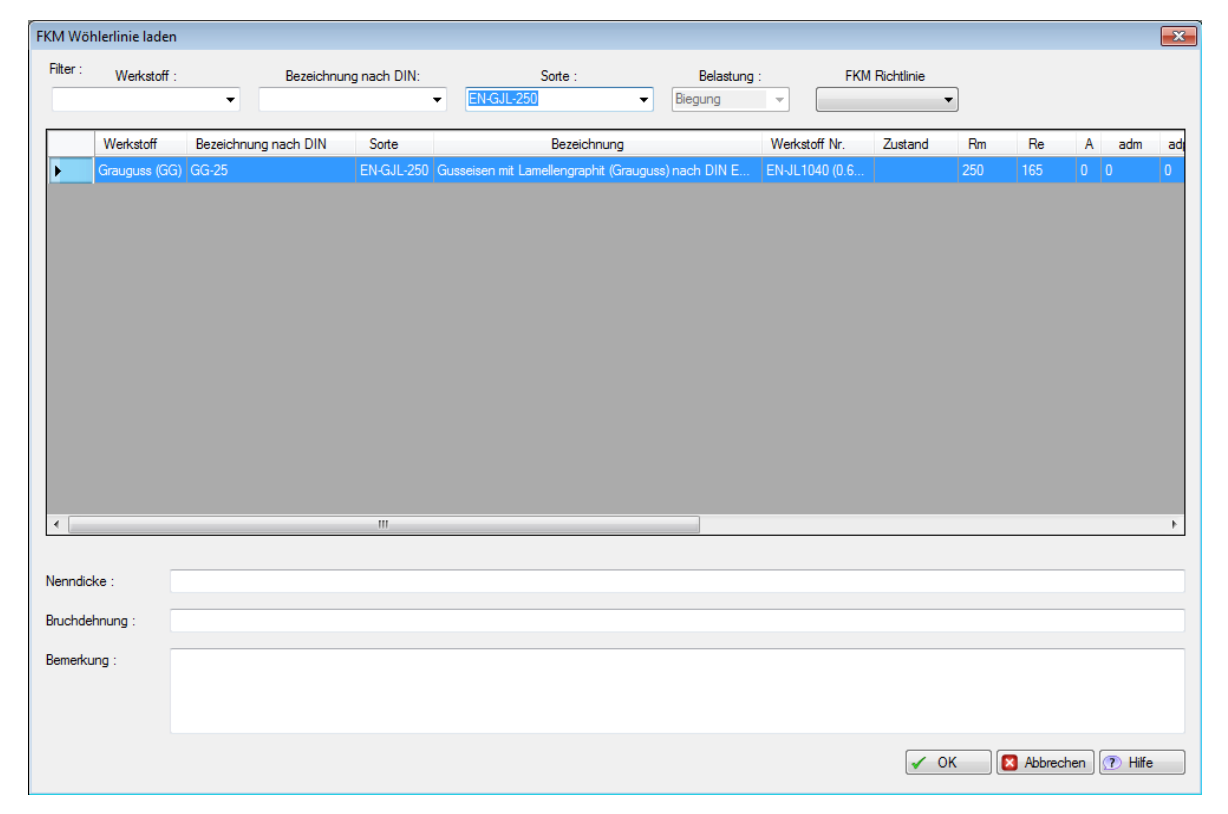
Der Anwender wählt nun einen Dateiname für das winLIFE FKM QUICKCHECK Projekt, z.B. eignet sich: Gussbauteil_FKM.wlf.

Als nächstes wird die Beanspruchbarkeit des Werkstoffs im Menü Wöhlerlinie festgelegt.

Der Werkstoff EN-GJL-250 liegt in der winLIFE 4.0 FKM Datenbank vor und kann wie folgt gewählt werden:

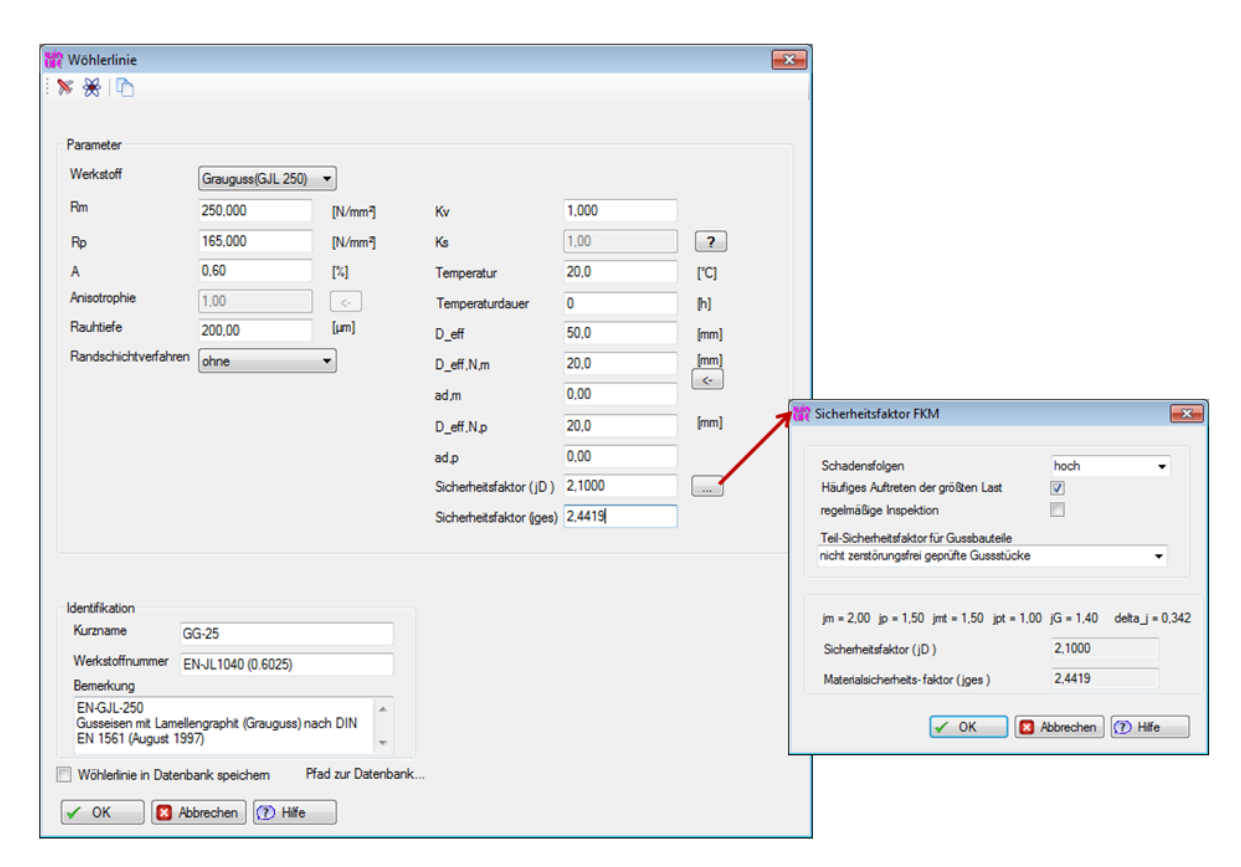
Menü Wöhlerlinie / Laden FKM...

Daraufhin öffnet sich ein neues Fenster und es wird im Feld *Sorte* der Werkstoff: EN-GJL-250 eingetragen. Der gesuchte Werkstoff erscheint nun und man wählt diesen aus durch Klicken auf OK.



Werkstoffauswahl aus der FKM Datenbank

Die zu ergänzenden Werkstoffangaben können der FKM Richtlinie entnommen werden. Der Sicherheitsfaktor wird hier durch entsprechende Angaben im gezeigten Fenster bestimmt. Schließlich ergibt sich folgende Abbildung für die Eingaben zu der Wöhlerlinie.

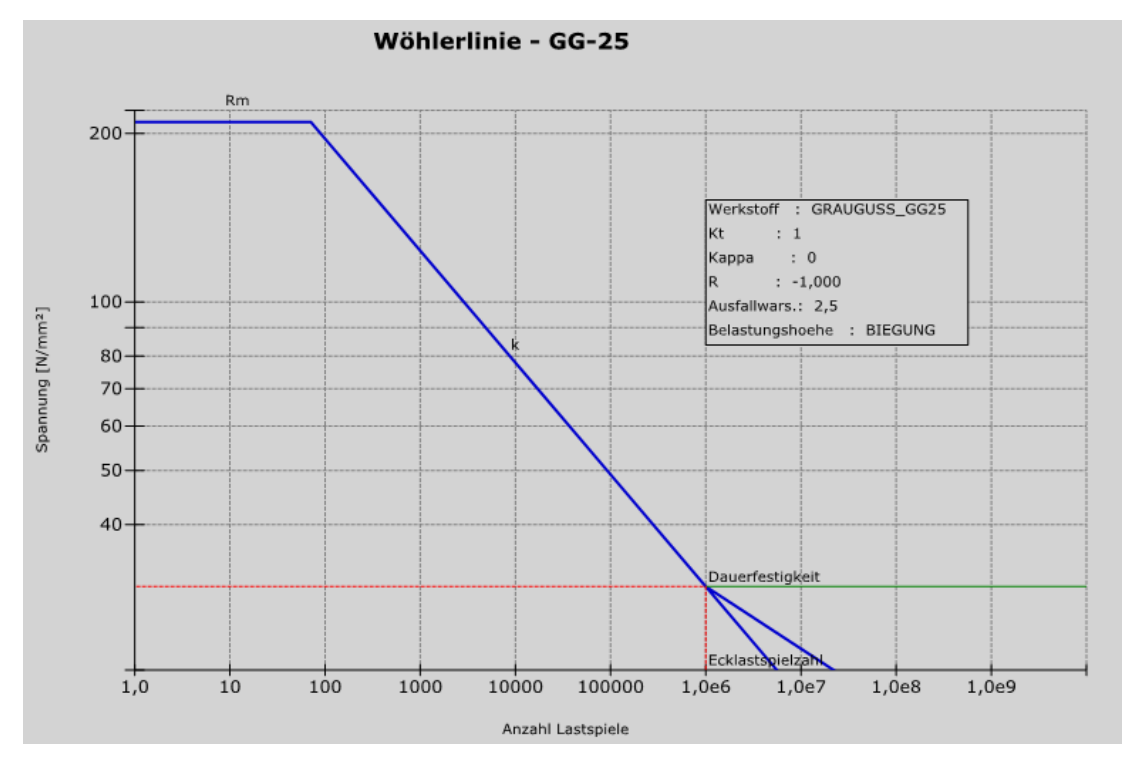


Werkstoffangaben

Aus den gerade getätigten Eingaben wird eine Wöhlerlinie erzeugt. Über die Befehlsfolge

Menü Wöhlerlinie / Wöhlerlinie

wird diese gezeigt.

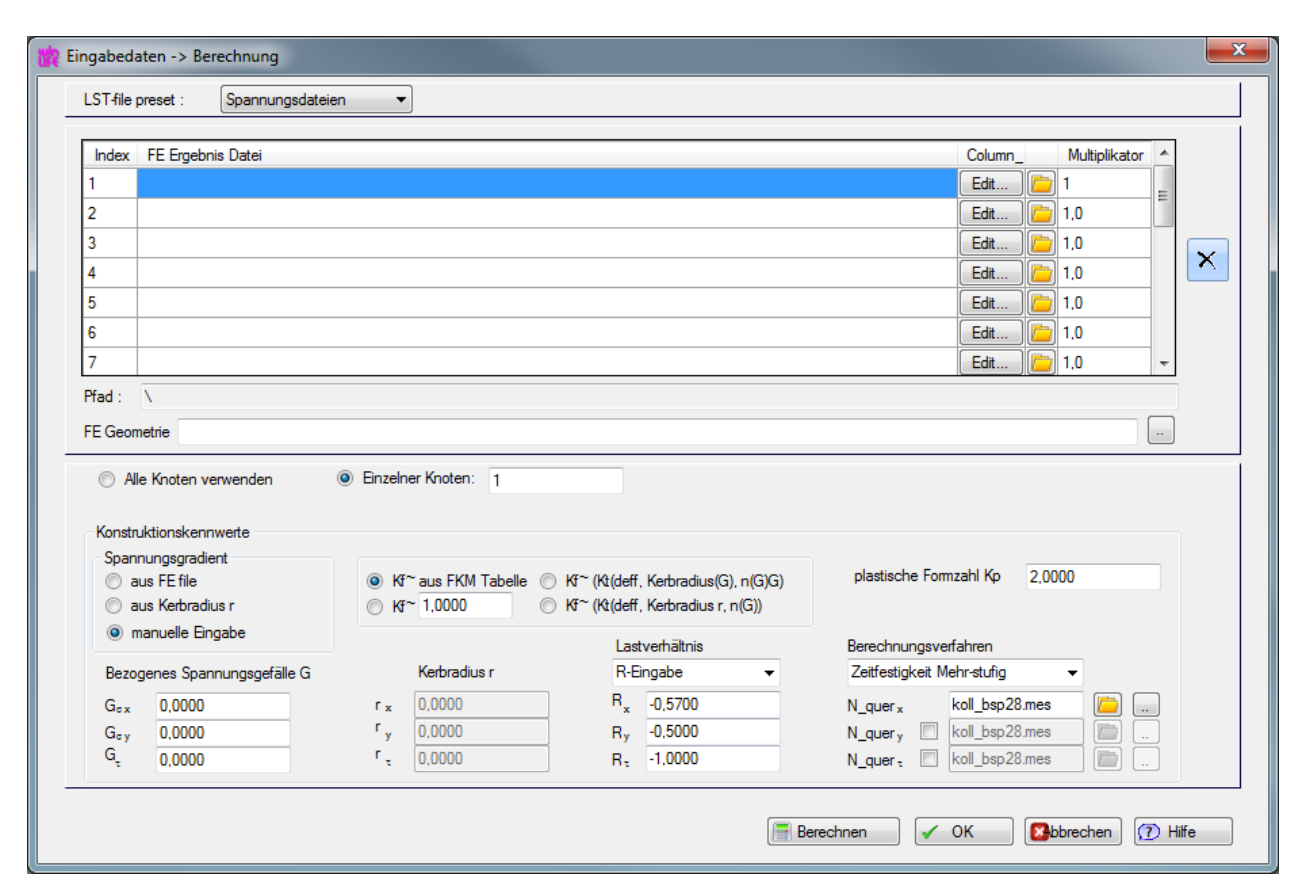


Wöhlerlinie für das Material EN-GJL-250 (GG-25)

Nun folgt der Schritt der Belastungseingabe. Das Vorgehen wird hier dokumentiert.

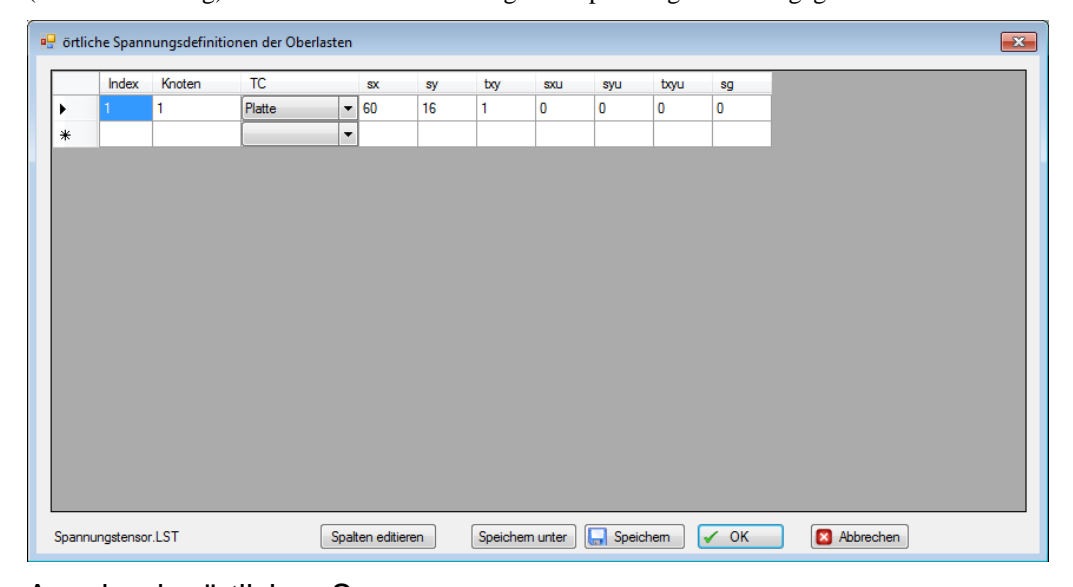
Menü Berechnung das unten dargestellte Bild erscheint

Hier werden also die Angaben zur Belastung gemacht.



Angaben im Dialog Berechnung

Zunächst erfolgt die Eingabe der örtlichen Spannungen am Nachweispunkt. Dazu wird die vorhandene Datei *Spannungstensor.LST* geöffnet, indem in der ersten Zeile auf die Schaltfläche mit dem Ordnersymbol geklickt wird (obere Abbildung). In dieser Datei ist der folgende Spannungstensor angegeben:



Angabe der örtlichen Spannungen

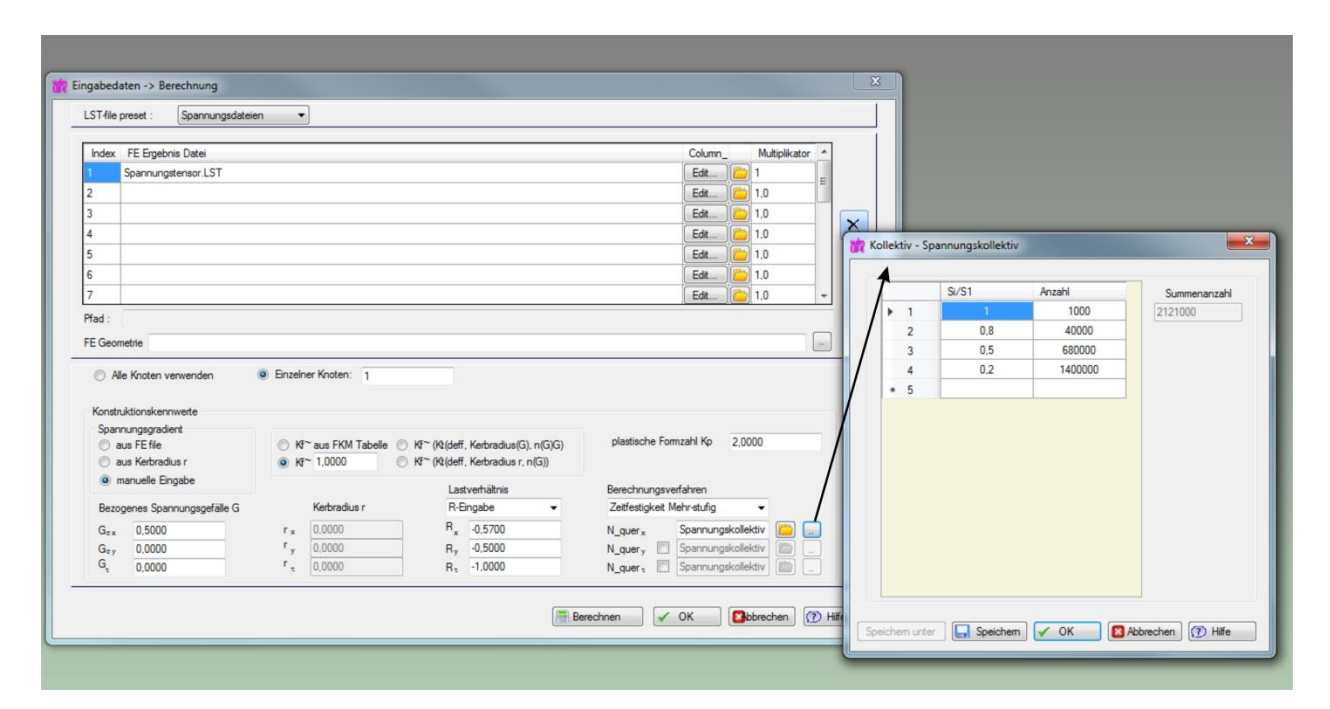
Die Datei enthält also die auftretenden Spannungen am Nachweispunkt. Im vorherigen winLIFE 4.0 Beispiel wird die Erstellung und Änderung einer solchen LST-Datei beschrieben.

Nun werden die weiteren Angaben im unten gezeigten Fenster getätigt.

Der Wert für die plastische Formzahl Kp braucht laut FKM nicht berechnet werden - damit wird hier für die plastische Stützzahl die Plastizitätszahl des Werkstoffs verwendet. Als weitere Eingaben folgen das Spannungsgefälle, die Spannungsverhältnisse und das Berechnungsverfahren, hier Zeitfestigkeit Mehr-stufig.

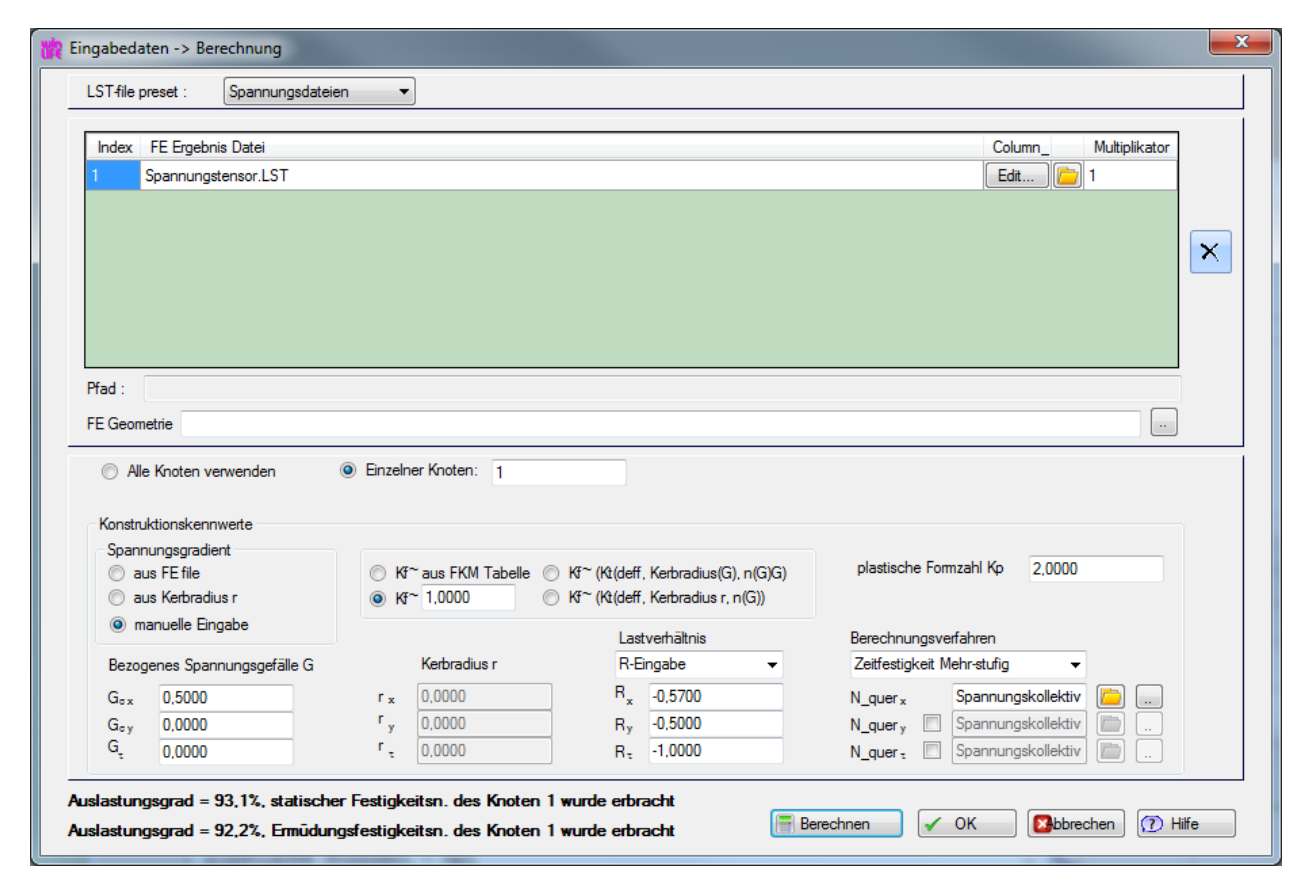
Die wirkende mehrstufige Belastung auf das Bauteil, wird in Tabellenform angegeben (siehe Abbildung unten). Für die drei Spannungskomponenten x, y und τ wirkt nach Aufgabenstellung das gleiche Kollektiv.

Schließlich sollte das Fenster so ausgefüllt sein wie die untere Abbildung zeigt.



Eingabe des Spannungskollektivs

Nun wird die Festigkeitsberechnung durchgeführt durch Klicken auf den Button *Berechnen*. Es ergeben sich die Auslastungsgrade für die statische Festigkeit von 93,1% und für die Ermüdungsfestigkeit von 92,2%. Diese Ergebnisse werden im Fenster links eingeblendet (siehe bitte Abbildung unten).



Eingaben und Ergebnisse der Auslastungsgrade

30.4. Ergebnis

Das Protokoll in winLIFE FKM QUICKCHECK zeigt neben den Auslastungsgraden für die statische Festigkeit und Ermüdungsfestigkeit auch Zwischenergebnisse der Berechnung. Der winLIFE Anwender kann somit die Berechnungen gut nachvollziehen und die Zwischenschritte mit den Gleichungen aus der FKM-Richtlinie gegenüberstellen.

Die folgende Abbildung zeigt einen Ausschnitt aus dem Ergebnis-Protokoll für den statischen Festigkeitsnachweis. Dabei ist ganz unten der Auslastungsgrad aufgeführt, hier 93,1%.

```
Werkstoffkennwerte

Rm: 2.09552E+02 Kdm: 8.38208E-01 KA: 1.00000E+00 RmN: 2.50000E+02 (3.2.1)
Rp: 1.38304E+02 Kdp: 8.38208E-01 KA: 1.00000E+00 RpN: 1.65000E+02 (3.2.1)
Spannungen aus der Summe der Lastfälle
sx: 6.0000E+01 sy: 1.60000E+01 txy: 1.00000E+00
sxu: 0.00000E+00 syu: 0.00000E+00 txyu: 0.00000E+00

Statischer Festigkeitsnachweis für den Knoten 1
Temperaturfaktor
KT,m = KT,p: 1,00000E+00 (3.2.22 - 3.2.27)
Hauptspannungen
h1: 6.0022TE+01 h2: 1.59773E+01 h3: 0.00000E+00
hydrostatische Spannung sigma H
sigma H: 2.53333E+01 (3.1.11)
Duktilitätsfaktor q, Festigkeitsfaktor f sigma, Gussfaktor KNL
q: 1.00000E+00 f_sigma: 1.00000E+00 KNL: 1.10000E+00 (2ug)
q: 1.00000E+00 f_sigma: 2.50000E+00 KNL: 9.10000E-01 (Druck)

Vergleichsspannung
sigma_v: S.45661E+01 (3.1.5)
Mehrachsigkeit
h: 4.70509E-01 sigma_H: 2.5333E+01 sigma_GH: 5.38424E+01 (3.1.10)
plastische Stüzzahl - npl
eps_ref: 2.40000E-03 A: 6.0000DE-01 (3.3.5)
eps_ertr: 1.48097E-03 eps_0: 1.38304E-03 (3.3.3)
eps_ertr: 1.48097E-03 eps_0: 1.38304E-03 (3.3.3)
eps_ertr: 1.48097E-03 eps_0: 1.38304E-03 (3.3.3)
Bauteilfestigkeit - sigma_SK: 1.43117E+02 (3.4.1)
Vergleichsauslastungsgrad - aSK
aSK: 9.31016E-01 sigma_v: 5.45661E+01 sigma_SK: 1.43117E+02 jges: 2.44189E+00 (3.6.1)
Auslastungsgrad = 93.1k, statischer Festigkeitsnachweis wurde erbracht.
```

Protokoll der Festigkeitsberechnung, statischer Nachweis

Nun wird der Ausschnitt aus dem Ergebnis-Protokoll gezeigt, der für den Nachweis der Ermüdungsfestigkeit relevant ist. Der Auslastungsgrad bezogen auf die Dauerfestigkeit beträgt 92,2% wie man der untersten Zeile entnehmen kann.

```
Ermüdungsfestigkeitsnachweis für den Knoten 1
                                                          fW, sigma: 3.40000E-01 Rm: 2.09552E+02 (4.2.1) fW, tau: 1.00000E+00
                    sigma_W,zd: 7.12477E+01
tau W,s: 7.12477E+01
Temperaturfaktor
KT,D: 1.00000E+00 (4.2.4)
Stützzahlen nach Stieler
sigma_x_AK: 1.01186E+02 (4.4.4)
sigma_y_AK: 5.86136E+01
tau_xy_AK: 6.51262E+01
ertragbare Nennwerte der Amplitude
ertragbare Nennwerte der Amplitude

sigma x_BK: 1.96938E+02 KBK_sigma: 1.94630E+00 (4.4.38)

sigma y_BK: 1.14080E+02 KBK_sigma: 1.94630E+00

tau xy_BK: 1.15287E+02 KBK_tau: 1.77021E+00

Maximalwert der Amplitude

sigma_BKmax: 1.07338E+02 (4.4.40)

Begrenzung der Maximalamplitude
        segrenzung der Maximalamplitude
sigma x BK: 1.07338E+02
Begrenzung der Maximalamplitude
sigma y BK: 1.07338E+02
tau BKmax: 1.07338E+02
Begrenzung der Maximalamplitude
sigma y BK: 1.07338E+02
KBK_sigma_y: 1.83128E+00
Begrenzung der Maximalamplitude
tau xy BK: 1.07338E+02 KBK_tau_xy: 1.64815E+00

Nachweis - einzelne Spannungsarten jD: 2.10000E+00

aBK_sigma_x: 9.21484E-01 sa: 4.71000E+01 sigma_BK: 1.07338E+02 (4.6.3)

aBK_sigma_y: 2.34773E-01 sa: 1.20000E+01 sigma_BK: 1.07338E+02

aBK_tau_xy: 1.95644E-02 sa: 1.0000E+00 tau_BK: 1.07338E+02
        Begrenzung der Maximalamplitude
aBK tau xy: 1.95644E-02
Nachweis - zusammengesetzte Spannungsarten
                                                                          41E-01 aGH: 8.29635E-01 q: 1.00000E+00 (4.6.5) erbracht.
aBK_sigma_v: 9.22041E-01 aNH: 9.22041E-01
Auslastungsgrad = 92.2%, Ermüdungsfestigkeitsnachweis wurde erbrac
```

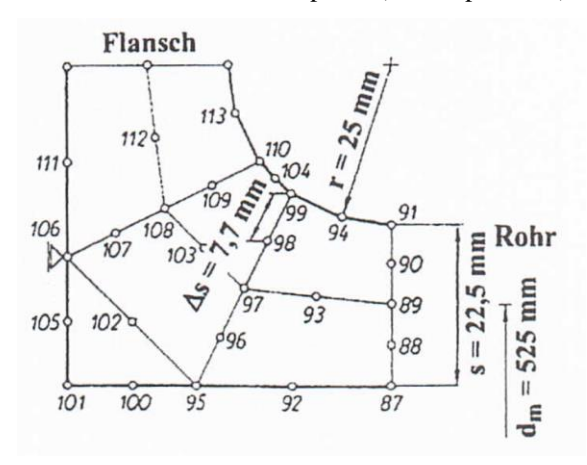
Protokoll der Festigkeitsberechnung, Ermüdungsnachweis

31. Beispiel 30 / FKM Beispiel Verdichterflansch

31.1. Aufgabenstellung

Als weiteres Beispiel wird ein Verdichterflansch aus Grauguss hinsichtlich seiner Festigkeit bewertet. Auch dieses Bauteil stammt wie die beiden vorherigen Beispiele aus der FKM Richtlinie (Kapitel 6.3).

Die Berechnung erfolgt mit dem winLIFE FKM QUICKCHECK /FKM Die untere Abbildung zeigt die Geometrie des Bauteils mit dem Nachweispunkt (Knotenpunkt 99).



FE-Modell des Verdichterflansches [FKM Richtlinie]

31.2. Materialangabe und örtliche Spannungen

Der Verdichterflansch besteht aus dem Werkstoff GJL-300 (alt GG-30).

Die Rauheit der Oberfläche beträgt $R_z = 200 \mu m$.

Für den Nachweispunkt (Knotenpunkt 99) sind die folgenden Spannungen in den Richtungen 1 (Längsrichtung) und 2 (Umfangsrichtung) gegeben (vgl. FKM-Richtlinie Kapitel 6.3.0):

$$\sigma_1 = \sigma_{1,m} \pm \sigma_{1,a} = 15,0 \text{MPa} \pm 18,6 \text{MPa}$$

$$\sigma_2 = \sigma_{2,m} \pm \sigma_{2,a} = 5,0$$
MPa $\pm 6,2$ MPa

$$\sigma_3 = 0$$

Als Hinweis: Für den Festigkeitsnachweis nach FKM in winLIFE FKM QUICKCHECK /FKM werden örtliche Spannungen verwendet.

31.3. Umgebungsbedingungen

Der Verdichterflansch soll für Temperaturen von 380°C bei 100.000h ausgelegt werden.

31.4. Projektaufbau in winLIFE, Modul QUICK CHECK / FKM

In winLIFE 4.0 erfolgt nun die Projektdefinition. Dazu wird gewählt:

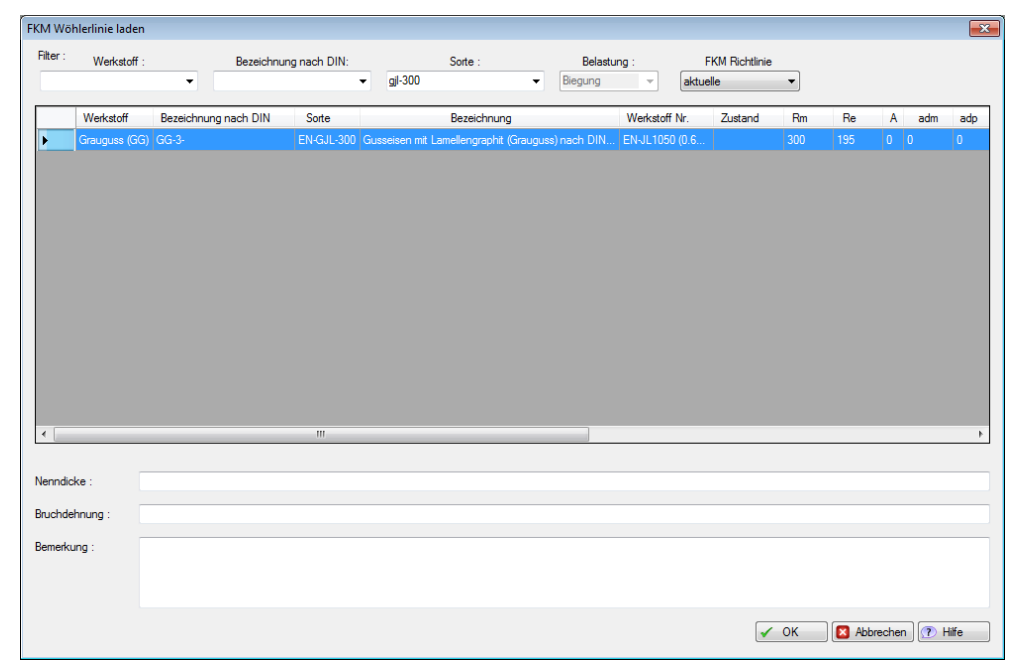
Menü Datei/Neu (FKM Festigkeitsnachweis)...

Der Anwender wählt einen Dateinamen für das winLIFE Projekt, z.B. eignet sich: Verdichterflansch_FKM.wlf.

Als nächstes wird der Werkstoffs im Menü Wöhlerlinie festgelegt. Der Werkstoff EN-GJL-300 liegt in der winLIFE 4.0 FKM Datenbank vor und kann wie folgt gewählt werden:

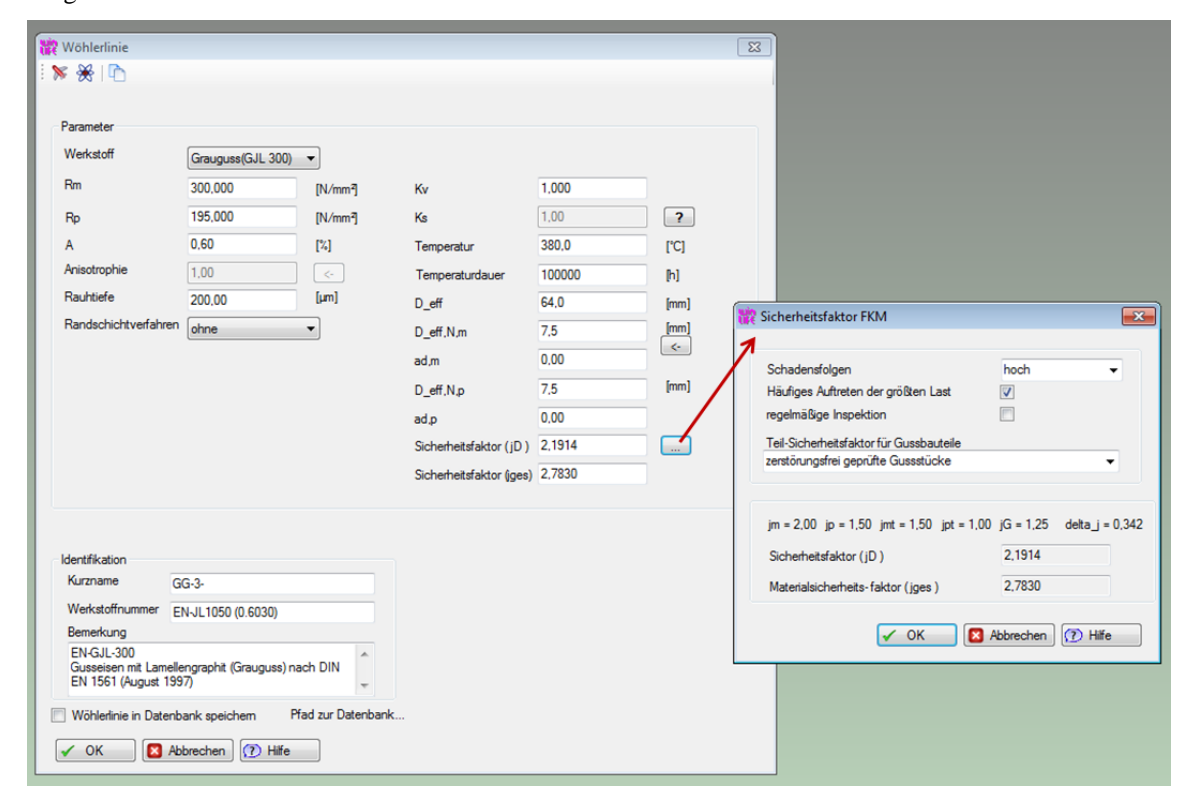
Menü Wöhlerlinie / Laden FKM ...

Daraufhin öffnet sich ein neues Fenster und es wird im Feld *Sorte* der Werkstoff: EN-GJL-300 eingetragen. Der gesuchte Werkstoff erscheint nun und man wählt diesen aus durch Klicken auf OK.



Werkstoffauswahl aus der FKM Datenbank

Die zu ergänzenden Werkstoffangaben können der FKM Richtlinie entnommen werden. Der Sicherheitsfaktor wird hier durch entsprechende Angaben im gezeigten Fenster bestimmt. Schließlich ergibt sich folgende Abbildung für die Eingaben zu der Wöhlerlinie.

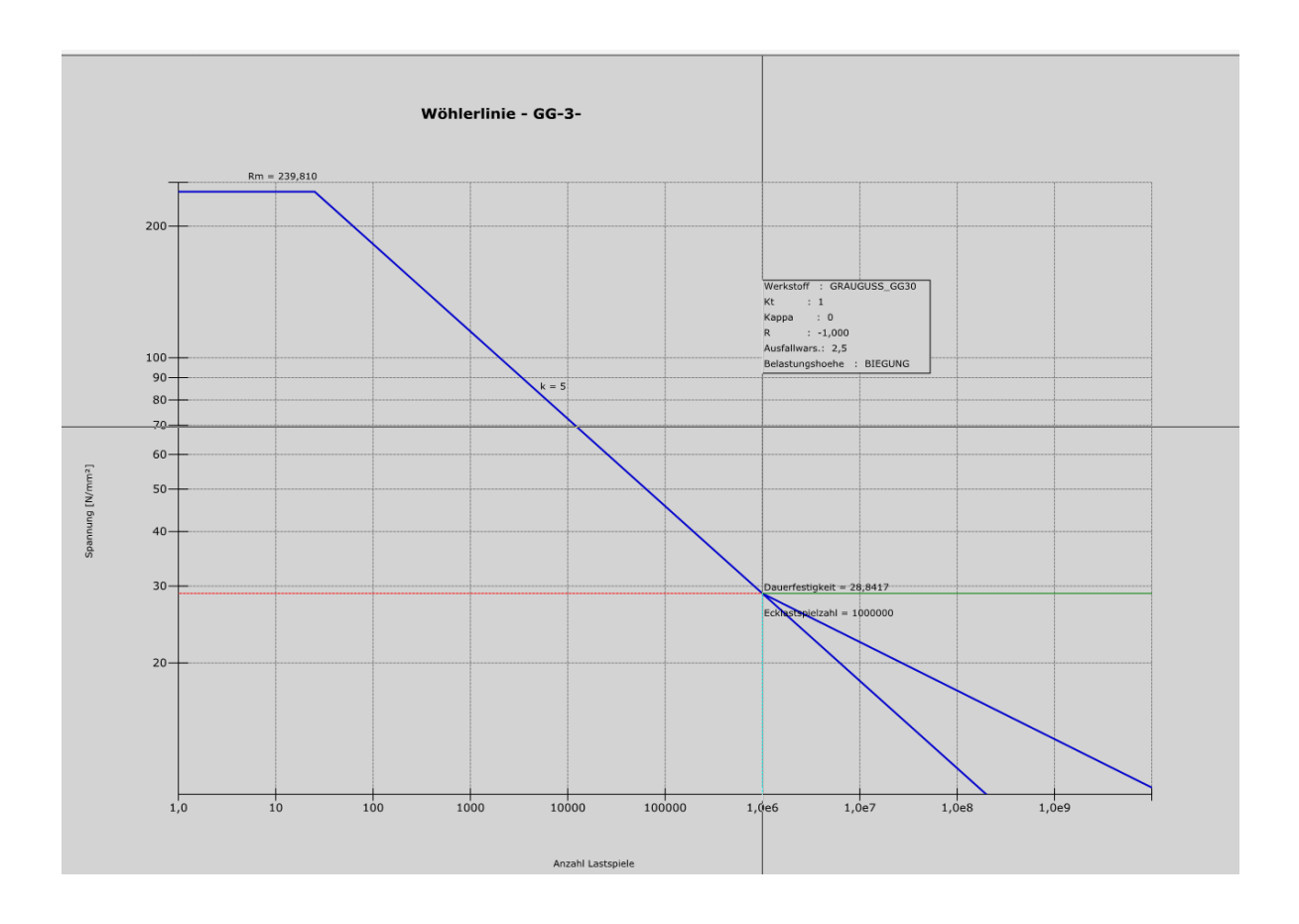


Werkstoffangaben

Aus den gerade getätigten Eingaben wird eine Wöhlerlinie erzeugt. Über die Befehlsfolge

Menü Wöhlerlinie / Wöhlerlinie

wird diese gezeigt. Bei Bedarf kann die Wöhlerlinie skaliert werden. Dazu wird die rechte Maustaste gedrückt, wenn man sich über eine Achse befindet, und aus dem Kontextmenü *Min/Max-Wert* gewählt.

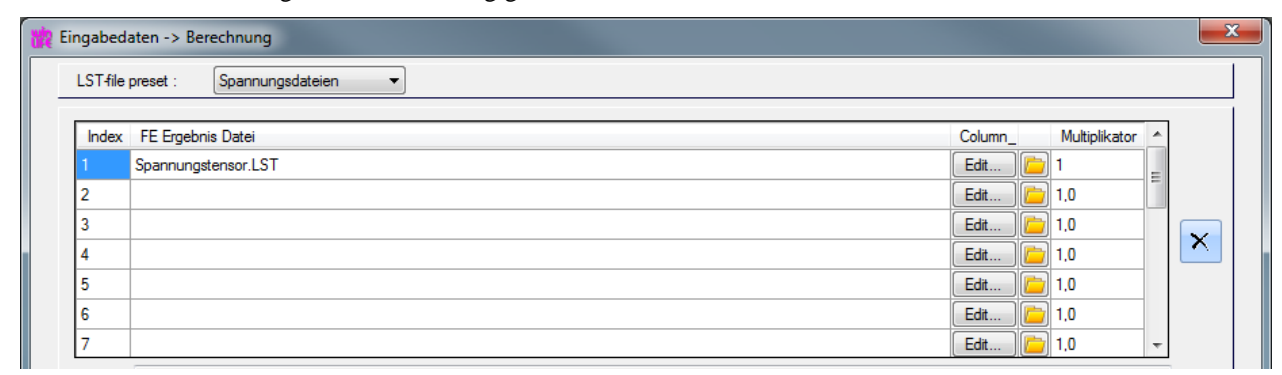


Wöhlerlinie für das Material EN-GJL-300 (GG-30)

Nun folgt der Schritt der Belastungseingabe:

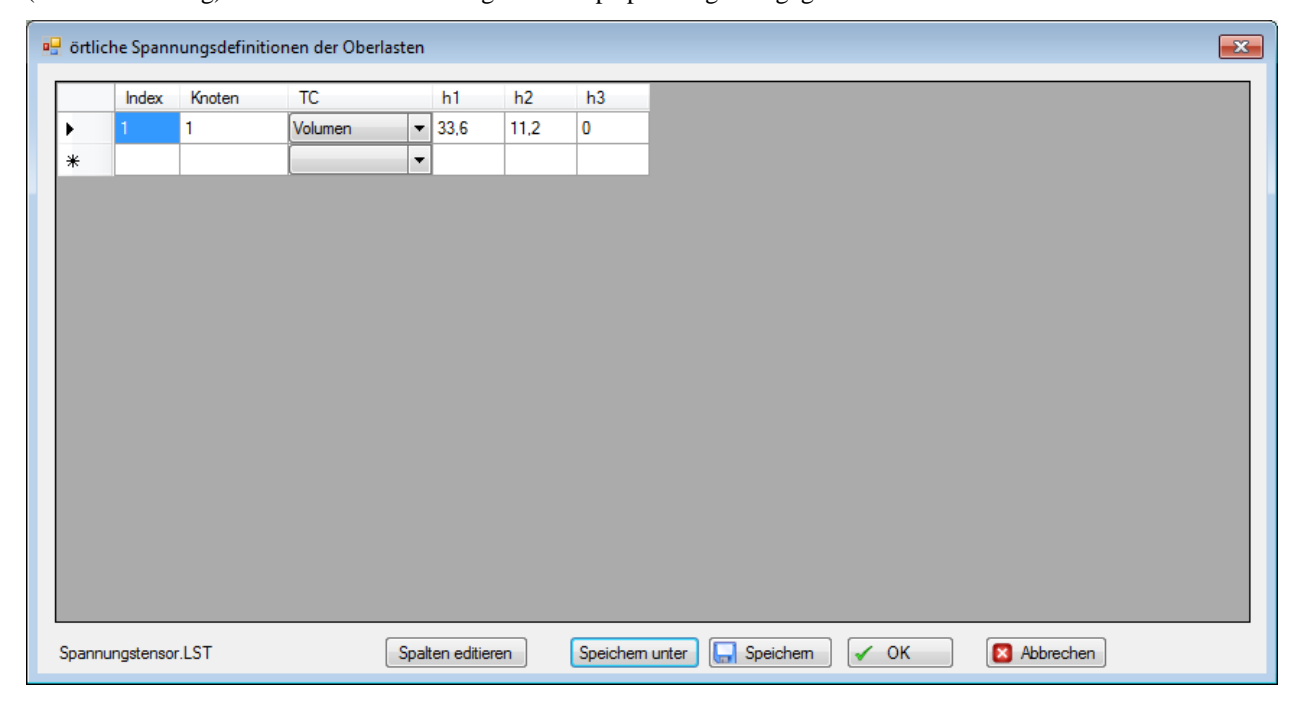
Menü Berechnung das unten dargestellte Bild erscheint

Hier werden also die Angaben zur Belastung gemacht.



Angaben im Dialog Berechnung

Zunächst erfolgt die Eingabe der örtlichen Spannungen am Nachweispunkt. Dazu wird die vorhandene Datei *Spannungstensor.LST* geöffnet, indem in der ersten Zeile auf die Schaltfläche mit dem Ordnersymbol geklickt wird (obere Abbildung). In dieser Datei sind folgende Hauptspannungen angegeben:

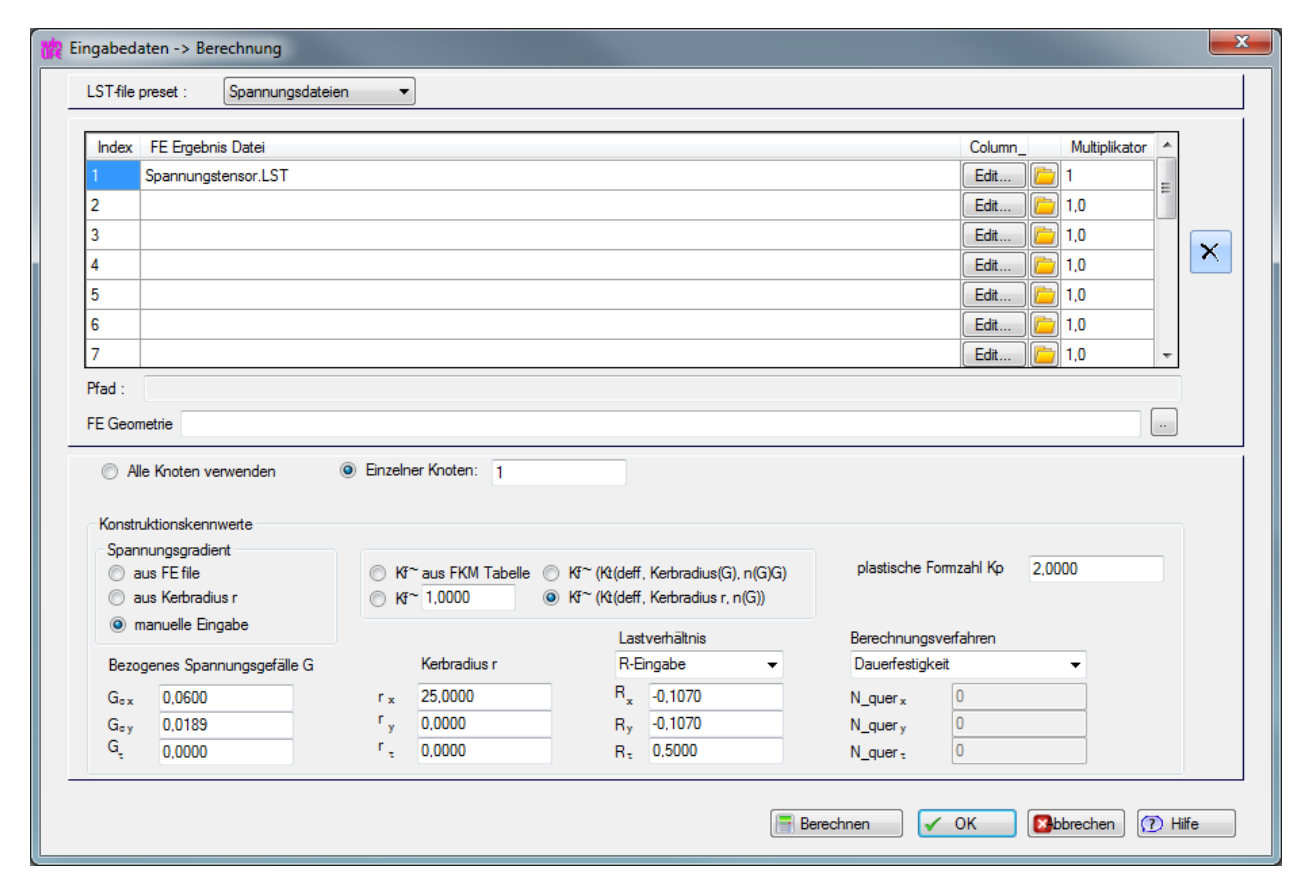


Angabe der örtlichen Spannungen

Die Datei enthält also die auftretenden Spannungen am Nachweispunkt. Im winLIFE 4.0 Beispiel 28 wird die Erstellung und Änderung einer solchen LST-Datei beschrieben.

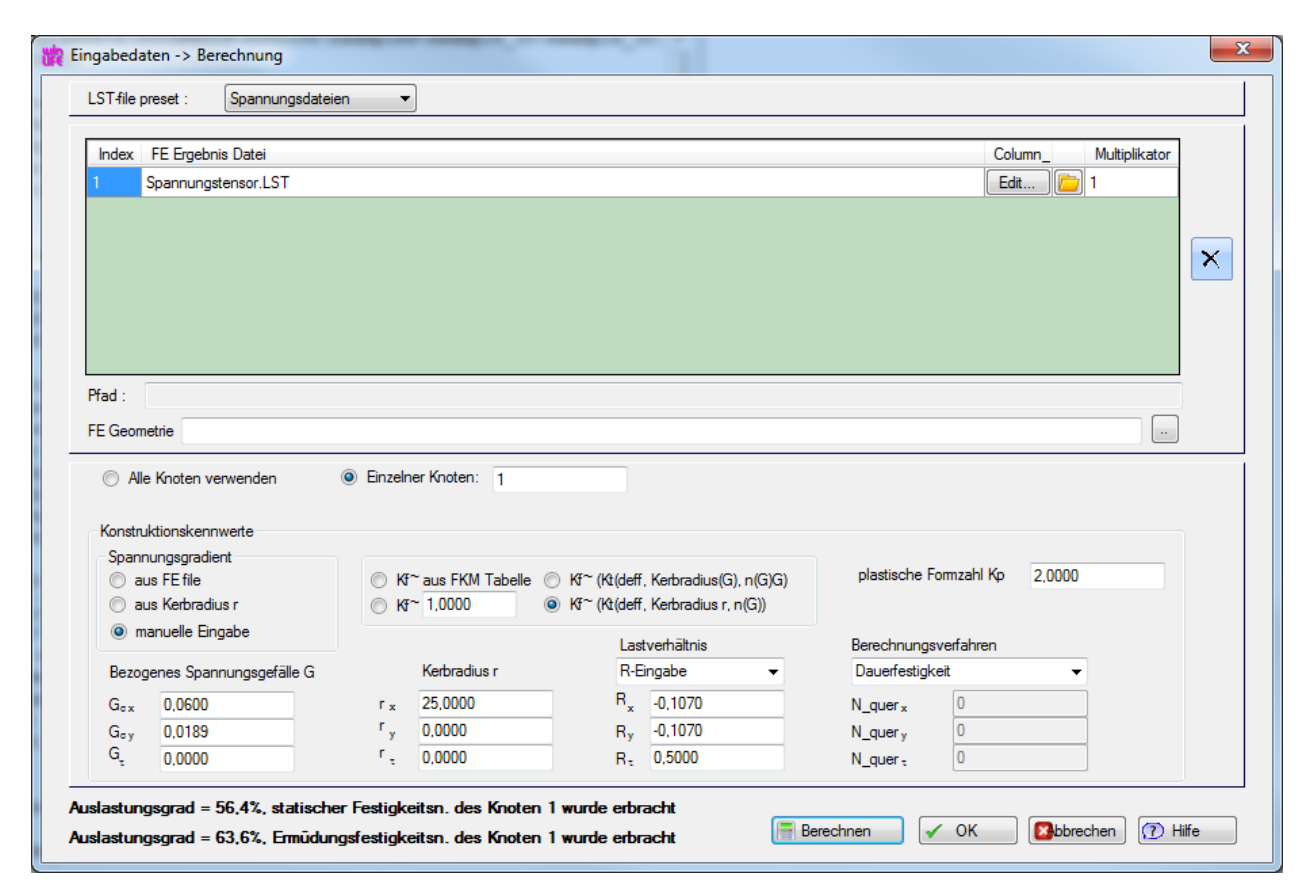
Nun werden die weiteren Angaben im unten gezeigten Fenster getätigt.

Der Wert für die plastische Formzahl Kp braucht laut FKM nicht berechnet werden - damit wird hier für die plastische Stützzahl die Plastizitätszahl des Werkstoffs verwendet. Als weitere Eingaben folgen die Spannungsgefälle, die Spannungsverhältnisse und das Berechnungsverfahren, hier *Dauerfestigkeit*. Schließlich sollte das Fenster so ausgefüllt sein wie die untere Abbildung zeigt.



Berechnungsangaben

Nun wird die Festigkeitsberechnung durchgeführt durch Klicken auf den Button *Berechnen*. Es ergeben sich die Auslastungsgrade für die statische Festigkeit von 56,4% und für die Ermüdungsfestigkeit von 63,6%. Diese Ergebnisse werden im Fenster links eingeblendet (siehe bitte Abbildung unten).



Berechnungsangaben und Ergebnisse der Bauteilauslastung

31.5. Ergebnis

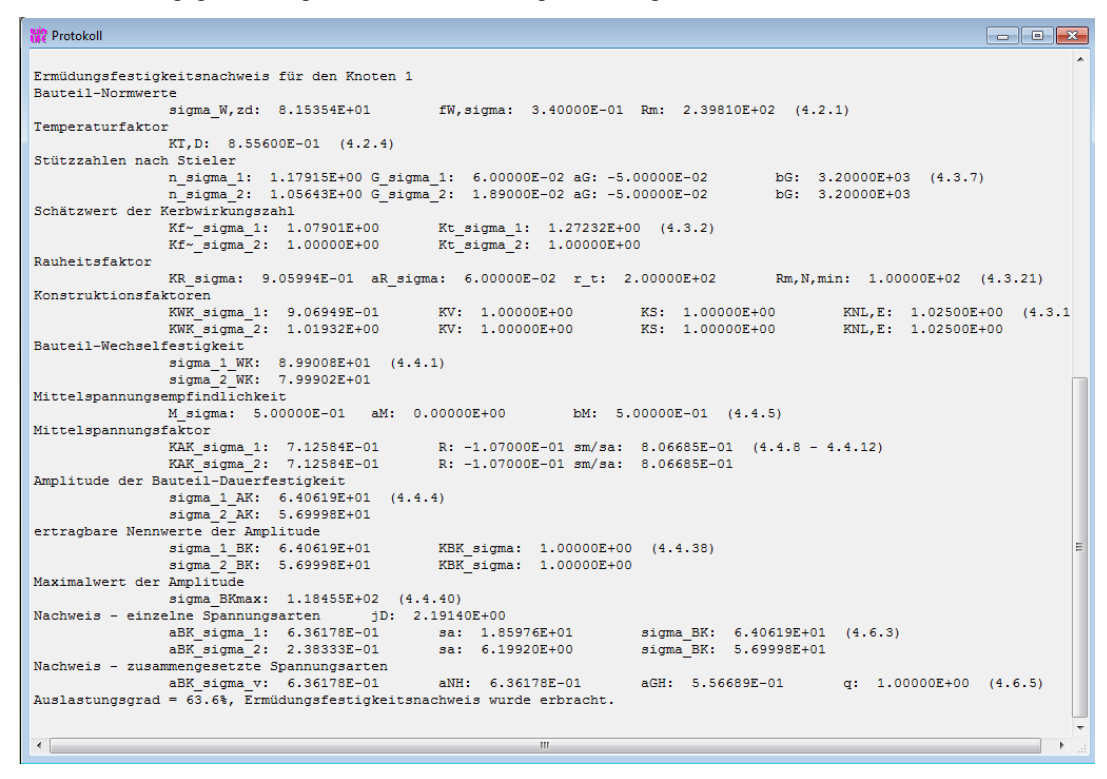
Das Protokoll in winLIFE FKM QUICKCHECK zeigt neben den Auslastungsgraden für die statische Festigkeit und Ermüdungsfestigkeit auch Zwischenergebnisse der Berechnung. Der winLIFE Anwender kann somit die Berechnungen gut nachvollziehen und die Zwischenschritte mit den Gleichungen aus der FKM-Richtlinie gegenüberstellen.

Die folgende Abbildung zeigt einen Ausschnitt aus dem Ergebnis-Protokoll für den statischen Festigkeitsnachweis. Dabei ist ganz unten der Auslastungsgrad aufgeführt, hier 56,4%.

```
Protokoll
                                                                                                                                - - X
Werkstoffkennwerte
                   Rm: 2.39810E+02 Kdm: 7.99367E-01 KA: 1.00000E+00 RmN: 3.00000E+02 (3.2.1)
Rp: 1.55877E+02 Kdp: 7.99367E-01 KA: 1.00000E+00 RpN: 1.95000E+02
 Spannungen aus der Summe der Lastfälle
                                              h2: 1.12000E+01 h3: 0.00000E+00
                  h1: 3.36000E+01
Statischer Festigkeitsnachweis für den Knoten 1
Temperaturfaktor
                   KT,m = KT,p: 7,68960E-01 (3.2.22 - 3.2.27)
                   KTt,m: 5,12067E-01 (3.2.29)
KTt,p: 5,12067E-01 (3.2.29)
Hauptspannungen
                   h1: 3.36000E+01
                                               h2: 1.12000E+01
\begin{array}{cccc} \text{hydrostatische Spannung sigma\_H} & & \text{sigma\_H:} & 1.49333E+01 & (3.1.11) \end{array}
Duktilitätsfaktor q, Festigkeitsfaktor f sigma, Gussfaktor KNL q: 1.00000E+00 f_sigma: 1.00000E+00 KNL: 1.05000E+00 (Zug) q: 1.00000E+00 f_sigma: 2.50000E+00 KNL: 9.50000E-01 (Druck)
sigma_v: 3.20000E+01 (3.1.5)
Mehrachsigkeit
h: 5.03953E-01
plastische Stüzzahl - npl
                                            sigma_H: 1.49333E+01 sigma_GH: 2.96324E+01 (3.1.10)
                   npl: 1.01324E+00
Bauteilfestigkeit - sigma_SK
sigma_SK: 1.57940E+02 (3.4.1)
Vergleichsauslastungsgrad - aSK
                  aSK: 5.63859E-01
                                              sigma_v: 3.20000E+01 sigma_SK: 1.57940E+02 jges: 2.78300E+00 (3.6.1)
Auslastungsgrad = 56.4%, statischer Festigkeitsnachweis wurde erbracht.
```

Protokoll der Festigkeitsberechnung, statischer Nachweis

Nun wird der Ausschnitt aus dem Ergebnis-Protokoll gezeigt, der für den Nachweis der Ermüdungsfestigkeit relevant ist. Der Auslastungsgrad bezogen auf die Dauerfestigkeit beträgt 63,6% wie man der untersten Zeile entnehmen kann.

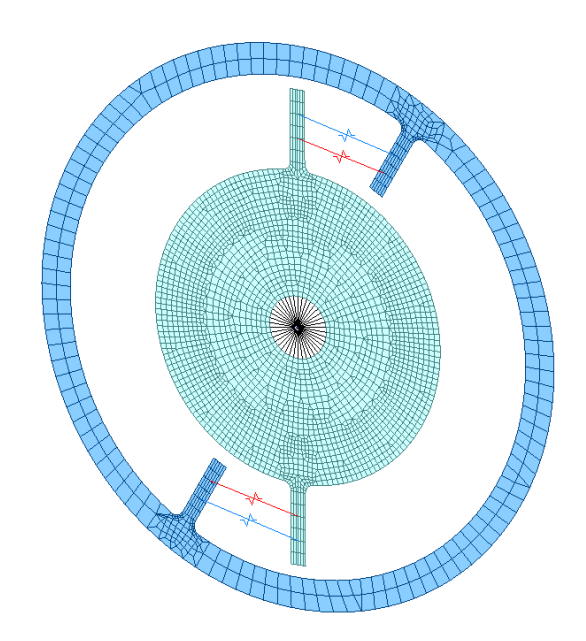


Protokoll der Festigkeitsberechnung, Ermüdungsnachweis

32. Beispiel 31 / Kupplung mit nichtlinearem Verhalten

32.1. Aufgabenstellung

Die hier gezeigte Kupplung, die aus einem äußeren Ring und einer drehbaren Innenscheibe besteht, wird hinsichtlich dynamischer Festigkeit untersucht. Die Innenscheibe wird durch ein zeitlich veränderliches Drehmoment belastet. Die Kraftübertragung von der Innenscheibe zum Außenring erfolgt durch Federn mit nichtlinearem Verformungs-Verhalten.



FE-Modell der Kupplung

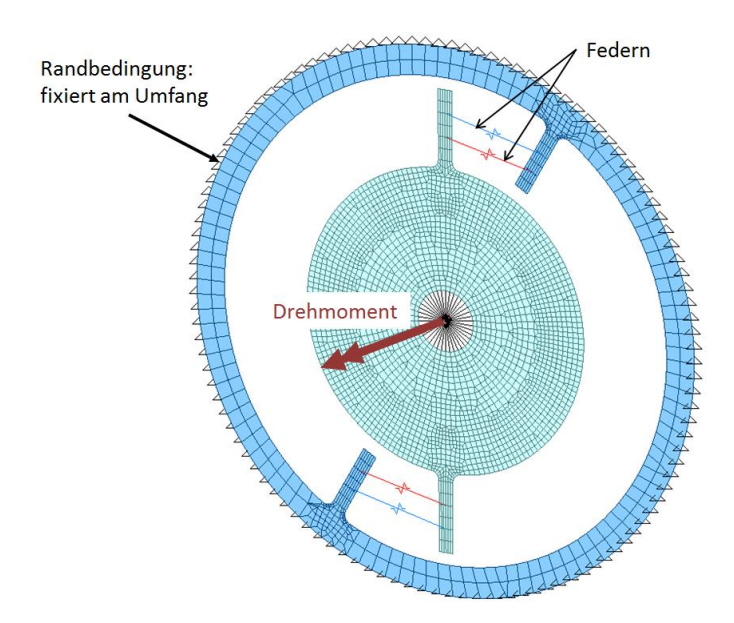
32.1.1. Geometrie und Last

Die Innenscheibe und die Außenscheibe der Kupplung sind in der Finite-Elemente Simulation (Femap / Nastran NX) aus Schalenelementen aufgebaut. Die Innenscheibe der Kupplung wird durch ein Drehmoment belastet. In der FE-Berechnung steigt das Drehmoment linear an. Später in winLIFE 4.0 wird ein praxisnaher, realistischer

Drehmomentverlauf verwendet. Der Außenring wird festgehalten und die Federn übertragen die Kräfte zwischen der Innenscheibe und dem Außenring.

Die zwei in der unteren Abbildung rot dargestellten Federn weisen eine lineare Verformungs-Kennlinie auf und die blau dargestellten Federn eine nichtlineare Kennlinie. Auf diese Weise ergibt sich ein nichtlineares Verhalten zwischen dem wirkenden Drehmoment und der auftretenden Spannung in den Kupplungsteilen.

Für die wirkenden Drehmomente werden später in winLIFE 4.0 realistische Messwerte verwendet. Außerdem wird in winLIFE 4.0 als weitere Einflussgröße die Drehzahl aufgenommen.



Belastung und Randbedingungen am FE-Modell

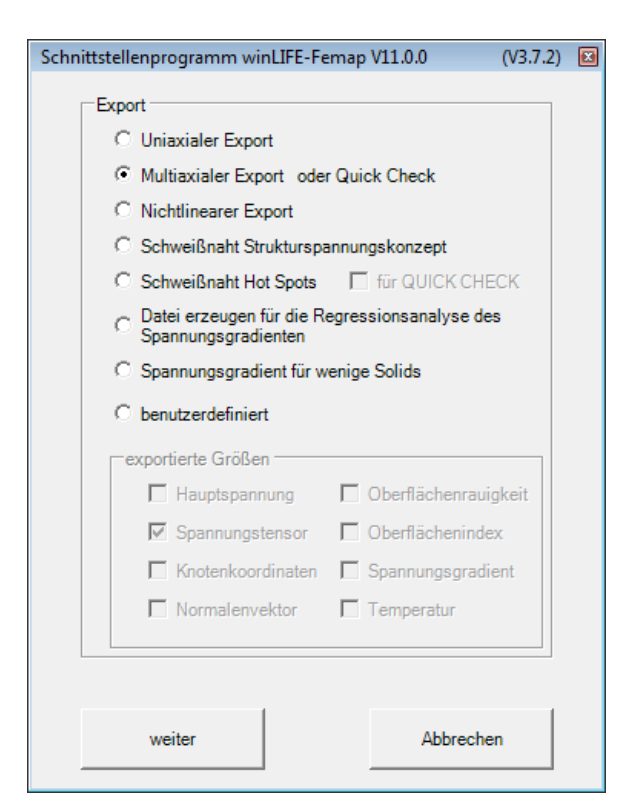
32.1.2. Export der Spannungen

Die in den Kupplungsteilen auftretenden Spannungen werden für die Lebensdauerberechnung in winLIFE benötigt. Daher wird ein Export der Spannungen durchgeführt. Die winLIFE 4.0 Schnittstelle in Femap wird benutzt.

In Femap wird gewählt:

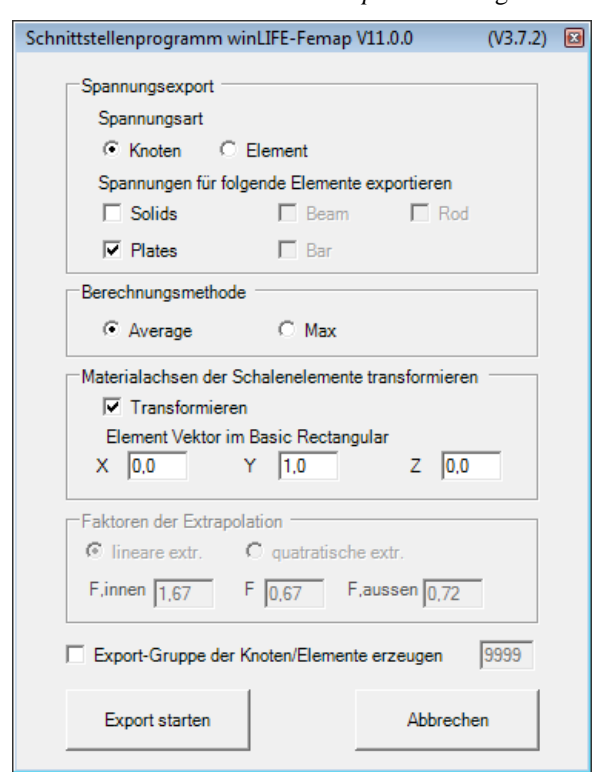
Menü winLIFE → Spannungen für winLIFE exportieren

Im nächsten Fenster werden folgende Einstellungen vorgenommen und dann auf weiter geklickt.



Spannungsexport als Multiaxialer Export

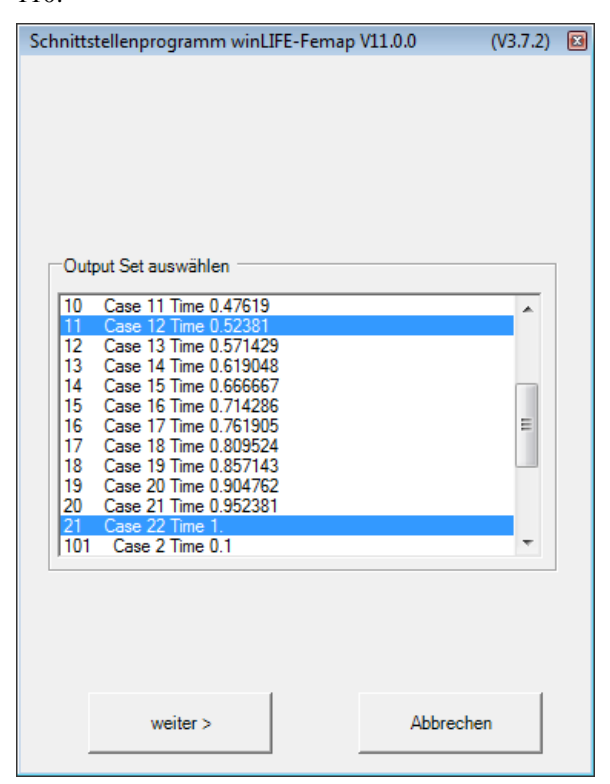
Es werden dann Einstellungen gesetzt zum Export von Knotenspannungen für die vorhandenen Plate Elemente. Die Spannungen werden in die z.B. y-Richtung transformiert, um sicherzustellen, dass alle Spannungen gleich orientiert sind. Anschließend wird der Button *Export starten* gewählt.



Export der Spannungen aus Femap

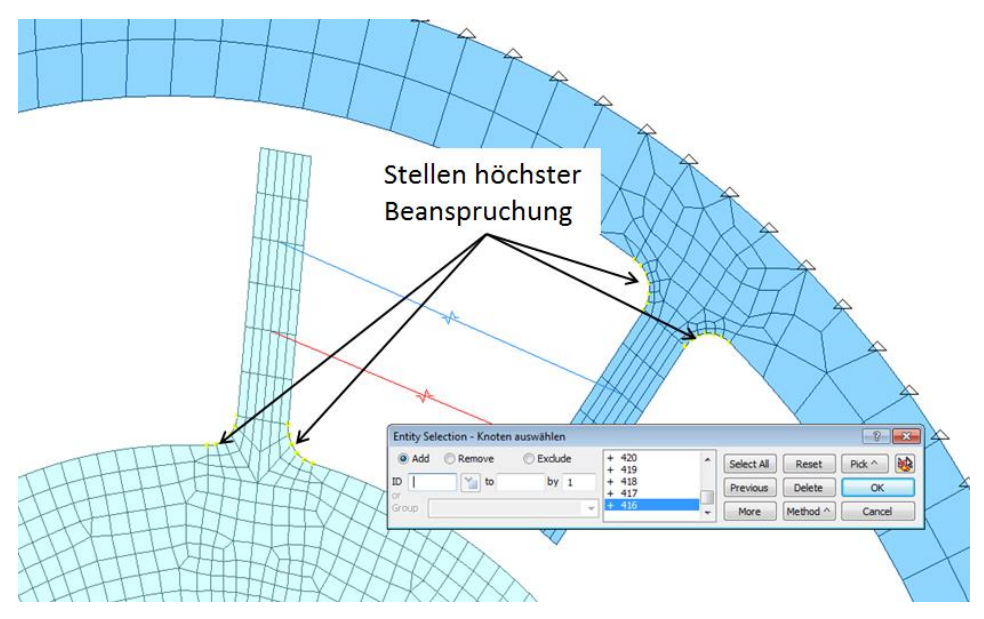
Es wird dann ein Name für eine Ausgabedatei festgelegt. In diese Datei werden die Spannungstensoren geschrieben.

Wie in der unteren Abbildung ersichtlich ist, liegen eine größere Anzahl von Output Sets (Spannungs-Ergebnisse) vor. Das Systemverhalten der Kupplung wurde durch die Federn so eingestellt, dass der Zusammenhang zwischen dem wirkenden Drehmoment und der auftretenden Spannung in den Kupplungsteilen anfänglich linear ist. Nämlich bis zum Output Set 11 und dann mit einer anderen Steigung weiter linear bis zum Output Set 21. Das Output Set 110 beschreibt die Umkehrung des Drehmoments (negatives Drehmoment). Es werden also folgende Output Sets gewählt: 11, 21 und 110.



Export der Spannungen

Anschließend werden Knoten aus den höchst beanspruchten Bereichen ausgewählt.

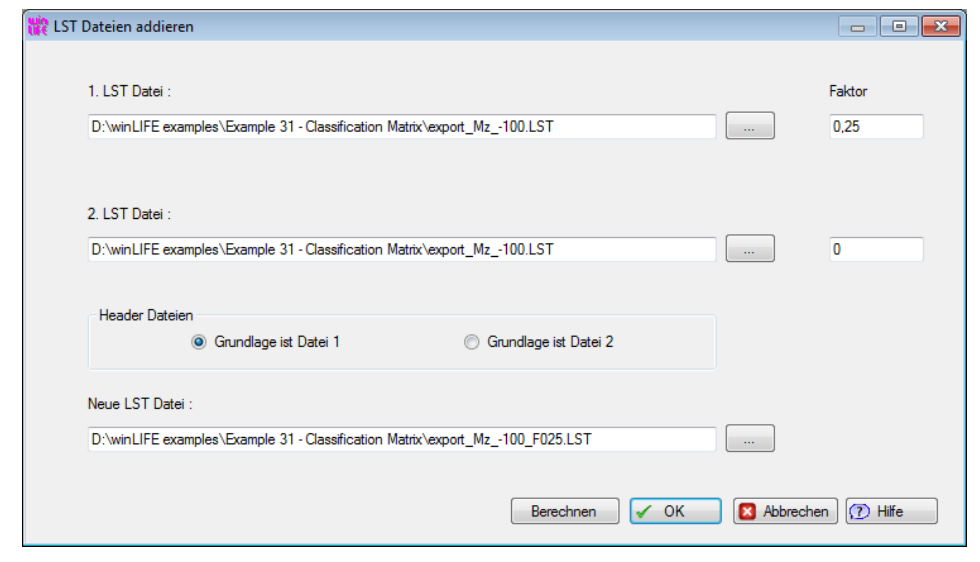


Auswahl der Knoten

Schließlich ergeben sich 4 Lastdateien (LST-Dateien). Der Anwender kann diese Lastdateien wahlweise umbenennen. Diese Lastdateien werden dann in winLIFE 4.0 noch mit dem Faktor 0,25 multipliziert. Denn eine reale Kupplung würde mehrfach die oben gezeigten Kraftübertragungselemente (Arme + Federn) enthalten, z.B. die vierfache Anzahl. Die Spannungen würden sich demzufolge um den Faktor 4 reduzieren. In winLIFE 4.0 findet der Anwender unter

Extras → *Werkzeuge FE Daten* → *LST Dateien addieren*

Möglichkeiten die vorliegenden LST-Dateien entsprechend zu modifizieren:

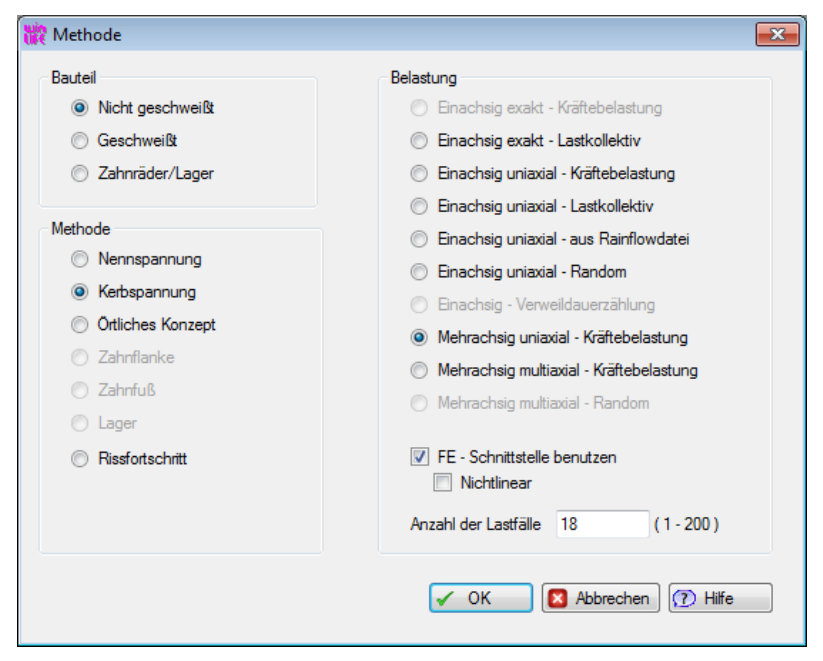


Skalierung der Lastdateien in winLIFE

Es werden also die 4 vorliegenden LST-Dateien wie in der oberen Abbildung gezeigt, mit dem Faktor 0,25 skaliert.

32.1.3. Projektaufbau in winLIFE

In winLIFE 4.0 erfolgt die Projektdefinition für die Kupplung. Da wie später gezeigt wird, die Drehzahl mit in die Berechnung aufgenommen wird, werden 18 Lastfälle eingetragen. Würde nur das Drehmoment berücksichtigt werden wären 3 Lastfälle ausreichend. Nämlich die 3 Lastfälle, die wie oben beschrieben bereits exportiert wurden.



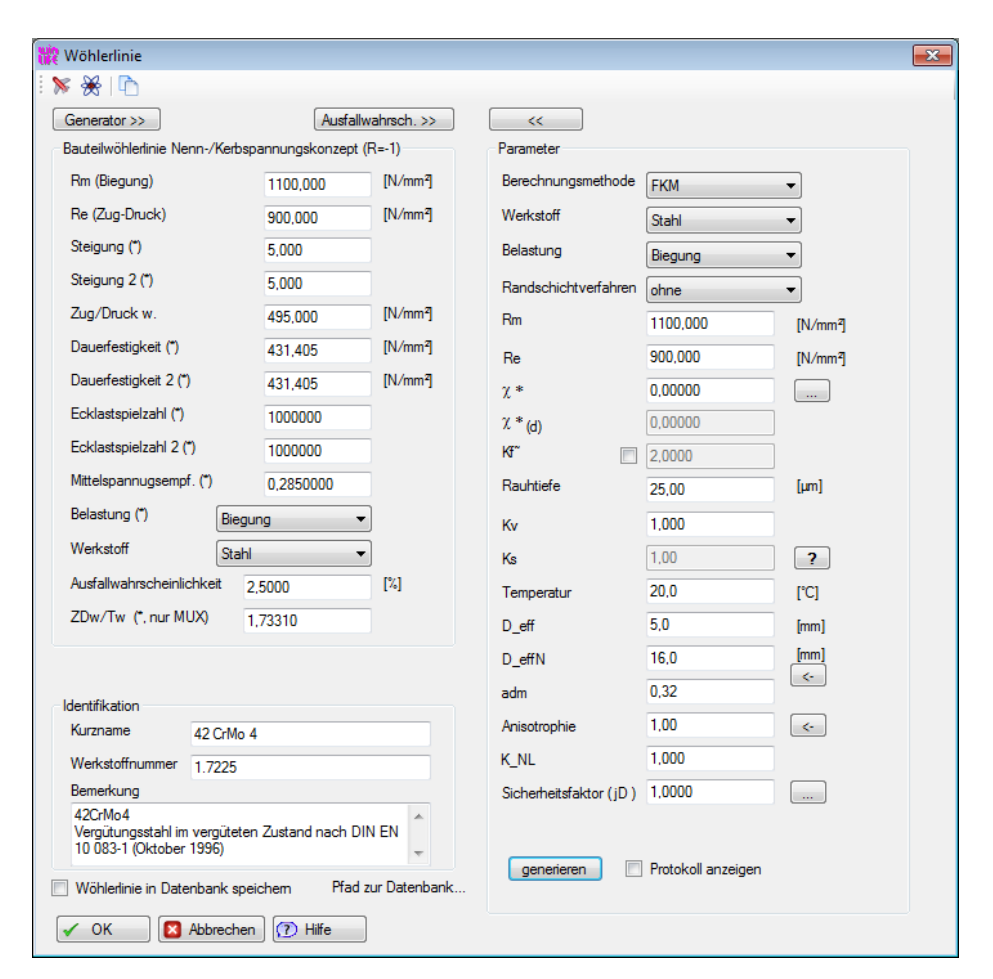
Methodeneinstellungen in winLIFE

Die Wöhlerlinie wird generiert. Gewählt wird aus der FKM Datenbank der Stahl 42 CrMo 4.

Menü Wöhlerlinie → Laden FKM...

Es wird in dem Feld *Bezeichnung nach DIN* der Werkstoffname 42 CrMo 4 geschrieben. Die Auswahlliste enthält mehrfach den gewünschten Stahl. Es wird der Stahl für die Belastung Biegung gewählt.

Die Oberflächenrauhtiefe wird zu 25 µm gesetzt. Der Wert für die effektive Dicke ist 5mm. Die folgende Abbildung zeigt diese Einstellungen. Mit dem Button *generieren* wird die Wöhlerlinie mit den Kennwerten erzeugt.



Wöhlerliniengenerierung

Nun wird die Belastung angegeben. Die Datei

SIM-Stadt 150-1440 Bereich.dat

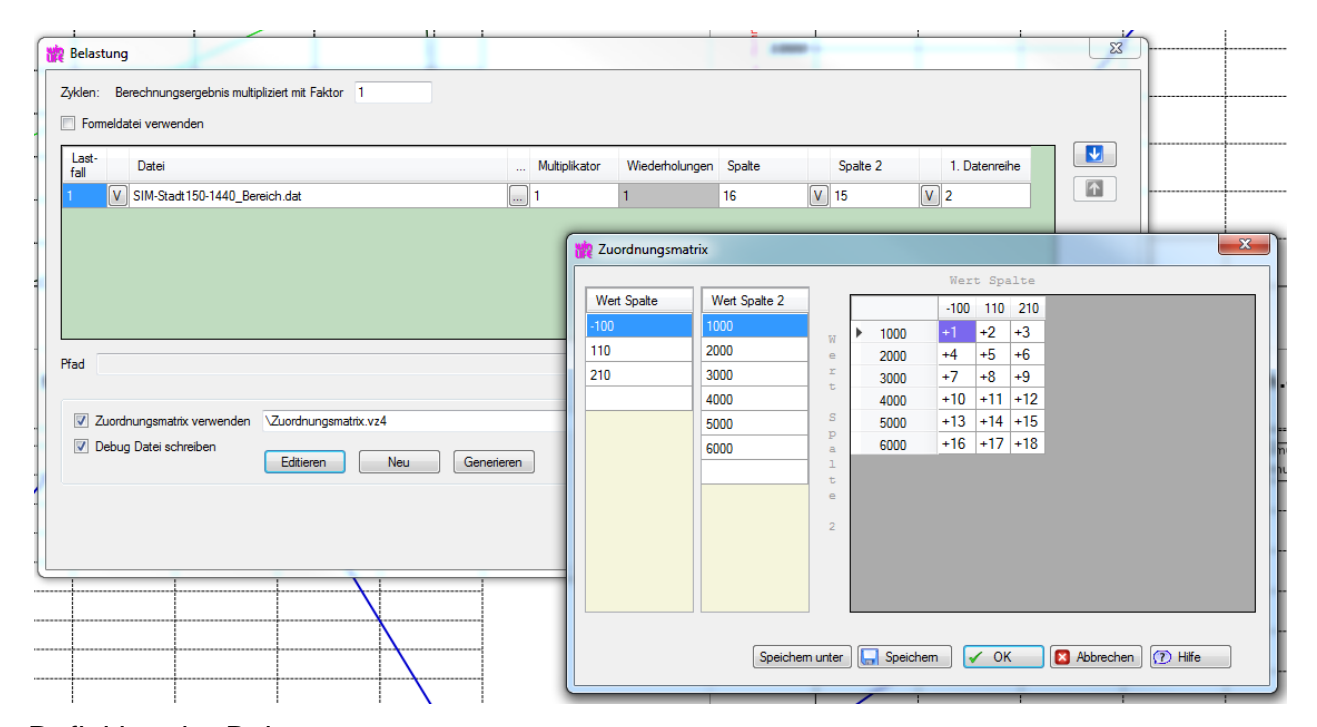
wird angegeben. Diese Datei enthält u.a. das aus einem Praxisfall kommende Drehmoment (Spalte 16) und die zugehörige Drehzahl (Spalte 15). Diese Spaltennummern werden wie die Abbildung zeigt angegeben.

Eine Zuordnungsmatrix wird angelegt. Dabei wird das wirkende Drehmoment in der Spalte 1 (-100Nm, 110Nm und 210Nm) den entsprechenden Lastdateien zugeordnet. Die Lastdatei enthält die exportierten Spannungen für die gewählten Knoten. Zwischen den Spaltenwerten wird eine lineare Interpolation der Spannungen durchgeführt. Die Lastdateien werden später in einem weiteren Dialog namentlich angegeben. In der Zuordnungsmatrix wird nur die Nummer der Datei gebraucht.

Zusätzlich ist hier die Drehzahl mit berücksichtigt. Die Drehzahlwerte in der Zuordnungsmatrix betragen 1000, 2000, 3000, 4000, 5000 und 6000 1/min. Wir haben der Einfachheit halber die drei vorliegenden Lastdateien aus dem Export aus Femap herangezogen und mit Faktoren skaliert, um den Fliehkrafteinfluss abzubilden. Der Skalierungsfaktor beträgt dabei je nach Drehzahl (n/1000)². Das bedeutet für 2000 1/min berechnet sich der Skalierungsfaktor zu (n/1000)² = (2000/1000)² = 4. Für 3000 1/min berechnet sich der Skalierungsfaktor 9. In winLIFE 4.0 findet der Anwender unter

Extras → Werkzeuge FE Daten → LST Dateien addieren

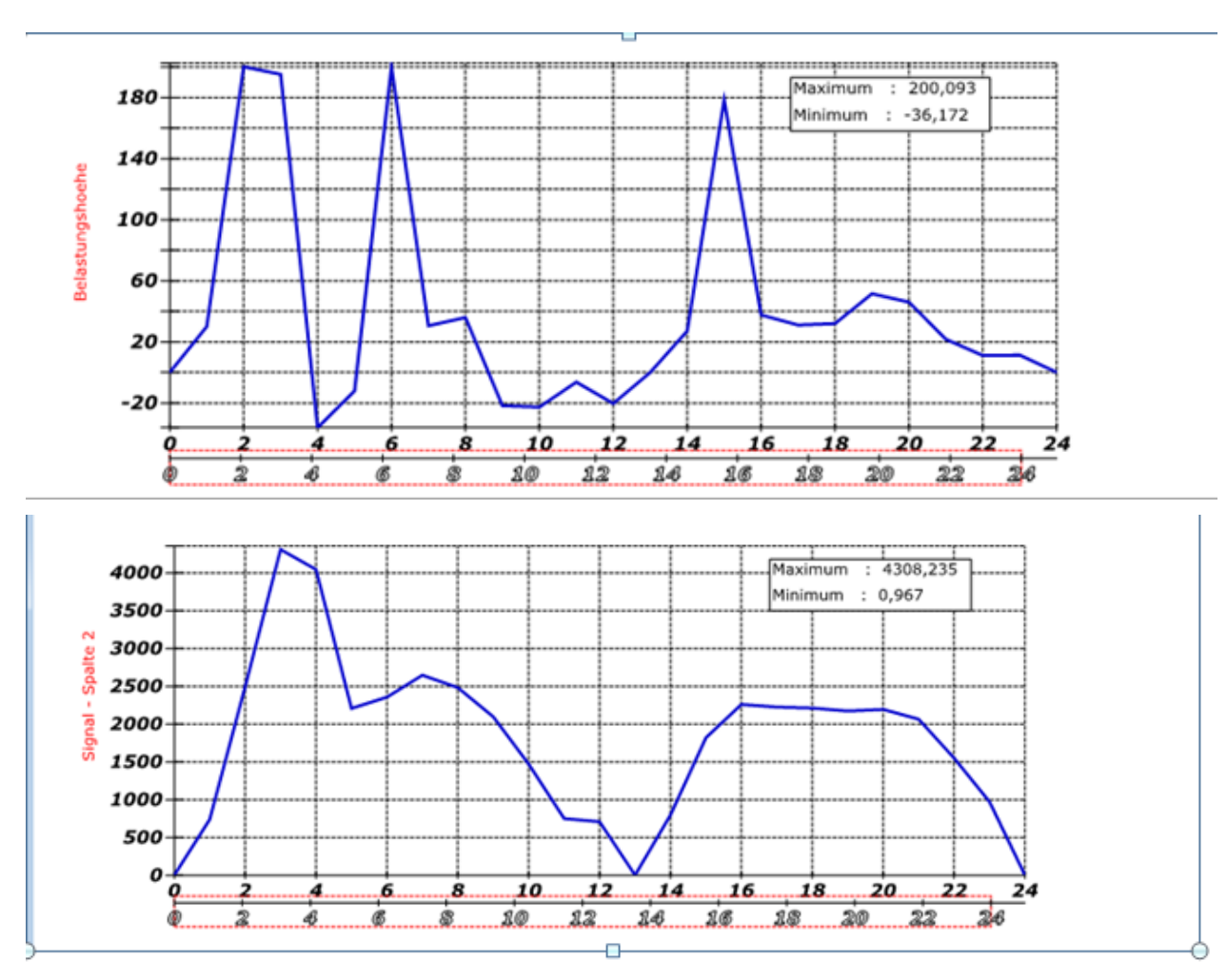
Möglichkeiten die vorliegenden LST-Dateien entsprechend zu modifizieren. Auf diese Weise ergeben sich weitere Lastdateien, die in der Zuordnungsmatrix angegeben werden.



Definition der Belastung

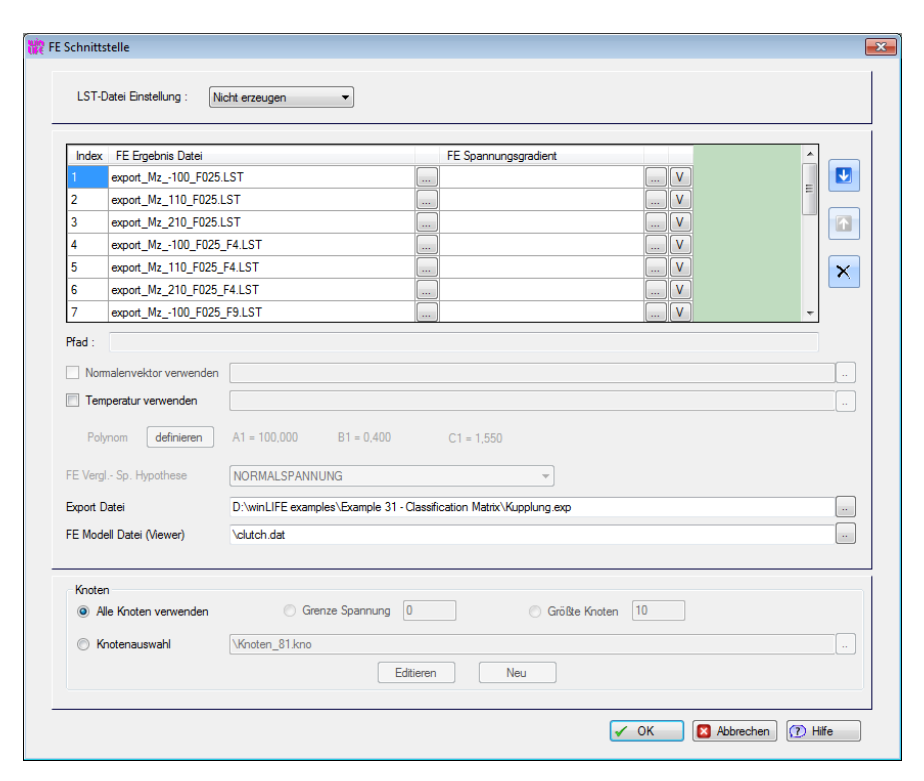
Wird in der Maske oben *Debug Datei schreiben* markiert, so wird eine Datei erzeugt, in der die Bedingungen für die Erzeugung der Pfade angegeben wird.

Die Verläufe des Drehmoments und der Drehzahl sind folgend untereinander dargestellt.

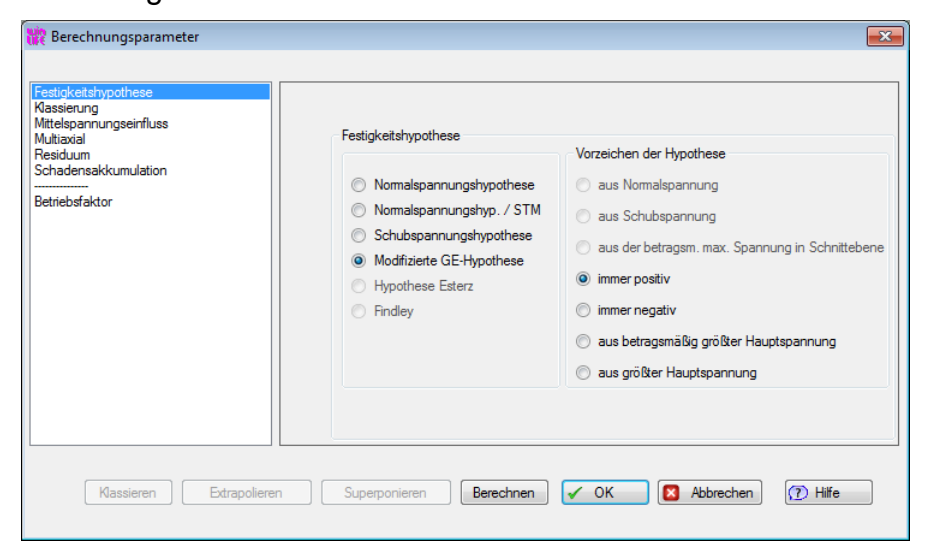


Verläufe des Drehmoments (oben) und der Drehzahl (unten)

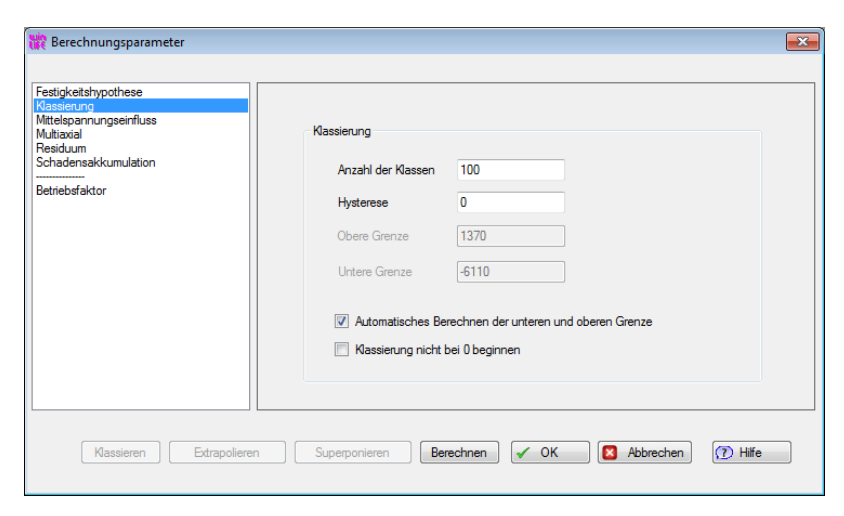
Jetzt kommen wir zum Menüpunkt FE-Daten. Die drei vorliegenden Lastdateien (*.LST) werden hier angegeben sowie die weiteren skalierten Lastdateien. Die Angabe der FE-Modell Datei für den VIEWER4WINLIFE erfolgt hier durch die NASTRAN (*.dat) Datei.



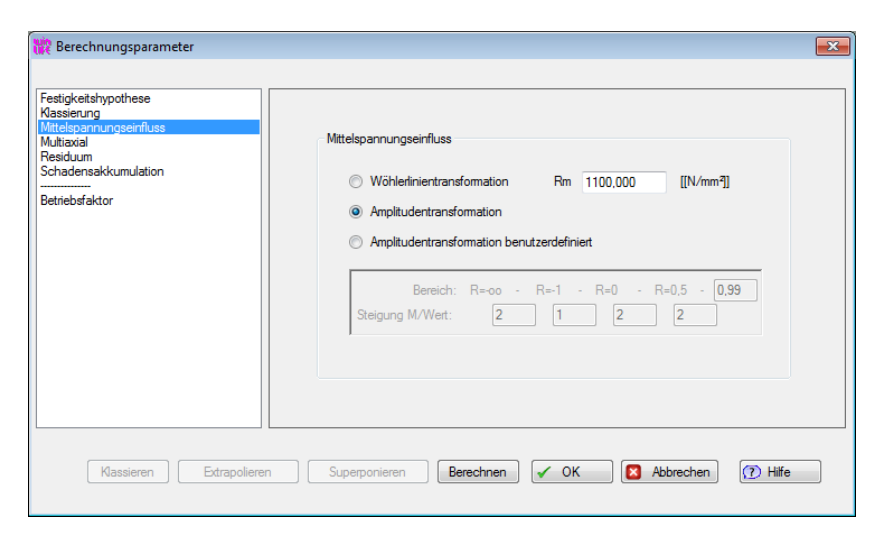
FE-Dialog



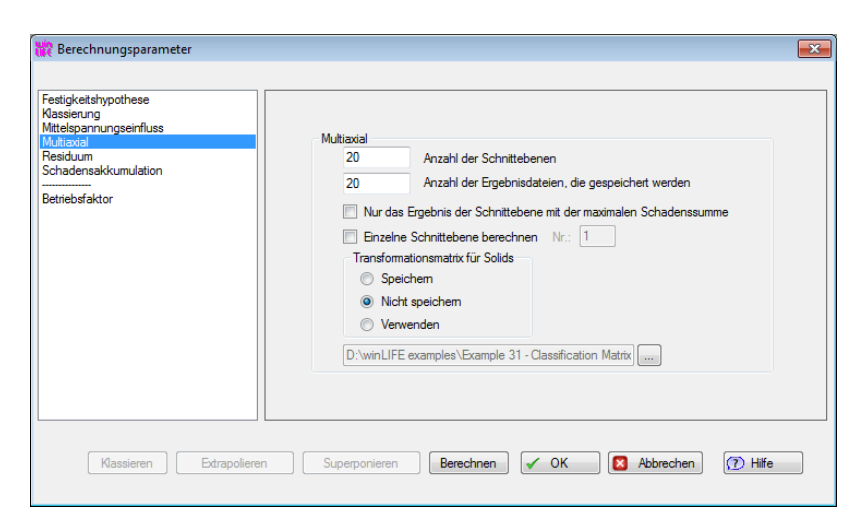
Parametereinstellungen Festigkeitshypothese



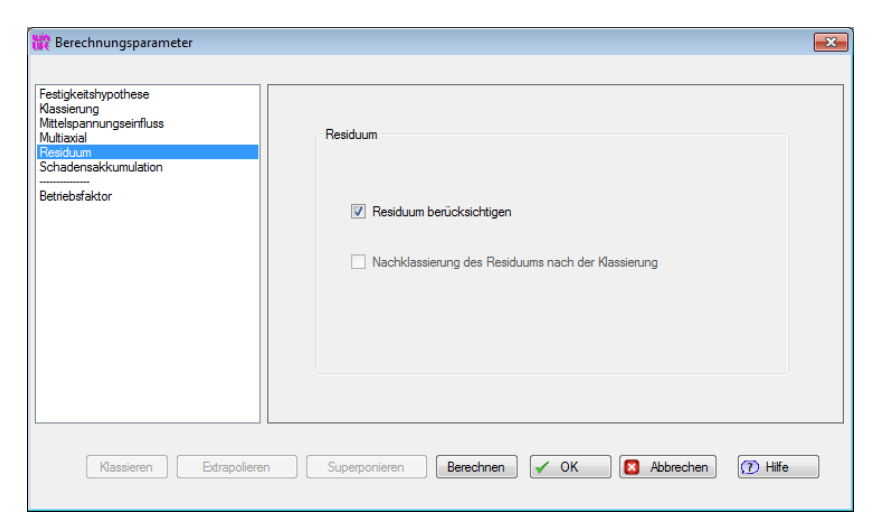
Einstellung der Klassierung



Berücksichtigung der Mittelspannung

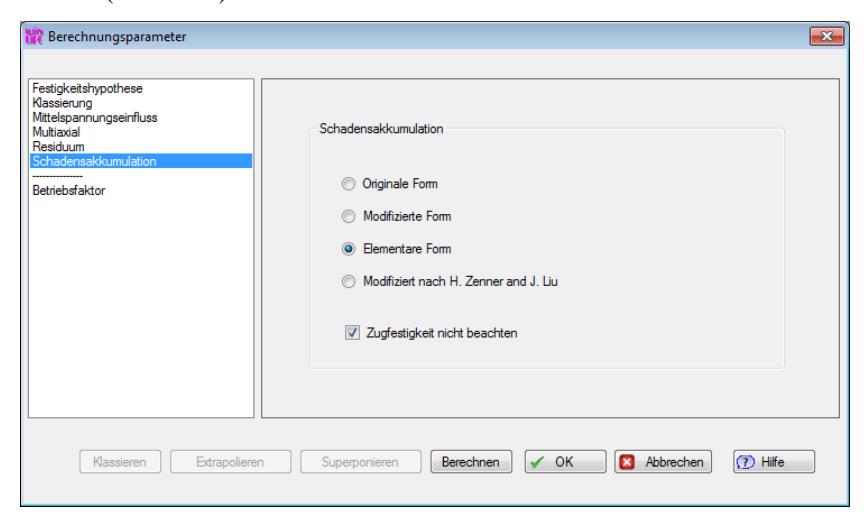


Angaben zu der Option Multiaxial



Berücksichtigung des Residuums

In der Einstellung zur Schadensakkumulation wird die Option Zugfestigkeit nicht beachten aktiviert. Wie sich später zeigt, liegen die linear berechneten Spannungen teilweise deutlich über der Zugfestigkeit des Werkstoffs. Hier in diesem Beispiel liegt die Vorstellung zu Grunde, dass sich die hohen linear berechneten Spannungen in der Realität abbauen können (Plastizität) und damit in dieser vollen Höhe nicht wirksam werden.



Einstellung der Schadensakkumulation

Es wird die Berechnung der Lebensdauer durchgeführt.

Ergebnis

Es ergibt sich die maximale Schadenssumme von ca. 0,00006006 für den Knoten 421. Die winLIFE 4.0 Berechnung gibt als Ergebnis an, dass etwa 16075 mal der komplette Verlaufs-Zyklus aufgegeben werden kann.

Die maximal berechnete Schadenssumme im Knoten: 421(PLATE) beträgt 0,000062208 Es können 16075,0 des hier zu Grunde gelegten Zyklus bis zum Defekt auftreten.

Betriebsfaktor(1,000) = 6,9379 Auslastungsgrad = 0,144135 vereinfachte rechnensche Ausfallwahrscheinlichkeit PA* = 0,000000 % (bei 1/TN=6,00 und Risikofaktor=1)

Projekt: example 31.WLF

Protokoll: D:\winlife_example_40\example_31\example_31\421_7.ptk

Berechnet am: Dienstag, 20. Juni 2017 15:31

Bauteil: Nicht geschweißt Methode: Kerbspannung

Belastung: Mehrachsig uniaxial - Kräftebelastung

Wöhlerlinie:

Kurzname: 42 CrMo 4 Werkstoffnummer: 1.7225

Ausfallwahrscheinlichkeit: 2,5000 Belastung (*): Biegung Werkstoff: Stahl

Rm: 1100,000 Dauerfestigkeit (*): 431,405 Zug/Druck w.: 495,000

Re: 900,000 Dauerfestigkeit 2 (*): 431.405 Mittelspannugsempf. (*): 0,2850000

K: 5.000 Ecklastspielzahl (*): 1000000 Zdw/Tw: 1,73310

Berechnungsparameter: Anzahl der Klassen: 100 Klassierung Hysterese: 0

Obere Grenze: 1533 Untere Grenze: 0

RESIDUUM Residuum berücksichtigen: ja Nachklassierung des Residuum: nein Mittelspannungseinfluss Amplitudentransformation

Zugfestigkeit nicht beachten : ja Schadensakkumulation Flementare Form

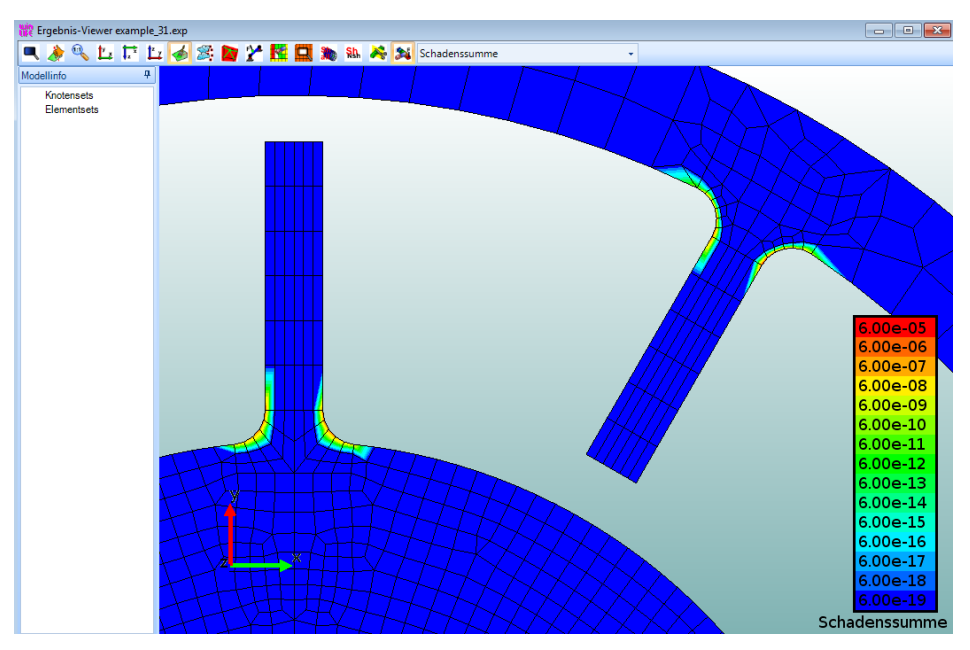
Festigkeitshypothese Modifizierte GE-Hypothese Vorzeichen der Hypothese: immer positiv

Zvklen Berechnungsergebnis multipliziert mit Faktor. 1

Einheiten

Ergebnis der Lebensdauerberechnung

Die Beanspruchung an der Kupplung kann am 3D-Modell gezeigt werden. In diesem Beispiel verwenden wir zur Darstellung den VIEWER4WINLIFE . Der Auslastungsgrad ist im unteren Bild erkennbar.



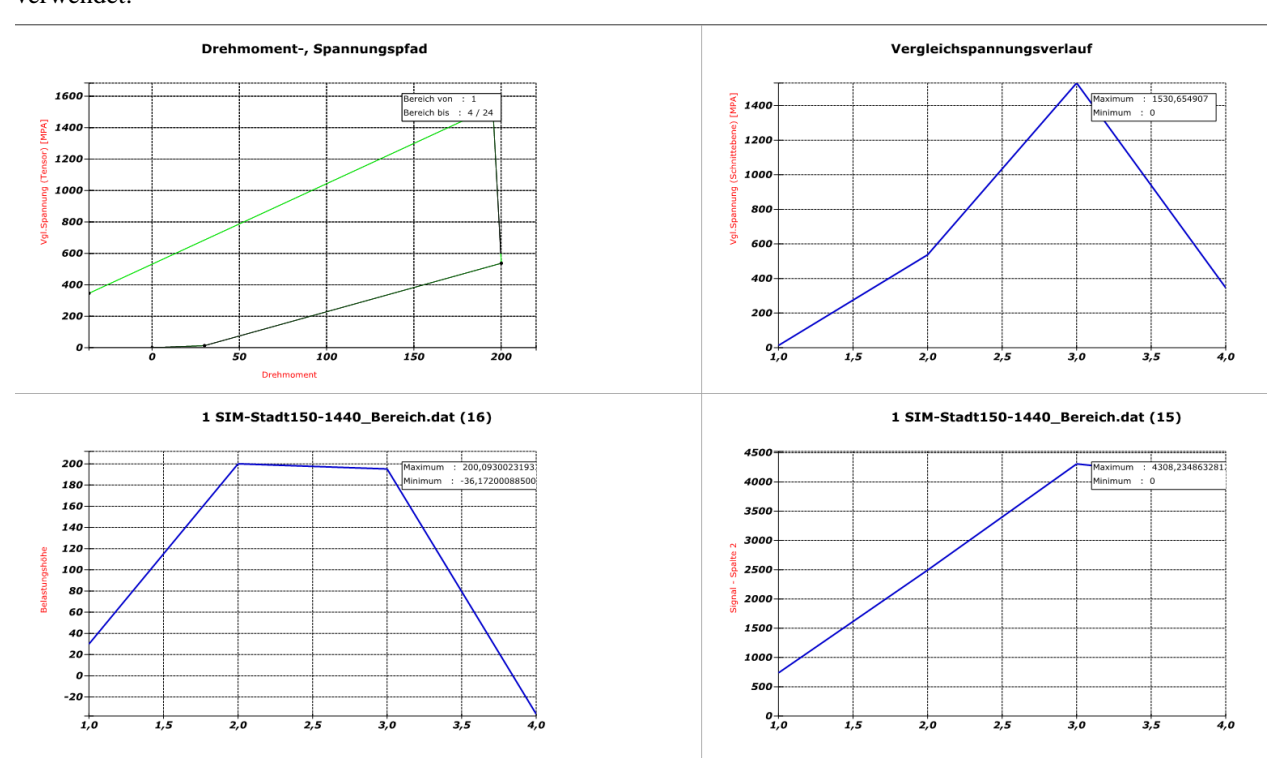
Schadenssumme im winLIFE viewer dargestellt

Über die Befehlsfolge

Ergebnis → Drehmoment-, Spannungspfad

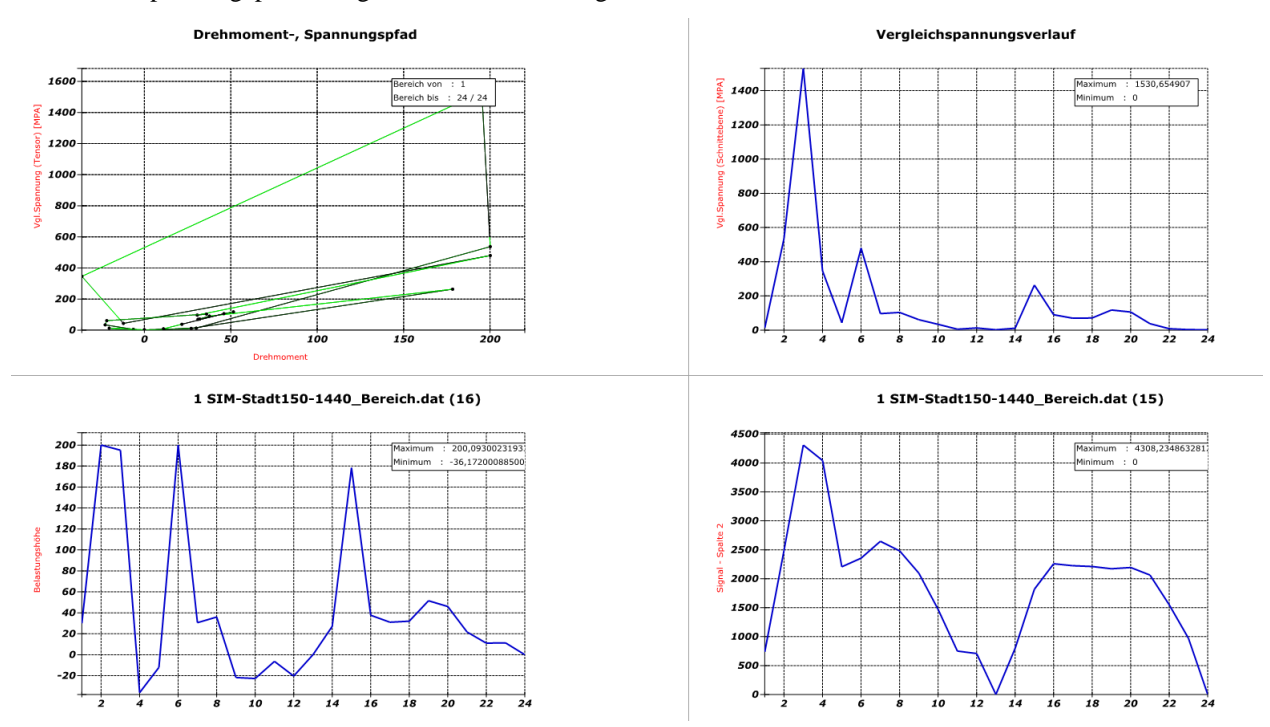
öffnen sich diese vier unten dargestellten Diagramme. Das Diagramm links oben zeigt die auftretenden Spannungen in Abhängigkeit vom Drehmoment.

Für diese Darstellung wurden nur 5 Zeilen (Messwerte) aus den Belastungsverläufen wegen der Übersichtlichkeit verwendet.



Ergebnis der Lebensdauerberechnung

Der Spannungspfad (Diagramm links oben) wird mit unterschiedlicher Farbintensität dargestellt. Bereiche in denen die Drehzahlen gering sind, werden dunkler dargestellt. Bei höheren Drehzahlen wird die Farbe heller. Werden eine größere Anzahl Messpunkte geplottet, ergeben sich z.B. die folgenden Funktionen.



Ergebnis der Lebensdauerberechnung

Die Protokolldateien sind im Projektverzeichnis zu finden. Sie erlauben es dem mit dem Algorithmus einigermaßen vertrauten Benutzer für jeden Knoten die Ergebnisse nachzuvollziehen. Die Datei verwendet als Namen eine Kombinaiton aus Knotennummer, Elementtyp und Dateierweiterung txt. Für den kritischen Knoten lautet der Name 421_7.txt. Damit ist der Knoten 421 mit dem Elementtyp 7 beschrieben.

Die Datei unseres Beispiels sieht folgendermaßen aus, wobei die ersten 13 Spalten im Bild oben, die folgenden Spalten im Bild unten dargestellt sind. Einige Spalten sind leer, was auf den vergleichsweise einfachen Verlauf des Signals zurückzuführen ist.

| Spalled 2 2 1 1 1 1 1 1 1 1 | 10.0 (21 * 37.4 * 1 * 1 * 1 * 1 * 1 * 1 * 1 * 1 * 1 * | | 5 | | | 5 0.1
110 0.7
4 0.5
5 4 0.1
4 0.6
1 0.3
1 0.6
1 0.5
1 0.6
1 0.3
4 0.3
4 0.3
4 0.3
4 0.3
4 0.3
4 0.3
4 0.3
4 0.3 | L2: 8
L2:14
L2:13
L2: 7
L2: 8
L2: 7
L2: 7
L2: 1
L2: 1
L2: 1
L2: 1
L2: 7
L2: 1 | 0.0 L3
0.0 L3
0.1 L3
0.1 L3
0.2 L3
0.2 L3
0.2 L3
0.0 L3
0.0 L3
0.0 L3
0.0 L3
0.0 L3
0.0 L3
0.0 L3
0.1 L3
0.1 L3
0.1 L3
0.1 L3
0.1 L3
0.1 L3 | 12 0.6 111 0.6 112 0.6 15 0.6 15 0.6 15 0.6 15 0.6 15 0.6 15 0.6 15 0.6 15 0.6 15 0.6 15 0.6 15 0.6 15 0.6 15 0.6 15 0.6 15 0.6 15 0.6 15 0.6 15 0.6 15 0.6 15 0.6 15 0.6 15 0.6 15 0.6 15 0.6 15 0.6 15 0.6 15 0.6 15 0.6 15 0.6 15 0.6 15 0.6 15 0.6 15 0.6 15 0.6 15 0.6 15 0.6 15 0.6 15 0.6 15 0.6 15 0.6 15 0.6 15 0.6 15 0.6 15 0.6 15 0.6 15 0.6 15 0.6 15 0.6 15 0.6 15 0.6 15 0.6 15 0.6 15 0.6 15 0.6 15 0.6 15 0.6 15 0.6 15 0.6 15 0.6 15 0.6 15 0.6 15 0.6 15 0.6 15 0.6 15 0.6 15 0.6 15 0.6 15 0.6 15 0.6 15 0.6 15 0.6 15 0.6 15 0.6 15 0.6 15 0.6 15 0.6 15 0.6 15 0.6 15 0.6 15 0.6 15 0.6 15 0.6 15 0.6 15 0.6 15 0.6 15 0.6 15 0.6 15 0.6 15 0.6 15 0.6 15 0.6 15 0.6 15 0.6 15 0.6 15 0.6 15 0.6 15 0.6 15 0.6 15 0.6 15 0.6 15 0.6 15 0.6 15 0.6 15 0.6 15 0.6 15 0.6 15 0.6 15 0.6 15 0.6 15 0.6 15 0.6 15 0.6 15 0.6 15 0.6 15 0.6 15 0.6 15 0.6 15 0.6 15 0.6 15 0.6 15 0.6 15 0.6 15 0.6 15 0.6 15 0.6 15 0.6 15 0.6 15 0.6 15 0.6 15 0.6 15 0.6 15 0.6 15 0.6 15 0.6 15 0.6 15 0.6 15 0.6 15 0.6 15 0.6 15 0.6 15 0.6 15 0.6 15 0.6 15 0.6 15 0.6 15 0.6 15 0.6 15 0.6 15 0.6 15 0.6 15 0.6 15 0.6 15 0.6 15 0.6 15 0.6 15 0.6 15 0.6 15 0.6 15 0.6 15 0.6 15 0.6 15 0.6 15 0.6 15 0.6 15 0.6 15 0.6 15 0.6 15 0.6 15 0.6 15 0.6 15 0.6 15 0.6 15 0.6 15 0.6 15 0.6 15 0.6 15 0.6 15 0.6 15 0.6 15 0.6 15 0.6 15 0.6 15 0.6 15 0.6 15 0.6 15 0.6 15 0.6 15 0.6 15 0.6 15 0.6 15 0.6 15 0.6 15 0.6 15 0.6 15 0.6 15 0.6 15 0.6 15 0.6 15 0.6 15 0.6 15 0.6 15 0.6 15 0.6 15 0.6 15 0.6 15 0.6 15 0.6 15 0.6 15 0.6 15 0.6 15 0.6 15 0.6 15 0.6 15 0.6 15 0.6 15 0.6 15 0.6 15 0.6 15 0.6 15 0.6 15 0.6 15 0.6 15 0.6 15 0.6 15 0.6 15 0.6 15 0.6 15 0.6 15 0.6 15 0.6 15 0.6 15 0.6 15 0.6 15 0.6 15 0.6 15 0.6 15 0.6 15 0.6 15 0.6 15 0.6 15 0.6 15 0.6 15 0.6 15 0.6 15 0.6 15 0.6 15 0.6 15 0.6 15 0.6 15 0.6 15 0.6 15 0.6 15 0.6 15 0.6 15 0.6 15 0.6 15 0.6 15 0.6 15 0.6 15 0.6 15 0.6 15 0.6 15 0.6 15 0.6 15 0.6 15 0.6 15 0.6 15 0.6 15 0.6 15 0.6 15 0.6 15 0.6 15 0.6 15 0.6 15 0.6 15 0.6 15 0.6 15 0.6 15 0.6 15 0.6 15 0.6 15 0.6 15 0.6 15 0.6 15 0.6 15 0.6 15 0.6 15 0.6 15 0.6 | 14: 55 L4: 15 L4: 15 L4: 15 L4: 15 L4: 16 L4 | 9 0 0 0 1 1 1 1 1 1 1 1 1 1 1 1 1 1 1 1 | 0.0 Lylan 30.0 Lylan 3 | min_neu | 10.0 S.Max.min: 200.1 S.Max.min: 200.1 S.Max.min: 200.1 S.Max.min: 200.1 S.Max.min: 200.1 S.Max.min: 21.1 S.Max.min: 21.1 S.Max.min: 21.1 S.Max.min: 21.2 S.Max.min: 21.2 S.Max.min: 21.3 S.Max.min: 21.4 S.Max.min: 21.5 S.Max.min: 21.6 S.Max.min: 21.7 S.Max.min: 21.7 S.Max.min: 21.8 S.Ma | 13.1
537.1 | | 13 14 |
|-------------------------------------------------|-------------------------------------------------------|---|----|---|----|--------------------------------------------------------------------------------------------------------------------------------------------------------------------|-------------------------------------------------------------------------------------------------------------------------------------------------------------------------------------------------------------|------------------------------------------------------------------------------------------------------------------------------------------------------------------------------------------------------|-------------------------------------------------------------------------------------------------------------------------------------------------------------------------------------------------------------------------------------------------------------------------------------------------------------------------------------------------------------------------------------------------------------------------------------------------------------------------------------------------------------------------------------------------------------------------------------------------------------------------------------------------------------------------------------------------------------------------------------------------------------------------------------------------------------------------------------------------------------------------------------------------------------------------------------------------------------------------------------------------------------------------------------------------------------------------------------------------------------------------------------------------------------------------------------------------------------------------------------------------------------------------------------------------------------------------------------------------------------------------------------------------------------------------------------------------------------------------------------------------------------------------------------------------------------------------------------------------------------------------------------------------------------------------------------------------------------------------------------------------------------------------------------------------------------------------------------------------------------------------------------------------------------------------------------------------------------------------------------------------------------------------------------------------------------------------------------------------------------------------------|--------------------------------------------------------------------------------------------------------------------------------------------------------------------------------------------------------------------------------------------------------------------------------------------------------------------------------------------------------------------------------------------------------------------------------------------------------------------------------------------------------------------------------------------------------------------------------------------------------------------------------------------------------------------------------------------------------------------------------------------------------------------------------------------------------------------------------------------------------------------------------------------------------------------------------------------------------------------------------------------------------------------------------------------------------------------------------------------------------------------------------------------------------------------------------------------------------------------------------------------------------------------------------------------------------------------------------------------------------------------------------------------------------------------------------------------------------------------------------------------------------------------------------------------------------------------------------------------------------------------------------------------------------------------------------------------------------------------------------------------------------------------------------------------------------------------------------------------------------------------------------------------------------------------------------------------------------------------------------------------------------------------------------------------------------------------------------------------------------------------------------|-----------------------------------------|--------------------------------------------------------------------------------------------------------------------------------------------------------------------------------------------------------------------------------------------------------------------------------------------------------------------------------------------------------------------------------------------------------------------------------------------------------------------------------------------------------------------------------------------------------------------------------------------------------------------------------------------------------------------------------------------------------------------------------------------------------------------------------------------------------------------------------------------------------------------------------------------------------------------------------------------------------------------------------------------------------------------------------------------------------------------------------------------------------------------------------------------------------------------------------------------------------------------------------------------------------------------------------------------------------------------------------------------------------------------------------------------------------------------------------------------------------------------------------------------------------------------------------------------------------------------------------------------------------------------------------------------------------------------------------------------------------------------------------------------------------------------------------------------------------------------------------------------------------------------------------------------------------------------------------------------------------------------------------------------------------------------------------------------------------------------------------------------------------------------------------|-------------------------------------------------------------------------------------------------------------------------------------------------------------------------------------------------------------------------------------------------|--------------------------------------------------------------------------------------------------------------------------------------------------------------------------------------------------------------------------------------------------------------------------------------------------------------------------------------------------------------------------------------------------------------------------------------------------------------------------------------------------------------------------------------------------------------------------------------------------------------------------------------------------------------------------------------------------------------------------------------------------------------------------------------------------------------------------------------------------------------------------------------------------------------------------------------------------------------------------------------------------------------------------------------------------------------------------------------------------------------------------------------------------------------------------------------------------------------------------------------------------------------------------------------------------------------------------------------------------------------------------------------------------------------------------------------------------------------------------------------------------------------------------------------------------------------------------------------------------------------------------------------------------------------------------------------------------------------------------------------------------------------------------------------------------------------------------------------------------------------------------------------------------------------------------------------------------------------------------------------------------------------------------------------------------------------------------------------------------------------------------------|---------------|---|--------------------------------------------------------------------------------------------------------------------------------------------------------------------------------------------------------------------------------------------------------------------------------------------------------------------------------------------------------------------------------------------------------------------------------------------------------------------------------------------------------------------------------------------------------------------------------------------------------------------------------------------------------------------------------------------------------------------------------------------------------------------------------------------------------------------------------------------------------------------------------------------------------------------------------------------------------------------------------------------------------------------------------------------------------------------------------------------------------------------------------------------------------------------------------------------------------------------------------------------------------------------------------------------------------------------------------------------------------------------------------------------------------------------------------------------------------------------------------------------------------------------------------------------------------------------------------------------------------------------------------------------------------------------------------------------------------------------------------------------------------------------------------------------------------------------------------------------------------------------------------------------------------------------------------------------------------------------------------------------------------------------------------------------------------------------------------------------------------------------------------|
| | 13 | I | 14 | I | 15 | I | 16 | I | 17 | I | 18 | I | 19 | ı | 20 | ı | verwendeter Spannnungstensor Spannungstensor S |

Die Bedeutung der Spalten ist folgende:

| Spolto | Bedeutung | | | | | | |
|---------|---------------------------------------------------------------------------------------------------------------------------------------------------------------------|--|--|--|--|--|--|
| Spalte | Dedeutung | | | | | | |
| Nr. | | | | | | | |
| 1 | Nr: fortlaufende Nummer in der Lastdatei | | | | | | |
| 2 | steigend/fallen, wir befinden uns auf dem steigenden bzw. fallenden Ast | | | | | | |
| 3 | L1: Moment zum Lastpunkt Nr.x | | | | | | |
| 4 | L2: Drehzahl zum Lastpunkt Nr.x | | | | | | |
| 5 | Zw: L1 und L2 werden direkt verwendet L1 L2: Die Momentanschrittweite geht über diesen Felkmunkt, so muss dieser ele Zwischennunkt | | | | | | |
| 3 | L1L2: Die Momentenschrittweite geht über diesen Eckpunkt, so muss dieser als Zwischenpunkt berechnet werden | | | | | | |
| 6 bis 9 | die 4 FE-Lastfallnummern (Spannungsdateien), innerhalb denen | | | | | | |
| | interpoliert wird | | | | | | |
| 6 | L1: FE-Lastfallnummer Interpolationsanteil in %/100 | | | | | | |
| 7 | L2: FE-Lastfallnummer Interpolationsanteil in %/100 | | | | | | |
| 8 | L3: FE-Lastfallnummer Interpolationsanteil in %/100 | | | | | | |
| 9 | L4: FE-Lastfallnummer Interpolationsanteil in %/100 | | | | | | |
| 10 | L_Max_min_alt: letztes max. Moment beim steigenden Ast oder letztes min. Moment beim fallenden Ast | | | | | | |
| 11 | L_Max_min_neu: aktuelle Last | | | | | | |
| 12 | S_Max_min: aktuelle Vergleichspannung | | | | | | |
| 13-20 | nur belegt, wenn ein steigendes Moment im fallenden Ast auftritt oder | | | | | | |
| | wenn ein fallendes Moment im steigenden Ast auftritt | | | | | | |
| 13 | wenn ein Zwischenmaximum oder Zwischenminimum auftritt | | | | | | |
| | Version 1: Man befindet sich auf dem steigenden Ast, das Moment fällt, aber die Vergleichsspannung ist | | | | | | |
| | größer -> Zwischenmaxima | | | | | | |
| | "steigender Ast, Moment fällt, S_Vgl(S_Max_min) ist größer Varsion 2: Man befindet sich auf dem fallenden Ast, das Moment steigt, aber die Vergleichsspannung ist. | | | | | | |
| | Version 2: Man befindet sich auf dem fallenden Ast, das Moment steigt, aber die Vergleichsspannung ist kleiner -> Zwischenmaxima | | | | | | |
| | "fallender Ast, Moment steigt, S_Vgl(S_Max_min) ist kleiner | | | | | | |
| | Es wird bei gleicher Last die Spannnung gesucht, welche auf dem entgegengesetzten Ast ist. | | | | | | |
| | Wenn wir uns auf dem steigenden Ast befinden, wird die Spannung des fallenden Astes gesucht | | | | | | |
| | berechnet, | | | | | | |
| | wenn wir uns auf dem fallenden Ast befinden, wird die Spannung auf dem steigenden Ast gesucht. | | | | | | |
| | Spalte 14-17: die 4 FE-Lastfallnummern (Spannungsdatien), innerhalb denen interpoliert wird | | | | | | |
| 14-17 | die 4 FE-Lastfallnummern (Spannungsdatien), innerhalb denen interpoliert | | | | | | |
| 1.17 | wird | | | | | | |
| 14 | L1: FE-Lastfallnummer Interpolationsanteil in %/100 | | | | | | |
| 15 | L2: FE-Lastfallnummer Interpolationsanteil in %/100 | | | | | | |
| 16 | L3: FE-Lastfallnummer Interpolationsanteil in %/100 | | | | | | |
| 17 | L4: FE-Lastfallnummer Interpolationsanteil in %/100 | | | | | | |
| 18 | Die berechnete Vergleichspannung des entgegengesetzten Astes | | | | | | |
| | 'S_Vgl_fallender Ast .xx.' oder 'S_Vgl_steigender Ast .xx.' | | | | | | |
| 19 | Die letzte max. oder min. Spannung im Vergleich '(< .x.(L:.x.))' or '(> .x. (L:.x.)) und die zugehörige | | | | | | |
| | Last | | | | | | |
| 20 | steigend->steigend / fallend->fallend: es wird auf dem Ast geblieben | | | | | | |
| | steigend->fallend / fallend->steigend: der Ast wird gewechselt | | | | | | |
| | steigend->iaiiend / fallend->steigend: der Ast wird gewechselt | | | | | | |

33. Beispiel 32 / Mehrkörperdynamik und Lebensdauer

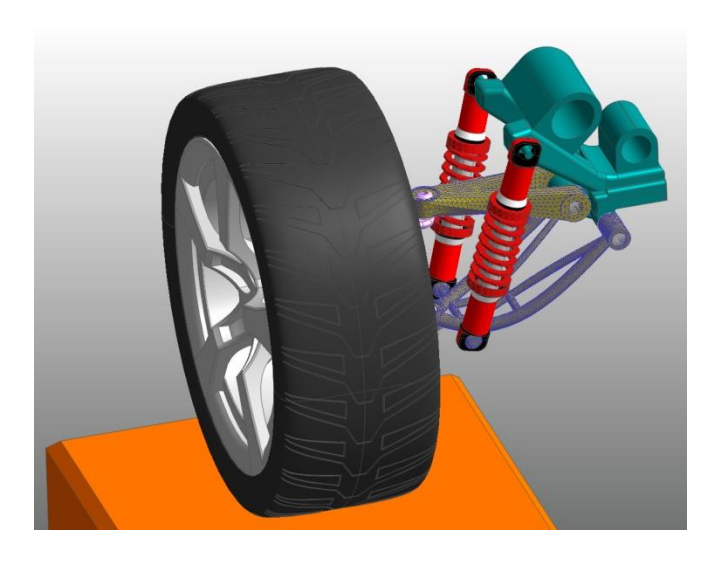
Hinweis: Dieses Beispiel ist als Video Datei auf unserer Homepage und auf CD vorhanden. Alle Daten – auch die Daten des FEMAP/NASTRAN Modells – befinden sich auf der winLIFE 4.0 -CD.

33.1. Aufgabenstellung

33.1.1. Radaufhängung

Mit dem MKS-Programm RecurDyn wird das Modell einer Radaufhängung simuliert. Das Modell stammt aus dem RecurDyn Beispiel mit dem Titel FFlex Mesher Suspension.

Das Rad wird mehrfach auf und ab bewegt und überträgt Kräfte auf die Verbindungselemente. Es treten nichtlineare Zusammenhänge auf, die in der Lebensdauerrechnung mit winLIFE 4.0 berücksichtigt werden.



Modell der Radaufhängung

33.1.2. Werkstoffdaten

Die beiden auszuwertenden Teile der Aufhängung bestehen aus dem Stahl SAE 1020 (entspricht Werkstoffnummer 1.1151).

Werkstoffname: 1.1151 (Ck22)

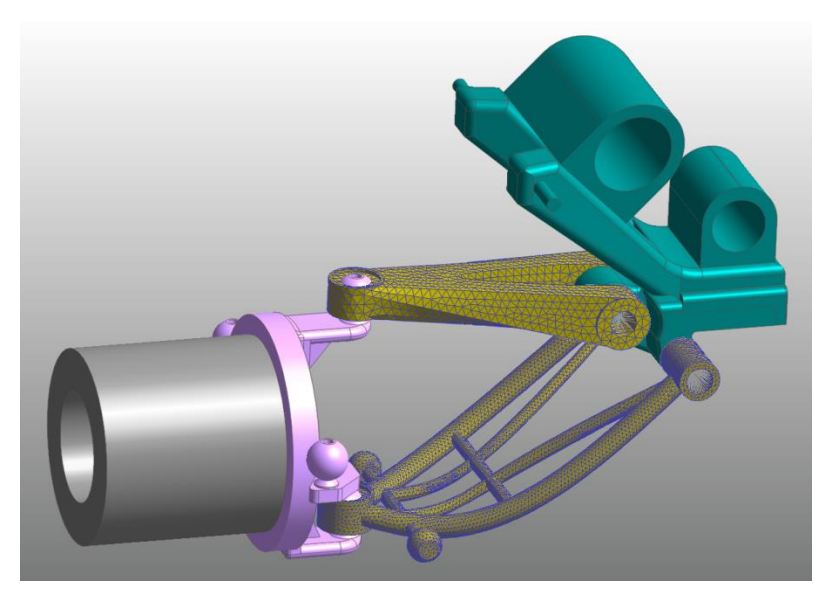
E-Modul: ca. 200.000 MPa

 $\begin{array}{ll} \text{Re} & \qquad \geq 340 \text{ MPa} \\ \\ \text{Rm} & \qquad \geq 500 \text{ MPa} \end{array}$

Querkontraktionszahl: 0,3

33.1.3. Modellbildung

Um eine Lebensdauerberechnung in winLIFE 4.0 durchführen zu können werden Spannungen benötigt. RecurDyn bietet die Möglichkeit direkt im MKS-Modell mit Finiten Elementen zu rechnen. Diese sogenannte Full Flex Funktion wird jetzt genutzt. Die Erzeugung der Netze ist in dem RecurDyn-Beispiel FFlex Mesher Suspension beschrieben. Die folgende Abbildung zeigt zwei Teile der Aufhängung, die aus einem Finite-Elemente Netz bestehen.



Finite-Elemente im MKS-Modell

Diese beiden vernetzten Teile sind somit flexibel und ermöglichen die Spannungsbestimmung.

33.1.4. Bauteilbelastung

Das Rad wird von der Rüttelvorrichtung (Shaker) bewegt. Das Gestell (grün-blauer Körper) bleibt ortsfest. Die Belastung ist hier also ein Bewegungsverlauf, der zu Verformungen und Spannungen in den Teilen führt.

Die Berechnung in RecurDyn erfolgt in mehreren Zeitschritten. Die Spannungen werden dann für diese Zeitpunkte ausgegeben.

33.2. Durchführung einer Lebensdauerberechnung

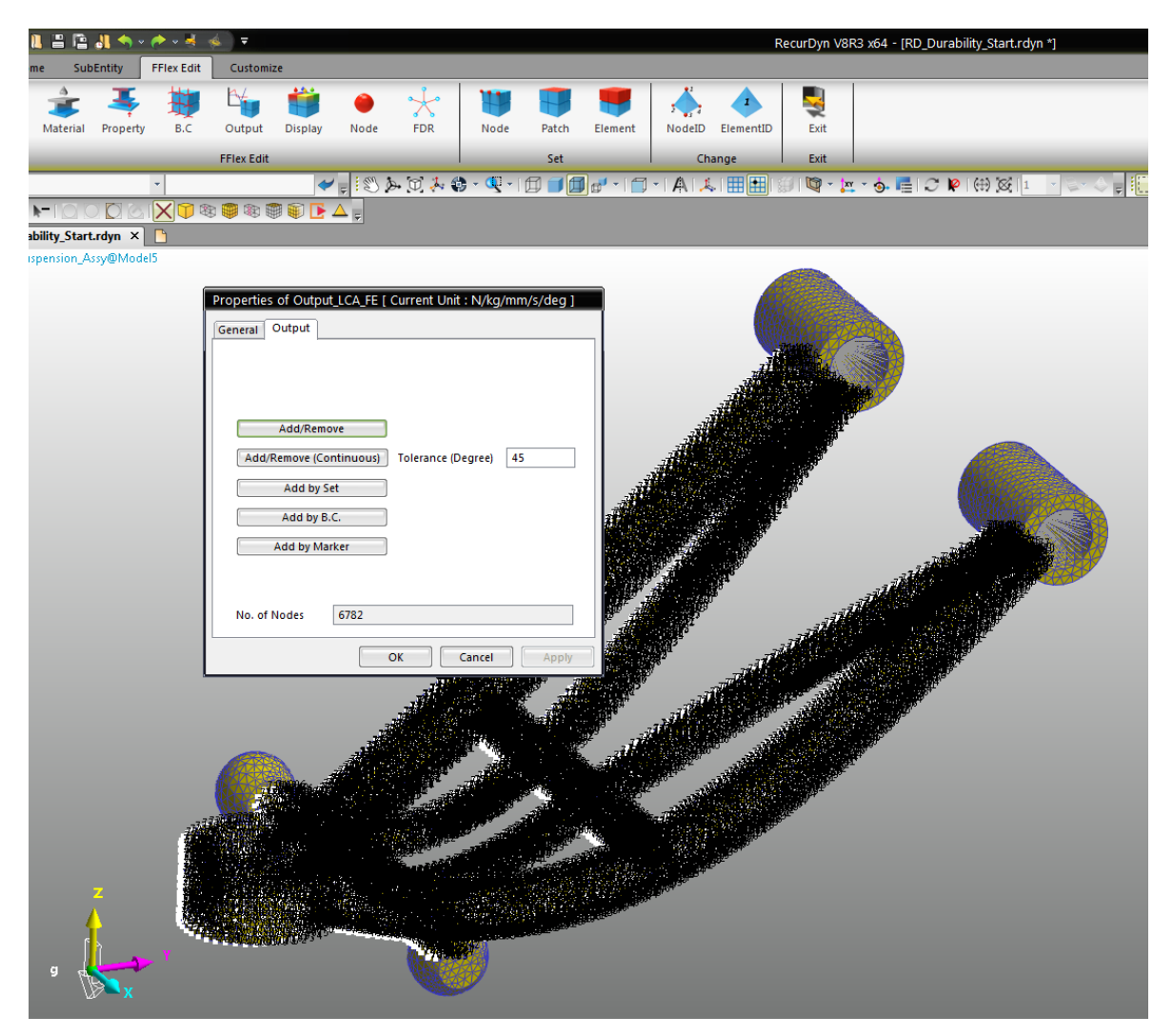
Grundlage für eine Lebensdauerberechnung in winLIFE 4.0 sind Spannungstensoren für jeden Zeitschritt. Hierzu wird der Export über ein RecurDyn Makro durchgeführt.

Zunächst definieren wir einen sogenannten Output. Wir öffnen dazu das vernetzte Bauteil und wählen aus der Registerkarte *FFlex Edit* den Befehl *Output*. Wir selektieren mit dem Befehl *Add/Remove (Continious)* Knoten der Bauteiloberfläche. Bereiche der Randbedingungen / Gelenke sind schwierig auszuwerten und daher hier ausgespart. Anschließend starten wir die Simulation erneut.

Bemerkung: mit einem großen Winkelwert im Feld *Tolerance (Degree)* können große Bereiche der Oberfläche schnell selektiert werden.

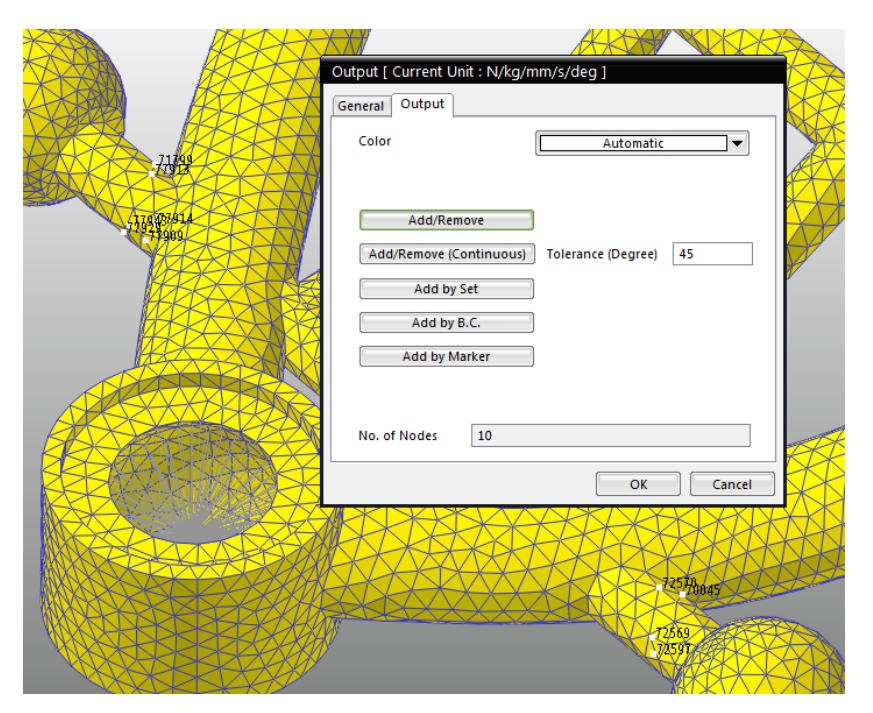
Falls die Selektionsmethode noch nicht auf Knoten eingestellt ist wird der entsprechende Befehl verwendet:





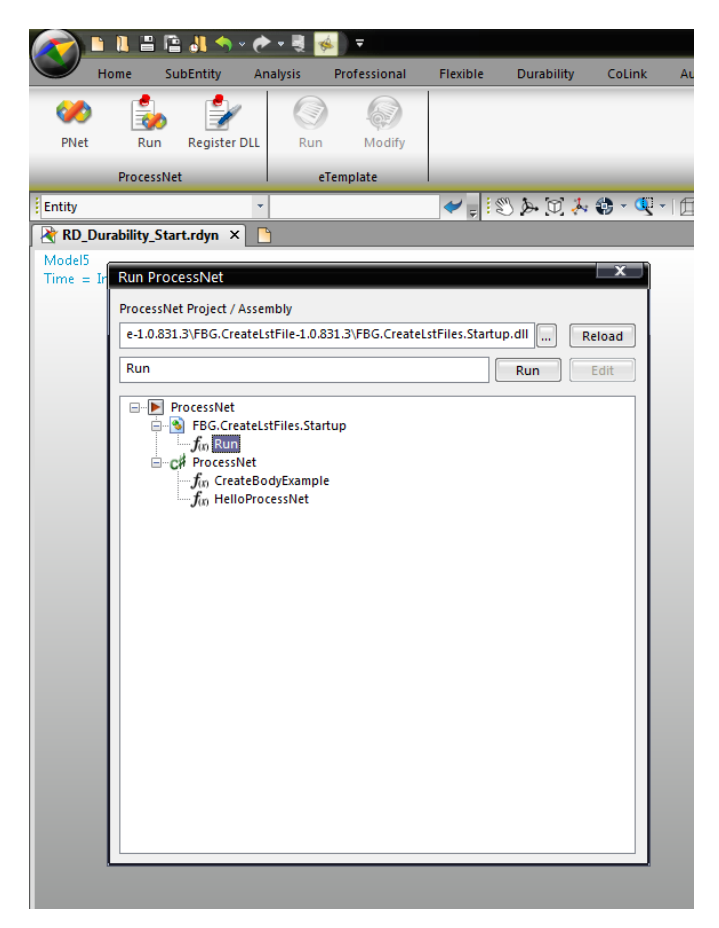
Gruppe von zu exportierenden Knoten

Für das Beispiel hier in winLIFE 4.0 werden lediglich 10 Knoten verwendet. Die Datenmenge wird dadurch erheblich reduziert und das Beispiel bleibt handhabbar.



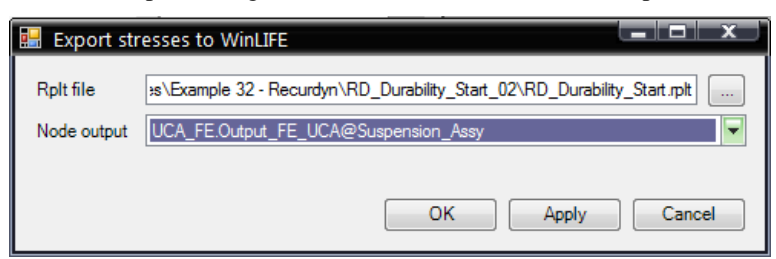
Gruppe von zu exportierenden Knoten (10 Stück)

Nun wird der Export der Spannungen durchgeführt. Wir starten dazu das RecurDyn Export-Makro. Es wird die Registerkarte *Customize* gewählt und hier auf *Run* geklickt. In dem sich öffnenden Dialogfenster muss die Datei *FBG.CreateLstFiles.Startup.dll* registriert werden. Anschließend wählt man den Button *Run*.



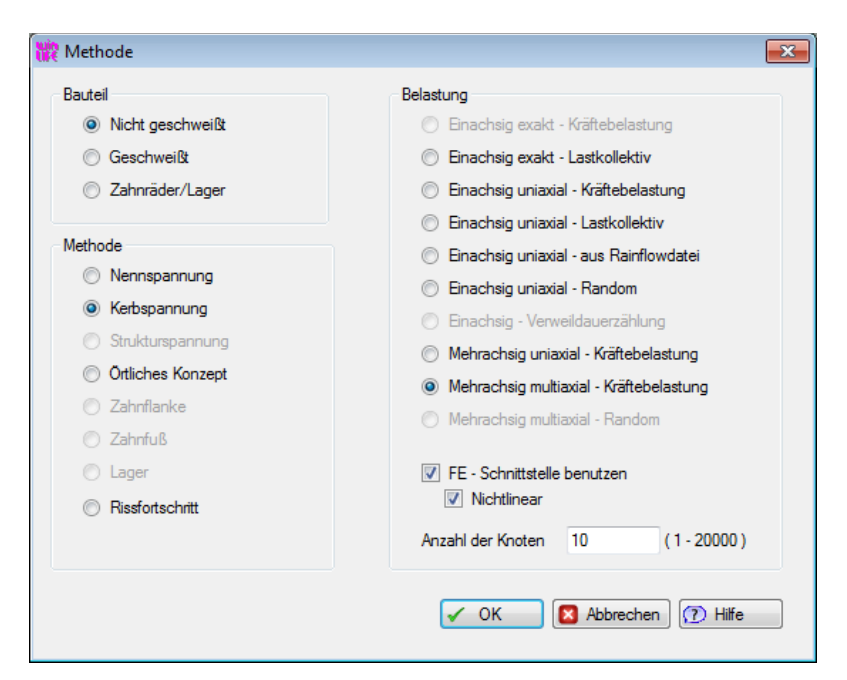
Wahl des Exportmakros

Es wird die rplt-Datei gewählt und das zuvor definierte Output.



Knotenauswahl am FE-Modell

In winLIFE 4.0 wird ein neues Projekt angelegt und es erfolgt die Angabe der Projektmethode. Es wird die Einstellung "Nicht geschweißt" gewählt und als Methode "Kerbspannung". Als Belastung wählen wir "Mehrachsig multiaxial – Kräftebelastung". Die FE-Schnittstelle wird verwendet. Dabei nutzen wir die Option "Nichtlinear". In diesem Beispiel wurden 6782 Knoten in RecurDyn gewählt und deren Spannungstensoren exportiert.

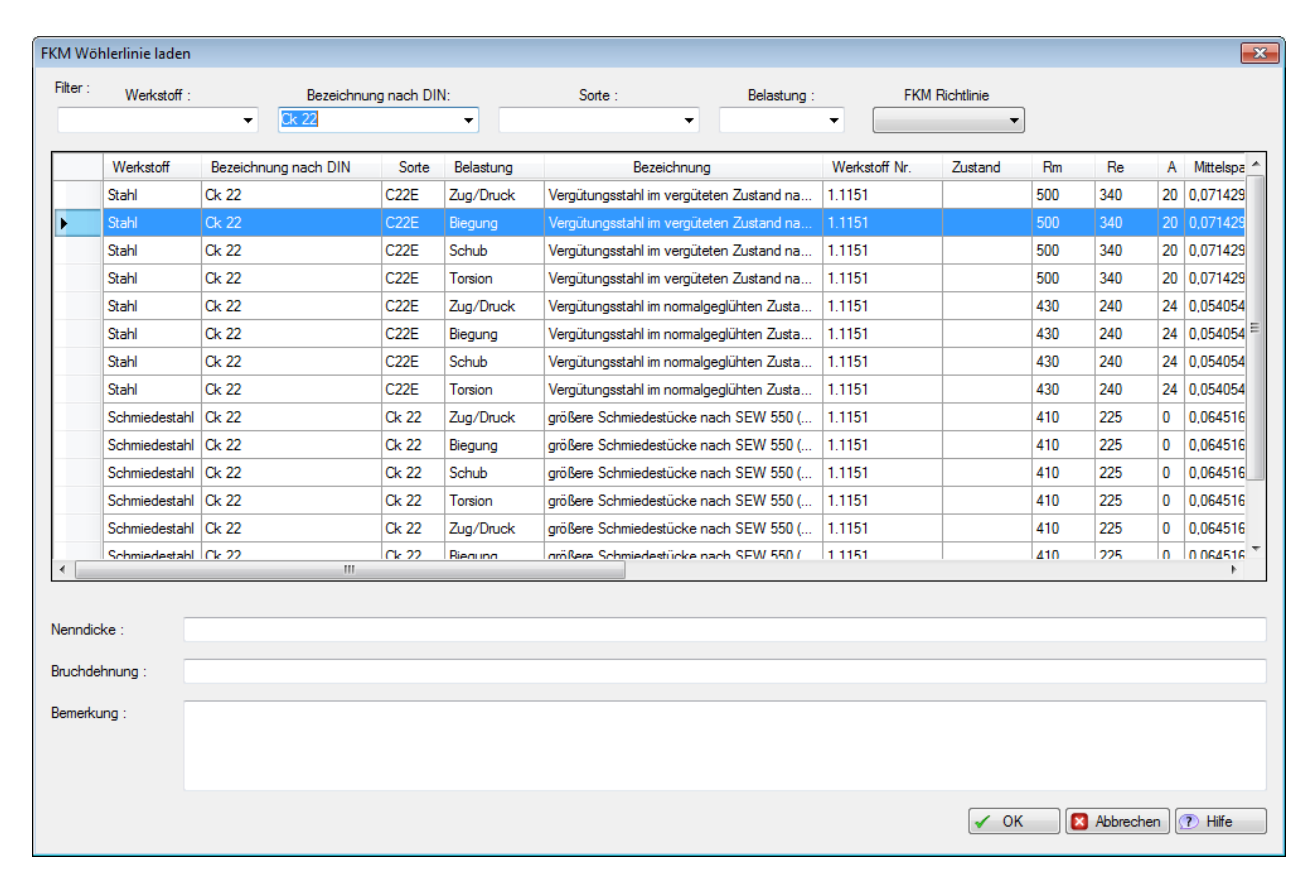


Einstellungen zu der Projektmethode

Für den Stahl 1.1151 wird eine Wöhlerlinie nach FKM generiert. Dieser Werkstoff ist in der winLIFE 4.0 Datenbank verfügbar. Es wird gewählt:

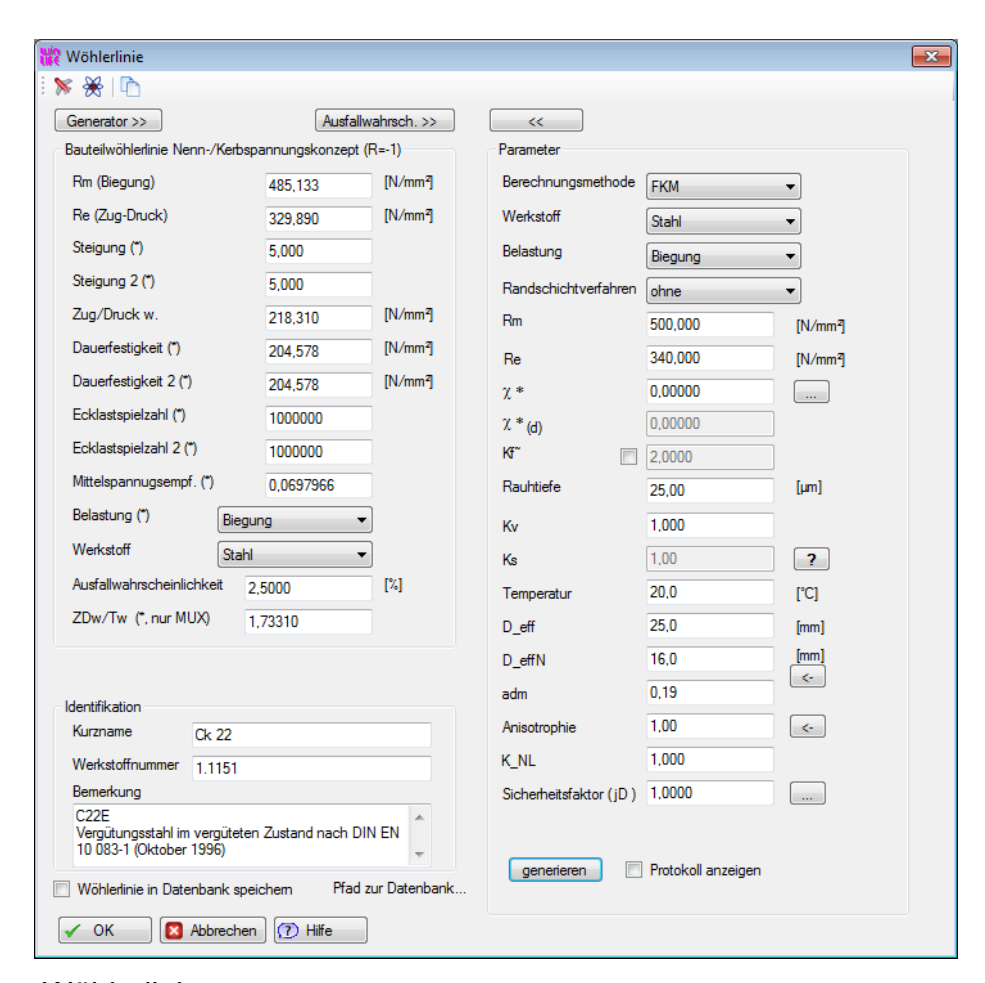
Wöhlerlinie → Laden FKM ...

In dem Feld *Bezeichung nach DIN* wird eingetragen *Ck* 22. Aus der Suchliste wählt man den Werkstoff für eine Biegebelastung, da diese womöglich überwiegend vorhanden ist.



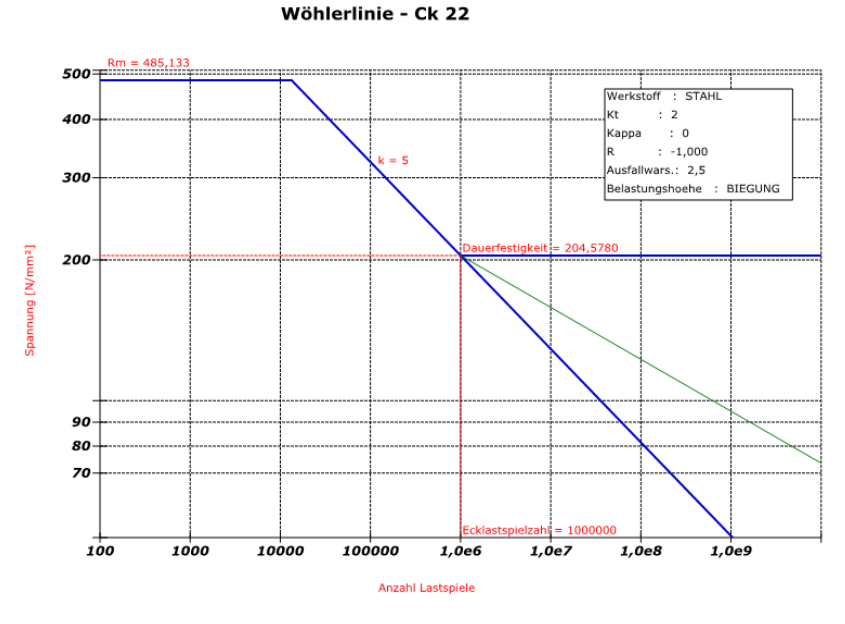
Wahl des Werkstoffs aus der Datenbank

Die Wöhlerlinie wird an folgenden Stellen noch verändert: Die Rauhtiefe wird zu 25µm gesetzt und der effektive Durchmesser zu 25mm was dem Durchmesser der breitesten Stangen entspricht.



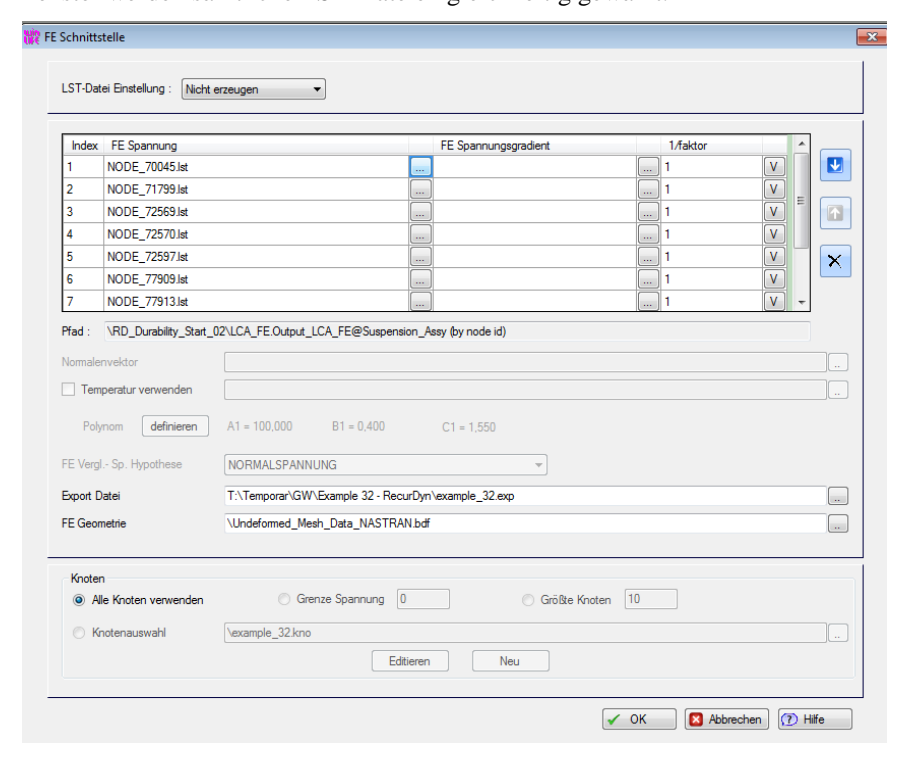
Wöhlerlinie

Über den Befehl Wöhlerlinie → Wöhlerlinie wird die gerade generierte Wöhlerlinie des Bauteils dargestellt.

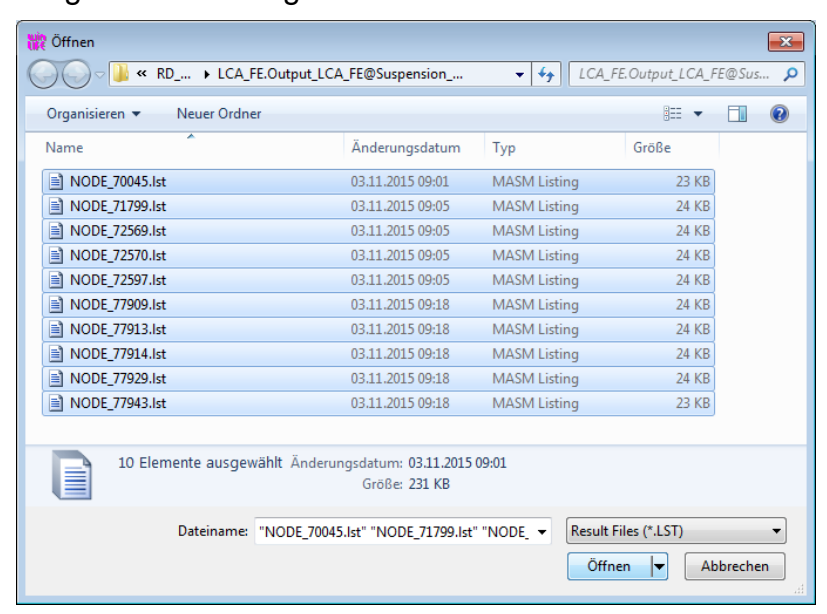


Bauteil-Wöhlerlinie

In dem Menü FE-Schnittstelle sind die Ergebnisse aus der FE-Similation in RecurDyn anzugeben. Es werden die vorher erzeugten LST- Dateien angegeben. Hierzu wird auf das Feld Fenster werden sämtliche LST-Dateien gleichzeitig gewählt.



Angabe der FE-Ergebnisse



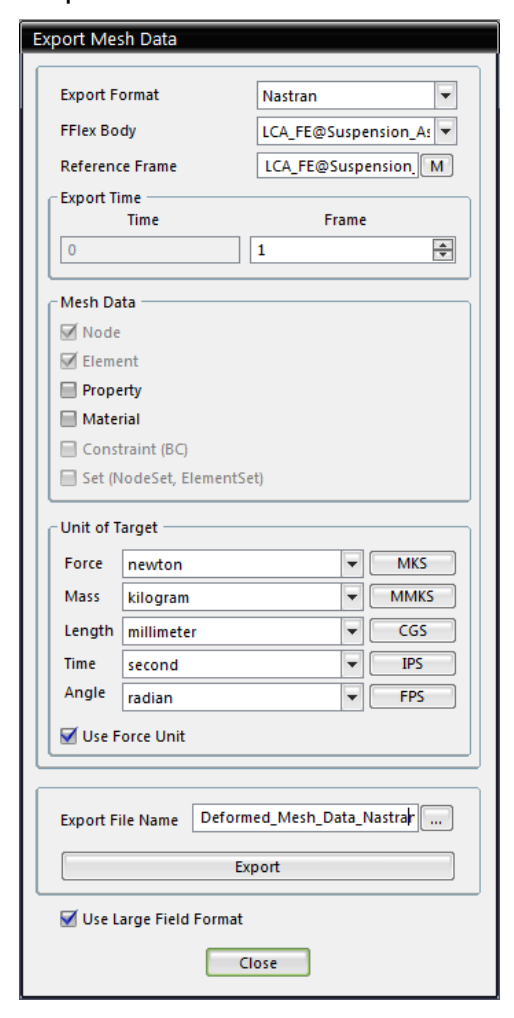
Wahl der Spannungen aus RecurDyn

Für die spätere Visualisierung der Ergebnisse im VIEWER4WINLIFE (zusätzliches winLIFE Modul) wird an dieser Stelle das Finite-Elemente Netz angegeben.

RecurDyn bietet die Möglichkeit das FE-Netz zu exportieren als bdf-Datei. Hierzu wird in RecurDyn der Befehl *Export Mesh Data* gewählt (Registerkarte *Flexible*). Der Anwender wählt daraufhin zweckmäßige Export-Optionen für das FE-Netz.

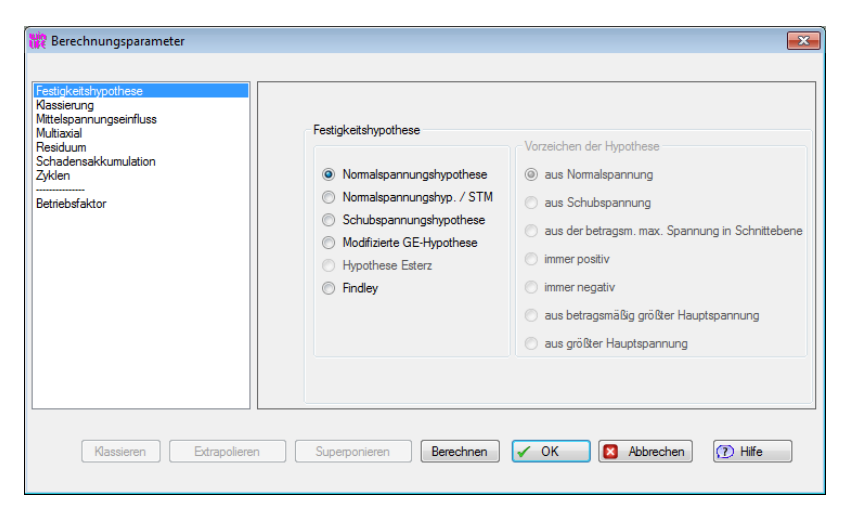


Export des FE-Netzes aus RecurDyn

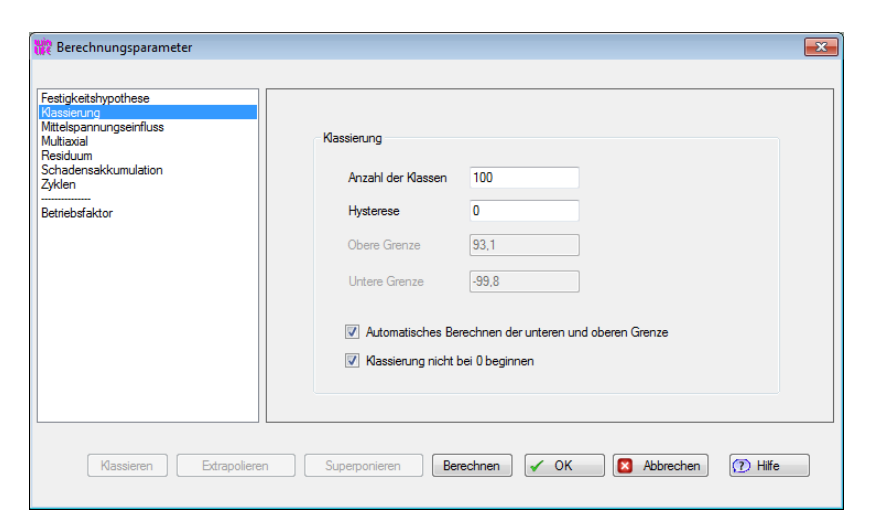


Optionen für den Export des FE-Netzes aus RecurDyn

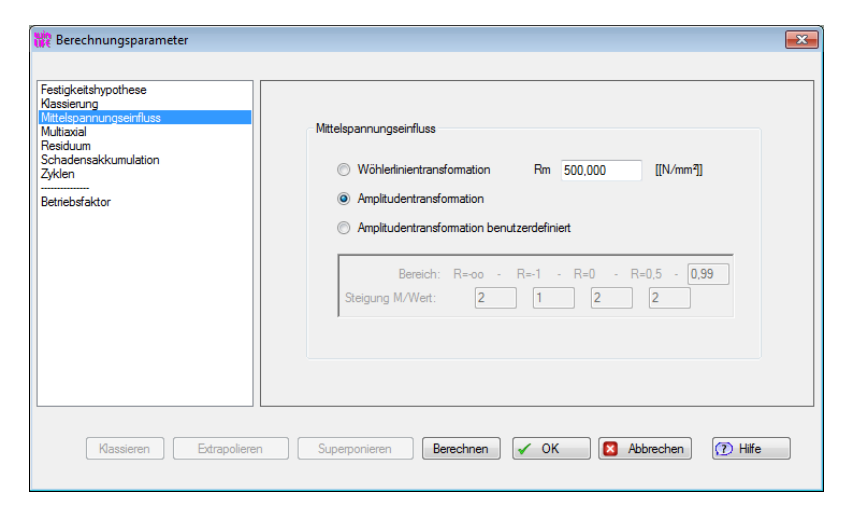
Die folgenden Abbildungen zeigen die gewählten Angaben und Optionen als Berechnungsparameter.



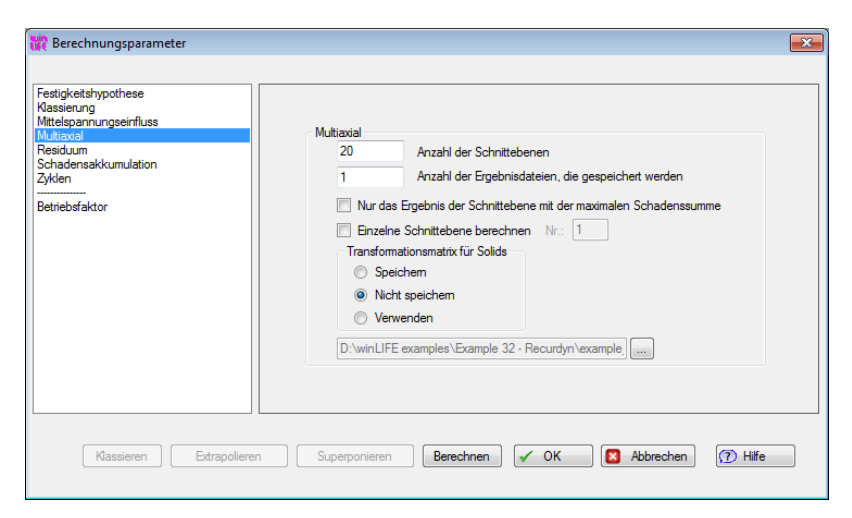
Wahl der Festigkeitshypothese



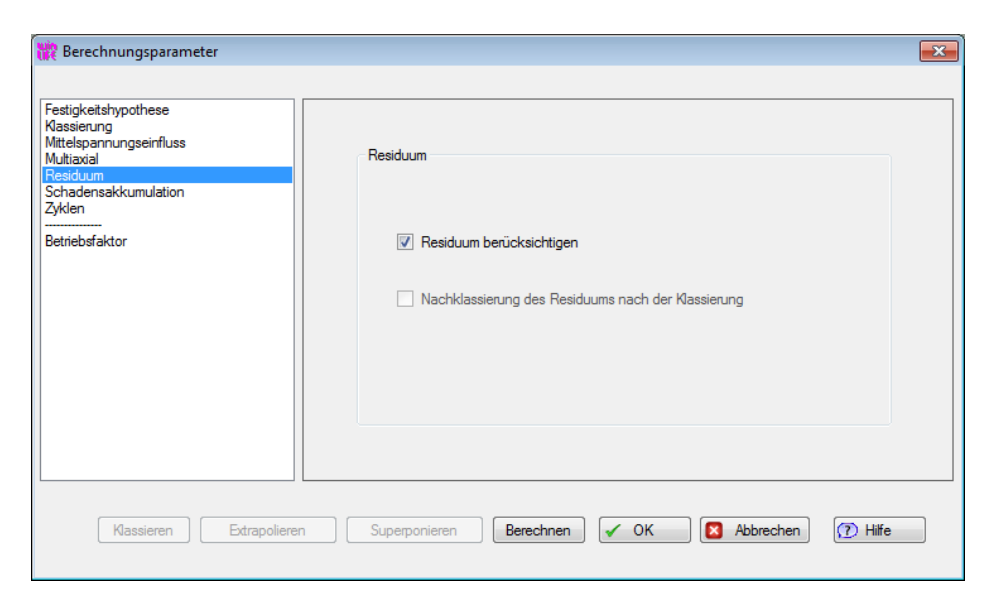
Angaben zur Klassierung



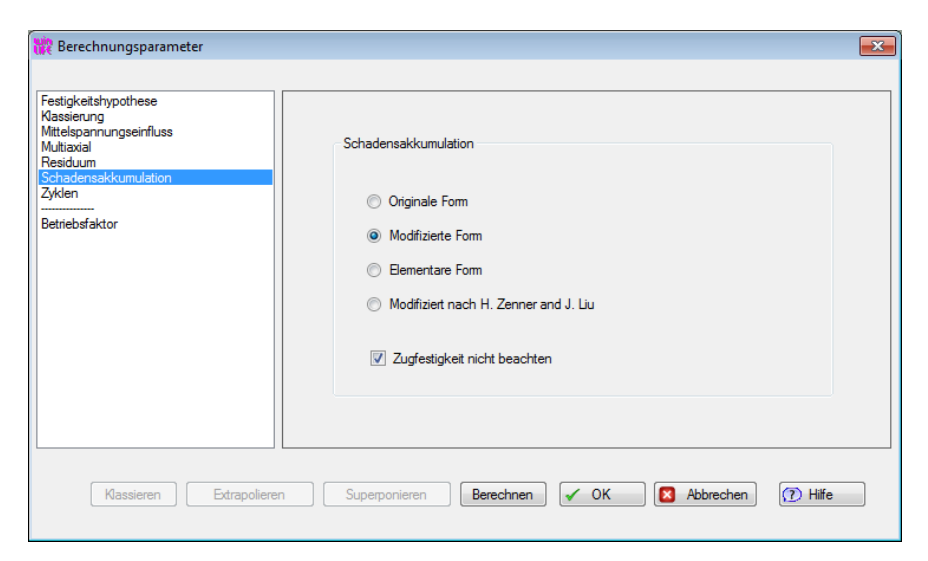
Angaben zur Berücksichtigung des Mittelspannungseinflusses



Einstellungen zur Multiaxialität



Einstellungen zum Residuum



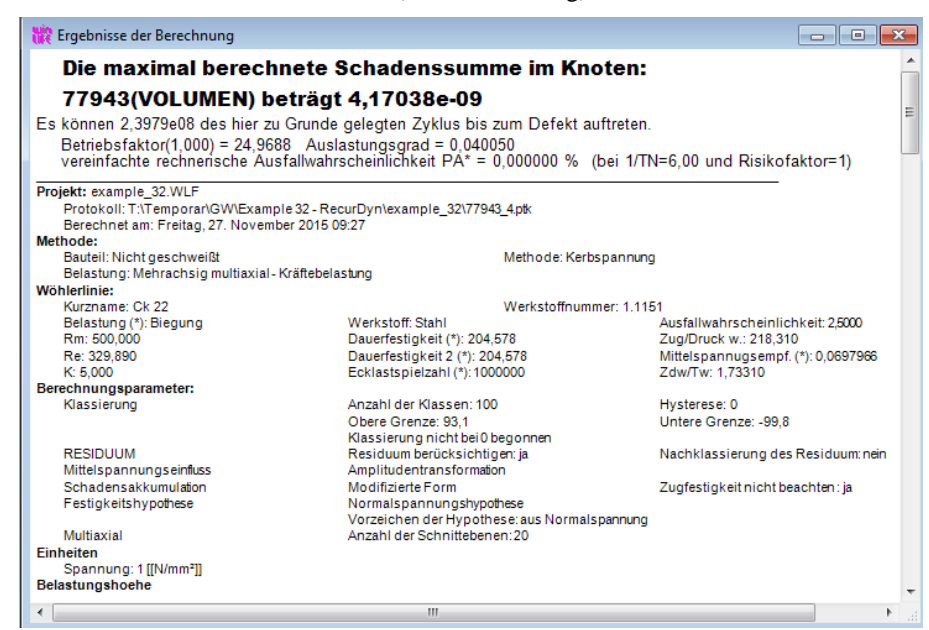
Einstellungen zur Schadensakkumulation

Es wird dann auf Berechnen geklickt.

33.3. Ergebnis

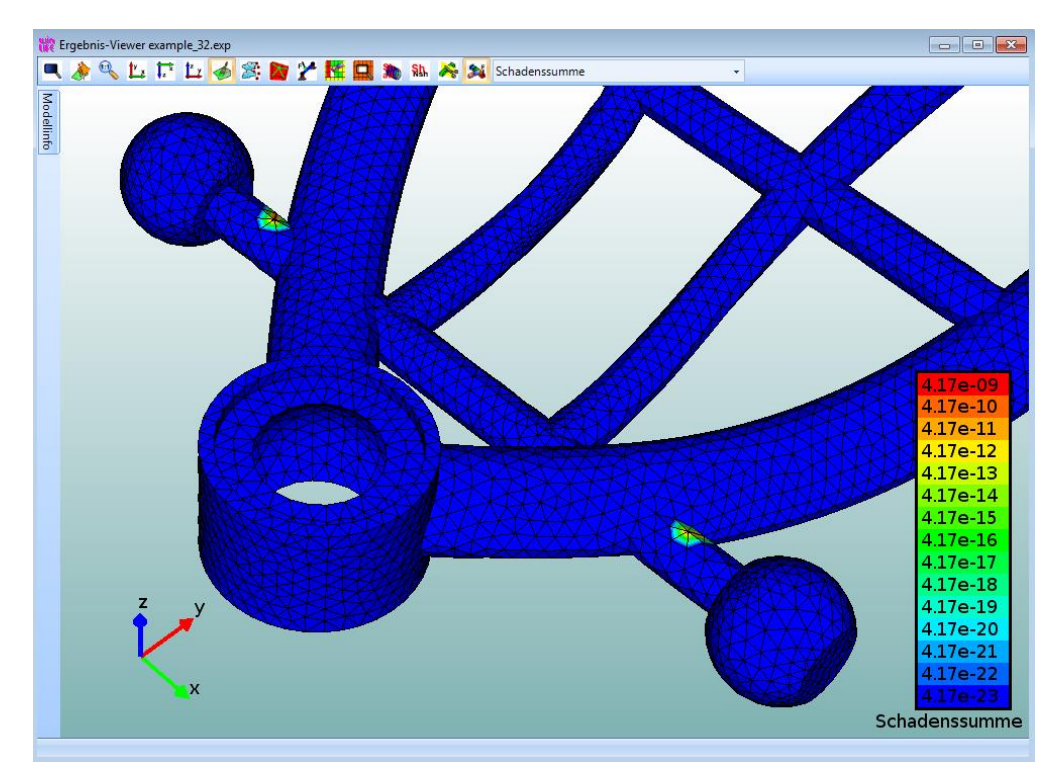
Schadenssumme

Mit den gewählten Angaben erfolgt in winLIFE 4.0 die Berechnung der Lebensdauer. Es tritt eine maximale Schadenssumme von 4,17E-09 auf (siehe Abbildung).



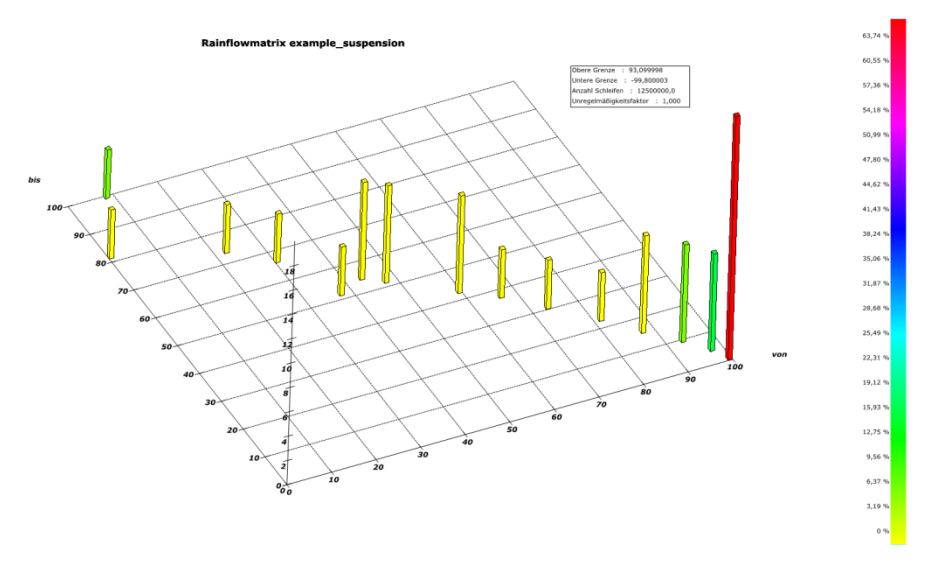
Schadenssummen nach dem Hot-Spot Suchverfahren

Der Befehl *Ergebnis* → *Viewer* ermöglicht die Darstellung der Ergebnisse.



Darstellung der Schadenssumme

Die Rainflow-Matrix liefert einen Überblick welche Spannungs-Amplituden wie häufig auftreten.



Rainflowmatrix

Die Schadenssummen sind auf den beiden Seiten des Bauteils unterschiedlich, obwohl die Belastung und das Bauteil symmetrisch sind. Hier ist die Vernetzung der beiden Seiten aber unterschiedlich, so dass die Ergebnisse ebenfalls unterschiedlich sind. Die Lebensdauer wird aus Spannungen des FE-Modells hergeleitet und ist damit ebenfalls netzabhängig. Ein besser gestaltetes FE-Modell ist also erforderlich.

Die Lebensdauerberechnung weiterer Teile der Radaufhängung kann bei Bedarf in gleicher Weise erfolgen.

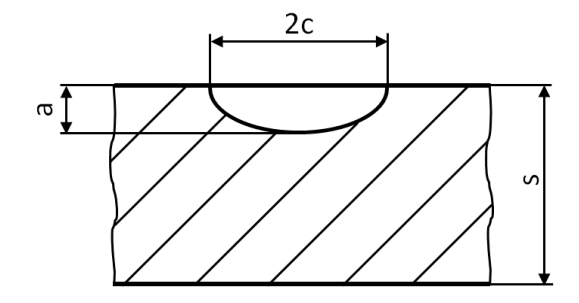
34. Beispiel 33 / Rissfortschrittsrechnung an einem Druckbehälter

Hinweis: Dieses Beispiel ist als Video Datei auf unserer Homepage und auf CD vorhanden. Alle Daten – auch die Daten des FEMAP/NASTRAN Modells – befinden sich auf der winLIFE 4.0 -CD.

34.1. Aufgabenstellung

34.1.1. Bauteilgeometrie

Es ist die Lebensdauer eines Druckbehälters ausgehend von einem rissartigen Fehler abzuschätzen. Das Beispiel ist entnommen aus dem Buch "Bruch- und Beurteilungskriterien in der Festigkeitslehre" von Sähn und Göldner (1993). Die folgende Abbildung zeigt den in Längsrichtung liegenden Oberflächenfehler mit seinen Abmessungen in der Schnittansicht.



Riss in der Behälterwand

Die geometrischen Daten des Behälters betragen:

 $\begin{array}{ll} Durchmesser & D = 5500mm \\ Wanddicke & s = 15mm \\ L \ddot{a}nge & mehrere Meter \end{array}$

Der Oberflächenriss hat zu Beginn folgende Maße:

Risstiefe a = 2mm

Risslänge 2c = 4mm siehe obere Abbildung

34.1.2. Belastung

Es tritt ein Innendruck von $\Delta p = 1,5$ MPa auf (15bar). Der Behälter wird täglich 4mal "an- und abgefahren". Aus der Druckbelastung und der Geometrie des Druckbehälters folgt die wirkende Nennspannung in der Wandung.

$$\Delta \sigma_n = \Delta p \frac{D}{2s} = 1,5 MPa \frac{5500}{2 \cdot 15} = 275 MPa$$

34.1.3. Werkstoffdaten

Es liegen folgende Materialangaben für den Stahl X8CrNiMoTi8.11 vor:

Streckgrenze $R_e = 330 \text{ MPa}$

Zugfestigkeit $R_m = 675MPa$

kritischer Spannungsintensitätsfaktor $K_{IC} = 4111 \text{ Nmm}^{-3/2}$

Der Schwellenwert ΔK_{th} und die Rissausbreitungsgeschwindigkeit $\frac{da}{dN}$ werden nach der FKM-Richtlinie geschätzt, weil die entsprechenden Werte für den Werkstoff nicht verfügbar sind.

Zum Schwellenwert ΔK_{th} :

Folgende Grenzen für ΔK_{th} werden bestimmt:

$$E \cdot 2 \cdot 10^{-5} (1 - R_K)^{0.31} \le \Delta K_{th} \le E \cdot 3.5 \cdot 10^{-5} (1 - R_K)^{0.31}$$
 mit E = 200.000MPa folgt:
$$200000MPa \cdot 2 \cdot 10^{-5} (1 - (0))^{0.31} \le \Delta K_{th} \le 200000MPa \cdot 3.5 \cdot 10^{-5} (1 - (0))^{0.31}$$

$$4MPa\sqrt{m} \le \Delta K_{th} \le 7MPa\sqrt{m}$$

Wie sich noch zeigt, werden beide Schwellenwerte ΔK_{th} bei Belastung überschritten. D.h. es ist auf jeden Fall mit Risswachstum zu rechnen. Es wird im Folgenden der niedrigere Schwellenwert $\Delta K_{th} = 4MPa\sqrt{m}$ verwendet.

Umrechnung des Schwellwerts auf die Einheit $Nmm^{-\frac{3}{2}}$:

$$\Delta K_{th} = 4 \cdot 31,623 Nmm^{-\frac{3}{2}} = 126,5 Nmm^{-\frac{3}{2}}$$

Zum Rissfortschrittsgesetz:

$$\frac{da}{dN} = 1,37 \cdot 10^{-7} \cdot \Delta K^{2,25}$$

bezogen auf die Paris-Gleichung
$$\frac{da}{dN} = C \cdot \Delta K^m$$

ergeben sich folgende Rissfortschrittskennwerte:

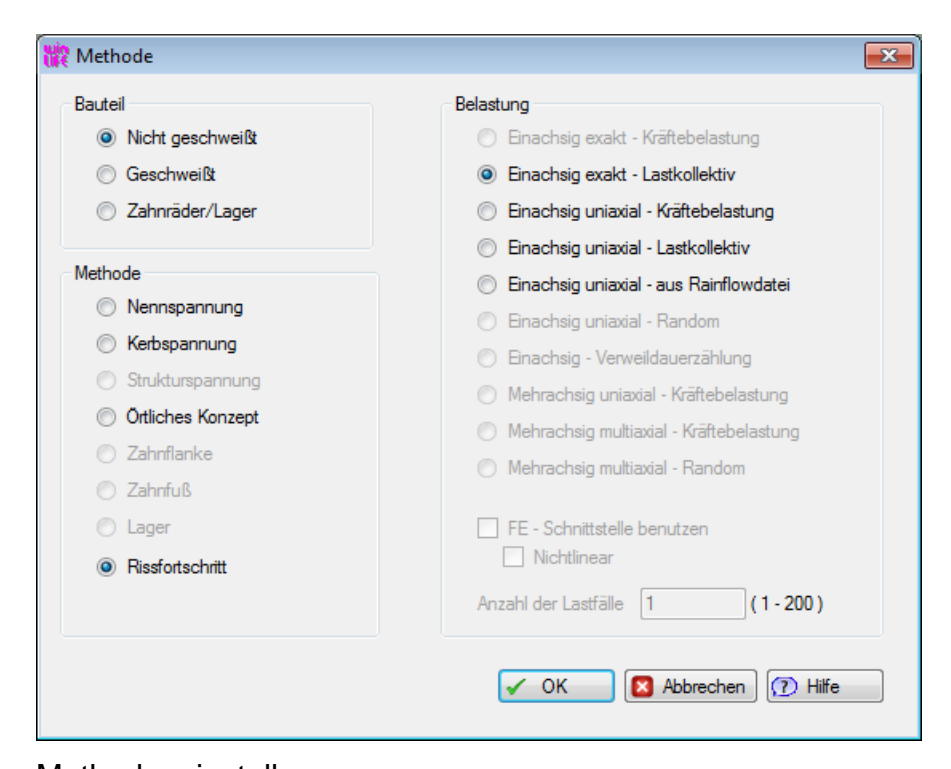
m = 2,25 $C = 1,37 \cdot 10^{-7} \text{ in } MPa\sqrt{m}$ Umrechnung: $C = 1,37 \cdot 10^{-7} \cdot 0,031623^{2,25} = 5,78 \cdot 10^{-11} Nmm^{-\frac{3}{2}}$

1.5 Lebensdauerberechnung nach dem Paris-Gesetz

34.2.1. Projektdefinition

Es wird in winLIFE 4.0 ein neues Projekt angelegt mit den gezeigten Methodeneinstellungen. In winLIFE 4.0 wird gewählt:

Datei → Neu... ein Projektname z.B. Example_33 wird festgelegt

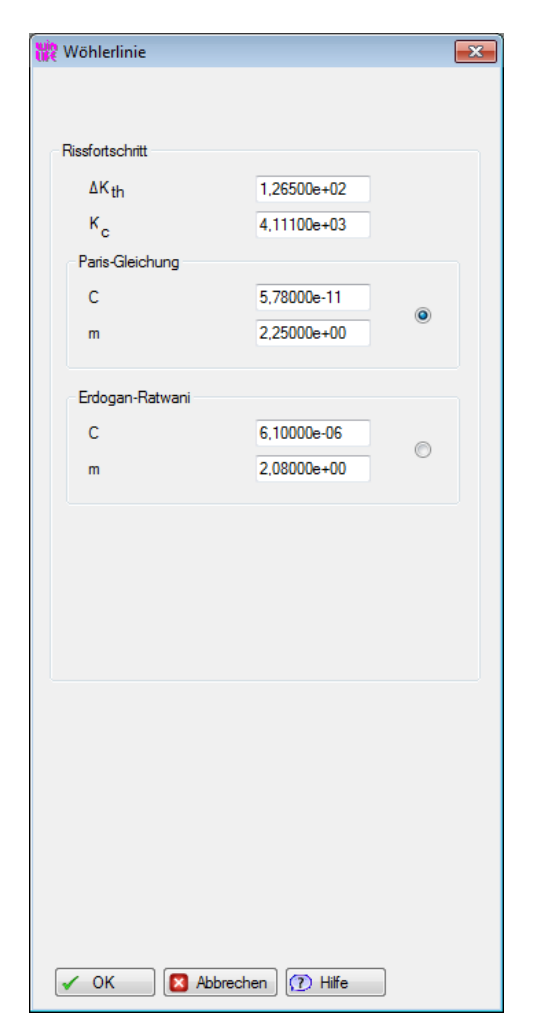


Methodeneinstellungen

34.2.2. Generierung der Rissfortschrittskurve

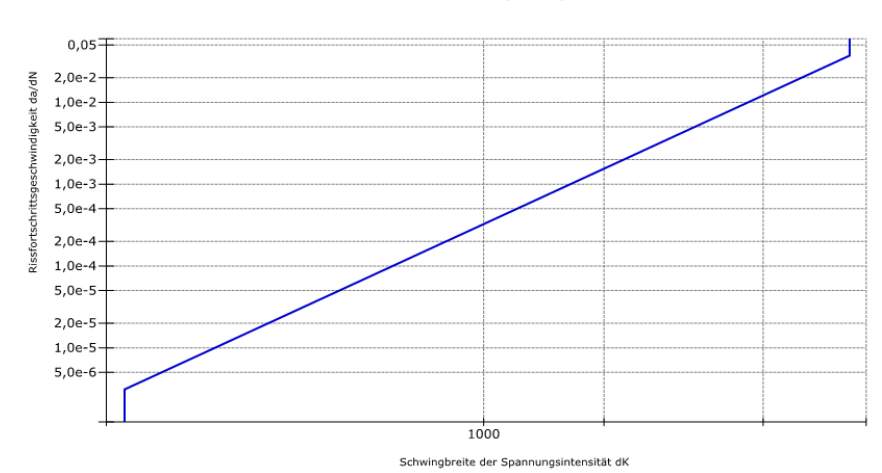
In einem weiteren Schritt wird die Rissfortschrittskurve basierend auf den Materialangaben erzeugt. Wir verwenden in diesem Beispiel die Rissfortschrittsgleichung nach Paris.

Wöhlerlinie → Neu...



Angaben zum Rissfortschrittsgesetz

Rissfortschrittskurve (Paris) R = -1



34.2.3. Definition des Belastungsverlaufs

Aus der Druckbelastung und der Geometrie des Druckbehälters ergibt sich die in Umfangsrichtung wirkende Nennspannung in der Wandung.

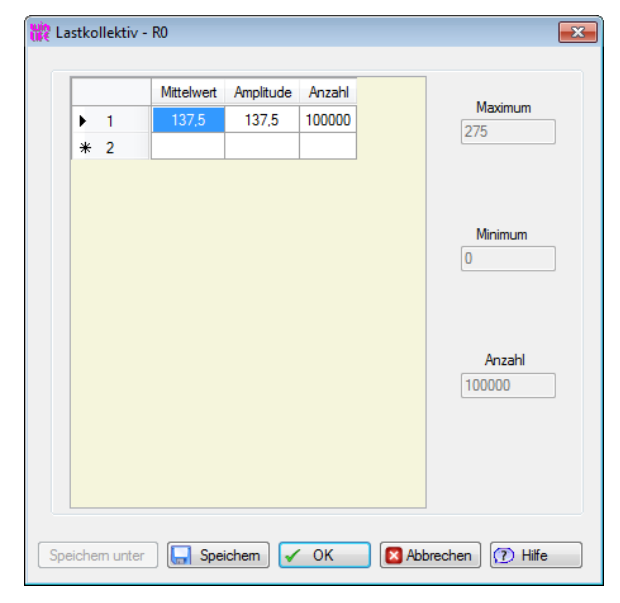
$$\Delta \sigma_n = \Delta p \frac{D}{2s} = 1,5 MPa \frac{5500}{2 \cdot 15} = 275 MPa$$

1. Kesselformel

In winLIFE 4.0 wird ein schwellendes Last-Kollektiv definiert.

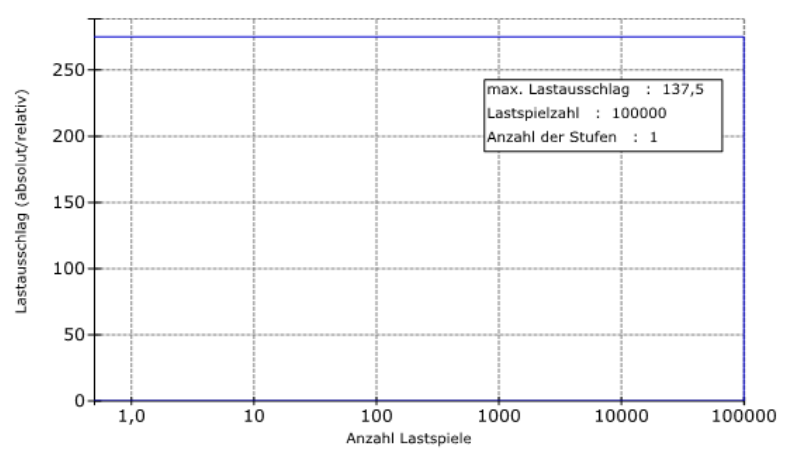
Belastung → Generieren → Lastkollektiv

Der Mittelwert und die Amplitude betragen 275MPa / 2 = 137,5MPa und die Anzahl der Wiederholungen wird auf 100.000 gesetzt.



Definition eines Last-Kollektivs

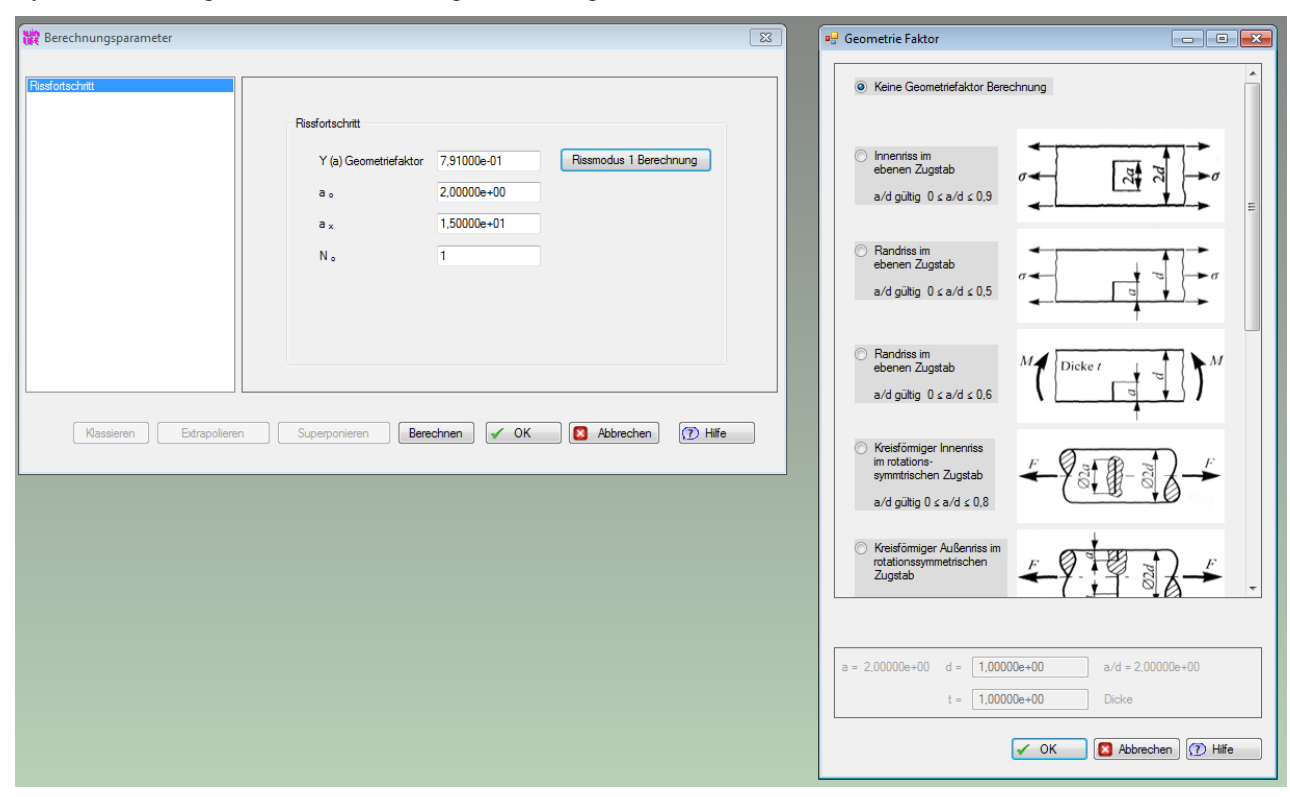
Belastung schwellend (R = 0)



34.2.4. Berechnungsparameter

Die folgende Abbildung zeigt die gewählten Angaben für die Berechnungsparameter. Der Geometriefaktor Y(a) für diesen Riss wird weiter unten ermittelt. Er beträgt etwa 0,791 und wird hier konstant gelassen, da seine Änderung im Verlauf des Risswachstums nicht stark variiert.

Die Anfangsrisslänge beträgt $a_0 = 2mm$ und die kritische Risslänge $a_x = 15mm$ (Wandstärke). Der Wert für den ersten Zyklus N_0 wird 1 gesetzt. Die Berechnung wird durchgeführt.



Angaben zum Rissfortschritt

Bestimmung des Geometriefaktors Y(a) fürwinLIFE 4.0:

Der Geometriefaktor für diese Rissgeometrie ist in der Gleichung für den Spannungsintensitätsfaktor K enthalten.

$$K_{\max} = \Delta K = \Delta \sigma_m \sqrt{\pi a} \sqrt{\frac{1,2}{Q}} Y_{F/R}^A Y_B$$
 der Geometriefaktor ist dabei : $Y(a) = \sqrt{\frac{1,2}{Q}} Y_{F/R}^A Y_B$

Annahme Y_B=1 (Spannungserhöhungen durch Bohrungen, ...).

$$Y_{F/R}^{A} \approx 1,13 - 0,09 \frac{a}{c} + \left[\frac{0,89}{0,2 + \frac{a}{c}} - 0,54 \right] \left(\frac{a}{s} \right)^{2} + \left[0,5 - \frac{1}{0,65 + \frac{a}{c}} + 14 \left(1 - \frac{a}{c} \right)^{24} \right] \left(\frac{a}{s} \right)^{4}$$

Bei der Rissausbreitung wird angenommen, dass sich das Verhältnis a/c = 1 nicht verändert. Es folgt:

$$Y_{F/R}^A \approx 1,04 + 0,202 \left(\frac{a}{s}\right)^2 - 0,106 \left(\frac{a}{s}\right)^4$$

Für die Anfangsrissgröße $\frac{a}{s} = \frac{2}{15}$ folgt:

$$Y_{F/R}^{A} = 1,044$$

Für die Endrissgröße $\frac{a}{s} = \frac{15}{15} = 1$ folgt:

$$Y_{F/R}^{A} = 1,136$$

Da die Änderung von $Y_{F/R}^A$ gering ist für a/c = 1 vom Rissbeginn bis zum Rissdurchtritt wird zur Abschätzung der Lebensdauer $Y_{F/R}^A \approx$ konstant gesetzt. Annahme $Y_{F/R}^A = 1,1$

$$Q = \Phi^2 - 0.212 \left(\frac{\Delta \sigma_n}{\sigma_s}\right)^2$$

mit

$$\Phi = \int_{0}^{\frac{\pi}{2}} \left[1 - \frac{c^2 - a^2}{c^2} \sin^2 \Theta \right] d\Theta = \frac{\pi}{2}$$
 für a/c = 1

$$\Delta \sigma_n = \Delta p \frac{D}{2s} = 1,5 MPa \frac{5500}{2 \cdot 15} = 275 MPa$$

$$Q = \left(\frac{\pi}{2}\right)^2 - 0.212 \left(\frac{275}{330}\right)^2 = 2.32$$

Der Geometriefaktor beträgt dann:

$$Y(a) = \sqrt{\frac{1,2}{O}} Y_{F/R}^A Y_B = \sqrt{\frac{1,2}{2,32}} \cdot 1, 1 \cdot 1 = 0,791$$

Es kann noch der Spannungsintensitätsfaktor bestimmt werden.

$$\Delta K = \Delta \sigma_n \sqrt{\pi a_A} \sqrt{\frac{1.2}{Q}} Y_{F/R}^A Y_B$$
 mit $a_A = 2$ mm Anfangsrisslänge

$$= 275MPa\sqrt{\pi \cdot 0,002m}\sqrt{\frac{1,2}{2,32}} \cdot 1,1 \cdot 1$$

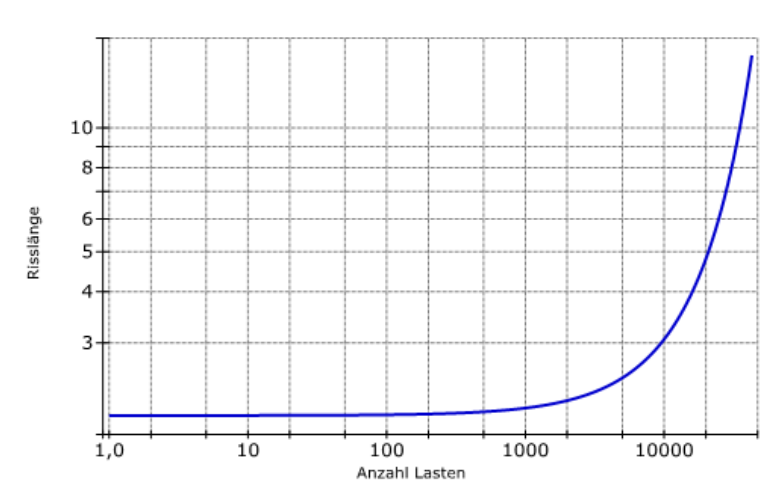
$$\Delta K = 17,24 MPa \sqrt{m}$$

Umrechnung des Werts auf die Einheit $Nmm^{-\frac{3}{2}}$: $\Delta K_I = 17,24 \cdot 31,623 Nmm^{-\frac{3}{2}} = 545,3 Nmm^{-\frac{3}{2}}$

34.2.5. Ergebnis nach der Paris-Gleichung

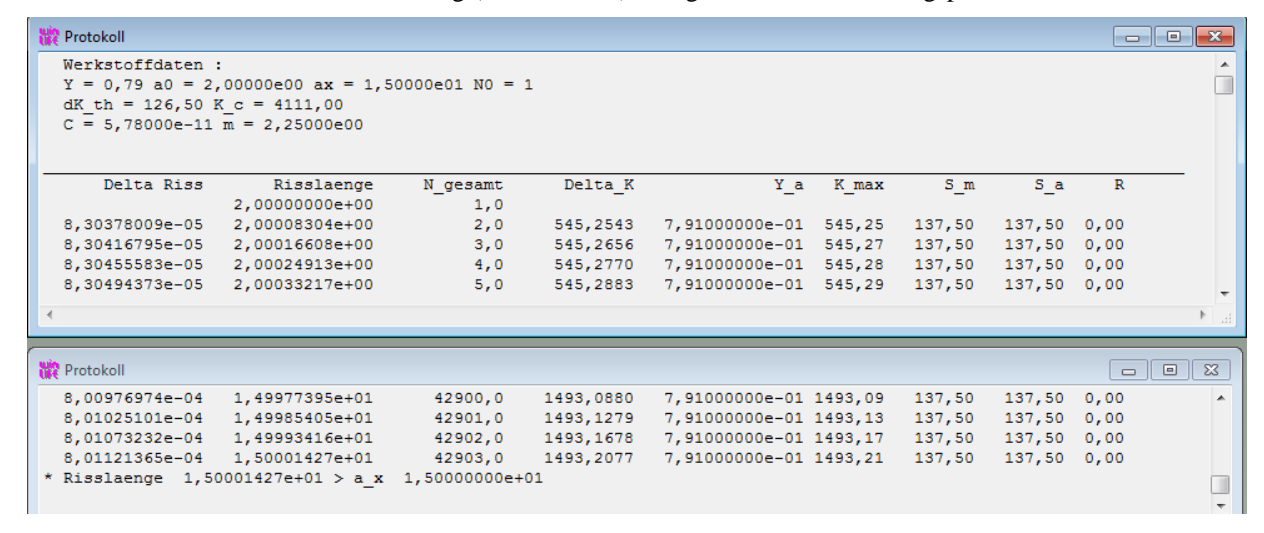
Die Rissergebniskurve vermittelt einen Eindruck wie der Riss in Abhängigkeit von den Lastwechseln wächst. Im Diagramm kann über das Kontextmenü der rechten Maustaste das Anzeigefenster für Werte aufgerufen werden.

Rissergebniskurve



Rissergebniskurve

Um genaue Werte zu dem Risswachstum zu erhalten, öffnet man das Protokoll. Das Protokoll zeigt für jedes Schwingspiel den Zuwachs der Risslänge und den sich daraus ergebenden neuen Spannungsintensitätsfaktor. Der Durchtritt des Risses durch die Wandung (Dicke 15mm) erfolgt nach 42903 Schwingspielen.



Protokollanfang und -ende der Rissfortschrittsberechnung

Die Lebensdauer in Jahren beträgt:

$$t_B = \frac{\Delta N}{4 \cdot 365}$$
 Jahre = $\frac{42903}{4 \cdot 365}$ Jahre = 29,4 Jahre

Somit kann der Wert aus der Literaturstelle von 42900 Zyklen oder 29,4 Jahre bestätigt werden.

35. Beispiel 34 / Signalmodifikation mit Hilfe des Formelgenerators

35.1. Aufgabenstellung

Der Fahrversuch und die entsprechende Meßtechnik ist aufwendig und oftmals werden erforderliche Signale nicht erfaßt, weil schlicht vergessen wurde, sie zu erfassen oder aber weil eine Messung sehr aufwendig ist oder aber der Sensor versagt hat. In diesem Beispiel wird demonstriert, wie man aus einer Messung Daten für eine Lebensdauerberechnung aufbereiten kann.

35.1.1. einfache Umrechnung und Kanalerzeugung

Der erste einfache Schritt soll darin bestehen, aus den gemessenen Größen eine neue Datei zu erzeugen, in der alle für eine Lebensdauerberechnung notwendigen Parameter enthalten sind. Dabei werden fehlende Größen berechnet und zusätzliche Parameter hinzugefügt.

35.1.2. Generierung hochfrequenter Signalanteile für gemessene Mittelwert-Signale

Das tatsächlich wirkende Drehmoment bei Verbrennungsmotoren ist eine stark schwankende Größe, da die Motorzündungen hohe Drehmomentschwankungen bewirken. Die Messung dieses dynamischen Momentes ist sehr aufwendig, Es ist jedoch möglich, aus dem mittleren Drehmoment, der Motordrehzahl und der Zylinderzahl den wirklichen Verlauf des Drehmomentes so abzuschätzen, dass die für die Lebensdauerberechnung auftretenden Umkehrpunkte brauchbar bestimmt werden können. Für die Erzeugung ist es eine Zeitinformation erforderlich, die als Zeitkanal in der Ergebnisdatei vorliegen kann. Ist die Abtastrate konstant, dann ist kein Zeitkanal erforderlich.

35.2. Dateitypen

Es werden folgende Dateien benötigt:

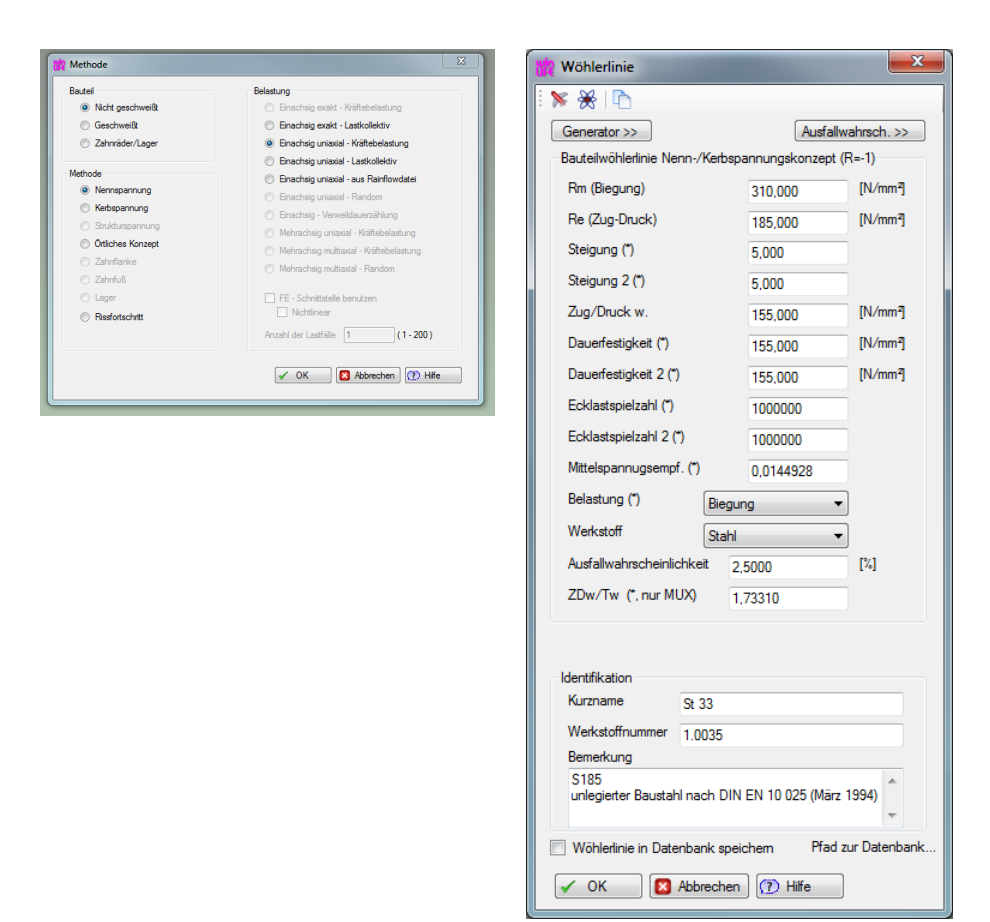
| Verwendungszweck | Extension | Hinweis | | | | | |
|-------------------------------------------------------------------------------|---------------------|------------------------------------------------------------------------------------------------------------------------|--|--|--|--|--|
| Ausgangsdatei mit spaltenweise
angeordneten Messkanälen (ASCII-
Format) | *.dat oder beliebig | Alle Kanäle, die für eine Berechnung verwendet werden sollen, müssen in einer Datei vorliegen. | | | | | |
| | | Jede Zeile entspricht einem Zeitpunkt, | | | | | |
| | | die Abtastrate muß nicht konstant sein, wenn ein Zeitkanal vorliegt. | | | | | |
| Ausgangsdatei aus Turbolab | *.daff | Alle Kanäle, die für eine Berechnung verwendet werden sollen, müssen in einer Datei vorliegen. | | | | | |
| Ausgangsdatei aus FAMOS | *.DAT | Jede Zeile entspricht einem Zeitpunkt,
die Abtastrate muß nicht konstant sein, wenn ein
Zeitkanal vorliegt | | | | | |
| Formeldatei (von winLIFE erzeugt) | *.wfd | Enthält die Formeln und kann modifiziert werden. | | | | | |
| Modulationsdatei (von winLIFE erzeugt): | *.wdm | Beschreibt die Regeln zur Erzeugung der modulierten Datei. Änderungen sollten nicht in einem externen Editor erfolgen. | | | | | |
| Ergbebnisdatei (von winLIFE erzeugt) | *.fme oder *.dat | Jeder in dem Formeleditor erzeugte winLIFE-Kanal wird in eine Spalte geschrieben. | | | | | |

35.3. Erzeugung einer neuen Datei mit Hilfe des Formeleditors / Beispiel

Das folgende Beispiel setzt Grundkenntnisse der Meßtechnik und Fahrzeugtechnik voraus. Dadurch soll der Aufwand zur Beschreibung nicht zu umfangreich werden.

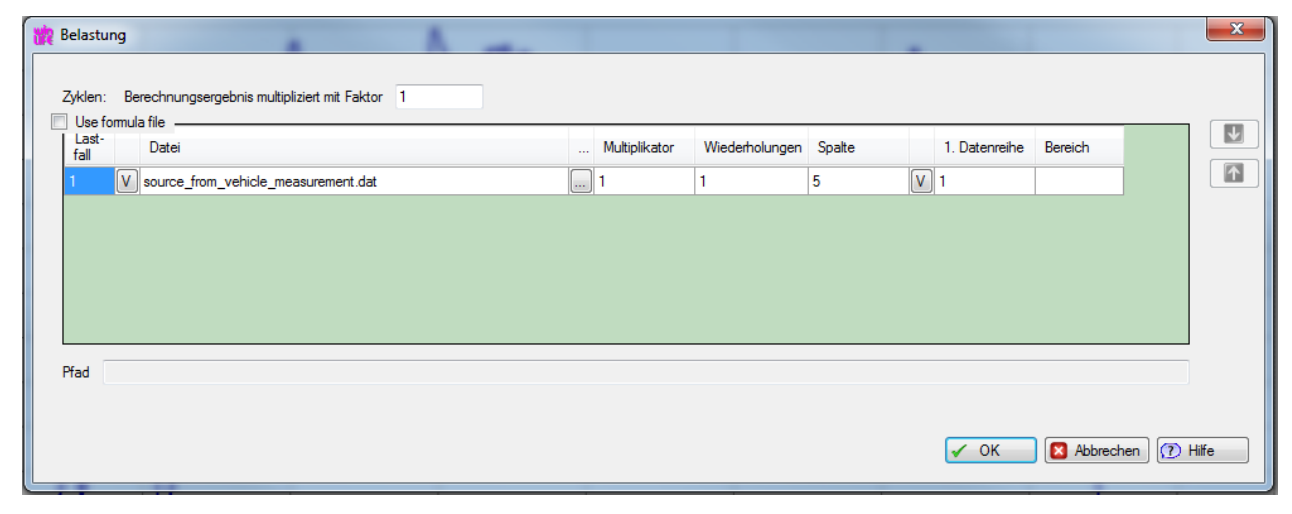
Eine bei einer realen Fahrzeugmessung erhaltene Datei soll modifiziert und erweitert werden. Die dynamischen Anteile der Motoranregung fehlen in der Messdatei und sollen ergänzt werden. Diese Problemstellung ist typisch bei der Verwendung von Messdaten aus Fahrversuchen.

Wir legen ein neues winLIFE 4.0 Projekt example_34 an. Die Methode wählen wir wie im folgenden Bild gezeigt.



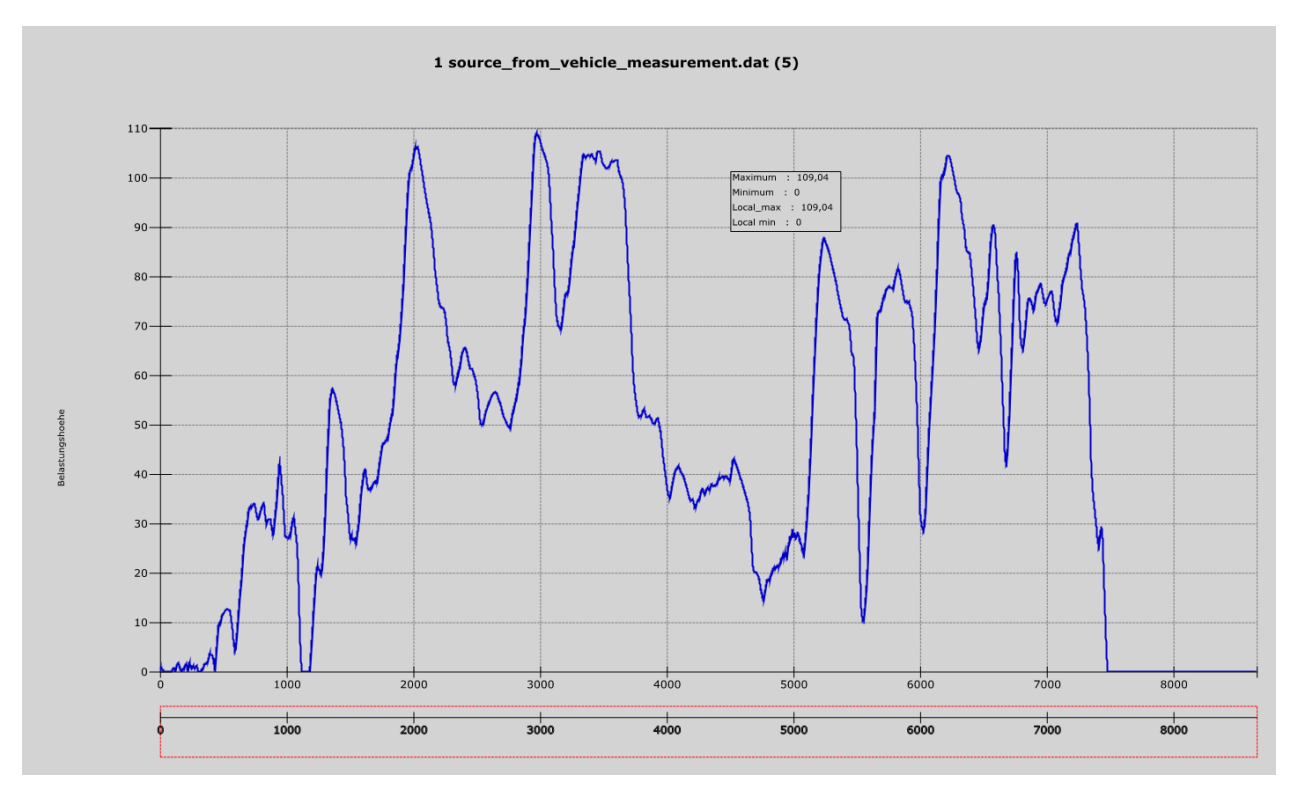
Eingaben für die Methode und Wöhlerlinie

Als Wöhlerlinie wählen wir aus der FKM-Datenbank St 33 für Biegung. Die Wöhlerlinie ist hier zunächste nicht relevant, dochwinLIFE 4.0 es wird für jedes Projekt eine Wöhlerlinie benötigt. Im Menüpunkt Belastung wählen wir die Datei source_from_vehicle_measurement.dat und die Spalte 5, die der Geschwindigkeit entspricht.



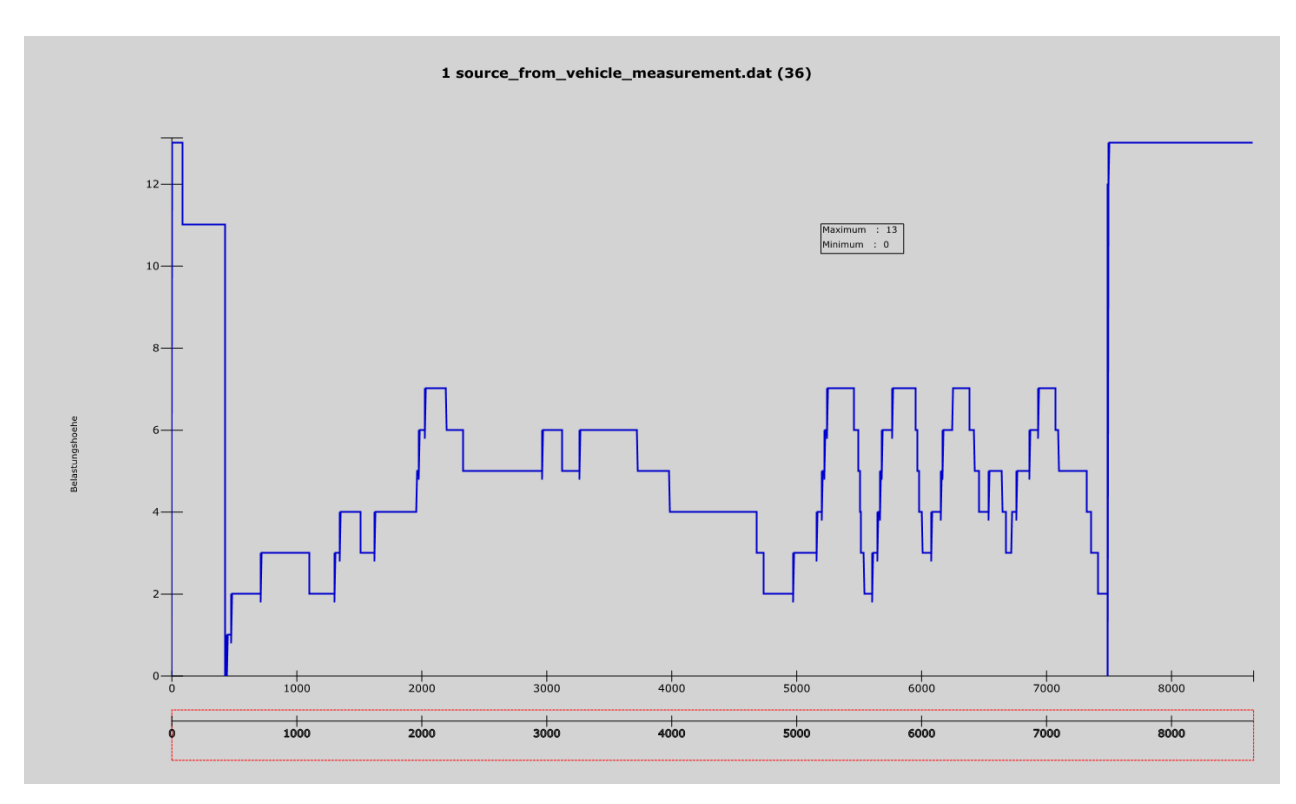
Eingabe der Belastung

Diese Datei lassen wir uns zur Kontrolle anzeigen.



Signalverlauf des Ausgangsdrehmomentes

Nun wählen wir die Spalte 36 (*Belastung/Import aus Dateien Belastung / View*) und lassen auch diese anzeigen. Es handelt sich um den Getriebegang. Es handelt sich um ein 7 Gang Automatikgetriebe.



Signalverlauf des Getriebegangs

35.3.1. Berechnung der Motordrehzahl aus Geschwindigkeit und Gang

In unserem Szenario unterstellen, dass keine Ergebnis für die Drehzahl in der Messdatei vorliegt. Da wird die Motordrehzahl für die dynamische Modulation des Drehmomentes benötigen, wollen wir diese erzeugen.

Da die Geschwindigkeit als Messkanal vorliegt, können wird eine Brechnung der Drehzahl aus der Geschwindigkeit unter Vernachlässigung des Schlupfes mit Hilfe der folgenden Formel vornehmen:

$$n_{Motor} = v * 30 i(g) * i_{Achs} / (\pi * r_{dyn*3,6})$$

Die folgenden Daten seien gegeben (Beispieldaten, keine realen Werte)

 i_{Achs} =1,5 (Achsübersetzung) r_{dyn} =0,3 m (Reifenradius)

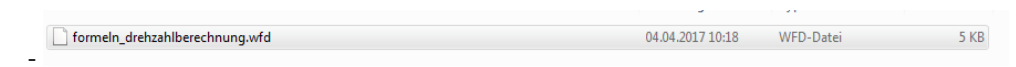
| Gang | Übersetzung | | |
|------|-------------|--|--|
| 1 | 17,1467764 | | |
| 2 | 10,2880658 | | |
| 3 | 6,17283951 | | |
| 4 | 3,7037037 | | |
| 5 | 2,2222222 | | |

| 6 | 1,33333333 | |
|---|------------|--|
| 7 | 0,8 | |

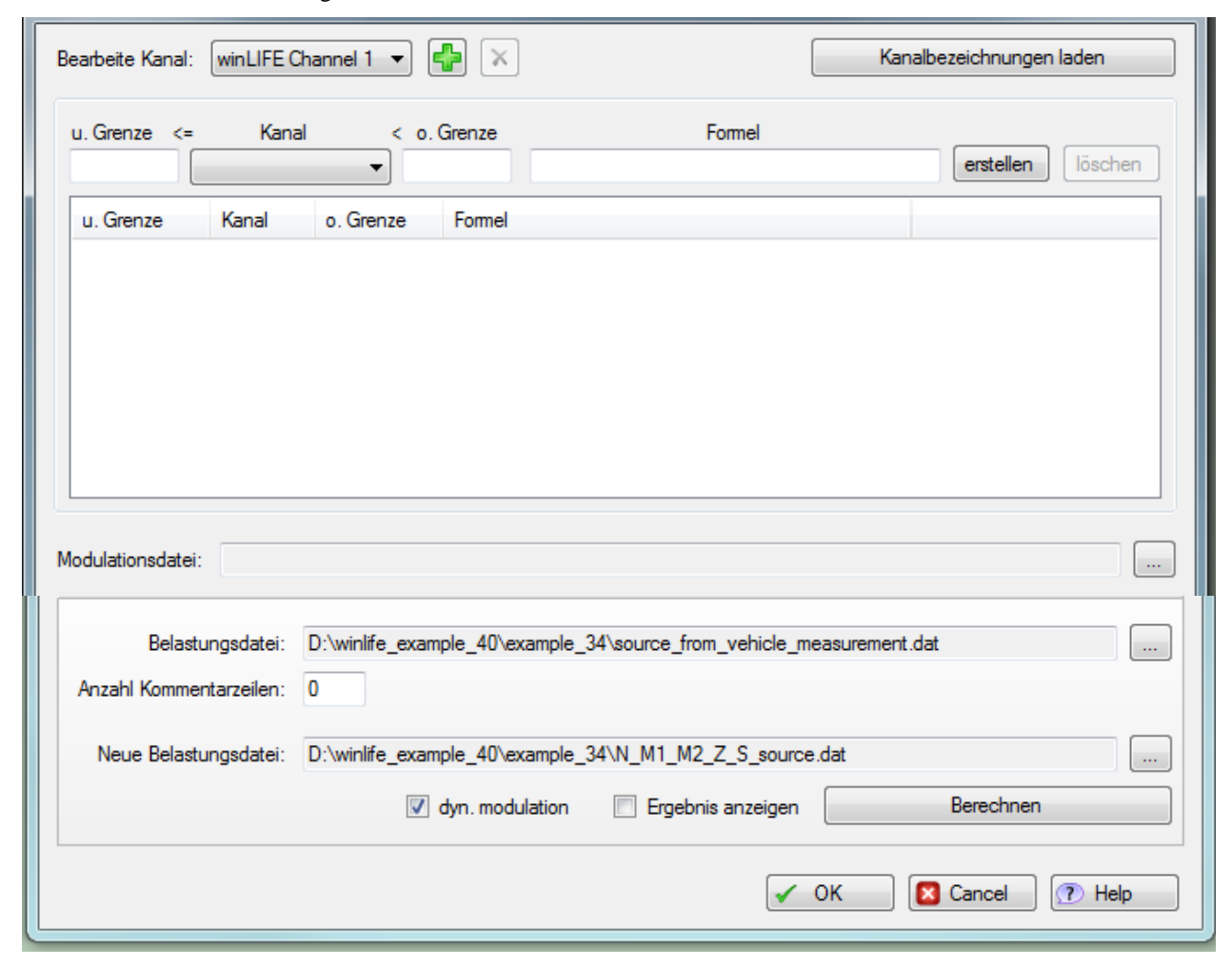
Wir wählen dazu aus dem Menü:

EXTRAS/Werkzeuge Lastdateien/Formeleditor

Und legen eine Datei an:



Die Maske sieht dann wie folgt aus:



Eingasbemaske zur Erzeugung der Formeln

Bei der Formeleingabe wird Bezug auf die Spalten der Messdatei genommen. Liegt eine Datei vor, in der eine Bennenung der Spalte existiert (z.B. FAMOS-Datei), so können die Spaltennammen als Text angezeigt. Dazu muß

Kanalbezeichnungen laden

Angeklickt werden. Liegt – wie in dieem Beispiel - keine Benennung vor, so werden die Spalten mit winLIFE Channel und der Spaltennummer angezeigt.

Bedeutung



Der Kanal (Channel = Kanal) kann hier gewählt, hinzugefügt oder aber gelöscht werden.

Für die Eingabe einer Formel muß der Gültigkeitsbereich definiert sein. Beim erstamligen Öffnen werden Default-Werte festgelegt, die den geamten Dateibereich abdecken sollen. Diese Default-Werte kann der Benutzer ändern.



In unserem Beipiel soll eine Bedingungen definiert werden, die für den ersten Gang gilt. Der Gang steht in Spalte 36.

Die exakte Bedingung wäre erfüllt, wenn der Kanal 36 (=Column 36) exakt =1 wäre. Da Messdaten vorliegen ist es aber denkbar, dass der Wert des Kanals nicht exakt =1,000000 ist sondern z.B. 1,00001. Das Abfragen mit einer Bedingung = 1 würde damit nicht zu der gewünschte Auswahl führen.

Es wird daher als Bedingung immer mit Ungleichungen gearbeitet, die hier mit 0,5 als untere und 1,5 als obere Grenze zu der gewünschten Auswahl führen.

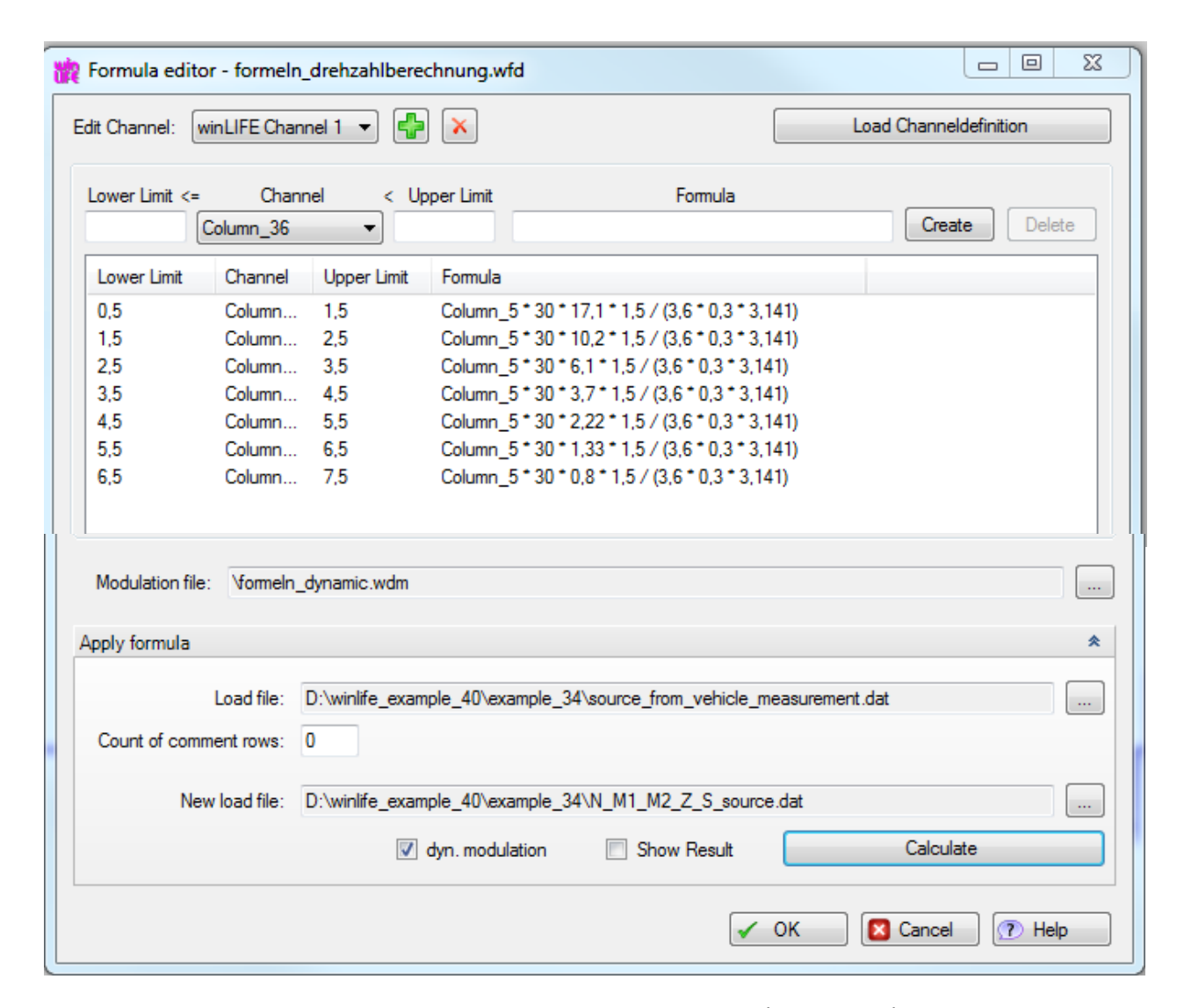


Die nachfolgende Formel bewirkt eine Multiplikation der

Spalte 5 mit 30*17,1*1,5/(3,6*0,3*3,141)

So dass sich als Ergebnis die Morordrehzahl ergibt. Das Ergebnis wird in Kanal 1 (=Spalte 1) geschrieben.

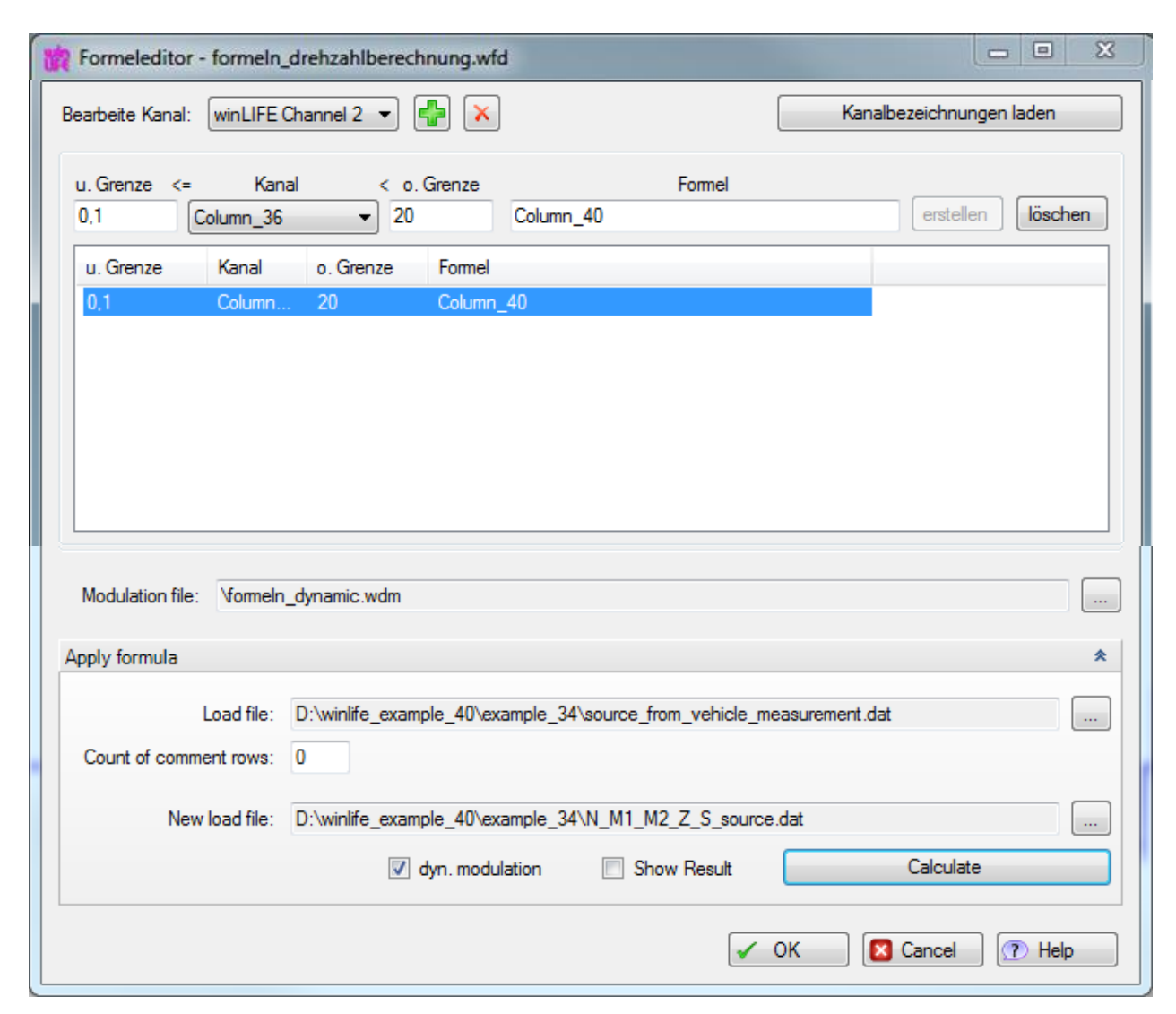
Die weiteren 6 Zeilen in dem folgenden Bild bewirken die Berechnung in den Gängen 2 bis 7.



Eingabemaske mit Formeln zur Erzeugung eines Kanals (channel 1) mit der Drehzahl

35.3.2. Erzeugung einer Spalte mit dem Drehmoment

Die neue Belastungsdatei soll in der zweiten Spalte das Drehmoment enthalten. Dazu muß ein zweiter Kanal erzeugt werden, der hier ganz einfach gleich dem Drehmomentenkanal (Kanal 40) gesetzt wird. Das Drehmoment wurde in der Messdatei bereits erfasst und wird nur in die neue Datei kopiert.

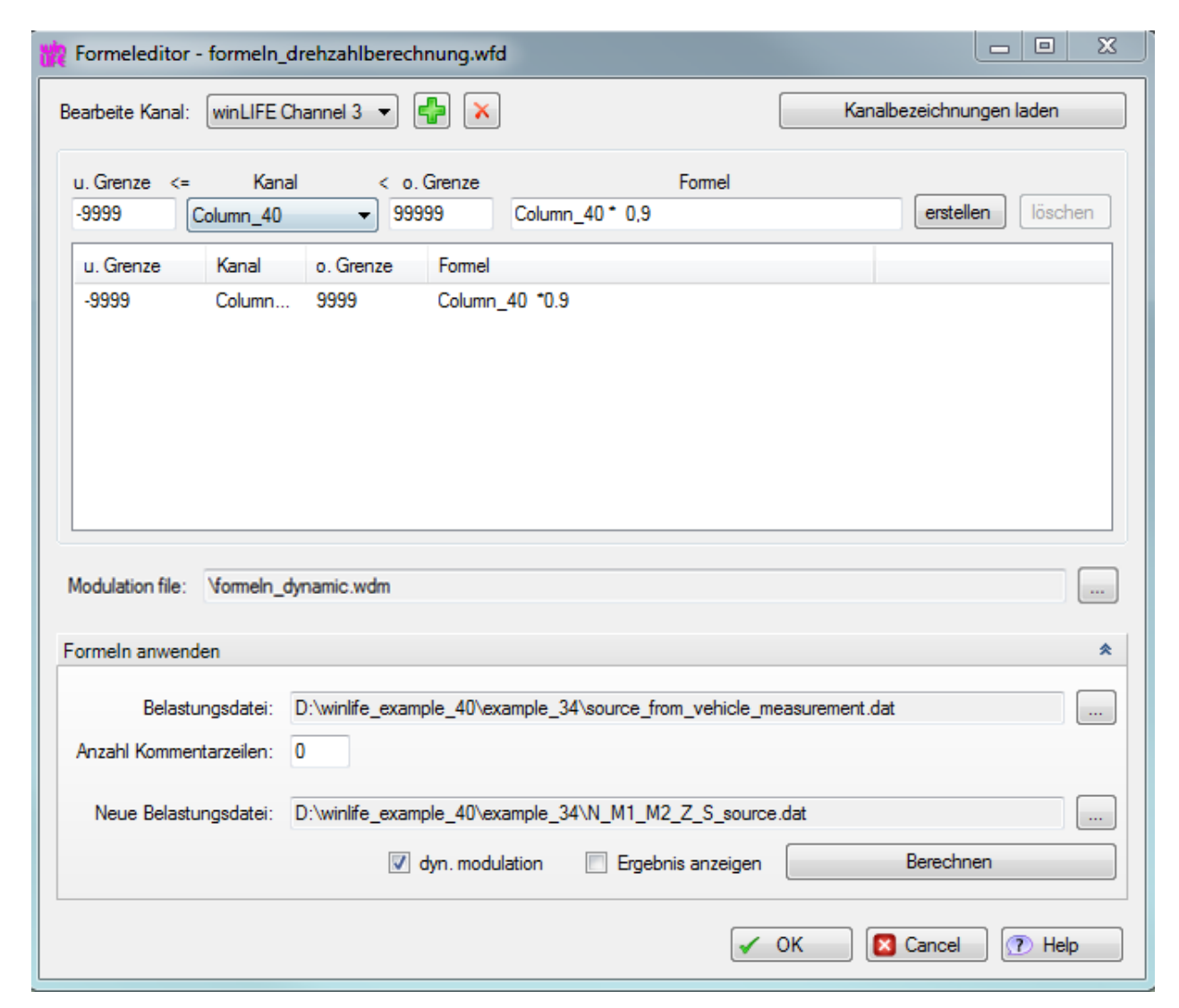


Eingabemaske mit Formel zur Erzeugung eines Kanals (channel 2) mit dem Drehmoment (durch Kopieren von Kanal 40)

35.3.3. Erzeugung einer Spalte mit einem berechneten Drehmoment

Die dritte Spalte (Kanal 3) soll ein Drehmoment enthalten, das 90% des Drehmomentes aus Spalte 2 entspricht. ApL

Sie dient der Motorsteuerung. Als Grenzbedingung wird -9999 und 9999 angegeben, das bedeutet, dass alle Werte des Kanals Nr. 40 (sie liegen alle in dieem Bereich) entsprechend umgerechnet werden. Natürlich hätte man auch andere Kanäle für die Wahl der Grenzen auswählen können. Wichtig ist, dass immer eine untere und obere Grenze angegeben werden müssen. Liegt der Wert außerhalb dieses Bereiches, wird der bearbeitet Kanalwert auf 0 gesetzt!



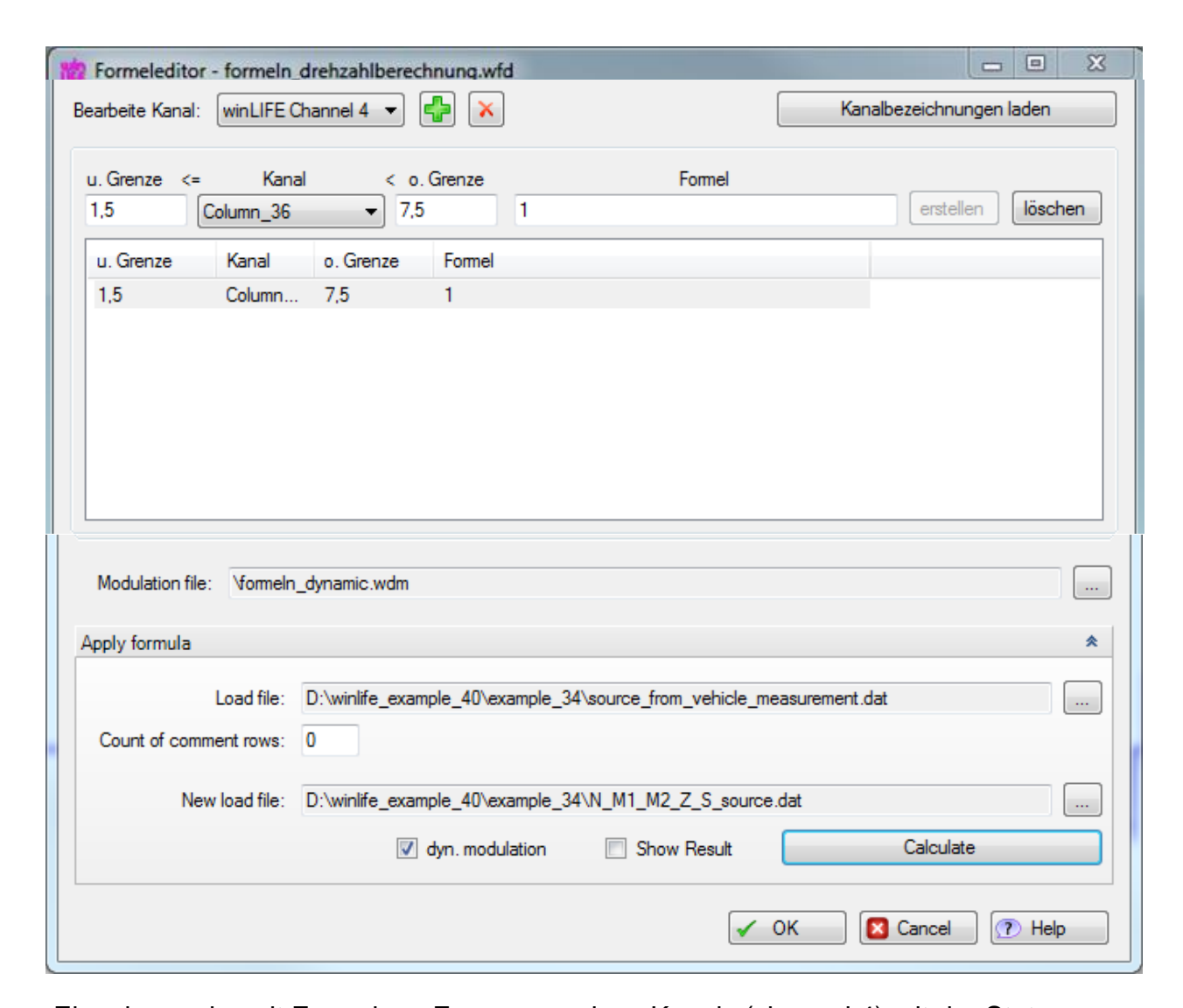
Eingabemaske mit Formel zur Erzeugung eines Kanals (channel 3) mit einem Drehmoment, das 90 % des Momentes aus Kanal 40 entspricht

35.3.4. Wandler-Zustands-Variable erzeugen

Das Getriebe arbeitet im ersten Gang nur im Wandlerbetrieb (Statusvariable hat den Wert = 0).

Es wird in der Spalte 4 nun eine Status-Variable erzeugt, die den Wandlerzustand repräsentieren soll. In den Gängen 2 bis 7 ist der die Wandlerkupplung geschlossen (Status = 1), d.h. der Wert der Variable ist gleich 1, so wie dies in der Formel definiert ist.

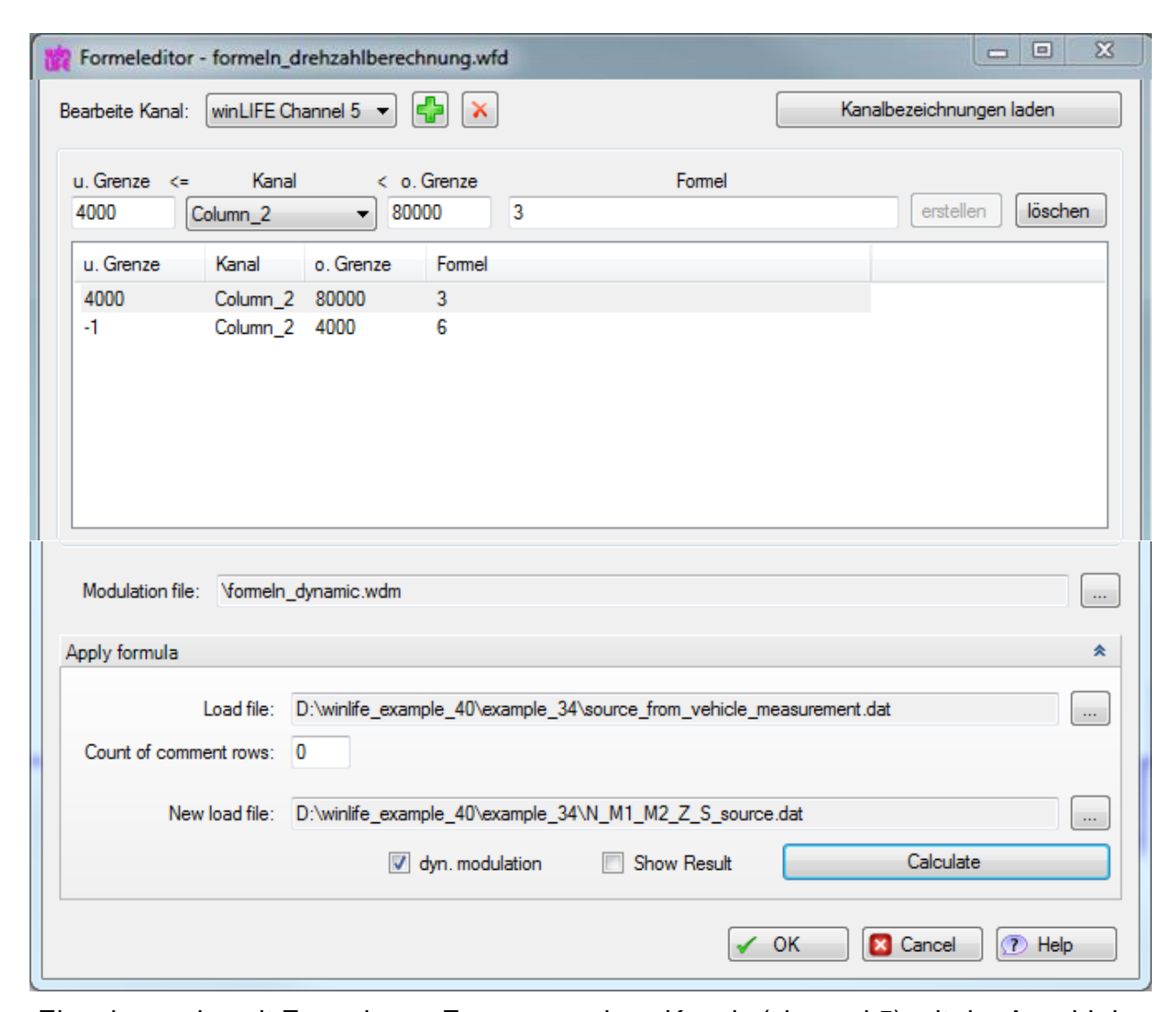
Liegt der Wert des Kanals 36 nicht zwischen 1,5 und 7,5, was nur für den 1. Gang zutrifft, so wird der Wert des Kanals 4 auf 0 gesetzt. Null bedeutet, dass der Wandler arbeitet.



Eingabemaske mit Formel zur Erzeugung eines Kanals (channel 4) mit der Status-Variablen für den Wandlerzustand

35.3.5. Status-Variable zur Zylinderabschaltung

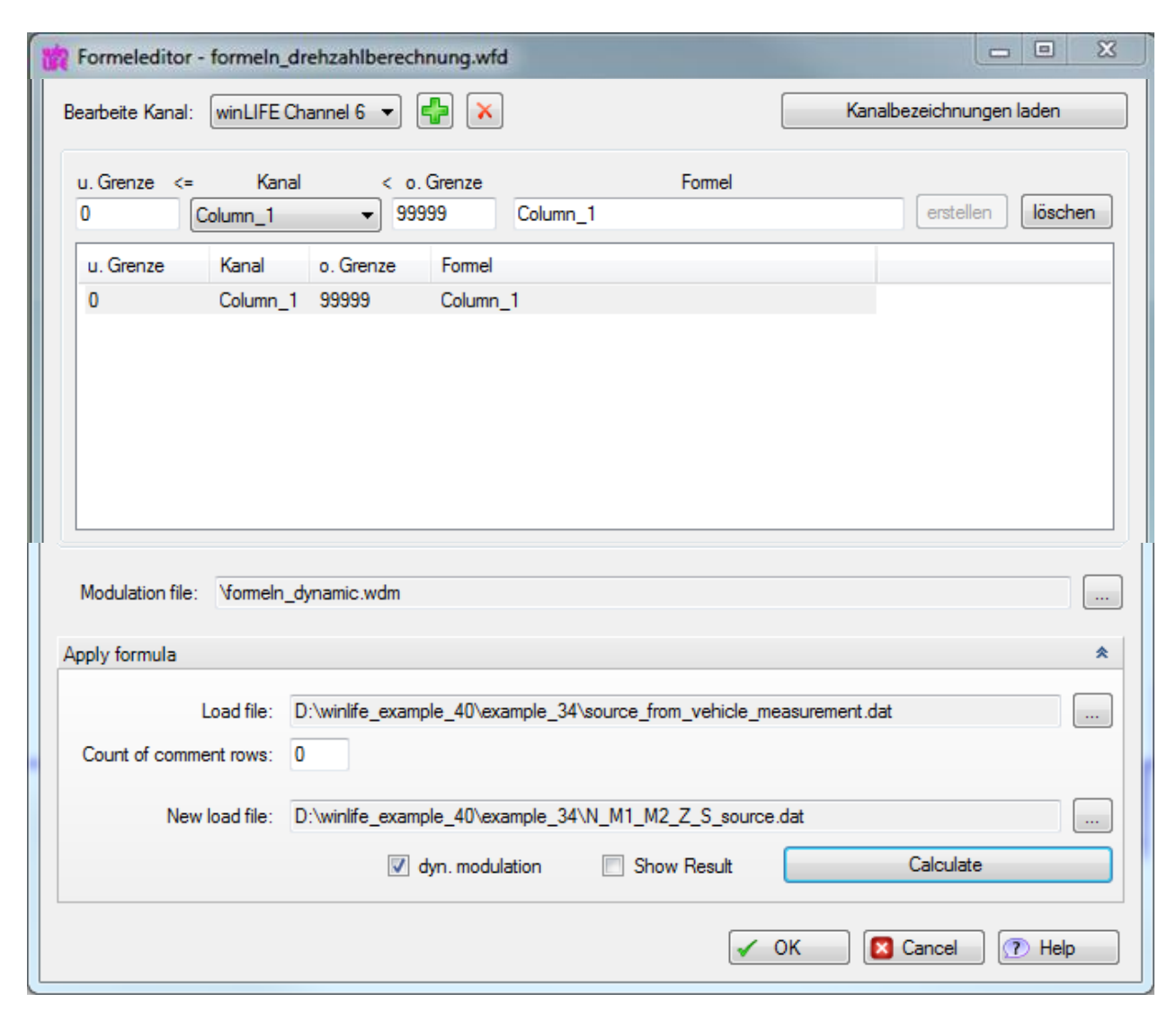
Dies Annahme ist stark vereinfacht und soll ledigich die Funktionsweise zeigen. Es wird angenommen, dass für eine gefahrene Srecke <4000 m die Hälte der Zylinder abgeschaltet ist, bei Werten > 4000 m arbeiten alle 6 Zylinder.



Eingabemaske mit Formeln zur Erzeugung eines Kanals (channel 5) mit der Anzahl der arbeitenden Zylinder (Status Zylinderabschaltung)

35.3.6. Zeit Spalte erzeugen

Der Zeitkanal wird aus der Datei Original-Messdatei kopiert und in Spalte 6 geschrieben. Der Zeitkanal wird für die Berechnung der drehzahlabhängigen Abstände der Drehmomentspitzen benötigt.

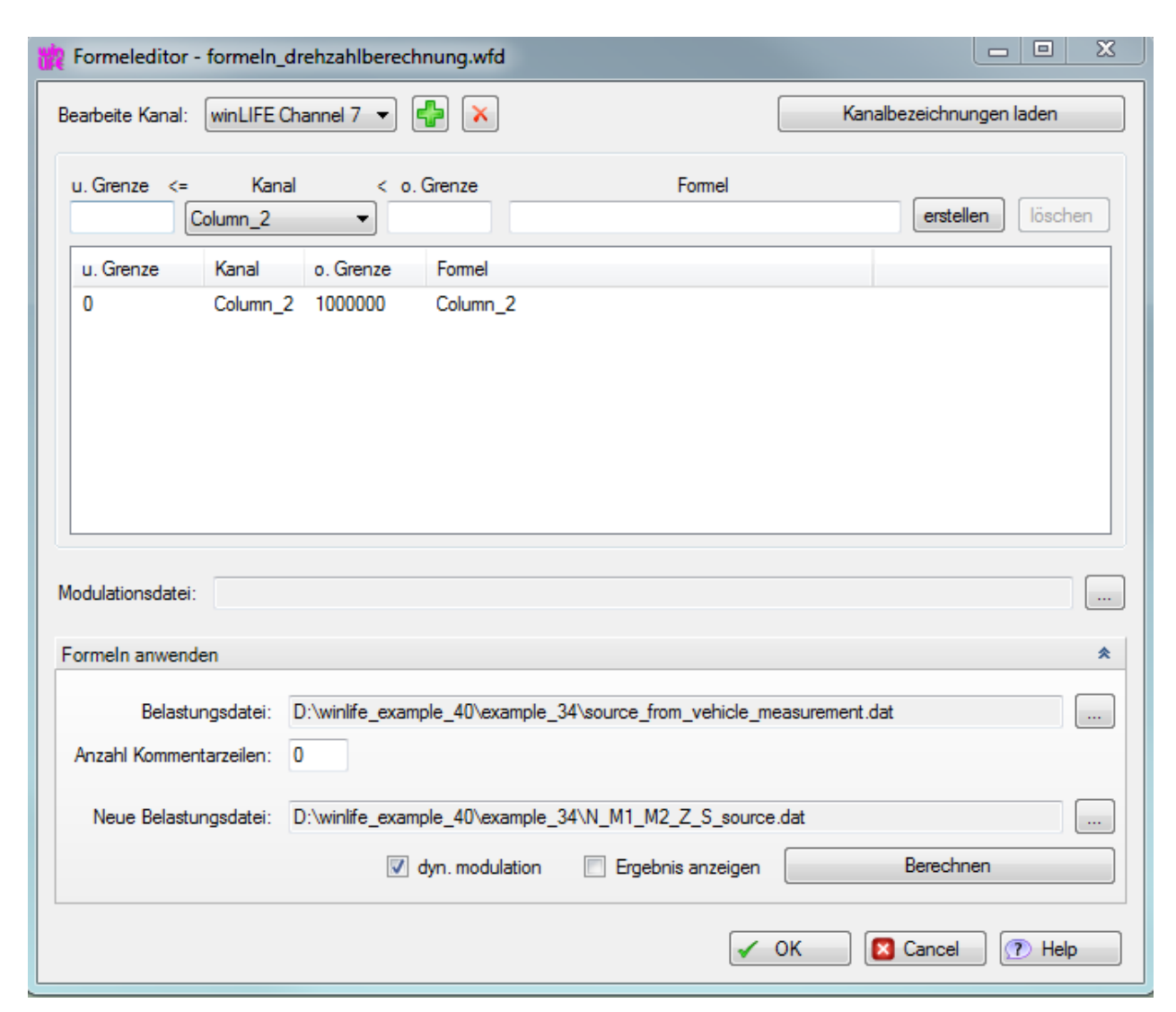


Eingabemaske mit Formel zur Erzeugung eines Kanals (channel 6) mit der Zeit (Spalte 1 der Quelldatei wird nach Spalte 6 kopiert

Der Zeitkanal wird aus der Datei kopiert und in Spalte 6 geschrieben.

35.3.7. Weg Spalte erzeugen

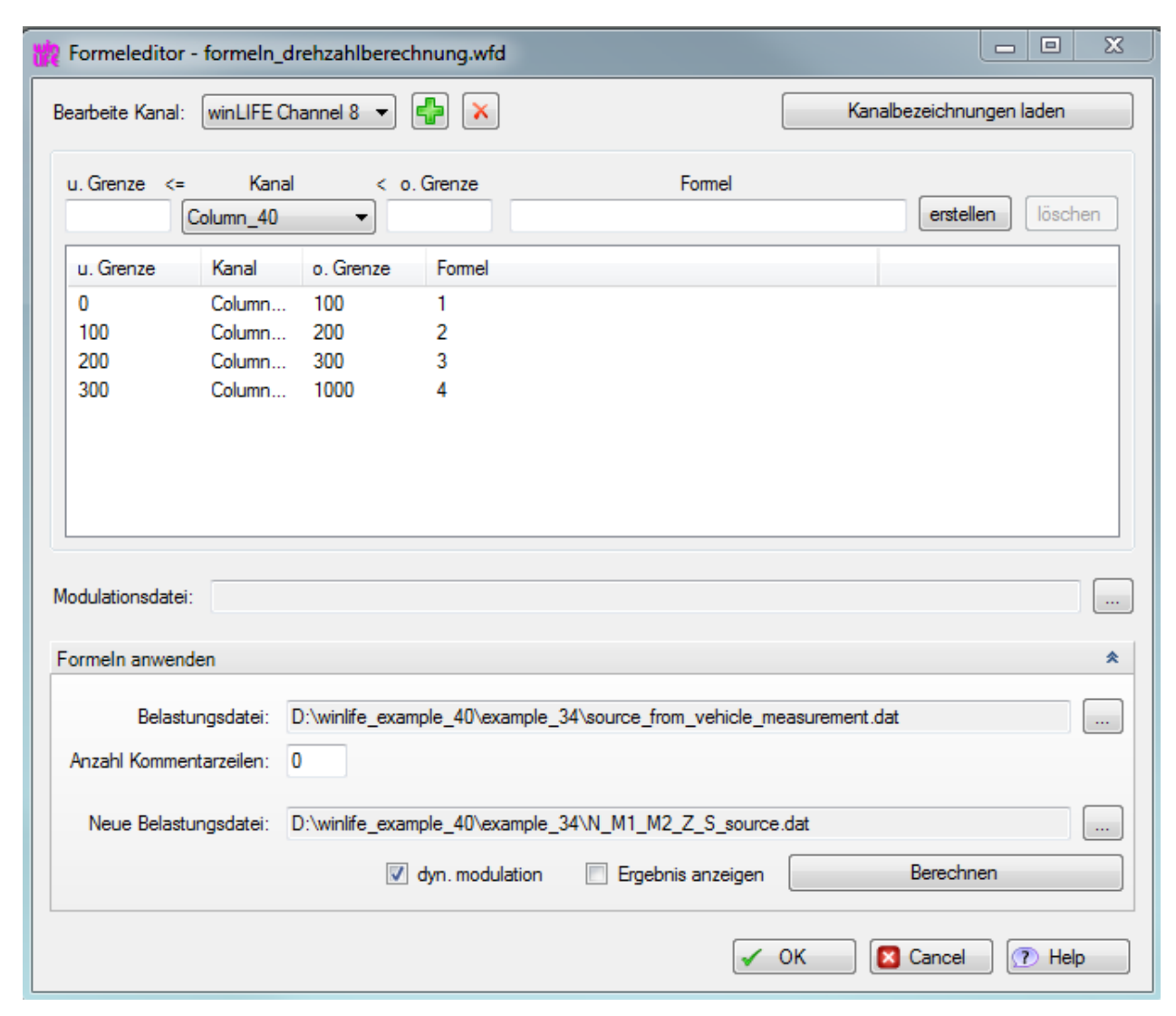
Der Wegkanal wird aus der Datei kopiert und in Spalte 7 geschrieben. Dies ist zur Berechnung nicht erforderlich und dient nur zur Demonstration der Handhabung des Formeleditors.



Eingabemaske mit Formel zur Erzeugung eines Kanals (channel 7) mit der Weginformation. Es wird Kanal 2 aus der Quelldatei nach Kanal 7 kopiert.

35.3.8. Laststufe erzeugen

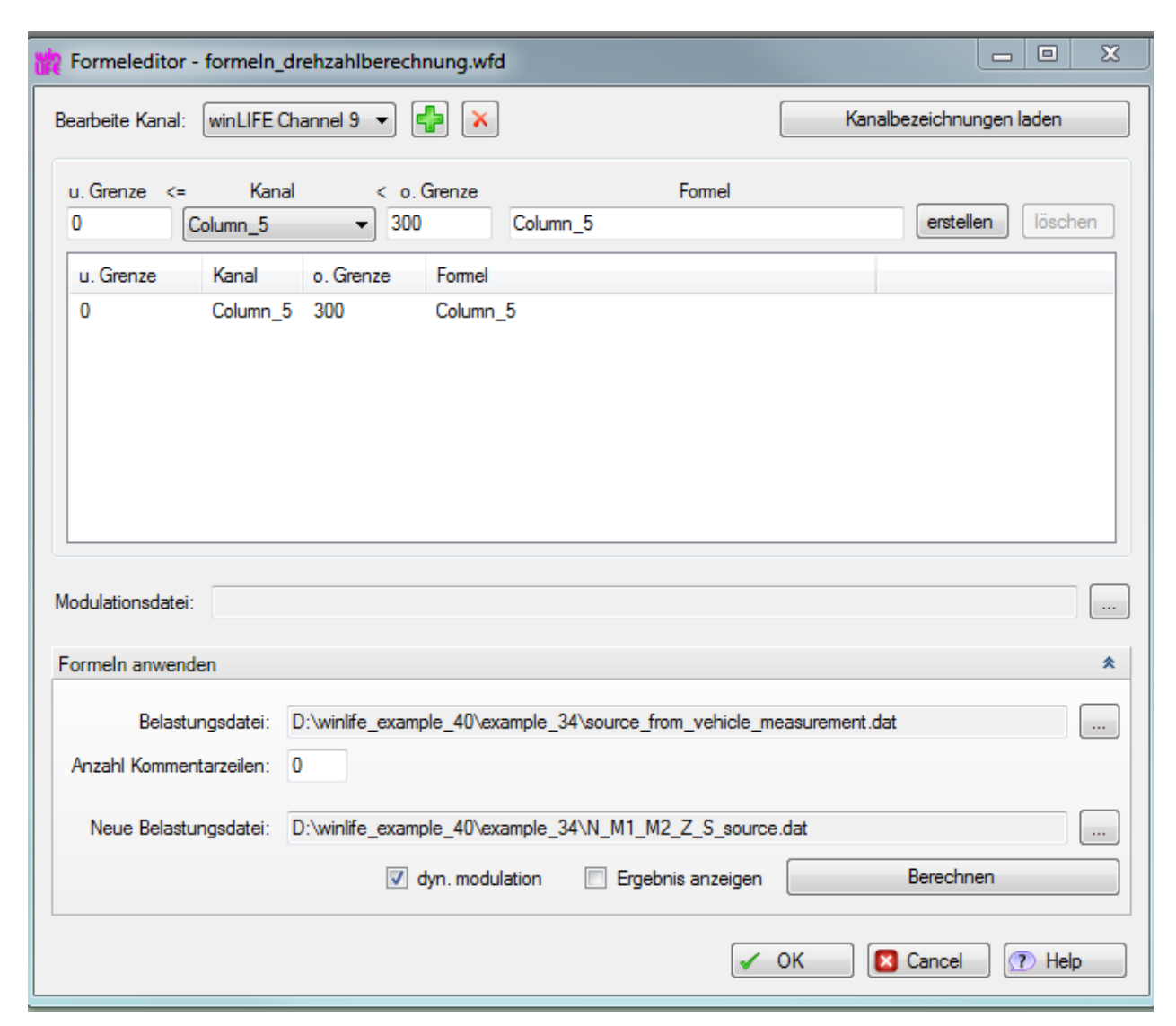
Es wird eine Laststufe auf einfache Weise aus Drehmomentbereichen erzeugt. Auch dies ist zur Berechnung nicht erforderlich und dient nur zur Demonstration der Handhabung des Formeleditors.



Eingabemaske mit Formeln zur Erzeugung eines Kanals (channel 8) mit der Laststufe

35.3.9. Geschwindigkeit

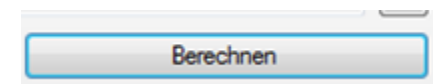
Die Geschwindigkeit wird in die 9. Spalte übertragen, wenn sie zwischen 0 und 300 km/h liegt (Vorwärtsfahrt). Auch dies ist zur Berechnung nicht erforderlich und dient nur zur Demonstration der Handhabung des Formeleditors.



Eingabemaske mit Formeln zur Erzeugung eines Kanals (channel 9) mit der Fahrgeschwindigkeit

35.3.10. Ergebnis

Anschließend klicken wir auf den Button

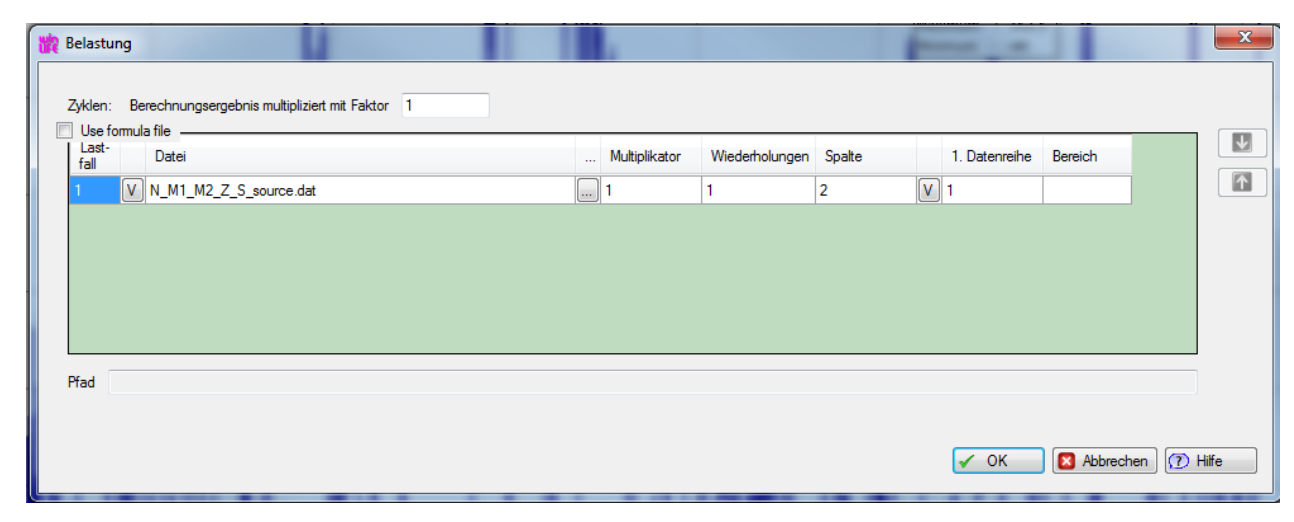


Und es wird dann die Datei N_M1_M2_Z_S_source.dat erzeugt.

Wir schauen uns den Inhalt der Datei an und sehen, dass neun Spalten vorliegen.

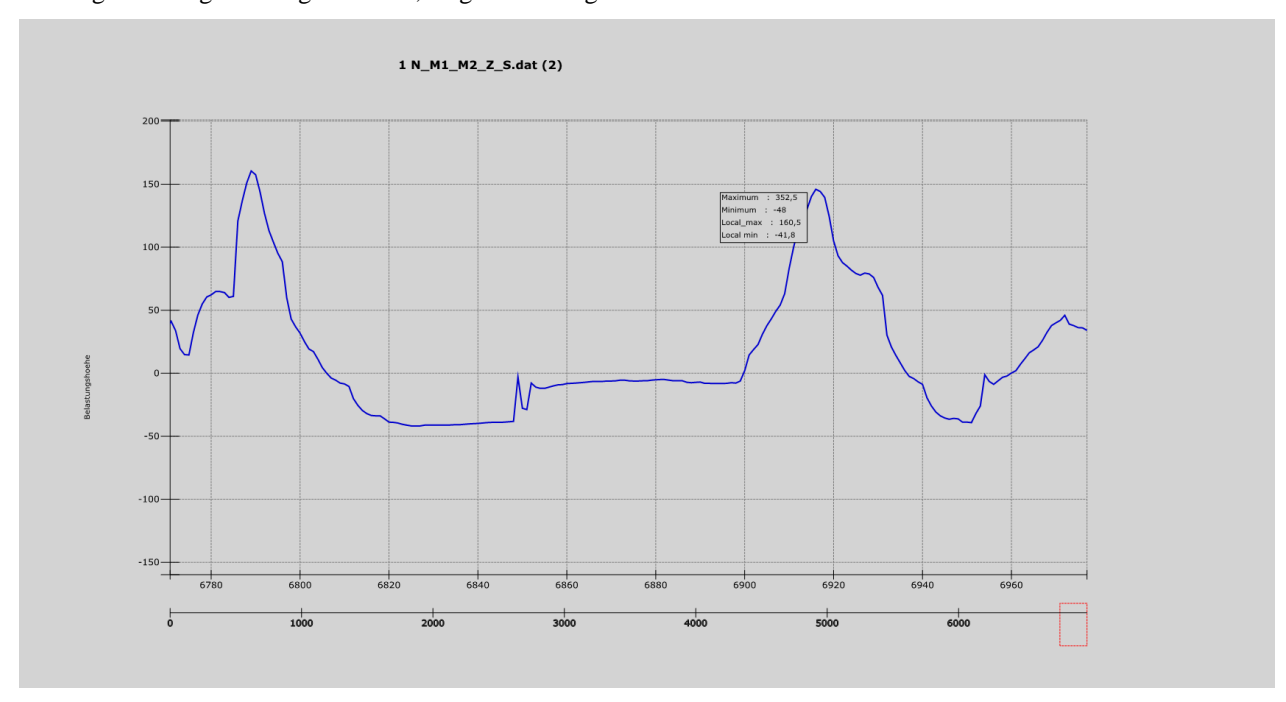
Ergebnisdatei, die mit Hilfe der zuvor beschrriebenen Formeln erzeugt wurd.

Wir wollen das Ergebnis grafisch darstellen. Dazu laden wir die Datei N_M1_M2_Z_S_source.dat und wählen die Spalte 2 aus.



Auswahl der Ergebnisdatei

Das Ergebnis zeigt das folgende Bild, zeigt einen vergrößerten Ausschnitt aus dieser Datei.



grafische Darstellung des Kanals 2 (Spalte 2)

35.4. Erzeugung neuer Kanäle unter Integration hochdynamischer Phänomene

Um eine dynamische Modulation zu erzeugen wählt man im Menü

Extras /Werkzeuge Lastdateien / dyn. Modulation

so lassen sich unter bestimmten Bedingungen fehlende Signalanteile nachträglich aufmodulieren. Weitere Details sind hier dargestellt.

Ausgangspunkt soll die im Kapitel zuvor erzeugte Beispieldatei N_M1_Z_S_source.dat sein, die wir in der folgenden Maske auswählen.

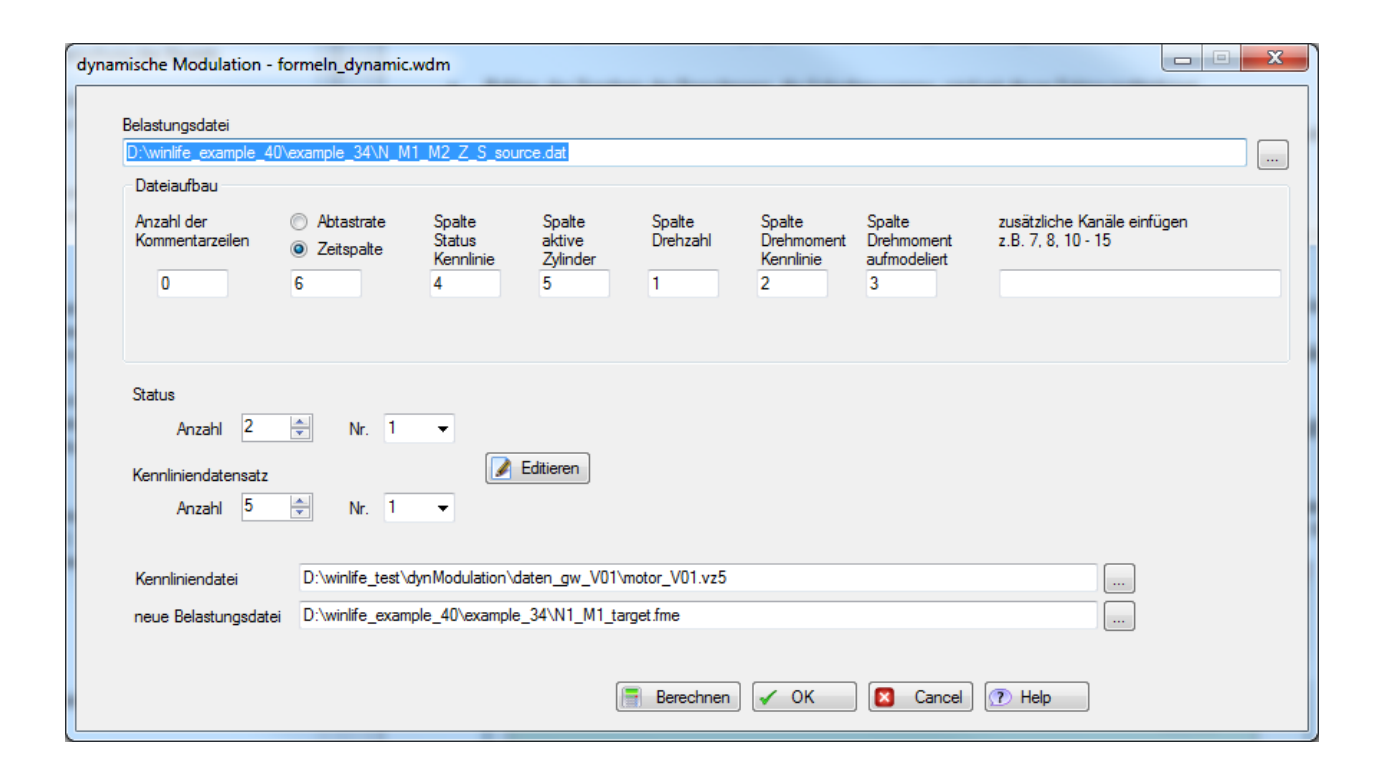


Bild 35-1: Eingabemaske zur Festlegung der Zuordnungen der Dateien und Kennlinien

Wird nun der *Berechnen* Button angeklickt, so wird die neue Belastungsdatei mit den dynamisch modulierten Momenten erzeugt. Die neue Belastungsdatei enthält folgende Kanäle (in dieser Reihenfolge): Drehzahl, Drehmoment, zusätzliche Kanäle wie vom Benutzer in der Textbox "zusätzliche Kanäle einfügen" angegeben.

Zusätzlich wird eine Protokolldatei mit dem Namen *Dynmodulptk.csv* geschrieben. Diese Datei soll es dem Benutzer ermöglichen, die Rechenschritte der dynamischen Modulation nachzuvollziehen. Die Bedeutung aller Größen ist in dem Dateikopf angegeben, so dass der Benutzer in der Lage ist, die Berechnungsschritte nachzuvollziehen.

Einen Ausschnitt der Datei zeigt das folgende Bild:

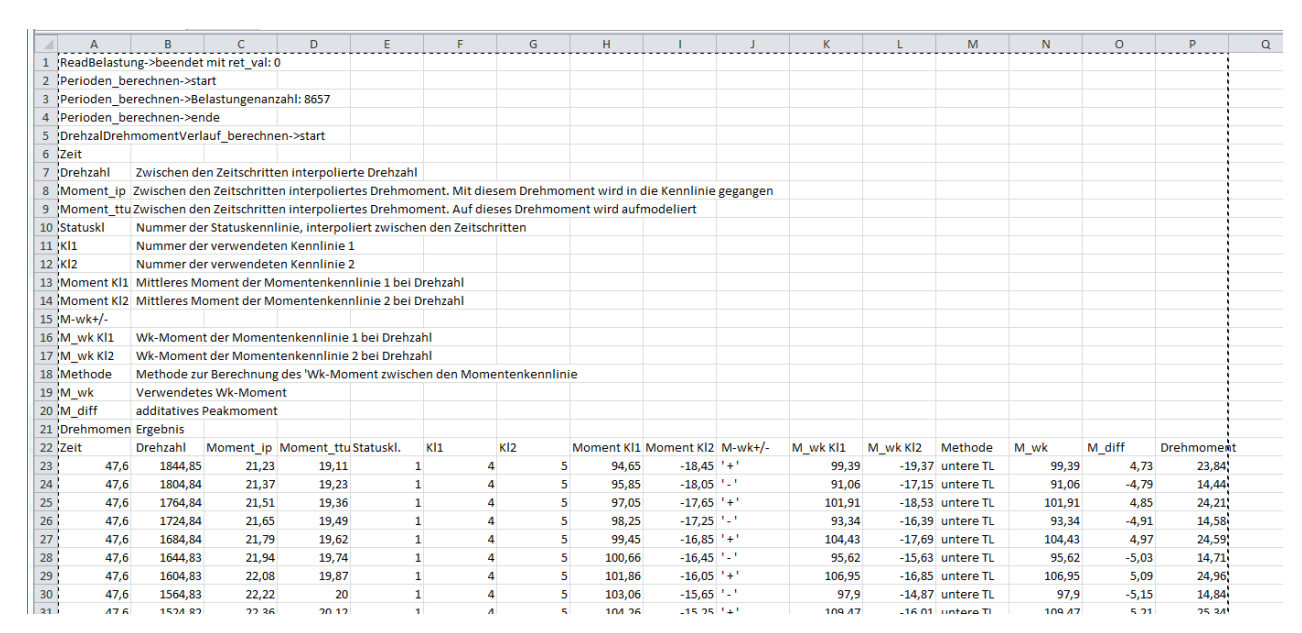
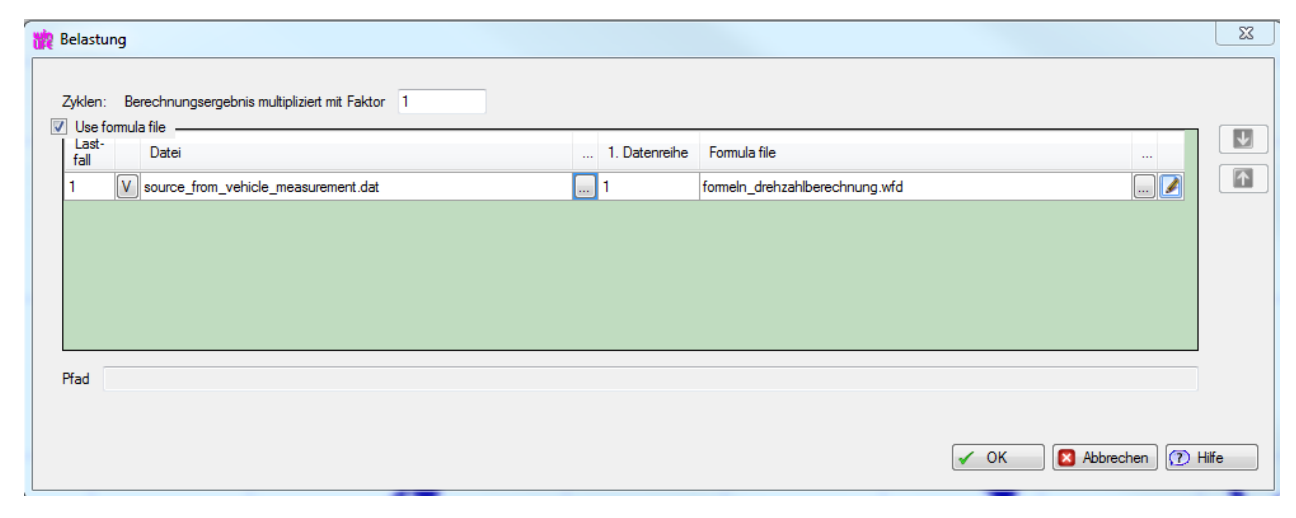


Bild 35-2: Protokoll dr Rechenschritte der dynamischen Modulation

Um das Ergebnis der dynamischen Simulation anzuschauen, wählen wir aus dem Menü Belastung fogelndes aus:

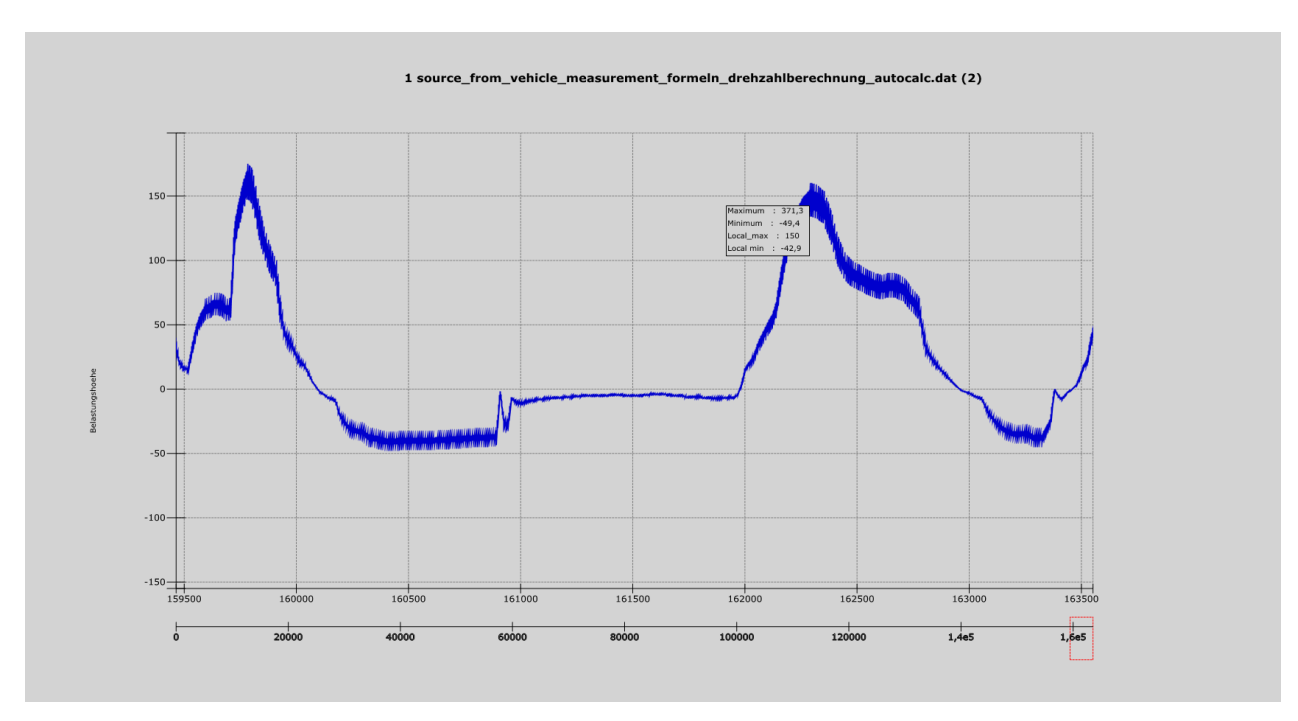


Eingabemaske zur Auswahl der Ausgangsdatei, der Formeldatei

Anschließend wählen wir

Belastung / View

Und stellen das Ergebnisd dar. Wir zoomen das Ergebnis auf den gleichen Bereich wie im Bild zuvor und erkennen, dass der Signalverlauf um die dynamischen Schwinganteile erweitert wurde.

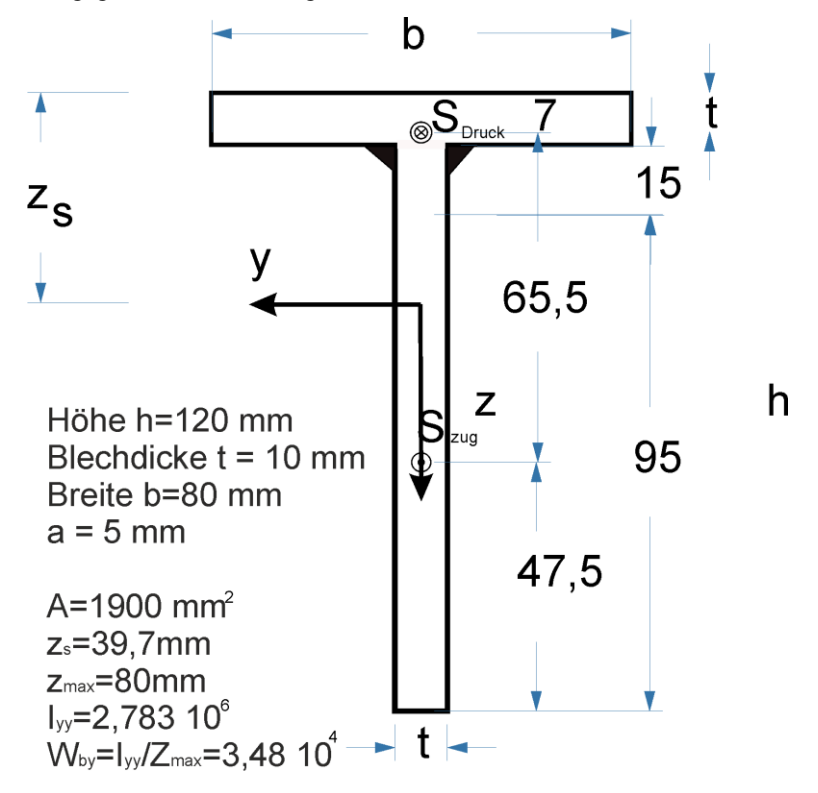


Signalverlauf des erzeugten dynamisch modulierten Momentes

36. Beispiel 35 / FKM Beispiel 6.5 geschweißtes T-Profil aus Aluminium

36.1. Aufgabenstellung

Mit winLIFE 4.0 soll das geschweißte T-Profil aus Aluminium aus der FKM-Richtlinie, Beispiel 6.5 berechnet werden. Die Berechnung erfolgt mit dem winLIFE FKM QUICKCHECK /FKM winLIFE FKM QUICKCHECK /FKM. In winLIFE FKM QUICKCHECK /FKM wird der Nachweis mit örtlichen Spannungen durchgeführt, während der Nachweis im FKM Beispiel 6.5 mit Nennspannungen erfolgt. Die untere Abbildung zeigt die Geometrie des Bauteils mit den gegebenen Abmessungen.



Geschweißter T-Träger mit Abmessungen

36.2. Materialangabe

Das Bauteil besteht aus dem Werkstoff EN-AW 6061.T6 mit einer Bruchdehnung von A = 8%.

Der Schweißzusatzwerkstoff ist SG-AlMg5

36.3. Belastungen

Längskraft L= 60kN

Biegemoment M_{by}=2,5kN

Querkraft Qz=12kN

36.4. Projektaufbau in winLIFE

In winLIFE FKM QUICKCHECK /FKM erfolgt nun die Projektdefinition. Es werden zwei Projekte angelegt. Ein Projekt für die statische Berechnung des Grundwerkstoffs (GW) + Wärmeeinflusszone (WEZ) und ein Projekt für die Schweißnaht (SN).

Es wird gewählt:

Menü Datei / Neu (FKM Festigkeitsnachweis)/ Geschweißt

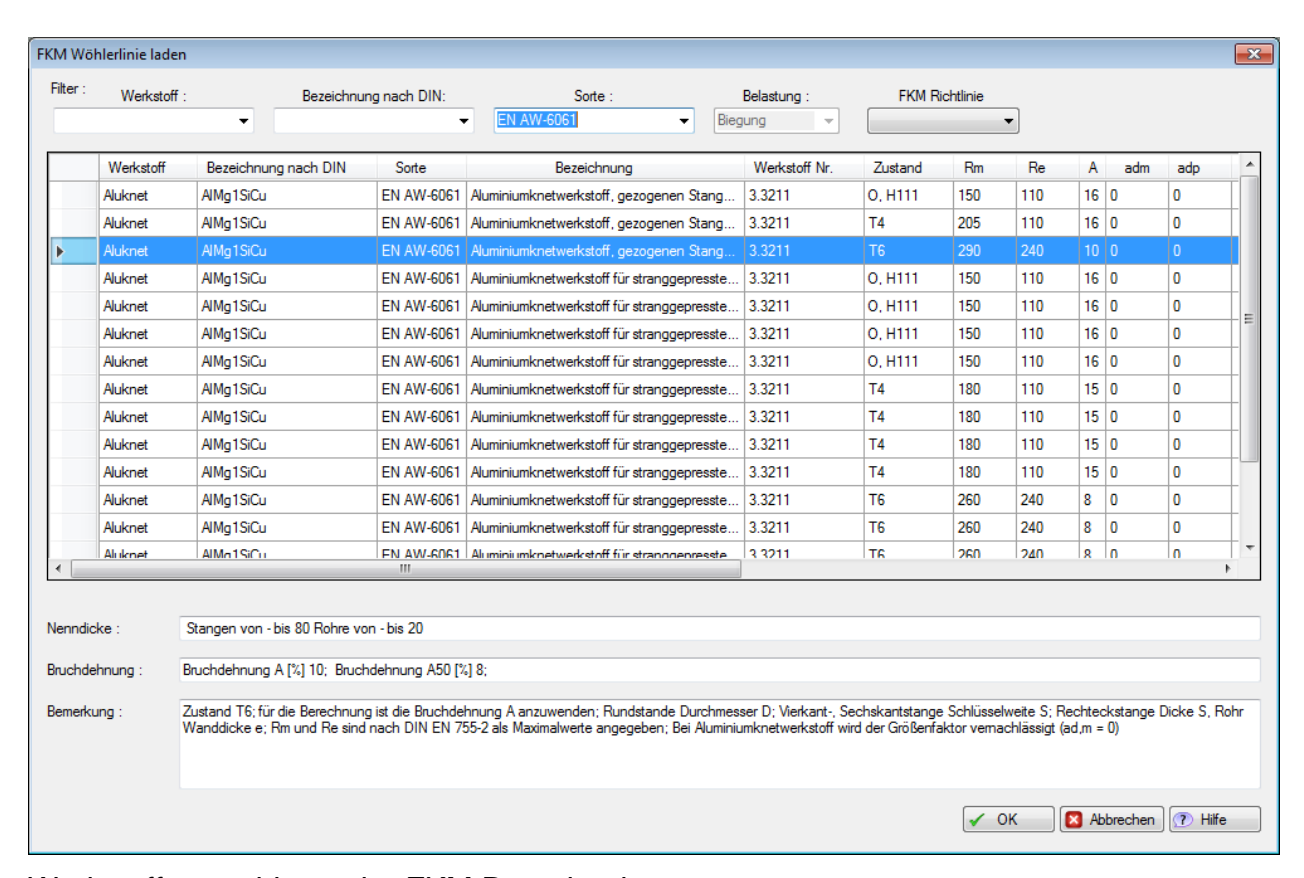
Als Name für das erste Projekt wird gewählt: example_35_FKM_stat_WEZ.wlf

36.5. Statischer Nachweis mit örtlichen Spannungen für GW + WEZ

Das Projekt *example_35_FKM_stat_WEZ.wlf* wird aktiviert und eine Wöhlerlinie erzeugt. Hier ist es sinnvoll den Werkstoff EN AW-6061.T6 aus der FKM Datenbank zu wählen.

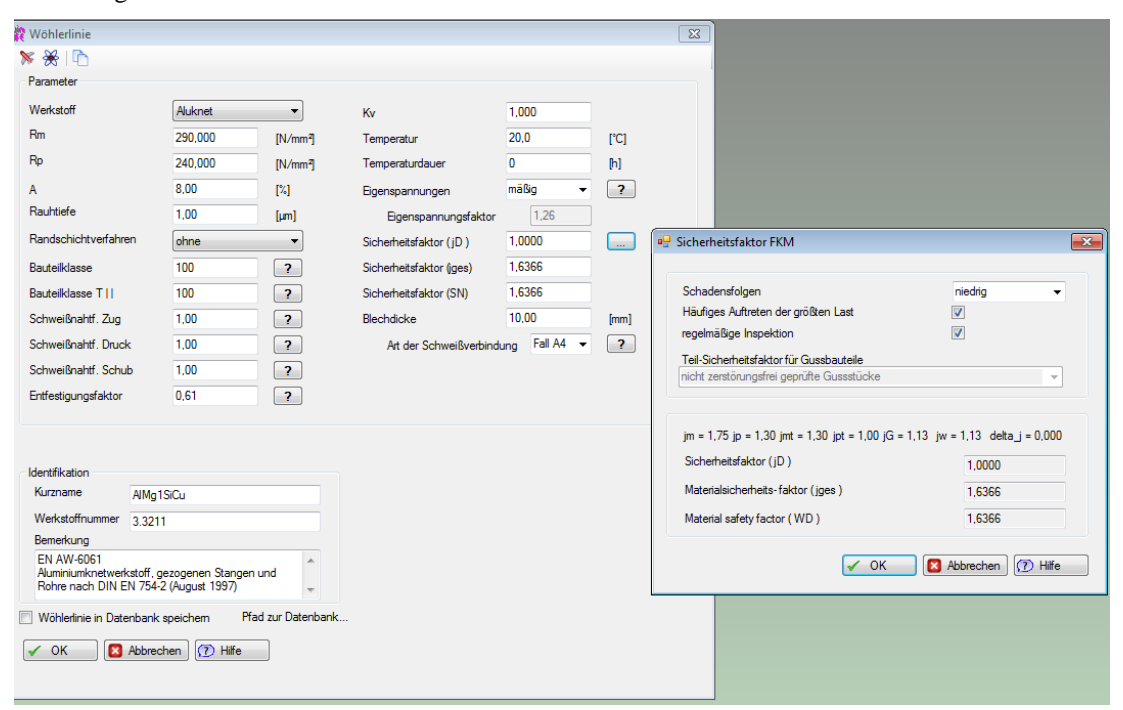
Menü Wöhlerlinie / Laden FKM...

Im Feld Sorte gibt man den Text EN AW-6061 an. Aus der Liste wird der Zustand T6 gewählt mit R_m =290MPa und R_e = R_p =240MPa. Abschließend wird auf OK gedrückt.



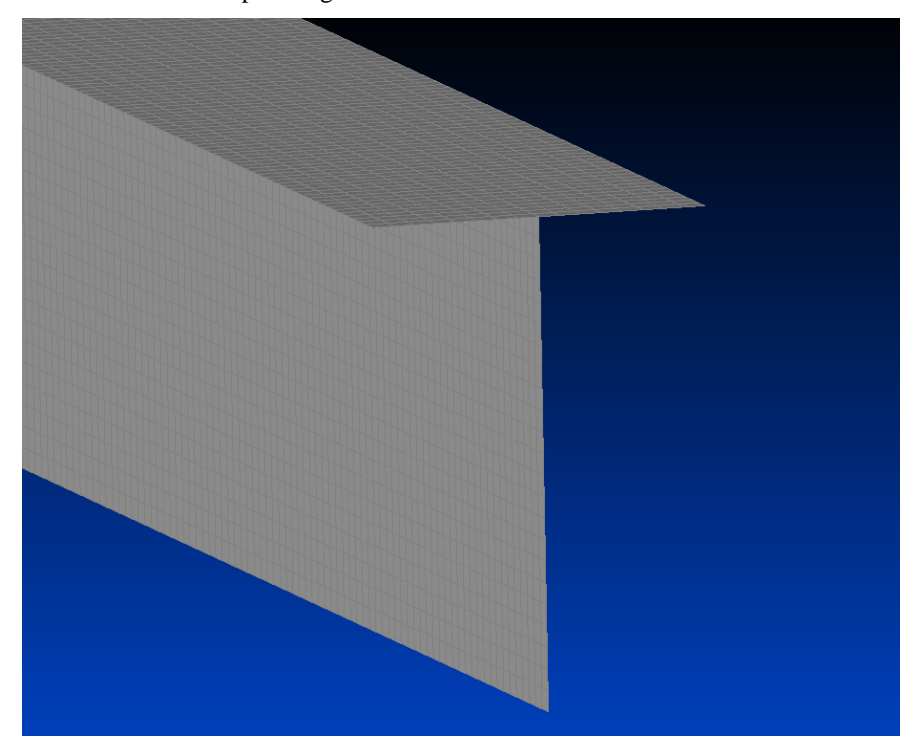
Werkstoffauswahl aus der FKM Datenbank

Die zu ergänzenden Werkstoffangaben werden im Wöhlerliniendialog eingetragen. Es handelt sich um den Entfestigungsfaktor, die Blechdicke und den Sicherheitsfaktor 1,6366. Die Bruchdehnung wird auf 8% gesetzt. Angaben, die zur Ermüdungsfestigkeit verwendet werden, brauchen nicht eingetragen werden. Schließlich ergibt sich folgende Abbildung für die Wöhlerlinie.



Werkstoffangaben

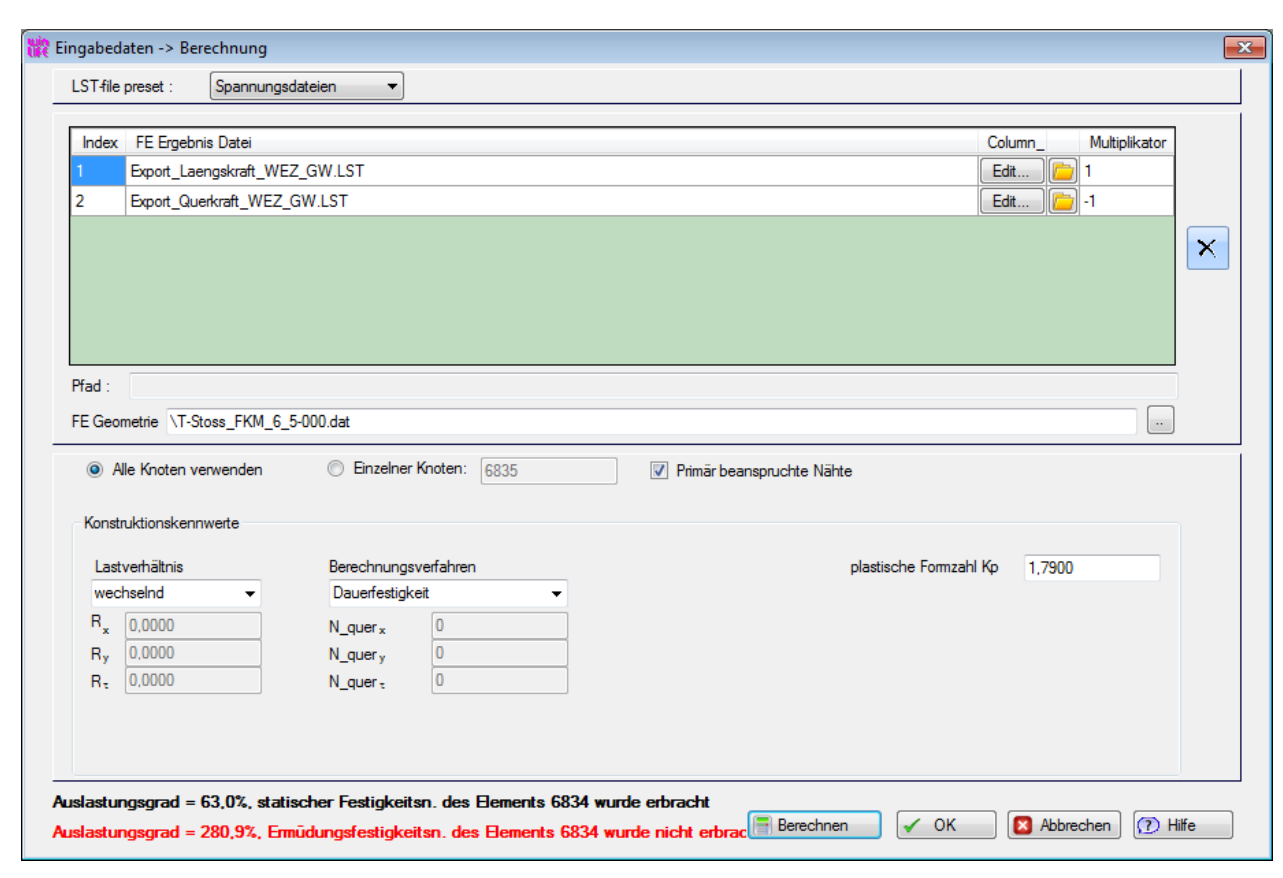
Die Belastung wurde auf ein entsprechendes FE-Modell aufgegeben. Die sich ergebenden Spannungen in den Elementen sind somit örtliche Spannungen.



Finite-Elemente Modell des T-Profils

Nun folgt der Schritt der Belastungseingabe:

Menü Berechnung



Angaben im Dialog Belastung

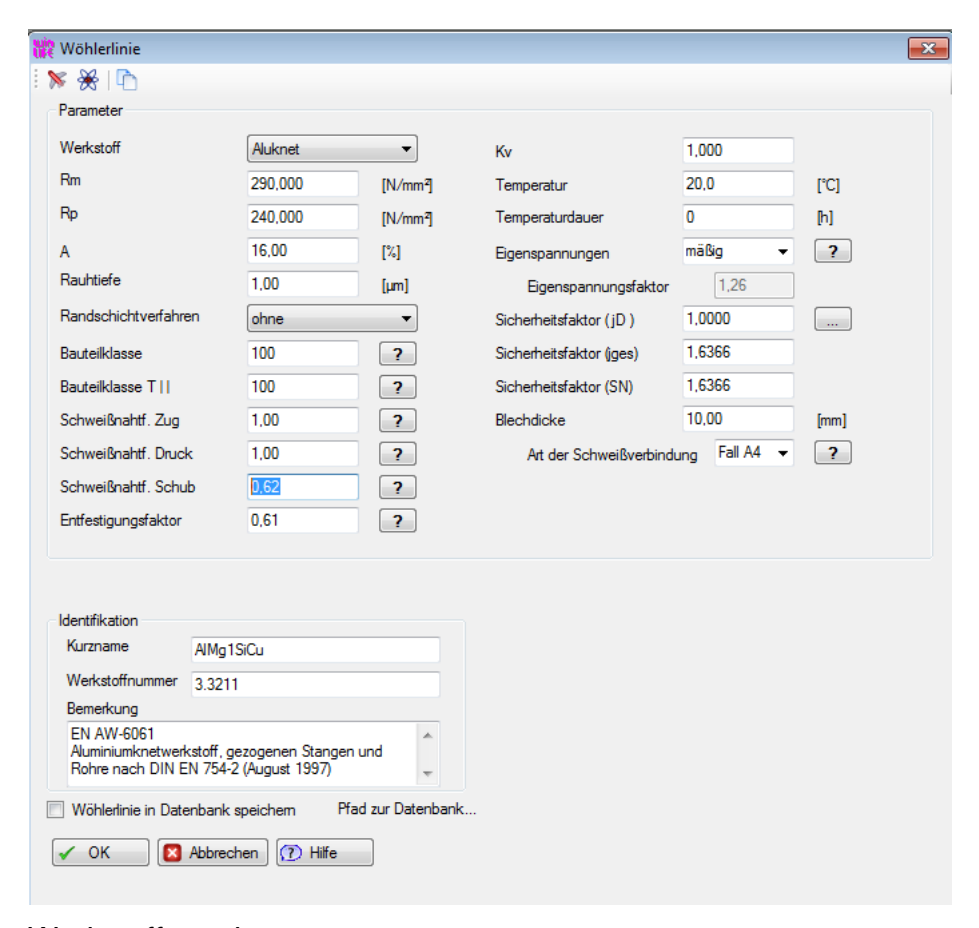
Zunächst erfolgt die Eingabe der örtlichen Spannungen an der Wärmeeinflusszone und am Grundwerkstoff. Diese Spannungen werden dem FE-Modell entnommen. Es sind die Dateien *Export_Laengskraft_WEZ_GW.lst* und *Export_Querkraft_WEZ_GW.lst*. Die plastische Formzahl beträgt 1,79 nach FKM.

Es ergibt sich der statische Auslastungsgrad von 63%. Die Berechnung mit Nennspannungen (siehe FKM) ergibt eine statische Auslastung von 78%.

36.6. Statischer Nachweis mit örtlichen Spannungen für SN

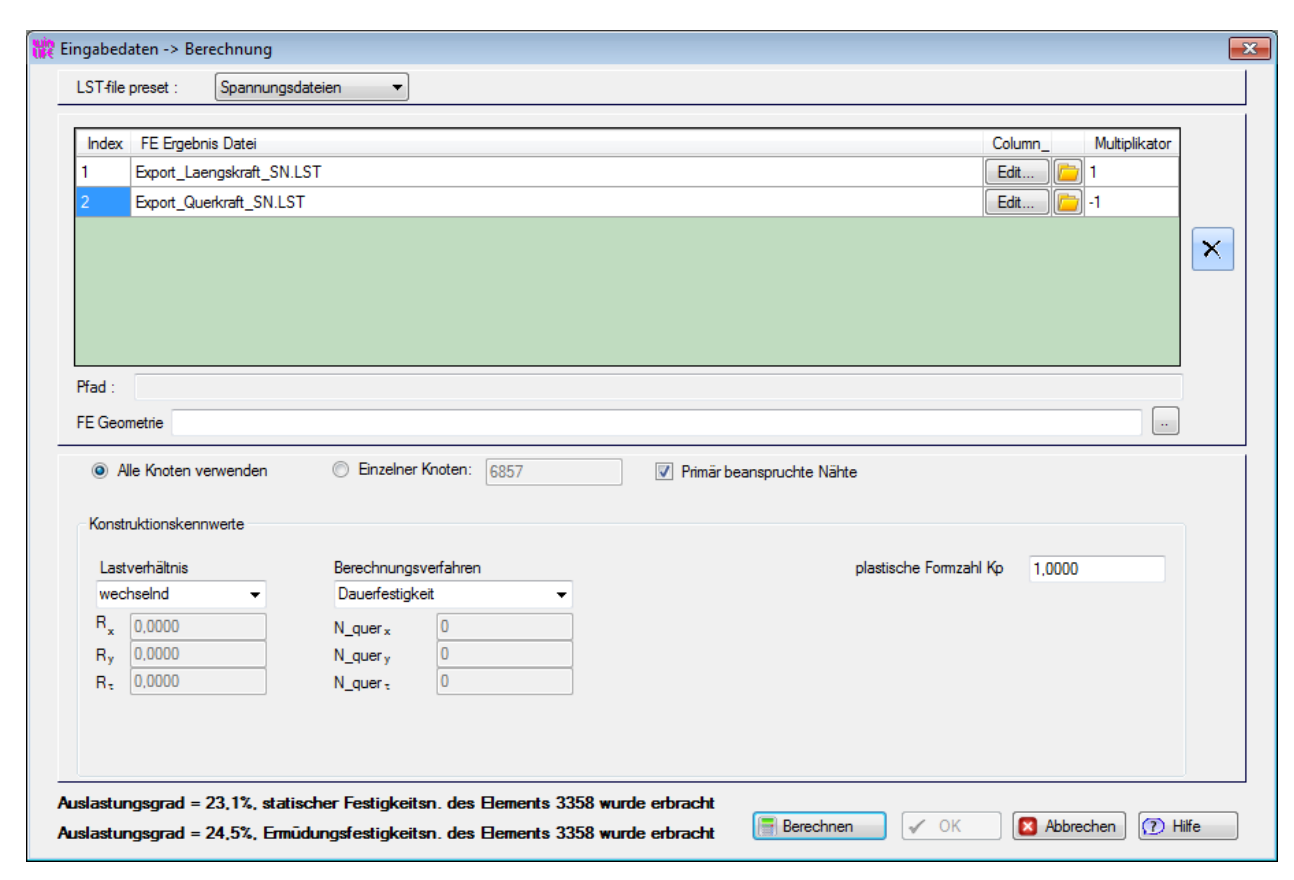
Das vorhandene Projekt e*xample_35_FKM_stat_WEZ.wlf* wird kopiert. Zum Beispiel durch Wahl des Befehl *Kopieren* aus dem Kontektmenü des rechte Maus-Buttons. Als Name gibt man ein e*xample_35_FKM_stat_SN*.

Die Wöhlerlinie wird verändert. Der Parameter Schweißnahtfaktor für Schub wird zu 0,62 gesetzt. Die anderen Werte werden behalten.



Werkstoffangaben

Die Berechnung wird für die Schweißnahtelemente durchgeführt. Eine plastische Stützzahl wird nicht verwendet.



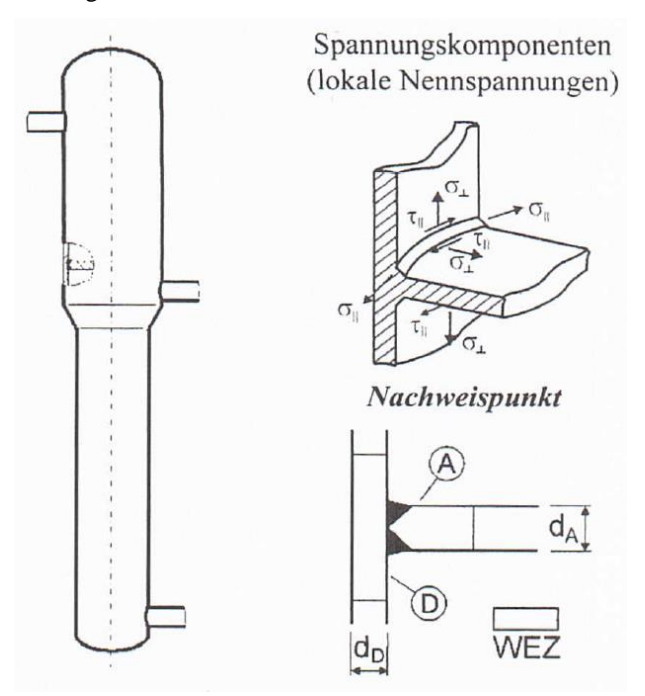
Berechnung

Als statische Auslastung ergibt sich 23,1%. Die FKM Berechnung mit Nennspannungen ergibt 22%.

37. Beispiel 36 / FKM Beispiel 6.6 geschweißte Aluminiumkonstruktion

Aufgabenstellung

In winLIFE FKM QUICKCHECK /FKM soll die geschweißte Aluminiumkonstruktion aus der FKM-Richtlinie, Beispiel 6.6 berechnet werden. Die untere Abbildung zeigt die Geometrie des Bauteils mit den Nachweispunkten A und D an einem geschweißten T-Stoß.



Bauteil und Detailbereich mit Spannungskomponenten [FKM Richtlinie]

Der Nachweis erfolgt für den Grundwerkstoff, die Wärmeübergangszone und die Schweißnaht für den statischen und Ermüdungslastfall.

37.2. Materialangabe und örtliche Spannungen

Das Bauteil besteht aus dem Werkstoff EN-AW 5083 H22 (DIN EN 485-2).

Für den Nachweispunkt A (siehe Abbildung oben) liegen die Normal-Spannungen in senkrechter Richtung und in paralleler Richtung zur Naht vor (vgl. FKM-Richtlinie Kapitel 6.6). Die Schubspannung wird als parallel wirkend zur Nahtrichtung dargestellt. Die Amplituden und Mittelwerte im Punkt A sind identisch.

$$\sigma_{a,\perp} = \sigma_{m,\perp} = 17 \text{MPa}$$

$$\sigma_{a,||} = \sigma_{m,||} = 8$$
MPa

$$\tau_a = \tau_m = 7 \text{MPa}$$

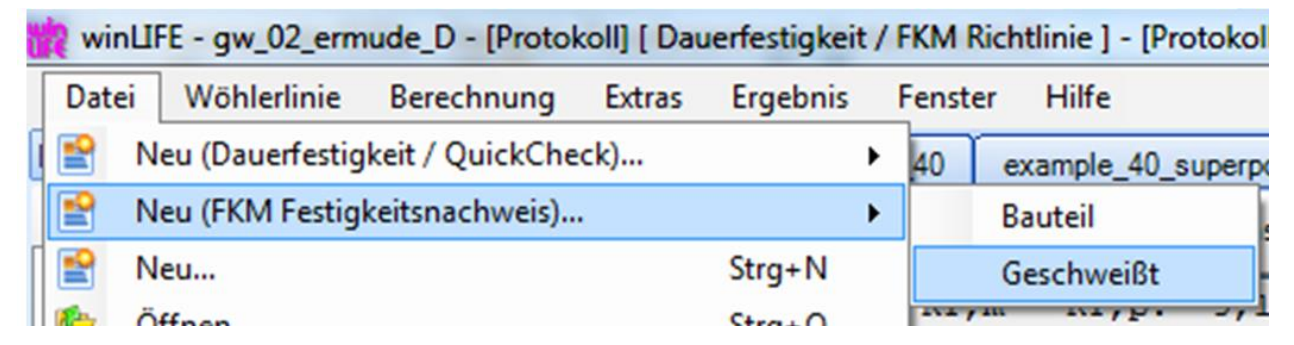
37.3. Umgebungsbedingungen

Die geschweißte Kolonne wird bei Temperaturen von 120°C und 10 000 h Dauer eingesetzt.

37.4. Nachweis statisch WEZ Punkt D

37.4.1. Projekt erstellen

Wir wählen im Menü wie dargestellt:



Als Projektnamen wählen wir:

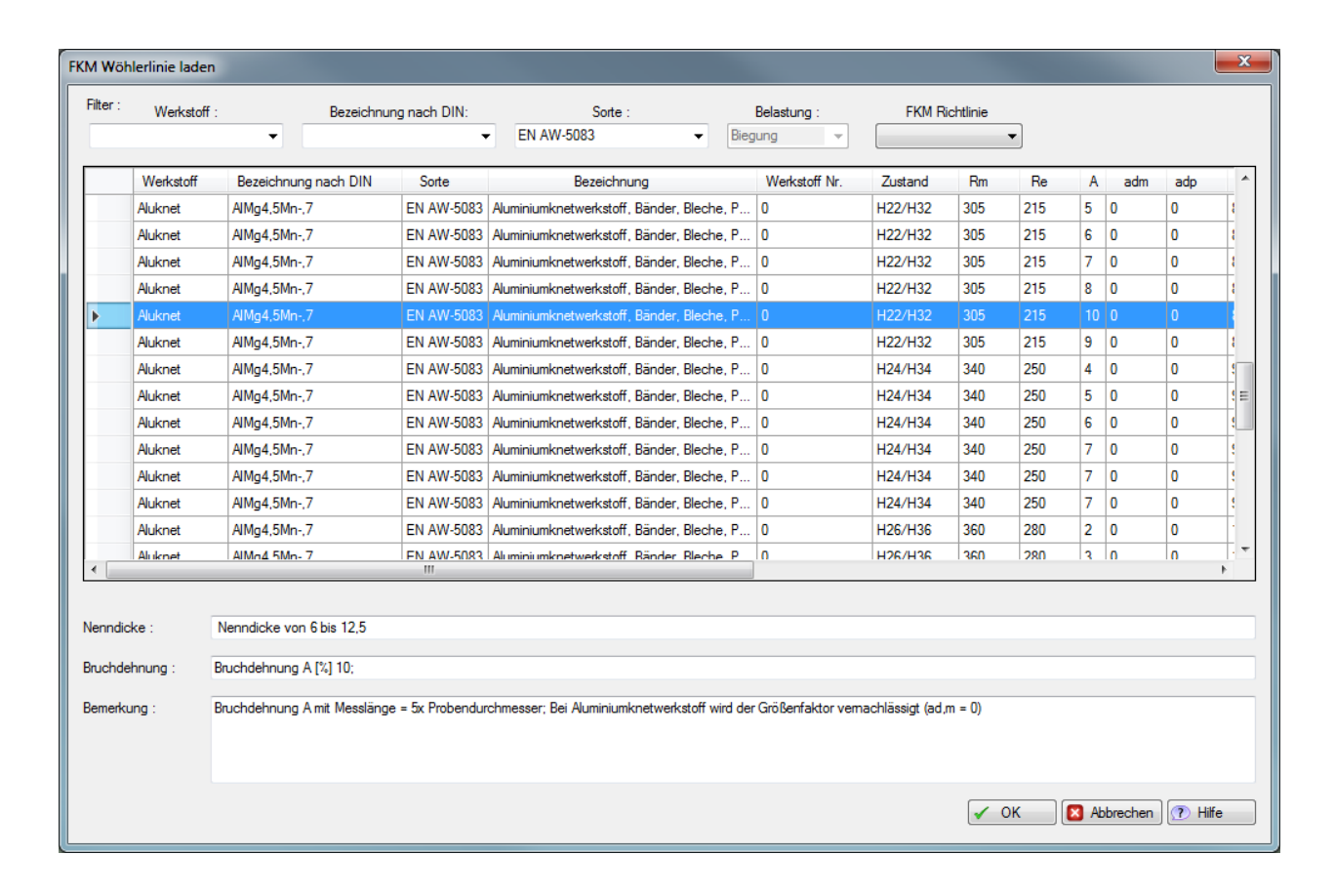
example_36_FKM_stat_WEZ

37.4.2. Wöhlerlinie

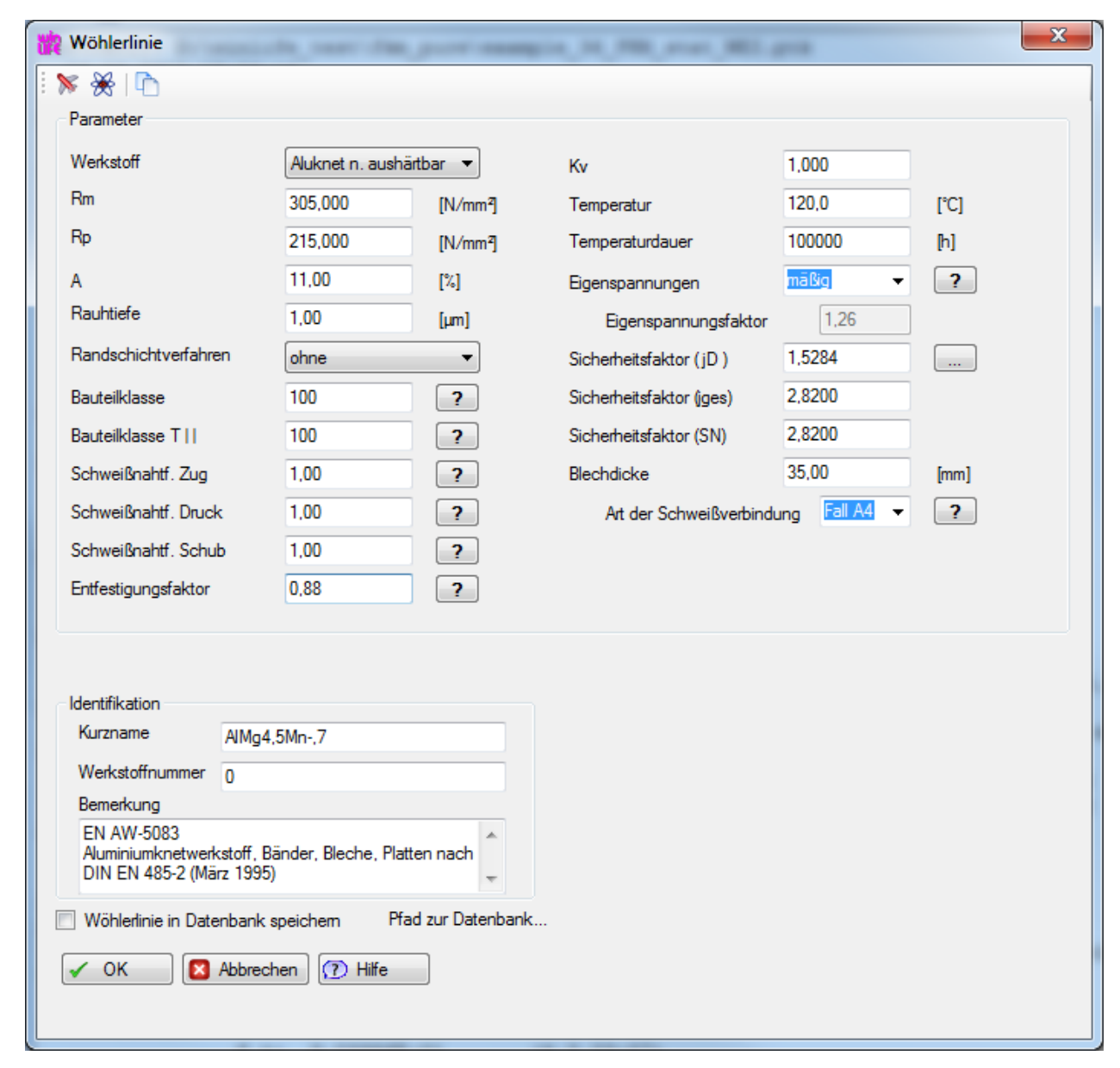
Wir wählen aus dem Menü:

Wöhlerlinie / Laden FKM

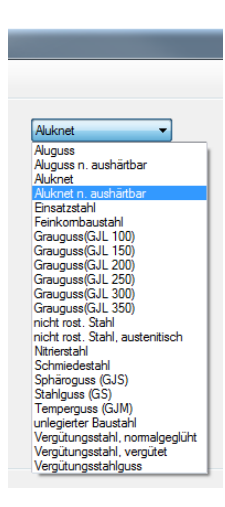
Und wählen den enstrpechenden Werkstoff aus dem Menü



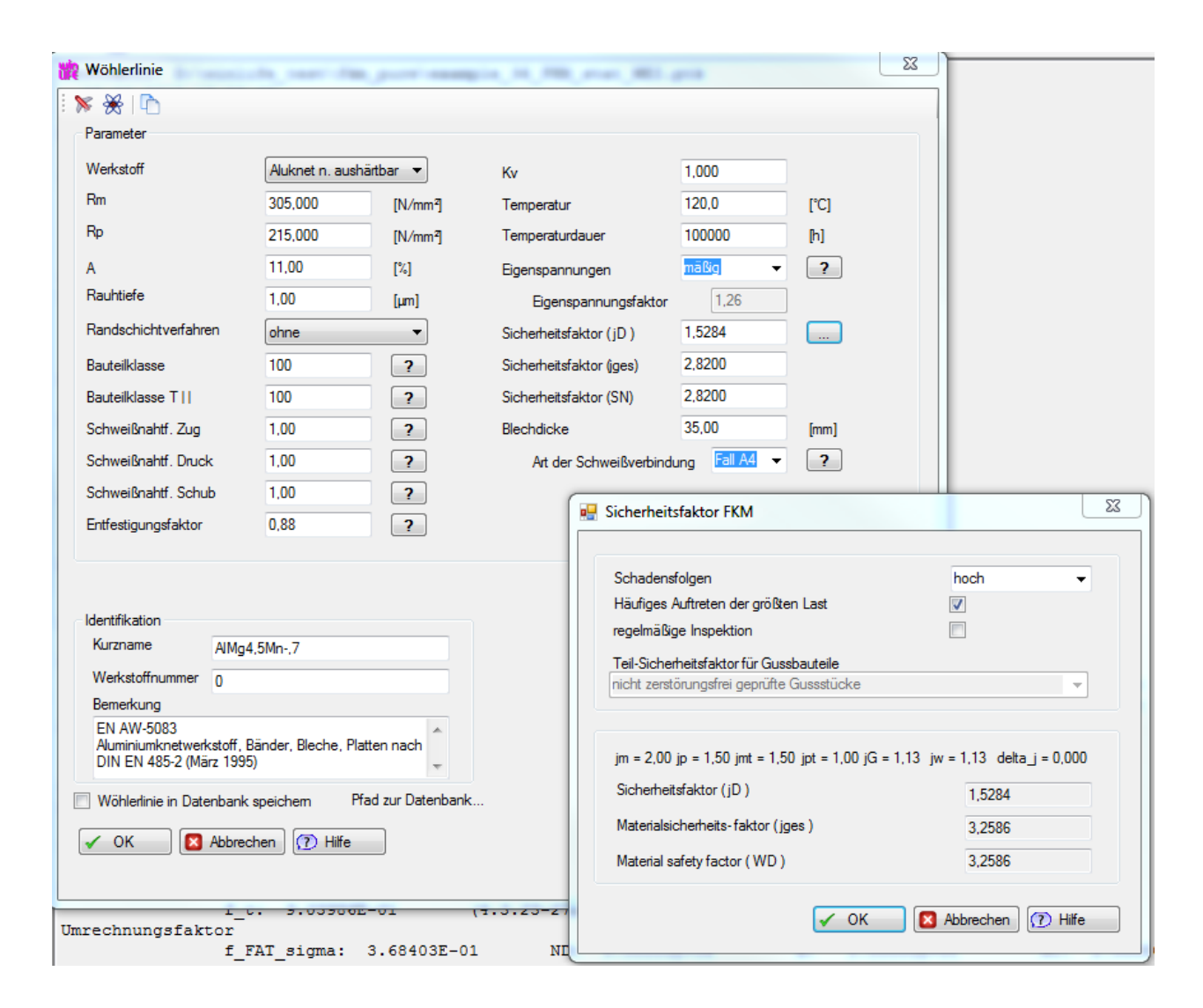
Nach der Auswahl erscheint die folgende Maske:



Die Daten werden aus der Datenbank übernommen. Die Information, dass der Werkstoff nicht aushärtbar ist, müssen wir ergänzen, indem auf den Button AluKnet geklickt und die Werkstoffauswahl korrigiert wird.



Weiterhin müssen nun die Angaben aus der Aufgabenstellung eingetragen werden, so dass die Maske dann wie folgt aussieht:



Eine weitere Änderung erfolgt:

In der FKM-Richtlinie liegt ein Fehler bei der Berechnung des Sicherheitsfaktors vor (wurde von FKM auf Nachfrage bestätigt), statt 3.258 (wäre richtig) ist dort 2,81 angegeben.

Wir übernehmen jedoch diesen fehlerhaften Wert aus der FKM-Richtline, um die weiteren Ergebnisse mit der FKM-Richtline vergleichen zu können. Dazu überschreiben wir in der Maske die Ergebnisse für den

Sicherheitsfaktor SN

Sicherheitsfaktor (ges)

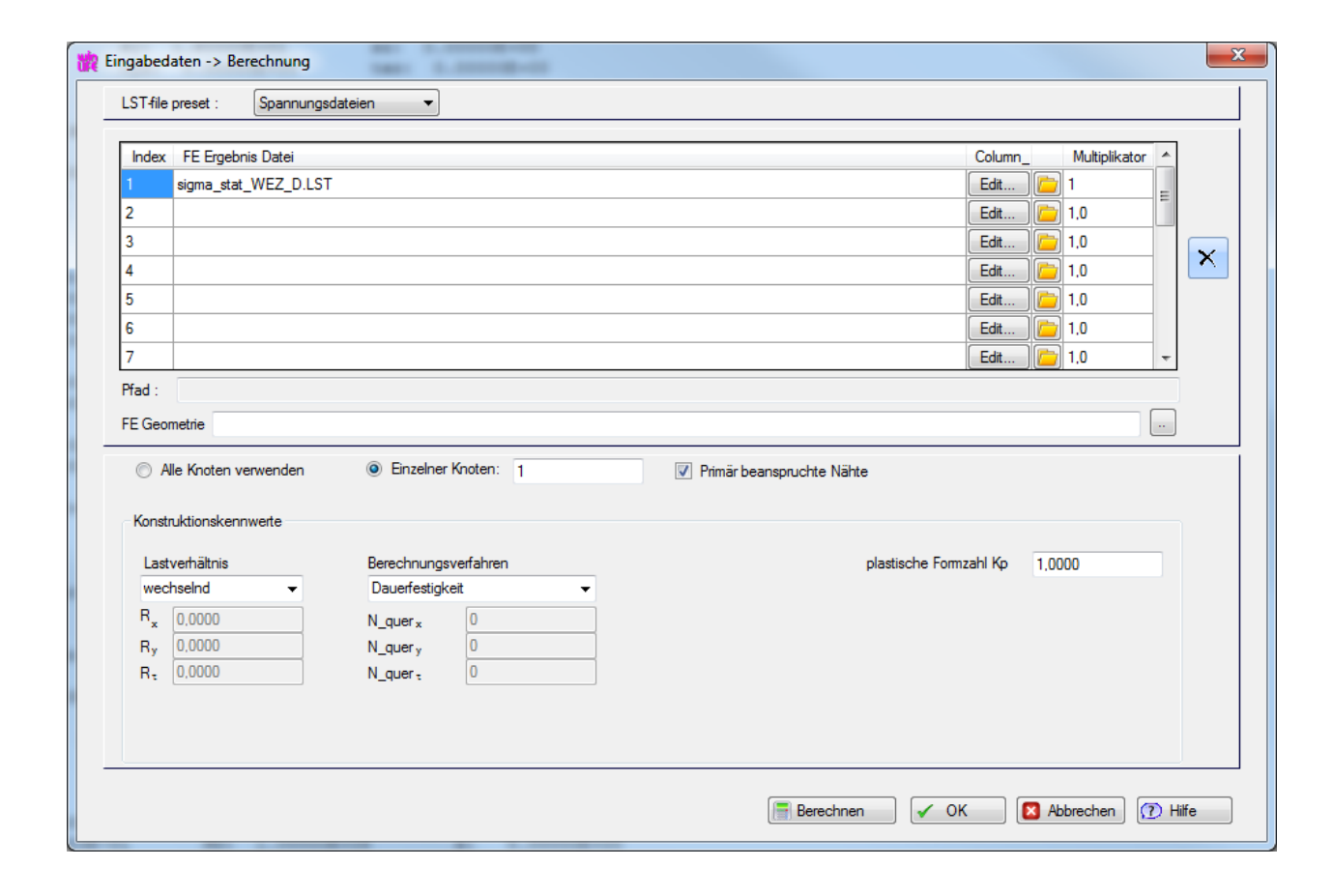
mit dem Wert 2,82. Wir klicken auf OK und schließen damit die Maske.

37.4.3. Berechnung

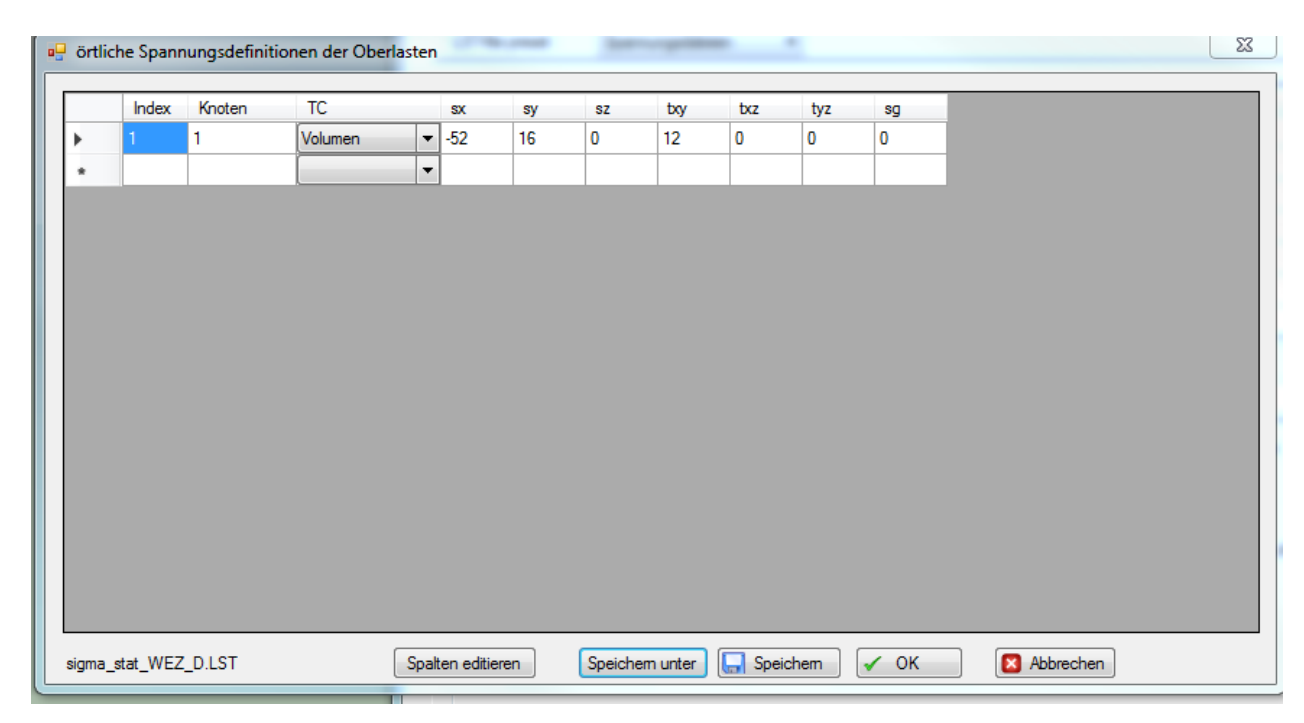
Wir klicken auf Berechnung und tragen unter

plastische Formzahl

1,0 ein. Weiterhinwird primär beanspruchte Nähte markiert.



Anschließend wird in der ersten Zeile auf EDIT geklickt. Zur Eingabe der Spannungen des Nachweispunktes in unserem Fall für den Bereich D erschient sdas folgende Menü.

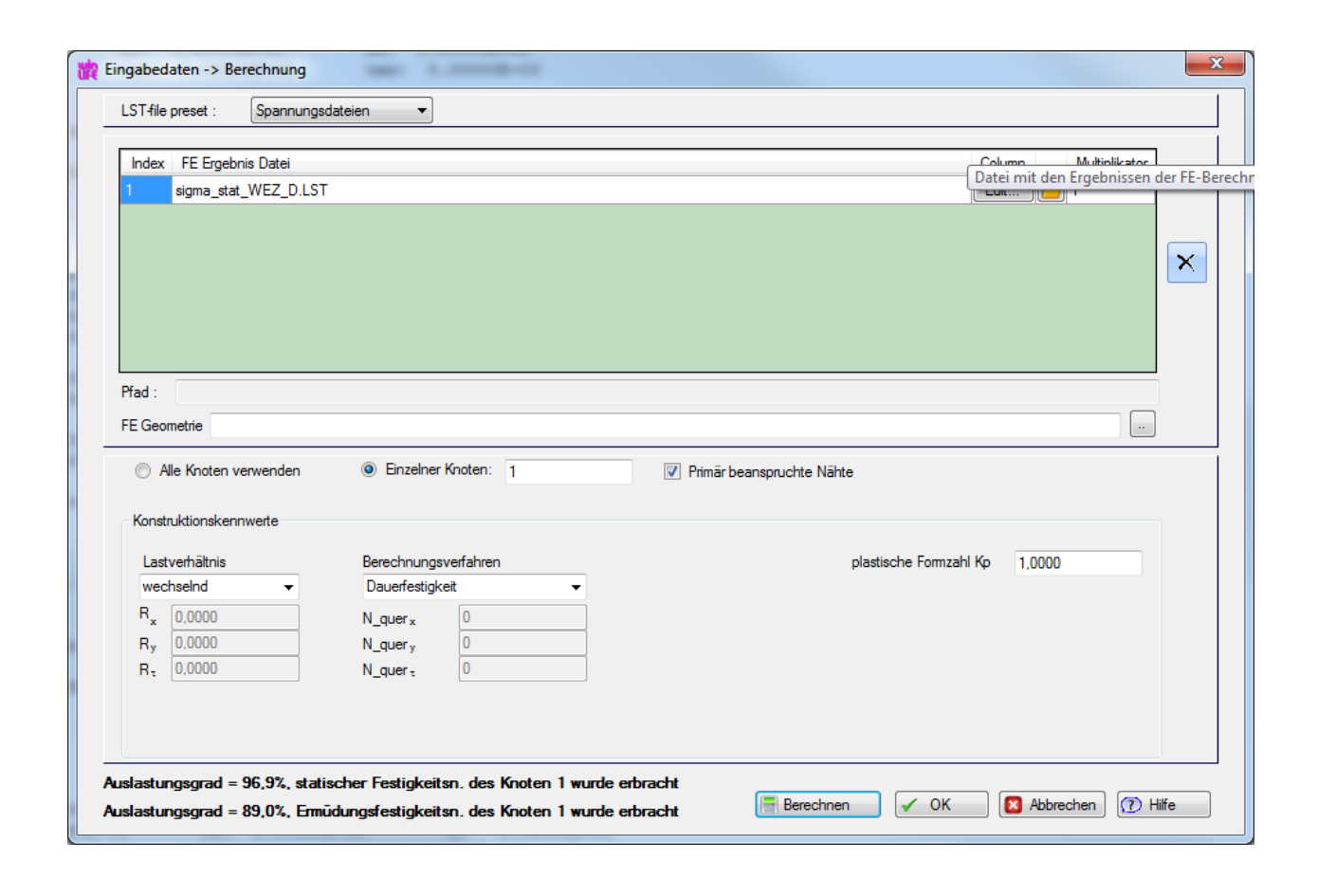


Wir speichern diesen Spannungszustand unter dem Namen sigma_stat_WEZ_D.LST ab.

Wir klicken auf den Button

Berechnen

und erhalten folgenden Liste, die neben unserem gewünschte Ergebnis für den Auslastungsgrad auch Zwischenergebnisse enthält, so dass wir das Ergebnis nachvollziehen können.



```
Protokoll: D:\winlife_test\fkm_pure\example_36_FKM_stat_WEZ.ptk
  26.04.2017 17:28:21
Werkstoffkennwerte
                   Rm: 3.05000E+02 RP: 2.15000E+02
Spannungen aus der Summe der Lastfälle

    sx: -5.2000E+01
    sy: 1.60000E+01
    sz: 0.00000E+00

    txy: 1.20000E+01
    tyz: 0.00000E+00
    txz: 0.00000E+00

Statischer Festigkeitsnachweis für den Knoten 1
Temperaturfaktor
                   KT,m = KT,p: 9,10000E-01 (3.2.22 - 3.2.27)
                   KTt,m: 3,66667E-01 (3.2.29)
                   KTt,p: 3,66667E-01 (3.2.29)
                   h1: 1.80555E+01
                                               h2: 0.00000E+00
                                                                             h3: -5.40555E+01
Duktilitätsfaktor q, Festigkeitsfaktor f_sigma, Gussfaktor KNL
f_sigma: 0.00000E+00 q: 1.00000E+00 KNL: 1.00000E+00 (Zug)
f_sigma: 0.00000E+00 q: 1.00000E+00 KNL: 1.00000E+00 (Druck)
f_tau: 5.77000E-01
Vergleichsspannung
                  sigma_v : 6.49923E+01 (3.1.4)
sigma_vw: 5.33667E+01 (3.1.14)
plastische Stüzzahl - npl
                   eps_ref: 5.00000E-02 Entfestigkeitsfaktor: 8.80000E-01
                                1.00000E+00 E: 2.10000E+05 Kp: 1.00000E+00 (3.3.13/14)
                   npl:
Bauteilfestigkeit - sigma_SK
                  sigma_SK: 1.89200E+02 (3.4.2/3)
                                                                  sigma_SKw: 1.89200E+02 (3.4.4/5)
Vergleichsauslastungsgrad - aSK
                  aSK: 9.68701E-01
                   aSK: 9.68701E-01 sigma_v: 6.49923E+01 sigma_SK: 1.89200E+02 jges: 2.82000E+00 (3.6.14/15)
aSKw: 7.95423E-01 sigma_vw: 5.33667E+01 sigma_SKw: 1.89200E+02 jges: 2.82000E+00 (3.6.16/17)
Auslastungsgrad = 96.9%, statischer Festigkeitsn. des Knoten 1 wurde erbracht
```

Das Protokoll zeigt uns für den Auslastungsgrad

an. Dies ist damit mit dem Ergebnis aus dem FKM-Beispiel von 0,97 praktisch identisch.

Der Auslastungsgrad *askw* stellt den Wert für eine Schweißnaht dar, was in unserem Fall aber nicht relevant interessant ist, da an dieser Stelle gar keine Schweißnaht vorliegt. Die Berechung erfolgte auf der Basis der Default-Werte der Eingabemaske.

37.5. Nachweis statisch SN Punkt A

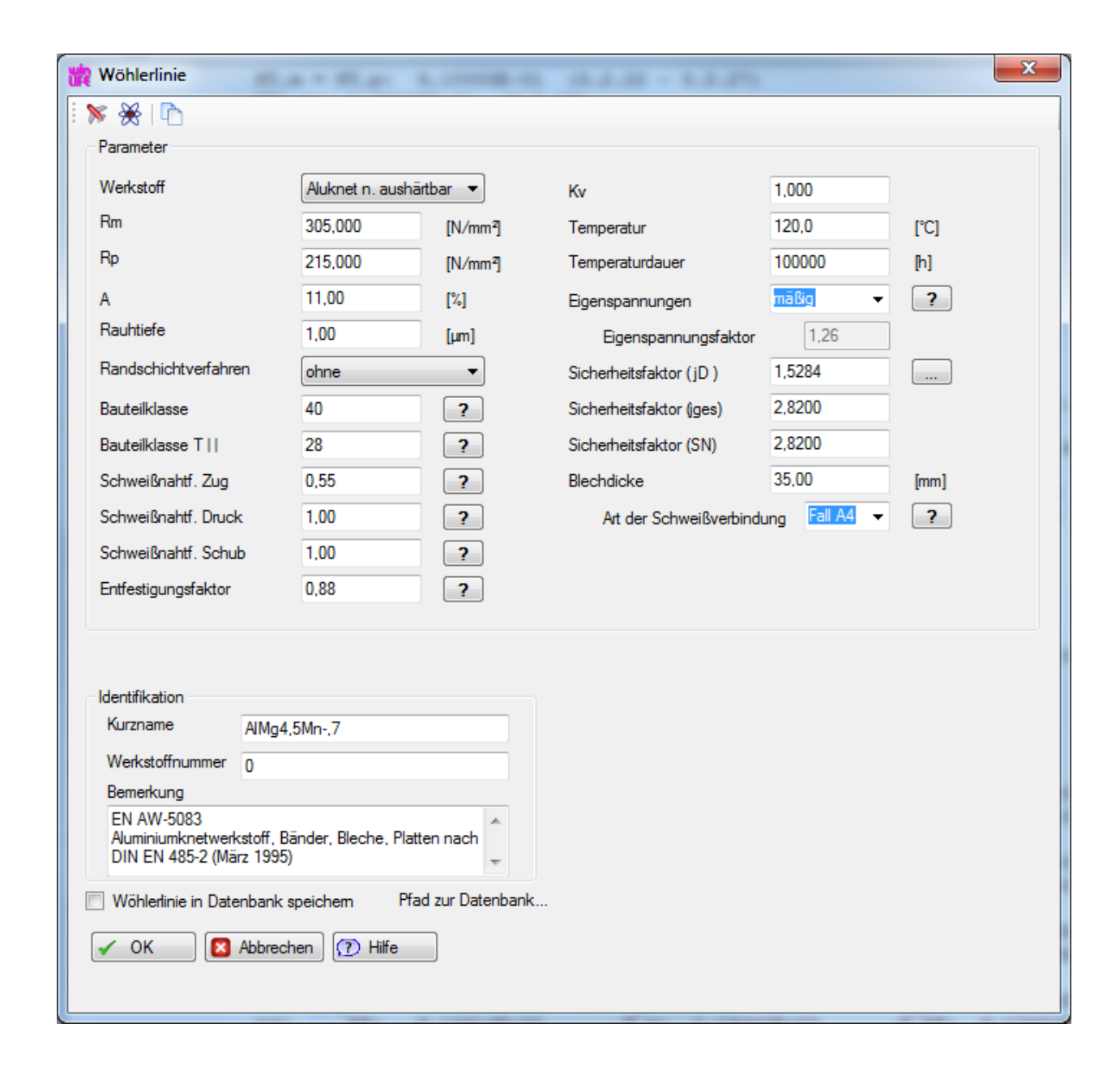
Wir kopieren das Projekt und benennen es example_36_FKM_stat_SN.wlf

37.5.1. Wöhlerlinie

Wir wählen

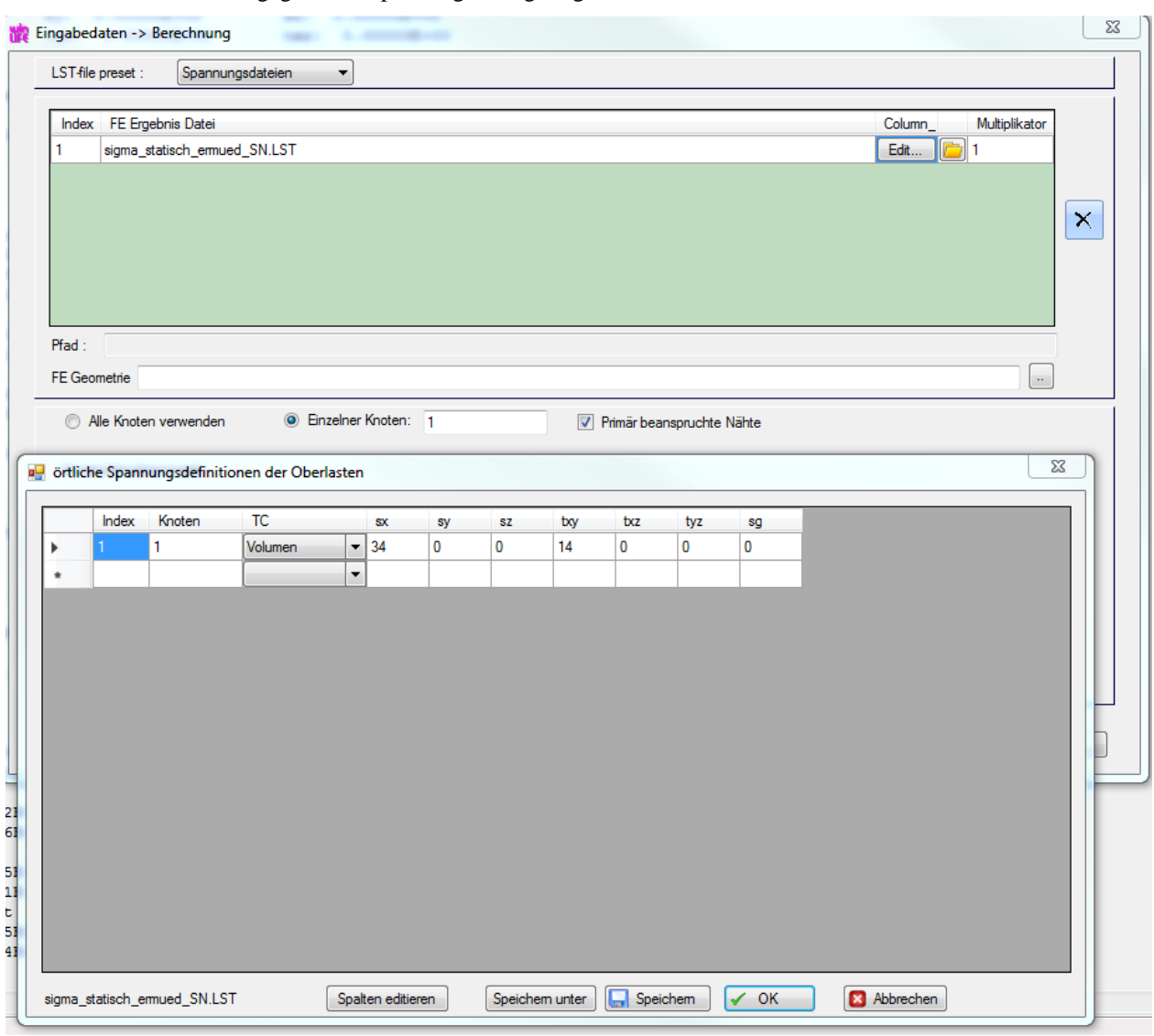
Wöhlerlinie / EDIT

Und geben die Daten unserer Schweißnaht ein, die in der Aufgabenstellung genannt sind.

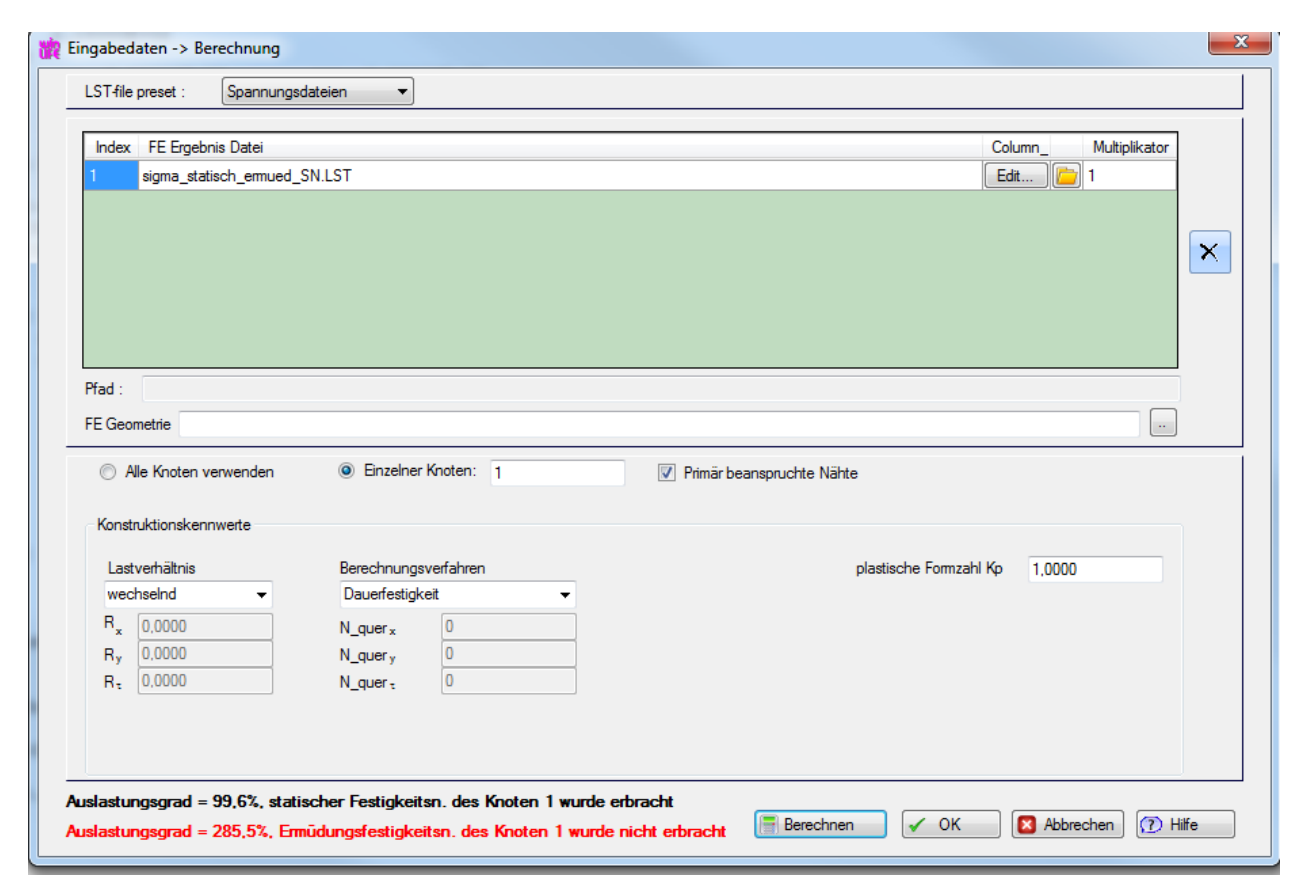


37.6. Berechnung

Es werden die Daten der gegebenen Spannungen eingetragen.



Anschließend wird auf Berechnen geklickt



Das Ergebnis des statischen Auslastungsgrades wird sofort erhalten. Im Protokoll werden Details angegeben.

```
Protokoll: D:\winlife_test\fkm_pure\example_36_FKM_stat_SN.ptk
  26.04.2017 17:36:41
Werkstoffkennwerte
                  Rm: 3.05000E+02 RP: 2.15000E+02
Spannungen aus der Summe der Lastfälle

    sx:
    3.40000E+01
    sy:
    0.00000E+00
    sz:
    0.00000E+00

    txy:
    1.40000E+01
    tyz:
    0.00000E+00
    txz:
    0.00000E+00

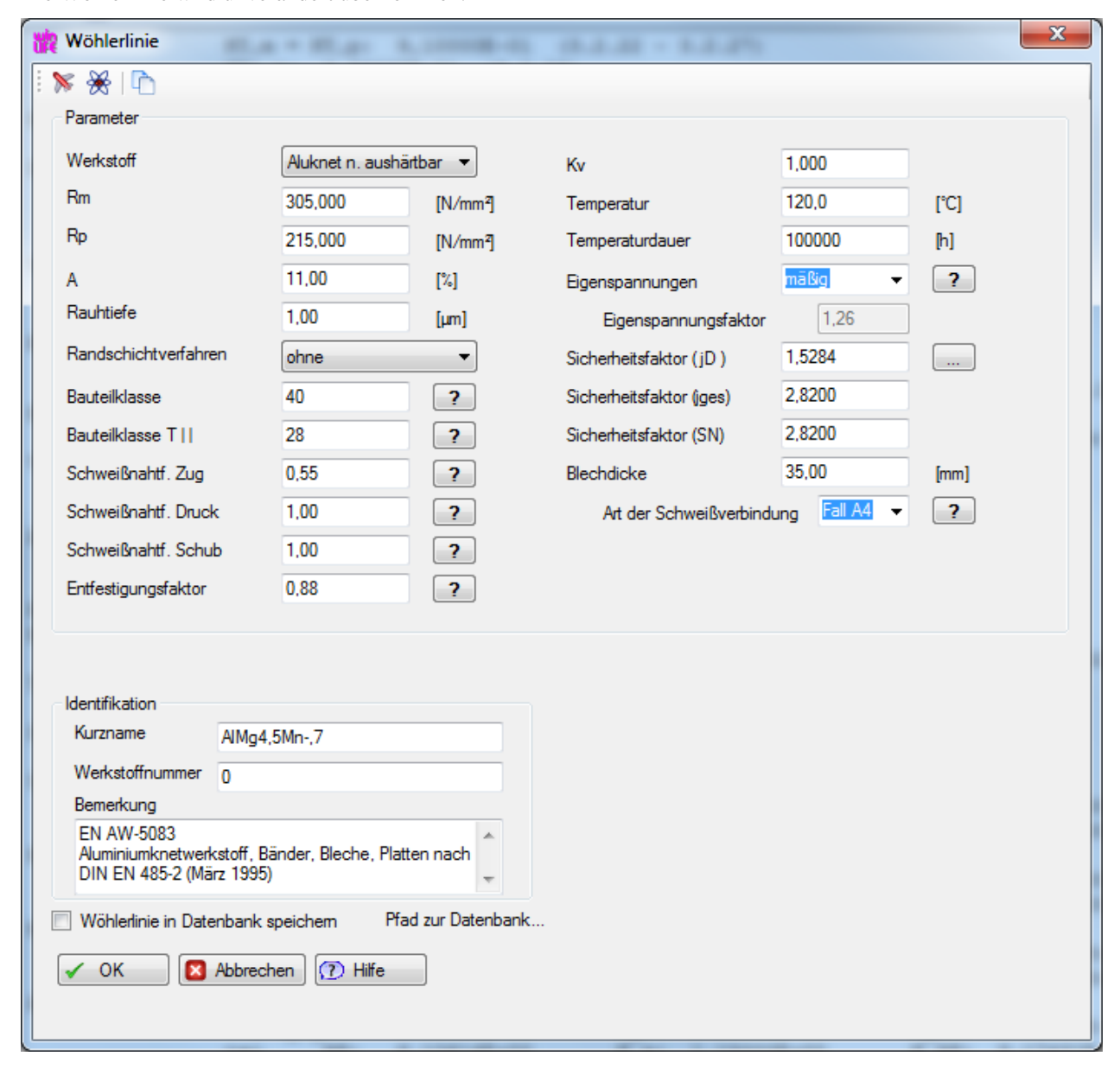
Statischer Festigkeitsnachweis für den Knoten 1
Temperaturfaktor
                  KT,m = KT,p: 9,10000E-01 (3.2.22 - 3.2.27)
                  KTt,m: 3,66667E-01 (3.2.29)
KTt,p: 3,66667E-01 (3.2.29)
Hauptspannungen
                  h1: 3.90227E+01
                                             h2: 0.00000E+00
                                                                         h3: -5.02272E+00
Duktilitätsfaktor q, Festigkeitsfaktor f_sigma, Gussfaktor KNL
                  f_sigma: 0.00000E+00 q: 1.00000E+00 KNL: 1.00000E+00 (Zug)
                  f_sigma: 0.00000E+00 q: 1.00000E+00 KNL: 1.00000E+00 (Druck)
                  f_tau:
                            5.77000E-01
Vergleichsspannung
                  sigma_v : 4.17612E+01 (3.1.4)
sigma_vw: 3.67696E+01 (3.1.14)
plastische Stüzzahl - npl
                 eps_ref: 5.00000E-02 Entfestigkeitsfaktor: 8.80000E-01
npl: 1.00000E+00 E: 2.10000E+05 Kp: 1.00000E+00 (3.3.13/14)
Bauteilfestigkeit - sigma_SK
                  sigma SK: 1.89200E+02 (3.4.2/3)
                                                               sigma SKw: 1.04060E+02 (3.4.4/5)
Vergleichsauslastungsgrad - aSK
                                          sigma_v: 4.17612E+01 sigma_SK: 1.89200E+02 jges: 2.82000E+00 (3.6.14/15)
sigma_vw: 3.67696E+01 sigma_SKw: 1.04060E+02 jges: 2.82000E+00 (3.6.16/17)
                 aSK: 6.22445E-01
                  aSKw: 9.96446E-01
Auslastungsgrad = 99.6%, statischer Festigkeitsn. des Knoten 1 wurde erbracht
```

Auslastungsgrad = 99,6%, statischer Festigkeitsn. des Knoten 1 wurde erbracht

37.7. Nachweis Ermüdungsfestigkeit SN Punkt A

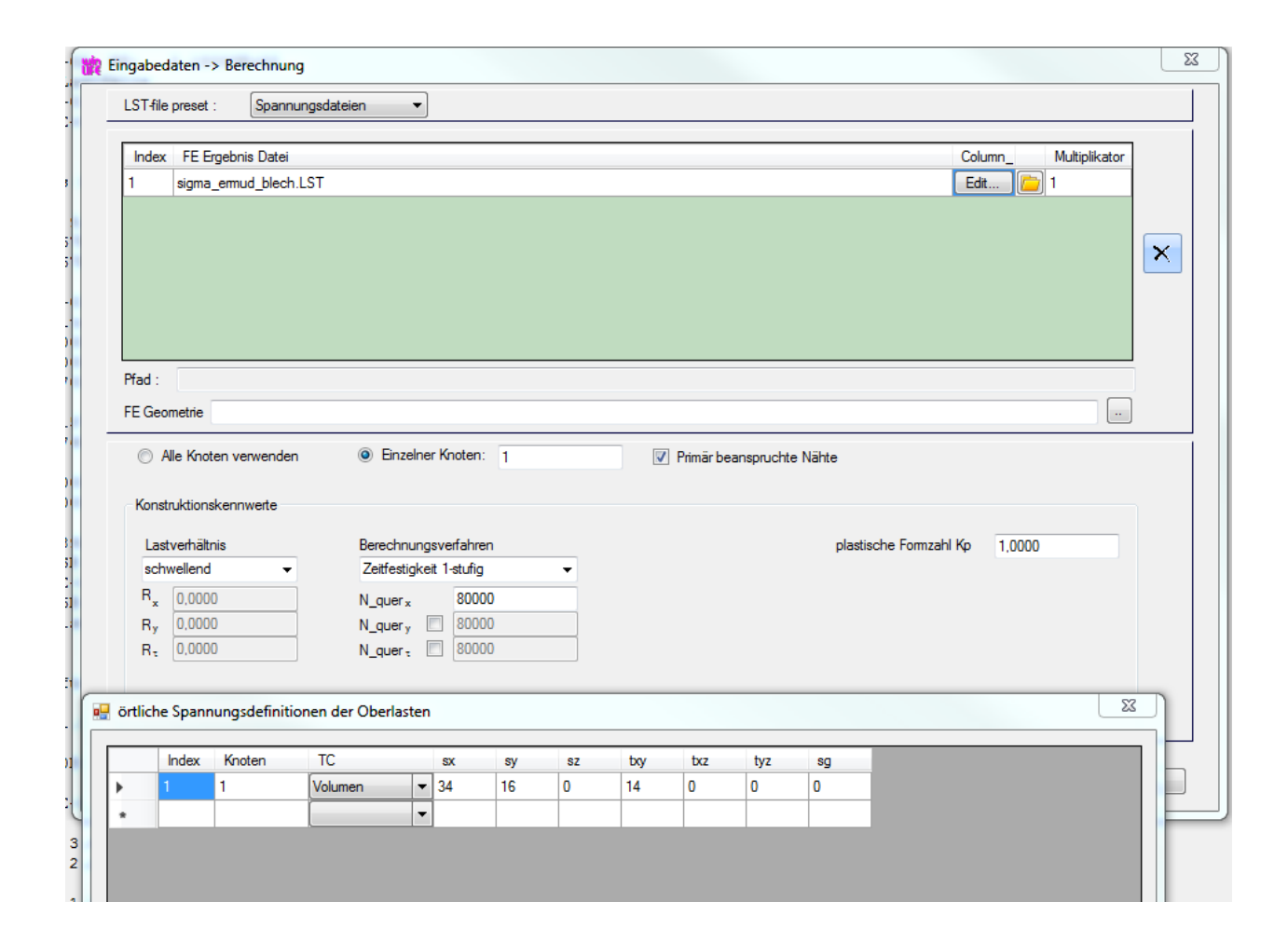
37.8. Wöhlerlinie

Die Wöhlerlinie wird unverändert übernommen.



37.8.1. Berechnung

Die gegebenen Spannungen sind als Oberspannungen mit korrektem Spannungsverhältnis anzugeben. Die geforderte Zyklenzahl ist einzugeben.



Auslastungsgrad = 70,1%, Ermüdungsfestigkeitsn. des Knoten 1 wurde erbracht

Das Ergebnis von 70,1 % weicht geringfügig von dem FKM-Ergebnis ab. Ursache sind Rundungsungenauigkeiten.

```
Ermüdungsfestigkeitsnachweis für den Knoten 1
Bauteil-Normwerte
                   sigma W,zd: 1.37250E+02 fW,sigma: 4.50000E-01 Rm: 3.05000E+02 (4.2.1)
Temperaturfaktor
                   KT,D: 9.16000E-01 (4.2.4)
                    f_t: 9.03986E-01
                                               (4.3.23-27)
                 f FAT sigma: 3.68403E-01 ND: 5.00000E+06 k: 3.00000E+00 NC: 2.00000E+06 (4.3.22) f FAT tau: 2.28653E-01 ND: 1.00000E+08 k: 5.00000E+00
telspannungsfaktor

KAK_sigma_s: 8.69565E-01 R: 0.00000E+00 sm/sa: 1.00000E+00

KAK_tau : 9.17431E-01 R: 0.00000E+00 sm/sa: 1.00000E+00

litude der Bauteil-Dauerfestigkeit

sigma_s_AK: 1.45955E+01 K_e: 1.26000E+00 K_AK: 8.69565E-01 M: 1.50000E-01 (4.4.7)

tau _AK: 6.10614E+00 K_e: 1.15000E+00 K_AK: 9.17431E-01 M: 9.00000E-02

ragbare Nennwerte der Amplitude

sigma_s_BK: 5.79221E+01 KBK_sigma: 3.96850E+00 (4.4.39)

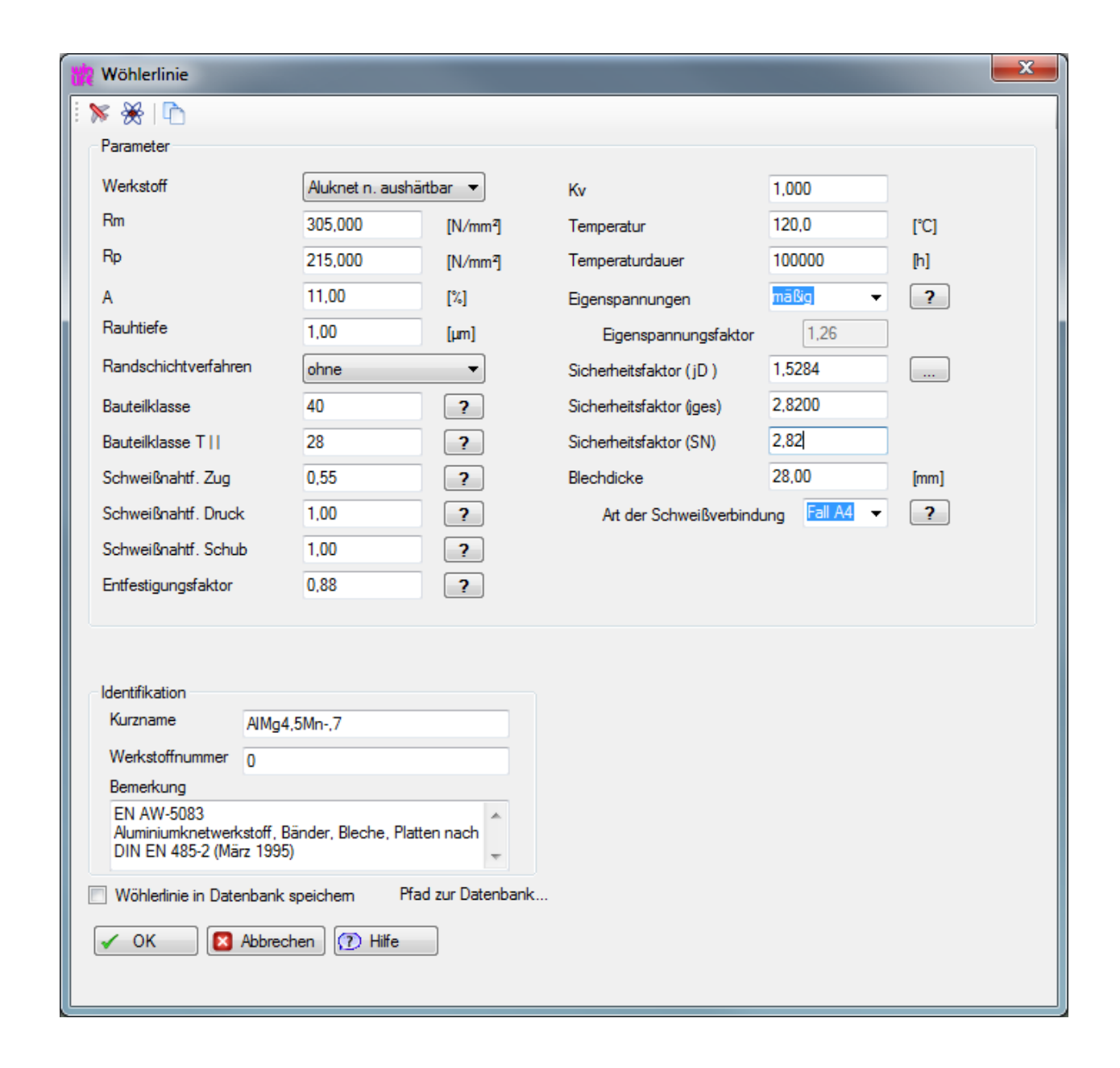
tau _BK: 2.54184E+01 KBK_tau: 4.16277E+00

imalwert der Amplitude
Amplitude der Bauteil-Dauerfestigkeit
ertragbare Nennwerte der Amplitude
Maximalwert der Amplitude
              sigma_BKmax_s:7.80450E+01 (4.4.41)
                   tau BKmax: 1.41900E+02
Nachweis - einzelne Spannungsarten jD: 1.52840E+00
               aBK_sigma_s: 4.48582E-01 sa: 1.70000E+01 sigma_BK: 5.79221E+01 (4.6.4)
aBK_tau : 4.20907E-01 sa: 7.00000E+00 tau_BK: 2.54184E+01
Nachweis - zusammengesetzte Spannungsarten
                   aBK_sigma_wv: 7.01228E-01 (4.6.13)
Auslastungsgrad = 70.1%, Ermüdungsfestigkeitsn. des Knoten 1 wurde erbracht
```

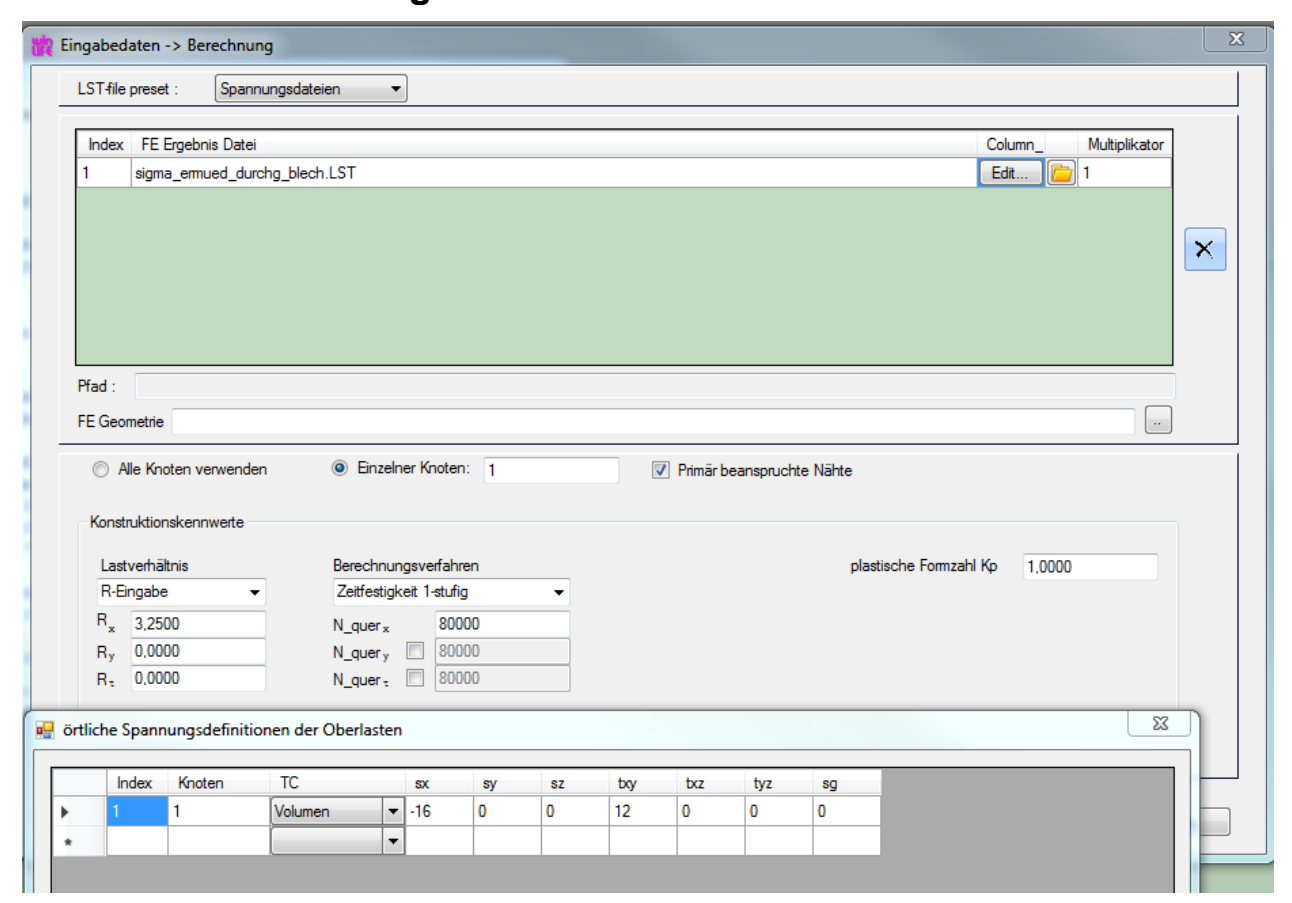
37.9. Nachweis Ermüdungsfestigkeit durchgehendes Blech Punkt D

37.9.1. Wöhlerlinie

Die Wöhlerlinie wird übernommen. Die Wanddickenänerung ist one Einfluß auf den Sciehrehthiwsfaktor, da dieser enstrepchend der FKM Richtlinie übernommen wurde.



37.9.2. Berechnung



Man beachte, dass die Oberspannung einzugeben ist und die Spannungskomponenten unterschiedliche Spannungsverhältnisse aufweisen.

Das Protokoll zeigt das Ergebnis von 55,7 % an. Die Ergebnisse sind vergleichbar, jedoch ist in der FKM-Richtlinie ist der Sicherheitsfaktor j_D falsch berechnet. Dort wurde mit jD=1,457 gerechnet, der korrekte Wert muß jedoch 1,52 betragen. Auch dieser Fehler wurde von FKM bestätigt.

Auslastungsgrad = 55,7%, Ermüdungsfestigkeitsn. des Knoten 1 wurde erbracht

```
Ermüdungsfestigkeitsnachweis für den Knoten 1
Bauteil-Normwerte
              Temperaturfaktor
              KT,D: 9.16000E-01 (4.2.4)
Dickenfaktor
              f_t: 9.66573E-01
                                   (4.3.23-27)
Umrechnungsfaktor
             f FAT_sigma: 3.68403E-01 ND: 5.00000E+06 k: 3.00000E+00 f_FAT_tau: 2.28653E-01 ND: 1.00000E+08 k: 5.00000E+00
                                                                                     NC: 2.00000E+06 (4.3.22)
sigma_s_WK: 1.42435E+01 FAT: 4.00000E+01
tau _WK: 6.18826E+00 FAT: 2.80000E+01
Mittelspannungsfaktor
                                                                sm/sa: -1.88889E+00
             KAK_sigma_s: 1.17647E+00 R: 3.25000E+00
KAK_tau : 9.17431E-01 R: 0.00000E+00
RAULeil-Dauerfestigkeit
                                                                 sm/sa: 1.00000E+00
Maximalwert der Amplitude
      sigma_BKmax_s:7.80450E+01 (4.4.41)
Begrenzung der Maximalamplitude
              sigma_s_BK: 7.80450E+01
tau_BKmax: 1.41900E+02
                                           KBK_sigma_s: 3.69637E+00
tau_BKmax: 1.11900E+02

Nachweis - einzelne Spannungsarten jD: 1.52840E+00

aBK_sigma_s: 3.52504E-01 sa: 1.80000E+01 sigma_BK: 7.80450E+01 (4.6.4)

aBK_tau : 3.37416E-01 sa: 6.00000E+00 tau_BK: 2.71783E+01
Nachweis - zusammengesetzte Spannungsarten
              aBK_sigma_wv: 5.56929E-01 (4.6.13)
Auslastungsgrad = 55.7%, Ermüdungsfestigkeitsn. des Knoten 1 wurde erbracht
```

37.10. Berechnung mit Zeitsignalen

Ziel der folgenden Berechnung des zuvor behandelten Beispiels – nun jedoch mit dem winLIFE BASIC -Modul – ist es zu zeigen, wie eine Berechnung mit einem Zeitsignal aussehen würde. Aufwändiger ist dies deshalb, weil deutlich mehr Eingaben und Daten dazu erforderlich sind. Für den Fall, dass die vereinfachenden Annahmen in der FKM-Richtlinie ausreichen, ist die Anwendung nachn FKM-Richtlinie empfehlenswert. Oftmals sind die Randbedingungen der Aufgabenstellung deutlich komplexer, so dass dann die FKM-Richtlinie nicht mehr ausrecht und hier nachfolgend beschriebene Weg beschritten werden kann.

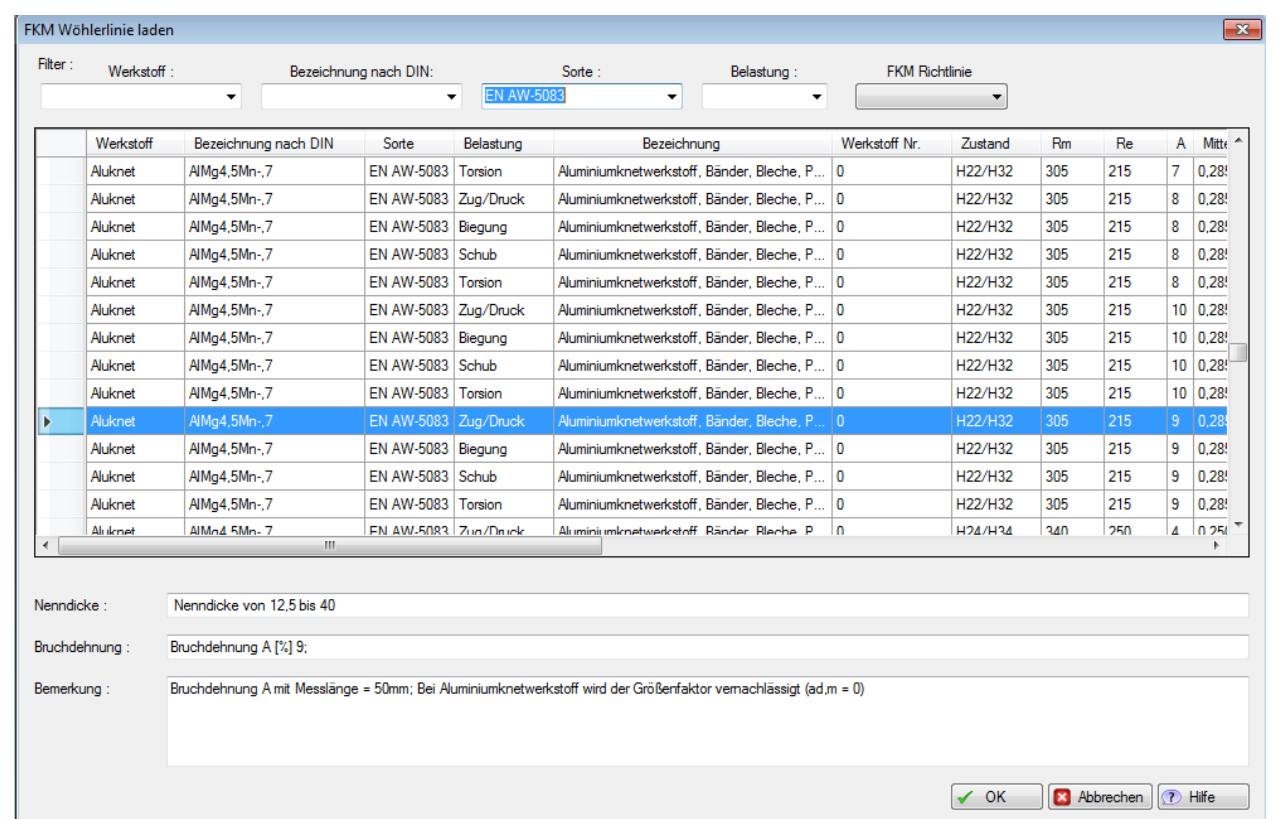
37.11. Auswertung der Normalspannung σ_{\perp}

Zunächst wird ein Projekt für die Normalspannung σ_1 erzeugt: example_36_Sigma_vertical.wlf

Es wird der Werkstoffs im Menü Wöhlerlinie festgelegt. Der Werkstoff EN-AW 5083H22 liegt in der winLIFE 4.0FKM-Datenbank vor und kann wie folgt gewählt werden:

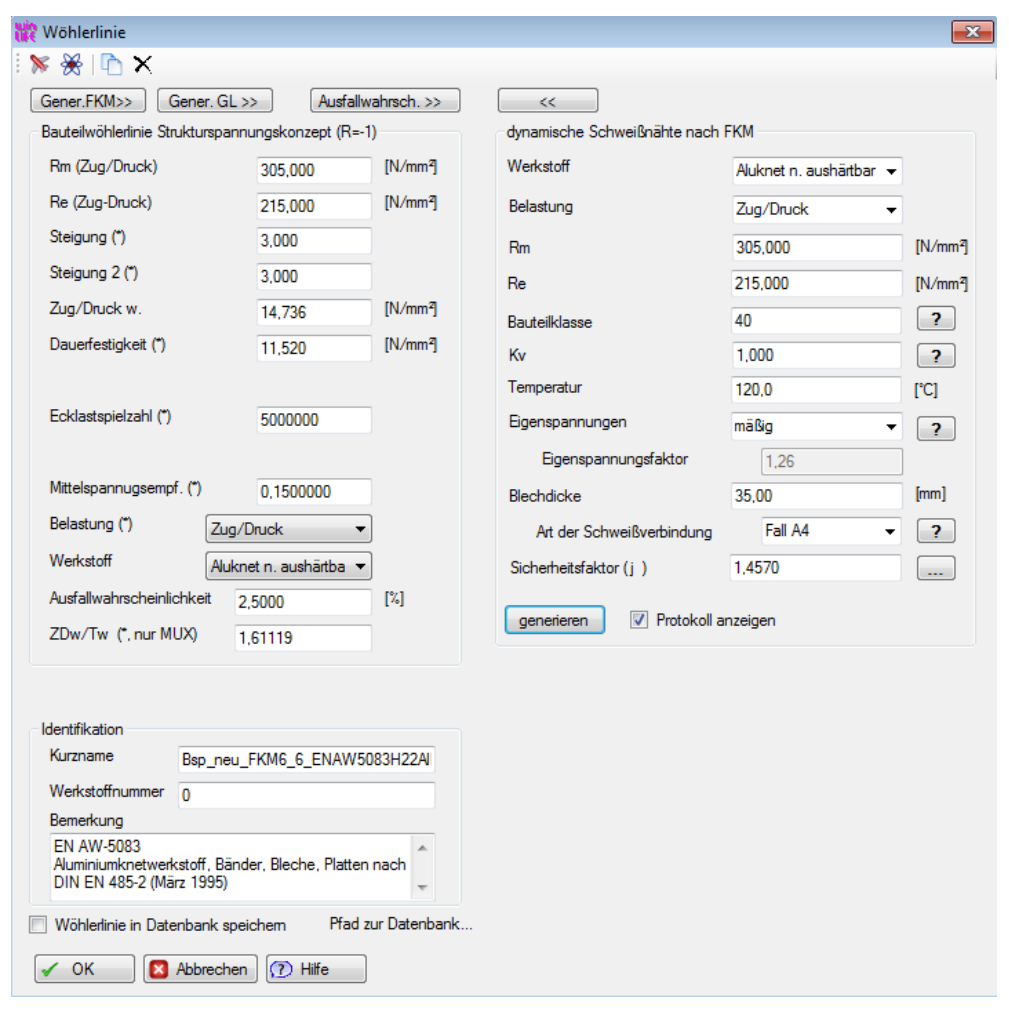
Menü Wöhlerlinie → Laden FKM...

Daraufhin öffnet sich ein Fenster und es wird im Feld *Sorte* der Werkstoff: *EN AW-5083* eingetragen. Der gesuchte Werkstoff erscheint und man wählt aus der Liste den Zustand *H22/H32* mit der Bruchdehnung *9%*. Die Belastung ist *Zug/Druck* für die Normalspannung.

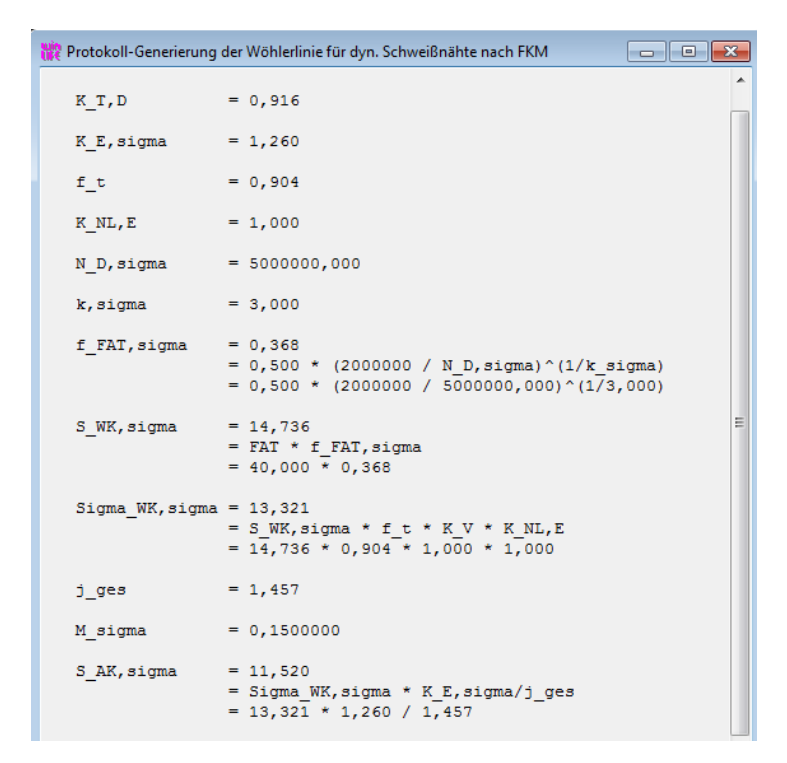


Werkstoffauswahl aus der FKM Datenbank

Die zu ergänzenden Werkstoffangaben werden auf der rechten Seite im Wöhlerliniendialog eingetragen. Es handelt sich um die Bauteilklasse 40 (FAT-Klasse), die Blechdicke 35mm, die Art der Schweißverbindung A4 und den Sicherheitsfaktor 1,457. Schließlich ergibt sich folgende Abbildung für die Eingaben zu der Wöhlerlinie. Es wird *generieren* gedrückt.



Werkstoffangaben

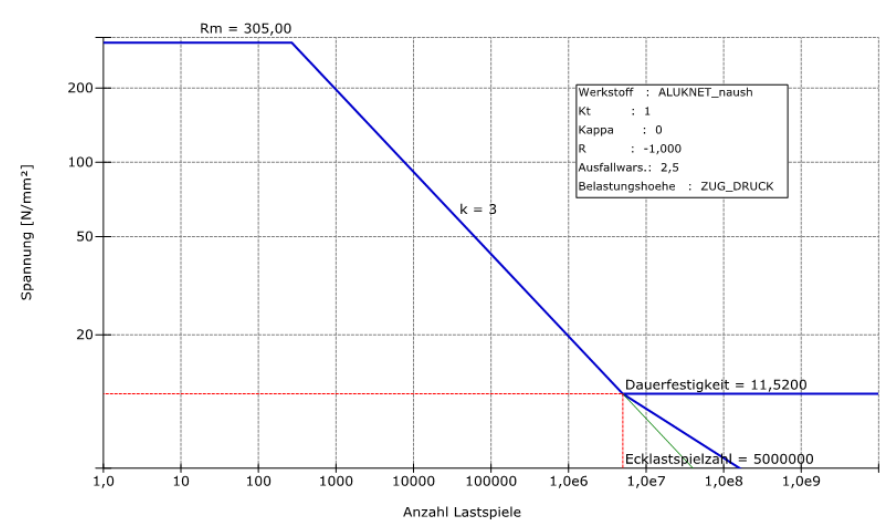


Protokoll über die Wöhlerliniengenerierung

Aus den gerade getätigten Eingaben wird eine Wöhlerlinie erzeugt. Über die Befehlsfolge

Menü *Wöhlerlinie* → *Wöhlerlinie*

wird diese gezeigt. Bei Bedarf kann die Wöhlerlinie skaliert werden. Dazu wird die rechte Maustaste gedrückt, wenn man sich über eine Achse befindet und aus dem Kontextmenü *Min/Max-Wert* gewählt.



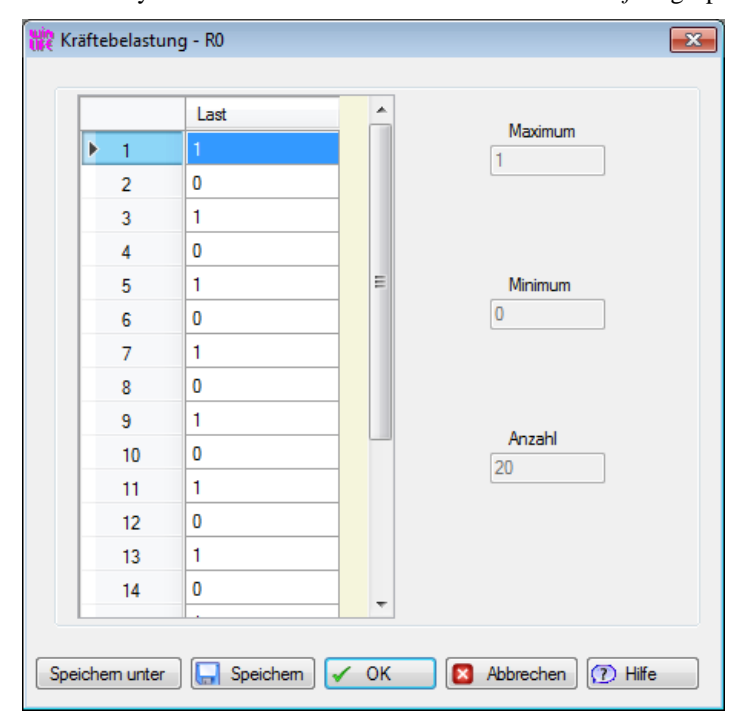
Wöhlerlinie - ENAW5083H22_AlMg45Mn7_FAT40

Wöhlerlinie für das Material EN-AW 5083 H22

Nun folgt der Schritt der Belastungseingabe:

Menü Belastung → Generieren → Kräftebelastung

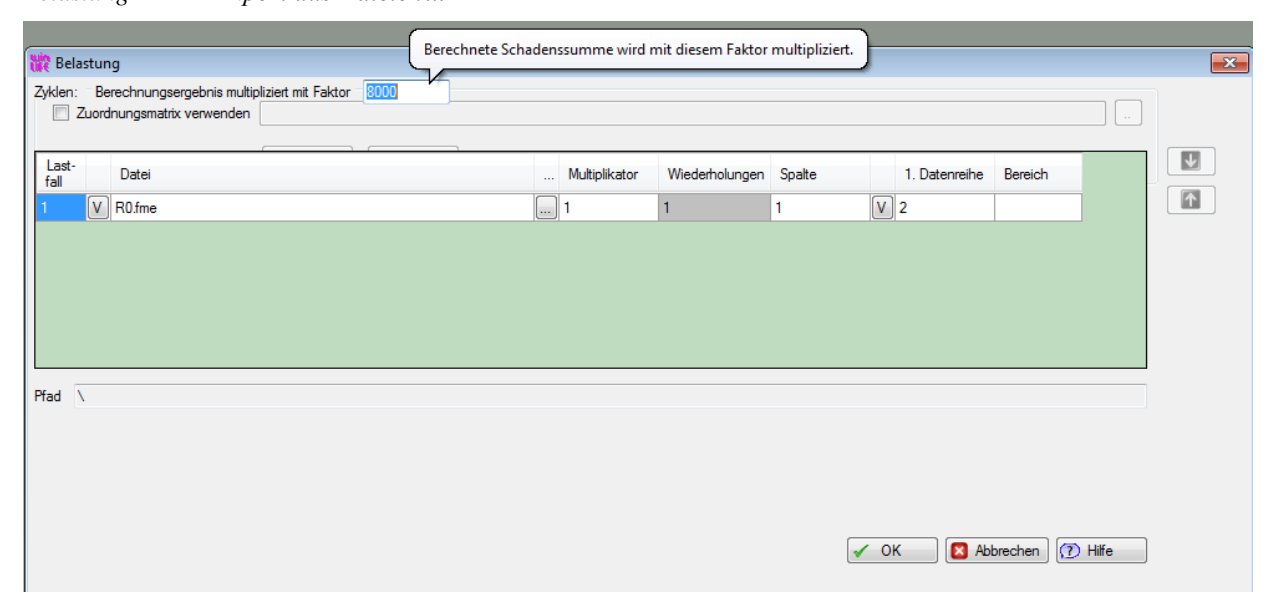
Für die schwellende Belastung werden die Umkehrpunkte angegeben. Hier sind insgesamt 20 Werte eingetragen, die somit 10 Zyklen darstellen. Diese Liste wird z.B. als *R0.fme* gespeichert.



Definition der Kräftebelastung

Im Dialog Belastung wird die gerade erzeugte FME-Datei angegeben. Die im Betrieb maximal auftretende Zyklenzahl von 80000 wird berücksichtigt durch die Angabe von 8000 als Faktor für die Schadenssumme und die wirkenden 10 Zyklen in der FME-Datei.

Belastung → *Import aus Dateien*...



Angaben im Dialog Belastung

Zunächst erfolgt die Eingabe der örtlichen Spannungen am Nachweispunkt. Dazu wird eine LST-Datei benötigt. Die von Steinbeis zur Verfügung gestellte Datei *Naht_Tensor_Sigma_normal_FAT40.LST* kann verwendet werden. Die Spannung $\sigma_{a,\perp} + \sigma_{m,\perp} = 17 + 17 = 34$ MPa wird als σ_x verstanden.

```
Naht_Tensor_Sigma_normal_FAT40.LST - Editor

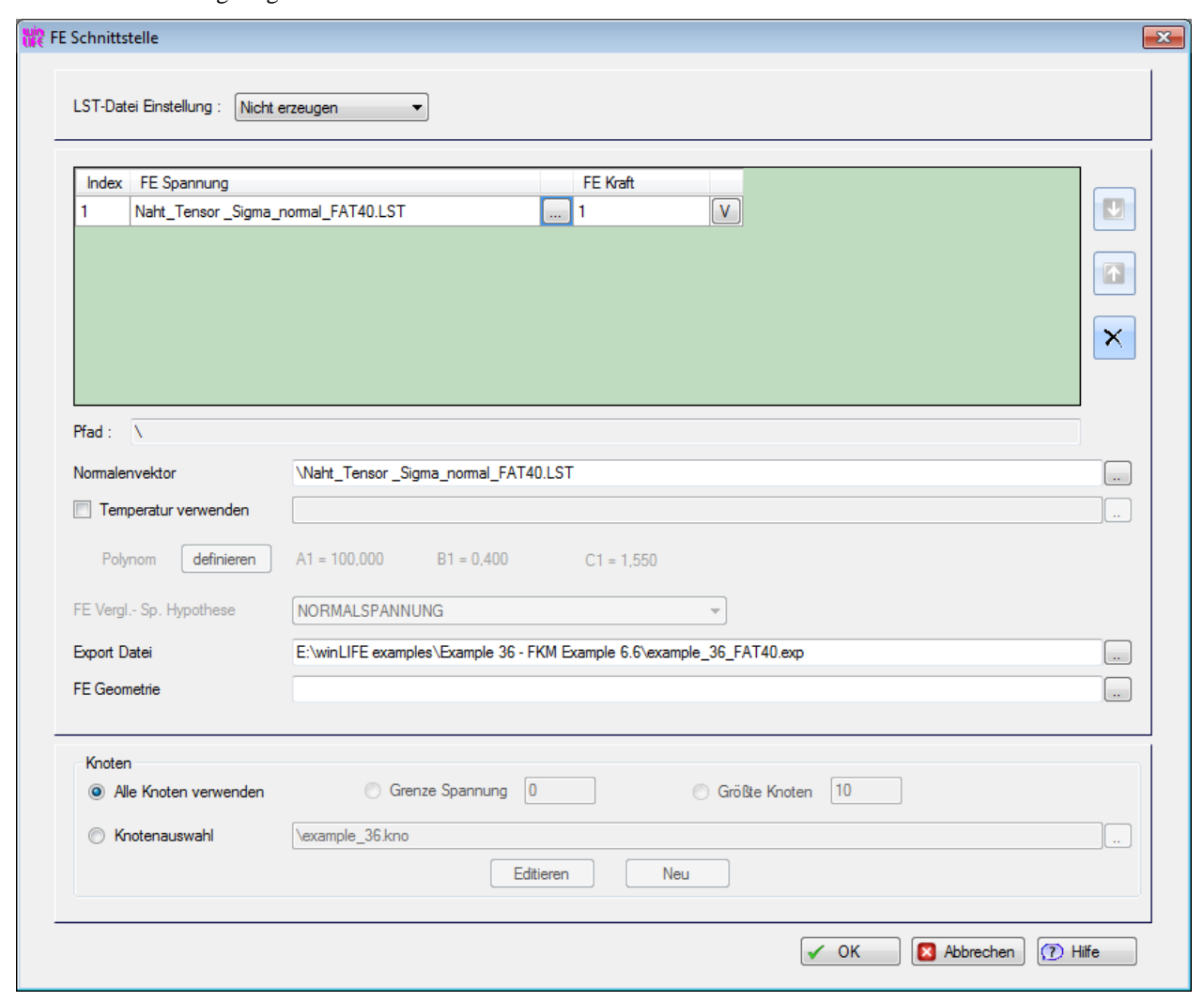
Date Bearbeiten Format Ansicht ?

| winLIFE_version 3.6.0 |
Number_of_headlines 6 |
Kind_of_delimiter ' ' '
Number_of_columns 13 |
Meaning_of_parameters_begin num to sx sy txy sxu syu txyu nx ny nz wno fat Meaning_of_parameters_end  

1 1 34 0 0 0 0 0 0 1 0 0 12 40
```

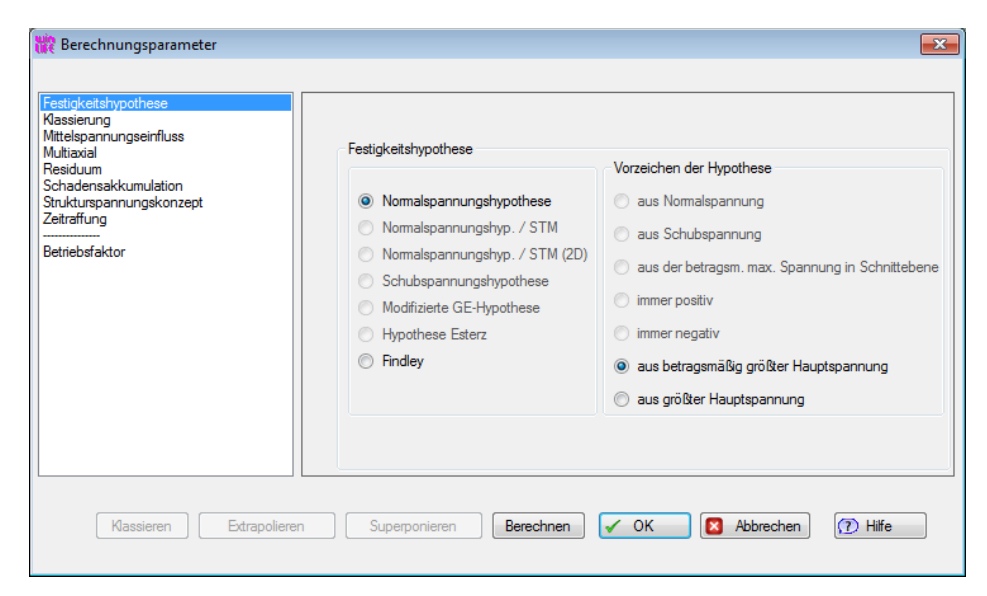
Angabe der örtlichen Spannung senkrecht

Die LST Datei enthält auch die Beschreibung des Normalenvektors zur Schweißnaht und wird daher an der Stelle Normalenvektor eingetragen.

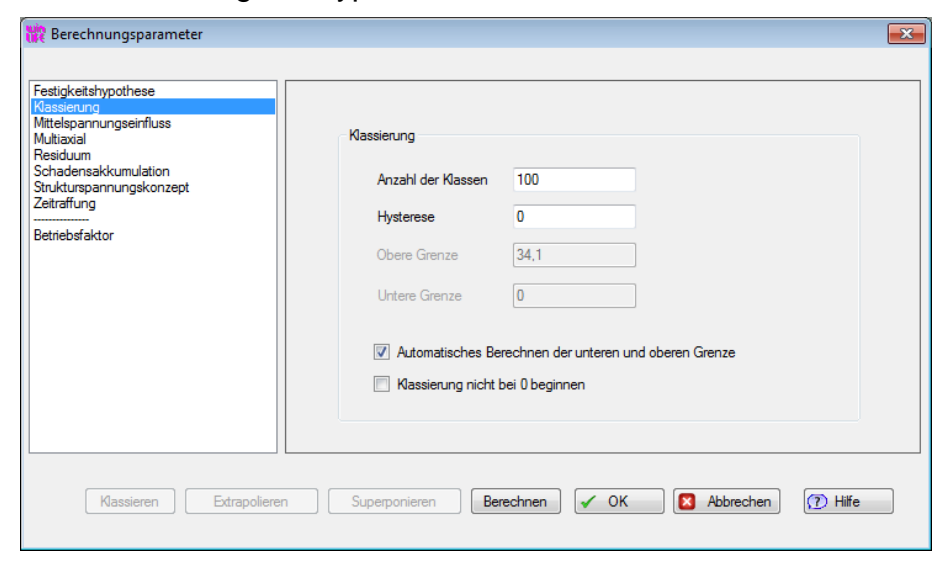


Angaben im FE-Schnittstellendialog

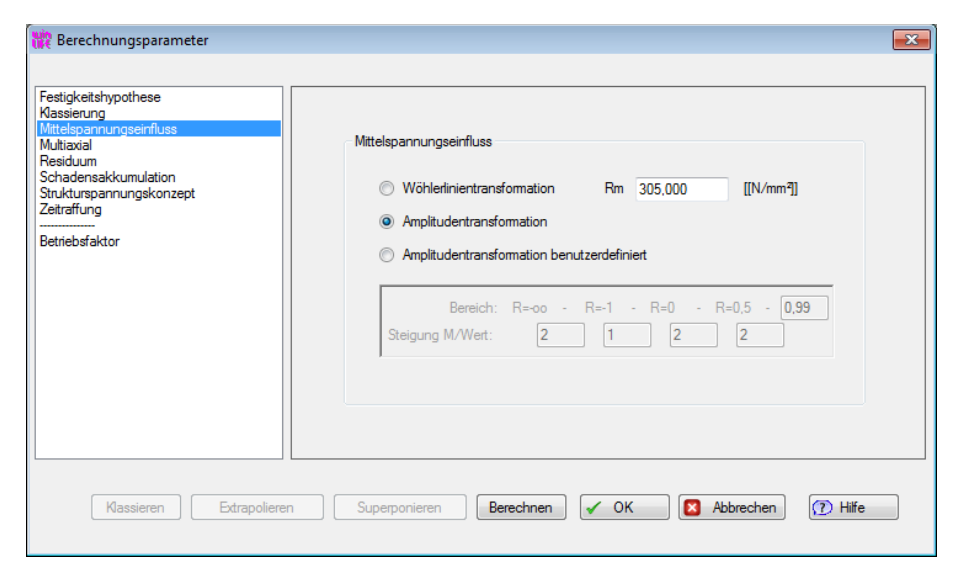
Die folgenden Abbildungen zeigen die gewählten Angaben und Optionen als Berechnungsparameter.



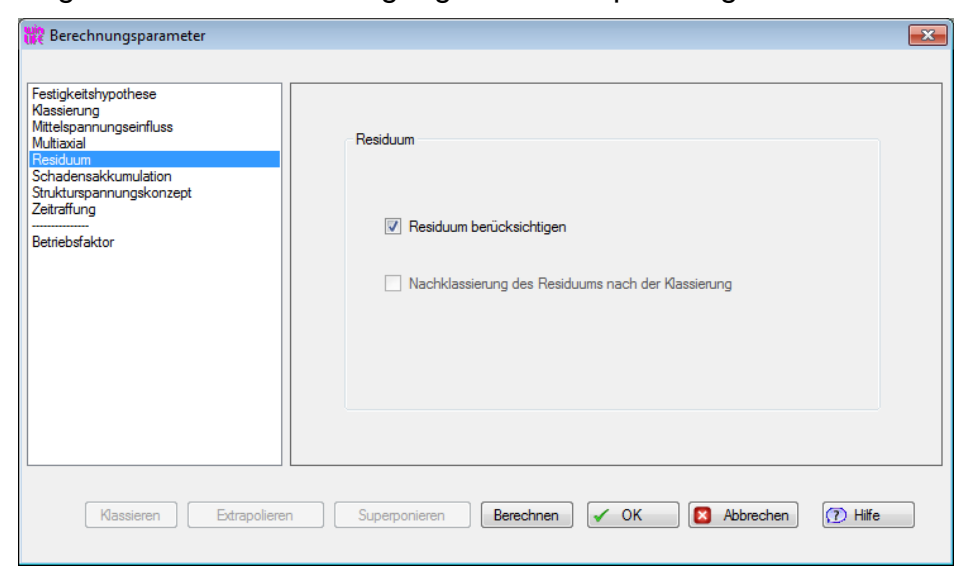
Wahl der Festigkeitshypothese



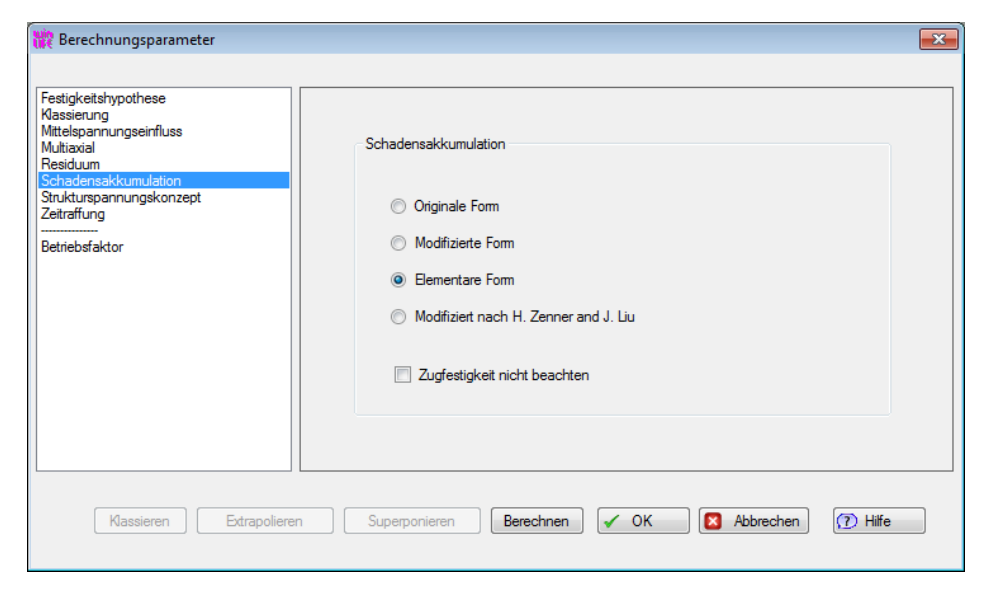
Angaben zur Klassierung



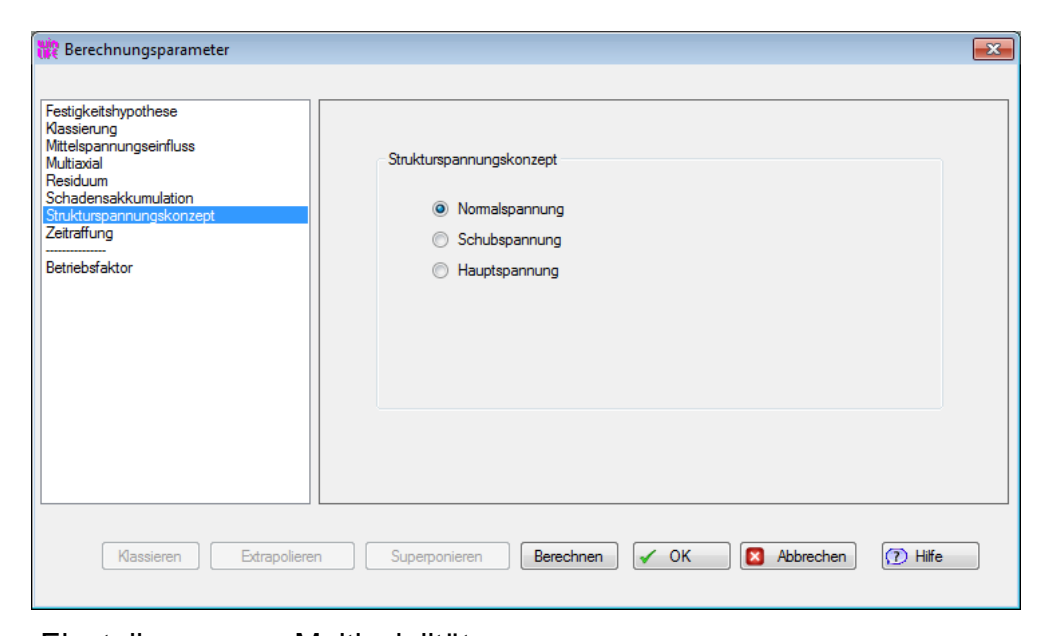
Angaben zur Berücksichtigung des Mittelspannungseinflusses



Berücksichtigung des Residuums

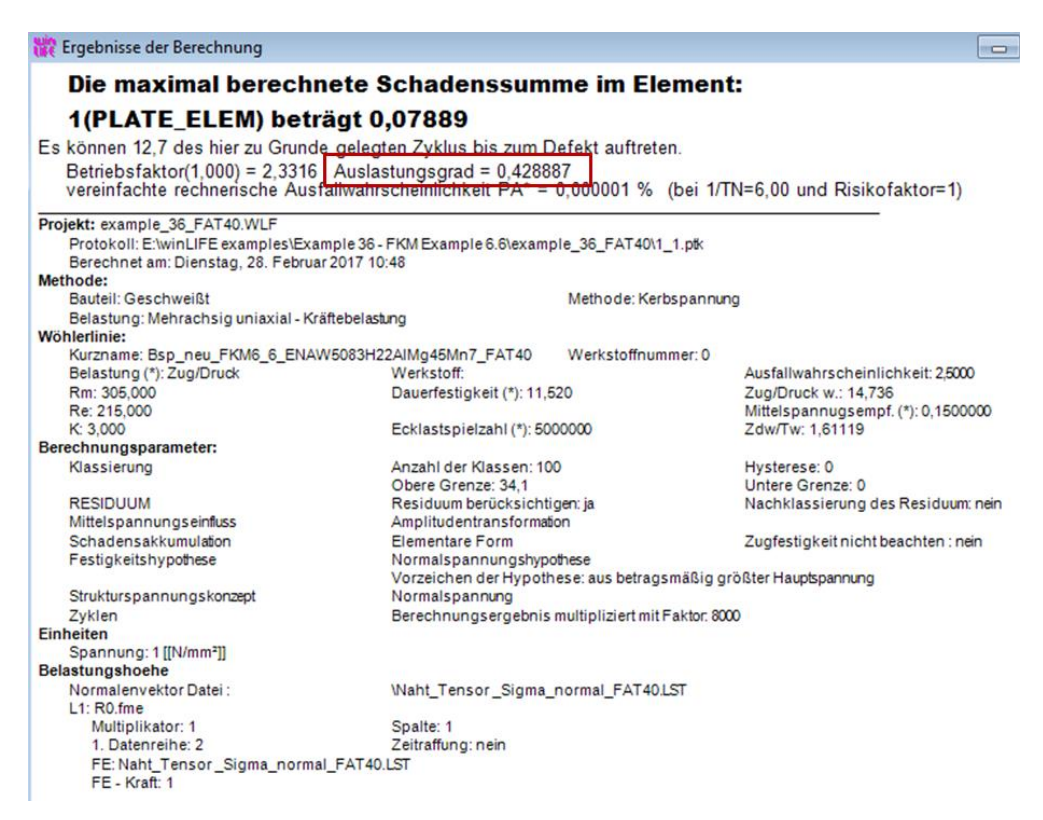


Einstellungen zur Schadensakkumulation



Einstellungen zur Multiaxialität

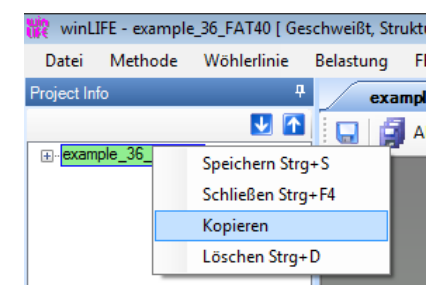
Nun wird die Festigkeitsberechnung durchgeführt durch Klicken auf den Button Berechnen. Der Auslastungsgrad für die Spannung senkrecht σ_{\perp} beträgt ca. 43%.



Ergebnis des Auslastungsgrads, Spannung senkrecht

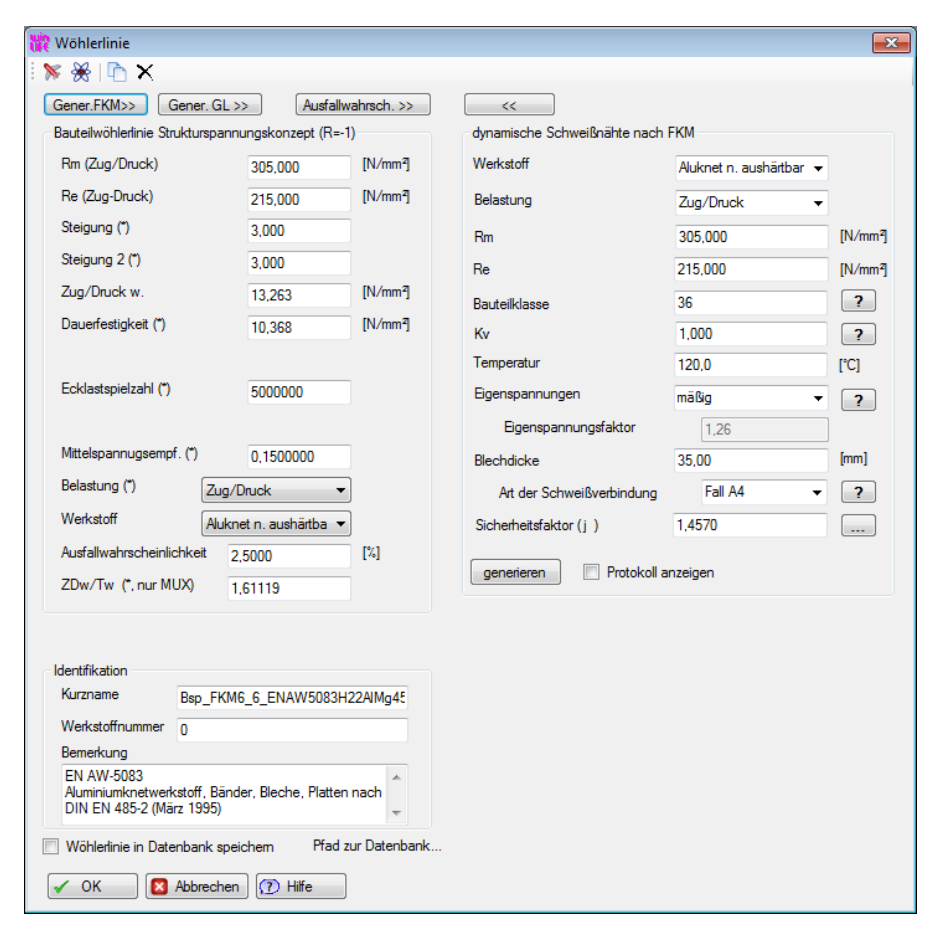
37.12. Auswertung der Spannung $\sigma_{||}$

Die parallel wirkende Spannung $\sigma_{||}$ wird wie anfangs erwähnt in einem eigenen Projekt berücksichtigt. Es ist hilfreich aus dem vorhandenen Projekt eine Kopie zu erzeugen. Dazu wird über die rechte Maustaste das Kontextmenü aufgerufen und der Befehl *Kopieren* verwendet. Den Projektnamen wählt man z.B. in Anlehnung zu dem ersten Projekt: $example_36_Sigma_parallel.wlf$



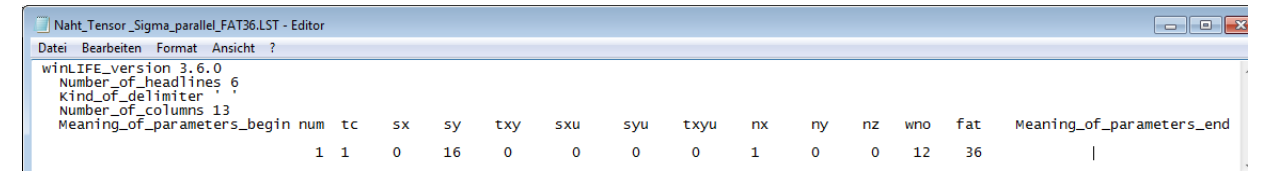
Anlegen einer Projektkopie

Die Wöhlerlinie wird hinsichtlich der Bauteilklasse zu 36 verändert. Es wird die Schaltfläche generieren geklickt.

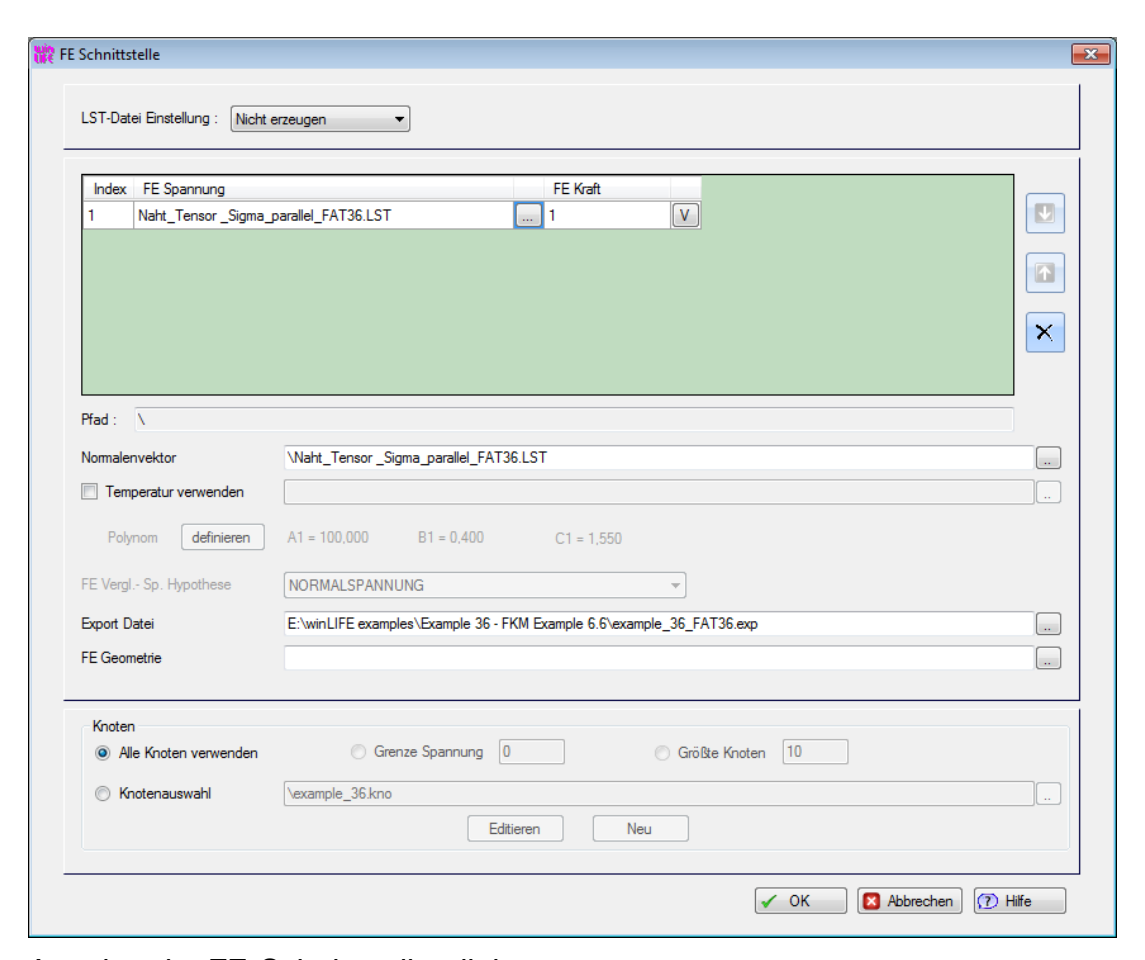


Wöhlerlinienerzeugung für die FAT-Klasse 36

Die örtliche Spannung am Nachweispunkt liegt in folgender LST-Datei vor:



Angabe der örtlichen Spannung



Angaben im FE-Schnittstellendialog

Die Lebensdauerberechnung wird durchgeführt.

Berechnen → Lebensdauer berechnen

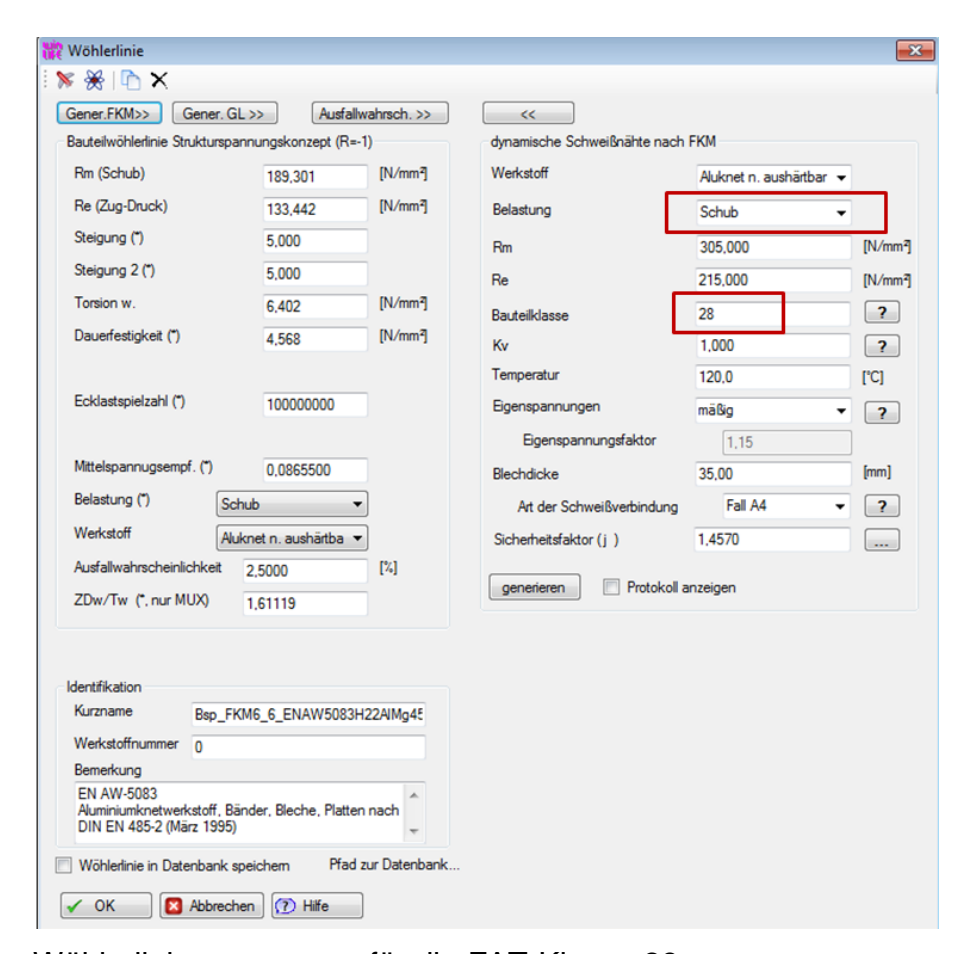
Es ergibt sich ein Auslastungsgrad von 23% (Abbildung unten).



Berechnungergebnis, Spannung parallel

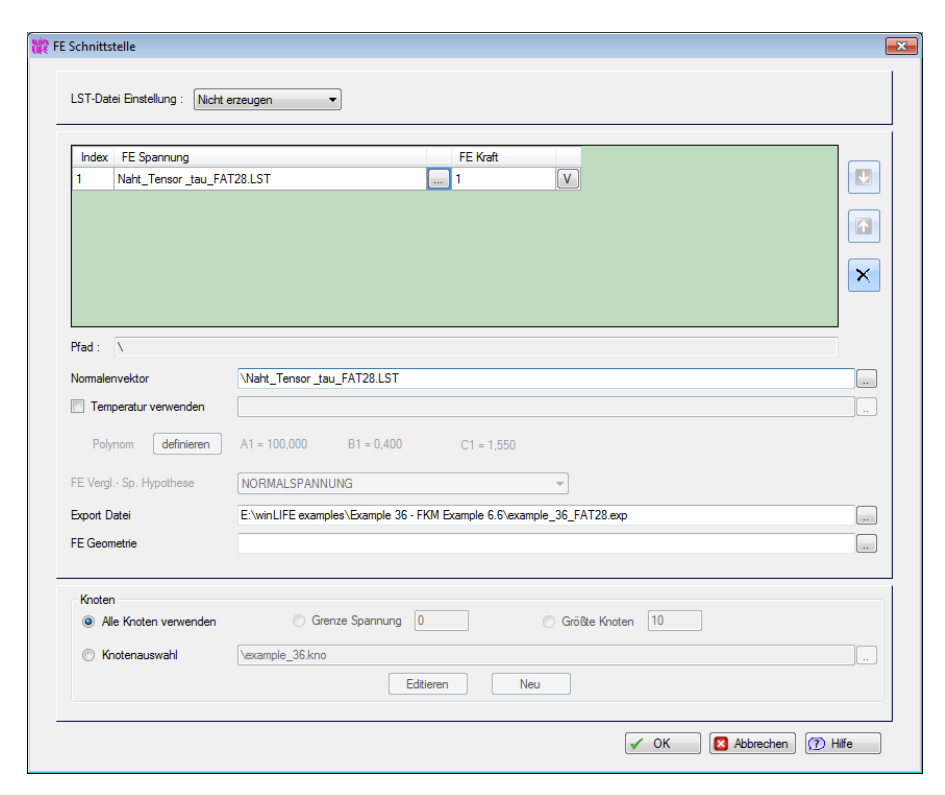
37.13. Auswertung der Schubspannung

Es wird erneut eine Projektkopie erzeugt die Wöhlerlinie modifiziert. Die Belastung ist jetzt Schub und die FAT-Klasse (Bauteilklasse) beträgt 28.



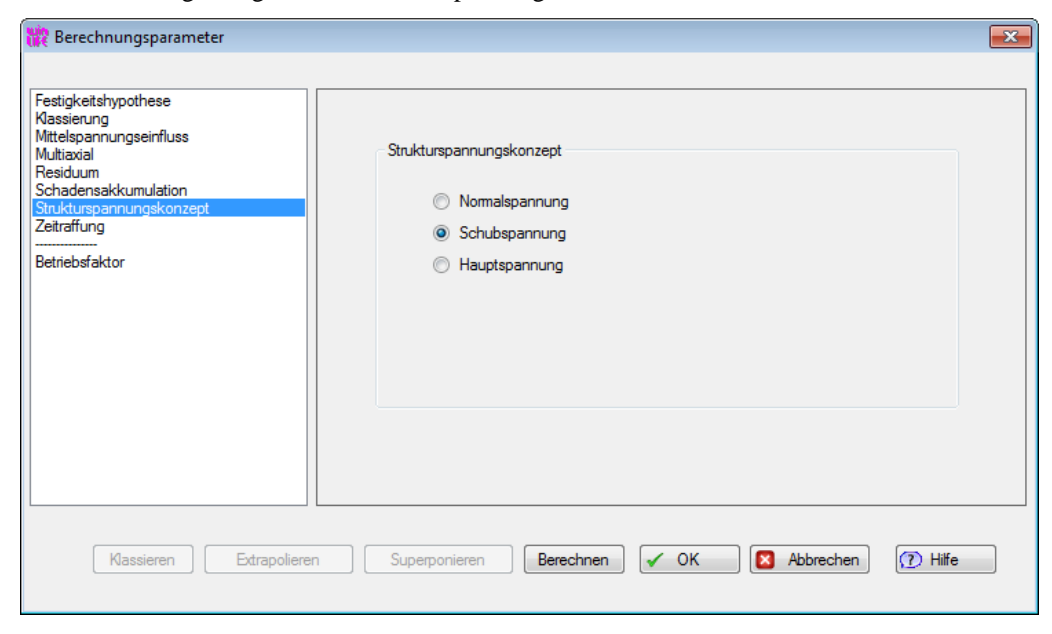
Wöhlerlinienerzeugung für die FAT-Klasse 28

Der Spannungstensor für die Schubbelastung wird eingetragen. Ebenfalls ist diese Datei unter Normalenvektor auszuwählen.



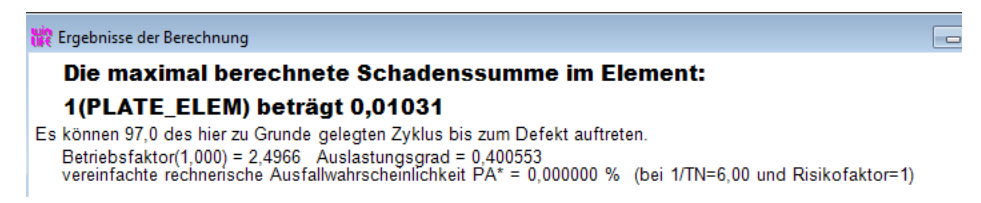
Angaben im Fenster FE-Schnittstelle

Die Auswertung erfolgt nach der Schubspannung.



Multiaxialität, Wahl der Schubspannung

Für den Auslastungsgrad ergibt sich ca. 40%.



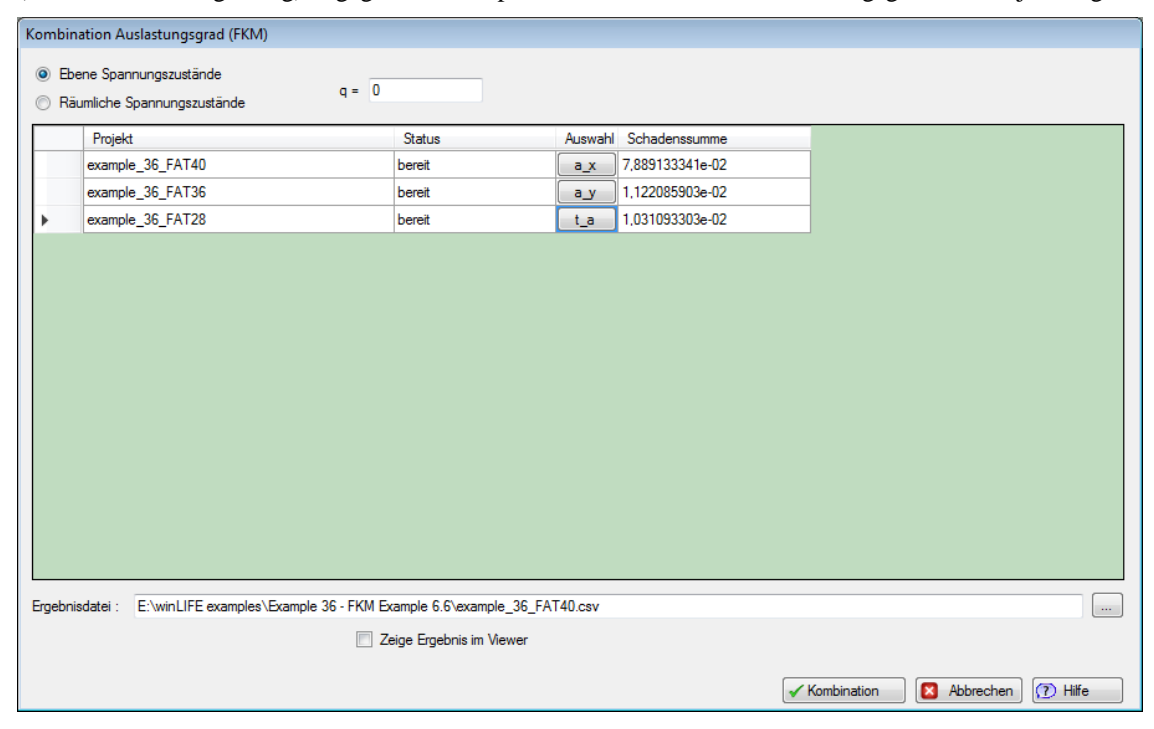
Berechnungsergebnis für die Schubspannung

37.14. Ergebnis

Die einzelnen Auslastungsgrade werden zu einem Vergleichsauslastungsgrad zusammengefasst.

Menü Extras → Kombination Auslastungsgrad (FKM)

Die Werkstoffkonstante q ist für die Schweißnahtauswertung nicht erforderlich. Es ist dennoch für q der Wert null (Aluminiumknetlegierung) angegeben. Die Spalte Auswahl stellt die Auslastungsgrade in die jeweiligen Richtungen dar.



Kombination der Auslastungsgrade

Es ergibt sich ein Gesamtauslastungsgrad für die Ermüdungsfestigkeit von 74%. Damit wird der Wert aus der FKM-Richtlinie von 73% bestätigt.

```
- - X
Kombination Auslastungsgrad (FKM)
                     E:\winLIFE examples\Example 36 - FKM Example 6.6\example_36_FAT40.exp
E:\winLIFE examples\Example 36 - FKM Example 6.6\example_36_FAT36.exp
E:\winLIFE examples\Example 36 - FKM Example 6.6\example_36_FAT28.exp
      а_у
      t_a
                     0,0000
         q
                                                           t_a
0,4006
                                          a_y
0,2239
                                                                             a_GH
0,5463
                                                                                                 A_NH
                                                                                                                 a komb
                              a_x
                                                                                                                 0,5463
         1 12
                         0,4289
                                                                                               0,7398
```

Ergebnis Gesamtauslastungsgrad

38. Beispiel 40 / Superposition

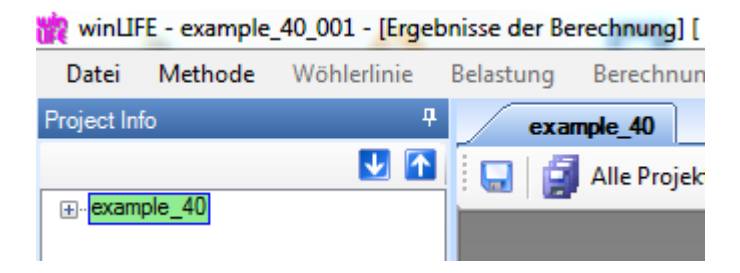
Aufgabenstellung

Oftmals werden Kurzzeitmessungen unter verschiedenen Bedingungen durchgeführt, die nachträglich zu einem Gesamtereignis zusammengefaßt werden sollen. Beispiel ist ein Kraftfahrzeug, das auf verschiedenen Straßenarten (Landstraße, Autobahn, Feldweg) eingesetzt wird und für das man eine Aussage über die Gesamtschädigung über eine Gesamtstrecke machen möchte.

Es müssen dann diese Einzelmessungen entsprechend ihrem Anteil an der Gesamtstrecke skaliert und anschließend addiert werden. Genau dies passiert bei der Superposition.

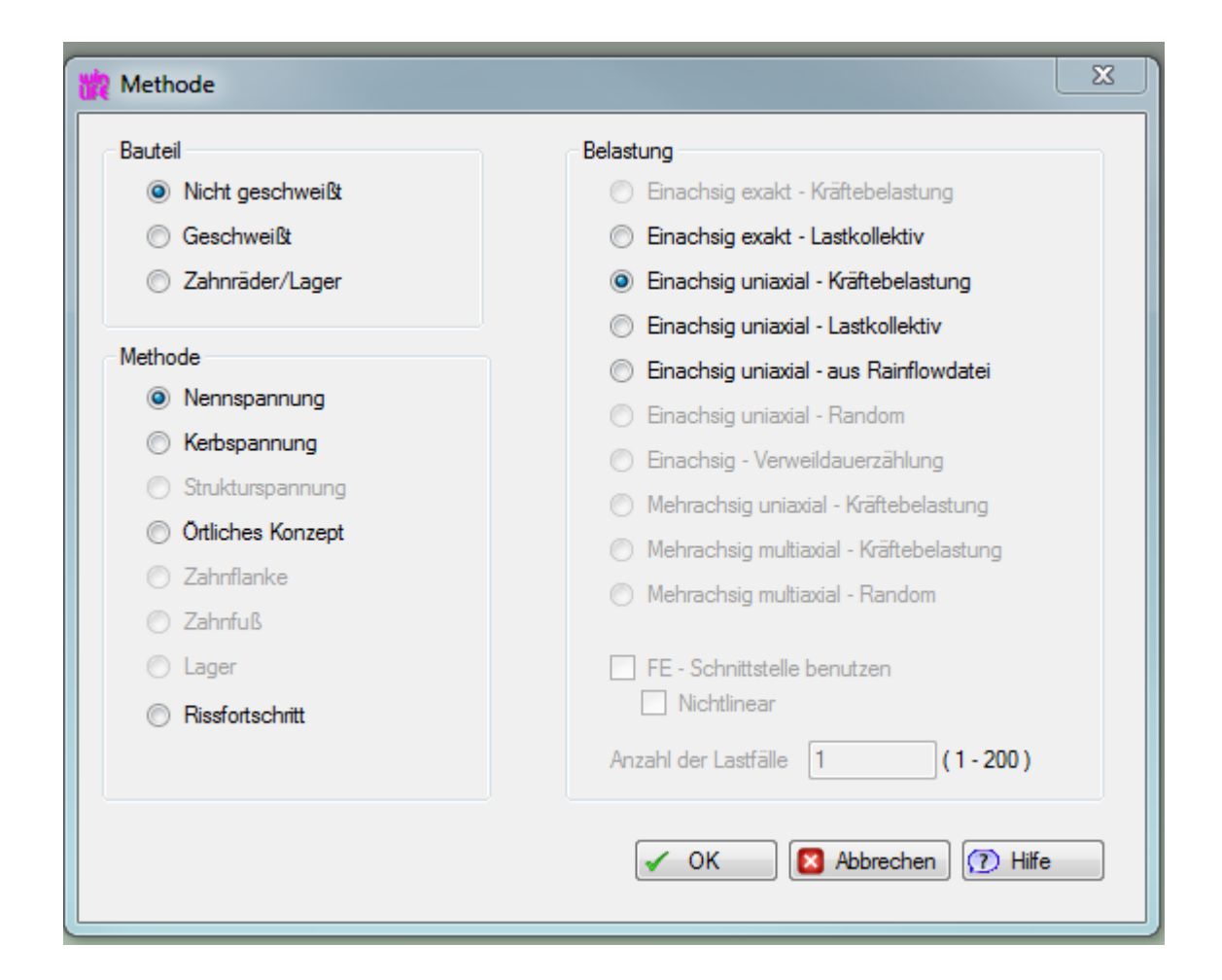
38.2. Projekt

Es wird ein Projekt mit dem Namen example_40 angelegt. Dies erscheint dann im Datenbaum und als Reiter.



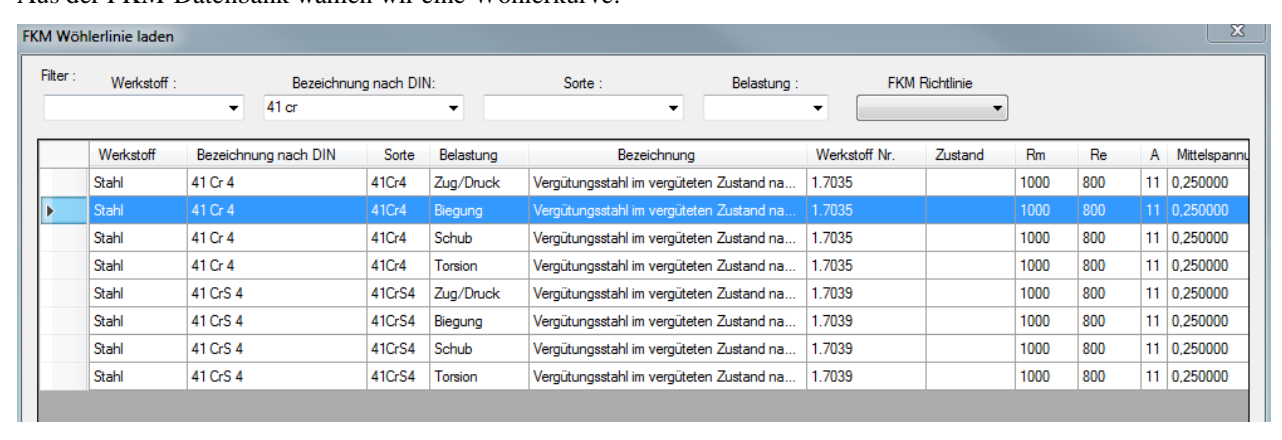
38.3. Methode wählen

Wir wählen folgende Parameter für die Methode:



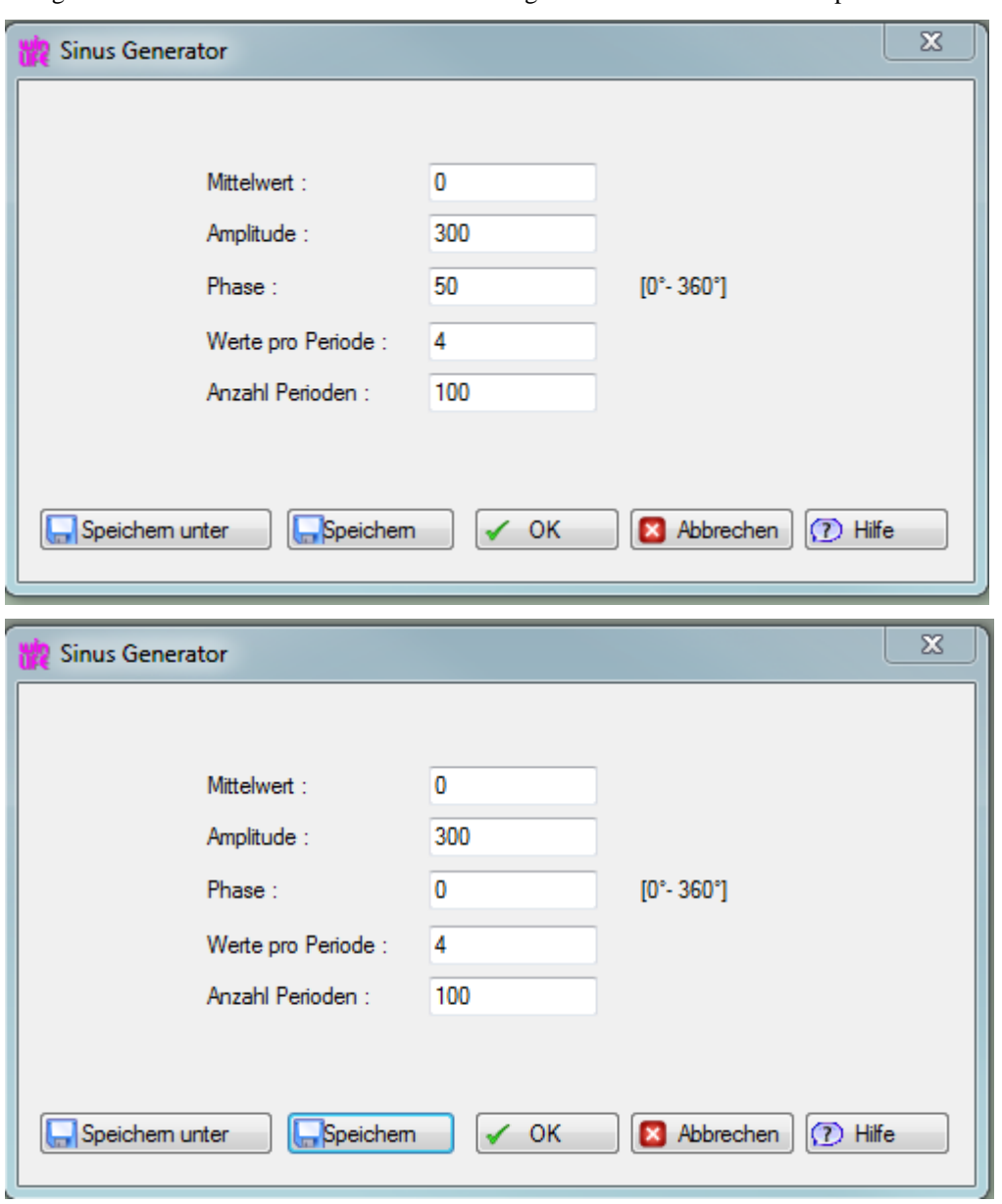
38.4. Wöhlerkurve

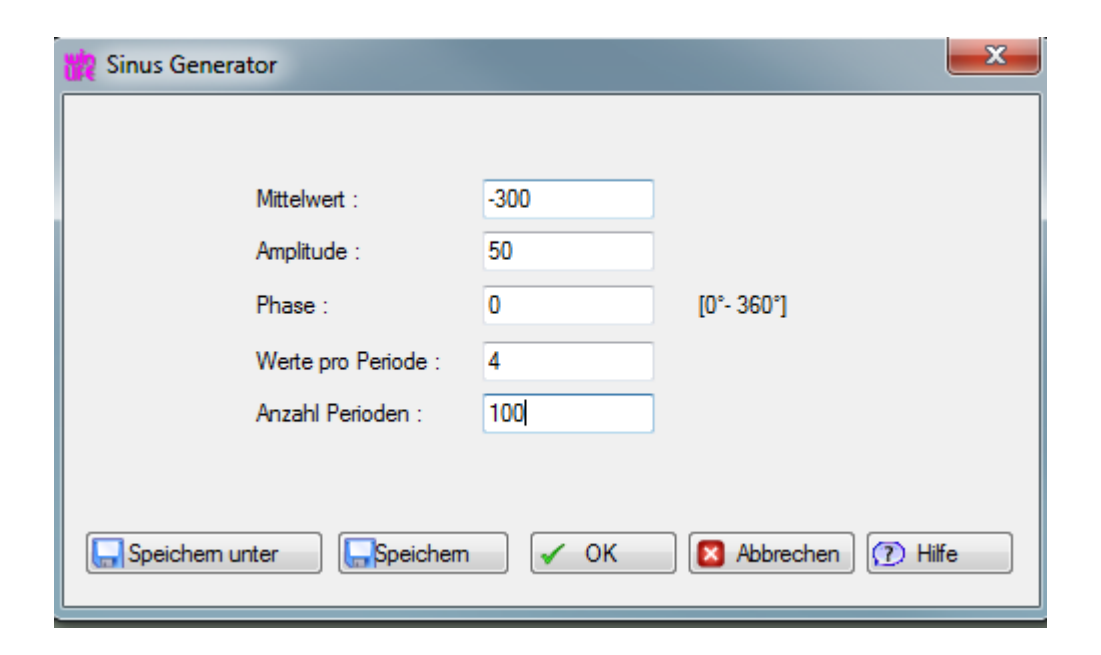
Aus der FKM-Datenbank wählen wir eine Wöhlerkurve:



38.5. Generierung der Lastdateien

Wir generieren drei Lastdateien unter Verwendung des Sinus-Generators und Speichern sie ab.

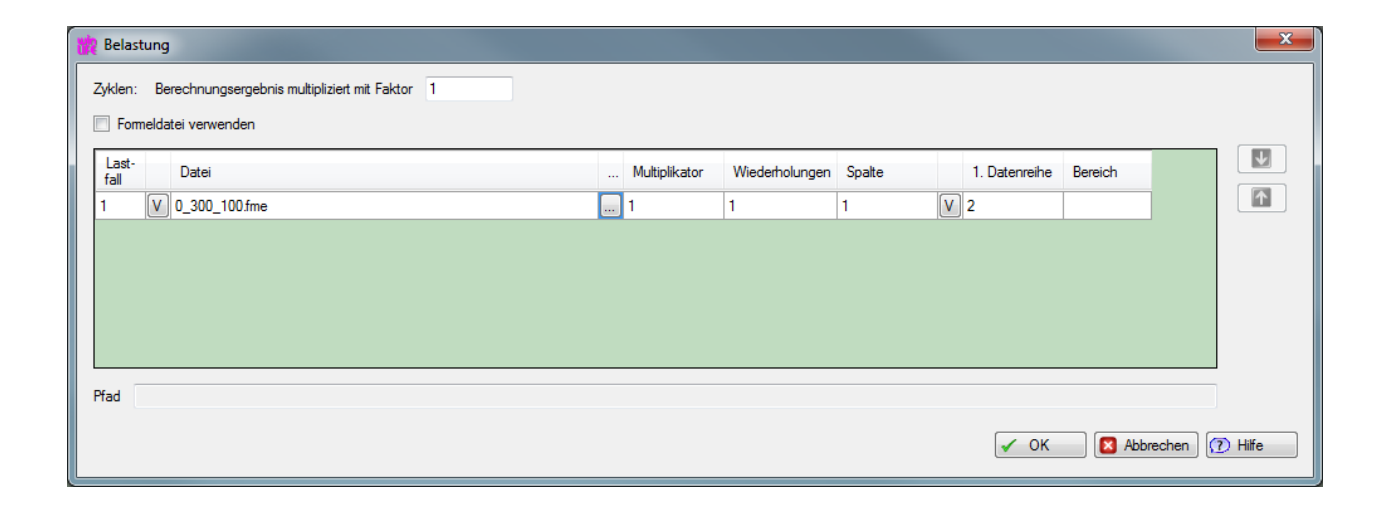




Der Dateimanager zeigt uns die so erzeugten Dateien an.

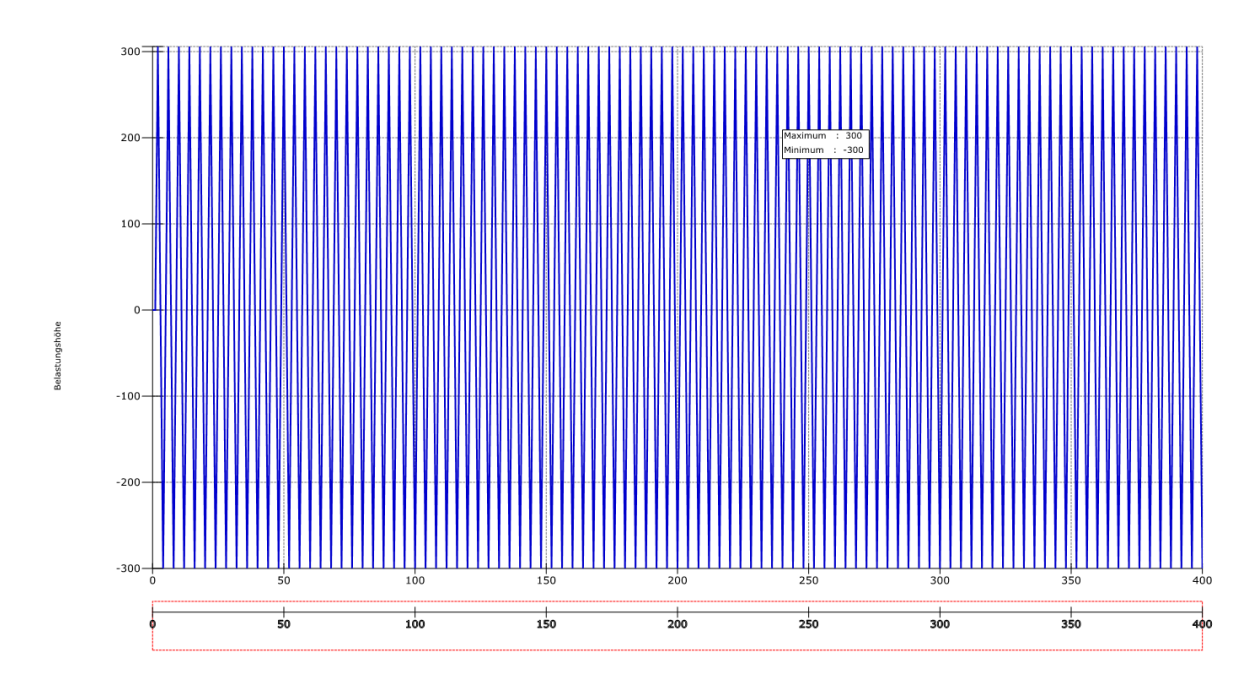


Wir laden für unser aktuelles Projekt die Datei

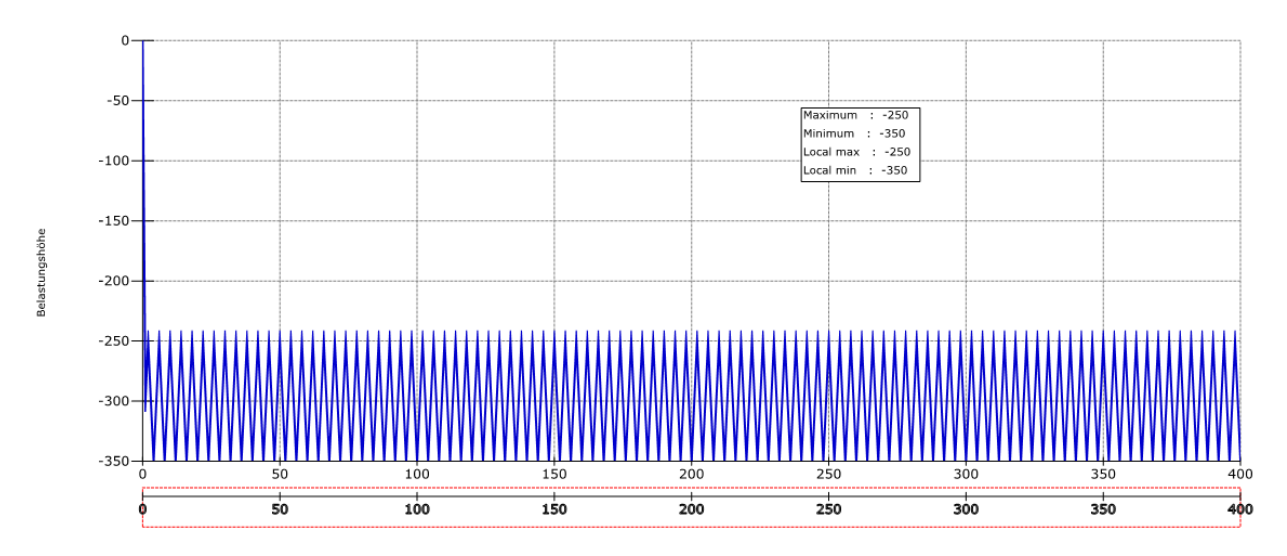


Und lassen die Grafik anzeigen.

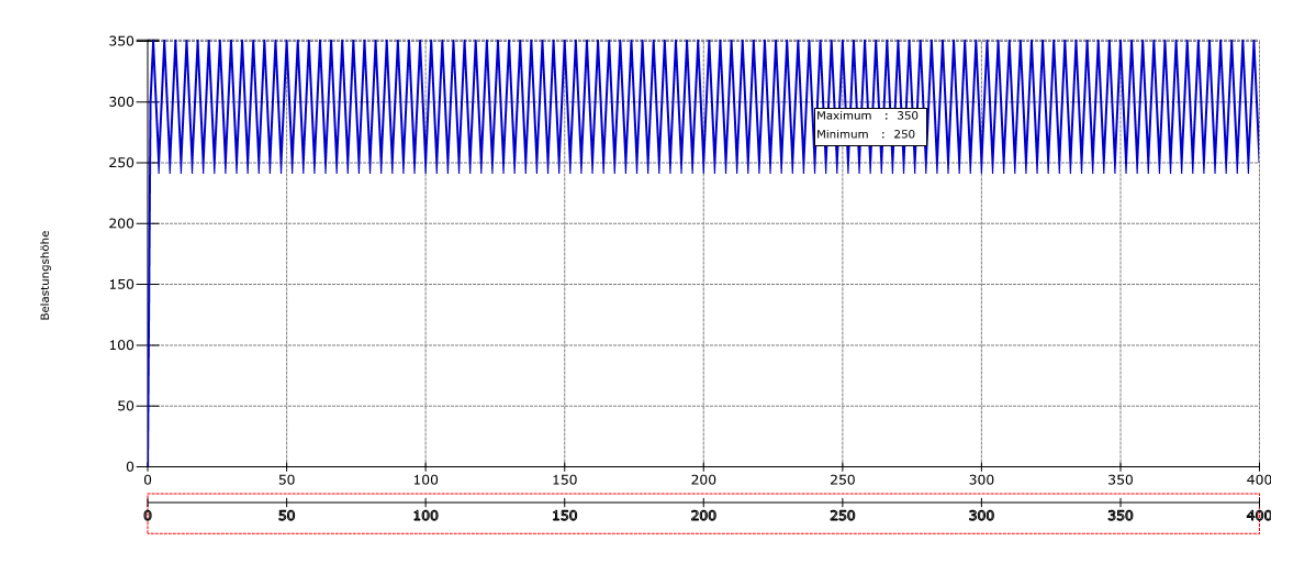
1 0_300_100.fme (1)



1 -300_50_100.fme (1)



1 300_50_100.fme (1)

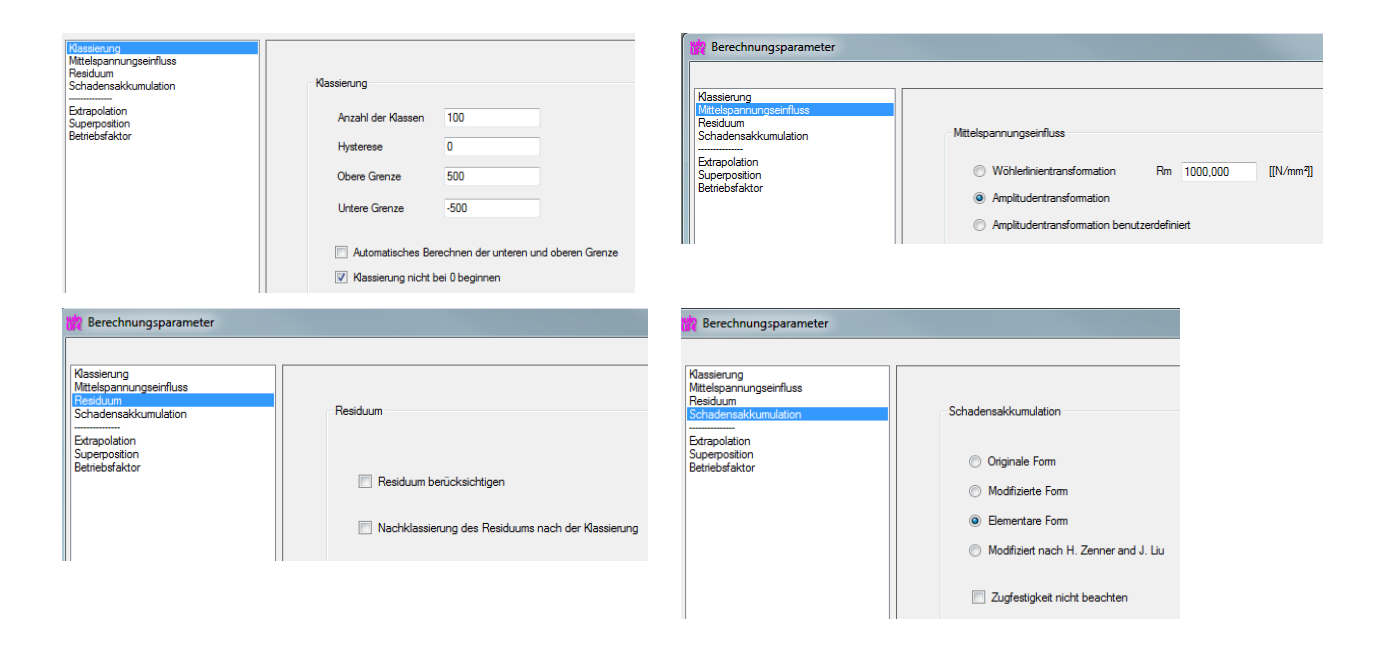


38.6. Kopie des Projektes

Das Projekt soll nun kopiert werden, dazu müssen wir aber zunächst eine Berechnung durchführen. Im Menü

Berechnung / Parameter

Wählen wir aus und machen den folgenden Eingaben:



Und klicken dann auf



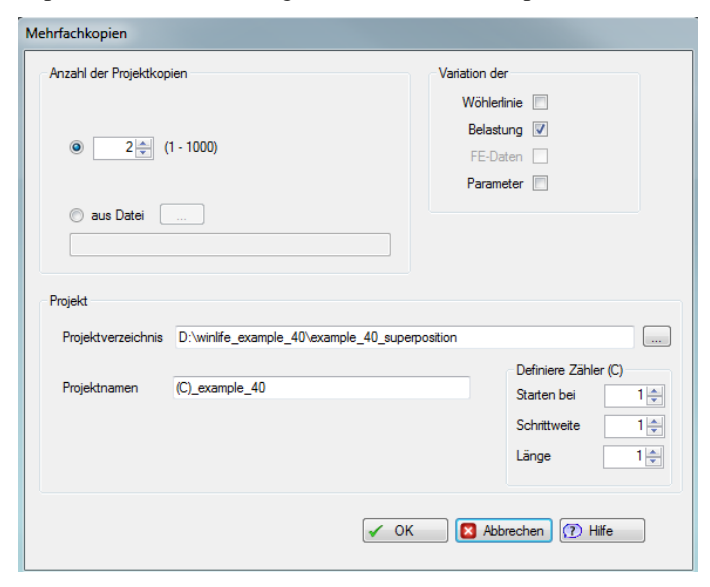
Und es erscheint:



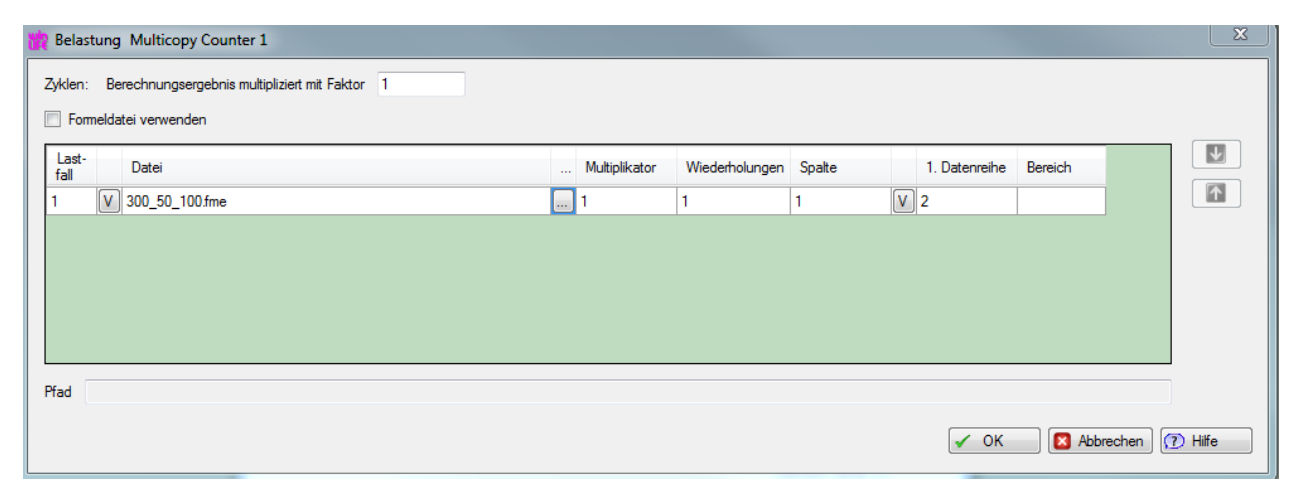
Das Projekt wird nun mit dem Befehl aus dem Menü

Datei /Kopie mehrfach

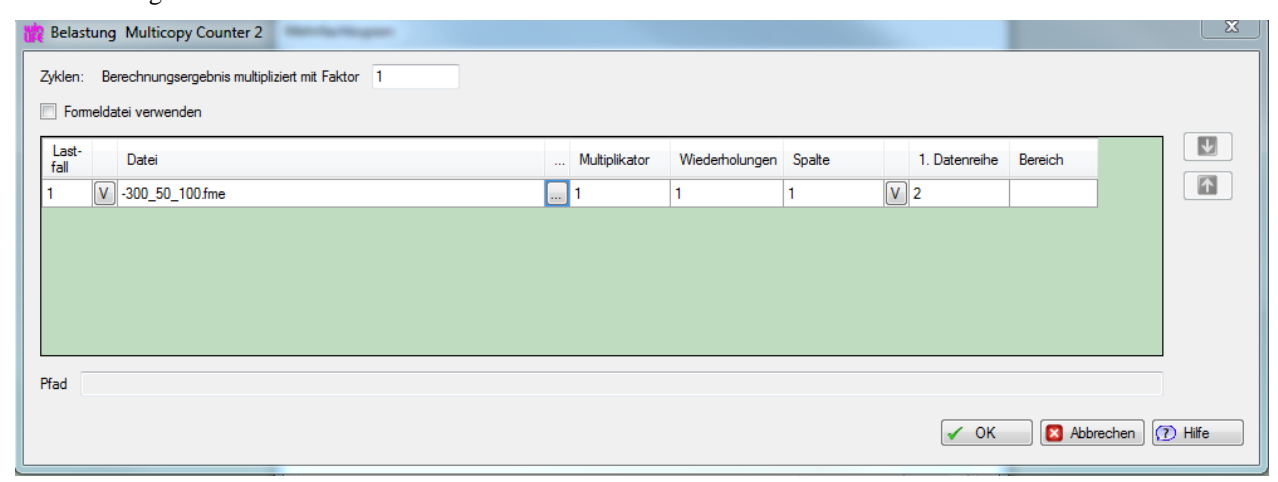
kopiert. In der Maske tragen wir für Anzahl Kopien 2 ein, markieren das Kästchen Belastung uns drücken OK.



Es erscheint folgende Eingabemaske in der wir die Datei 300_50_100.fme auswählen.



Anschließend wählen wir OK und es erscheint eine neue Maske (Counter 2) s. oben. Hier wählen wir eine andere Daeti der Belastung.



Nach dem Drücken von OK schließt sich das Fenster und auf dem Bildschirm existieren nun drei Projekte:



Das grün markierte Projekt ist berechnet, die gelb markierten Projekte sind noch nicht berechnet.

38.7. Superposition

Wir markieren das Projekt example_40 und kopieren dieses mit dem Befehl

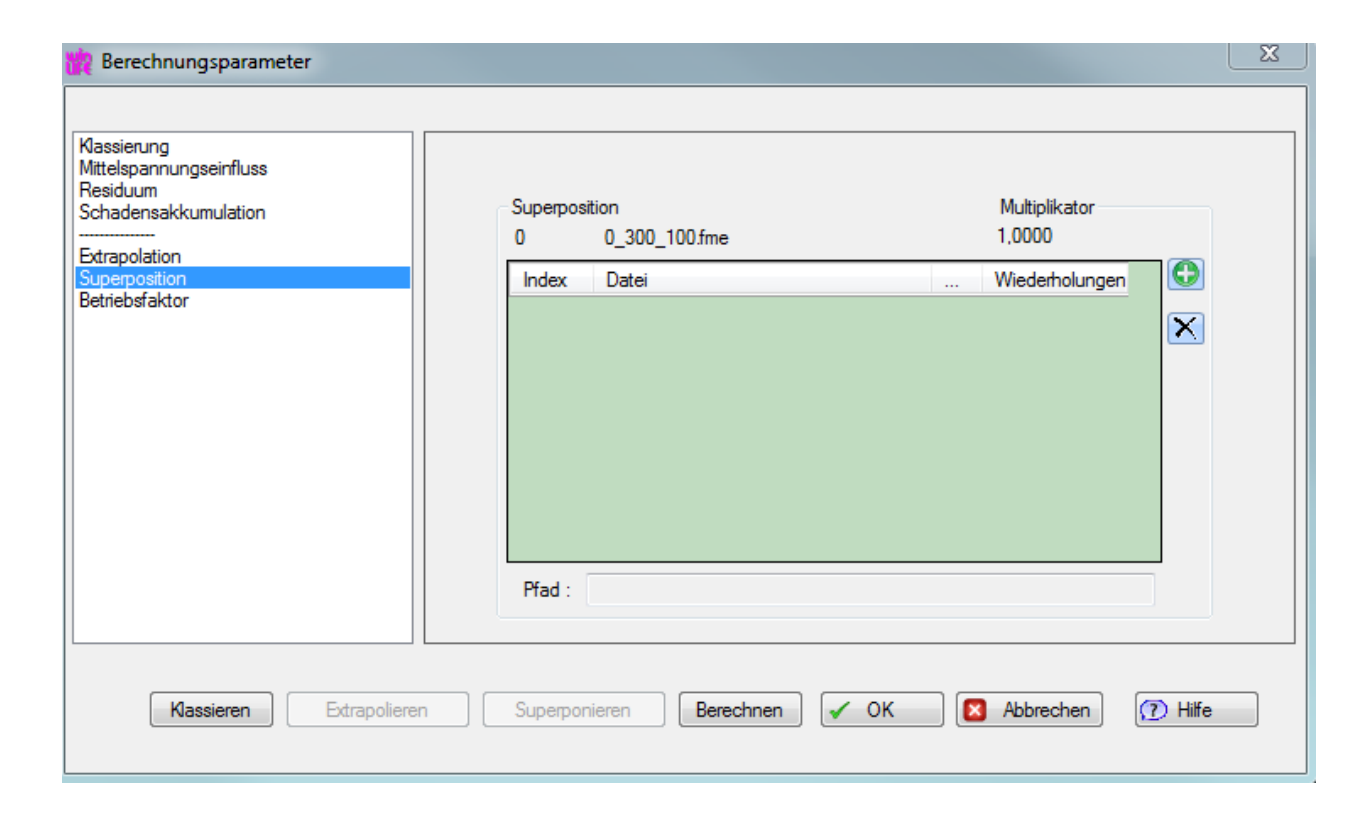
Datei / Kopie (nur Einstellungen)

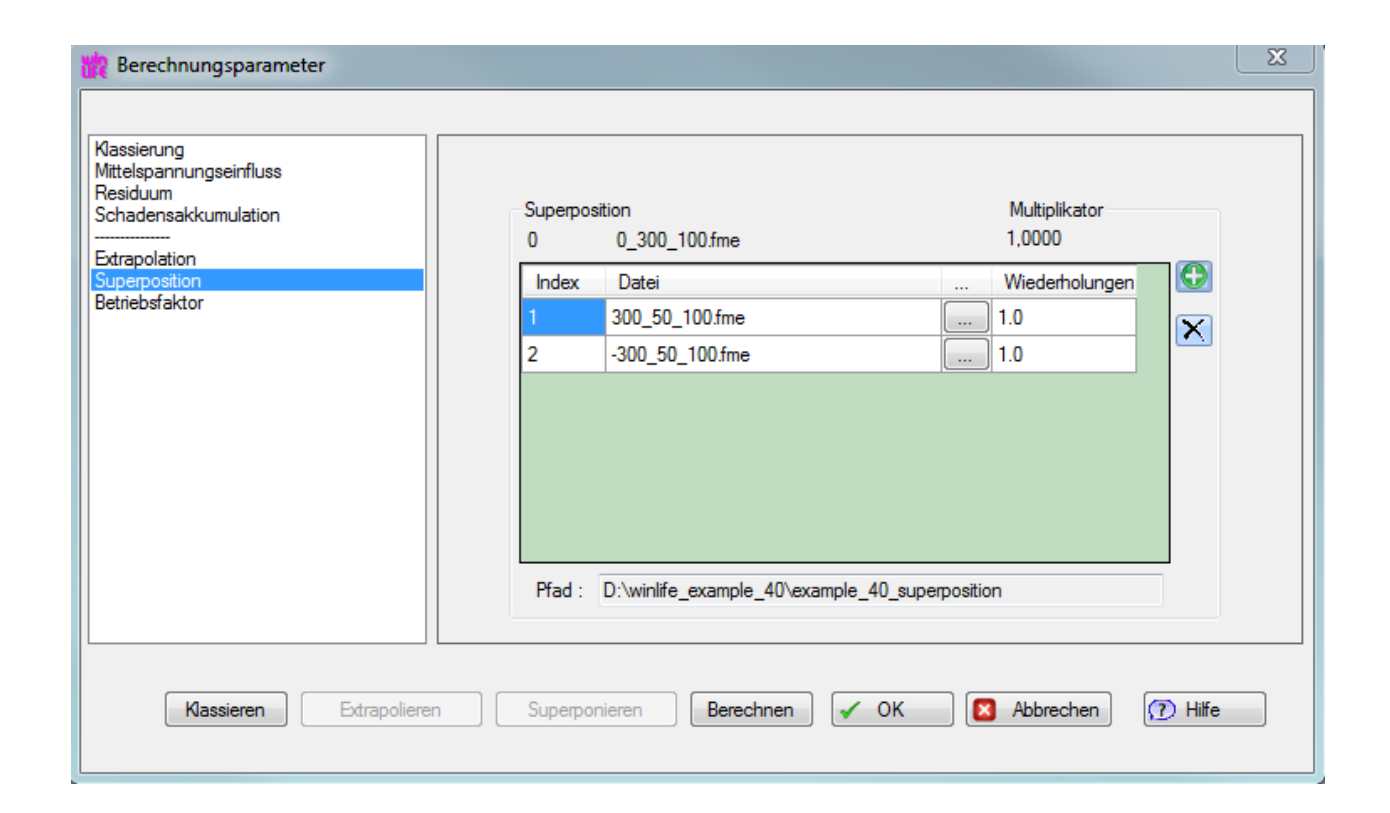


Wir wählen im Menü

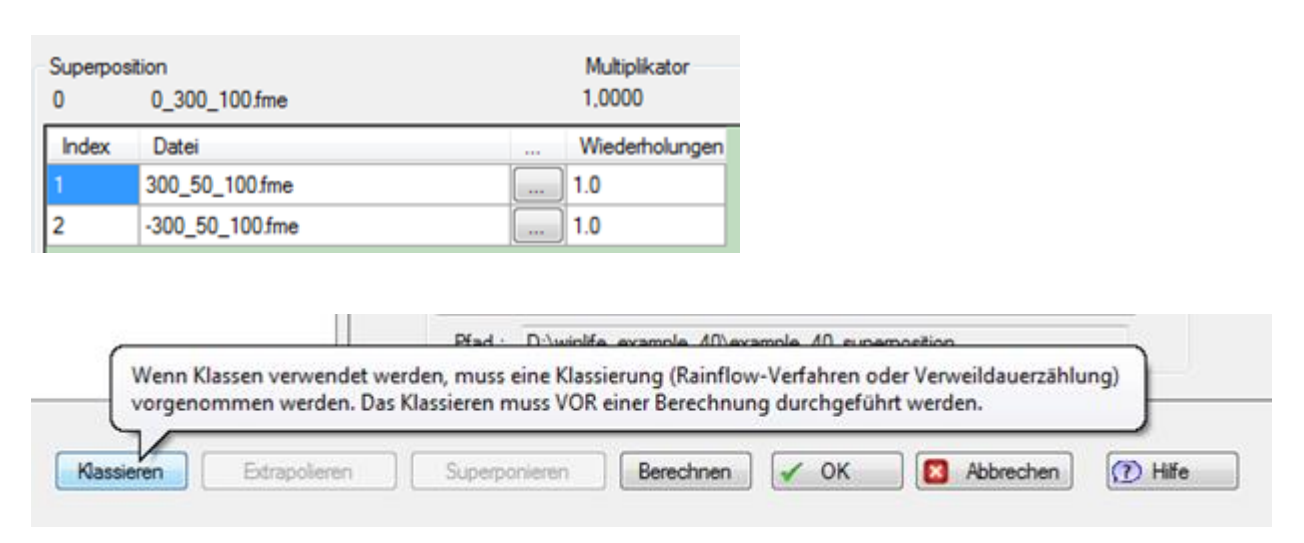
Berechnung / Parameter / Superposition

Und die folgende Maske erscheint:





Wichtig ist nun die korrekte Bedienung des Programms. Auf dien oben aufgeführte Datei unter Überschrift Superposition werden die anderen darunter aufgeführten Dateien aufsummiert. Voruassetzung ist, dass für diese Dateien eine Rainflow-Klassierung durchgeführt wurde. Rainflow-Klassierungen werden für alle in der Liste aufgeführten Dateien erzeugt, wenn der Button Klassieren betätigt wird.



Wir klicken also auf Klassieren, anschließend auf Superponieren und dann auf Berechnen.

Als Ergebnis erhalten wir

👸 Ergebnisse der Berechnung

Die maximal berechnete Schadenssumme beträgt 9,59978e-06

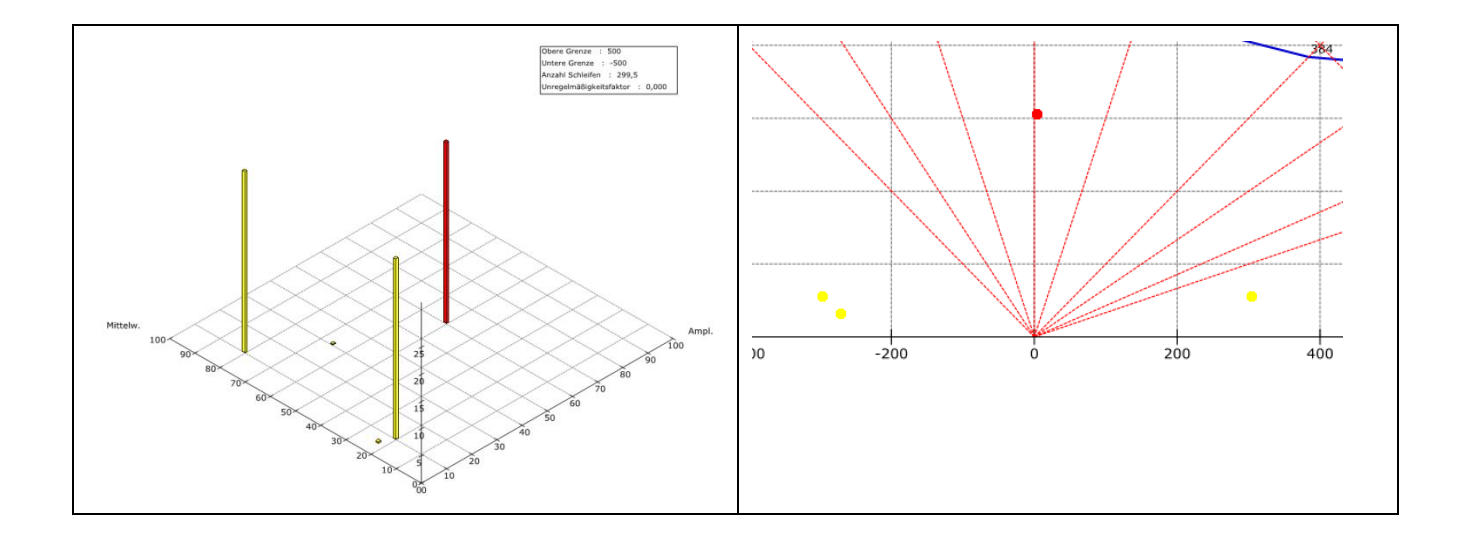
Es können 1,0417e05 des hier zu Grunde gelegten Zyklus bis zum Defekt auftreten.

Betriebsfaktor(1,000) = 3,3222 Auslastungsgrad = 0,301001

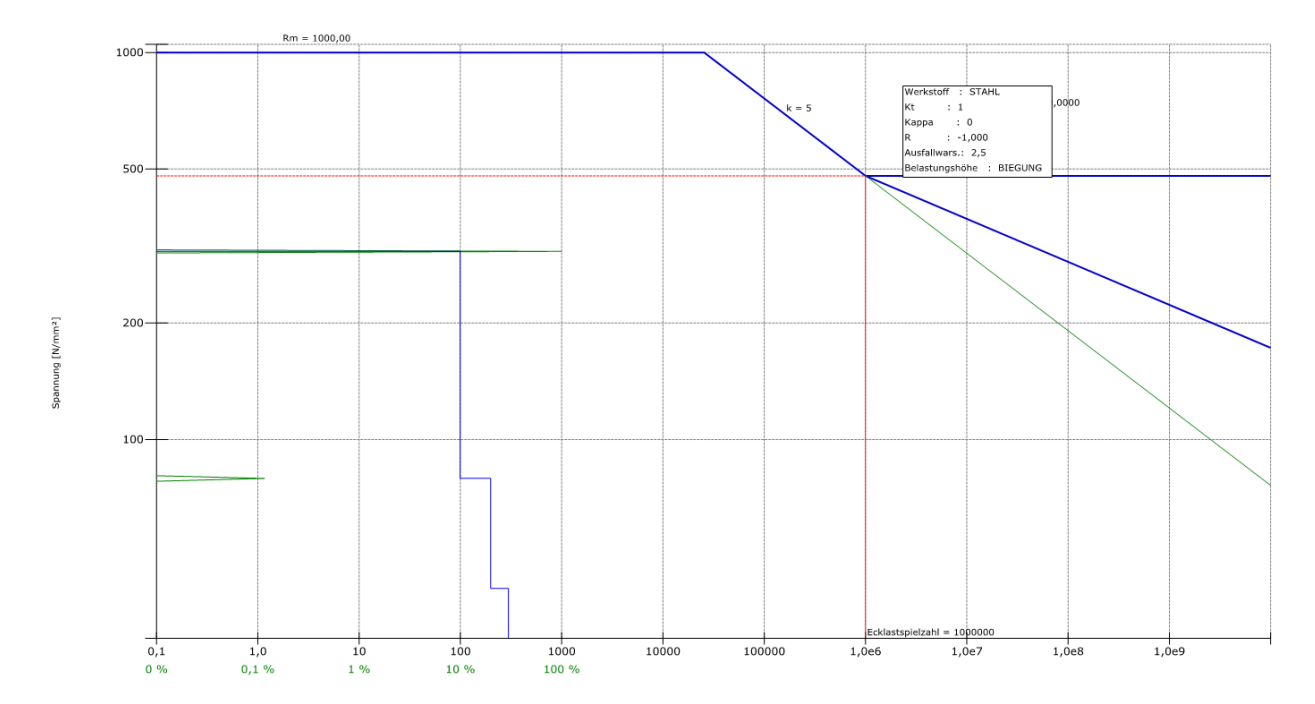
vereinfachte rechnerische Ausfallwahrscheinlichkeit PA* = 0,000000 % (bei 1/TN=6,00 und Risikofaktor=1)

38.8. Ergebnisanalyse

Die Ergebnisanalyse in der Rainflow-Matrix, dem Haigh-Diagramm und der Wöhlerlinie zeigt uns nun, dass alle drei Belastungsstufen vertreten sind.

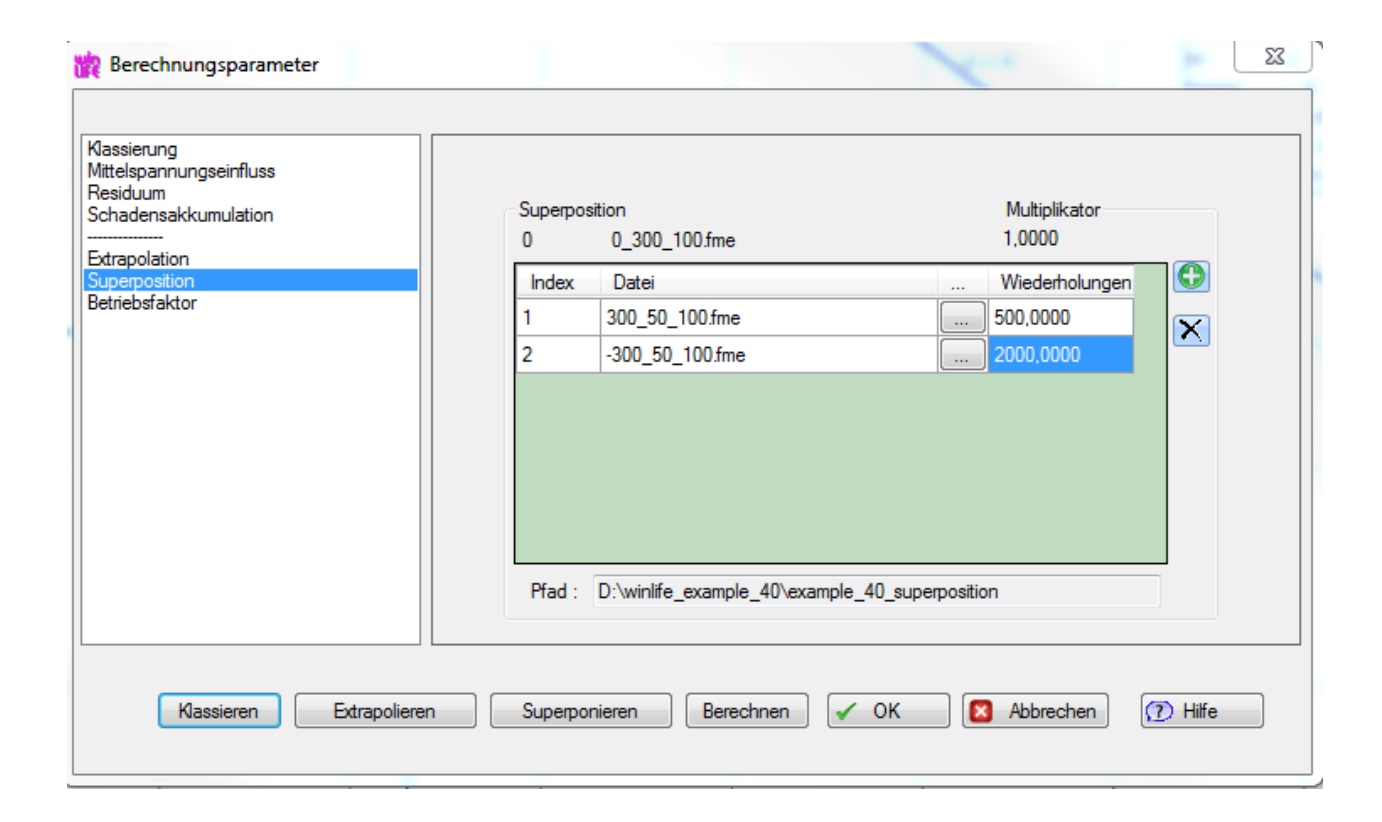


Ausgangswöhlerlinie example_40_superpos

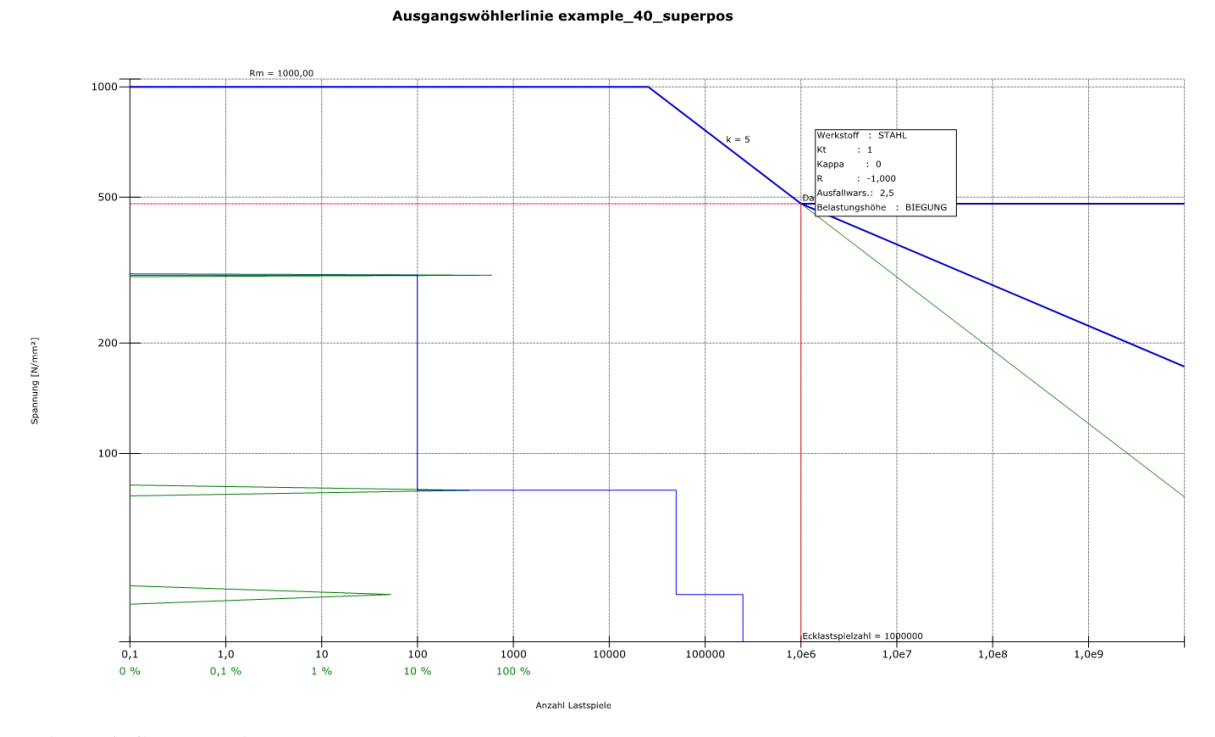


38.9. Parametervariation

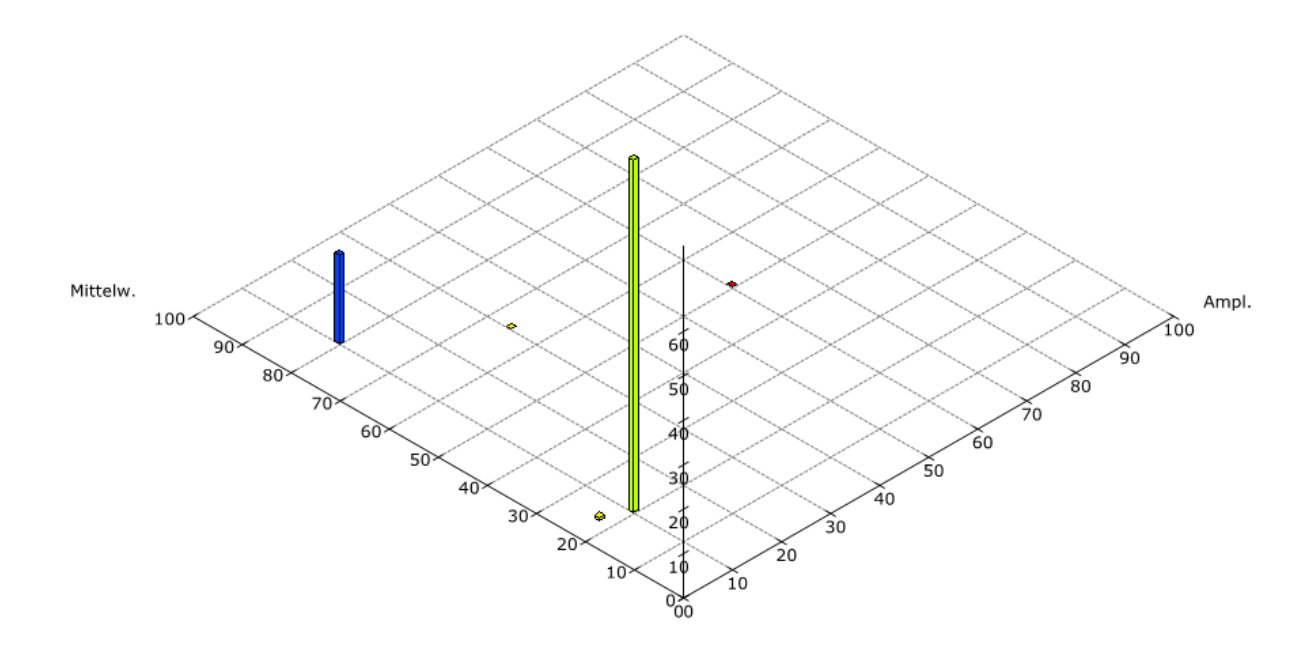
Um den Einfluß der Anteile der einzelnen Lasten zu untersuchen, sollen die Parameter verändert werden.



Es wird hier der Multiplikator auf 500 und 2000 gesetzt. Das Ergebnis sieht man in der Wöhlerlinie mit den Amplituden und



In der Rainflow-Matrix.



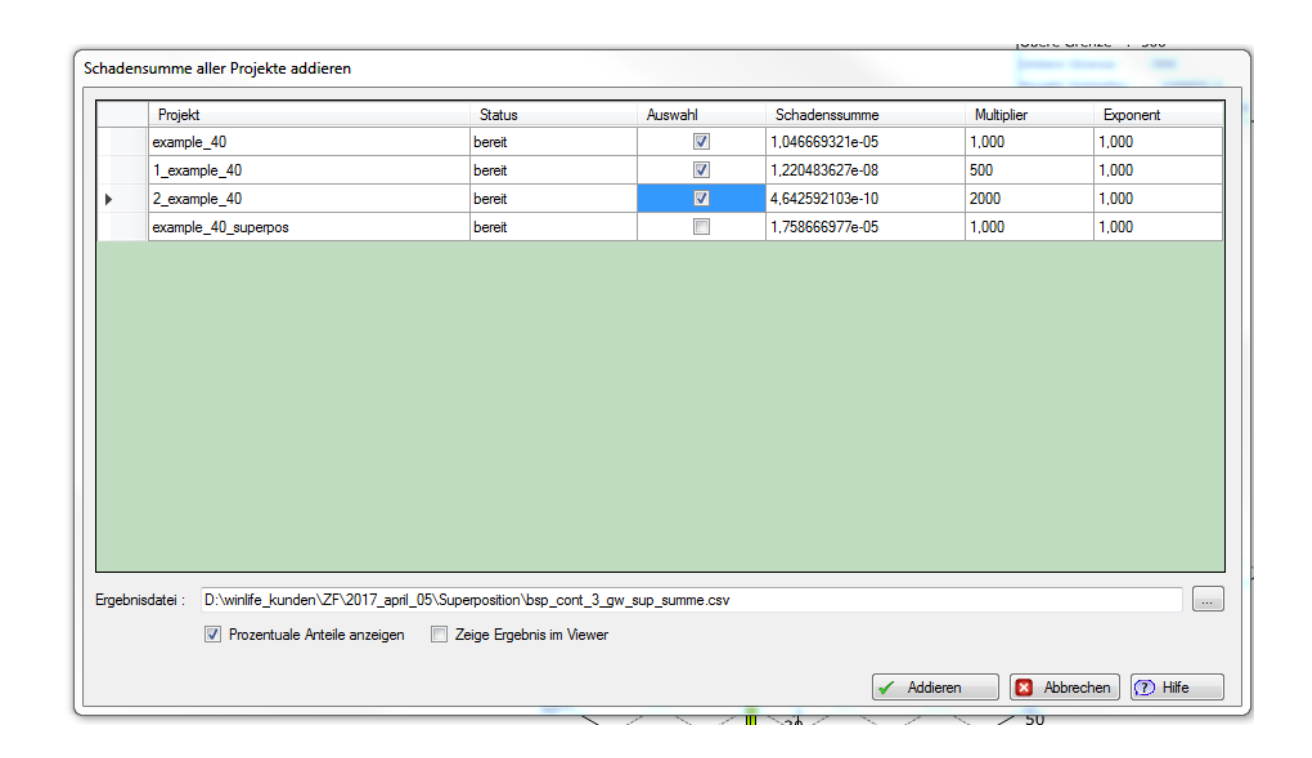
Die maximal berechnete Schadenssumme beträgt 0,000017587

Es können 56861,2 des hier zu Grunde gelegten Zyklus bis zum Defekt auftreten.

Betriebsfaktor(1,000) = 2,7778 Auslastungsgrad = 0,359998
vereinfachte rechnerische Ausfallwahrscheinlichkeit PA* = 0,000000 % (bei 1/TN=6,00 und Risikofaktor=1)

38.10. Alternativmethode Schadenssummen addieren

Statt Superposition kann man die Schadenssummen gewichtet addieren. Dies zeigen die folgenden Bilder und auch das Ergebnis ist annähernd gleich. Man erhält aber bei diesem Vorgehen aber nicht die resultierende Rainflow-Matrix



```
FILES

1,000 x D:\winlife_example_40\example_40_superposition\example_40.exp^1,000_06/04/1
500,000 x D:\winlife_example_40\example_40_superposition\1_example_40.exp^1,000_06/04
2000,000 x D:\winlife_example_40\example_40_superposition\2_example_40.exp^1,000_06/04

DATA

Nr.1 Nr.2 Nr.3
1 1,749763e-05 59,818 34,876 5,307
```

39. Literaturverzeichnis

39.1. Allgemeine Lebensdauerberechnung

- [1] DIN 45667 Klassierverfahren für das Erfassen regelloser Schwingungen
- [2] Haibach: Betriebsfestigkeit, VDI-Verlag; Düsseldorf 1989
- [3] Buxbaum, Otto: Betriebsfestigkeit, Verlag Stahl Eisen; Düsseldorf 1986
- [4] Westermann-Friedrich: Sonderereigniskollektive, kennzeichnende Zeitfunktionen und Kollektive für Anlagen und Arbeitsprozesse. Forschungsvereinigung Antriebstechnik Heft 274, 1988
- [5] Verein deutscher Eisenhüttenleute: Leitfaden für eine Betriebsfestigkeitsrechnung, 2. Auflage; Düsseldorf 1985
- [6] Hück, Manfred; Thrainer, Lorenz; Schütz, Walter: Berechnung von Wöhlerlinien für Bauteile aus Stahl, Stahlguß und Grauguß, Synthetische Wöhlerlinien, Verein deutscher Eisenhüttenleute Arbeitsgemeinschaft Betriebsfestigkeit, Mai 1981, Bericht ABF 11.
- [7] Zammert, W.-U.: Betriebsfestigkeitsberechnung, Vieweg-Verlag; Braunschweig-Wiesbaden 1985, ISBN 3-528-03350-9
- [8] Munz, D: Ermüdungsverhalten metallischer Werkstoffe, Vortragstexte eines Symposiums der Deutschen Gesellschaft für Metallkunde, 1984, Deutsche Gesellschaft für Metallkunde e.V., Adenauerallee 21, Oberursel
- [9] Hertel, H.: Ermüdungsfestigkeit der Konstruktion, Springer-Verlag 1969
- [10] Gumpert, W.: Höhere Festigkeitslehre, Betriebsfestigkeit, 3. Lehrbrief; Lehrbriefe für das Hochschulfernstudium Nr.: 02 1205 03 0; Herausgeber: Zentralstelle für das Hochschulfernstudium Dresden
- [11] Heuler, P.: Anrißlebensdauer bei zufallsartiger Belastung auf der Grundlage örtlicher Beanspruchungen; Institut für Stahlbau und Werkstoffmechanik der TH Darmstadt, Heft 40, 1983

- [12] Bergmann, J.: Zur Betriebsfestigkeit gekerbter Bauteile auf der Grundlage der örtlichen Beanspruchungen; Dissertation TH-Darmstadt 1983
- [13] Krüger, Petersen: Simulation und Extrapolation von Rainflow-Matrizen; Bericht Nr. 8 der Arbeitsgruppe Technomathematik des Fachbereichs Mathematik der Universität Kaiserslautern, Mai 1988
- [14] Chlormann, U. H., Seeger, T: Rainflow-HCM Ein Zählverfahren für Betriebsfestigkeitsnachweise auf werkstoffmechanischer Grundlage. Stahlbau, 55(3), S. 65 71, 1986
- [15] Masing, G.: Eigenspannung und Verfestigung beim Messing. In: Proc. of the 2^{nd} Int. Congress of Applied Mechanics, S. 332-335, 1926
- [16] Smith, K. N., Watson, P., Topper, T. H.: A Stress-Strain Function for the Fatigue of Metals. Journal of Materials, 5 (4), S. 767 768, 1970
- [17] Boller, Chr., Seeger, T.: Materials Data for Cyclic Loading, Part A: Unalloyed Steels, Elsevier Science Publishers B.V.1987, ISBN 0-444-42870-4
- [18] Schön, M., Seeger, T.: Lebensdauerberechnung auf der Basis der Rainflow-Matrix, Technische Hochschule Darmstadt, Fachgebiet Werkstoffmechanik, Vortrag im Haus der Technik 1993
- [19] Radaj, D.: Ermüdungsfestigkeit, Springer-Verlag Berlin Heidelberg New York, ISBN 3-540-58348-3
- [20] Haibach, E.: Betriebsfeste Bauteile, Konstruktionsbücher Band 38, Springer-Verlag Berlin Heidelberg New York, ISBN 3-540-54815-7
- [21] Boller, Chr., Seeger, T.: Materials Data for Cyclic Loading, Part B: Low Alloy Steels, Elsevier Science Publishers B.V.1987, ISBN 0-444-42871-2
- [22] Boller, Chr., Seeger, T.: Materials Data for Cyclic Loading, Part C: High Alloy Steels, Elsevier Science Publishers B.V.1987, ISBN 0-444-42871-0
- [23] Boller, Chr., Seeger, T.: Materials Data for Cyclic Loading, Part D: Aluminium and Titanium Alloys, Elsevier Science Publishers B.V.1987, ISBN 0-444-42873-9
- [24] Boller, Chr., Seeger, T.: Materials Data for Cyclic Loading, Part E: Cast and Welded Metals, Elsevier Science Publishers B.V.1987, ISBN 0-444-42874-7
- [25] Boller, Chr., Seeger, T.: Materials Data for Cyclic Loading, Part E: Unalloyed Steels, Elsevier Science Publishers B.V.1987, ISBN 0-444-42874-7
- [26] Issler, L., Ruoß, H., Häfele, P.: Festigkeitslehre Grundlagen, Springer-Verlag Berlin 1995, ISBN 3-540-57995-8
- [27] Haibach, E., Berger, C., Hänel, B., Wirthgen, G., Zenner, H., Seeger, T.: Rechnerischer Festigkeitsnachweis für Maschinenbauteile, Heft Nr. 183-1, 1994, Forschungskuratorium Maschinenbau, Lyonerstr. 18, Frankfurt/M.

- [28] Dorn, S.: Rechnerische Lebensdauerermittlung nach verschiedenen Rechenkonzepten im Vergleich mit Meßdaten und Bestimmung von Formzahlen mit Hilfe von FE-Rechnungen, Diplomarbeit an der FH-Coburg im Studienschwerpunkt Maschinenbau, April 1996
- [29] Zenner H. und Liu J.: Vorschlag zur Verbesserung der Lebensdauerabschätzung nach dem Nennspannungskonzept, Konstruktion 44 (1992) Seite 9-17
- [30] A. Bäumel Jr, T. Seeger: Materials Data for Cyclic Loading, supplement 1, Elsevier Science Publishers B.V.1987, ISBN 0-444-88603 6
- [31] Manson S.S.: Fatigue: A Complex Subject Some Simple Approximations. Experimental Mechanics, 5:193-226, 1965
- [32] Muralidharan, U; Manson, S.S.: A Modified Universal Slopes Equation for Estimation of Fatigue Characteristics of Metals. Journal of Engineering Materials and Technology, 110:55-58, 1988
- [33] Gudehus, Zenner: Leitfaden für eine Betriebsfestigkeitsrechnung, Empfehlung zur Lebensdauerabschätzung von Maschinenbauteilen. 3. Auflage, ISBN 3-514-00445-5, Verlag Stahleisen, Düsseldorf.
- [34] Störzel, K.; Sonsino C.M.: Verfahren zur Lebensdauerabschätzung auf der Basis von Rainflow-Matrizen örtlicher Dehnungen; Fraunhofer Institut für Betriebsfestigkeit (LBF), Darmstadt, LBF-Nr. 7662 (1994), unveröffentlichter Eigenforschungsbericht.
- [35] FKM Richtlinie: Rechnerischer Festigkeitsnachweis für Maschinenbauteile, 4. erweiterte Ausgabe 2002, Forschungskuratorium Maschinenbau, 1998
- [36] Häckh, J; Willmerding, G; Kley, M; Binz, H; Körner, T.: rechnerische Lebensdauerabschätzung von Getriebegehäusen unter Einbeziehung realer multiaxialer Belastungen, DVM-Tagung Fulda vom 5. bis 6.6. 2002, VDI-Berichte N2. 1689, 2002 Seite 303 317
- [37] Körner, T; Depping, H; Häckh, J; Willmerding, G; Klos, W.: Rechnerische Lebensdauerabschätzung unter Berücksichtigung realer Belastungskollektive für die Hauptwelle eines Nutzfahrzeuggetriebes, DVM-Tagung Fulda vom 5. bis 6.6. 2002, VDI-Berichte N2. 1689, 2002 Seite 275 285
- [38] Körner, T; Depping, H; Häckh, J; Willmerding, G.: Fatigue Life Prognosis for Transmissions based on critical Component Spectrum, World Automotive Congress FISITA 2002, Helsinki, Paper Nr. F02V091
- [39] Eichsleder W. Unger B.: Lebensdauerberechnung auf der Basis von Finite Element Ergebnissen; 19. Vortragsveranstaltung des DVM Arbeitskreises Betriebsfestigkeit München 1993
- [40] Köttgen V.B.; Anthes R.J.; Seeger T.: Implementation des Werkstoffmodells von Mroz in das Finite Element Programm Abaqus Teil 1; Bericht aus dem Fachgebiet Werkstoffmechanik der Universität Darmstadt

- [41] Köttgen V.B.; Anthes R.J; Seeger T.: Implementation des Werkstoffmodells von Mroz in das Finite Element Programm Abaqus Teil 2: Quelltext und Beispiele; Bericht aus dem Fachgebiet Werkstoffmechanik der Universität Darmstadt
- [42] Chu Chin-Chan; Conle F; Albrecht Bonnen; John J. F.: Multiaxial Stress-Strain Modeling and Fatigue Life Prediction of SAE Axle Shafts; American Society for Testing and Materials, Philadelphia 1993
- [43] Mayer, Kötzle: Lebensdauerabschätzung von Fahrwerksteilen unter Berücksichtigung der sich drehenden Hauptspannungen; VDI-Berichte 1283, 1996 Seite 349
- [44] Steinwender, Greald; Gaier, Christian; Unger, Bernhard: Simulation der Betriebsfestigkeit von mehrachsig belasteten Fahrwerksbauteilen; 7. Aachener Kolloquium vom 5.-7. Oktober 1998, Aachen, Seite 1141
- [45] Issler, Festigkeitslehre
- [46] Yousefi F.; Küppers, M.: Lebensdauerberechnung mehraxial, Vorhaben Nr. 235, Forschungskuratorium Maschinenbau
- [47] Radaj, D.; Sonsino, C.M.; Fricke, W.: Fatigue assessment of welded joints by local approaches, 2. Auflage, Woodhead publishing limited, ISBN-13: 978-1-85573-948-2
- [48] Fricke, W.: Recommended hot spot analysis procedure for structural details of ships and FPSOs based on round-robin FE analyses, Int J Offshore Polar Engng, 20020 12 (1), 40-47
- [49] Bäckström, M.; Marquis, G.: A review of multiaxial fatigue of weldments: experimental results, design code and critical plane approaches, Fatigue Fracture Egnng Mater Struct 24, 279-291
- [50] Hobbacher, A.: Recommendations for fatigue design of welded joints and components, International Institute of welding, IIW document IIW-1823-07 december 2008
- [51] Germanischer Lloyd: Guideline for the Certification of Offshore Wind Turbines, Edition 2005
- [52] Gaier, C; Dannbauer, H.: An efficient critical plane method for ductile, semiductile and brittle materials, Fatigue 2006: 9th International Fatigue Congress Atlanta, 14.5-19.5.2006, Vortrag Nr. FT 436
- [53] N.N.:Qualitätsmanagement in der Automobilindustrie; Zuverlässigkeitssicherung bei Automobilherstellern und Lieferanten; Teil 2;.

ISSN 0943-9412, VDA, Frankfurt am Main, 2000

[54] Richard, H. A.; Sander, M.: Ermüdungsrisse, ISBN 978-3-8348-0292-7

- [55] Rennert, R; Kullig, E; Vormwald, M; Esderts, A; Siegele, D: Rechnerischer Festigkeitsnachweis für Maschinenbauteile; 6. Auflage 2012; ISBN 978-3-8163-0605-4
- [56] Berger, C; Blauel. G; Hodulak, L; Pyttel, B; Varfolomeyev, I; Gerdes, C.P.: Bruchmechanischer Festigkeitsnachweis für Maschinenbauteile; 3. Ausgabe, Stand 2009, ISBN 978-3-8163-0514-9

39.2. Zahnräder und Lager

- [1] DIN 3990 Teil 1: Tragfähigkeitsberechnung von Stirnrädern: Einführung und allgemeine Einflußfaktoren
- [2] DIN 3990 Teil 2: Tragfähigkeitsberechnung von Stirnrädern: Berechnung der Grübchentragfähigkeit
- [3] DIN 3990 Teil 2: Tragfähigkeitsberechnung von Stirnrädern: Dauerfestigkeit und Werkstoffqualitäten
- [4] Forschungsvereinigung Antriebstechnik E.V.: Zahnfuß-Betriebsfestigkeit, Forschungsvorhaben Nr. 188/I und II, 1993 Heft 408 und 1996 Heft 502
- [5] Forschungsvereinigung Antriebstechnik E.V.: Zahnflankenlebensdauer, Forschungsvorhaben Nr. 125/III, 1995 Heft 457
- [5] Forschungsvereinigung Antriebstechnik E.V.: Zahnflankenlebensdauer, Forschungsvorhaben Nr. 125/III, 1995 Heft 457
- [6] Forschungsvereinigung Antriebstechnik E.V.: Zahnrad-Lebensdauerprüfung mit Lastkollektiven, Forschungsvorhaben Nr. 125/I Heft 290 1989
- [7] Forschungsvereinigung Antriebstechnik E.V.: Zahnrad-Lebensdauerprüfung: Betriebsfestigkeitsuntersuchungen zur Grübchenbildung an einsatzgehärteten Stirnradflanken, Heft 320 1991
- [7] Forschungsvereinigung Antriebstechnik E.V.: Zahnrad-Lebensdauerprüfung: Betriebsfestigkeitsuntersuchungen zur Grübchenbildung an einsatzgehärteten Stirnradflanken, Heft 320 1991
- [8] G. Niemann; H. Winter: Maschinenelemente Band II; Getrieb3e allgemein, Zahnradgetriebe-Grundlagen, Stirnradgetriebe, Zweite Auflage, Springer-Verlag, ISBN 3-540-11149-2
- [9] Hexagon, Ein Programm zur Zahnradberechnung
- [10] DIN 3990 Teil 3: Tragfähigkeitsberechnung von Stirnrädern, Berechnung der Zahnfußtragfähigkeit

| [11] DIN 3990 Teil 11: Tragfähigkeitsberechnung von Stirnrädern, Anwendungsnorm für Industriegetriebe, Detail-
Methode | | | | | | | |
|---------------------------------------------------------------------------------------------------------------------------------------------|--|--|--|--|--|--|--|
| [12] DIN 3990 Teil 21: Tragfähigkeitsberechnung von Stirnrädern, Anwendungsnorm für Schnellaufgetriebe und Getriebe ähnlicher Anforderungen | | | | | | | |
| | | | | | | | |
| | | | | | | | |
| | | | | | | | |
| | | | | | | | |
| | | | | | | | |
| | | | | | | | |
| | | | | | | | |
| | | | | | | | |
| | | | | | | | |
| | | | | | | | |
| | | | | | | | |
| | | | | | | | |
| | | | | | | | |

39.3. Statistik

[1] Gramlich, Günter.:

Skript zur Stochastik, Eine Einführung in die Mathematik der Daten des Zufalls, www.hs-ulm.de/gramlich

[2] Kleppmann, Wilhelm:

Taschenbuch Versuchsplanung, Hanser-Verlag, 2009, ISBN 978-3-446-420335-5

[3] wikipedia:

http://en.wikipedia.org/wiki/Latin_square

[4] M.D. McKay; R. J. Beckmann; W.J. Conover:

A comparison of three methods for selecting values of input variables in the analysis of output from a computer code, Zeitschrift Technometrics, Vol. 21, No, 2, May 1979

[5] Aleksandar Trifkovi:

Multi-objective and Risk-based Modelling Methodology for

Planning, Design and Operation of Water Supply Systems,

Dissertation Universität Stuttgart, Institut für Wasserbau, 2007

[6] Willmerding, G.:

Opti: ein Programm zur Multiplen, nichtlinearen Regressionsanalyse.

Handbuch zur Software. Steinbeis TZ-Verkehrstechnik 1986

40. Index

Α

Ablaufbeschreibung an einem Beispiel 133 Alle Beispiele laden und die Installation testen 9 Allgemeine Lebensdauerberechnung 439 Alternativmethode Schadenssummen addieren 436 Anzahl der Lastwechsel in einer Periode: 85, 93

Ä

Äquivalente Amplitude 199

Α

Aufgabenstellung 134, 163, 177, 187, 203, 217, 233, 257, 273, 287, 299, 309, 317, 335, 351, 359, 381, 389, 423 Auswertung der Normalspannung $\sigma \perp$ 407 Auswertung der Schubspannung τ 417 Auswertung der Spannung $\sigma \parallel$ 415

В

Bauteilbelastung 189, 204, 258, 337 Bauteilbelastung (Einheitslasten) 135, 165, 218 Bauteilgeometrie 134, 163, 187, 203, 217, 233, 257, 351 Beispiel 1 / Nennspannungskonzept gekerbte Welle 23 Beispiel 10: Zahnräder und Lager 55 Beispiel 11 / Mehrkörpersimulation eines Roboterarms (SAMCEF) 111 Beispiel 12 / Gekerbte Welle mit FEMAP 113 Beispiel 13 / Schweißnaht einer Nutzfahrzeugachse (FEMPAP) 115 Beispiel 15 / Gekerbte Welle (SAMCEF) 119 Beispiel 16 / Last über eine Brücke (FEMAP) 121 Beispiel 17 / Datenschnittstelle zu ANSYS 131 Beispiel 18a / Dauerfestigkeitsnachweis (winLIFE QUICK CHECK) 133 Beispiel 18b / Dauerfestigkeitsnachweis mit Zeitverläufen 149 Beispiel 19 / bezogener Spannungsgradient 163 Beispiel 2 / Nennspannungskonzept gekerbte Platte 25 Beispiel 20 / Containerprojekte 177 Beispiel 21 / Schweissnaht einer Anhängevorrichtung 187 Beispiel 22 / Hot Spot Suche an einer geschweißten Rahmenecke 203 Beispiel 23 / rotierende Welle 217 Beispiel 24 / Rissfortschrittsberechnung 233 Beispiel 25 / Einführung in den winLIFE Viewer 247 Beispiel 26 / Nichtlinearität eines Federblechs 257

Beispiel 27 / Berechnung einer Schweißkonstruktion 273

Beispiel 28 / FKM Beispiel Wellenabsatz 287

Beispiel 29 / FKM Beispiel Gussbauteil 299

Beispiel 3 / örtliche Spannungen und Datenübernahme aus FEM 29

Beispiel 30 / FKM Beispiel Verdichterflansch 309

Beispiel 31 / Kupplung mit nichtlinearem Verhalten 317

Beispiel 32 / Mehrkörperdynamik und Lebensdauer 335

Beispiel 33 / Rissfortschrittsrechnung an einem Druckbehälter 351

Beispiel 34 / Signalmodifikation mit Hilfe des Formelgenerators 359

Beispiel 35 / FKM Beispiel 6.5 geschweißtes T-Profil aus Aluminium 381

Beispiel 36 / FKM Beispiel 6.6 geschweißte Aluminiumkonstruktion 389

Beispiel 4 / Rainflow-Verfahren versus Werkstoff Memory 35

Beispiel 40 / Superposition 423

Beispiel 5 / Vergleich mit FKM-Richtlinie 37

Beispiel 6 / Zylinder unter Zug und Torsion (multiaxial) 41

Beispiel 7 / Lenker unter Längs- und Querkraft (multiaxial) 45

Beispiel 8 / Verwendung von Dehnungsmessungen 49

Beispiel 9 / Aufruf aus einer Batch-Prozedur 53

Beispiel für eine Lagerberechnung 102

Belastung 234, 352

Belastung erzeugen 154

Belastungen 382

Belastungskollektiv (Rad 1) 75

Berechnung 394, 399, 401, 405

Berechnung (FE-Schnittstelle) 147

Berechnung / Betriebsfaktor erzeugen 181

Berechnung / Lebensdauer für Teillasten 181

Berechnung / Parameter festlegen 158

Berechnung aller Knoten der Oberfläche 248

Berechnung der Lebensdauer und Diskussion der Ergebnisse 105

Berechnung der Motordrehzahl aus Geschwindigkeit und Gang 363

Berechnung der Nennspannung 26

Berechnung des großen Zahnrades (Rad 2) 90

Berechnung einer Knotenauswahl 251

Berechnung mit Zeitsignalen 407

Berechnung nach Erdogan-Ratwani 243

Berechnungsparameter 225, 239, 356

Berücksichtigung von Finite-Elemente-Ergebnisse 297

Beschreibung 173

Bestimmung des Spannungsgradienten aus einer Regressionsanalyse 168

Bestimmung des Spannungsgradienten aus FEM Originaldateien 173

Bestimmung des Spannungsgradienten direkt aus dem FE-Modell in Femap 166

Bestimmung des Spannungsgradienten nach der Peilstab-Methode 171

D

Datei / Kopieren (nur Einstellungen) 147

Dateitypen 360

Daten des Beispiels für winLIFE 67

Daten des Lagers und der Belastung 102

Dauerfestigkeitsnachweis (Schnittebenenverfahren) 146

Dauerfestigkeitsnachweis (uniaxiale Vereinfachung) 144

Definition des Belastungsverlaufs 221, 229, 237, 355

Drehzahl -> Zahnlastwechsel: 92

Drehzahl->Zahnlastwechsel: 84

Durchführung der Berechnung für das Ritzel (Rad 1) 81

Durchführung einer Lebensdauerberechnung 259, 337

Durchführung einer Lebensdauerberechnung nach dem Hot Spot Suchverfahren 207

Durchführung einer Lebensdauerberechnung nach dem Strukturspannungskonzept 191, 214

Ε

Eckpunkte der Wöhlerkurve aus HEXAGON 68

einfache Umrechnung und Kanalerzeugung 359

Einfluss der Schleifkerben: 85, 93

Eingabe der Belastung 103

Eingabeoptionen 168, 171

Einzelprojekte laden 183

Ergebnis 170, 176, 197, 228, 231, 284, 295, 306, 315, 348, 374, 420

Ergebnis / Protokoll auswerten 158

Ergebnis Hot Spot 213

Ergebnis nach der Paris-Gleichung 240, 358

Ergebnis nach Erdogan-Ratwani 244

Ergebnis Strukturspannungskonzept 215

Ergebnis Vergleich 216

Ergebnisanalyse 433

Ergebnisdaten Festigkeit 62

Ergebnisdaten Geometrie 56

Ergebnisse 31

Ergebnisse für das Ritzel (Rad 1) 86

Ergebnisse für Spannungen und Auslastungsgrad der einzelnen FE - Berechnungen mit Femap / Nastran 139

Ergebnisse Zahnflanke (Rad 2) 92

Ergebnisse Zahnfuß (Rad 2) 91

Erstellen eines Projektes 134

Erzeugung einer neuen Datei mit Hilfe des Formeleditors / Beispiel 360

Erzeugung einer Spalte mit dem Drehmoment 366

Erzeugung einer Spalte mit einem berechneten Drehmoment 367

Erzeugung einer Wöhlerlinie 103

Erzeugung einer Wöhlerlinie (Rad 1) 70

Erzeugung neuer Kanäle unter Integration hochdynamischer Phänomene 377

Export der Spannungen 318

F

FE-Daten Zuordnung 225

FE-Daten Zuordnung und Berechnungsparameter 231

FE-Schnittstelle (OP2-Datenübernahme) 157

Festlegung der Methode 102

Finite Elemente Berechnung 218

FKM-Forschungsvorhaben 49

G

Generierung der Lastdateien 425

Generierung der Rissfortschrittskurve 235, 353

Generierung der Wöhlerlinie 136, 220

Generierung einer Bauteilwöhlerlinie 26

Generierung hochfrequenter Signalanteile für gemessene Mittelwert-Signale 359

Geometrie und Last 273, 317

Gesamtstruktur 200

Geschwindigkeit 373

Grundregeln bei der Bedienung von winLIFE QUICK CHECK 133

н

Hinweise zu den Beispielen 9 Hot-Spot Suchverfahren 274

Κ

Kopie des Projektes 428

L

Laden eines existierenden Projektes 177
Lastfall Biegung 141
Lastfall Zug 139
LastfallTorsion 143
Laststufe erzeugen 373
Lebensdauerberechnung in winLIFE mit konstanter Last 220
Lebensdauerberechnung in winLIFE mit veränderlicher Last 229

Lebensdauerberechnung nach dem Paris-Gesetz 353

Lebensdauerberechnung nach Erdogan-Ratwani 243

Lebensdauerberechnung nach Paris 235

Lebensdauerberechnung von Zahnfuß- und Zahnflanke mit winLIFE 67

Literaturverzeichnis 439

M

Manuelle Eingabe 75
Materialangabe 382
Materialangabe und örtliche Spannungen 287, 299, 309, 390
Methode festlegen 151
Methode wählen 423
Mittelspannungseinfluss 85, 93
Modellbildung 138, 164, 188, 204, 214, 218, 258, 336
Mohr'schen Kreise 42
Multiaxiale Berechnung / kritische Schnittebene 160

Ν

Nachweis Ermüdungsfestigkeit durchgehendes Blech Punkt D 403 Nachweis Ermüdungsfestigkeit SN Punkt A 401 Nachweis statisch SN Punkt A 397 Nachweis statisch WEZ Punkt D 390 Nutzfahrzeugrad 49

Р

Parametervariation 434
Projekt 423
Projekt erstellen 390
Projekt erzeugen 150
Projektaufbau in winLIFE 276, 284, 322, 382
Projektaufbau in winLIFE, Modul QUICK CHECK / FKM 288, 300, 310
Projektdefinition 220, 235, 353
Projektdefinition, Projektangaben 229

R

Radaufhängung 335

S

Schadensanteil von Einzelprojekten 184
Schadensberechnung 85, 93
Schadenssumme 197, 213, 215, 348
Schadenssummen 216
Schweißnaht-Export 282
Schweißnahtidentifikation 205
Sonstige Eingabegrößen für Zahnfuß und Zahnflanke (Rad 1) 84
Start von winLIFE 133
Statischer Nachweis mit örtlichen Spannungen für GW + WEZ 382

Statischer Nachweis mit örtlichen Spannungen für SN 385 Statistik 445 Status-Variable zur Zylinderabschaltung 369 Strukturspannungskonzept 282 Superposition 430

U

Übernahme von Messdaten 79
Übersicht der Beispiele 13
Umgebungsbedingungen 310, 390
Umrechnung der Rosettenwerte in ebenen Spannungszustand 51
Umrechnung Rosettenmesswerte in ebenen Dehnungszustand 51
Umrechnung von Werkstoffdaten 243
Umrechnungsfaktor 84
Umrechnungsfaktor K_F aus HEXAGON-Daten 68
Umrechnungsfaktor K_HP aus HEXAGON-Daten 69
Umrechnungsfaktoren Flanke und Fuss (Rad 2) 92
Umrechnungsfaktoren K_HP und K_FP variabel einstellen 93
Umwandeln in ein Containerprojekt 178

٧

Vorbereitung der Mehrfach Lastdatei 177

W

Wahl der Methode 69 Wandler-Zustands-Variable erzeugen 368 Weg Spalte erzeugen 371 Werkstoff für Ritzel (Rad 1) und Rad (Rad 2) 67 Werkstoffdaten 136, 164, 188, 204, 218, 234, 258, 336, 352 Wöhlerkurve 424 Wöhlerlinie 391, 397, 401, 403 Wöhlerlinie übernehmen 151

Ζ

Zähnezahl 68
Zahnflanke 73, 83, 88
Zahnfuss 81, 86
Zahnfußbiegung 70
Zahnfußspannung/Zahnflankenspannung: 85, 92
Zahnradauslegung mit HEXAGON 55
Zahnraddrehmoment: 84, 92
Zahnräder und Lager 443
Zeit Spalte erzeugen 370
Zusammenfassung der Ergebnisse 101
Zusammenfassung der Lebensdauerberechnung 246
Zusammenfassung und Diskussion der Ergebnisse 36
Zusammenstellung der Ergebnisse 28